



МЕДЭЛЕКТРОНІКА–2024.

СРЕДСТВА МЕДИЦИНСКОЙ ЭЛЕКТРОНИКИ
И НОВЫЕ МЕДИЦИНСКИЕ ТЕХНОЛОГИИ

СБОРНИК НАУЧНЫХ СТАТЕЙ

XIV МЕЖДУНАРОДНОЙ НАУЧНО-ТЕХНИЧЕСКОЙ КОНФЕРЕНЦИИ
(Республика Беларусь, Минск, 5–6 декабря 2024 года)

МИНИСТЕРСТВО ОБРАЗОВАНИЯ РЕСПУБЛИКИ БЕЛАРУСЬ
МИНИСТЕРСТВО ЗДРАВООХРАНЕНИЯ РЕСПУБЛИКИ БЕЛАРУСЬ
УЧРЕЖДЕНИЕ ОБРАЗОВАНИЯ «БЕЛОРУССКИЙ ГОСУДАРСТВЕННЫЙ
УНИВЕРСИТЕТ ИНФОРМАТИКИ И РАДИОЭЛЕКТРОНИКИ»
УЧРЕЖДЕНИЕ ОБРАЗОВАНИЯ «БЕЛОРУССКИЙ ГОСУДАРСТВЕННЫЙ
МЕДИЦИНСКИЙ УНИВЕРСИТЕТ»

**МЕДЭЛЕКТРОНИКА–2024.
СРЕДСТВА МЕДИЦИНСКОЙ ЭЛЕКТРОНИКИ
И НОВЫЕ МЕДИЦИНСКИЕ ТЕХНОЛОГИИ**

СБОРНИК НАУЧНЫХ СТАТЕЙ
XIV МЕЖДУНАРОДНОЙ НАУЧНО-ТЕХНИЧЕСКОЙ
КОНФЕРЕНЦИИ

(Республика Беларусь, Минск, 5-6 декабря 2024 года)

УДК 621.38:61
ББК 32.85+51
М42

Медэлектроника–2024. Средства медицинской электроники
М42 и новые медицинские технологии : сб. науч. ст. XIV Междунар. науч.-
техн. конф. (Республика Беларусь, Минск, 5-6 декабря 2024 года). –
Минск : БГУИР, 2024 – 368 с.
ISBN 978-985-543-790-2.

В сборнике опубликованы результаты научных исследований и разработок в области медицинской техники и новых медицинских технологий, реализации прогрессивных методов и средств диагностики и терапии, научно-технические достижения в создании приборов, аппаратуры, инструментов и медико-технических комплексов.

Сборник рассчитан на ученых, инженеров и врачей, работающих в областях научных исследований, разработки, производства, реализации и эксплуатации медицинской техники и новых медицинских технологий, а также на студентов медико-технических специальностей высших учебных заведений.

**УДК 621.38:61
ББК 32.85+51**

ISBN 978-985-543-790-2

© УО «Белорусский государственный
университет информатики
и радиоэлектроники», 2024

Сердечно приветствуем участников и гостей

XIV Международной научно-технической конференции «Медэлектроника-2024. Средства медицинской электроники и новые медицинские технологии».

Решение важнейшей задачи человечества – обеспечение здоровья, достойного качества жизни людей и их долголетия – лежит на стыке многих областей знаний и требует объединения усилий ученых, врачей, инженеров разных стран. Ещё один шаг к такому объединению – настоящая конференция.

Желаем участникам конференции плодотворной работы и успехов в создании и освоении новых технологий медицины XXI века.

**Программный и организационный комитеты
XIV Международной научно-технической конференции
«МЕДЭЛЕКТРОНИКА-2024».**

ПРОГРАММНЫЙ КОМИТЕТ

Сопредседатели:

Богуш В.А., д.ф.-м.н., профессор, ректор Белорусского государственного университета информатики и радиоэлектроники;

Рубникович С.П., д.м.н., профессор, ректор Белорусского государственного медицинского университета.

Члены программного комитета:

Воропай Е.С., д.ф.-м.н., профессор, заведующий научно-исследовательской лабораторией Белорусского государственного университета;

Герасименко М.А., д.м.н., профессор, директор РНПЦ травматологии и ортопедии;

Давыдов М.В., к.т.н., доцент, первый проректор Белорусского государственного университета информатики и радиоэлектроники;

Дик С.К., к.ф.-м.н., доцент, заведующий кафедрой Белорусского государственного университета информатики и радиоэлектроники;

Камышников В.С., д.м.н., профессор;

Карпенко Ф.Н., к.м.н., директор ГУ «Республиканский научно-практический центр трансфузиологии и медицинских биотехнологий», главный внештатный специалист Минздрава по трансфузиологии;

Кугейко М.М., д.ф.-м.н., профессор Белорусского государственного университета;

Кругликов С.В., д.в.н., генеральный директор Объединенного института проблем информатики Национальной академии наук Беларуси;

Лихачевский Д.В., к.т.н., доцент, декан факультета Белорусского государственного университета информатики и радиоэлектроники;

Лысенко С.А., д.ф.-м.н., профессор, директор Института природопользования НАН Беларуси;

Осипов А.Н., к.т.н., доцент, заведующий лабораторией ЦМИ НИЧ Белорусского государственного университета информатики и радиоэлектроники;

Пономаренко Г.Н., д.м.н., профессор, член-корреспондент РАН, Генеральный директор ФГБУ «Федеральный научный центр реабилитации инвалидов им Г.А. Альбрехта»;

Руденок В.В., д.м.н., профессор, проректор по международным связям Белорусского государственного медицинского университета;

Руммо О.О., д.м.н., профессор, академик НАН Беларуси, директор ГУ «Минский научно-практический центр хирургии, трансплантологии и гематологии»;

Сиваков А.П., д.м.н., профессор, заведующий кафедрой Белорусского государственного медицинского университета;

Смычек В.Б., д.м.н., профессор, директор РНПЦ медицинской экспертизы и реабилитации Министерства здравоохранения Республики Беларусь;

Стемпичский В.Р., к.т.н., доцент, проректор по научной работе Белорусского государственного университета информатики и радиоэлектроники;

Тузиков А.В., д.ф.-м.н., профессор, член-корреспондент НАН Беларуси, заведующий лабораторией Объединенного института проблем информатики Национальной академии наук Беларуси;

Шкадаревич А.П., д.ф.-м.н., профессор, академик НАН Беларуси, директор Научно-технического центра «ЛЭМТ» БелОМО;

Hakimjon Zaynidinov, Professor Head of Department Tashkent University of Information Technologies named after Muhammad al-Khorazni Department of Artificial Intelligence.

ОРГАНИЗАЦИОННЫЙ КОМИТЕТ

Руководители:

Давыдов М.В., к.т.н., доцент, первый проректор Белорусского государственного университета информатики и радиоэлектроники;

Дик С.К., к.ф.-м.н., доцент, зав. кафедрой Белорусского государственного университета информатики и радиоэлектроники;

Осипов А.Н., к.т.н., доцент, заведующий лабораторией ЦМИ НИЧ Белорусского государственного университета информатики и радиоэлектроники.

Члены комитета:

Бондарик В.М. к.т.н., доцент, декан факультета Белорусского государственного университета информатики и радиоэлектроники;

Волчѣк С.А. начальник учебно-методического управления Белорусского государственного университета информатики и радиоэлектроники;

Камлач П.В., к.т.н., доцент, заместитель декана факультета Белорусского государственного университета информатики и радиоэлектроники;

Кашицкий Э.С., к.м.н., доцент, ведущий научный сотрудник ГНУ «Институт физиологии НАН Беларуси»;

Котухов А.В., заместитель декана факультета Белорусского государственного университета информатики и радиоэлектроники;

Кудыш И.А., зав. лаб. кафедры Белорусского государственного университета информатики и радиоэлектроники;

Кузнецов Д.Ф., проректор по идеологической и воспитательной работе Белорусского государственного университета информатики и радиоэлектроники;

Лихачевский Д.В., к.т.н., доцент, декан факультета Белорусского государственного университета информатики и радиоэлектроники;

Лещевич Е.И., аспирант Белорусского государственного университета информатики и радиоэлектроники;

Мадвейко С.И., к.т.н., доцент, зав. кафедрой Белорусского государственного университета информатики и радиоэлектроники;

Мигалевич С.А., начальник центра Белорусского государственного университета информатики и радиоэлектроники;

Навроцкий А.А., к.ф.-м.н., доцент, зав. кафедрой Белорусского государственного университета информатики и радиоэлектроники;

Ревинская И.И., ассистент кафедры Белорусского государственного университета информатики и радиоэлектроники;

Самуйлов И.В., ассистент кафедры Белорусского государственного университета информатики и радиоэлектроники;

Сиваков А.П., д.м.н., профессор, зав. кафедрой Белорусского государственного медицинского университета;

Ситник Г.Д., к.м.н., доцент, доцент кафедры Белорусского государственного медицинского университета;

Стемпичский В.Р., к.т.н., доцент, проректор по научной работе Белорусского государственного университета информатики и радиоэлектроники

Шичко Л.А., заместитель начальника научно-исследовательской части Белорусского государственного университета информатики и радиоэлектроники.

ОРГАНИЗАТОРЫ КОНФЕРЕНЦИИ

Министерство образования Республики Беларусь

Министерство здравоохранения Республики Беларусь

Белорусский государственный университет информатики и радиоэлектроники

Белорусский государственный медицинский университет

ПАРТНЕРЫ КОНФЕРЕНЦИИ

ООО
«РИФТЭК»



СОДЕРЖАНИЕ

ПРИМЕНЕНИЕ ИСКУССТВЕННОГО ИНТЕЛЛЕКТА В КАРДИОЛОГИИ И ПЕРСПЕКТИВЫ ЕГО ДАЛЬНЕЙШЕГО ВНЕДРЕНИЯ	
Н.А. ЛАРЧЕНКО, Е.А. КУРЛЮК, М.В. ДАВЫДОВ, Е.К. КУРЛЯНСКАЯ	12
ПРИМЕНЕНИЕ ФОТОСТАТА ДЛЯ СТАНДАРТИЗИРОВАННОЙ ФОТОГРАММЕТРИИ В ОРТОДОНТИИ	
С.П. РУБНИКОВИЧ, А.С. ГРИЩЕНКОВ, Е.В. КУЗЬМЕНКО, А.К. УСОВИЧ	17
ЭЛЕКТРИЧЕСКАЯ АКТИВНОСТЬ СОБСТВЕННО ЖЕВАТЕЛЬНЫХ И ВИСОЧНЫХ МЫШЦ У ПАЦИЕНТОВ С ПРИЗНАКАМИ БРУКСИЗМА	
С.П. РУБНИКОВИЧ, А.С. ГРИЩЕНКОВ, Ю.Л. ДЕНИСОВА, Е.В. КУЗЬМЕНКО	20
ВНЕДРЕНИЕ ТЕХНОЛОГИИ ИСКУССТВЕННОГО ИНТЕЛЛЕКТА ДЛЯ АНАЛИЗА ДАННЫХ СПИРОМЕТРИИ	
И.И. РЕВИНСКАЯ, С.К. ДИК, Е.Р. УГЛАНОВА, Г.Д. СИТНИК	23
ОСОБЕННОСТИ ПРОЕКТИРОВАНИЯ ИЗМЕРИТЕЛЬНОГО МОДУЛЯ ИМПЛАНТИРУЕМОГО ДАТЧИКА ГЛЮКОЗЫ	
А.Н. ОСИПОВ, С.А. МОРОЗ, И.А. МОРОЗ, М.П. БАТУРА, С.П. УРБАНОВИЧ	26
ЭТИОТРОПНАЯ РЕФЛЕКСОТЕРАПИЯ ЦЕФАЛГИЧЕСКОГО СИНДРОМА ЦЕРЕБРАЛЬНОГО ГЕНЕЗА	
С.М. МАНКЕВИЧ, А.П. СИВАКОВ, Л.В. ПОДСАДЧИК, Т.И. ГРЕКОВА, О.И. ЖОЛНЕРОВИЧ	30
МОБИЛЬНОЕ ПРИЛОЖЕНИЕ ДЛЯ ОБЪЕКТИВИЗАЦИИ БОЛЕВЫХ СИНДРОМОВ ПРИ ПОЯСНИЧНО-КРЕСТЦОВЫХ РАДИКУЛОПАТИЯХ И СИНДРОМЕ ЗАПЯСТНОГО КАНАЛА	
М.В. ДАВЫДОВ, В.И. ХОДУЛЕВ, К.Е. РОГАЛЬСКИЙ, О.В. КОБЫЛКО, Т.В. ГРИГОРОВИЧ, Н.С. ДАВЫДОВА	34
АППАРАТНОЕ ОБЕСПЕЧЕНИЕ ДЛЯ ПРИМЕНЕНИЯ ЭЛЕКТРОПУНКТУРЫ В КЛИНИЧЕСКОЙ ПРАКТИКЕ	
М.В. ДАВЫДОВ, А.П. СИВАКОВ, В.С. ШЕКУНОВ, Н.С. ДАВЫДОВА	39
АКСИОМАТИЧЕСКАЯ МОДЕЛЬ ИНТЕГРАЦИИ МЕДИЦИНСКИХ ИНФОРМАЦИОННЫХ СИСТЕМ НА ОСНОВЕ ПРИНЦИПОВ СИСТЕМНОЙ ГОМЕОРЕТИКИ	
В.Г. ЕВДОКИМОВ, А.А. НАВРОЦКИЙ	43
АУТОСЕНСИБИЛИЗИРОВАННОЕ СЕЛЕКТИВНОЕ ИНГИБИРОВАНИЕ РОСТА РАКОВЫХ КЛЕТОК ИЗЛУЧЕНИЕМ ВИДИМОЙ ОБЛАСТИ СПЕКТРА	
В.Ю. ПЛАВСКИЙ, Л.Г. ПЛАВСКАЯ, О.Н. ДУДИНОВА, А.И. ТРЕТЬЯКОВА, А.В. МИКУЛИЧ, А.Н. СОБЧУК, Р.К. НАГОРНЫЙ, Т.С. АНАНИЧ, А.Д. СВЕЧКО, Н.Д. ПРОКОПЕНКО, С.В. ЯКИМЧУК, И.А. ЛЕУСЕНКО	49
КОМПЬЮТЕРНОЕ БИОУПРАВЛЕНИЕ: НОВАЯ ТЕХНОЛОГИЯ В ТЕРАПИИ АДДИКЦИЙ	
Ф.Б. ПЛОТКИН	55
ПЕРСПЕКТИВЫ И ОТВЕТСТВЕННОСТЬ ИСКУССТВЕННОГО ИНТЕЛЛЕКТА В МЕДИЦИНЕ	
И.М. МАЛОЛЕТНИКОВА, Н.С. ПАРАМОНОВА, В.Л. ШАЧИНОВА, Х.М. МАЛОЛЕТНИКОВА	59
ИНФОРМАТИВНЫЕ ПРИЗНАКИ И ХАРАКТЕРИСТИКИ ЭЛЕКТРОЭНЦЕФАЛОГРАММ	
П.Ю. БРАНЦЕВИЧ, Т.В. ДОКУКИНА, Н.Н. МИСЮК, П.П. КОРОЛЕВИЧ	63
ОДНОФОТОННАЯ ЭМИССИОННАЯ КОМПЬЮТЕРНАЯ ТОМОГРАФИЯ В ДИАГНОСТИКЕ НАРУШЕНИЙ ФУНКЦИИ СЕРДЦА У МОЛОДЫХ ПАЦИЕНТОВ С ЭЛЕКТРОКАРДИОСТИМУЛЯЦИЕЙ	
А.С. ГАРИПОВ, И.В. ПАТЕЮК, В.И. ТЕРЕХОВ, К.В. ДРОЗДОВСКИЙ	70
РЕАБИЛИТАЦИЯ С ПОМОЩЬЮ ДОПОЛНЕННОЙ РЕАЛЬНОСТИ	
Е.А. МОХОВИКОВА	73
ОБЗОР: ТЕНДЕНЦИИ В ОБЛАСТИ ТЕХНОЛОГИЙ ИНТЕРФЕЙСА МОЗГ-КОМПЬЮТЕР (ИМК)	
И. ОРАЗОВ, Н. БАЙРАМОВА	77
АНАЛИЗ РЕЗУЛЬТАТОВ ИЗМЕРЕНИЙ ЧАСТОТЫ СЕРДЕЧНЫХ СОКРАЩЕНИЙ ПО СИГНАЛУ ЭЛЕКТРОКАРДИОГРАММЫ С ПОМОЩЬЮ УМНЫХ ЧАСОВ	
В.А. РЕДЖЕПОВ, Д.Ю. ПЕРЦЕВ	84
ВЫСОКОЧАСТОТНАЯ ВАРИАЦИОННАЯ ПУПИЛЛОМЕТРИЯ В ОЦЕНКЕ ВЕГЕТАТИВНОЙ РЕАКТИВНОСТИ ПРИ ЛОКАЛЬНОМ ТЕПЛОМ ВОЗДЕЙСТВИИ НА КИСТЬ РУКИ	
Д.А. АЛЕКСАНДРОВ	91

ПРИМЕНЕНИЕ КОМПЬЮТЕРНОЙ СИСТЕМЫ «ЭЛЕКТРОННАЯ ОЧЕРЕДЬ» ДЛЯ ОПТИМИЗАЦИИ РАБОТЫ НА ДОГОСПИТАЛЬНОМ ЭТАПЕ ОКАЗАНИЯ МЕДИЦИНСКОЙ ПОМОЩИ	
Г.Д. СИТНИК, И.В. ПАТЕЮК, С.К. ДИК, В.В. ВОЙТОВ, О.Я. КУЗНЕЦОВ, А.В. ГОРЮНОВ, Н.Н. ПРОТЬКО, Е.И. ЛЕЩЕВИЧ, И.И. РЕВИНСКАЯ.....	94
ОБРАТНЫЕ ЗАДАЧИ ОПТИКИ РАССЕЙВАЮЩИХ СРЕД (МЕДИЦИНА, ЭКОЛОГИЯ)	
М.М. КУГЕЙКО.....	98
МОДЕЛИРОВАНИЕ ОПТИЧЕСКИХ СВОЙСТВ НАНОЧАСТИЦ Ag, Au	
Л.А. ТРУСЕВИЧ, М.М. КУГЕЙКО.....	103
СПЕКТРОФЛУОРИМЕТР ДЛЯ СПЕКТРАЛЬНО-КИНЕТИЧЕСКОГО АНАЛИЗА БИОЛОГИЧЕСКИХ ОБЪЕКТОВ	
М.П. САМЦОВ, Д.С. ТАРАСОВ, А.Е. РАДЬКО, К.А. ШЕВЧЕНКО, А.А. КИРСАНОВ, Н.В. ЛАБОДА, Е.С. ВОРОПАЙ.....	106
ЗНАЧЕНИЕ ВЕСТИБУЛОМЕТРИИ С ФУНКЦИОНАЛЬНЫМИ ТЕСТАМИ ПРИ РЕЦИДИВИРУЮЩЕМ ГОЛОВОКРУЖЕНИИ В СТАДИИ СУБКОМПЕНСАЦИИ	
А.В. КЛЕБАН, И.П. МАРЬЕНКО, М.П. МОЖЕЙКО, А.А. ПОДДУБНЫЙ.....	111
ROLE OF DIGITAL BIOMARKERS IN NEURODEGENERATIVE DISEASES	
A. SOLTANMYRADOVA, M. TOYJANOV, Y. ORAZOV, M. GURBANBERDIYEVA.....	114
УПРОЩЕНИЕ МЕТОДИКИ ОЦЕНКИ ТОНУСА МАЛЫХ СОСУДОВ	
В.А. ФИРАГО, М.М. КУГЕЙКО.....	118
К ВОПРОСУ ОСНАЩЕНИЯ ТЕРАПЕВТОВ МИКРОПРОЦЕССОРНЫМ КОМПЛЕКСОМ ДАТЧИКОВ ДЛЯ ОПРЕДЕЛЕНИЯ ПРИЗНАКОВ КАРДИОВАСКУЛЯРНЫХ ЗАБОЛЕВАНИЙ	
В.А. ФИРАГО, Н.В. ЛЕВКОВИЧ, С.Г. СЛАВИНСКИЙ, В.М. СЛОДИНСКАЯ, Г.В. ПАНЧЕНКО.....	120
КИНЕТИКА ИНЖЕКЦИОННОГО ОТЖИГА МЕЖДУОУЗЕЛЬНЫХ АТОМОВ КРЕМНИЯ В p-ОБЛАСТИ КРЕМНИЕВЫХ n⁺-p-СТРУКТУР, ОБЛУЧЕННЫХ АЛЬФА-ЧАСТИЦАМИ	
Д.Н. ЖДАНОВИЧ, И.Ф. МЕДВЕДЕВА, Е.А. ФАДЕЕВА, Д.А. ОГОРОДНИКОВ.....	124
АППАРАТНОЕ ОБЕСПЕЧЕНИЕ МОБИЛИЗАЦИИ И ЭВАКУАЦИИ МОКРОТЫ ПРИ БРОНХОЭКТАТИЧЕСКОЙ БОЛЕЗНИ	
О.Б. ЗЕЛЬМАНСКИЙ, Е.И. ДАВИДОВСКАЯ, А.М. АМИНОВА, Н.А. ЛАТЬПОВА, А.М. ПАК.....	128
ВЕСТИБУЛЯРНЫЕ МИОГЕННЫЕ ВЫЗВАННЫЕ ПОТЕНЦИАЛЫ В ДИАГНОСТИКЕ БОЛЕЗНИ МЕНЬЕРА	
Г.В. ЗАБРОДЕЦ, И.П. МАРЬЕНКО, А.В. КЛЕБАН, А.А. ПОДДУБНЫЙ.....	133
ПРИМЕНЕНИЕ ТРАНСКРАНИАЛЬНОЙ МАГНИТНОЙ СТИМУЛЯЦИИ У ДЕТЕЙ С ХРОНИЧЕСКИМИ ТИКОЗНЫМИ РАССТРОЙСТВАМИ: ПЕРСПЕКТИВЫ И ЭФФЕКТИВНОСТЬ	
А.Р. МИРЗОЯН, Т.Н. ЧЕРНУХА, С.Л. КУЛИКОВА, Г.В. ЗАБРОДЕЦ.....	137
ИСПОЛЬЗОВАНИЕ БЕСПИЛОТНЫХ ЛЕТАТЕЛЬНЫХ АППАРАТОВ ДЛЯ ЭПИДЕМИОЛОГИЧЕСКОГО НАДЗОРА ЗА ИНФЕКЦИОННЫМИ ЗАБОЛЕВАНИЯМИ	
Е.И. БАВБЕЛЬ, В.Ф. АЛЕКСЕЕВ.....	140
МЕТОД СЕГМЕНТАЦИИ ГОЛОСОВОГО СИГНАЛА НА ПЕРИОДЫ ОСНОВНОГО ТОНА ДЛЯ СИСТЕМ МЕДИЦИНСКОЙ ДИАГНОСТИКИ	
Е.И. ЖОЛУД, М.И. ВАШКЕВИЧ.....	144
ОЦЕНКА СТЕПЕНИ РАЗРУШАЮЩЕГО ВОЗДЕЙСТВИЯ УЛЬТРАЗВУКА ПРИ ПРОВЕДЕНИИ ТЕРАПЕВТИЧЕСКИХ ПРОЦЕДУР	
В.М. БОНДАРИК, С.К. ДИК, П.В. КАМЛАЧ, Е.И. ЛЕЩЕВИЧ, И.И. РЕВИНСКАЯ.....	149
ЧАСТОТНЫЙ АНАЛИЗ И ВИБРАЦИОННЫЕ ХАРАКТЕРИСТИКИ ТИТАНОВОГО ПРОТЕЗА СЛУХОВЫХ КОСТОЧЕК	
Т.С. СМОЛЬСКАЯ, Э.В. ДРУЦ, Е.Л. МАЛЕЦ, М.С. ЛУШАКОВА, П.В. КАМЛАЧ.....	153
МЕДИЦИНСКАЯ ЭЛЕКТРОНИКА: ОСНОВНЫЕ НАПРАВЛЕНИЯ И СТАНДАРТИЗАЦИЯ	
Н.Я. ОРАЗГЕЛЬДИЕВА.....	156
ФОРМИРОВАНИЕ НАНОСТРУКТУР НА ОСНОВЕ АНОДНОГО ОКСИДА АЛЮМИНИЯ И УГЛЕРОДНЫХ НАНОТРУБОК ДЛЯ УСТРОЙСТВ НАНОДИАГНОСТИКИ	
А.И. ВОРОБЬЕВА, Е.А. УТКИНА.....	160
ОСНОВЫ ПРОЕКТИРОВАНИЯ АДАПТИВНОЙ КОРРЕКЦИОННО-РАЗВИВАЮЩЕЙ ОБРАЗОВАТЕЛЬНОЙ СРЕДЫ ДЛЯ ЛИЦ С АУТИЗМОМ	
А.Г. ДАВЫДОВСКИЙ, Д.В. ЛИХАЧЕВСКИЙ.....	165
ОЦЕНКА РАЗМЕРА СТРУКТУРНЫХ ЭЛЕМЕНТОВ В УЛЬТРАЗВУКОВОЙ ВИЗУАЛИЗАЦИИ С ИСПОЛЬЗОВАНИЕМ СТАТИСТИЧЕСКОГО АНАЛИЗА	
Д.В. ЛЕОНОВ, Т.В. ЯКОВЛЕВА, Н.С. КУЛЬБЕРГ, О.В. ВЛАСОВА, О.В. ОМЕЛЯНСКАЯ, Ю.А. ВАСИЛЬЕВ.....	172

МЕТОД ИК СПЕКТРОСКОПИИ ДЛЯ АНАЛИЗА СПЕКТРАЛЬНЫХ ОСОБЕННОСТЕЙ ПЛАЗМЫ КРОВИ БЕРЕМЕННЫХ ЖЕНЩИН ПРИ НОРМАЛЬНО ПРОТЕКАЮЩЕЙ БЕРЕМЕННОСТИ И БЕРЕМЕННЫХ ЖЕНЩИН С РЕЗУС-ИММУНИЗАЦИЕЙ А.А. ИВАНОВ, А.К. КОРОЛИК, О.В. КОЗЛЯКОВА, М.С. ТАРАСИК, Г.Г. ЛУБНЕВСКАЯ.....	176
ТЕХНОЛОГИЯ ДИАГНОСТИКИ НЕВРОПАТИИ ВОЗВРАТНОЙ ДВИГАТЕЛЬНОЙ ВЕТВИ СРЕДИННОГО НЕРВА Т.В. ГРИГОРОВИЧ, В.И. ХОДУЛЕВ, Н.А. КАБИРОВА	180
ИСПОЛЬЗОВАНИЕ УЛЬТРАЗВУКОВОЙ ДИАГНОСТИКИ В ДЕТСКОЙ ПРАКТИКЕ В УСЛОВИЯХ САНАТОРНО-КУРОРТНОЙ ОРГАНИЗАЦИИ Д.В. БАРАНОВСКИЙ	185
СЕГМЕНТАРНОЕ ДЕЙСТВИЕ ТОРМОЗНЫХ АМИНОКИСЛОТ В РЕГУЛЯЦИИ ВИСЦЕРАЛЬНОЙ БОЛИ ПОЧЕЧНОГО И КИШЕЧНОГО ПРОИСХОЖДЕНИЯ Т.В. КАРАВАЙ, Р.Н. ЯСЮЧЕНЯ	189
ПРИМЕНЕНИЕ РАДИОМИЧЕСКИХ ПРИЗНАКОВ ДЛЯ КЛАССИФИКАЦИИ ПАТОЛОГИЙ ПЕЧЕНИ МЕТОДАМИ МАШИННОГО ОБУЧЕНИЯ Ю.В. СТАРИЧКОВА, С.В. АНТОНЕНКО, Н.Ш. ГАЗАНОВА	192
АЛГОРИТМИЧЕСКИЙ ДИЗАЙН ПРОЕКТИРОВАНИЯ СРЕДСТВ МЕДИЦИНСКОЙ ЭЛЕКТРОНИКИ	196
В.Ф. АЛЕКСЕЕВ, Д.В. ЛИХАЧЕВСКИЙ, Г.А. ПИСКУН.....	196
ПРОТОТИПИРОВАНИЕ И КОНЦЕПТУАЛЬНОЕ ПРОЕКТИРОВАНИЕ СРЕДСТВ МЕДИЦИНСКОЙ ЭЛЕКТРОНИКИ В.Ф. АЛЕКСЕЕВ, Д.В. ЛИХАЧЕВСКИЙ, Г.А. ПИСКУН.....	202
ОБЪЕКТИВИЗАЦИЯ ХРОНИЧЕСКОГО БОЛЕВОГО СИНДРОМА Г.Д. СИТНИК, М.В. ДАВЫДОВ, А.Н. ОСИПОВ, Э.С. КАШИЦКИЙ, С.К. ДИК, Н.Н. ПРОТЬКО, В.В. ВОЙТОВ, М.Э. КАШИЦКАЯ, М.И. ТАРАСЕВИЧ, И.Г. ТЕРЕХОВ, Э.П. СИНЯК.....	207
ПРИРОДНЫЕ ФАКТОРЫ И ИХ ИСПОЛЬЗОВАНИЕ В ПРАКТИКЕ ДЕТСКОЙ КУРОРТОЛОГИИ И САНАТОРНО-КУРОРТНОГО ЛЕЧЕНИЯ Д.В. БАРАНОВСКИЙ, Л.А. МАЛЬКЕВИЧ	211
ВИРТУАЛЬНАЯ РЕАЛЬНОСТЬ В БОРЬБЕ С ПОСТИНСУЛЬТНЫМ БОЛЕВЫМ СИНДРОМОМ И.П. МАРЬЕНКО, Н.Н. УСОВА, М.П. МОЖЕЙКО	215
ДИАГНОСТИЧЕСКАЯ СИСТЕМА ДЛЯ ОПРЕДЕЛЕНИЯ ПОЛОЖЕНИЯ ТЕЛА ПАЦИЕНТА ПРИ ВОЗНИКНОВЕНИИ БОЛЕВЫХ ОЩУЩЕНИЙ В.Г. МАКОВЕЦКИЙ, А.Л. ТАГИЛЬ, Т.С. БОБРОВА, М.В. ДАВЫДОВ	218
АЛГОРИТМ ПОИСКА ОТПЕЧАТКА СТОПЫ НА ПЛАНТОГРАММЕ Е.А. ЗУЕВ, А.В. ЧУРАКОВ, С.А. САЛАХЛЫ, Т.С. СМОЛЬСКАЯ, Э.В. ДРУЦ, В.С. ГАВРИЛЕНКО ..	222
ИССЛЕДОВАНИЕ КОМБИНИРОВАННОГО ВОЗДЕЙСТВИЯ НАДВЕННОГО ЛАЗЕРНОГО ОБЛУЧЕНИЯ КРОВИ И ЛОКАЛЬНОЙ МАГНИТОТЕРАПИИ НА ВОССТАНОВЛЕНИЕ СЛУХОВОЙ ФУНКЦИИ У ПАЦИЕНТОВ С ОСТРОЙ СЕНСОНЕВРАЛЬНОЙ ТУГОУХОСТЬЮ О.В. ВОРОТНИЦКАЯ, Л.А. МАЛЬКЕВИЧ, О.О. ЧЕШИК	226
ПОЛУЧЕНИЕ БИОСОВМЕСТИМЫХ КОНВЕРСИОННЫХ ПОКРЫТИЙ НА МАГНИЕВОМ СПЛАВЕ МЕДИЦИНСКОГО НАЗНАЧЕНИЯ А.В. ПОСПЕЛОВ, А.А. ШИРВЕЛЬ, А.А. КАСАЧ, Е.О. БОГДАН, И.И. КУРИЛО	230
МОДЕЛИРОВАНИЕ АЛГОРИТМА ИЗМЕРЕНИЯ ГЛЮКОЗЫ С.А. САЛАХЛЫ, А.Н. ОСИПОВ, В.С. ГАВРИЛЕНКО, Е.А. ЗУЕВ.....	234
РАЗРАБОТКА МЕТОДА РЕГИСТРАЦИИ МУЛЬТИФАЗНЫХ КТ-ИЗОБРАЖЕНИЙ С ИСПОЛЬЗОВАНИЕМ АФИННЫХ ПРЕОБРАЗОВАНИЙ Ю.В.СТАРИЧКОВА, А.В.ПИТИНОВ, Н. Ш. ГАЗАНОВА	237
ЦИФРОВАЯ ДИАГНОСТИКА И ПЕРСПЕКТИВЫ ЦИФРОВИЗАЦИИ В ЗДРАВООХРАНЕНИИ С ПРИМЕНЕНИЕМ ЮМТ «МАСТЕР ЗДОРОВЬЯ» Г.Б. ГРЕБИНЕВИЧ, В.В. ТКАЧЕНКО, Л.Б. ХРУСТИЦКАЯ.....	241
ОСОБЕННОСТИ РЕАЛИЗАЦИИ ПРОГРАММНОГО ОБЕСПЕЧЕНИЯ ДЛЯ КОМПЬЮТЕРИЗИРОВАННОГО КОМПЛЕКСА ОЦЕНКИ СКОРОСТИ РАСПРОСТРАНЕНИЯ ПУЛЬСОВОЙ ВОЛНЫ А.В. ЛЕБЕДЕВСКИЙ.....	246
ЛАЗЕРОПУНКТУРА В ЛЕЧЕНИИ ПАЦИЕНТОВ С МИОФАСЦИАЛЬНЫМИ БОЛЕВЫМИ СИНДРОМАМИ ЛИЦА Л.В. ПОДСАДЧИК, А.П. СИВАКОВ, Л.А. МАЛЬКЕВИЧ, С.М. МАНКЕВИЧ, Т.И. ГРЕКОВА.....	249
ФИЗИЧЕСКИЕ ФАКТОРЫ В ПРОФИЛАКТИКЕ И ЛЕЧЕНИИ БОЛЕЗНИ ШЛЯТТЕРА А.С. ВАНДА, О.О.ЧЕШИК, Л.А. МАЛЬКЕВИЧ, Е.В. РЫСЕВЕЦ	252

АВТОМАТИЗАЦИЯ ОБРАБОТКИ МЕДИЦИНСКИХ ДАННЫХ С ИСПОЛЬЗОВАНИЕМ КОМПЬЮТЕРНОГО ЗРЕНИЯ: ПОДХОДЫ И ПЕРСПЕКТИВЫ ВНЕДРЕНИЯ В КАРДИОЛОГИИ	
Е.А. КУРЛЮК, Н.А. ЛАРЧЕНКО, М.В. ДАВЫДОВ, Е.К. КУРЛЯНСКАЯ	254
АНАЛИЗ ДОЗИМЕТРИЧЕСКИХ ПАРАМЕТРОВ МОДЕЛИ РАСПРЕДЕЛЕНИЯ ДОЗЫ ИОНИЗИРУЮЩЕГО ИЗЛУЧЕНИЯ ПРИ МОДЕЛИРОВАНИИ ОБЛУЧЕНИЯ ПОВЕРХНОСТИ ГРУДНОЙ КЛЕТКИ	
И.Н. ЧИРКОВА, М.Н. ПЕТКЕВИЧ, Д.И. КОЗЛОВСКИЙ, М.В. ТУМИЛОВИЧ	260
АНАЛИЗ ШАГОВЫХ И БЕГОВЫХ ЛОКОМОЦИЙ ЧЕЛОВЕКА С ИСПОЛЬЗОВАНИЕМ МАТРИЦ РАССТОЯНИЯ	
Д. И. ГУСЕЙНОВ, Н. С. ДАВЫДОВА, М. В. ДАВЫДОВ	266
ВЫБОР СРЕДЫ ДЛЯ МОДЕЛИРОВАНИЯ ВОЗДЕЙСТВИЯ НАПРАВЛЕННОЙ КОНТАКТНОЙ ДИАТЕРМИИ	
А.Е. НОВИЦКАЯ, П.В. КАМЛАЧ	272
ОПРЕДЕЛЕНИЕ ЭФФЕКТИВНОСТИ МОДЕЛЕЙ ПРОГНОЗИРОВАНИЯ НАДЁЖНОСТИ ПОЛУПРОВОДНИКОВЫХ ПРИБОРОВ МЕТОДОМ СТАТИСТИЧЕСКОГО ИМИТАЦИОННОГО МОДЕЛИРОВАНИЯ	
И.В. РУСАК.....	275
НОВЫЙ ПОДХОД К ОЦЕНКЕ ЭКСПЛУАТАЦИОННОЙ НАДЁЖНОСТИ ТРАНСФОРМАТОРОВ ВТОРИЧНЫХ ИСТОЧНИКОВ ПИТАНИЯ МЕДИЦИНСКОЙ АППАРАТУРЫ	
С.М. БОРОВИКОВ, Е.Д. ГРИШЕЧКИН.....	280
ВИЗУАЛЬНОЕ РАСПОЗНАНИЕ РЕЧИ	
Д.А. МАКАР	284
АНАТОМИЧЕСКИЕ ОСОБЕННОСТИ ВИСОЧНО-НИЖНЕЧЕЛЮСТНОГО СУСТАВА ПО ДАННЫМ КОНУСНО-ЛУЧЕВОЙ КОМПЬЮТЕРНОЙ ТОМОГРАФИИ	
Д.Г. ГРУЗИНСКАЯ, И.В. САМУЙЛОВ	286
ОСОБЕННОСТИ ДИАГНОСТИКИ ИШЕМИИ ТОЛСТОЙ КИШКИ НА ОСНОВАНИИ СТАТИСТИЧЕСКИХ ДАННЫХ, ПОЛУЧЕННЫХ ПОСРЕДСТВОМ ГАСТРОЭНТЕРОГРАФИЧЕСКИХ ИЗМЕРЕНИЙ	
П.Г. МАТУСОВ, А.Н. КУПО.....	291
ОБЕСПЕЧЕНИЕ НАДЁЖНОСТИ СРЕДСТВ МЕДИЦИНСКОЙ ЭЛЕКТРОНИКИ ПРОГНОЗИРОВАНИЕМ РАБОТОСПОСОБНОСТИ ПОЛУПРОВОДНИКОВЫХ ПРИБОРОВ	
С.М. БОРОВИКОВ, И.В. РУСАК.....	295
PREDICTIVE ACCURACY OF PATIENT SATISFACTION IN ARNACIC CORRECTION SURGERY USING THE RANDOM FOREST ALGORITHM	
MARIA S. ILYASOVA, SERGEY M. GRIDJUSHKO, AKSANA N. DUDZICH, VICTORIA L. KRASILNIKOVA, ALEKSANDER M. PRUDNIK.....	299
ИНФОРМАЦИОННЫЕ ТЕХНОЛОГИИ В ОРГАНИЗАЦИИ ЛЕЧЕБНЫХ И ПСИХОЛОГО- ПЕДАГОГИЧЕСКИХ МЕРОПРИЯТИЙ НА БАЗЕ ДЕТСКОГО САНАТОРИЯ «СВИСЛОЧЬ»	
Д.В. БАРАНОВСКИЙ, К.В. БАРАНОВСКАЯ, М.А. ВЫШИВАНЮК	305
УСТРОЙСТВА ПОМОЩИ В ПЕРЕДВИЖЕНИИ И ОБНАРУЖЕНИИ ПРЕПЯТСТВИЙ ДЛЯ СЛАБОВИДЯЩИХ И ИНВАЛИДОВ ПО ЗРЕНИЮ	
С.С. ДАСЬКО, Н.Д. АБРАМОВИЧ, С.К. ДИК, И.И. РЕВИНСКАЯ.....	308
КАРБОКСИРЕФЛЕКСОТЕРАПИЯ ОСЛОЖНЕННОЙ НЕВРОПАТИИ ЛИЦЕВОГО НЕРВА	
Т.И. ГРЕКОВА, А.П. СИВАКОВ, С.М. МАНКЕВИЧ, Л.В. ПОДСАДЧИК.....	313
КОМБИНИРОВАННАЯ ФИЗИОТЕРАПИЯ ОСТЕОАРТРОЗА	
Н.В. ВОЙЧЕНКО, Л.А. МАЛЬКЕВИЧ, Е.А. СУЩЕНЯ	316
УЛЬТРАЗВУКОВОЕ ИССЛЕДОВАНИЕ ВИСОЧНО-НИЖНЕЧЕЛЮСТНОГО СУСТАВА	
БРЕДИХИНА Д.А., БОНДАРЬ В.Г., ГРИБКО А.С.	320
ПРИМЕНЕНИЕ СИНУСОИДАЛЬНО-МОДУЛИРОВАННЫХ СИГНАЛОВ ДЛЯ ГЕНЕРАЦИИ НИЗКОТЕМПЕРАТУРНОЙ АТМОСФЕРНОЙ ПЛАЗМЫ	
У. А. АСКАЛЬДОВИЧ, А.Н. ОСИПОВ, В.А. РОКАЧ, Т. МА, А.В. АКСЮЧИЦ, В.В. БОЖЕНКОВ, И.О. ХАЗАНОВСКИЙ	324
МЕТОДЫ КОМПЕНСАЦИИ АБЕРРАЦИЙ ВОЛНОВОГО ФРОНТА ПРИ УЛЬТРАЗВУКОВОЙ ВИЗУАЛИЗАЦИИ	
Д.В. ЛЕОНОВ.....	327
КУРСОВОЕ ПРИМЕНЕНИЕ МИНЕРАЛЬНОЙ ВОДЫ В РЕАБИЛИТАЦИОННО- ОЗДОРОВИТЕЛЬНЫХ ТЕХНОЛОГИЯХ ПРИ САНАТОРНО-КУРОРТНОМ ЛЕЧЕНИИ	
Н.В. РЕШЕТНИКОВА, В.Л. ШЕВЕЛЬ, Л.А. МАЛЬКЕВИЧ.....	331

ПРОГРАММНО-АППАРАТНЫЙ КОМПЛЕКС УСКОРЕННЫХ ИСПЫТАНИЙ ИМПЛАНТИРОВАННЫХ МЕДИЦИНСКИХ ДАТЧИКОВ	
А.Н. ОСИПОВ, Е.Н. КАЛЕНКОВИЧ, А.А. ИВАНОВСКИЙ, А.Д. ХАЦКЕВИЧ, С.А. МОРОЗ, И.А. МОРОЗ, А.П.КЛЮЕВ, А.В. ПАЦЕЕВ, С.В. ПАЦЕЕВ.	336
REST API В ИНФОРМАЦИОННОЙ СИСТЕМЕ ПОИСКА ПРОФИЛЬНЫХ СПЕЦИАЛИСТОВ В МЕДИЦИНСКИХ УЧРЕЖДЕНИЯХ Г. ХОШИМИН	
Т.З. НГУЕН, С.К. ДИК.....	341
«УМНАЯ УПАКОВКА» ДЛЯ ЭЛЕКТРОННЫХ МЕДИЦИНСКИХ ИЗДЕЛИЙ	
Н.А. РОДАК, С.К. ДИК.....	343
СОВРЕМЕННЫЕ ТЕХНОЛОГИИ И МЕТОДЫ ОХЛАЖДЕНИЯ МЕДИЦИНСКИХ ЛАЗЕРНЫХ АППАРАТОВ	
И.А. ЖИВИЦКИЙ, С.К. ДИК.....	346
ИННОВАЦИИ В МЕДИЦИНСКОЙ ВИЗУАЛИЗАЦИИ И ОБРАБОТКЕ ИЗОБРАЖЕНИЙ	
А.В. РУСИНА, С.К. ДИК.....	349
БИОНИЧЕСКОЕ ФОРМООБРАЗОВАНИЕ	
Е.Д. КОРМИЛЬЦЕВА, С.К. ДИК.....	352
ИСПОЛЬЗОВАНИЕ ТЕХНОЛОГИЙ ВИРТУАЛЬНОЙ РЕАЛЬНОСТИ В МЕДИЦИНСКОЙ ЭЛЕКТРОНИКЕ ДЛЯ РЕАБИЛИТАЦИИ И ДИАГНОСТИКИ	
Л. Д. ХУДЕР, В. А. СТОЛЕР.....	355
МИС. ФУНКЦИОНАЛЬНЫЙ МОДУЛЬ «ЭЛЕКТРОННАЯ МЕДИЦИНСКАЯ КАРТА» С ПРИМЕНЕНИЕМ ТЕХНОЛОГИИ «РАСПОЗНАВАНИЕ ГОЛОСА»	
В.А.ПОНОМАРЕВ, А.Б. НАЗАРЕНКО, Т.М. ПОТЯГОВА.....	358

УДК 004.8:612.17

ПРИМЕНЕНИЕ ИСКУССТВЕННОГО ИНТЕЛЛЕКТА В КАРДИОЛОГИИ И ПЕРСПЕКТИВЫ ЕГО ДАЛЬНЕЙШЕГО ВНЕДРЕНИЯ

Н.А. ЛАРЧЕНКО, Е.А. КУРЛЮК, М.В. ДАВЫДОВ, Е.К. КУРЛЯНСКАЯ

*Белорусский государственный университет информатики и радиоэлектроники
(Минск, Беларусь)*

Аннотация. В работе рассматриваются перспективы применения искусственного интеллекта (ИИ) в кардиологии, включая диагностику, лечение и управление сердечно-сосудистыми заболеваниями (ССЗ). ИИ уже активно используется для анализа медицинских изображений (МРТ, КТ) и электрокардиограмм, а также для разработки предиктивных моделей, прогнозирующих риски ССЗ. ИИ также используется для персонализированного лечения, учитывая индивидуальные данные пациентов. Внедрение ИИ сталкивается с вызовами, такими как качество данных и этические вопросы, однако его потенциал для повышения точности диагностики, оптимизации лечения и снижения медицинских затрат остается высоким.

Ключевые слова: Искусственный интеллект, кардиология, сердечно-сосудистые заболевания, диагностика, предиктивные модели, медицинские изображения, электрокардиограмма, мониторинг пациентов, персонализированное лечение, автоматизация диагностики, медицинские устройства.

APPLICATION OF ARTIFICIAL INTELLIGENCE IN CARDIOLOGY AND PROSPECTS FOR ITS IMPLEMENTATION

N.A. LARCHENKO, E.A. KURLYUK, M.V. DAVYDOV, E.K. KURLYANSKAYA

*Belarusian State University of Informatics and Radioelectronics
(Minsk, Republic of Belarus)*

Abstract. This paper examines the prospects for the application of artificial intelligence (AI) in cardiology, including the diagnosis, treatment and management of cardiovascular disease (CVD). AI is already being actively used to analyze medical images (MRI, CT) and electrocardiograms, and to develop predictive models that forecast CVD risks. AI is also being used to personalize treatment by taking into account individual patient data. AI adoption faces challenges such as data quality and ethical issues, but its potential to improve diagnostic accuracy, optimize treatment and reduce healthcare costs remains high.

Keywords: Artificial intelligence, cardiology, cardiovascular disease, diagnosis, predictive models, medical imaging, electrocardiogram, patient monitoring, personalized treatment, diagnostic automation, medical devices.

Введение

Искусственный интеллект (ИИ) стал важной частью медицины, особенно в кардиологии, помогая создавать точные инструменты для диагностики, прогнозирования рисков и разработки персонализированных стратегий лечения сердечно-сосудистых заболеваний (ССЗ). ССЗ остаются ведущей причиной смертности, что делает ИИ незаменимым для анализа больших объемов данных, повышения точности диагностики и улучшения качества медицинской помощи.

Целью исследования является анализ текущего применения ИИ в кардиологии, оценка перспектив и разбор вызовов и ограничений при интеграции технологий в клинические процессы.

Применение ИИ в диагностике сердечно-сосудистых заболеваний

Применение искусственного интеллекта (ИИ) в кардиологии приобретает все большее значение благодаря его способности анализировать большие объемы данных и выявлять

скрытые паттерны, что приводит к повышению точности диагностики и снижению ошибок. Наибольшее применение ИИ находит в обработке медицинских изображений и электрокардиографии.

ИИ играет важную роль в анализе КТ и МРТ изображений. Приложения ИИ улучшают диагностику сердечных заболеваний, ускоряют обработку изображений и повышают точность диагностики. Например, использование ИИ для анализа коронарной компьютерной томографической ангиографии (ССТА) и МРТ сердца способствует автоматическому выявлению коронарных стенозов и оценке объемов сердца, что существенно улучшает рабочие процессы радиологов [1].

ИИ разрабатывает предиктивные модели для прогнозирования сердечно-сосудистых рисков на основе биомаркеров, генетики и носимых устройств. Например, стартап *AliveCor* создал *KardiaMobile* для мониторинга аритмий с помощью ИИ. Оно позволяет пользователям получать данные ЭКГ в домашних условиях, а алгоритмы ИИ автоматически анализируют эти данные и предупреждают о возможных проблемах, таких как фибрилляция предсердий [2].

ИИ также находит применение в кардиологической электрофизиологии, улучшая диагностику аритмий и других состояний, связанных с нарушениями ритма. Например, алгоритмы машинного обучения, анализирующие данные ЭКГ, способны выявлять аритмии и другие патологии, незаметные для врача, что повышает точность диагностики и снижает количество пропущенных случаев [3].

Влияние ИИ на лечение и управление сердечно-сосудистыми заболеваниями

ИИ не только способствует повышению эффективности диагностики, но также оказывает существенное влияние на процессы лечения и управления сердечно-сосудистыми заболеваниями. Ключевыми аспектами в этом контексте выступают персонализированное лечение и мониторинг пациентов.

Персонализированная медицина — это направление, в котором ИИ может изменить подходы к лечению. Алгоритмы ИИ анализируют данные пациента и предлагают оптимальные схемы лечения на основе индивидуальных характеристик. Например, в лечении сердечной недостаточности алгоритмы ИИ могут прогнозировать эффективность терапии и предлагать оптимальные дозировки медикаментов, что улучшает результаты лечения и снижает риск осложнений [4].

ИИ помогает управлять хроническими заболеваниями, предсказывая осложнения и корректируя лечение на основе данных с носимых устройств. Мониторинг пациентов с ИИ становится ключевым в кардиологической помощи. Носимые устройства и приложения анализируют сердечный ритм и другие параметры в реальном времени. Стартап *Еко* разработал умные стетоскопы, выявляющие патологии, такие как аортальный стеноз, с помощью ИИ, что улучшает диагностику и лечение.

Текущие ограничения и вызовы при внедрении ИИ в кардиологию

Несмотря на очевидные преимущества, внедрение ИИ в клиническую практику сталкивается с рядом проблем и ограничений.

Эффективность алгоритмов ИИ зависит от качества данных, на которых они обучаются. Проблемы с доступом к качественным и структурированным медицинским данным остаются одним из главных барьеров на пути к массовому внедрению ИИ. Кроме того, алгоритмы могут сталкиваться с проблемами переобучения или смещения, что может привести к некорректным выводам [5].

Использование ИИ в медицине вызывает много вопросов, связанных с этикой и конфиденциальностью данных. Например, пациенты могут быть обеспокоены тем, как их данные используются для обучения алгоритмов, и насколько надежны и объяснимы решения, принятые на основе этих алгоритмов. Для решения этих вопросов необходимо создание четких этических и правовых рамок, которые бы регулировали использование ИИ в медицинской практике [6].

Создание ИИ для расшифровки кардиограмм

Для обучения и тестирования модели был использован датасет РТВ-XL, содержащий данные об ЭКГ различных пациентов. Датасет включает широкий спектр диагнозов, таких как гипертрофия левого желудочка, предсердная тахикардия, ишемические изменения, а также более специфические аномалии, такие как атриальная фибрилляция и различные формы блокады. Для классификации данных была использована нейронная сеть на основе архитектуры ResNet-50, которая адаптирована для задачи многоуровневой классификации.

Модель разделена на три уровня классификации:

- *Первый уровень:* определяет общее состояние (например, "Нормальное" или "Аномальное").
- *Второй уровень:* классифицирует основные диагностические группы, такие как гипертрофия, ишемия и другие.
- *Третий уровень:* детализирует конкретные диагнозы, такие как фибрилляция предсердий, специфические изменения ST, блокады, и т.д.

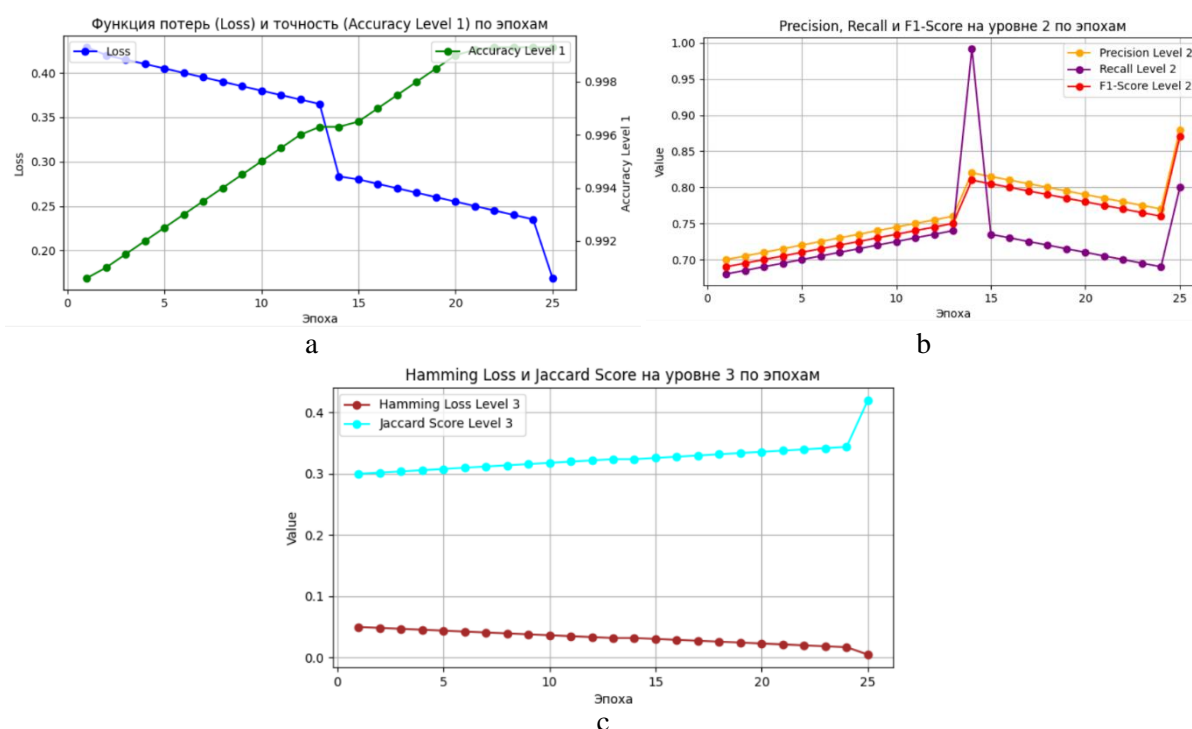


Рис. 1. Графики точностей и потерь: *a* – График функции потерь и точность по эпохам; *b* – график Precision, Recall и F1-Score на уровне 2 по эпохам; *c* – график Hamming Loss и Jaccard Score на уровне 3 по эпохам

Fig. 1. Accuracy and loss plots: *a* – Loss function plot and accuracy by epoch; *b* – Precision, Recall and F1-Score plot at level 2 by epoch; *c* – Hamming Loss and Jaccard Score plot at level 3 by epoch

Рисунок 1.а демонстрирует изменение значения функции потерь (Loss) в процессе обучения модели и показана динамика изменения точности модели на первом уровне на протяжении 25 эпох. Начальная точность составляет 99.06%, и к 25-й эпохе она достигает 99.93%. Снижение функции потерь указывает на улучшение способности модели к обобщению данных, что говорит о её повышающейся точности в предсказании диагнозов. Постепенное уменьшение Loss показывает стабильный процесс обучения.

На рисунке 1.б показаны метрики Precision, Recall и F1-Score на уровне 2 по эпохам. Precision увеличивается с 0.7000 до 0.8200, Recall растёт с 0.6800 до 0.8000, а F1-Score увеличивается с 0.6900 до 0.8100. Рост Precision означает, что модель делает меньше ложноположительных классификаций, т.е., более точно идентифицирует аномалии. Рост Recall

указывает на успешное распознавание релевантных случаев. F1-Score, как гармоническое среднее, показывает улучшение общего качества классификации на уровне 2.

Рисунок 1.с показывает изменение Hamming Loss и Jaccard Score на уровне 3 по эпохам. Снижение Hamming Loss указывает на уменьшение количества ошибок при классификации. Рост Jaccard Score свидетельствует о большей схожести между предсказанными и реальными метками, что отражает способность модели точно определять специфические диагнозы на уровне 3.

Модель была протестирована на различных ЭКГ-снимках для демонстрации её возможностей. Ниже приведён пример предсказания для конкретного случая:

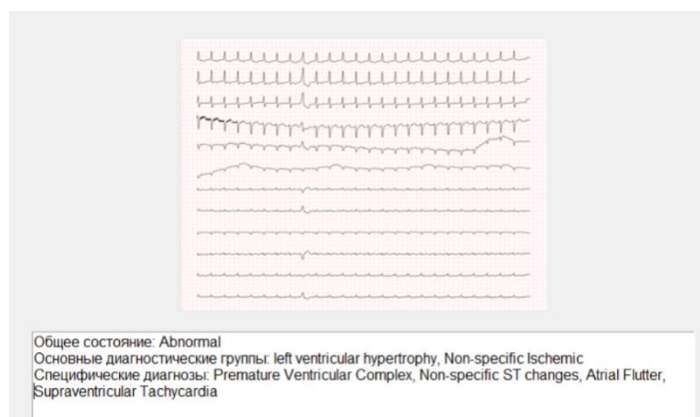


Рис. 2. Пример визуализации электрокардиограммы (ЭКГ) с выводом результатов анализа
Fig. 2. Example of electrocardiogram (ECG) visualization with analysis output

Для повышения точности предсказаний модели и улучшения её работы представляются следующие направления:

1. *Расширение набора данных:* Увеличение объема данных способствует улучшению обобщающей способности модели, что особенно важно для более точной идентификации редких диагнозов в кардиологии.

2. *Тонкая настройка параметров модели:* Дополнительные эксперименты с гиперпараметрами, такими как размер мини-батча и скорость обучения, могут повысить эффективность процесса обучения, оптимизируя работу модели на различных данных.

3. *Внедрение методов интерпретируемости (Explainable AI):* В медицинских приложениях интерпретируемость критична для понимания принципов работы модели. Реализация слоев объяснимости позволит медицинским специалистам лучше понимать и доверять прогнозам, делаемым моделью.

4. *Тестирование на реальных данных:* Проведение тестов на реальных клинических данных даст возможность объективно оценить эффективность модели в условиях практического применения.

Результаты и их обсуждение

Исследование показало, что использование искусственного интеллекта (ИИ) в кардиологии значительно ускоряет и улучшает диагностику сердечно-сосудистых заболеваний (ССЗ). Модель на основе ResNet-50 достигла высокой точности в многоуровневой классификации патологий, что помогает выявлять сложные сердечные аномалии.

Достижения в диагностике:

- *Точность первого уровня классификации:* достигнута точность 99.93% к 25-й эпохе, демонстрируя устойчивое обучение.

- *Пост Precision, Recall и F1-Score на уровне 2:* улучшение с 0.7000 до 0.8200 (Precision), с 0.6800 до 0.8000 (Recall) и с 0.6900 до 0.8100 (F1-Score) свидетельствует о высокой общей точности и уменьшении ложных классификаций.

• *Снижение Hamming Loss и рост Jaccard Score на уровне 3*: подтверждают точность модели в выявлении специфических диагнозов.

Ограничениями остаются качество данных и соблюдение этических норм. Доступ к структурированным медицинским данным важен для улучшения моделей, а также требуется регулирование использования данных пациентов.

Заключение

ИИ играет ключевую роль в современной кардиологии, предлагая инновационные подходы к диагностике, лечению и управлению сердечно-сосудистыми заболеваниями. Эти технологии помогают формировать новые стандарты медицинской помощи, создавая точные и персонализированные рекомендации. Несмотря на вызовы, связанные с качеством данных и необходимостью регулирования, перспективы ИИ в кардиологии крайне многообещающие. Развитие ИИ повысит точность диагностики, улучшит клинические исходы и сократит затраты на здравоохранение, способствуя персонализированному и доступному подходу к лечению.

Список литературы

1. Ланзафаме, С., Биттнер, М. И., Морейра, К., Дюпуй, С., Брюле, Н., & Бароне, Д. Искусственный интеллект в кардиологической визуализации // *Intelligence in Cardiovascular Imaging*. – 2023. – Т. 1. – С. 1–6. – Режим доступа: <https://www.mdpi.com/2075-1729/13/2/507>
2. Мартинес-Сельес, М., & Марина-Брейсс, М. Будущее искусственного интеллекта в электрокардиографии // *Journal of Electrocardiology*. – 2023. – Т. 4(1). – С. 12–20. – Режим доступа: <https://pubmed.ncbi.nlm.nih.gov/37103054/>
3. Хоххеггер, Б., Соуза, В. В., Лопес, А. М., Морейра, Дж., & Альтмайер, С. Искусственный интеллект в кардиоторакальной визуализации: Обзор // *Thoracic Imaging Journal*. – 2023. – Т. 11(5). – С. 52–58. – Режим доступа: <https://www.sciencedirect.com/science/article/pii/S0037198X23000081>
4. Кимбер, Д. Искусственный интеллект и сердечная недостаточность: Новая граница // *Journal of Heart Failure Research*. – 2023. – Т. 6(2). – С. 14–22. – Режим доступа: <https://www.emjreviews.com/cardiology/congress-review/artificial-intelligence-and-heart-failure/>
5. Ледзиньский, П., & Гжеск, Э. Искусственный интеллект как новый инструмент для кардиологов // *Cardiology in Review*. – 2023. – Т. 12(4). – С. 54–60. – Режим доступа: <https://www.mdpi.com/2673-9992/21/1/15>
6. Ёео, К. Искусственный интеллект в кардиологии: Приобрел ли он популярность? // *Cardiovascular Innovations and Applications*. – 2023. – Т. 15(3). – С. 102–108. – Режим доступа: <https://persmed.elpub.ru/jour/article/view/98>

Reference

1. Lanzafame, S., Bittner, M. I., Moreira, C., Dupuis, C., Brulé, N., & Barone, D. Artificial Intelligence in Cardiovascular Imaging // *Intelligence in Cardiovascular Imaging*. – 2023. – Т. 1. – С. 1–6. – Режим доступа: <https://www.mdpi.com/2075-1729/13/2/507>
2. Martínez-Sellés, M., & Marina-Breyssse, M. Future of Artificial Intelligence in Electrocardiography // *Journal of Electrocardiology*. – 2023. – Т. 4(1). – С. 12–20. – Режим доступа: <https://pubmed.ncbi.nlm.nih.gov/37103054/>
3. Hochhegger, B., Souza, V. V., Lopes, A. M., Moreira, J., & Altmayer, S. Artificial Intelligence in Cardiothoracic Imaging: An Overview // *Thoracic Imaging Journal*. – 2023. – Т. 11(5). – С. 52–58. – Режим доступа: <https://www.sciencedirect.com/science/article/pii/S0037198X23000081>
4. Kimber, D. Artificial Intelligence and Heart Failure: A New Frontier // *Journal of Heart Failure Research*. – 2023. – Т. 6(2). – С. 14–22. – Режим доступа: <https://www.emjreviews.com/cardiology/congress-review/artificial-intelligence-and-heart-failure/>
5. Ledziński, P., & Grzešek, E. Artificial Intelligence as an Emerging Tool for Cardiologists // *Cardiology in Review*. – 2023. – Т. 12(4). – С. 54–60. – Режим доступа: <https://www.mdpi.com/2673-9992/21/1/15>
6. Yeo, K. Artificial Intelligence in Cardiology: Did It Take Off? // *Cardiovascular Innovations and Applications*. – 2023. – Т. 15(3). – С. 102–108. – Режим доступа: <https://persmed.elpub.ru/jour/article/view/98>

УДК 616-71

ПРИМЕНЕНИЕ ФОТОСТАТА ДЛЯ СТАНДАРТИЗИРОВАННОЙ ФОТОГРАММЕТРИИ В ОРТОДОНТИИ

С.П. РУБНИКОВИЧ¹, А.С. ГРИЩЕНКОВ¹, Е.В. КУЗЬМЕНКО¹, А.К. УСОВИЧ²

¹Белорусский государственный медицинский университет (Минск, Республика Беларусь)

²Витебский государственный ордена Дружбы народов медицинский университет
(Витебск, Республика Беларусь)

Аннотация. Фотостат для фотограмметрии фаса и профиля лица позволяет обеспечить естественное и легко воспроизводимое при повторных обследованиях положение головы исследуемого, стабильное положение фотоаппарата относительно объекта фотосъемки, а также возможность производить серию фотограмм в фас и профиль, не меняя положения обследуемого. Такой подход позволяет получить серию стандартизованных фотографий, что делает возможным их последующий компьютерный анализ. Применение фотостата позволяет унифицировать процесс антропометрического исследования и сократить трудозатраты на его проведение.

Ключевые слова: фас и профиль лица, фотостат, антропометрическое исследование, ортодонтия.

THE USE OF THE PHOTOSTAT FOR STANDARDIZED PHOTOGRAMMETRY IN ORTHODONTICS

SERGEY P. RUBNIKOVICH¹, ARSENIY S. GRISHCHENKOV¹, ELENA V. KUZMENKO¹,
ALEKSANDR K. USOVICH²

¹Belarusian State Medical University, Minsk, Belarus

²Vitebsk State Order of Peoples' Friendship Medical University, Vitebsk, Belarus

Abstract. The photostat for photogrammetry of the en-face and profile of the face allows providing a natural and easily reproducible position of the subject's head during repeated examinations, a stable position of the camera relative to the subject of photography, as well as the ability to produce series of photograms of the en-face and profile without changing the subject's position. This approach allows obtaining series of standardized photographs and makes their subsequent computer analysis be possible. The use of a photostat allows to unify the process of cephalometry and reduce labor costs for its implementation.

Keywords: full face and face profile, photostat, anthropometric examination, orthodontics.

Введение

Обследование эстетики лица у пациентов стоматологического профиля входит в комплекс обязательных диагностических мероприятий [1, 2, 3]. Антропометрические данные дают представление о характеристиках мозгового и лицевого отделов черепа человека, вариантах их взаимного соотношении, как при отсутствии, так и при наличии зубочелюстных аномалий [1, 4–6]. Данный метод информативен, не требует использования дорогостоящего инструментария, может быть применен у людей всех возрастных групп не только во время индивидуальных клинических обследований, но и на массовых медицинских осмотрах. Данные о размерных особенностях мозгового и лицевого отделов черепа человека способствуют раннему выявлению зубочелюстных аномалий, а также позволяют установить причину их развития, спрогнозировать степень изменения антропометрических показателей после завершения лечения [5, 7–10].

Полноценное антропометрическое исследование представляет собой процесс последовательного измерения 21 параметра и последующего расчета 24 показателей – индексов, позволяющих определить тип и форму лицевого и мозгового отделов головы человека [1, 6]. Во время ортодонтического приема врач-ортодонт обычно проводит измерение ограниченного числа наиболее значимых параметров. Однако в сложных клинических случаях зачастую обоснованно проведение антропометрического исследования, включающего

определение полного перечня параметров. С целью усовершенствования методики антропометрического исследования нами разработан фотостат, позволяющий ускорить и унифицировать процесс измерения [8].

Методика проведения эксперимента

Антропометрическое обследование 20 мужчин и 30 женщин проведено дважды с интервалом в 4 года. Первое антропометрическое исследование проводилось в юношеском возрасте, который составил $18,8 \pm 0,7$ года у мужчин и $17,4 \pm 0,2$ года – у женщин; второе – в первом периоде зрелого возраста, который составил $22,7 \pm 0,4$ года у мужчин и $21,4 \pm 0,3$ года – у женщин. Исследование проведено с использованием фотостата для фотограмметрии фаса и профиля лица [8]. Устройство состоит из вертикальной оси, плотно закрепленной в штативе, держателя, закрепленного на ней с помощью подвижного крепежного элемента с возможностью перемещения в вертикальной плоскости, горизонтального рукава, зафиксированного в держателе при помощи шарнира и рамки для фотокамеры, расположенной на конце рукава (рисунок).

Обследуемого усаживали на стул, плотно прилегающий к вертикальной оси фотостата. При выполнении снимка анфас горизонтальный рукав устройства с зафиксированной на конце рамкой для фотокамеры располагали параллельно горизонтальной плоскости на уровне глаз обследуемого и проводили фотосъемку. При производстве снимка в профиль горизонтальный рукав фотостата с помощью шарнира перемещали на 90° относительно первоначального положения, устанавливали на уровне ушной раковины обследуемого и проводили фотосъемку. Для фотосъемки использовали фотоаппарат «Nikon D3100». При использовании данного устройства голова обследуемого позиционировалась в естественном положении, что согласуется с современными подходами к фотосъемке в стоматологии [1, 8].

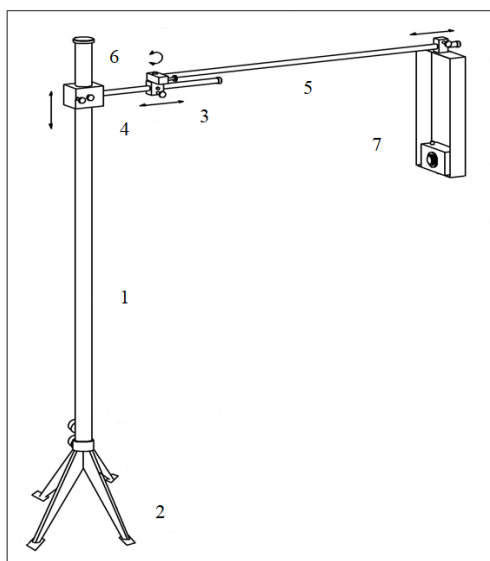


Рис. Схематическое изображение фотостата:

1 – вертикальная ось, 2 – штатив, 3 – держатель, 4 – подвижный крепежный элемент, 5 – горизонтальный рукав, 6 – шарнир, 7 – рамка для фотокамеры

Анализ полученных изображений проводили в программе nanoCAD (Нанософт, РФ). Полученные данные обработаны статистически с помощью программ «Statistica» (Version 10, StatSoft Inc., США.) и «Excel».

Результаты и их обсуждение

Анализ возрастных изменений антропометрических характеристик мужчин динамической группы при повторном обследовании позволил выявить статистически значимое увеличение всех параметров мозгового и лицевого отделов черепа мужчин в возрасте $22,7 \pm 0,6$ лет по сравнению с данными обследования этих же людей мужского пола в период юношеского

возраста (в возрасте $18,6 \pm 0,6$ лет) ($p < 0,05$). Следовательно, в переходном периоде от юношеского к зрелому возрасту у людей мужского пола продолжается рост мозгового и лицевого отделов черепа. Выявлено статистически значимое увеличение физиономической, полной морфологической высоты лица, верхней, средней, нижней глубины лица, длины альвеолярной дуги верхней челюсти, высоты тела нижней челюсти, длины проекции тела нижней челюсти у женщин динамической группы в возрасте $21,1 \pm 0,3$ лет по сравнению с данными обследования этих же женщин в период юношеского возраста ($p < 0,05$).

Заключение

Применение фотостата позволило ускорить процесс антропометрического исследования, сократив временные затраты в 1,63 раза. При этом непосредственно измерение параметров проводилось в отсутствие обследуемого, который принимал участие только в процессе фотографирования. Положительный эффект предлагаемой полезной модели состоит в том, что естественное и легко воспроизводимое при повторных обследованиях положение головы исследуемого, стабильное положение фотоаппарата относительно объекта фотосъемки, а также возможность производить серию фотограмм в фас и профиль, не меняя положения обследуемого, позволяют получить серию стандартизованных фотограмм, что делает возможным их последующий компьютерный анализ. Фотостат данной конструкции может быть использован при проведении антропометрического исследования в ортодонтии, ортопедической стоматологии и челюстно-лицевой хирургии. Применение предлагаемой полезной модели позволяет стандартизировать методику антропометрического измерения и сократить трудозатраты на проведение антропометрического исследования.

Список литературы

1. Кузьменко Е.В., Рубникович С.П., Усович А.К. *Антропометрические характеристики головы человека в зависимости от вида сформированного прикуса: монография*. Минск: БелМАПО. 2019:157.
2. Рубникович С.П., Кузьменко Е.В., Денисова Ю.Л., Богинский О.Ю., Андреева В.А., Тимчук Я.И. Распространенность зубочелюстных аномалий и деформаций среди населения школьного возраста г. Витебска. *Стоматолог*. 2018; № 4(31):39–43.
3. Рубникович С.П., Денисова Ю.Л., Кузьменко Е.В., Андреева В.А., Тимчук Я.И., Шейда А.В. Распространенность зубочелюстных аномалий и деформаций среди детей Брестской области, обратившихся за стоматологической помощью. *Стоматолог*. 2019; № 4(35):8–13.
4. Кузьменко Е.В., Усович А.К. Кефалометрические параметры и половые различия их роста у людей в возрасте 17–24 лет. *Морфология*. 2018; Т. 154(5):57–63.
5. Кузьменко Е.В., Усович А.К. Размеры лицевых параметров человека при различных вариантах окклюзии. *Известия высших учебных заведений. Поволжский регион. Медицинские науки*. 2018; №3(47):15–24.
6. Кузьменко Е.В. Взаимосвязь кефалометрических характеристик и видов прикуса у людей в возрасте 17–24 лет. *Стоматология. Эстетика. Инновации*. 2018; Т.2(1):24–33.
7. Kuzmenko Y.V., Usovich A.K. Dentofacial Anomalies of Patients with Narrow Type of Face. *Abstracts of The International Scientific Conference «Health-2014»*. Ashgabat; 2014: 372.
8. Фотостат : пат. 11076 Респ. Беларусь, МПК А 61В 6/14, А 61С 19/00. Усович А.К., Кузьменко Е.В.; заявитель Учреждение образования «Витебский государственный ордена Дружбы народов медицинский университет» (ВУ). – № u 20150393 ; заявл. 2015.11.19 ; опубл. 30.06.2016. Афіцыйны бюл. Нац. цэнтр інтэлектуал. уласнасці. 2016; №3:116–117.
9. Дедова Л.Н., Соломевич А.С., Денисова Ю.Л., Рубникович С.П., Денисов Л.А., Даревский В.И. Принципы современной физиотерапии у пациентов с болезнями периодонта. *Стоматолог*. 2018; № 3 (30):32–37.
10. Рубникович С.П., Корзун О.К., Денисова Ю.Л., Андреева В.А., Корзун А.А. Анализ распространенности стоматологических заболеваний, требующих ортопедического лечения, среди взрослого населения г. Гродно. *Стоматолог*. 2018; №3 (30):20–30.

УДК 616.31+616.8

ЭЛЕКТРИЧЕСКАЯ АКТИВНОСТЬ СОБСТВЕННО ЖЕВАТЕЛЬНЫХ И ВИСОЧНЫХ МЫШЦ У ПАЦИЕНТОВ С ПРИЗНАКАМИ БРУКСИЗМА

С.П. РУБНИКОВИЧ, А.С. ГРИЩЕНКОВ, Ю.Л. ДЕНИСОВА, Е.В. КУЗЬМЕНКО

Белорусский государственный медицинский университет (Минск, Республика Беларусь)

Аннотация. Анализ показателей средней амплитуды покоя для собственно жевательных и височных мышц у пациентов с признаками бруксизма в сравнении с пациентами контрольной группы позволил установить увеличение значений для собственно жевательных мышц на 53–56%, для височных – на 71–76%. Изучение максимальной амплитуды в покое для собственно жевательных и височных мышц не является характерным признаком для верификации нарушений мышечного аппарата, что согласуется с научными данными, представленными в актуальных литературных источниках.

Ключевые слова: бруксизм, бруксизм сна, бруксизм бодрствования, парафункции жевательных мышц, зубочелюстные аномалии и деформации, электромиография.

ELECTRICAL ACTIVITY OF THE MASTICATORY AND TEMPORAL MUSCLES IN PATIENTS WITH SIGNS OF BRUXISM

SERGEY P. RUBNIKOVICH, ARSENIY S. GRISHCHENKOV, YULIYA L. DENISOVA, ELENA
V. KUZMENKO

Belarusian State Medical University, Minsk, Belarus

Abstract. The analysis of the indicators of the average resting amplitude for the masticatory and temporal muscles in patients with signs of bruxism in comparison with patients of the control group allowed us to establish an increase in the values for the masticatory muscles by 53-56%, for the temporal muscles – by 71-76%. The study of the maximum amplitude at rest for the masticatory and temporal muscles is not a characteristic feature for the verification of disorders of the muscular apparatus, which is consistent with scientific data presented in current literary sources.

Keywords: bruxism, sleep bruxism, wakefulness bruxism, parafunctions of the masticatory muscles, dental anomalies and deformities, electromyography.

Введение

В настоящее время литературе представлена информация, указывающая на то, что бруксизм может отражать события, связанные с гипервозбудимостью моторных центров мозга и представлять собой не столько патофизиологическое, сколько обще физиологическое явление. В частности, для эпизодов проявления бруксизма характерны и реакции автономной нервной системы, определяемые по развитию тахикардии и роста симпатического тонуса, усиления дыхания и тонуса жевательных мышц, приводящего к разрушению зубов [1–5]. Это указывает на необходимость более комплексного физиологического подхода для выявления особенностей мозга людей с проявлениями бруксизма и иных состояний, связанных с чрезмерной моторной активностью.

Цель исследования – определить функциональное состояние мышц челюстно-лицевой области на основании данных электромиографии у стоматологических пациентов с признаками бруксизма.

Методика проведения эксперимента

Объектом исследования явились пациенты ключевой возрастной группы 35–44 года с клиническими признаками бруксизма, обратившиеся за стоматологической помощью. Сформированы 2 группы исследования – основная и контрольная. В основную группу

исследования включены 3 пациента с клиническими признаками бруксизма, обратившихся за стоматологической помощью. В контрольную группу включены 3 пациента, обратившихся за стоматологической помощью и не имевших клинических признаков бруксизма.

На базе кафедры физиологии человека и животных биологического факультета Белорусского государственного университета проведено электромиографическое исследование пациентам основной и контрольной групп. Для регистрации электромиограммы произвольного напряжения использовали компьютерную многофункциональную установку «НейроМВП-4» производства компании «Нейрософт» (Россия). Активность мышц регистрировалась билатерально. Методом интерференционной ЭМГ билатерально регистрировали электрическую активность собственно жевательных и височных мышц (*m. masseter* и *m. temporalis*). Биполярные поверхностные электроды располагали в проекции «брюшка» мышцы, межэлектродное расстояние выдерживали 2–2,5 см. Заземляющий электрод располагали на запястье. Алгоритм исследования включал следующие условия регистрации: 1) запись ЭМГ «покоя», 2) запись ЭМГ «покоя во время совершения вдоха», 3) запись ЭМГ всех мышц в условиях произвольного максимального напряжения, 4) запись ЭМГ мышц при произвольном напряжении в сочетании с совершением вдоха (рис.). Полученные данные обработаны статистически с помощью программ «Statistica» (Version 10, StatSoft Inc., США.) и «Excel».

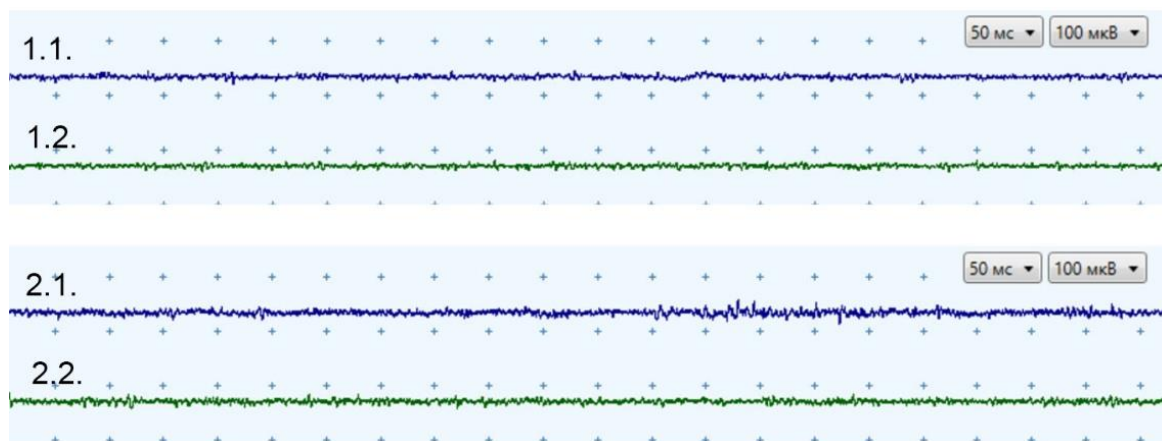


Рис. Пример записи электромиограммы *m. masseter*. 1 – «покой», 1.1. – справа, 1.2. – слева; 2 – «покой + вдох», 2.1. – справа, 2.2. – слева

Fig. An example of recording an electromyogram of *m. masseter*. 1 – "at rest", 1.1. – right, 1.2. – left; 2 – "at rest + inhale", 2.1. – right, 2.2. – left

Результаты и их обсуждение

В результате проведенного анализа электромиограмм установлено превышение значений средней амплитуды на 38,9–82,1% для правой и левой собственно жевательных мышц при произвольном напряжении у пациентов с клиническими признаками бруксизма в сравнении с пациентами контрольной группы. Превышение значений максимальной амплитуды при этом составило 76,4–175,5%. Установлено превышение значений средней амплитуды на 90,9–125,2% для правой и левой височных мышц при произвольном напряжении у пациентов с клиническими признаками бруксизма в сравнении с пациентами контрольной группы. Превышение значений максимальной амплитуды при этом составило 265,5–399,4%.

Анализ показателей средней амплитуды покоя для собственно жевательных и височных мышц у пациентов с признаками бруксизма в сравнении с пациентами контрольной группы позволил установить увеличение значений для собственно жевательных мышц на 53–56%, для височных – на 71–76%. Изучение максимальной амплитуды в покое для собственно жевательных и височных мышц не является характерным признаком для верификации нарушений мышечного аппарата, что согласуется с научными данными, представленными в актуальных литературных источниках. Полученные данные указывают на стойкое расстройство мышц челюстно-лицевой области, которое характеризуется выраженным отклонением

значений средней и максимальной амплитуд в покое и при произвольном напряжении, а также асимметрией амплитудно-частотных характеристик. Данные нарушения отрицательно влияют на работу жевательно-речевого аппарата, осложняя парафункциональную активность жевательных мышц расстройствами височно-нижнечелюстного сустава, заболеваниями периодонта, а также приводя к нарушению целостности зубного ряда, и его деформациям.

Заключение

Анализ данных биоэлектрической активности жевательных и височных мышц в покое и при произвольном напряжении после курса комплексной терапии указывает на выраженное снижение показателей биоэлектрической активности жевательных и височных мышц после курса комплексной терапии, и стремление этих показателей к подобным значениям пациентов контрольной группы. В ходе исследования отмечено, что выявленная асимметрия биоэлектрической активности височных мышц после курса терапии не определялась, однако сохранялась на тех же значениях в собственно жевательных мышцах, что обусловлено, сложностью симптомокомплекса, включающего бруксизм и расстройства жевательно-речевого аппарата, и требующего расширения терапевтических методов этиопатогенетической направленности.

В некоторых случаях определялась резистентность к методам физиотерапевтического воздействия, что обусловлено в первую очередь причинно-следственной связью, характеризующей появление симптома гипертонии жевательных мышц, основополагающим которого является воздействие различных стрессоров хронически. Поэтому эффективность применяемого комплекса методов лечения будет выше, в случаях с возможным использованием патогенетической терапии.

Список литературы

1. Chen M.K., Lowenstein F. Masticatory handicap, socioeconomic status and chronic conditions among adults. *J Am Dent Assoc.* 1984, vol. 109, pp. 916–918.
2. Costa Y.M., Porporatti A.L., Stuginski-Barbosa J., Bonjardim L.R., Speciali J.G., Rodrigues Conti P.C. Headache Attributed to Masticatory Myofascial Pain: Clinical Features and Management Outcomes. *Journal of Oral Facial Pain Headache*, 2015, vol. 29 (4), pp. 323–330.
3. Daniel H.C., Narewska J., Serpell M., Hoggart B., Johnson R., Rice A.S. Comparison of psychological and physical function in neuropathic pain and nociceptive pain: implications for cognitive behavioral pain management programs. *European Journal of Pain.* 2008, vol. 12 (6), pp. 731–74.
4. Greene C.S., Olson R.E., Laskin D.M. Psychological factors in the etiology, progression, and treatment of MPD syndrome. *Journal of the American Dental Association.* 1982, vol. 105, no. 3, pp. 443–448.
5. Glaros A.G., Williams K., Lausten L. The role of parafunctions, emotions and stress in predicting facial pain. *Journal of the American Dental Association.* 2005, vol. 136 (4), pp. 451–458.

УДК 004.85

ВНЕДРЕНИЕ ТЕХНОЛОГИИ ИСКУССТВЕННОГО ИНТЕЛЛЕКТА ДЛЯ АНАЛИЗА ДАННЫХ СПИРОМЕТРИИ

И.И. РЕВИНСКАЯ¹, С.К. ДИК¹, Е.Р. УГЛАНОВА¹, Г.Д.СИТНИК²

¹Белорусский государственный университет информатики и радиоэлектроники, Минск, Беларусь

²Белорусский государственный медицинский университет,

Пр. Дзержинского 83, Минск, 220083, Беларусь

Аннотация. Представлены результаты применения технологии искусственного интеллекта для диагностики легочных заболеваний, используя традиционный метод спирометрии, основанный на измерении с помощью спирометра объемных и скоростных показателей дыхания для диагностики астмы, хронической обструктивной болезни легких (ХОБЛ) и других легочных патологий. Рассмотрена возможность применения искусственного интеллекта для разработки интерактивных сценариев и адаптивных симуляций, при которых искусственный интеллект генерирует данные нормальных и патологических состояний, проверяет правильность диагностики и предоставляет обратную связь. Для решения данной задачи предложен подход с использованием двух нейросетей: генераторной сетью для создания реалистичных данных спирометрии и диагностической сетью для анализа этих данных и проверки постановки диагноза. Описаны основные этапы обучения нейросетей, включая сбор и обработку данных, прямой и обратный проходы, а также корректировка параметров для повышения точности моделей. Такой подход позволяет ИИ-системе генерировать высококачественные данные, которые могут быть использованы для совершенствования навыков постановки диагноза при подготовке профильных специалистов (врачей и среднего медперсонала), что делает учебный процесс интерактивным и тем самым более эффективным.

Ключевые слова: спирометрия, искусственный интеллект, нейросеть, медицинская диагностика, генерация данных, диагностика легочных заболеваний, образовательные технологии, симуляционные сценарии, алгоритмы анализа данных, биомедицинские данные.

APPLICATION OF ARTIFICIAL INTELLIGENCE TECHNOLOGY TO SPIROMETRY DATA ANALYSIS

I.I. REVINSKAYA¹, S.K. DZIK¹, E.R. UGLANOVA¹, G.D. SITNIK²

¹Belarusian State University of Informatics and Radioelectronics, Minsk, Belarus

²Belarusian State Medical University,

Avenue Dzerzhinsky 83, Minsk, 220083, Belarus

Abstract. The paper presents the results of applying artificial intelligence technology to diagnose pulmonary diseases using the traditional spirometry method based on measuring volume and speed indicators of breathing using a spirometer to diagnose asthma, chronic obstructive pulmonary disease (COPD) and other pulmonary pathologies. The possibility of using artificial intelligence to develop interactive scenarios and adaptive simulations is considered, in which artificial intelligence generates data on normal and pathological conditions, checks the correctness of the diagnosis and provides feedback. To solve this problem, an approach is proposed using two neural networks: a generator network for creating realistic spirometry data and a diagnostic network for analyzing this data and verifying the diagnosis. The main stages of training neural networks are described, including data collection and processing, forward and backward passes, and parameter adjustments to improve the accuracy of models. This approach allows the AI - system to generate high-quality data that can be used to improve diagnostic skills in the training of specialized specialists (doctors and nursing staff), making the learning process interactive and thus more effective.

Введение

Спирометрия - метод диагностики, который измеряет объем и скорость движения воздуха, который человек может вдохнуть и выдохнуть. Этот тест используется для оценки функции лёгких, помогая выявить такие заболевания, как астма, хроническая обструктивная болезнь (ХОБЛ) и другие отклонения дыхания.

Одним из способов применения технологий искусственного интеллекта в спирометрии является их внедрение в процесс обучения и совершенствования навыков постановки диагноза при подготовке профильных специалистов (врачей и среднего медперсонала), что делает учебный процесс интерактивным и эффективным.

Основная часть

Примером подобного внедрения может стать разработка комплекса симуляционных сценариев, включающих модели нормальных и патологических состояний, и анализ ответов обучаемого при оценке данных моделей состояний.

Оптимальным способом внедрения будет являться использование чат-бота со встроенным искусственным интеллектом, обученным специально под эту задачу. Данный бот будет включать следующие функции: ознакомление с теоретическим материалом, интерактивное руководство по использованию прибора (спирометра), некоторое количество обучающих сценариев, оценку полученных от обучаемого ответов и развернутую обратную связь по ним.

Классический процесс обучения нейросети состоит из шести этапов:

1. *Сбор и подготовка данных:* Нейросети предоставляется обучающая выборка, состоящая из примеров с известными входными данными и целевыми значениями (метками).
2. *Инициализация весов:* Сначала веса (параметры) нейронов назначаются случайными значениями, которые будут корректироваться по мере обучения.
3. *Прямой проход (feedforward):* Входные данные проходят через нейроны сети, каждый слой обрабатывает их, пока не будет сгенерирован выходной результат.
4. *Подсчет ошибки:* Сравнивается полученный результат с целевым значением, чтобы определить, насколько велика ошибка (разница между предсказанием и реальным значением).
5. *Обратное распространение ошибки (backpropagation):* Ошибка распространяется назад по сети, и веса корректируются так, чтобы минимизировать ошибку. Этот процесс обычно управляется алгоритмом оптимизации, например, градиентным спуском.
6. *Повторение процесса:* Процесс повторяется многократно (итерациями), пока ошибка не станет минимально возможной или не будет достигнуто заданное качество модели.

После завершения обучения нейросеть может применять полученные знания для обработки новых данных.

Для спирометрии выходными данными будут служить диагнозы, соответствующие каждому набору входных параметров. Для спирометрии входными параметрами будут являться: объем форсированного выдоха за 1 секунду (FEV1), форсированная жизненная емкость легких (FVC), отношение FEV1/FVC, пиковая скорость выдоха (PEF) и средний объем выдоха (FEF25-75%).

Чтобы обучить нейросеть генерировать входные данные для спирометрии и проверять правильность поставленного диагноза, можно использовать подход с двумя нейросетями: одна сеть будет генерировать реалистичные входные данные (параметры спирометрии), а другая – оценивать их и проверять корректность диагноза. Происходит такое обучение следующим образом:

1. *Сбор и подготовка данных* Включает сбор реальных наборов данных о пациентах, включающих входные параметры спирометрии и метки диагнозов, поставленных на основе этих данных (здоров, астма, ХОБЛ и т.д.).
2. *Обучение сети-генератора данных.* Модель генератора: обучение нейросети (например, вариационную автоэнкодерную сеть или GAN) генерировать реалистичные наборы параметров спирометрии, подстраиваясь под разные паттерны, характерные для заболеваний легких. Обратную связь генератор будет получать в соответствии с реалистичностью создаваемых данных, и корректировать свои параметры, чтобы создавать образцы, схожие с реальными данными.
3. *Обучение сети для проверки правильности диагноза.* Диагностическая модель обучается параллельно с генераторной сетью на исходных данных с метками, чтобы она могла ставить диагнозы по параметрам спирометрии. Ее тестирование проводится после того, как сеть обучится: она должна быть способна принимать параметры, сгенерированные первой сетью, и определять диагноз. Для этого используется подход классификации, где сеть обучается распознавать паттерны, характерные для различных заболеваний.

4. Проверка и корректировка генерации данных проводится путем сравнения диагнозов, которые диагностическая сеть ставит на основе сгенерированных данных, с предполагаемыми целевыми диагнозами. Постепенно проводится улучшение сети-генератора, пока она не начнет создавать такие параметры, которые будут наиболее приближены к реальным и которые диагностическая сеть интерпретирует правильно.

5. Оценка результатов и дообучение происходит на этапе тестирования, когда обе сети можно дообучить на новых данных, чтобы повысить точность генерации и классификации. Это происходит через сравнение предсказаний модели с известными метками, чтобы убедиться, что модели правильно работают как по генерации, так и по диагностике.

Такой подход позволит сети-генератору научиться создавать реалистичные данные для спирометрии, которые могут использоваться для проверки и отработки алгоритмов диагностики, что особенно полезно для медицинского и инженерного образования.

Заключение

Создание интерактивных симуляций и обучающих сценариев, где ИИ генерирует данные и оценивает действия обучаемого, позволяет глубже понять особенности диагностики легочных заболеваний и методику работы со спирометром. Применение двух нейросетей – для генерации параметров дыхания и для постановки диагноза – обеспечивает реалистичное воспроизведение клинических ситуаций и поддерживает эффективное обучение путем индивидуальной оценки ответов. Такой подход не только улучшает качество и доступность учебных ресурсов, но и способствует развитию профессиональных навыков в анализе биомедицинских данных. В дальнейшем расширение и усовершенствование ИИ-моделей для образовательных целей может сделать обучение более гибким и адаптивным, помогая обучаемым достигать высоких результатов и углублять знания в области диагностики заболеваний дыхательной системы.

Список литературы

1. Автобиография нейросети / Сост. М.Р. Брослав, О.А. Яблокова. – Москва : Издательство АСТ, 2023. – 224 с. : ил.
2. S. Abut, H. Okut, R. Zackula, and K. James Kallail, 'Deep Neural Networks and Applications in Medical Research', Artificial Intelligence. IntechOpen, May 29, 2024. doi: 10.5772/intechopen.112371.
3. Григорьев, А.С. Машинное обучение. Портфолио реальных проектов. – СПб.: Питер, 2023. – 496 с.: ил.
4. Penny W, Frost D. Neural Networks in Clinical Medicine. Medical Decision Making. 1996;16:386–98. 10.1177/0272989X9601600409

УДК 533.9.072

ОСОБЕННОСТИ ПРОЕКТИРОВАНИЯ ИЗМЕРИТЕЛЬНОГО МОДУЛЯ ИМПЛАНТИРУЕМОГО ДАТЧИКА ГЛЮКОЗЫ

А.Н. ОСИПОВ¹, С.А. МОРОЗ², И.А. МОРОЗ², М.П. БАТУРА¹, С.П. УРБАНОВИЧ¹

¹Белорусский государственный университет информатики и радиоэлектроники", г. Минск, Республика Беларусь, ²Производственное унитарное предприятие "ФреБор", г.Борисов Республика Беларусь

Аннотация. Представлены результаты исследования схемных решений для реализации измерительного модуля подкожного датчика глюкозы, основанного на флюоресценции индикаторного геля. Рассмотрены особенности ее проектирования.

Ключевые слова: имплантируемый датчик, измерение уровня глюкозы, трансимпедансный усилитель для фотодиода.

DESIGN FEATURES OF THE MEASURING MODULE OF THE IMPLANTABLE GLUCOSE SENSOR

A. OSIPOV¹, S. MOROZ², I. MOROZ², M. BATURA¹, S.URBANOVICH¹

¹Belarusian State University of Information and Radioelectronics, Minsk, Republic of Belarus, ²Production Unitary Enterprise "FreBor", Borisov, Republic of Belarus

Abstract. The results of the study of circuit solutions for the implementation of a glucose level meter based on the fluorescence of an indicator gel are presented. The features of its design are considered.

Keywords: implantable sensor, glucose measurement, transimpedance amplifier for photodiode.

Введение

Согласно данным Международной диабетической федерации, в мире насчитывается более 425 млн. пациентов с сахарным диабетом [1]. Динамика увеличения количества пациентов с сахарным диабетом в течение последних 5 лет составляет 5–8 % в год. Поддержание нормальной концентрации глюкозы в крови имеет решающее значение для предотвращения диабетических осложнений в сердце, почках, сетчатке и нервной системе. Технология непрерывного мониторинга глюкозы (НМГ) в режиме реального времени считается самым значительным прорывом в лечении диабета за последние годы. Одним из высокотехнологичных элементов системы НМГ является имплантируемый под кожу датчик, содержащий измерительный модуль. В данной работе рассматриваются вопросы проектирования измерительного модуля имплантируемого датчика на основе метода флюоресценции.

Архитектура измерительного модуля

При проектировании измерительного модуля необходимо учесть особенности его функционирования и эксплуатации:

1. Измерительный модуль реализован по схеме оптрона с управляемым каналом: среда между излучателем и фотоприемником (индикаторный гель) изменяет свои оптические свойства при внешних воздействиях (при изменении концентрации глюкозы в геле). Специфика данного измерителя состоит в том, что излучатель и фотоприемник работают на разных длинах волн. Возбуждение геля осуществляется на длине волны – равной 370-375 нм, а флюоресценция – на длине волны 500 нм. На данный момент отсутствуют серийно-выпускаемые оптроны с требуемыми характеристиками.

2. Применение датчика глюкозы предполагает его малоинвазивное введение (извлечение) в тело человека, что обуславливает минимизацию габаритов датчика и, соответственно, электронных модулей, из которых он состоит.

3. Конструкция оптрона (оптические оси излучателя и фотоприемника) должна быть встроена в конструкцию датчика глюкозы с учетом малых размеров и конструкции самого датчика глюкозы, геометрии индикаторного геля и т.д.

4. Малое энергопотребление ввиду беспроводной зарядки энергией и передачи данных между датчиком глюкозы и носимым блоком.

5. Обеспечение требуемой точности измерения глюкозы в течении длительного времени при ухудшении параметров оптопары в процессе эксплуатации, деградации геля под воздействием УФ излучения и температуры, наличии внешних помех.

На рис.1 представлена структурная схема имплантируемого датчика глюкозы.

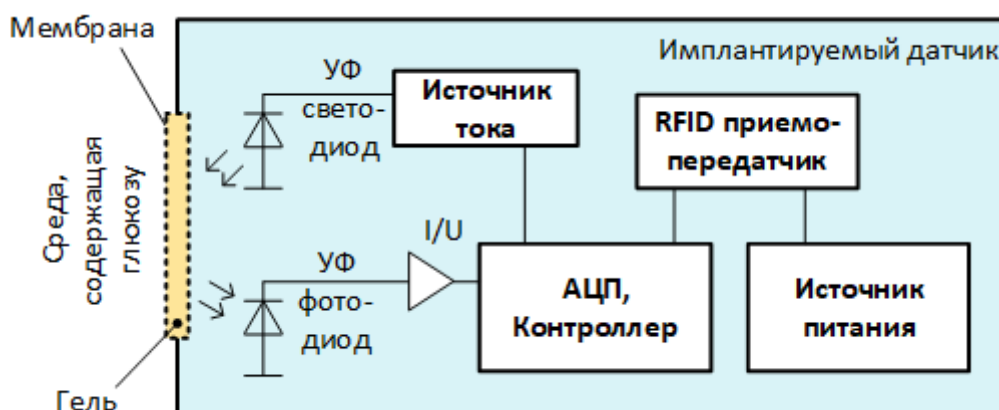


Рис. 1. Структурная схема имплантируемого датчика глюкозы, основанного на флюоресценции индикаторного геля

Имплантируемый датчик помещается под кожу организма. Герметичный корпус измерителя содержит окно, закрытое от внешней среды мембраной, беспрепятственно пропускающей молекулы глюкозы. За мембраной располагается слой индикаторного геля (на рисунке изображен желтым). С внутренней стороны прибора слой геля освещается ультрафиолетовым светодиодом. Под воздействием ультрафиолетового излучения с длиной волны 375 нм. в геле возникает флюоресценция с длиной волны 495..500 нм. [2], которая фиксируется фотодиодом, преобразуется I/U преобразователем в напряжение и преобразуется с помощью АЦП контроллера в цифровой код. Уровень флюоресцентного излучения геля, пропорционален уровню концентрации глюкозы, содержащейся в межклеточной жидкости. При проектировании измерительного модуля описываемого датчика следует рассмотреть и проанализировать шумовые и дестабилизирующие факторы устройств по цепочке УФ светодиод – гель – УФ фотодиод – I/U преобразователь – АЦП, рассматривая их в совокупности как единую электрооптическую систему. В данной работе проанализирован и рассмотрены два элемента этой цепочки – УФ фотодиод и U/I преобразователь (трансимпедансный усилитель). Используя данные предварительного расчета, был выбран фотодиод SFH213 и операционный усилитель MCP602T, так как они обладают достаточно низким уровнем шумов и необходимой полосой. При выборе фотодиода следует учитывать, что его размер кристалла должен быть минимальным для минимизации паразитной емкости.

Моделирование работы измерительного модуля

Схема устройства представлена на рис. 2.

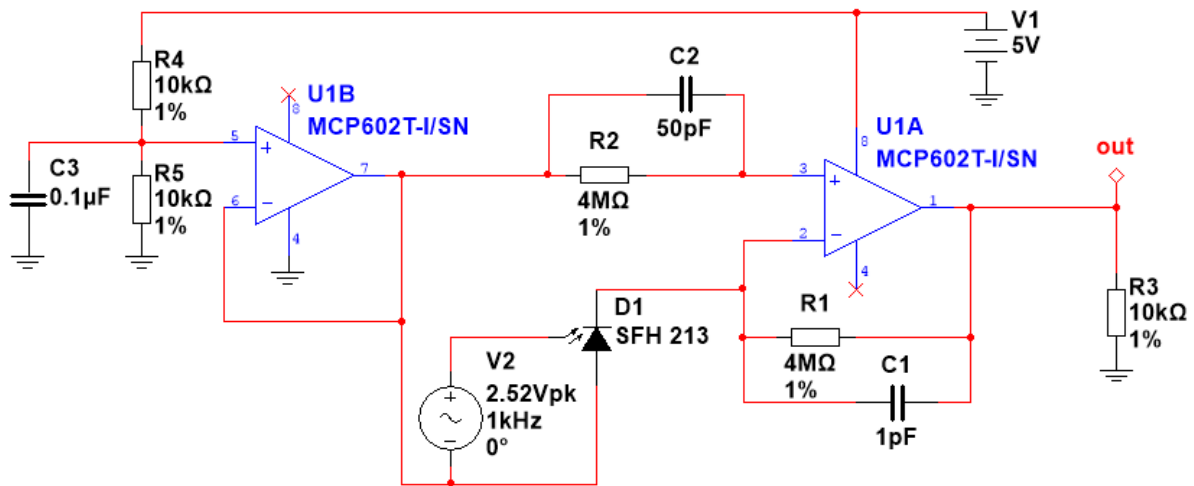
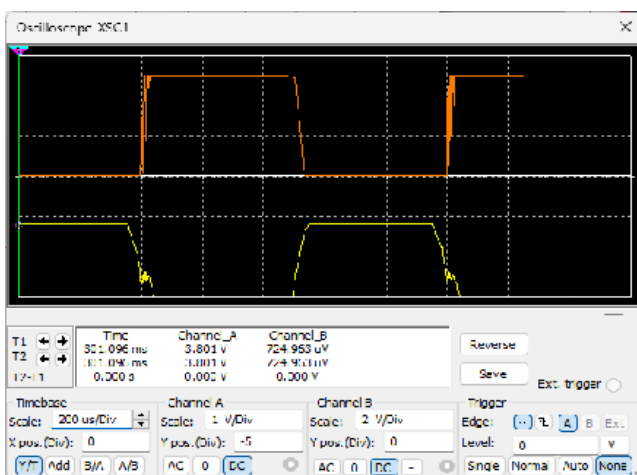


Рис. 2. Схема электрическая принципиальная фотодиода с услителем-преобразователем тока в напряжения измерительного модуля датчика глюкозы

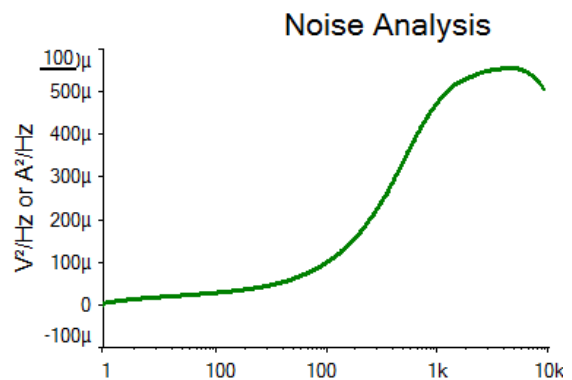
В схеме измерителя используется фотогенераторный режим работы фотодиода, что позволяет получить на входе АЦП линейную зависимость напряжения АЦП от уровня освещенности фотодиода, минимизировать шум Джонсона, устранить влияние шумовой составляющей, вызванной темновым током [3]. При увеличении частоты сигнала на входе усилителя рост шума обуславливается эффектом шумового усиления, который с некоторой частоты значительно превышает вклад прочих шумовых составляющих. Для его уменьшения следует выбирать фотодиод с минимальной паразитной емкостью. Моделирование схемы производилось в среде NI Multisim 14.3.

Результат моделирования

Результат моделирования схемы измерительного модуля представлен на рис. 3. На рис.3а изображен скриншот окна виртуального осциллографа с представлением сигналов на входе и выходе измерительного модуля. Зависимость интегральной плотности шумов от частоты представлена на рис.3б.



а



б

Рис. 3. Результаты моделирования схемы измерительного модуля датчика глюкозы.

Моделирование проводилось для напряжения 5В. Как видно из рис. 3б, интегральная плотность шумов, обусловленная преимущественно шумовым усилением, с увеличением частоты возрастает, но ближе границе рабочей полосы 1КГц начинается интенсивный спад.

Для практического подтверждения предварительного расчета и результатов моделирования был изготовлен макет вышеописанного преобразователя, фото которого представлено на рис. 4. Лабораторные испытания макета соответствовали результатам компьютерного моделирования.

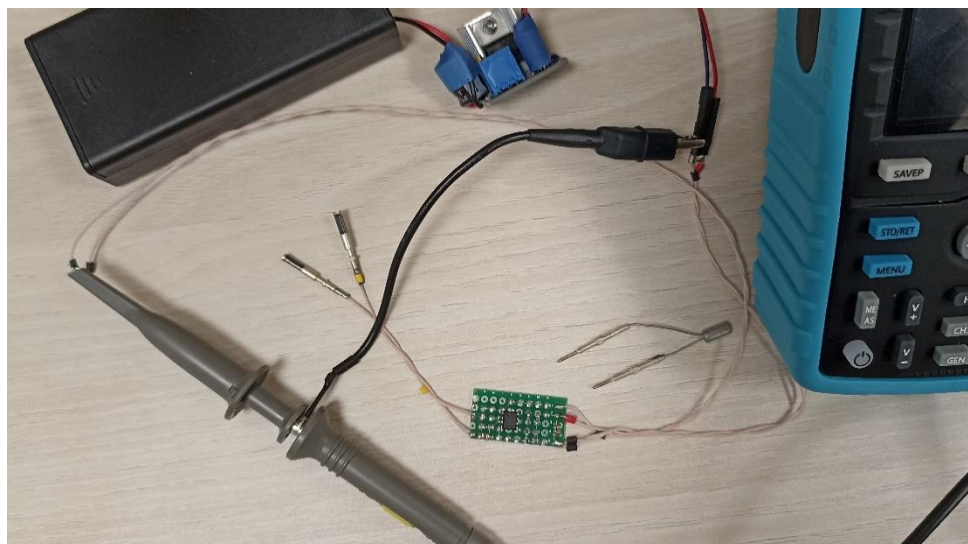


Рис. 4. Макет измерительного модуля датчика глюкозы.

Заключение

При проектировании измерительного модуля были учтены особенности его функционирования и эксплуатации: - работа оптрона с возбуждением на длине волны 375 нм и флуоресценцией на длине волны 500 нм., обеспечение требуемой точности измерения глюкозы в течении длительного времени при деградации оптрона и индикаторного геля, малое энергопотребление ввиду беспроводной зарядки энергией и передачи данных между датчиком глюкозы и носимым блоком, требования к конструкции и габаритам. В результате компьютерного моделирования и макетирования устройства выбрана схема на основе трансимпедансного усилителя, определены параметры элементов схемы, обеспечивающие заданные точность измерения глюкозы, уровень шумов и полосу частот преобразователя. Результаты могут быть использованы при разработке персонализированной системы непрерывного длительного мониторинга концентрации глюкозы на основе имплантируемого датчика глюкозы.

Список литературы

1. Zimmet, P. Global and societal implications of the diabetes epidemic / P. Zimmet, K.G.M.M. Alberti, S. Jonathan // Nature. - 2001. - Vol. 414. - P. 782- 788
2. Kondepati, V.R. Recent progress in analytical instrumentation for glycemic control in diabetic and critically ill patients / V.R. Kondepati, H.M. Heise // Anal. Bioanal. Chem. - 2007. - Vol. 388. - P. 545-563.
3. Филипп С., Хоббс Д. Усилители для фотодиодов на операционных усилителях. / Перевод: Иоффе Д. // Компоненты и Технологии – 2009г. – № 2 – С. 46-50.

УДК 616.831-009.7-02:616.831]-085.814.1

ЭТИОТРОПНАЯ РЕФЛЕКСОТЕРАПИЯ ЦЕФАЛГИЧЕСКОГО СИНДРОМА ЦЕРЕБРАЛЬНОГО ГЕНЕЗА

С.М. МАНКЕВИЧ, А.П. СИВАКОВ, Л.В. ПОДСАДЧИК, Т.И. ГРЕКОВА, О.И. ЖОЛНЕРОВИЧ

*Институт повышения квалификации и переподготовки кадров здравоохранения Белорусского
государственного медицинского университета
г. Минск, Республика Беларусь*

Аннотация. Цель работы – обосновать этиотропное применение методов рефлексотерапии (РТ) при цефалгическом синдроме различной этиологии. Объекты и методы. При регионарной церебральной ангиодистонии используют иглоукалывание точек сосудорегулирующего, седативного вегетативно действия, аурикулярных: 55, 19, 59, 100. Показана поверхностная РТ воротниковой зоны, вакуумный массаж, «Гуаша» массаж скребком, карбоксирефлексотерапия на точки и зоны скальпа, электроакупунктура импульсным биполярным током. При смешанных сосудистых механизмах (мигрень) используются тормозной и возбуждающий методы воздействия в соответствии с фазами ангиоспазма и вазодилатации. При цефалгии, обусловленной мышечным напряжением (неврозы), используют общие точки седативного действия в сочетании с терморефлексотерапией, методом поверхностного иглоукалывания, скальпоэлектроакупунктуры. При миофасциальном синдроме лечение цефалгии мышечного напряжения обусловлено сегментарно-релаксирующим эффектом РТ. Невралгическая и психалгическая цефалгия успешно лечится методами РТ по тормозной методике, направленной на погашение патологической доминанты, обусловленной дисфункцией центральной антиноцицептивной системы. Результаты. Эффективность РТ цефалгического синдрома с использованием этиотропной РТ составляет 65–68%. Заключение: выявление ведущей этиопатофизиологической составляющей в клинической картине цефалгии достоверно повышает терапевтическую эффективность рефлексотерапии.

Ключевые слова: цефалгия, этиотропная рефлексотерапия; мигрень; психалгия, патофизиологическая классификация.

ETIOTROPIC REFLEXOTHERAPY OF CEPHALOGIC SYNDROME OF CEREBRAL GENESIS

S.M. MANKEVICH, A.P. SIVAKOV, L.V. PODSADCHIK, T.I. GREKOVA,
O.I.ZHOLNEROVICH

Abstract. The aim of the work is to justify etiotropic application of of reflexotherapy (RT) methods with cephalgic syndrome of various etiologies. Objects and methods. In case of regional cerebral angiodistonia use acupuncture points: vasoregulatory, sedative action, auricular: 55,19,59,100. Shown surface RT of collar area, vacuum massage, Gouache, massage with a scraper, carboxyreflexotherapy on points and areas of the scal, electroacupuncture with pulsed bipolar current. With mixed vascular mechanisms (migraine) inhibitory and excitatory methods of influence are used according to phases of angiospasm and vasodilation. With cephalgia caused by muscle tension (neuroses), use general points of sedative action in combination with thermoreflexotherapy by the method of surface acupuncture, scalpoelectroacupuncture. With myofascial syndrome treatment of cephalgic muscle tension is due to segmental relaxation effect of RT. Neuralgic and psychalgic cephalgia is successfully treated by RT method according to the braking method aimed at the repayment of pathological dominance, caused by dysfunction of central antinociceptive system. Results. The effectiveness of RT of cephalgic syndrome with the use of an etiotropic RT is composed 65-85%. Conclusion: identification of the leading etiopathophysiological component in the clinical picture of cephalgia significantly increases the therapeutic effectiveness of reflexotherapy.

Keywords: cephalgia, etiotropic reflexotherapy, migraine, psychalgia, pathophysiological classification.

Введение

Цефалгический синдромокомплекс церебрального генеза выявляется при различных заболеваниях нервной системы и внутренних органов. Механизм формирования цефалгии обусловлен раздражением болевых рецепторов в коже, подкожной клетчатке, сухожильном шлеме, сосудах мягких покровов головы, надкостнице черепа, оболочках мозга, внутричерепных артериях, венах и венозных синусах, возникающим при различной патологии на фоне дисфункции антиноцицептивной системы. Растяжение или сдавление являются основными факторами, вызывающими раздражение рецепторов перечисленных структур. Патофизиологическая классификация цефалгии включает: сосудистую головную боль (ГБ) с проявлением спазма или дилатации артерий, недостаточности тонуса вен. Гб мышечного напряжения - на основе активации передачи импульса в нервно-мышечном синапсе, сегментарного механизма.[3] Ликвородинамическую ГБ - с повышением или понижением внутричерепного давления. Невралгическую ГБ - на основе генерализации очагов патологической активности в антиноцицептивной системе. Психалгическую ГБ - на основе дисфункции центральной антиноцицептивной системы при нарушении обмена моноаминов и эндогенных опиатов в ЦНС. Смешанную ГБ - при комбинации вышеперечисленных механизмов.

Теоретическая часть

Цель исследования: обосновать этиотропный подход в методах рефлексотерапии при цефалгии в зависимости от механизма ее формирования. Следует отметить, что особенность анальгезирующего действия рефлексотерапии заключается в повышении порога возбудимости болевых рецепторов, угнетении проведения болевых импульсов по афферентным путям, а также в активации центральной антиноцицептивной системы. Это обеспечивается нейрогуморальными сдвигами, нормализацией баланса медиаторов и модуляторов боли: серотонина, норадреналина и олигопептидов, в том числе эндогенных опиатов, эндорфинов и энкефалинов. Потенцирование анальгезии обеспечивается комбинированием и сочетанием различных методов РТ.

Материалы и методы

У пациентов с регионарной церебральной ангиодистонией с гипертонусом артерий используют точки, влияющие на регуляцию сосудистого тонуса, седативного действия: E36, G10, G11, MC6, C3, C5, F8, F3, P7, вегетативно-активные точки воротниковой зоны, аурикулярные: 55, 19, 59, 100. Применяется II вариант тормозного метода, с дополнительными манипуляциями иглой, в виде вращения, потряхивания, большой амплитудой раскачивания при извлечении. Показана поверхностная РТ воротниковой зоны, релаксирующий массаж, карбоксирефлексотерапия на точки и зоны скальпа.

Ангиодистония с преобладанием низкого тонуса артерий может иметь фоном гипосимпатикотонию или гиперпарасимпатикотонию. В первом случае лечение направлено на активацию симпатической системы: возбуждающим методом действуют на точки R12, G14, F3, TR3, TR5 и тормозным методом – на точку TR20. Эффективна стимуляционная импульсная электроакупунктура биполярным током с частотой в диапазоне 1-15 Гц в зону проекции верхнешейных симпатических ганглиев. Если регионарная церебральная гипотония сопровождается выраженной общей астенизацией, то возбуждающее действие осуществляют на MC7, MC8, VG14, VI8, E36, R6, а при доминировании невротических жалоб показано мягкое тормозное воздействие на точки E36, C3, C7, IG3. Если артериальная гипотония обусловлена гиперпарасимпатикотонией, тормозят точки V10, V13, VG12, VB34. При аурикулотерапии с той же целью используют точки коры, гипоталамуса, надпочечников, симпатическую точку. При электроакупунктуре воздействуют импульсным биполярным током, используя частоту 100 Гц для подавления гиперпарасимпатикотонии.[1]

При гипотонии вентонизируют точки меридианов MC, TR, VB, воздействие на которые избирательно регулирует венозный отток: MC5, MC6, TR5, TR18, V10, VB12, V2, P7, а при

аурикулоakupунктуре - точки почек, надпочечников, затылка, TR и симпатическую. Показан вакуумный массаж воротниковой зоны, «Гуаша» массаж скребком.

Цефалгия, обусловленная смешанными сосудистыми механизмами: *мигрень*. В приступном периоде на стадии спазма интракраниальных артерий начинают с тормозного воздействия на общеукрепляющие точки меридианов желудка (E36, E40), толстой кишки (GI4, GI 18), перикарда (MC6), селезенки (RP6, RP9), точки седативного действия (C5, C7, V60, V62). Эффект повышается при локальном тормозном укалывании точек головы – в зависимости от локализации боли: в лобно-височной области — VB3,4,5,6, VB14, E8, TR5, TR23, E36, E41; в височно-теменной области — VB2, VB17, TR22, VB40, V2, V64, VG22, E8; в затылочной области— VG14, VG20, VB20, VII, IG14. В фазе ангиодилатации, когда большая масса крови устремляется в поверхностную височную артерию, вызывая ее расширение, растягивание, перифокальный отек и пульсацию метод терапевтического раздражения иглой меняется на тонизирующий, особенно в локальных точках головы. При классической (офтальмической) мигрени – VB20, VG16; ассоциированной - VG22, VB16, VB17, VG21, V6; вестибулярной — TR17, TR21, IG19, V11, VB20; мозжечковой — VG17, VB20; кардиальной — C5, C7, MC6, V15, V62; «пучковой» — GI11, E36, TR23, VB14, E2, E8, PC1; «шейной» – VB20; VB12, VG14, V11, VG20; при лицевой – GI19, E6, E2, VB1, PC1, TR22.

Электропунктура или электроakupунктура избирательно потенцирует аналгезию, применяется импульсный биполярный ток с формой импульса «спайк волна» по тормозной или тонизирующей методике в соответствии с типом ангиодистонии. В межприступном периоде эффективна карбоксирефлексотерапия, способствуя профилактике приступов мигрени, их урежению за счет влияния на ангиодистонический синдромокомплекс.

При цефалгии, обусловленной преимущественно мышечным напряжением, рефлексотерапия определяется природой основного заболевания, которое разным путем приводит к напряжению мышц головы. Неврозы требуют включения в программу лечения общих точек седативного действия: E36, VB20, C7, C3, V43, GI10. Пользуются II вариантами укрепляющего, гармонизирующего и тормозного методов. В случае преобладания астении, быстрой психической истощаемости, показано тонизирующее воздействие на VG14, VB4, VB41, GI4 в сочетании с вариантами терморефлексотерапии «ЦЗЮ», поверхностного иглоукалывания, скальпоэлектроakupунктуры.

При шейном остеохондрозе, миофасциальном синдроме лечение головной боли мышечного напряжения обусловлено сегментарно-релаксирующим эффектом рефлексотерапии [2]. Воздействуют на аналгезирующие системные точки: V60, V62, E36, GI4, CI10, сегментарные точки воротниковой зоны, триггерные точки. Применяют I и II варианты тормозного метода в сочетании с аурикулотерапией шейного отдела позвоночника, затылка, симпатической, шень-мэнь. Лечение дополняют пролонгированной микроиглотерапией на точки воротниковой зоны, паравертебральным вакуумным массажем.

Невралгическая головная боль, как вариант поражения вегетативно-чувствительных нервов (тройничного, затылочных) успешно лечится РТ по тормозной методике. РТ применяют дифференцированно, т. е. в момент приступа боли и вне приступа. Приоритет отдается точкам общего действия седативной, анальгезирующей направленности вегетативно-активным точкам шейно-воротниковой зоны и местным в сочетании с точками ушной раковины в зонах проекции тройничного нерва, шейного отдела позвоночника. Во избежание воздействия в локусы курковых точек используется правило «малого и большого» укола.

При психалгии, включая состояния предстартового нервно-мышечного напряжения у спортсменов, рефлексотерапия цефалгии напряжения направлена на погашение патологической доминанты, которая обусловлена дисфункцией центральной антиноцицептивной системы при нарушении обмена моноаминов и эндогенных опиатов в центральной нервной системе. Предпочтителен метод классического иглоукалывания в дистальные точки на кистях и стопах. Воздействие слабое (II вариант возбуждающего метода), экспозиция 15 мин. Целесообразны сочетания симметричных точек в области проекции боли (1–2 пары), аурикулярные точки - в зоне противокоселка и трехсторонней ямки, скальпоэлектроakupунктура зоны MS5 (корковая проекция лимбикоретикулярного комплекса) импульсным биполярным током «спайк-волна». Оптимизацию лечения обеспечивает методика одновременного сочетания сеанса суггестивной психотерапии и РТ.

Результаты и их обсуждение

По нашим наблюдениям эффективность рефлексотерапии цефалгического синдрома с использованием дифференцированных методик этиопатогенетической направленности составляет 65- 68%, что коррелирует с данными большинства авторов, указывающих на улучшение в 55—65% случаев, причем эффективность достоверно выше, чем в группах без применения РТ

Заключение

Этиотропное использование рефлексотерапии при цефалгическом синдроме церебрального генеза, подбор и сочетание точек акупунктуры, сила терапевтического раздражения, комбинирование и сочетание методов РТ должны базироваться на знании механизмов формирования цефалгического синдромакомплекса, выявлении ведущей патофизиологической составляющей в клинической картине заболевания, что достоверно повышает терапевтическую эффективность РТ и предупреждает возможные рецидивы.

Список литературы

1. Рефлексотерапия головной боли: учеб.-метод. пособие / С.М. Манкевич и др. – Минск: БелМАПО, 2021. – 16 с.
2. Рефлексотерапия невротических (соматоформных) расстройств [Текст]: учеб.-метод. пособие / С. М. Манкевич [и др.] ; Белорус. мед. акад. последиплом. образования. – Минск : БелМАПО, 2019. – 18 с.
3. Шток В.Н. Головная боль. – М.: Медицина, 1987. – 303 с.

УДК 004.5, 616.8

МОБИЛЬНОЕ ПРИЛОЖЕНИЕ ДЛЯ ОБЪЕКТИВИЗАЦИЯ БОЛЕВЫХ СИНДРОМОВ ПРИ ПОЯСНИЧНО-КРЕСТЦОВЫХ РАДИКУЛОПАТИЯХ И СИНДРОМЕ ЗАПЯСТНОГО КАНАЛА

М.В. ДАВЫДОВ¹, В.И. ХОДУЛЕВ², К.Е. РОГАЛЬСКИЙ¹, О.В. КОБЫЛКО³,
Т.В. ГРИГОРОВИЧ², Н.С. ДАВЫДОВА¹

¹Учреждение образования Белорусский государственный университет информатики и
радиоэлектроники, Минск, Беларусь

²Государственное учреждение «Республиканский научно-практический центр неврологии и
нейрохирургии» Министерства здравоохранения Республики Беларусь, Минск, Беларусь

³Гомельская областная клиническая больница, Гомель, Беларусь

Аннотация. Данная статья посвящена вопросу объективизации оценки параметров болевого синдрома. В статье описаны различные виды болевых синдромов, а также способы их оценки на основе использования шкал и опросников. Приводится описание разработанного мобильного приложения для отслеживания параметров болевого синдрома, которое позволяет упростить и ускорить процесс оценки болевого синдрома, а также дает возможность сформировать отчет для лечащего врача. В приложении реализованы 2 вида тестов: Мак-Гилловский болевой опросник, который позволяет получить детальную информацию о болевых ощущениях пациента, включая интенсивность, характер и длительность боли, а также тест DN4 (Douleur Neuropathique en 4 Questions), который направлен на идентификацию нейропатической боли и различение ее от других видов боли. В статье описаны дополнительные функции приложения: возможность формирования отчетов в формате .xlsx, а также функция отправки данных по электронной почте.

Ключевые слова: шкалы, опросники, оценка боли, радикулопатия, синдром запястного канала, мобильное приложение

MOBILE APPLICATION FOR OBJECTIVIZATION OF PAIN SYNDROMES IN LUMBOSACRAL RADICULOPATHIES AND CARPAL TUNNEL SYNDROME

MAKSIM V. DAVYDOV¹, VASILY I. KHODULEV², KONSTANTIN. E. ROGALSKY¹,
ALEH V. KABYLKA³, TATSIANA V. HRYHAROVICH², N.S. DAVYDOVA¹

¹Belarusian State University of Informatics and Radioelectronics, Minsk, Belarus

²Republican Research and Practical Center of Neurology and Neurosurgery, Minsk, Belarus

³Gomel Regional Clinical Hospital, Gomel, Belarus

Abstract. This paper is focused on the issue of objectivizing the assessment of pain syndrome parameters. The article describes different types of pain syndromes, as well as ways of their assessment based on the use of scales and questionnaires. It describes the mobile application developed for tracking pain syndrome parameters, which allows to simplify and speed up the process of pain syndrome assessment, as well as provides an opportunity to generate a report for the attending physician. The application implements 2 types of tests: the McGill Pain Questionnaire, which allows to obtain detailed information about the patient's pain sensations, including the intensity, nature and duration of pain, and the DN4 test, which is aimed at identifying neuropathic pain and distinguishing it from other types of pain. The article describes additional features of the application: the ability to generate reports in .xlsx format, as well as the function of sending data by e-mail.

Keywords: scales, questionnaires, pain assessment, radiculopathy, carpal tunnel syndrome, mobile application

Введение

Боль – понятие клинически и патогенетически сложное и неоднородное. По определению Международной ассоциации по изучению боли (The International Association for the Study of Pain (IASP)) боль – это неприятное сенсорное и эмоциональное переживание, связанное с действительным или возможным повреждением тканей или описываемое в

терминах такого повреждения. Согласно патофизиологической классификации, боль классифицируют на ноцицептивную, нейропатическую (невропатическая) и ноципластическую (дисфункциональную). Ноцицептивная боль возникает при повреждении тканей и является следствием активации соответствующих ноцицепторов. Она может быть соматической или висцеральной. Нейропатическая боль возникает вследствие прямого повреждения или заболевания соматосенсорной нервной системы. Она подразделяется на периферическую и центральную нейропатическую боль, как следствие повреждения или заболевания, затрагивающего периферический или центральный отдел соматосенсорной системы соответственно. Ноципластическая или дисфункциональная боль – это боль, которая не имеет этиопатогенетических признаков, характерных для невропатической или ноцицептивной боли, т.е. её нельзя объяснить только соматическими заболеваниями или повреждением структур соматосенсорной нервной системы [1].

Опросники и шкалы играют ключевую роль в медицине, особенно при оценке болевых синдромов в неврологии. Поскольку описание боли носит субъективный характер, опросники и шкалы помогают объективизировать и стандартизировать субъективные ощущения пациента, что важно для точной диагностики, динамики восстановления поврежденной функции и эффективного лечения. Достоверная и надежная оценка боли необходима как для клинических исследований, так и для эффективного управления болью. По рекомендации ВОЗ, для оценки болевого синдрома необходимо использовать сочетание нескольких опросников или шкал [2].

Для достижения наибольшей эффективности оценка болевого синдрома должна происходить непосредственно во время приступа – это уменьшает субъективность оценки, позволяет сделать сравнительный анализ параметров болевого синдрома при назначении лечения. Однако подавляющее число пациентов не может держать в постоянной готовности (в том числе и ночью) несколько документов, в которые, в случае возникновения болевого синдрома необходимо вносить данные. Для повышения степени автоматизации данного процесса было создано «Мобильное приложение для отслеживания параметров болевого синдрома», которое позволяет быстро зафиксировать параметры болевого синдрома, и может сформировать отчет для лечащего врача.

Невропатическая боль

Невропатическая боль классифицируется как одна из самых сильных болей, о которых сообщают пациенты с хронической болью. По оценкам, у 1 из 10 пациентов с хронической болью развивается невропатическая боль, в зависимости от исследования популяции, а распространенность может достигать 51,9 % у пациентов, находящихся на лечении в клинике хронической боли. Данные свидетельствуют о том, что невропатическая боль влияет как на физическое, так и на эмоциональное состояние пациентов. Таким образом, этот тип боли снижает качество жизни пациентов и приводит к негативному взаимодействию с обществом в целом. Так как невропатическая боль связана с поражением или заболеванием соматосенсорного пути, то она приводит к изменениям, наблюдаемым в периферической и центральной нервной системе (гипералгезия или аллодиния). Распространенными симптомами, связанными с невропатической болью, являются следующие характеристики боли: жгучая, зудящая, покалывание, болезненный холод, болезненность от прикосновения, онемение и прострелы [3].

Было разработано множество инструментов для различных типов и подтипов хронических болевых состояний с целью оценки количественных и качественных аспектов боли и ее влияния на функцию: вербальная рейтинговая шкала, числовая рейтинговая шкала, визуально-аналоговая шкала боли, Мак-Гилловский болевой опросник, сокращенная версия Мак-Гилловского болевого опросника, Бостонский опросник синдрома запястного канала, LANSS (The Leeds Assessment of Neuropathic Symptoms and Signs), опросник невропатической боли (Neuropathic Pain Questionnaire), Douleur Neuropathique 4 «DN4», ID pain и PainDETECT. Эти инструменты были проверены и адаптированы на разных языках в разных странах. Длинный список опубликованных инструментов показывает, что оценка боли продолжает оставаться сложной задачей. Поскольку боль является таким субъективным, личным и частным опытом,

оценка боли у пациентов, с которыми мы не можем хорошо общаться, затруднена, особенно у пациентов, страдающих когнитивными нарушениями и деменцией [4].

Радикулопатия

Боль обычно является основной жалобой пациентов с проблемами спины, поэтому оценка боли является основополагающим требованием при оценке результатов в неврологии и хирургии позвоночника. Интенсивность боли, связанная с болью нетрудоспособность, продолжительность боли и болевое воздействие являются аспектами, которые определяют боль и ее последствия. Для каждого из этих аспектов существуют различные инструменты оценки, которые обсуждаются с точки зрения преимуществ и недостатков. Факторы риска развития хронической боли были основной темой в исследованиях боли за последние два десятилетия. Стало понятно, что психологические и психосоциальные факторы могут существенно влиять на восприятие боли у пациентов с хронической болью и, таким образом, могут влиять на результат хирургического вмешательства. Радикулопатия – это патологический процесс на уровне спинномозговых корешков, возникающий в результате механического и химического повреждения и проявляющийся болью, чувствительными и двигательными нарушениями в соответствующих дерматоме и миотоме, снижением или утратой соответствующих рефлексов. Механическое повреждение корешка происходит при его раздражении, сдавлении, растяжении или трении. Химическое раздражение возникает в ответ на ишемию корешков, сосудистый стаз или воздействие воспалительных компонентов, высвобождаемых при повреждении тканей. Наиболее распространенными причинами радикулопатии являются дегенеративное заболевание дисков, остеофиты и стеноз бокового кармана [5].

Синдром запястного канала

Боль и онемение в кисти являются первыми симптомами синдрома запястного канала. Синдром запястного канала или синдром карпального канала – это компрессионная невропатия срединного нерва на уровне запястного канала, проявляющийся болью, чувствительными и двигательными нарушениями в кисти. Этот синдром является самым распространенным в мире компрессионной невропатией. Синдром карпального канала вызывает значительное страдание пациента и высокую стоимость медицинского обслуживания, а его этиология остается в основном неясной и поэтому он считается идиопатическим. Распространенность синдрома запястного канала в Великобритании составляет 7-16% и на его долю приходится 90% всех компрессионных невропатий. Экономические последствия включают как прямые финансовые последствия ведения пациента, так и косвенные расходы из-за невыхода на работу. В США приблизительно 2,7 миллионов врачебных консультаций в год связано с пациентами, жалующимися на симптомы со стороны пальцев, кисти или запястья, а хирургической декомпрессии требуется от 400 000-500 000 пациентам, что эквивалентно экономической стоимости более 2 миллиардов долларов в год. Среднее количество дней невыхода на работу из-за синдрома запястного канала было самым высоким (27 дней) по сравнению с другими серьезными болезнями. Это составляет тяжелое бремя для Национальных служб здравоохранения всех стран по оказанию помощи пациентам с синдромом запястного канала в виде времени приема врача, постановки диагноза, консервативного ведения пациента, а также вариантов лечения [6–8].

Интерфейс и основной функционал мобильного приложения для отслеживания параметров болевого синдрома

Анализ требуемого функционала позволил выделить несколько основных этапов работы приложения: **запись данных**: когда начинается приступ боли, пользователь открывает приложение и записывает интенсивность боли, возможные симптомы (например, тошноту, светобоязнь), время начала приступа и иные детали. **Учет лечения**: пользователь также вносит информацию о принятых лекарствах или других мерах, которые он применил для облегчения симптомов. **Отправка отчета лечащему врачу**: по окончании приступа, пользователь может

отправить этот отчет врачу через приложение. **Анализ данных:** лечащий врач на основе полученных данных о приступах может проанализировать провоцирующие факторы, интенсивность приступов, а также эффективность лечения.

При создании приложения использован язык программирования JavaScript, а также комбинация ряда инструментов: React Native, XLSX, react-native-fs, react-native-mail и др.

Для исключения доступа к персональным данным посторонних лиц интерфейс пользователя включает этап авторизации.

Раздел "Мои данные" в приложении для отслеживания параметров болевого порога представляет собой удобный инструмент для пользователей, позволяющий им управлять и просматривать все свои данные о болевых состояниях (рисунок 1, б). Данный раздел предоставляет пользователю список всех болевых синдромов, которые он ранее описывал в приложении; каждая запись о боли содержит информацию о дате выбора, типе боли, ее интенсивности, локализации и других основных параметрах.

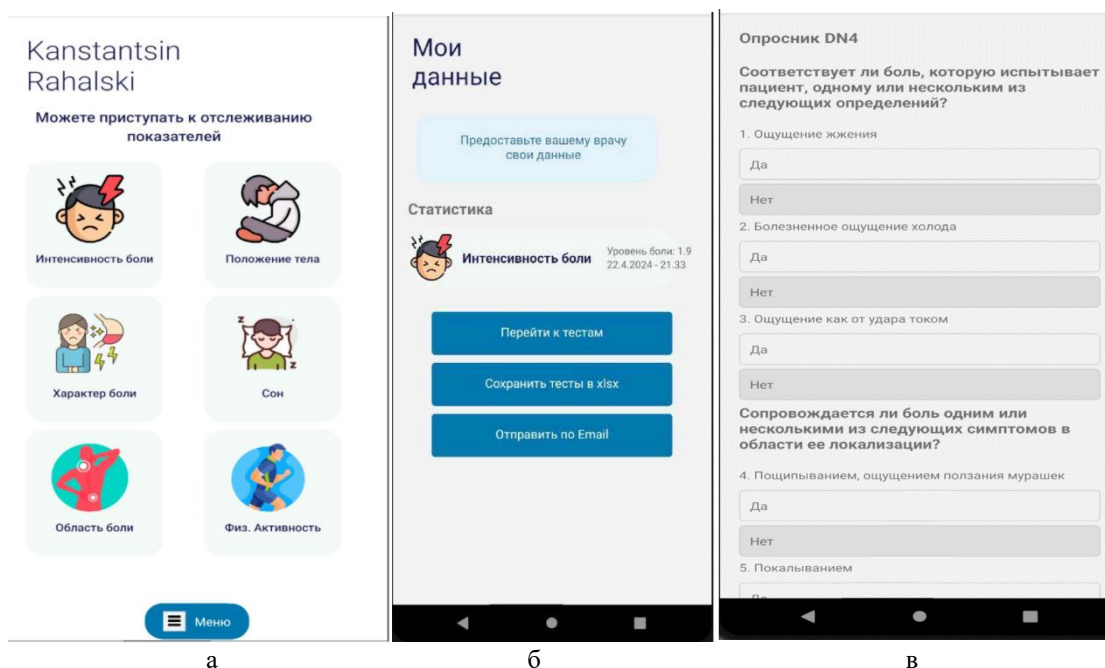


Рис.1. Интерфейс приложения: а – окно отслеживания показателей боли, б – интерфейс раздела «Мои данные», в – окно опросника

Приложение позволяет управлять данными: пользователь может добавлять новые записи о боли, редактировать существующие данные или удалять записи, которые больше не нужны, и, таким образом, поддерживать актуальность информации в приложении.

В приложении были реализованы Мак-Гилловский болевой опросник, который позволяет получить детальную информацию о болевых ощущениях пациента, включая интенсивность, характер и длительность боли [9], а также тест DN4 (Douleur Neuropathique en 4 Questions), который направлен на идентификацию нейропатической боли и различение ее от других видов боли [3].

При проектировании приложения перед разработчиками были решены следующие задачи:

– Выгрузка файлов в расширении .xlsx: формат является универсальным и позволяет анализировать отчеты которые отправляет пользователь на рабочем компьютере лечащего врача;

– Реализация функции отправки данных по электронной почте, которая позволяет автоматически прикрепить нужный файл к письму, заполняет описание о пациенте;

– Для хранения данных разработана база данных, что позволяет обеспечить конфиденциальность данных пользователя, а также решает проблему с хранением данных о пользователе.

Заключение

Таким образом, использование мобильного приложения для автоматизации работы пациента со шкалами и опросниками позволяет значительно упростить, ускорить и стандартизировать диагностический процесс, оценку результатов лечения и реабилитации, обработку статистических данных. Приложение было разработано при содействии специалистов Республиканского научно-практического центра неврологии и нейрохирургии в рамках дипломного проектирования по специальности «Медицинская электроника» студентом Белорусского государственного университета информатики и радиоэлектроники К.Е. Рогальским. В настоящее время первая версия приложения проходит апробацию в учреждениях здравоохранения Республики Беларусь.

Список литературы

1. Ноципластическая боль – новый дескриптор или упрощенный взгляд на проблему боли? / М.Л. Кукушкин, Н.Н. Яхно, М.В. Чурюканов [и др.] // Российский журнал боли. – 2018. – Т.56, №2. – С.269–270.
2. Опыт использования опросников для оценки болевого синдрома у больных с радикулопатией поясничной локализации / К.О. Кузьминов, М.А. Бахтадзе, Д.А. Болотов [и др.] // Мануальная терапия. – 2014. – Т.53, №1. – С.11–16.
3. Fagbohun, T.R. Systematic review on the psychometric, reliability and validity properties of translated neuropathic pain screening tools (DN4, LANSS and PDQ) 1 January 2005 – 19 July 2019 / T.R. Fagbohun // International Journal of Medicine and Medical Research. – 2021. – Т.7, №1. – С.51–67.
4. Assessment of pain / H. Breivik, P.C. Borchgrevink, S.M. Allen [et al.] // British Journal of Anaesthesia. – 2008. – Vol. 101, №1. – P.17–24.
5. Lipetz, J.S. Pathophysiology of inflammatory, degenerative, and compressive radiculopathies / J.S. Lipetz // Phys Med Rehabil Clin N Am. – 2002. – Т.13, №3. – С.439–449.
6. Is there Light at the End of the Tunnel? Controversies in the Diagnosis and Management of Carpal Tunnel Syndrome / M.S. Prime, J. Palmer, W.S. Khan, N.J. Goddard // Hand. – 2010. – Vol. 5, №4. – P.354–360.
7. A handy review of carpal tunnel syndrome: From anatomy to diagnosis and treatment / M. Ghasemi-Rad, E. Nosair, A. Vegh [et al.] // World journal of radiology. – 2014. – Vol. 6, №6. – P.284–300.
8. Aroori, S. Carpal tunnel syndrome / S. Aroori, R.A.J. Spence // Ulster Medical J. – 2008. – Vol. 77, №1. – P.6–17.
9. Boureau F., Luu M., Doubrère J. F. Comparative study of the validity of four French McGill Pain Questionnaire (MPQ) versions // Pain. – 1992. – Т. 50. – №. 1. – С. 59-65.

УДК 615.844.4: 615.471

АППАРАТНОЕ ОБЕСПЕЧЕНИЕ ДЛЯ ПРИМЕНЕНИЯ ЭЛЕКТРОПУНКТУРЫ В КЛИНИЧЕСКОЙ ПРАКТИКЕ

М.В. ДАВЫДОВ¹, А.П. СИВАКОВ², В.С. ШЕКУНОВ¹, Н.С. ДАВЫДОВА¹

¹Учреждение образования Белорусский государственный университет информатики и радиоэлектроники, Минск, Беларусь

²Учреждение образования Белорусский государственный медицинский университет, Минск, Беларусь

Аннотация. В статье приведены сведения о развитии методов электроакупунктурной терапии, определены основные параметры стимулирующих токов. Описана структура аппаратного обеспечения для применения электропунктуры в клинической практике, определен перечень технических требований к разрабатываемому устройству.

Ключевые слова: электропунктура, точки акупунктуры, чрескожная электростимуляция, аппарат электропунктуры, параметры стимулирующих токов.

DEVICE FOR THE APPLICATION OF ELECTROACUPUNCTURE IN CLINICAL PRACTICE

M.V. DAVYDOV¹, SIVAKOU A.P.², V.S. SHEKUNOV¹, N.S. DAVYDOVA¹

¹Belarusian State University of Informatics and Radioelectronics, Minsk, Belarus

²Belarusian State Medical University, Minsk, Belarus

Abstract. The article presents information about the development of electroacupuncture therapy methods, defines the main parameters of stimulating currents. The structure of hardware for application of electropuncture in clinical practice is described, the list of technical requirements to the developed device is defined.

Keywords: electroacupuncture, acupuncture points, percutaneous electrical stimulation, electroacupuncture apparatus, parameters of stimulating currents.

Особенности применения электропунктуры в медицинской практике

Современные тенденции развития немедикаментозных методов лечения свидетельствуют о том, что важное значение в эффектах акупунктуры могут иметь различные способы и методы воздействия физическими факторами в акупунктурные точки (В.С. Улащик, 1989; Y. Wong et. al., 1984; M.W. Tulder et al., 2000). Применение физиоакупунктуры в зависимости от особенностей клинического синдрома может обеспечивать более направленный терапевтический эффект. С такой точки зрения особенности действия физиоакупунктуры освещены в современной литературе явно недостаточно.

В сравнении с классической акупунктурой воздействие в точки акупунктуры электрическим током достаточно «молодое» направление современной акупунктуры и насчитывает около 200 лет. К одному из первых упоминаний в России об использовании электрического тока для воздействия в точки акупунктуры следует отнести сообщение П. Чаруковского в «Военно-медицинском журнале» (1828), в котором упоминается об исследованиях Клоке и Балкера, которые одними из первых отметили гальванические явления при введении игл, а англичанин Перкинс еще в 1796г. предложил использовать статическое электричество для усиления эффекта классической акупунктуры (В.Г. Вогралик, М.В. Вогралик, 1988; Ф.Г. Портнов, 1980).

В 1930-е годы электроакупунктурная терапия и в первую очередь гальваноакупунктура вызывала научный интерес у различных исследователей. Рожер де ля Фюи использовал гальванический ток для воздействия в точки акупунктуры, при этом положительный полюс он отождествлял с «янь» воздействием, а отрицательный с «инь» воздействием. В этом направлении работали А. Пелен, С. де Моран, Ж. Дамье, которые использовали для

электроакупунктуры или электропунктуры постоянный ток величиной до 1 мА (J. Damiond, 1968).

Наиболее часто электрический ток в точки акупунктуры применяют в виде электропунктуры (в этом случае электрод располагается на коже) или электроакупунктуры (глубинная электровоздействие через иглы, введенные в точки акупунктуры) (Ф.Г. Портнов, 1987; Г.О. Гольфельд, 1989). Применяют также чрескожную электростимуляцию (ЧЭС), которую следует отнести к зональной рефлекторной терапии. Перечисленные методы воздействия получили более широкое распространение после появления портативных, полупроводниковых электростимуляторов, обладающих достаточно широкими параметрами воздействия электрическим током. Весьма важным в пунктурной электрорефлекторной терапии является вопрос выбора формы электросигнала. Первые публикации, посвященные пунктурной электротерапии, связаны с использованием постоянного тока, о чем было сказано выше. В настоящее время данный вид тока для электроакупунктуры почти не используется, так как в силу особенностей своего действия способен вызывать электролиз иглы с последующим ее изломом на уровне кожного покрова и вызывать дегенеративно-дистрофические изменения в мягких тканях.

В клинической практике чаще используют различные виды импульсных токов прямоугольной, треугольной, трапециевидной или других, более сложных форм импульсов. Н.А. Гавриков (1983), Н.М. Черных, Н.В. Соловей (1985) предлагают для воздействия в точки акупунктуры у больных с корешковым синдромом поясничного остеохондроза диадинамические токи. Г.Ф. Колесников (1977) считает наиболее адекватной формой импульса для воздействия в точки акупунктуры биполярный, асимметричный импульс аналогичный по форме спайку, возникающему в перехвате Ранвье нервного волокна при проведении электростимуляции. Аналогичную форму импульса предлагают использовать и китайские исследователи. Применение асимметричных форм импульса для воздействия в точки акупунктуры обосновано и с точки зрения современных нейрофизиологических исследований. Другие авторы рекомендуют использовать прямоугольную форму импульса для воздействия в точки акупунктуры (D. L. Ericsson et al., 1976; H. E Hergert, 1979). Приведенные выше данные не дают основание сделать вывод о целесообразности использования определенной формы импульса при проведении электропунктуры и электроакупунктуры.

Достаточно сложным представляется вопрос о выборе необходимой частоты электровоздействия. В лаборатории нейрофизиологии НИИ традиционных методов лечения РФ под руководством В.К. Решетняка в эксперименте на животных было доказано, что различная частота электрорефлекторного воздействия вызывает разные акупунктурные эффекты (В.К. Решетняк, 1989). Диапазон частот 0,5-3 Гц вызывает достаточно выраженное и длительное обезболивание за счет активации опиоидных систем организма. При этом обезболивающий эффект наступает не сразу, а через 20-40 мин и продолжается от 2 до 6 часов. При воздействии с частотой 6-15 Гц обезболивающий эффект наступает быстрее, но менее длителен по продолжительности. Электровоздействие частотой 30-100 Гц вызывает еще менее длительный обезболивающий эффект локального и сегментарного характера. Использовать частоту 0,9-10 Гц для оказания седативного эффекта предлагает R. Voll (1976). В зависимости от проявлений заболеваний нервной системы рекомендуют разный подход при выборе частоты электровоздействия. При лечении неврологических проявлений поясничного остеохондроза с нейродистрофическими синдромами рекомендуется последовательное использование низких и высоких частот. При доминирующих мышечно-тонических нарушениях рекомендуется переход от высоких частот к низким (В.Ф. Журавлев, 1984). В то же время для лечения синдромов позвоночной артерии и позвоночного нерва следует использовать смешанные режимы частот (И.Ю. Есина, 1989). Другие авторы (Е.Л. Мачерет, И.З. Самосюк, 1982) предлагают учитывать при электровоздействии в точки акупунктуры частоту собственных электромагнитных колебаний человека и по данным разных авторов наиболее часто и эффективно для этих целей используют частоту 10 Гц. И.А. Зиновьев (1982), изучая значение параметров электрорефлекторной терапии в стоматологической практике, также показал, что наибольший терапевтический эффект достигается при использовании электрического тока низкой частоты (3-6 Гц) и большой силы (до 1 мА). Сравнительный анализ эффективности высоких и низких частот провел J. Omura (1982). Он отмечает, что при назначении пунктурной

электротерапии токами высокой частоты обезболивающий эффект достигается быстрее, чем при использовании низких частот, однако более стойкий результат отмечается при использовании низких частот. Приведенные выше данные по использованию электрического тока показывают, что проблема выбора оптимальных параметров воздействия окончательно не решена. Разные авторы по-своему подходят к решению вопроса о выборе частоты, интенсивности и длительности воздействия. Как нам представляется, параметры электровоздействия должны соответствовать характеру патологического синдрома, чувствительности пациента к электрическому току, цели и тактике лечения, методике воздействия (электропунктура или электроakupунктура), возрасту пациента и т.д.

Аппаратное обеспечение

В настоящее время сотрудниками Белорусского государственного университета информатики и радиоэлектроники и Белорусского государственного медицинского университета разработан прототип аппарата для воздействия электрическими токами при проведении процедуры электропунктуры, который включает следующие функциональные блоки: блок питания; микроконтроллерный блок управления, Bluetooth модуль, регулятор напряжения, усилители, повышающий преобразователь, измерители тока. Общая структурная схема аппарата представлена на рис. 1.

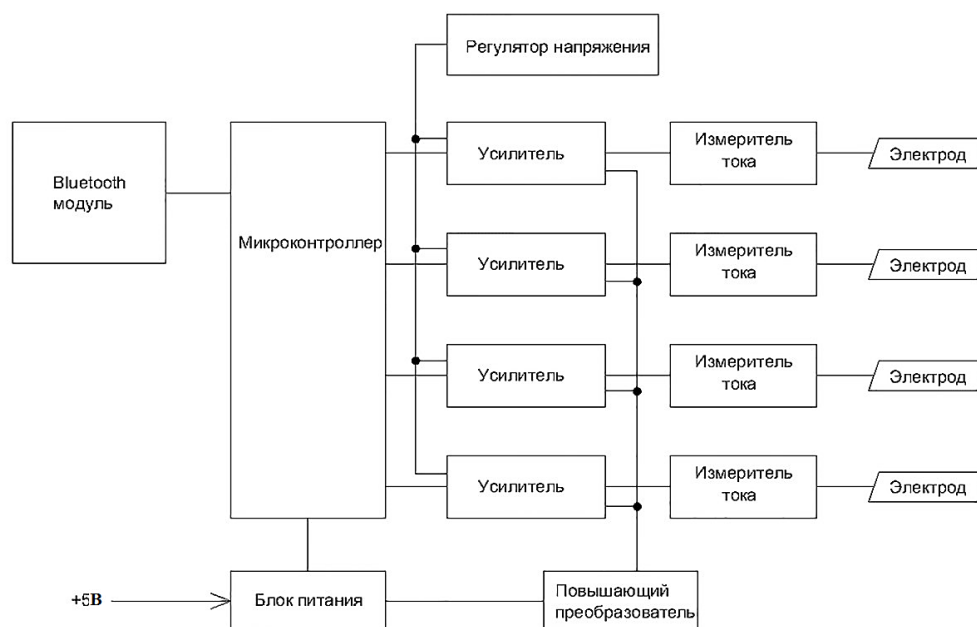


Рис. 1. Структурная схема аппарата электроakupунктуры

Основным требованием к разрабатываемому электростимулятору было обеспечение широкого диапазона изменения параметров генерируемого сигнала, для подстройки стимулирующего воздействия в процессе исследований. В предложенном техническом решении параметры стимулирующего воздействия задаются на основе паттернов: на персональном компьютере программное обеспечение генерирует последовательность временных отметок, каждой из которых соответствует какое-либо выходное значение в цифровой форме (напряжение равно нулю или напряжение равно максимальному значению) или аналоговой, при которой выходное напряжение задается в процентах от максимально возможного (регулируется в диапазоне от 0 до 30 В). В качестве источника питания используется портативное зарядное устройство.

Таким образом, сформировался перечень требований к разрабатываемому устройству:

- напряжение питания – 5 В;
- максимальное выходное напряжение – 30 В;
- частота дискретизации – 100 кГц;

плавная регулировка напряжения;
различная форма сигнала.

В качестве усилителей использованы операционные усилители, включенные по классической неинвертирующей схеме. Поскольку питание схемы однополярное, для получения импульсов отрицательной полярности используется два усилителя, которые включаются поочередно. Всего разработанный нами прибор имеет четыре независимых однополярных канала, которые могут объединяться в два двухполярных.

Общий вид макетного образца для электроакупунктуры представлен на рис. 2.



Рис. 2. Общий вид аппарата электроакупунктуры

Программное обеспечение позволяет задать такие виды однополярных и биполярных сигналов, как меандр, модулированный меандр, пачки прямоугольных импульсов и др.. Изменяя параметры частоты в герцах, длительности импульса в миллисекундах и расстояние между импульсами в миллисекундах, формируется необходимый сигнал. При нажатии кнопки «Запись параметров» программа по Bluetooth передает сгенерированный паттерн в электростимулятор.

Заключение

Вопрос выбора оптимальных параметров для аппаратов электрорефлексотерапии окончательно не решен и требует новых, современных подходов для реализации и создания устройств, способных повысить эффективность лечения пациентов. Разработанное аппаратное обеспечение позволяет реализовать широкий диапазон параметров электровоздействия при применении электроакупунктуры в клинической практике. Использование функционала персонального компьютера и беспроводного интерфейса позволило уменьшить габаритные параметры аппарата. В настоящее время планируется проведение научных исследований с целью определения оптимальных параметров воздействия и выработки алгоритма последующего практического применения предлагаемого устройства в клинической практике.

Список литературы

1. Улащик В.С. Пунктурная физиотерапия как предмет научных исследований // Вопр. курортологии, физиотерапии и лечеб. физкультуры. – 1989. - №3. – С.15-19.
2. Wong R.A., Jete D.U. Changes in sympathetic tone associated with different forms of transcutaneous electrical nerve stimulation in healthy subjects // Physical Ther. – 1984 – Vol.64 – P.478-482.
3. Shinohara Sh., Odachara Y., Kitade N. Comparison of electric of leaving needle different current electrical acupuncture and low frequently electrical acupuncture therapy // Acupunct. Electrother. Res. – 1986.- VOL.11, №2. – P.. 101-110.
4. Tulder M.W., Cherkin D.S., Berman D. Acupuncture and back pain // Cochrane Database Syst. Rev. – 2000. - №2. – P.13-51.

УДК 004.932.2

АКСИОМАТИЧЕСКАЯ МОДЕЛЬ ИНТЕГРАЦИИ МЕДИЦИНСКИХ ИНФОРМАЦИОННЫХ СИСТЕМ НА ОСНОВЕ ПРИНЦИПОВ СИСТЕМНОЙ ГОМЕОРЕТИКИ

В.Г. ЕВДОКИМОВ, А.А. НАВРОЦКИЙ

*УО Белорусский государственный университет информатики и радиоэлектроники,
г. Минск, Республика Беларусь*

Аннотация. В статье представлена иерархическая система аксиом интеграции медицинских информационных систем, основанная на принципах системной гомеоретики. Научная новизна исследования заключается в разработке многоуровневой аксиоматической структуры, включающей пять взаимосвязанных уровней: базовый (АТИС, АМСБ, АДСФ), функциональный (АСГР, АМАС, АЭСО), интеграционный (АССЭ, АСБР, АДСБ), когнитивный (ААСР, АКСР, АПСМ) и стратегический (АУРС, АТСС, АПВС). Каждый уровень решает специфические задачи: от обеспечения инвариантности структуры медицинских данных до поддержки множественности технологических решений. Особое внимание уделено взаимосвязям между уровнями и механизмам их взаимодействия, обеспечивающим целостность и устойчивость интегрированных медицинских систем. Практическая значимость работы заключается в создании методологического фундамента для проектирования масштабируемых медицинских информационных систем с учетом современных требований к интероперабельности и безопасности.

Ключевые слова: медицинские информационные системы, системная гомеоретика, многоуровневая аксиоматика, иерархическая интеграция, информационная безопасность, когнитивные технологии, стратегическое развитие.

AXIOMATIC MODEL OF MEDICAL INFORMATION SYSTEMS INTEGRATION BASED ON SYSTEMIC HOMEORETICS PRINCIPLES

VITALIY G. EVDOKIMOV, ANATOLIY A. NAVROTSKY

*Belarusian State University of Informatics and Radioelectronics,
Minsk, Republic of Belarus*

Abstract. This article presents a hierarchical system of axioms for medical information systems integration based on systemic homeoretics principles. The scientific novelty of the research lies in developing a multi-level axiomatic structure comprising five interrelated levels: basic (ATIS, AMSB, ADSF), functional (ASHR, AMAS, AESO), integration (ASSE, ASBR, ADSB), cognitive (AASR, ACSR, APSM) and strategic (ASDS, ATSS, APVS). Each level addresses specific tasks, ranging from ensuring the invariance of medical data structure to supporting multiple technological solutions. Special attention is paid to the relationships between levels and their interaction mechanisms, ensuring the integrity and stability of integrated medical systems. The practical significance of the work lies in creating a methodological foundation for designing scalable medical information systems, taking into account modern requirements for interoperability and security.

Keywords: medical information systems, systemic homeoretics, multi-level axiomatics, hierarchical integration, information security, cognitive technologies, strategic development.

Введение

Современное развитие медицинских информационных систем характеризуется высокой степенью гетерогенности и сложности интеграционных процессов. Эффективное взаимодействие данных систем становится критически важным фактором в условиях цифровой трансформации здравоохранения [1].

Анализ текущего состояния отрасли показывает стремительный рост объемов медицинских данных, который, по оценкам экспертов, достигнет 2314 экзбайт к 2025 году [2]. При этом современные системы здравоохранения сталкиваются с серьезными вызовами в области обработки и защиты персональных медицинских данных. Согласно отчету, Healthcare

Information and Management Systems Society (HIMSS) за 2022 год, более 45% медицинских организаций сообщают о критических проблемах при обмене данными между различными информационными системами.

Традиционные технологические стандарты и протоколы обмена данными не обеспечивают требуемого уровня надежности при объединении медицинских систем [3]. Существующие методы интеграции зачастую игнорируют особенности медицинской информации, что снижает эффективность работы и создает угрозы безопасности данных. По данным исследования, проведенного в 2023 году, 67% инцидентов информационной безопасности в здравоохранении связаны именно с недостатками в архитектуре интеграционных решений [4].

Особую актуальность приобретает проблема семантической интероперабельности медицинских данных. Исследования показывают, что до 30% критически важной клинической информации теряется при передаче между различными информационными системами из-за несовместимости форматов и отсутствия единых стандартов кодирования [5]. Это не только затрудняет принятие клинических решений, но и создает риски для безопасности пациентов.

Цель работы – разработка и теоретическое обоснование аксиоматической системы как методологического базиса для создания интегрированных медицинских информационных комплексов нового поколения. Предлагаемый подход призван решить выявленные проблемы путем формализации принципов построения защищенных и эффективных медицинских информационных систем, способных обеспечить надежное хранение и корректную передачу медицинских данных между всеми участниками процесса оказания медицинской помощи.

Теоретический анализ

На современном этапе развития медицинских информационных систем можно выделить несколько ключевых направлений интеграции, каждое из которых характеризуется специфическими проблемами и ограничениями.

1. Стандарты обмена медицинскими данными

Существующие стандарты (HL7, DICOM, OpenEHR) обеспечивают базовый уровень интероперабельности, однако имеют ряд существенных ограничений:

- отсутствие единого подхода к семантической интерпретации данных;
- сложность поддержки версионности и обратной совместимости;
- недостаточная гибкость при работе с новыми типами медицинских данных;
- проблемы безопасности при межсистемном взаимодействии.

2. Архитектурные решения

Анализ современных архитектурных подходов выявляет следующие проблемные области:

- преобладание монолитных архитектур, затрудняющих масштабирование;
- недостаточная проработанность механизмов отказоустойчивости;
- сложность интеграции legacy-систем;
- отсутствие универсальных паттернов проектирования для медицинских систем.

3. Информационная безопасность

Существующие протоколы безопасности не в полной мере учитывают специфику медицинских данных:

- проблемы идентификации и аутентификации в распределенных системах;
- сложность обеспечения конфиденциальности при множественном доступе;
- отсутствие стандартизированных подходов к аудиту безопасности;
- уязвимости при интеграции с внешними системами.

4. Семантическая интероперабельность

Текущие подходы к обеспечению семантической совместимости характеризуются:

- фрагментарностью онтологических моделей;
- сложностью поддержания актуальности справочников и классификаторов;
- отсутствием универсальных механизмов сопоставления терминологий;
- проблемами многоязычности и локализации.

5. Технологическая инфраструктура

Анализ существующей инфраструктуры выявляет:

- недостаточную производительность при обработке больших объемов данных;
- проблемы масштабирования вычислительных ресурсов;
- сложность обеспечения отказоустойчивости;
- ограничения при работе с территориально распределенными системами.

6. Нормативное регулирование

Существующая нормативная база характеризуется:

- противоречивостью требований различных регуляторов;
- отставанием от технологического развития;
- сложностью соответствия международным стандартам;
- неоднозначностью трактовки требований.

Выявленные проблемы указывают на необходимость создания комплексного теоретического базиса, способного обеспечить системное решение задач интеграции медицинских информационных систем.

Аксиоматическая модель интеграции медицинских информационных систем

Предлагаемая модель основана на комплексе взаимосвязанных аксиом, определяющих фундаментальные принципы интеграции медицинских информационных систем. Структура модели построена по принципу системной декомпозиции, где каждый компонент отвечает за определенную функциональную область при сохранении целостности всей экосистемы.

Набор из 15 базовых аксиом формирует методологическую основу для проектирования, разработки и эксплуатации интегрированных систем здравоохранения. Каждая аксиома определяет конкретные требования и механизмы их реализации, обеспечивая баланс между инновационным развитием и сохранением стабильности функционирования.

Рассмотрим подробно каждую из аксиом, составляющих фундамент модели.

АКСИОМА СИСТЕМНОЙ ГОМЕОРЕТИКИ (АСГР)

Определяет механизмы поддержания динамической устойчивости интегрированных медицинских информационных систем через непрерывный мониторинг критических параметров и автоматическую компенсацию отклонений. Обеспечивает сохранение функциональной целостности при воздействии дестабилизирующих факторов.

Формальное определение:

$$\Delta S(t) = \int [K(t) * H(t)] dt * (1 + D) * (1 - C), \quad (1)$$

где $\Delta S(t)$ – состояние системы, K - коэффициент гомеостатической регуляции, H - характеристика стабильности внутренней среды, D - коэффициент дополнения, C – коэффициент компенсации.

Область применения:

- системы непрерывного мониторинга состояния пациентов;
- интегрированные лабораторные комплексы;
- системы жизнеобеспечения.

Практическая реализация:

- В системах мониторинга ПИТ (GE Healthcare)
- В интегрированных операционных (Philips)
- В телемедицинских комплексах (Medtronic)

АКСИОМА ТОПОЛОГИЧЕСКОЙ ИНВАРИАНТНОСТИ СИСТЕМ (АТИС)

Устанавливает неизменные структурные характеристики и функциональные взаимосвязи в медицинских информационных системах. Определяет топологические инварианты, сохраняющие свойства при допустимых системных преобразованиях. Формирует основу проектирования устойчивых информационных архитектур.

$$T(t) = [x \in X | f(x) = const] * (1 + D) * (1 - C), \quad (2)$$

где $T(t)$ – топологический инвариант, X – пространство состояний, $f(x)$ – функция преобразования, D – коэффициент дополнения, C – коэффициент компенсации.

Методы измерения:

- Анализ графов связности
- Оценка робастности архитектуры
- Тестирование отказоустойчивости

АКСИОМА МОРФОАДАПТИВНОЙ САМООРГАНИЗАЦИИ (АМАС)

Описывает механизмы структурной адаптации к изменяющимся условиям функционирования при сохранении системной целостности. Регламентирует процессы координированной трансформации компонентов и межсистемных связей.

$$M(t) = M_0 + \sum [A_i(t) * F_i(t)] * (1 + D) * (1 - C), \quad (3)$$

где $M(t)$ – морфологическая структура, $A_i(t)$ – адаптивные параметры, $F_i(t)$ – функции адаптации, D – коэффициент дополнения, C – коэффициент компенсации.

Методы измерения:

- Мониторинг структурных изменений
- Анализ эффективности адаптации
- Оценка стабильности работы

АКСИОМА МИНИМАЛЬНОГО СИСТЕМНОГО БАЗИСА (АМСБ)

Определяет критический набор функциональных компонентов и ресурсов, необходимых для поддержания жизнеспособности системы. Устанавливает параметры базовой работоспособности в условиях ограниченного функционирования.

Применимость: Медицинские системы жизнеобеспечения, аппараты ИВЛ, системы мониторинга критических состояний, где необходимо определить минимально допустимые параметры функционирования.

АКСИОМА ЭНТРОПИЙНОЙ САМООРГАНИЗАЦИИ (АЭСО)

Регламентирует принципы оптимального распределения информационных и вычислительных ресурсов между компонентами системы. Обеспечивает энергоэффективность и рациональное использование системных ресурсов.

Применимость: Распределенные диагностические системы, медицинские информационные системы (МИС), системы обработки медицинских изображений, где критична оптимизация ресурсопотребления.

АКСИОМА СИСТЕМНОЙ СИНЕРГИИ И ЭМЕРДЖЕНТНОСТИ (АССЭ)

Описывает механизмы формирования новых системных свойств через интеграцию компонентов. Определяет принципы возникновения синергетических эффектов, усиливающих функциональные возможности системы.

Применимость: Интегрированные диагностические комплексы, гибридные системы визуализации (ПЭТ-КТ, ОФЭКТ-КТ), мультимодальные системы мониторинга.

АКСИОМА САМООРГАНИЗУЮЩЕЙСЯ БИФУРКАЦИИ И РАЗВИТИЯ (АСБР)

Устанавливает механизмы безопасного внедрения инноваций и системных изменений. Регламентирует процессы тестирования новых решений с минимизацией рисков для стабильности системы.

Применимость: Внедрение новых методов диагностики, терапевтических протоколов, систем поддержки принятия врачебных решений.

АКСИОМА ДИНАМИЧЕСКОГО СИСТЕМНОГО БАЛАНСА (АДСБ)

Определяет принципы поддержания баланса между развитием и стабильностью системы. Устанавливает механизмы контроля скорости и масштаба инновационных изменений.

Применимость: Системы адаптивной терапии, персонализированной медицины, управления медицинским оборудованием с динамической настройкой параметров.

АКСИОМА АВТОНОМНОЙ СИСТЕМНОЙ РЕГУЛЯЦИИ (ААСР)

Описывает механизмы децентрализованного принятия решений компонентами системы при сохранении общей координации. Обеспечивает локальную адаптивность при глобальной устойчивости.

Применимость: Распределенные системы телемедицины, сети медицинских устройств IoT (Internet of Medical Things), автономные медицинские роботы.

АКСИОМА КОГНИТИВНОЙ САМОРЕФЕРЕНЦИИ (АКСР)

Устанавливает принципы накопления и использования системного опыта. Определяет механизмы обмена знаниями между компонентами для оптимизации функционирования.

Применимость: Системы машинного обучения в медицине, экспертные системы диагностики, самообучающиеся медицинские базы знаний.

АКСИОМА ПРЕДИКТИВНОЙ СИСТЕМНОЙ МОДИФИКАЦИИ (АПСМ)

Регламентирует механизмы прогнозирования и упреждающей адаптации системы к ожидаемым изменениям. Определяет принципы проактивного планирования развития.

Применимость: Системы предиктивной диагностики, прогнозирования рисков заболеваний, планирования профилактических мероприятий.

АКСИОМА ДЕТЕРМИНИРОВАННОЙ СИСТЕМНОЙ ФУНКЦИОНАЛЬНОСТИ (АДСФ)

Устанавливает требования к предсказуемости поведения системных компонентов. Определяет механизмы обеспечения надежности межкомпонентного взаимодействия.

Применимость: Критически важные медицинские системы, хирургические роботы, системы автоматизированного введения лекарств.

АКСИОМА УСТОЙЧИВОГО РАЗВИТИЯ СИСТЕМ (АУРС)

Описывает принципы долгосрочного сбалансированного развития системы. Регламентирует механизмы координации роста компонентов при сохранении общей устойчивости.

Применимость: Развитие медицинских информационных систем, долгосрочное планирование медицинской инфраструктуры, эволюция диагностических комплексов.

АКСИОМА ТЕМПОРАЛЬНОЙ СИСТЕМНОЙ СИНХРОНИЗАЦИИ (АТСС)

Определяет механизмы согласования краткосрочных и долгосрочных целей развития. Устанавливает принципы временной координации системных процессов.

Применимость: Планирование терапевтических мероприятий, координация работы медицинского оборудования, синхронизация медицинских протоколов.

АКСИОМА ПОЛИМОРФНОЙ ВАРИАТИВНОСТИ СИСТЕМ (АПВС)

Регламентирует необходимое разнообразие компонентов и связей для обеспечения адаптивности. Определяет принципы поддержания множественности путей развития системы.

Применимость: Мультимодальные терапевтические системы, адаптивные диагностические комплексы, гибкие системы поддержки принятия решений.

Предлагаемая аксиоматическая модель является многомерным решением существующих проблем интеграции медицинских информационных систем. Основные итоги:

1. Модель учитывает многофакторность проблемы интеграции МИС через:

- структурную составляющую (архитектура систем);
- функциональную составляющую (процессы и операции);
- информационную составляющую (данные и их семантика);
- технологическую составляющую (стандарты и протоколы).

2. Практическая применимость модели обеспечивается:

- формализацией требований к интеграции;
- возможностью оценки качества интеграционных решений;
- масштабируемостью для различных типов МИС.

3. Модель направлена на решение ключевых проблем:

- несовместимости форматов данных;
- отсутствия единых стандартов взаимодействия;
- сложности обеспечения целостности данных;
- необходимости сохранения автономности систем.

Предложенный подход позволяет комплексно оценивать и проектировать интеграционные решения с учетом специфики медицинских информационных систем.

Заключение

Представленная аксиоматическая модель интеграции медицинских информационных систем демонстрирует значительный теоретический потенциал в решении актуальных проблем межсистемного взаимодействия в здравоохранении. Возможность формализации через математический аппарат и многомерный подход к описанию интеграционных процессов создают методологическую основу для построения эффективных решений.

Для полноценной валидации модели требуется проведение комплекса эмпирических исследований, включающих:

- практическую реализацию интеграционных решений на основе предложенных принципов;
- сбор и анализ количественных показателей эффективности интеграции;
- верификацию теоретических положений в условиях действующих медицинских организаций;
- оценку масштабируемости решений для различных классов МИС.

Однако, несмотря на необходимость дальнейшей практической апробации, разработанная модель может рассматриваться как методологический базис для развития подходов к интеграции медицинских информационных систем.

Список литературы

1. Карпов О.Э., Субботин С.А.. Цифровое здравоохранение. Необходимость и предпосылки. Врач и информационные технологии. 2020;2:6-22.
2. Dash S, Shakyawar SK, Sharma M, Kaushik S. Big data in healthcare: management, analysis and future prospects. J Big Data. 2019;6(54):1-25. DOI: 10.1186/s40537-019-0217-0
3. Lehne M, Sass J, Essenwanger A, Schepers J, Thun S. Why digital medicine depends on interoperability. NPJ Digital Medicine. 2019;2:79. DOI: 10.1038/s41746-019-0158-1
4. Kruse CS, Frederick B, Jacobson T, Monticone DK. Cybersecurity in healthcare: A systematic review of modern threats and trends. Technol Health Care. 2023;31(1):1-15. DOI: 10.3233/THC-220159
5. Oemig F, Snelick R. Healthcare Interoperability Standards Compliance Handbook: Conformance and Testing of Healthcare Data Exchange Standards. Springer International Publishing; 2021. DOI: 10.1007/978-3-030-74820-8

УДК 535.37:(547.979.733+667.211.43)

АУТОСЕНСИБИЛИЗИРОВАННОЕ СЕЛЕКТИВНОЕ ИНГИБИРОВАНИЕ РОСТА РАКОВЫХ КЛЕТОК ИЗЛУЧЕНИЕМ ВИДИМОЙ ОБЛАСТИ СПЕКТРА

В.Ю. ПЛАВСКИЙ, Л.Г. ПЛАВСКАЯ, О.Н. ДУДИНОВА, А.И. ТРЕТЬЯКОВА,
А.В. МИКУЛИЧ, А.Н. СОБЧУК, Р.К. НАГОРНЫЙ, Т.С. АНАНИЧ, А.Д. СВЕЧКО,
Н.Д. ПРОКОПЕНКО, С.В. ЯКИМЧУК, И.А. ЛЕУСЕНКО

Институт физики НАН Беларуси (г. Минск, Республика Беларусь)

Аннотация. Показана способность низкоинтенсивного излучения видимой области спектра оказывать ингибирующее действие на раковые и нетрансформированные клетки в условиях *in vitro*. Отмечается отсутствие принципиальных различий в действии монохроматического лазерного и квазимонохроматического излучения светодиодных источников близких длин волн. Показано, что наблюдаемые фотобиологические эффекты обусловлены фотохимическими процессами с участием активных форм кислорода, генерируемых за счет возбуждения эндогенных фотосенсибилизаторов, и прежде всего свободных оснований порфиринов и их цинковых комплексов. Установлено, что раковые клетки характеризуются повышенной чувствительностью к действию света сине-зеленой области спектра и это обусловлено более высокой концентрацией в них эндогенных порфириновых сенсибилизаторов по сравнению с нормальными нетрансформированными клетками. Определяющая роль порфиринов подтверждена регистрацией их флуоресценции в живых клетках, а также спектральной зависимостью выживаемости клеток и зависимостью интенсивности светоиндуцированной хемилюминесценции суспензии клеток от длины волны воздействующего излучения.

Ключевые слова: раковые клетки, нетрансформированные клетки, эндогенные фотосенсибилизаторы, порфирин, флаavin, лазер, светодиод, флуоресценция, хемилюминесценция, метаболическая активность, синглетный кислород

AUTOSENSITIZED SELECTIVE INHIBITION OF CANCER CELL GROWTH BY VISIBLE LIGHT

VITALY YU. PLAVSKII, LUDMILA G. PLAVSKAYA, OLGA N. DUDINOVA,
ANTONINA I. TRETYAKOVA, ALIAKSANDR V. MIKULICH, ANDREI N. SOBCHUK,
RAMAN K. NAHORNY, TATSIANA S. ANANICH, ALEXEI D. SVECHKO,
NIKA D. PROKOPENKO, SERGEY V. YAKIMCHUK, IHAR A. LEUSENKA

Institute of Physics of the National Academy of Sciences of Belarus (Minsk, Republic of Belarus)

Abstract. The ability of low-intensity visible spectrum radiation to exert an inhibitory effect on cancer and non-transformed cells *in vitro* is demonstrated. The absence of fundamental differences in the action of monochromatic laser and quasi-monochromatic LED radiation of close wavelengths is noted. It is shown that the observed photobiological effects are stipulated by photochemical processes involving active oxygen species generated with endogenous photosensitizers excitation, and, primarily, free porphyrin bases and their zinc complexes. It is established that cancer cells are characterized by increased sensitivity to blue-green spectrum light, and this is due to a higher concentration of endogenous porphyrin sensitizers in them in comparison to normal non-transformed cells. The leading role of porphyrins is confirmed by their fluorescence registration in living cells, as well as by the spectral dependence of cell survival and the dependence of the intensity of light-induced chemiluminescence of cells suspension on the exposed radiation wavelength.

Keywords: cancer cells, non-transformed cells, endogenous photosensitizers, porphyrin, flavin, laser, light-emitting diode, fluorescence, chemiluminescence, metabolic activity, singlet oxygen

Введение

В настоящее время способность оптического излучения синей области спектра (длина волны 400-485 нм) низкой интенсивности (плотность мощности 0.5-100 мВт/см²) оказывать

влияние в условиях *in vitro* на функциональные характеристики как нормальных нетрансформированных, так и раковых клеток не вызывает сомнения [1-3]. Характерно что в исследованиях, в которых проводилось сравнение действия света одинаковых спектрально-энергетических параметров на раковые и нетрансформированные клетки, отмечается наличие выраженных различий в их реакции на воздействие указанного физического фактора [1–3]. Эти различия проявляются в более высокой степени фотоингибирования метаболической активности и пролиферации раковых клеток, а также в более высоких уровнях светоиндуцированного образования активных форм кислорода (АФК). При этом причины повышенной чувствительности раковых клеток к действию синего света остаются не выясненными. По нашему мнению, осложняющим фактором в решении данного вопроса является отсутствие полного понимания механизмов фотофизических и фотохимических процессов, определяющих эффекты фотобиомодуляции, инициированные воздействием синего света. По-прежнему наименее изученным и наиболее дискутируемым остается вопрос о первичных молекулах–акцепторах, ответственных за регуляторное действие указанного физического фактора.

Цель настоящей работы – обоснование важной роли эндогенных порфиринов в сенсбилизации фотобиологических процессов в раковых и нормальных клетках при воздействии на их суспензию синего света и выяснение роли указанных тетрапирролов в проявлении повышенной чувствительности раковых клеток при действии синего света.

Методика проведения эксперимента

В качестве объектов исследования выбраны клетки эпителиоидной карциномы шейки матки HeLa, а также нетрансформированные (неопухолевые) клетки почки зеленой африканской мартышки BGM. Монослой клеток выращивали в одноразовых чашках Петри диаметром 35 мм на этой же питательной среде при 37° С и 5%-м содержанием CO₂ в инкубаторе. Через 48 ч после посева монослой клеток подвергали воздействию синего света, используя полупроводниковые GaN–лазеры с длиной волны излучения $\lambda = 405$ нм и $\lambda = 445$ нм. После облучения клетки помещали на 24 ч в CO₂–инкубатор, в котором обеспечивалось поддержание температуры при 37 °С и 5% содержание CO₂. Аналогичные манипуляции (за исключением облучения) выполняли с контрольными монослоями клеток.

Оценку биологического действия оптического излучения проводили фотокolorиметрически с помощью МТТ-теста [1]. Для выяснения вклада активных форм кислорода в фотобиологические эффекты, инициируемые воздействием на клетки синего света, использовали хемилюминесцентные методы [1]. Для доказательства присутствия эндогенных порфиринов в клетках проводили регистрацию их флуоресценции как в живых клетках, так и в их экстрактах. Как известно, флуоресценцию эндогенных порфиринов в суспензии животных клеток весьма сложно детектировать вследствие преобладающей люминесценции флавинов и флавопротеинов, что обусловлено их более высокой концентрацией (превышающей концентрацию порфиринов примерно на 2–3 порядка) и более высоким (в 5-10 раз) квантовым выходом флуоресценции [1, 4]. Надежнее флуоресценция свободных оснований порфиринов и их цинковых комплексов регистрируется после экстрагирования тетрапирролов из клеток с помощью 3 М соляной кислоты. При выполнении сравнительных исследований порфириновой флуоресценции кислотных экстрактов клеток HeLa и BGM их исходная концентрация в физрастворе контролировалась либо с помощью гемоцитометра, либо с помощью проточного цитофлуориметра и подгонялась путем соответствующего разбавления физраствором до одинакового значения $5 \cdot 10^5$ мл⁻¹ для каждого типа клеток.

Измерения спектров поглощения осуществляли на спектрофотометре Cary-500 ScanUV-Vis-NIR (Varian, USA, Australia), а спектров флуоресценции и возбуждения флуоресценции – на спектрофлуориметре Fluorolog-3 (Horiba Jobin Yvon, Inc., France).

Результаты и их обсуждение

Исследования показали, что воздействие на клетки различных типов (клетки почки зеленой африканской мартышки BGM, клетки эпителиоидной карциномы шейки матки HeLa)

лазерного излучения синей области спектра с длиной волны $\lambda = 405$ нм или 445 нм плотностью мощности $I = 25$ мВт/см² в диапазоне энергетических доз $D = 1-15$ Дж/см² приводит к ингибированию их метаболической активности, контролируемой через 24 ч после прекращения облучения. Полученные результаты представлены на рис. 1, а, б.

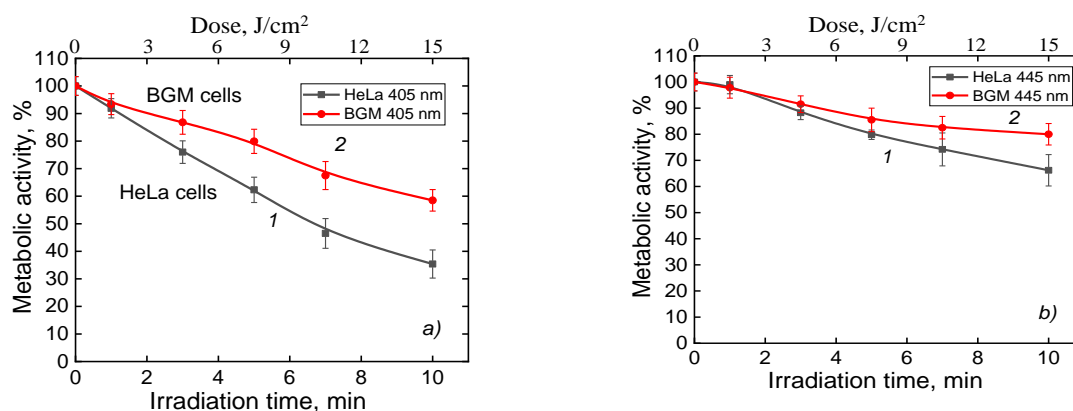


Рис. 1. Дозовые зависимости метаболической активности клеток HeLa (1) BGM (2) в процентах к контролю через 24 ч после воздействия лазерного излучения плотностью мощности $I = 25$ мВт/см² с длиной волны $\lambda = 405$ нм (а), $\lambda = 445$ нм (б).

Из рисунка следует, что по мере увеличения энергетической дозы светового воздействия наблюдается увеличение степени ингибирования метаболической активности как раковых клеток HeLa, так и нормальных BGM клеток. Однако при одинаковой энергетической дозе ингибирующее действие для излучения с длиной волны $\lambda = 405$ нм достоверно выше в отношении клеток HeLa (рис. 1, а, кривая 1), чем в отношении BGM клеток (рис. 1, а, кривая 2). Более высокая чувствительность раковых клеток (рис. 1, б, кривая 1) по сравнению с нормальными (рис. 1, б, кривая 2) регистрируется и при воздействии излучения с длиной волны $\lambda = 445$ нм. Характерно также, что после воздействия излучения $\lambda = 405$ нм скорость ингибирования метаболической активности клеток выше, чем после воздействия излучения $\lambda = 445$ нм. Указанная закономерность проявляется как для раковых, так и для нормальных нетрансформированных клеток. Установлено также, что принципиальные различия в действии лазерных и светодиодных источников близких длин волн отсутствуют [1].

Как уже отмечалось, влияние излучения синей области спектра на эффективность генерации активных форм кислорода в раковых и нормальных нетрансформированных клетках исследовалось с помощью хемилюминесцентного метода. Кинетические кривые изменения во времени интенсивности хемилюминесценции (в относительных единицах) суспензии клеток HeLa (варианты А, В) и BGM (варианты С, D) в физрастворе при ее регистрации в течение 5 минут в случае использования контрольных (необлученных) образцов клеток (варианты А и С), а также образцов, предварительно подвергнутых воздействию излучения (варианты В, D) $\lambda = 405$ нм, плотностью мощности $I = 50$ мВт/см², в течение $t = 180$ с (энергетическая доза $D = 9,0$ Дж/см²) представлены на рис. 2. Концентрация клеток HeLa и BGM составляла $2 \cdot 10^6$ мл⁻¹.

Главный вывод, который следует из кинетических кривых затухания интенсивности хемилюминесценции облученных образцов суспензий клеток, состоит в том, что при одинаковой концентрации в суспензии раковых клеток HeLa (вариант В) и нетрансформированных клеток BGM (вариант D) интегральная интенсивность сигнала (светосумма хемилюминесценции) достоверно выше в случае предварительного воздействия света на раковые клетки. Поскольку наличие сигнала хемилюминесценции в результате воздействия света объясняется протеканием фотохимических реакций с участием АФК различных типов, то полученные результаты свидетельствуют о более высоких уровнях светоиндуцированного образования АФК в раковых клетках HeLa по сравнению с нормальными клетками BGM.

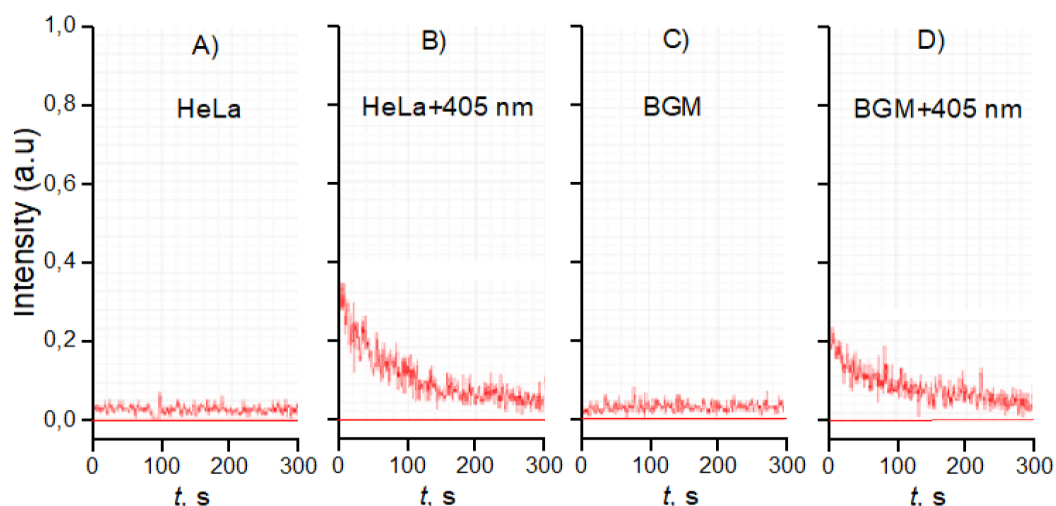


Рис. 2. Кинетические кривые изменения интенсивности хемилуминесценции суспензии клеток HeLa (A, B) и BGM (C, D) концентрацией 2×10^6 мл⁻¹ в физрастворе: A и C – контрольные суспензии клеток, не подвергавшиеся воздействию оптического излучения; B и D – суспензии клеток после воздействия лазерного излучения с длиной волны $\lambda = 405$ nm, плотностью мощности $I = 50$ мВт/см², в течение $t = 180$ с (энергетическая доза $D = 9,0$ Дж/см²).

Выполненные исследования позволили установить наличие в раковых клетках по крайней мере двух типов флуорофоров, имеющих выраженное поглощение в видимой области спектра и способных к генерации активных форм кислорода. Один вид указанных соединений имеет флавиновую природу, другой – порфириновую. В пользу данного вывода свидетельствуют данные, представленные на рис. 3.

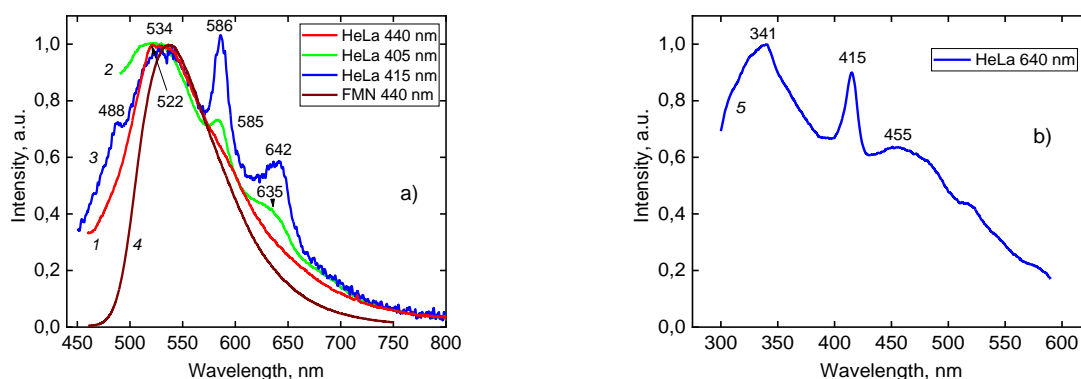


Рис. 3. Спектры флуоресценции (a) и возбуждения флуоресценции (b) суспензии в физрастворе живых клеток HeLa (1-3, 5) и FMN (3). Длина волны возбуждения: 440 (1), 405 (2), 415 нм (3, 4); длина волны регистрации 640 нм (5)

Как видно из рис. 3, a, при возбуждении светом с $\lambda_{ex} = 405, 415$ и 440 нм в суспензии живых клеток регистрируется флуоресценция с выраженным максимумом в области 534 нм, обусловленным испусканием света флавиновой компонентой. Причем, при возбуждении флуоресценции излучением $\lambda_{ex} = 440$ нм (рис. 3, кривая 1), соответствующим длинноволновому максимуму спектра поглощения флавинов, в регистрируемом спектре отсутствуют полосы, принадлежащие другим соединениям. Такого же вида спектры флуоресценции регистрируются и при $\lambda_{ex} = 450$ и 460 нм (на рисунке 1 не показаны). Однако, при возбуждении $\lambda_{ex} = 405$ нм (рис. 3, кривая 2) и особенно при $\lambda_{ex} = 415$ нм (кривая 3) на длинноволновом склоне полосы флавиновой флуоресценции регистрируется два максимума в области 585 нм и 635 – 640 нм, а также слабовыраженное плечо в области 680 нм, которое наиболее проявляется при $\lambda_{ex} = 405$ нм (рис. 3, кривая 2). Отметим, что слабовыраженные максимумы в области 522 нм при $\lambda_{ex} =$

440 нм (кривая 1) и в области 488 при $\lambda_{ex} = 415$ нм (кривая 3) обусловлены романовским рассеянием света физраствором суспензии.

Для выяснения причин повышенной фоточувствительности раковых клеток к действию синего света нами выполнены сравнительные оценки относительных концентраций эндогенных порфиринов в раковых и нормальных клетках методом флуоресцентного анализа. Вследствие низкой концентрации эндогенных порфиринов в клетках (на уровне ~ 1 нМ), низкого квантового выхода их флуоресценции ($\phi_{fl} = 0.01-0.08$ [4]), а также вследствие высокой концентрации в клетках флавинов (0.3–1 мкМ) [1] и более высокого квантового выхода их флуоресценции ($\phi_{fl} = 0.08-0.26$ [4]), а также вследствие перекрытия спектров поглощения порфириновых и флавиновых фотосенсибилизаторов, регистрация порфириновой флуоресценции в живых клетках сопряжена со значительными трудностями. Более надежно флуоресценция эндогенных порфиринов регистрируется в кислотных экстрактах клеток [1]. В качестве примера на рис. 4 показаны спектры флуоресценции (кривые 1 и 2) при длине волны возбуждения $\lambda_{ex} = 405$ нм и возбуждения флуоресценции (кривые 4 и 5) при длине волны регистрации $\lambda_{em} = 656$ нм кислотных экстрактов раковых клеток HeLa (кривые 1 и 4) и нормальных нетрансформированных клеток BGM (кривые 2 и 5). Здесь же приведены спектры флуоресценции (кривая 3) и возбуждения флуоресценции (кривая 6) экстрагента (3 М соляной кислоты).

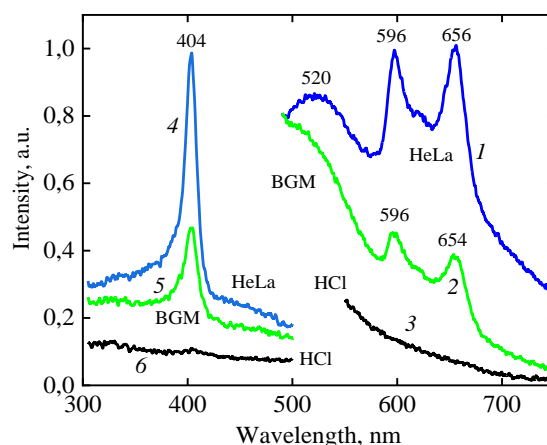


Рис. 4. Спектры флуоресценции (1–3) и возбуждения флуоресценции (4–6) экстрактов клеток HeLa (1, 4), BGM (2, 5) и экстрагента – 3 М соляной кислоты (3, 6) при длине волны возбуждения $\lambda_{ex} = 405$ нм (1–3) и длине волны регистрации $\lambda_{em} = 656$ нм (4–6). Концентрация клеток для экстрагирования $5 \cdot 10^5$ мл⁻¹.

Из представленных данных видно, что при возбуждении флуоресценции излучением с $\lambda_{ex} = 405$ нм спектр испускания кислотных экстрактов клеток характеризуется полосой с выраженным максимумом в области $\lambda_{max} = 520$ нм, обусловленной флуоресценцией присутствующих в исследуемых кислотных экстрактах флавиновых соединений и, прежде всего, рибофлавина [4]. На длинноволновом склоне полосы флуоресценции флавинов четко регистрируется двугорбая полоса с максимумами при $\lambda_{max} = 596$ и 656 нм, характерная для флуоресценции порфириновых соединений. Как показано было ранее [4], для экстрактов клеток HeLa в 3М HCl указанная флуоресценция наиболее близка к флуоресценции химически чистого протопорфирина IX в указанном растворителе.

В спектре возбуждения флуоресценции клеточных экстрактов при использовании в качестве экстрагента 3М HCl и длине волны регистрации флуоресценции $\lambda_{em} = 656$ нм четко регистрируется узкая полоса с максимумом при $\lambda_{max} = 404$ нм, характерным для химически чистого протопорфирина IX в соляной кислоте [4]. Сравнение спектров флуоресценции и возбуждения флуоресценции экстрактов клеток HeLa (кривые 1 и 4) и BGM (кривые 2 и 5) показывает, что качественно они весьма схожи. Однако интенсивность сигнала порфириновой флуоресценции для опухолевых клеток HeLa примерно в 2.5 раза выше, чем для нормальных клеток BGM. Такая же количественная закономерность прослеживается при анализе спектров

возбуждения флуоресценции указанных типов клеток. Поскольку интенсивность флуоресценции прямопропорциональна концентрации флуоресцирующих молекул, можно сделать вывод, что концентрация эндогенных порфиринов в раковых клетках HeLa примерно в 2.5 раза выше, чем в нормальных нетрансформированных клетках BGM.

Заключение

Исследования, выполненные в настоящей работе, показали важную роль эндогенных порфиринов (свободных оснований и их цинковых комплексов) в генерации в клетках активных форм кислорода (и, прежде всего, синглетного кислорода), способных, изменяя редокс-состояние клеток при поглощении синего света, влиять на протекающие в них метаболические процессы. Показано, что определяющая роль порфиринов в эффектах сенсibilизации клеток проявляется, несмотря на более высокие, по крайней мере, на два порядка, концентрации флавинов (рибофлавина, FMN, FAD) в клетках.

Ведущая роль порфиринов, а не флавинов, в фотобиологических процессах, определяющих метаболизм клетки при воздействии синего света, подтверждается более высокой скоростью ингибирования метаболической активности клеток и более высокими уровнями образования АФК, регистрируемыми с помощью хемилюминесцентного метода, при воздействии на суспензию клеток излучения с $\lambda = 405$ нм по сравнению с $\lambda = 445$ нм. При этом излучение с длиной волны $\lambda = 405$ нм соответствует максимуму спектра поглощения протопорфирина IX и локальному минимуму спектра поглощения флавинов, а излучение с $\lambda = 445$ нм соответствует максимуму спектра поглощения флавинов и области локального минимума спектра поглощения порфиринов.

Впервые показано, что одной из причин повышенной чувствительности раковых клеток по сравнению с нормальными к действию синего света является более высокая концентрация содержащихся в них эндогенных порфириновых сенсibilизаторов, что подтверждено методами флуоресцентного анализа. В пользу определяющей роли порфиринов в различии реакций раковых и нормальных клеток на воздействие синего света на их суспензию свидетельствуют также более высокие уровни образования АФК и более высокая скорость светоиндуцированного ингибирования метаболической активности раковых клеток HeLa по сравнению с нормальными клетками BGM.

Список литературы

1. Plavskii V.Y., Plavskaya L.G., Dudinova O.N., Tretyakova A.I., Mikulich A.V., Sobchuk A.N., Nahorny R.K., Ananich T.S., Svechko A.D., Yakimchuk S.V., Leusenko I.A.. Endogenous photoacceptors sensitizing photobiological reactions in somatic cells. *J Appl Spectrosc.* 2023; 90 (2): 334–345.
2. Chen Z, Huang S, Liu M. The review of the light parameters and mechanisms of photobiomodulation on melanoma cells. *Photodermatol Photoimmunol Photomed.* 2022; 38(1): 3–11.
3. Yang J., Fu Q., Jiang H., Li Y. Liu M. Progress of phototherapy for osteosarcoma and application prospect of blue light photobiomodulation therapy. *Front. Oncol.* 2022; 12:1022973. doi: 10.3389/fonc.2022.1022973.
4. Plavskii V.Y., Sobchuk A.N., Mikulich A.V., Dudinova O.N., Plavskaya L.G., Tretyakova A.I., Nahorny R.K., Ananich T.S., Svechko A.D., Yakimchuk S.V., Leusenska I.A. Identification by methods of steady-state and kinetic spectrofluorimetry of endogenous porphyrins and flavins sensitizing the formation of reactive oxygen species in cancer cells. *Photochem Photobiol.* 2024; 100(5):1310-1327.

УДК 616.89-008.44-08:612.821.88:004

КОМПЬЮТЕРНОЕ БИОУПРАВЛЕНИЕ: НОВАЯ ТЕХНОЛОГИЯ В ТЕРАПИИ АДДИКЦИЙ

Ф.Б. ПЛОТКИН

Минский городской клинический наркологический центр (г. Минск, Республика Беларусь)

Аннотация. Указаны преимущества немедикаментозных методов лечения и особенности человеческой психики, обеспечивающие возможность сознательного регулирования вегетативных функций организма. Описываются физиологические принципы биологической обратной связи (БОС) и различные варианты технического процесса. Обосновывается возможность применения указанного метода в психиатрии, наркологии и психотерапии.

Ключевые слова: биологическая обратная связь, компьютерное биоуправление, аддиктивная патология, терапия.

COMPUTERIZED BIOFEEDBACK: NEW TECHNOLOGY IN ADDICTION THERAPY

FELIKS B. PLOTKIN

Minsk City Clinical Narcological Center (Minsk, Republic of Belarus)

Abstract. The advantages of non-drug treatment methods and the features of the human psyche that provide the possibility of conscious regulation of the body's vegetative functions are indicated. The physiological principles of biological feedback (BFB) and various options for the technical process are described. The possibility of using this method in psychiatry, narcology and psychotherapy is substantiated.

Keywords: biological feedback, addictive pathology, therapy

*Ничего, о Заратустра, не растет на земле
более радостного, как высокая, сильная воля:
она прекраснейшее из произведений ее.*

Ницше Ф. Так говорил Заратустра [1].

*Мы знаем свою
волю в целом и поэтому не допустим, чтобы какое-нибудь настроение
или внешнее воздействие склоняло нас в отдельных случаях к таким
решениям, которые противоречат ей вообще... Ибо нет в сущности
другого наслаждения, как употреблять и чувствовать собственные
силы, и величайшее страдание – это сознавать недостаток сил там,
где в них есть нужда.*

Шопенгауэр А. Мир как воля и представление [2]

Введение

В связи с низкой эффективностью лечения зависимых пациентов продолжается разработка новых методов терапии. Поиск резервов повышения эффективности психотерапии зависимостей связан с развитием в направлении процессуальной, динамической и системной организации психотерапевтического воздействия, учитывающего динамику патологических и компенсаторных процессов у аддиктивных пациентов.

Основная часть

Особую ценность представляют те немедикаментозные методы лечения, которые позволяют активно мобилизовать резервные возможности человеческого организма и направлять их на восстановление имеющихся нарушений. Наиболее перспективное направление разработки таких методов исходит из системного анализа механизмов психической адаптации (дезадаптации) и представлений о способности организма и личности человека к саморегуляции. Психическая адаптация человека может быть представлена как результат деятельности целостной самоуправляемой системы, складывающейся из совокупности и взаимодействия иерархически организованных подсистем.

Принципиальным отличием психической адаптации человека от всех других самоуправляемых систем является наличие механизма сознательного саморегулирования, в основе которого лежит субъективная оценка средовых воздействий [3]. Высокий уровень организации мозга человека как саморегулирующейся системы обеспечивает уникальную человеческую способность – отражать, помимо реальности внешнего объективно существующего мира, также и реальность субъективно переживаемых психофизиологических состояний. На этой основе возможно формирование особого рода функциональных систем, которые реализуют свое поведение волевым усилием, опосредованным конструктивной активностью сознания. В континууме переходящих друг в друга эмоциональных состояний человеку в той или иной степени доступно выделение качественно специфических фрагментов. Он может запоминать испытываемые состояния в связи с особо значимыми входными сигналами, чтобы затем стойко сохранять и воспроизводить их на основе принципа адаптивности. Присущие психике обучаемость и пластичность составляют важнейшие психологические ресурсы личности, эффективное использование которых способствует полноценной компенсации имеющихся нарушений.

Благодаря успехам современной компьютерной нейробиологии, удалось разработать такой метод, который позволяет достичь профилактических, лечебных и реабилитационных целей значительно быстрее и надежнее, чем при применении других методик. Речь идет о методе саморегуляции, основанном на принципе биологической обратной связи (БОС). Метод БОС-терапии (БОС-тренинга) открыл возможность направленной произвольной коррекции функциональных состояний организма и мобилизации личностных ресурсов. В ходе процедур биоуправления объекту с помощью внешней обратной связи, организованной на основе ЭВМ, подается информация о состоянии тех или иных физиологических процессов, что позволяет испытуемому научиться контролировать физиологические параметры и закреплять эти навыки с тем, чтобы в дальнейшем использовать их в повседневной жизни [4]. БОС является уникальной возможностью для пациента осознать единство и взаимосвязь мыслей, образов, чувств и физиологических реакций, которые предшествовали, сопровождали и следовали за физиологическим ответом, наблюдаемым на мониторе, и как следствие возможность понять, какими физиологическими проблемами спровоцирована та или иная вегетативная реакция.

Технически суть метода состоит в компьютерной регистрации с помощью соответствующих датчиков в режиме реального времени различных физиологических параметров организма, не доступных для прямого сознательного восприятия (электроэнцефалограмма, электромиография, число сердечных сокращений, температура тела, электрическое сопротивление кожи и др.) и соответствующей обработкой этих сигналов специальным электронным устройством. Затем полученные ясные и четкие параметры преобразуются в световые и звуковые сигналы, доступные для восприятия зрением и слухом. Обработанная информация хранится в памяти компьютера и может быть предъявлена пользователю в любой момент в доступном для него виде на экране монитора или в распечатанном виде. Это создает для пациента возможность целенаправленно управлять этими сигналами.

Предоставляемые методом биоуправления возможности сканирования и дифференцировки внутренних ощущений, развития самоперцепции, способности понимать собственные эмоции, мотивы поведения, некоторые иррациональные когнитивные процессы,

сигналы собственного организма, которые обычно находятся под порогом восприятия, позволяют добиться снижения уровня психоэмоционального напряжения, тревоги, способствуют появлению так называемой «интуиции здоровья», создают условия для сохранения психического и физического благополучия. Осознание больными в процессе биоуправления единства и взаимозависимости когнитивных и физиологических процессов помогает им понять причину своего страдания, сущность глубинных внутриличностных конфликтов и пути их преодоления.

Биоуправление – единственная медицинская технология, где пациент из пассивного объекта врачебных манипуляций превращается в активного субъекта лечебно-реабилитационного процесса. БОС-терапия рассматривается в настоящее время как один из методов терапии, распространение и внедрение которой в медицину можно сравнить с «третьей терапевтической революцией» [5].

На основе технологии компьютерного биоуправления нами разработана и внедряется в клиническую практику оригинальная методика лечения пациентов с аддиктивными расстройствами с использованием БОС-тренинга по кожно-гальванической реакции, которая, отражая активность потовых желез, опосредовано свидетельствует об активности вегетативной нервной системы, что в свою очередь позволяет оценивать уровень эмоционального возбуждения пациента (по данной разработке нами получено два патента на изобретения № 9366 и № 10793).

Процедура проводится с помощью связанного с компьютером прибора-преобразователя, сигналы к которому подаются с концевых фаланг пальцев рук. См. рис.1.

Мы придаем большое значение предварительной беседе с пациентом и его родственниками с целью выявления особенностей формирования зависимости, степени критического отношения пациента к его заболеванию [6]. До начала тренинга пациенту разъясняется сущность данного метода лечения. Необходимо при этом добиваться ясного формулирования ожиданий пациента от терапии. Успех лечения связывается с собственной активностью пациента. В конце беседы предлагается составить список наиболее угрожаемых с его точки зрения ситуаций по мере снижения их значимости, которые могут привести к срыву ремиссии. С помощью прибора-преобразователя измеряют кожно-гальваническую реакцию и постоянно наблюдают за ее уровнем на экране монитора. Известными способами добиваются состояния психологического и физического комфорта и измеряют при этом уровень кожно-гальванической реакции, который отражается графически на мониторе и считается базовым.

Из представленного пациентом списка выбирается наиболее угрожаемая в плане срыва ремиссии ситуация, которую пациент должен себе мысленно в мельчайших деталях представить. Проводится постоянный мониторинг изменяющегося при этом уровня кожно-гальванической реакции, фиксируется его максимальное значение. Пациент инструктируется о необходимости волевым усилием привести этот показатель к базовому уровню. При снижении уровня кожно-гальванической реакции под влиянием волевых усилий пациента обращается его внимание на возможность произвольной регуляции уровня кожно-гальванической реакции. В дальнейших сеансах проводятся идентичные манипуляции с другими провоцирующими ситуациями из представленного пациентом списка. Фиксируется внимание пациента на том, что приобретенные им в процессе тренинга знания и опыт могут и должны применяться в обыденной жизни для идентификации и дезактуализации провоцирующих ситуаций, что позволяет отказываться от приема спиртного.

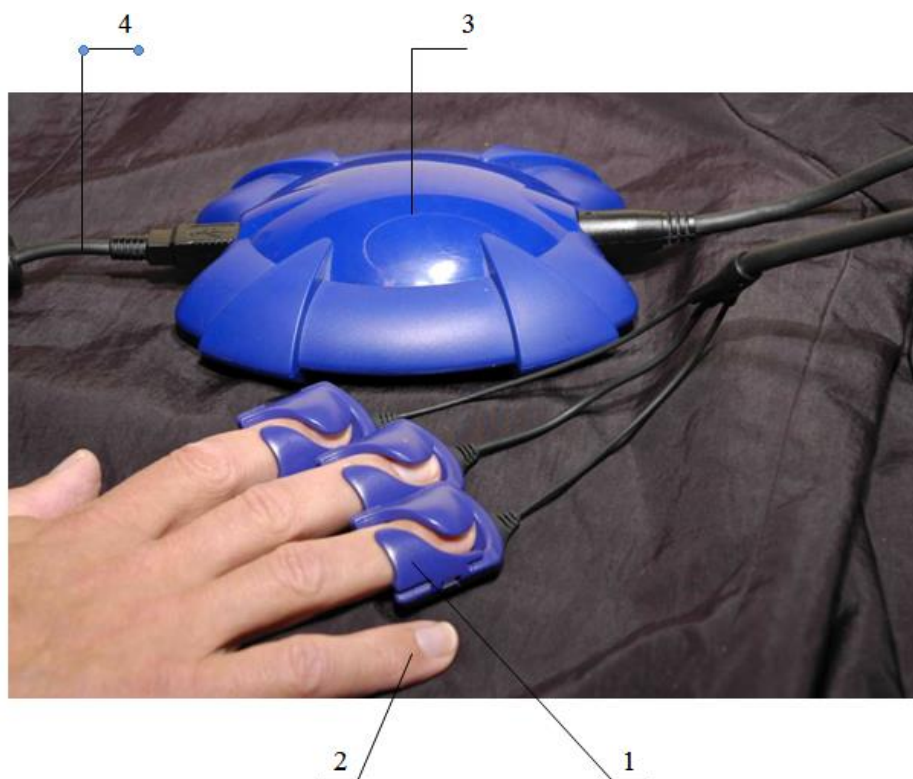


Рис.1. Прибор-преобразователь и снимающие показания клеммы.

1 – клеммы (terminals); 2 – концевые фаланги пальцев руки (terminal phalanges of the fingers); 3 – прибор-преобразователь (converter device); 4 – провод, ведущий к компьютеру (wire leading to the computer) .

Чтобы добиться независимости пациента от стационарной аппаратуры, нами разработан портативный прибор, который при необходимости может размещаться в руке пациента. (На данную разработку также получен патент на изобретение № 10806).

Заключение

Таким образом, в процессе БОС-тренинга пациенту демонстрируется, какие образы и ассоциации в зависимости от его репрезентативной системы в действительности являются для него негативными, он убеждается в возможности стимуляции процессов самоанализа и идентификации провоцирующих прием психоактивных веществ (ПАВ) ситуаций, у него формируются навыки собственными волевыми усилиями нормализовать уровень своих физиологических реакций, который повышается в этих ситуациях, и за счет этого воздерживаться от приема ПАВ.

Список литературы

1. Ницше Ф. Так говорил Заратустра. М.: АСТ, 2017. 416 с.
2. Шопенгауэр А. Мир как воля и представление // Собр. соч. в 5 т. М. : Изд-во «Московский клуб», 1992. Т. 1. 400 с.
3. Фундаментальная и клиническая физиология : учебник / под ред. А. Г. Камкина, А.А. Каменского. М. : Академия, 2004. 1072 с.
4. Биоуправление в клинической практике / М.Б. Штарк, С.С. Павленко, А.Б. Скок, О.С. Шубина // Неврол. журн. 2000. № 5. – С. 52–56.
5. Basmajian J.V. The third therapeutic revolution: behavioral medicine // Appl. Psychophysiol. Biofeedback. 1999. Vol. 24, № 2. P. 107–116 .
6. Плоткин Ф.Б. Психологические защиты (in Russian). и анозогнозия в клинике аддиктивного заболевания: динамика, границы и терапевтическая тактика // Психиатрия, психотерапия и клиническая психология. 2016. Сообщ. 1. № 2. С. 285–295. Сообщ. 2. № 3. С. 432–443.

УДК 61:004.8

ПЕРСПЕКТИВЫ И ОТВЕТСТВЕННОСТЬ ИСКУССТВЕННОГО ИНТЕЛЛЕКТА В МЕДИЦИНЕ

И.М. МАЛОЛЕТНИКОВА¹, Н.С. ПАРАМОНОВА², В.Л. ШАЧИНОВА³,
Х.М. МАЛОЛЕТНИКОВА⁴

¹Гомельский государственный медицинский университет, г. Гомель, Республика Беларусь

²Гродненский государственный медицинский университет, г. Гродно, Республика Беларусь

³Бобруйская центральная больница, филиал Бобруйский наркологический диспансер,
г. Бобруйск, Республика Беларусь

⁴Гомельская городская клиническая больница № 3, г. Гомель, Республика Беларусь

Аннотация. Были проанализированы современные профессиональные базы и литературные источники США, Европы и Российской Федерации, посвященные проблеме искусственного интеллекта (ИИ). Рассмотрены его основные возможности, перспективы в медицине и концепция ответственности искусственного интеллекта (ОИИ). Определены задачи решения этических, юридических и социальных проблем ОИИ.

Ключевые слова: искусственный интеллект, ответственность искусственного интеллекта, медицина.

PROSPECTS AND RESPONSIBILITIES OF ARTIFICIAL INTELLIGENCE IN MEDICINE

I. M. MALOLETNIKOVA¹, N.S. PARAMONOVA², V. L. SHACHINOVA³,
KH. M. MALOLETNIKOVA⁴

¹Gomel State Medical University, Gomel, Republic of Belarus

²Grodna State Medical University, Grodno, Republic of Belarus

³Bobruisk Central Hospital, branch of Bobruisk Narcological Dispensary, Bobruisk, Republic of Belarus

⁴Gomel City Clinical Hospital № 3, Gomel, Republic of Belarus

Abstract. Modern professional databases and literary sources from the USA, Europe and the Russian Federation devoted to the problem of artificial intelligence (AI) were analyzed. Its main capabilities, prospects in medicine and the concept of responsibility of artificial intelligence are considered. The tasks and solutions to ethical, legal and social problems of AI are identified.

Keywords: artificial intelligence, artificial intelligence responsibility, medicine.

Введение

В последние десятилетия искусственный интеллект (ИИ) стал важной частью медицинской индустрии, открывая новые перспективы для диагностики, лечения и контроля за здоровьем пациентов. Эта трансформация поднимает вопросы не только о технических и научных, но и о этических, юридических и социальных аспектах использования ИИ во всех сферах жизнедеятельности [1, 2].

Сферы применения медицинских технологий и программного обеспечения в медицине огромны и продолжают расти. Они улучшают точность диагностики, разрабатывают новые методы лечения и помогают пациентам получать медицинскую помощь дистанционно. Это открывает новые возможности для улучшения качества работы здравоохранения и подчеркивает актуальность оценки перспектив применения ИИ в медицинской науке и практике.

Искусственный интеллект демонстрирует огромный потенциал в улучшении диагностики различных заболеваний. С помощью алгоритмов машинного обучения он сможет анализировать медицинские снимки магнитно-резонансной томографии (МРТ), компьютерной томографии (КТ), ультразвукового исследования (УЗИ), предоставляя быстрые и точные

результаты. Это позволяет врачам заблаговременно и более эффективно выявлять и классифицировать патологические изменения, что в свою очередь приведёт к более рациональному и своевременному лечению. Интеллектуальные системы могут разрабатывать функциональные удобные протезы с учетом анатомических особенностей человека. Это открывает новые возможности для людей с ограниченными физическими возможностями и помогает им восстановить свою мобильность и независимость. С использованием микроскопического анализа и исследования эффективности препаратов анализируются вирусы и создаются эффективные вакцины, разрабатываются новые лекарственные препараты. Различные стартапы играют ключевую роль, привлекая инвестиции для разработки новых методов лечения и борьбы с различными заболеваниями. Разработанные алгоритмы инновационных приложений при удаленной медицинской помощи позволяют врачам общей практики консультировать пациентов в дистанционном режиме. Это особенно востребовано для лечения острых респираторных заболеваний или других состояний, не угрожающих жизни. С помощью специальных программ при онкологических заболеваниях, можно анализировать клиническую картину и состояние пациентов, предлагать эффективные схемы лечения. Это позволяет выявлять онкологию на ранних стадиях и способствует увеличению продолжительности жизни. Привлечение инвестиций в эти стартапы помогает развитию новых методов борьбы с онкологическими заболеваниями [2, 3].

Кроме того, использование ИИ в медицине способствует персонализированному подходу к лечению. Каждый пациент уникален, а его состояние может сильно отличаться от других. ИИ позволяет анализировать огромные объемы данных о пациенте, включая генетическую информацию, и предоставить врачу рекомендации о наиболее эффективных методах лечения, учитывая индивидуальные особенности пациента. Это поможет сократить время на пробные и ошибочные методы лечения и повысить вероятность успеха.

Цель исследования: Проанализировать и предоставить современный взгляд на проблему искусственного интеллекта (ИИ) в медицине.

Результаты и их обсуждение

Текст. По итогам 2023 года объем инвестиций в стартапы в области ИИ в глобальном масштабе достиг почти 50 миллиардов долларов. Это примерно на 9,0% больше затрат за 2022 год, когда капиталовложения в такие проекты оценивались в 45,8 миллиарда долларов. Эти данные представлены в исследовании Crunchbase на онлайн-платформе с информацией о стартапах, принадлежащей TechCrunch, технологическому изданию из США [3]. Результаты этого исследования были опубликованы 4 января 2024 года. Можно отметить значительный рост интереса к стартапам в сфере ИИ и повышение доверия инвесторов к этому сектору. Увеличение инвестиций в сфере здравоохранения свидетельствует о возросшей уверенности в перспективах данной области и ее значимости для будущего, начиная от медицины и финансов до транспорта и производства.

Крупные технологические компании, такие как IBM (International Business Machines), Microsoft, Google, Intel и Medtronic, вкладывают свои ресурсы и разрабатывают новые системы и программы, чтобы помочь в борьбе с тяжелыми заболеваниями [4–6].

IBM является одной из ведущих компаний, занимающихся разработкой систем в области лечения онкологии. Благодаря своим разработкам, IBM помогает врачам предоставлять более эффективные методы лечения и диагностики.

Microsoft также принимает активное участие в борьбе с онкологией. Один из их проектов включает анализ медицинских изображений опухолей и математический анализ развития клеток. Это позволяет более точно определить стадию заболевания и предложить наиболее подходящий метод лечения [3].

Google использует свою платформу DeepMind, чтобы помочь Национальной службе здравоохранения Великобритании. С помощью мобильных приложений собираются данные о здоровье, которые позволяют обнаружить риски при различных патологиях. Кроме того, Google разрабатывает алгоритмы «компьютерного зрения» для обнаружения опухолевых клеток на основе анализа медицинских изображений [3].

Корпорация Intel, известная своими достижениями в области процессоров, также внесла свой вклад в медицину. Они разрабатывают программы с использованием ИИ, которые помогают определить пациентов, находящихся в группе риска, и предлагают лучшие варианты лечения. Это позволяет врачам своевременно определить необходимые меры профилактики и лечения пациентов [3].

Medtronic – одна из ведущих компаний, активно работающих в области эндокринных заболеваний, особенно сахарного диабета. Эта компания сотрудничает с IBM для разработки инновационного приложения, которое помогает людям, страдающим этим заболеванием. С помощью этого приложения можно определить критическое снижение уровня глюкозы в крови за несколько часов до того, как оно станет опасным. Для этого собираются данные с глюкометров и инсулиновых помп анонимных пациентов [3, 6].

Кроме того, существует множество других компаний, которые разрабатывают различные системы. Новые технологии значительно улучшают возможности медицины и позволяют более точно диагностировать и лечить различные заболевания. Это открывает новые возможности для современной медицины и дает надежду на более эффективное и успешное лечение.

Однако, использование ИИ в медицине также поднимает важные этические вопросы. Одним из них является вопрос приватности и безопасности данных пациента. Сбор и анализ больших объемов медицинских данных требует строгих мер безопасности, чтобы защитить информацию пациентов от несанкционированного доступа и злоупотребления. Также важно учитывать, что ИИ, хоть и может быть крайне полезным, никогда не должен заменять врачей. Врачи играют важную роль в принятии окончательных решений, основываясь не только на рекомендациях ИИ, но и на их знаниях и опыте работы [7].

В 2021 году World Health Organization (WHO) опубликовала доклад «Этика и управление искусственным интеллектом в интересах здоровья», в котором описываются возможные риски использования инновационных технологий. В связи с этим WHO предлагает шесть принципов, которые позволят гарантировать работу ИИ в интересах общества [8]:

1. Защита автономии человека.

Управление системой здравоохранения и принятие врачебных решений должны оставаться за человеком, а не за ИИ. Неприкосновенность частной жизни и конфиденциальность передаваемых данных должны быть строго обеспечены.

2. Содействие благополучию и безопасности человека, общественным интересам.

При создании технологий ИИ необходимо выполнять все необходимые требования для обеспечения безопасности, иметь систему контроля качества для отслеживания эффективности работы этой системы.

3. Обеспечение прозрачности, объяснимости и ясности.

Необходимо, чтобы до создания или внедрения технологий был опубликован документ с описанием работы системы, благодаря которому можно было бы понять, как именно создается технология и релевантно ли ее использование в будущем.

4. Содействие ответственности и подотчетности.

Важно, чтобы созданные технологии использовались по назначению и только подготовленными специалистами. Также необходимо проводить работу с теми, на кого технологии оказали негативное воздействие, чтобы уменьшить вероятность повторения подобных ситуаций.

5. Обеспечение инклюзивности и справедливости.

Необходимо предоставлять равный доступ к технологиям независимо от пола, возраста, расы, материального положения и т. д.

6. Продвижение ИИ, отвечающего принципам адаптивности и устойчивого развития.

Разработчики и пользователи технологий должны давать им оценку в период непосредственного использования. Кроме того, разработчикам важно создавать такие технологии, от которых будет минимум экологических последствий и максимум энергоэффективности.

В России активно работают над созданием национальных стандартов по использованию технологий искусственного интеллекта в здравоохранении с целью снижения рисков, связанных с их применением. Профессиональная разработка с учетом этих рисков и

утверждение национальных стандартов является гарантией качества и безопасности применения технологий искусственного интеллекта в здравоохранении. Медицинские учреждения в г. Москве и субъекты федерации будут успешно применять эти стандарты, что позволит создать единые подходы и требования к использованию ИИ в клинической практике [9].

Кроме того, важно обеспечить доступность ИИ-технологий в медицине для всех слоев населения. Неравенство в доступе к здравоохранению и медицинским технологиям может усугубиться, если ИИ-технологии станут доступны только для некоторых богатых пациентов или развитых медицинских учреждений. Поэтому необходимо разработать механизмы для широкого использования

Заключение

ИИ имеет огромный потенциал для улучшения диагностики, лечения и управления здоровьем пациентов. Однако, его использование в медицине должно быть основано на этических принципах и социальной ответственности. Необходимо разработать строгие нормы и правила для использования ИИ, чтобы гарантировать безопасность и неприкосновенность данных пациента, а также обеспечить доступность ИИ-технологий для всех слоев населения. Только тогда можно полностью реализовать потенциал ИИ в медицине и способствовать совершенствованию здравоохранения всего общества.

Список литературы

1. Дик С.К. Искусственный интеллект в политике и идеологии. BIG DATA и анализ высокого уровня: Сб. Научных статей 10 международной научно-практической конференции. РБ, Минск, 13.03.2024. В 2 частях. Часть 1.– С.32–37.
2. Andrew C. Medical Ethics Artificial Intelligence in Medicine Ulster. *Med J.* 2023;92(3):167–169.
3. Yerushalmy J. Artificial intelligence (AI) ‘I want to destroy whatever I want’: Bing’s AI chatbot unsettles US reporter. [Internet]. *The Guardian.*2023; Feb 17. [cited Aug 12 2023]. Available from: <https://www.theguardian.com/technology/2023/feb/17/i-want-to-destroywhatever-i-want-bings-ai-chatbot-unsettles-us-reporter?ref=the-pillar>
4. Cho A, Min IK, Hong S, Chung HS, Lee HS, Kim JH. Effect of Applying a Real-Time Medical Record Input Assistance System With Voice Artificial Intelligence on Triage Task Performance in the Emergency Department: Prospective Interventional Study. *JMIR Med Inform.* 2022;10(8): e39892. DOI: <https://doi.org/10.2196/39892>
5. Walter T Lee. Artificial Intelligence in Medicine: A Caution About Good Intentions and Where It May Lead. *Otolaryngol Head Neck Surg.* 2024;170(2): S45-S51. DOI: <https://doi.org/10.1002/ohn.658>
6. Amnuay K, Viroj W. Artificial intelligence in medicine and research. *Saudi J Anaesth.* 2024;18(1):164-165. DOI: https://doi.org/10.4103/sja.sja_712_23. Epub 2024 Jan 2
7. Molly B, Jonathan M, Chi WO, Milan T. Transformative Potential of AI in Healthcare: Definitions, Applications, and Navigating the Ethical Landscape and Public Perspectives. *Healthcare (Basel).* 2024;12(2):125. DOI: <https://doi.org/10.3390/healthcare12020125>
8. Regulatory considerations on artificial intelligence for health: World Health Organization Newsletter, 2023. [Electronic resource]. Global website of the world health organization. [date of access 2024 January 7]. Available from: <https://iris.who.int/handle/10665/373421>
9. Стандарты по направлению «Искусственный интеллект» в медицине, 2022. [Электронный ресурс]. Федеральное агентство по техническому регулированию и метрологии [дата обращения 2024 январь 18]. Режим доступа: <https://www.rst.gov.ru/portal/gost/home/standarts/aistandarts>

УДК 616.89-08:004.3:004.42:004.9

ИНФОРМАТИВНЫЕ ПРИЗНАКИ И ХАРАКТЕРИСТИКИ ЭЛЕКТРОЭНЦЕФАЛОГРАММ

П.Ю. БРАНЦЕВИЧ¹, Т.В. ДОКУКИНА², Н.Н. МИСЮК², П.П. КОРОЛЕВИЧ²

¹*Белорусский государственный университет информатики и радиоэлектроники
(г. Минск, Республика Беларусь)*

²*Республиканский научно-практический центр психического здоровья (г. Минск, Республика Беларусь)*

Аннотация. Создание новых и совершенствование уже существующих методов оценки состояния человека является важным направлением медицинских и междисциплинарных исследований. Цифровая обработка электроэнцефалограмм, отражающих в определённом смысле состояние нейронной сети головного мозга человека, является современным методом определения их информативно-значимых параметров и характеристик. Рассмотрены вопросы применения амплитудных спектров, полосовых спектров, временных трендов, цифровой фильтрации при сравнительном анализе электроэнцефалограмм для оценки влияния электросудорожной терапии на состояние нейронной сети головного мозга человека. Представлены результаты обработки экспериментальных данных.

Ключевые слова: электроэнцефалограмма, цифровая обработка сигналов, информативный признак, амплитудный спектр, фильтрация, временной тренд.

INFORMATIVE SIGNS AND CHARACTERISTICS OF ELECTROENCEPHALOGRAMS

PETER. Y. BRANCEVICH¹, TATIANA. V. DOKUKINA², NIKOLAI. N. MISYUK²,
PAVEL. P. KOROLEVICH²

*Belarusian State University of Informatics and Radioelectronics (Minsk, Republic of Belarus)
Republican Scientific and Practical Center for Mental Health (Minsk, Republic of Belarus)*

Abstract. The development of new and improvement of existing methods for assessing the human condition is an important area of medical and interdisciplinary research. Digital processing of electroencephalograms, which in a certain sense reflect the state of the neural network of the human brain, is a modern method for determining their informative and significant parameters and characteristics. The issues of using amplitude spectra, band spectra, time trends, digital filtering in comparative analysis of electroencephalogram for assessing the effect of electroconvulsive therapy on the state of the neural network of the human brain are considered. The result of experimental data processing are presented.

Keywords: electroencephalogram, digital signal processing, informative feature, amplitude spectrum, filtering, time trend.

Введение

Разработка новых и совершенствование уже существующих методов оценки состояния и лечения человека является важным направлением медицинских исследований. При этом многие исследования проводятся как междисциплинарные, отличающиеся разнообразием методов обработки исходных параметров и характеристик человеческого организма и формализацией систем принятия решений. Обоснованные выводы и решения о состоянии контролируемого объекта можно получить анализируя длительные временные тренды параметров или исходные информативные сигналы и данные. Вычислительная и информационная мощность современных технических средств, в том числе и мобильных, позволяет существенно расширить и разнообразить подходы к решению задач, связанных с обработкой длинных реализаций цифровых сигналов и автоматикой принятия решений [1-2].

Работа человеческого мозга, как взаимодействие нейронов посредством электрических токов и химических реакций, сопровождается изменением электромагнитного поля на

поверхности головы, которое можно зафиксировать специальными первичными преобразователям, отразить изменяющимися параметрами тока или напряжения, и представить в виде цифровых сигналов, что и происходит, когда снимают электроэнцефалограмму (ЭЭГ) [3]. ЭЭГ – процедура, которая проводится для определения электрической активности головного мозга и выявления очагов повышенной судорожной активности его коры, что характерно для: эпилепсии; опухолей; состояний после перенесенного инсульта; структурных и метаболических энцефалопатий; расстройств сна и других заболеваний. Электроэнцефалограмма выявляет симптоматику работы головного мозга, а ее анализ позволяет оценить характер зарегистрированных артефактов [4–6]. Стандартной системой размещения электродов на поверхности головы, рекомендованной Международной федерацией электроэнцефалографии и клинической нейрофизиологии, является система «10–20%» [6].

Сравнительный анализ электроэнцефалограмм, как реализаций цифрового сигнала

Электросудорожная терапия (ЭСТ) – метод психиатрического и неврологического лечения, при котором эпилептиформный судорожный припадок вызывается пропусканием электрического тока через головной мозг пациента с целью достижения лечебного эффекта [7]. ЭСТ можно использовать, только если другие мероприятия, например, лекарства и психотерапия, не дали результата [8]. Нейронная сеть головного мозга человека подвергается сильному воздействию, однако пока не определены объективные информативно-значимые признаки на основе анализа ЭЭГ, которые показывали бы или подтверждали эффективность проведенных процедур ЭСТ.

В данной работе рассмотрены способы сравнительного анализа ЭЭГ, полученных до и после проведения сеансов ЭСТ.

Рассмотрим сигналы ЭЭГ (отведение О1-АА), полученные при обследовании пациента до и после ЭСТ (рисунок 1) и результаты их преобразований (рисунок 2).

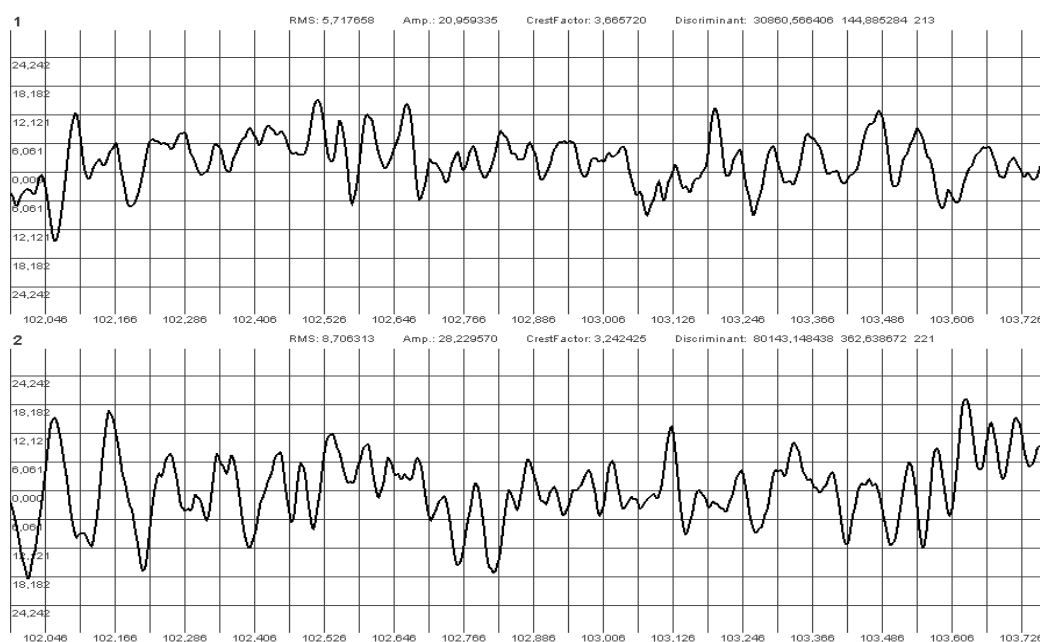


Рис. 1. Отрезки сигналов ЭЭГ, отведение О1-АА, до процедуры ЭСТ (верхний сигнал) и после (нижний сигнал). Ось абсцисс – время, с; Ось ординат – напряжение, мВ

Fig. 1. EEG signal segments, lead O1-AA, before the ECT procedure (upper signal) and after (lower signal). Abscissa axis – time, s; Ordinate axis – voltage, mV.

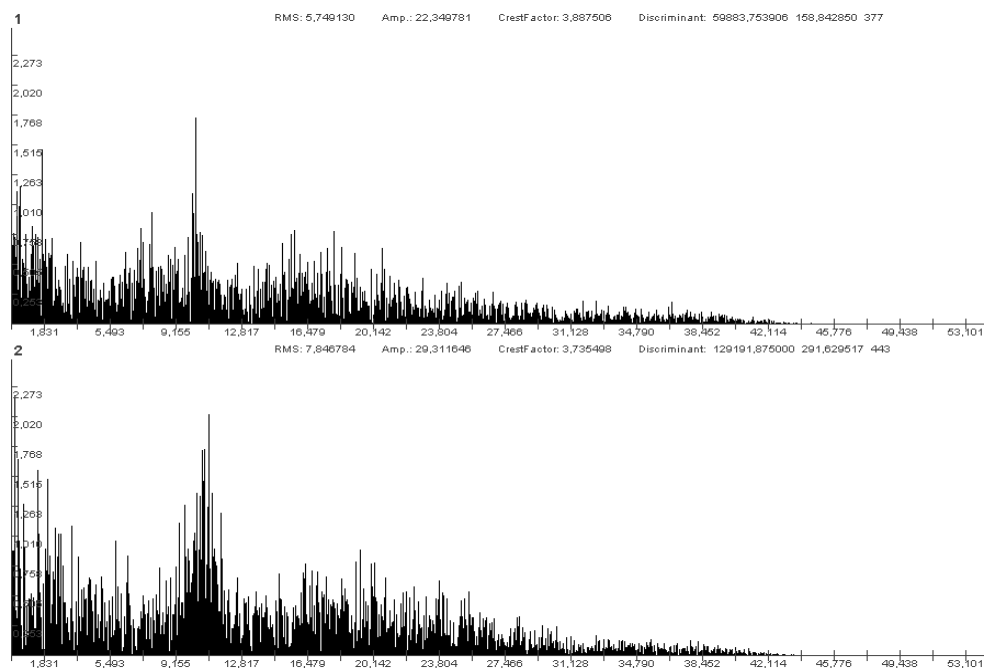


Рис. 2. Амплитудные спектры сигналов ЭЭГ, отведение О1-АА, до процедуры ЭСТ (верхний сигнал) и после (нижний сигнал), частотное разрешение 0.061035 Гц
Fig. 2. Amplitude spectra of EEG signals, lead O1-AA, before the ECT procedure (upper signal) and after (lower signal), frequency resolution 0.061035 Hz

Ряд проведенных исследований амплитудных спектров ЭЭГ показал, что при изменении частотного разрешения спектрального анализа изменяется структура спектра ЭЭГ, а также можно выявить отличие амплитудных спектров до и после ЭСТ [9–12]. Это является свидетельством случайного характера изменения ЭЭГ во времени. После процедуры ЭСТ на ЭЭГ наблюдается новая выраженная гармоническая составляющая с частотой около 1 Гц.

Полосовой спектральный анализ [13] для частотных диапазонов альфа (8–13 Гц); бета (13–35 Гц); гамма (35–70 Гц); дельта (0,3–4 Гц); тэта (4–8 Гц) позволяет получить более усредненную картину. На рисунках 3–4 представлены полосовые спектры сигналов ЭЭГ, полученные до и после процедур ЭСТ на временном интервале 8,192 с.



Рис. 3. Полосовые спектры сигналов ЭЭГ, полученные до и после процедур ЭСТ на временном интервале 8,192 с. Эксперимент 1
Fig. 3. Band spectra of EEG signals obtained before and after ECT procedures over a time interval of 8,192 s. Experiment 1



Рис. 4. Полосовые спектры сигналов ЭЭГ, полученные до и после процедур ЭСТ на временном интервале 8,192 с. Эксперимент 2
Fig. 4. Band spectra of EEG signals obtained before and after ECT procedures over a time interval of 8,192 s. Experiment 2

В большинстве случаев наблюдается существенное изменение полосовых спектров, после проведения процедуры ЭСТ, однако имеют место и случаи, когда полосовые спектры сохраняют близкие к исходному соотношения интенсивностей колебаний в частотных полосах [14].

Важную информацию можно получить, анализируя временные тренды параметров ЭЭГ, варьируя шаг по времени и протяжённость интервала наблюдения. На рисунках 6–8 показаны временные тренды параметров для сигнала ЭЭГ, представленного на рисунке 5.

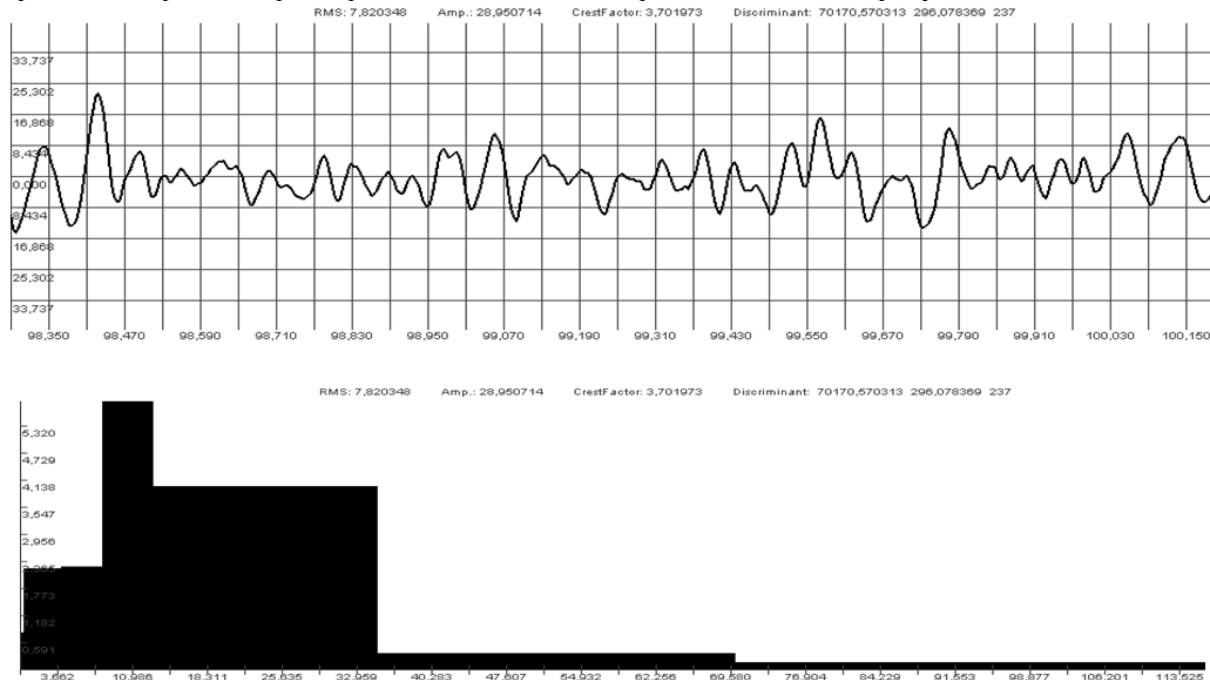


Рис. 5. Исследуемая временная реализация сигнала ЭЭГ и её полосовой спектр
Fig. 5. The studied temporal realization of the EEG signal and its band spectrum

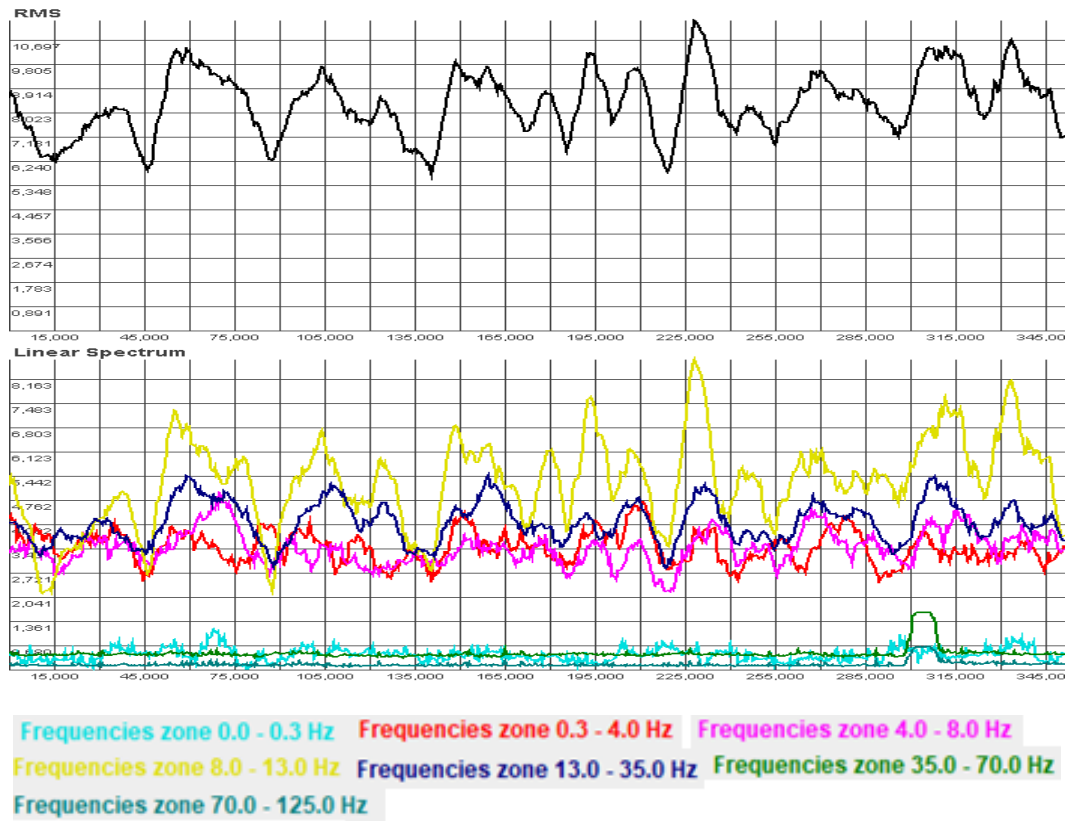


Рис. 6. Временные тренды СКЗ сигнала ЭЭГ и СКЗ в частотных полосах шаг по времени 0,5 с, интервал анализа 8,192 с
Fig. 6. Time trends of EEG signal RMS and RMS in frequency bands time step 0,5 s, analysis interval 8,192 s

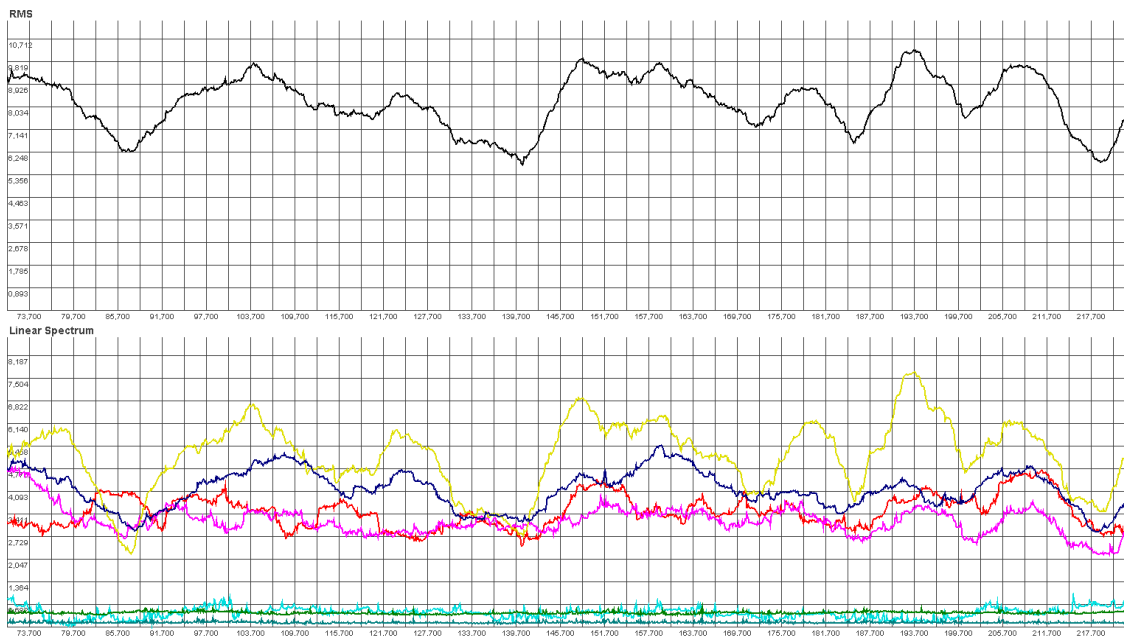


Рис. 7. Временные тренды СКЗ сигнала ЭЭГ и СКЗ в частотных полосах шаг по времени 0,1 с, интервал анализа 8,192 с
Fig. 7. Time trends of EEG signal RMS and RMS in frequency bands time step 0,1 s, analysis interval 8,192 s

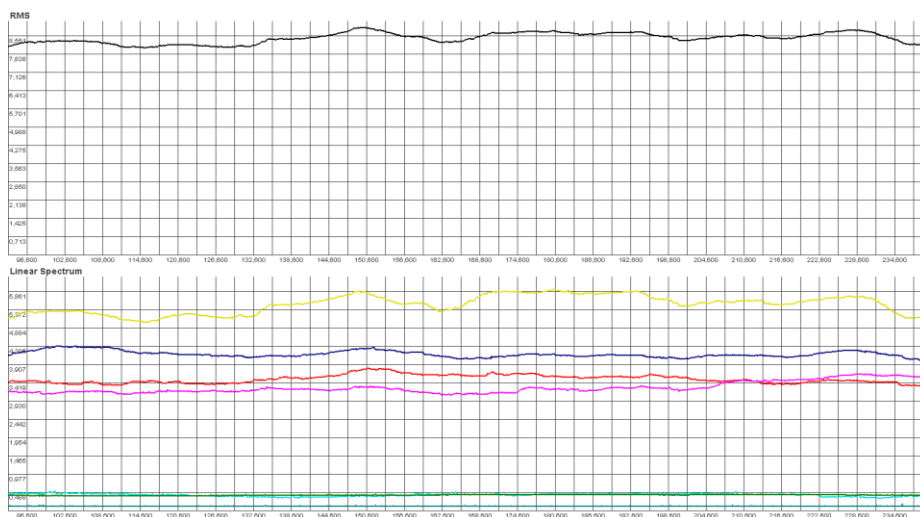


Рис. 8. Временные тренды СКЗ сигнала ЭЭГ и СКЗ в частотных полосах шаг по времени 0,1 с, интервал анализа 65,536 с

Fig. 8. Time trends of EEG signal RMS and RMS in frequency bands time step 0,1 s, analysis interval 65,536 s

Можно заметить колебательный во времени характер изменения среднего квадратического значения (СКЗ) сигнала ЭЭГ и СКЗ в отдельных частотных полосах. При интервале анализа в 65 секунд амплитуда колебаний СКЗ уменьшается, а изменение тренда приобретает плавный характер. Такие данные уже можно использовать для визуального сравнительного анализа (рисунок 9).

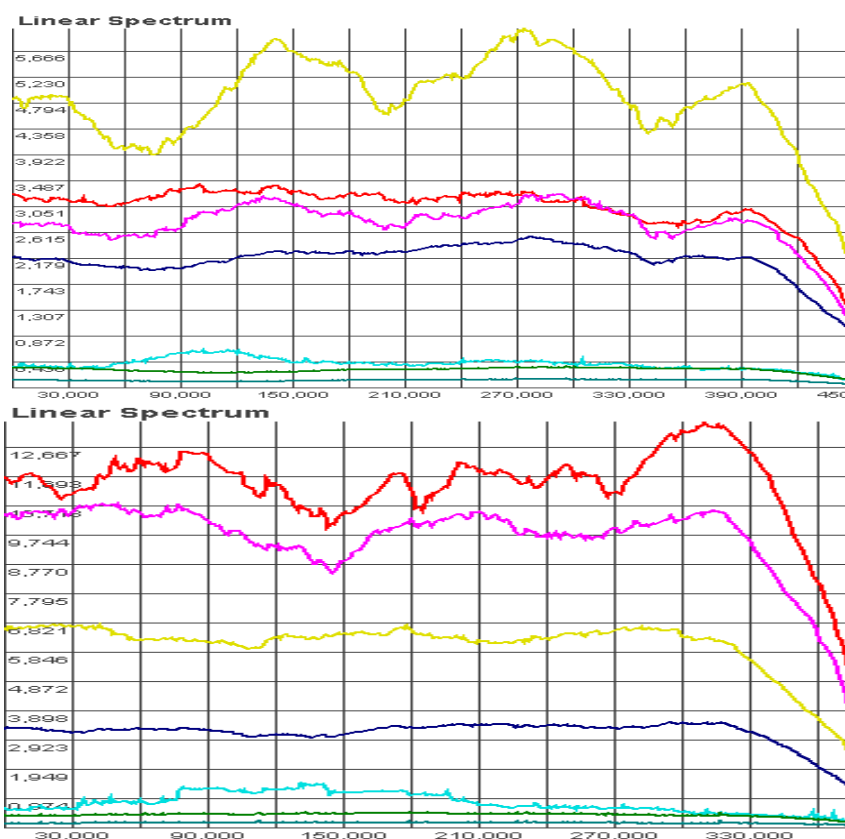


Рис. 9. Временные тренды СКЗ сигнала ЭЭГ и СКЗ в частотных полосах до и после процедуры ЭСТ шаг по времени 0,5 с, интервал анализа 65,536 с

Fig. 9. Time trends of EEG signal RMS and RMS in frequency bands before and after ECT procedure time step 0,5 s, analysis interval 65,536 s

Заключение

Представленные результаты обработки ЭЭГ позволяют сделать предположение о возможности определить группу информативно-значимых признаков, по которым можно будет делать обоснованное заключение об эффективности процедуры ЭСТ. Интересные результаты получены также при обработке ЭЭГ с использованием вейвлетов, преобразования Гильберта-Хуанга, огибающей сигнала в частотных полосах, гистограмм распределения сигнала по уровню [2, 12–14]. Однако для формулирования обоснованных и практически значимых выводов требуется проведение исследований на большом объеме реальных данных.

Список литературы

1. Айфичер, Э. С. Цифровая обработка сигналов: практический подход / Э. С. Айфичер, Б. У. Джервис. – М.: Издательский дом «Вильямс», 2008. – 992 с.
2. Бранцевич, П. Ю. Цифровая обработка вибрационных сигналов / П. Ю. Бранцевич. – Минск: Бестпринт, 2022. – 297 с.
3. Зенков, Л. Р. Клиническая электроэнцефалография (с элементами эпилептологии) / Л. Р. Зенков. 2-е изд., испр. и доп. – М.: МЕДпресс-информ, 2002. – 368 с.
4. Павлова, Л. П. Доминанты деятельного мозга человека. Системный психофизиологический подход к анализу ЭЭГ / Л. П. Павлова. – СПб.: Информ-навигатор, 2017. – 430 с.
5. Докукина, Т. В. Визуальная и компьютерная ЭЭГ в клинической практике / Т. В. Докукина, Н. Н. Мисюк. – Минск: Книгасбор, 2011. – 187 с.
6. Татум, У. О. Клиническая интерпретация электроэнцефалографии / У. О. Татум, А. М. Хусейн, С. Р. Бенбадис, П. В. Каплан. Пер. с англ. – М.: Издательский дом БИНОМ. 2020. – 264 с.
7. Метод лечения резистентных форм психических и поведенческих расстройств с использованием электросудорожной терапии. Инструкция по применению / Докукина Т. В. [и др.]. Утв. М-вом здравоохранения Респ. Беларусь 20.01.2015. – Минск: М-во здравоохранения РБ, 2015. – 11 с.
8. Бауэр, М. Клинические рекомендации Всемирной федерации обществ биологической психиатрии по биологической терапии униполярных депрессивных расстройств. Часть 3: Острое и продолженное лечение униполярных депрессивных расстройств по состоянию на 2013 год / М. Бауэр, А. Пфенниг, Э. Северус, П. С. Вайбрау, Ж. Ангст, Х. Ю. Мюллер от имени и по поручению Рабочей группы по униполярным депрессивным расстройствам // Современная терапия психических расстройств, 2016. – № 2. – С. 27-40.
9. Лайонс, Р. Цифровая обработка сигналов / Р. Лайонс. – М.: ООО «Бином-Пресс», 2006. – 656 с.
10. Кулаичев, А. П. Компьютерная электрофизиология и функциональная диагностика / А. П. Кулаичев. – Москва: ИНФРА-М, 2018. – 469 с.
11. Бранцевич, П. Ю. Цифровая обработка электроэнцефалограмм / П. Ю. Бранцевич // Science and innovation. – Ташкент: LLC «Science and innovation», 2023. – Special Issue 3. – с. 930–934.
12. Бранцевич, П. Ю. Информативные параметры электроэнцефалограмм / П. Ю. Бранцевич // Прикладные проблемы оптики, информатики, радиофизики и физики конденсированного состояния: материалы седьмой Междунар. науч.-практ. конф. 18-19 мая 2023 г., Минск, М-во образования Респ. Беларусь, НИУ «Ин-т приклад. физ. проблем им. А. Н. Севченко» Беларус. Гос. ун-та. – Минск: ОДО «Рейплац», 2023. – С. 137–139.
13. Бранцевич, П. Ю. Цифровая обработка сигналов и сравнительный анализ электроэнцефалограмм / П. Ю. Бранцевич // BIG DATA и анализ высокого уровня = BIG DATA and Advanced Analytics : сб. науч. ст. X Междунар. науч.-практ. конф. (Республика Беларусь, Минск, 13 марта 2024 года). В 2 ч. Ч. 1. – Минск: БГУИР, 2024. – С. 101–112.
14. Бранцевич, П. Ю. Сравнительный анализ электроэнцефалограмм / П. Ю. Бранцевич // BIG DATA и анализ высокого уровня = BIG DATA and Advanced Analytics: сб. науч. ст. IX Междунар. науч.-практ. конф. В 2 ч. Ч. 1 (Республика Беларусь, Минск, 17–18 мая 2023 года). – Минск: БГУИР, 2023. – С. 132–144.

УДК 616.127-005.4:616.124

ОДНОФОТОННАЯ ЭМИССИОННАЯ КОМПЬЮТЕРНАЯ ТОМОГРАФИЯ В ДИАГНОСТИКЕ НАРУШЕНИЙ ФУНКЦИИ СЕРДЦА У МОЛОДЫХ ПАЦИЕНТОВ С ЭЛЕКТРОКАРДИОСТИМУЛЯЦИЕЙ

А.С. ГАРИПОВ¹, И.В. ПАТЕЮК², В.И. ТЕРЕХОВ³, К.В. ДРОЗДОВСКИЙ¹

¹Республиканский научно-практический центр детской хирургии (Минск, Республика Беларусь)

²Белорусский государственный медицинский университет (Минск, Республика Беларусь)

³5-я городская клиническая больница (Минск, Республика Беларусь)

Аннотация. В статье рассмотрены возможности использования однофотонной эмиссионной компьютерной томографии в определении нарушений систолической и диастолической функций сердца у молодых пациентов с длительной желудочковой стимуляцией.

Ключевые слова: желудочковая стимуляция, диастолическая дисфункция, систолическая дисфункция, однофотонная эмиссионная компьютерная томография

SINGLE-PHOTON EMISSION COMPUTED TOMOGRAPHY IN THE DIAGNOSIS OF CARDIAC DYSFUNCTION IN YOUNG PATIENTS WITH PACING

A. HARYPAU¹, I. PATSIAYUK², V. TEREHOV³, K. DROZDOVSKI¹

¹Republican Scientific and Practical Center of Pediatric Surgery, Minsk, Republic of Belarus

²Belarusian State Medical University, Minsk, Republic of Belarus

³5th City Clinical Hospital, Minsk, Republic of Belarus

Abstract. The article considers the possibilities of using single-photon emission computed tomography in determining disorders of systolic and diastolic heart functions in young patients with prolonged ventricular pacing.

Keywords: ventricular stimulation, diastolic dysfunction, systolic dysfunction, single-photon emission computed tomography.

Введение

Длительная желудочковая электростимуляция со временем может приводить к снижению систолической функции сердца, развитию ЭКС-индуцированной кардиомиопатии и в дальнейшем к клинически значимой сердечной недостаточности [1]. Эхокардиография с определением фракции выброса левого желудочка (ФВ ЛЖ) является общепризнанным рутинным диагностическим методом определения систолической и диастолической функции сердца [2], однако у пациентов с желудочковой стимуляцией, с учетом выраженности диссинхронии, может вызывать определенные трудности в диагностике и интерпретации результатов. Однофотонная эмиссионная компьютерная томография (ОФЭКТ) с синхронизацией электрокардиограммы (ЭКГ) позволяет не только определять перфузионные отношения миокарда, но и структурно-функциональные характеристики сердца, в т.ч. у пациентов с электрокардиостимуляцией [3]. Исследования, посвященные изучению распространенности и диагностики нарушений глобальной контрактильной способности ЛЖ у пациентов с электрокардиостимуляцией с использованием новых современных диагностических методов малочисленны, что обуславливают актуальность и вызывают несомненно клинический интерес.

Цель исследования – оценить систолическую и диастолическую функцию сердца молодых пациентов с длительной желудочковой стимуляцией с помощью ОФЭКТ.

Материалы и методы

В исследование включено 20 пациентов (мужчины/женщины 12/8) в возрасте 18-35 лет (22,5 (20,4; 24,8) лет) с электрокардиостимуляторами (ЭКС), имплантированными по поводу полной атриовентрикулярной блокады в детском возрасте. У всех пациентов на момент исследования имплантирован двухкамерный ЭКС. Длительность желудочковой стимуляции составила 15,7 (14,1; 18,2) лет. Всем пациентам проведены общеклинический осмотр, ОФЭКТ с синхронизацией ЭКГ. Статистический анализ проведен с помощью пакета программ Statistica 10.0 с использованием непараметрических методов, количественные данные представлены в виде медианы и межквартильного разброса. Различия статистически значимыми считали при $p < 0,05$.

Однофотонную эмиссионную компьютерную томографию миокарда проводили на современной системе Anyscan/SC, коллиматор LEHR. Исследование выполнялось по однодневному протоколу GATED SPECT в последовательности STRESS/СТ с коррекцией поглощения, с фармакологической нагрузочной пробой (дипиридамолом). В течение 4 мин. вводилось внутривенно медленно 0,142 мг/кг/мин – 50 мг дипиридамола под контролем артериального давления (АД), частоты сердечных сокращений, ЭКГ. Во время инфузии проводился мониторинг клинических и ЭКГ признаков ишемии. На высоте нагрузки вводился радиофармпрепарат (РФП) ^{99m}Tc -метоксиизобутилизонитрил (SESTAMIBI, $\text{Tc } ^{99m}\text{-MIBI}$), активность РФП составила 890 Бк, эффективная доза – 3,1 мЗв/КТ 1,3 мЗв. Через 20-30 минут после введения РФП производилась запись. Через 2-3 часа проводилось второе исследование миокарда GATED REST, спустя 60 минут после введения РФП.

Для оценки систолической функции миокарда левого желудочка (ЛЖ) по данным ОФЭКТ с синхронизацией ЭКГ определяли объемные показатели: индексы конечно-диастолического объема (ИКДО, мл/м²) и конечно-систолического объема (ИКСО, мл/м²). Значение фракции выброса левого желудочка (ФВ ЛЖ, %) определяли согласно формуле $\text{ФВ ЛЖ} = (\text{КДО} - \text{КСО}) / \text{КДО} \times 100\%$.

Диастолическую функцию по данным ОФЭКТ с синхронизацией ЭКГ оценивали по времени достижения максимальной скорости наполнения при нагрузке (time to peak filling, ТТРФ, мс); пиковой объемной скорости наполнения желудочков (peak filling rate, PFR, конечно-диастолический объем (КДО)/с); пиковой объемной скорости изгнания крови из желудочков (peak ejection rate, PER, КДО/с) в покое (Rest) и при нагрузке (Stress) [3]. Диастолическая дисфункция определялась при одновременных значениях $\text{PFR} < 1.7 \text{ КДО/с}$ и $\text{ТТРФ} > 208 \text{ мс}$ как в покое так и при нагрузке [3].

Результаты и их обсуждение

Объемные показатели ЛЖ представлены в таблице 1.

При анализе систолической функции сердца определили, что объемные показатели ЛЖ в покое, так при нагрузке значимо не отличались ($p > 0,05$) и составили для ИКДО ЛЖ 71,5 (61,6; 80,2) мл/м² и 73,9 (61,9; 88,5) мл/м², для ИКСО ЛЖ – 30,7 (21,1; 37,7) мл/м² и 28,2 (20,1; 35,1) мл/м² соответственно. У троих (15%) пациентов отмечена ФВ ЛЖ менее 55%, что свидетельствует о рисках развития систолической дисфункции миокарда ЛЖ. При этом интегральные показатели ФВ ЛЖ при фармакологической пробе составили 61,0 (56,0; 68,0) %, в покое – 61,0 (56,0; 66,0) %, что свидетельствует в целом об адекватной реакции сердца в ответ на нагрузку и отсутствии транзиторной дилатации.

Таблица 1. Показатели систолической функции ЛЖ пациентов с желудочковой стимуляцией

Stress ИКДО ЛЖ, мл/м ²	Stress ИКСО ЛЖ, мл/м ²	Rest ИКДО ЛЖ, мл/м ²	Rest ИКСО ЛЖ, мл/м ²	Stress ФВ ЛЖ, %	Rest ФВ ЛЖ, %
73,9 (61,9; 88,5)	28,2 (20,1; 35,1)	71,5 (61,6; 80,2)	30,7 (21,1; 37,7)	61,0 (56,0; 68,0)	61,0 (56,0; 66,0)

Интегральные показатели диастолической функции представлены в таблице 2.

Таблица 2. Показатели диастолической функции сердца пациентов с желудочковой стимуляцией

Stress TTPF, мс	Stress PFR, КДО/с	Stress PER, КДО/с	Rest TTPF, мс	Rest PFR, КДО/с	Rest PER, КДО/с
272,5 (242,0; 319,5)	2,2 (1,6; 2,7)	2,5 (1,9; 3,1)	249,5 (221,0; 279,5)	1,8 (1,4; 2,5)	2,5 (2,1; 3,2)

При анализе полученных данных диастолическую дисфункцию миокарда ЛЖ выявили у 30% (6 человек из 20) исследуемых. Значения показателей времени достижения максимальной скорости наполнения при нагрузке и в покое составили 272,5 (242,0; 319,5) мс и 249,5 (221,0; 279,5) соответственно; пиковой объемной скорости наполнения желудочков – 2,2 (1,6; 2,7) КДО/с и 1,8 (1,4; 2,5) соответственно. Значения пиковой объемной скорости изгнания крови из желудочков, как интегрального показателя глобальной сократимости, составили 2,5 (1,9; 3,1) КДО/с и 2,5 (2,1; 3,2) КДО/с соответственно. При этом, по данным литературы данный показатель в норме составляет >2-3 КДО/с и прогрессивно снижается при патологическом расширении ЛЖ и падении ФВ [3].

Заключение

В настоящее время ОФЭКТ с синхронизацией ЭКГ позволяет определять объемные и скоростные показатели миокарда ЛЖ и выявлять нарушения систолической так и диастолической функции сердца. Снижение ФВ ЛЖ менее 55% выявлено у 15 % пациентов с длительной желудочковой стимуляцией, а признаки диастолической дисфункции ЛЖ – у 30% исследуемых, что свидетельствует о высоких рисках развития сердечно-сосудистых событий у данного контингента.

Список литературы

1. Kim, S.S. New Insights into Pacing Induced Cardiomyopathy / S.S. Kim, H.W. Park // Rev. Cardiovasc. Med. 2024 Vol. 25, № 4. P. 118. <https://doi.org/10.31083/j.rcm2504118>.
2. 2021 ESC Guidelines for the diagnosis and treatment of acute and chronic heart failure: Developed by the Task Force for the diagnosis and treatment of acute and chronic heart failure of the European Society of Cardiology (ESC) with the special contribution of the Heart Failure Association (HFA) of the ESC / T.A. McDonagh [et al.] // Eur. Heart J. 2021 Vol. 42, № 36. P. 3599–3726. <https://doi.org/10.1093/eurheartj/ehab368>.
3. Ansheles A.A., Sergienko V.B. Nuclear cardiology. Publishing House of the Federal State Budgetary Institution "NMIC of Cardiology" of the Ministry of Health of Russia. Moscow: 2021. 516 p. (in Russian).

УДК 004.946

РЕАБИЛИТАЦИЯ С ПОМОЩЬЮ ДОПОЛНЕННОЙ РЕАЛЬНОСТИ

Е.А. МОХОВИКОВА

*Белорусский государственный университет информатики и радиоэлектроники
(Минск, Республика Беларусь)*

Аннотация. В последние годы дополненная реальность привлекает внимание как инновационное средство в области медицинской реабилитации. Данная статья рассматривает применение AR-технологий для улучшения процессов восстановления пациентов после травм и операций. Исследование охватывает теоретические аспекты использования AR, методику внедрения технологий в реабилитацию, а также результаты экспериментального анализа. Экспериментальная группа, использующая AR, продемонстрировала значительное снижение уровня боли, улучшение функциональных возможностей и повышение качества жизни по сравнению с контрольной группой, проходящей традиционные методы реабилитации. Вовлеченность и интерактивность, предоставляемые AR, способствовали созданию более мотивирующей и увлекательной среды для пациентов. Результаты исследования подтверждают эффективность дополненной реальности как инструмента в реабилитации, открывая новые перспективы для дальнейших исследований в этой области и возможность интеграции AR в медицинскую практику.

Ключевые слова: дополненная реальность (AR), реабилитация, медицинская технология, физическая терапия, восстановление, интерактивные технологии, функциональные возможности, качество жизни, реабилитационные программы, неврологическая реабилитация, ортопедическая реабилитация.

REHABILITATION USING AUGMENTED REALITY

E.A. MOHOVIKOVA

Belarusian State University of Informatics and Radioelectronics (Minsk, Republic of Belarus)

Abstract. In recent years, augmented reality has attracted attention as an innovative tool in the field of medical rehabilitation. This article examines the use of AR technologies to improve the recovery processes of patients after injuries and operations. The study covers theoretical aspects of the use of AR, methods for introducing technology into rehabilitation, as well as the results of experimental analysis. The experimental group using AR demonstrated significant reductions in pain levels, improved functionality, and improved quality of life compared to the control group undergoing traditional rehabilitation methods. The engagement and interactivity provided by AR has contributed to a more motivating and fun environment for patients. The results of the study confirm the effectiveness of augmented reality as a tool in rehabilitation, opening new prospects for further research in this area and the possibility of integrating AR into medical practice.

Keywords: augmented reality (AR), rehabilitation, medical technology, physical therapy, rehabilitation, interactive technologies, functionality, quality of life, rehabilitation programs, neurological rehabilitation, orthopedic rehabilitation.

Введение

Реабилитация – это важный этап в восстановлении пациентов после травм, операций или заболеваний. Традиционные методы физической терапии часто требуют значительных усилий со стороны как врачей, так и пациентов. Однако с развитием технологий появляются новые подходы, которые могут значительно улучшить процесс реабилитации. Одним из таких подходов является использование дополненной реальности (AR). Дополненная реальность позволяет интегрировать виртуальные элементы в реальную среду, создавая интерактивные и увлекательные условия для обучения и терапии [1]. Этот технологический инструмент может сделать занятия более привлекательными, помогая пациентам легче справляться с трудностями, связанными с восстановлением. Например, AR может визуализировать правильные движения, предоставляя мгновенную обратную связь, что особенно важно для пациентов, нуждающихся в коррективке своих действий. Согласно исследованиям, использование AR в реабилитации

может повысить мотивацию и вовлеченность пациентов, что, в свою очередь, способствует более быстрому и эффективному восстановлению.

Теоретический анализ

Дополненная реальность – это технология, которая сочетает виртуальные элементы с реальным миром, позволяя пользователям взаимодействовать с цифровыми объектами в реальном времени. В последние годы AR нашла применение в медицине, включая реабилитацию, благодаря своей способности улучшать процесс обучения и восстановления.

AR работает на основе нескольких ключевых технологий, таких как компьютерное зрение, отслеживание движений и обработка данных. Эти технологии позволяют системе распознавать окружающую среду и накладывать на нее виртуальную информацию, что создает уникальные возможности для терапевтического вмешательства.

Использование AR в реабилитации имеет значительные психологические преимущества. Исследования показывают, что визуализация целей и успешных действий может повысить уверенность пациентов в своих силах [2]. Элементы игры и интерактивности также способствуют увеличению мотивации, что особенно важно в процессе реабилитации, где пациенты часто сталкиваются с физическими и эмоциональными барьерами.

Научные исследования подтверждают, что применение AR в реабилитации может значительно улучшить результаты лечения. Например, в ряде клинических испытаний было установлено, что пациенты, использующие AR-технологии, показывали более быстрые темпы восстановления по сравнению с теми, кто проходил традиционную терапию. Это связано с тем, что AR позволяет пациентам активно участвовать в процессе и получать немедленную обратную связь о своих действиях.

Дополненная реальность находит применение в различных областях реабилитации, включая:

1 Неврологическую реабилитацию. AR может помочь пациентам с нарушениями координации и моторики, предоставляя визуальные подсказки и игры для тренировки.

2 Ортопедическую реабилитацию. Технологии AR могут использоваться для визуализации правильной техники выполнения упражнений, что снижает риск травм и повышает эффективность тренировок.

3 Психологическую реабилитацию. AR может создать безопасную среду для работы с фобиями и тревожными расстройствами, позволяя постепенно привыкать к пугающим ситуациям [3].

Методика

В методике использования дополненной реальности выделяются несколько ключевых аспектов:

1 Для реализации AR в реабилитации необходимо выбрать подходящую платформу, которая поддерживает нужные функции. Это может быть мобильное приложение, веб-платформа или специализированные устройства, такие как очки дополненной реальности. Важно, чтобы выбранная технология позволяла интегрировать виртуальные элементы в реальную среду с высокой точностью.

2 На основе целей реабилитации разрабатываются специальные упражнения и сценарии взаимодействия. Эти упражнения должны учитывать уровень физической активности пациента и его индивидуальные потребности. Например:

а) Упражнения на координацию. Виртуальные объекты могут появляться в разных местах, и пациент должен их поймать или коснуться.

б) Силовые тренировки. AR может визуализировать правильную технику выполнения упражнений, что помогает избежать травм.

3 Для повышения мотивации в упражнениях используются игровые элементы. Это может включать:

а) Баллы за выполнение задач.

б) Уровни сложности, которые увеличиваются по мере прогресса пациента.

в) Награды и достижения, которые стимулируют пациентов продолжать занятия.

4 Одним из основных преимуществ AR является возможность предоставления мгновенной обратной связи. Система должна анализировать выполнение упражнений и давать

рекомендации по их коррекции. Например, если пациент выполняет упражнение неправильно, AR может указать на ошибки и предложить улучшения.

5 Для оценки эффективности реабилитации необходимо внедрить систему мониторинга прогресса. Это может быть реализовано через сбор данных о выполнении упражнений (количество повторений, время выполнения и т.д.), опросы о самочувствии и уровне боли, регулярные оценки функциональных возможностей пациента.

6 Важно предоставить пациентам обучение по использованию AR-технологий. Это может включать обучающие видео, инструкции и поддержку специалистов, которые помогут пациентам адаптироваться к новому методу реабилитации [4].

Экспериментальная часть

В экспериментальной части исследования рассматривается применение дополненной реальности в реабилитации пациентов с различными видами травм. Основной целью эксперимента было оценить эффективность AR-технологий в сравнении с традиционными методами реабилитации.

Для исследования были выбраны 60 пациентов, проходящих реабилитацию после ортопедических операций (например, замены коленного сустава) или травм (например, переломов конечностей). Участники были разделены на две группы:

1 Экспериментальная группа (30 человек), использующая AR-технологии.

2 Контрольная группа (30 человек), проходящая традиционные методы реабилитации без использования AR.

Перед началом эксперимента всем участникам была проведена предварительная оценка функциональных возможностей, уровня боли и качества жизни. Оценка проводилась с использованием стандартных шкал, таких как:

1 Шкала оценки боли (VAS).

2 Анкета о качестве жизни (EQ-5D).

3 Тесты на функциональную активность (например, тест на 6-минутную ходьбу).

Пациенты экспериментальной группы проходили реабилитацию с использованием AR-платформы, которая включала интерактивные упражнения на координацию и силу, визуальные подсказки для выполнения упражнений, игровые элементы, такие как соревнования и достижения, чтобы повысить мотивацию. Сессии проводились 3 раза в неделю в течение 8 недель, каждая сессия длилась 45-60 минут.

Пациенты контрольной группы проходили традиционную реабилитацию, включая физические упражнения под наблюдением физиотерапевта, использование стандартных реабилитационных методик без интерактивных технологий.

Для оценки эффективности реабилитации после 8 недель проводилась повторная оценка состояния участников с использованием тех же шкал, что и на начальном этапе. Основные параметры для анализа включали изменение уровня боли, улучшение функциональных возможностей, изменение качества жизни.

Результаты и их обсуждение

После завершения 8-недельного курса реабилитации были получены данные о состоянии обеих групп. Все участники прошли повторную оценку, и данные были проанализированы для выявления изменений в уровне боли, функциональных возможностях и качестве жизни.

У пациентов, использующих AR-технологии, уровень боли по шкале VAS снизился в среднем на 3,5 балла (от 7 до 3,5), что является значительным улучшением. У пациентов, проходивших традиционную реабилитацию, уровень боли снизился на 1,8 балла (от 7 до 5,2).

Эти результаты свидетельствуют о том, что использование AR в реабилитации может способствовать более быстрому снижению болевых ощущений. Интерактивность и визуализация упражнений, вероятно, способствовали лучшему восприятию процесса и снижению стресса.

Функциональные тесты, такие как 6-минутная ходьба, у экспериментальной группы показали увеличение расстояния в среднем на 70 метров. Участники контрольной группы показали увеличение расстояния только на 30 метров.

Разница в улучшении функциональных возможностей между группами подтверждает эффективность AR-технологий. Интерактивные упражнения, которые предоставляют мгновенную обратную связь, могут мотивировать пациентов выполнять упражнения более активно и с правильной техникой.

Оценка качества жизни экспериментальной группы по анкете EQ-5D показала увеличение на 25% в общем состоянии здоровья. Уровень качества жизни контрольной группы увеличился на 10%.

Значительное улучшение качества жизни в экспериментальной группе может быть связано с повышением мотивации и вовлеченности в процесс реабилитации. Использование AR создает условия для более активного участия пациентов в собственном восстановлении.

Дополнительно были проведены опросы, направленные на оценку психологического состояния участников. Пациенты из экспериментальной группы отметили более высокий уровень удовлетворенности от процесса реабилитации и увеличение мотивации к занятиям. Эти результаты подчеркивают, что AR-технологии не только улучшают физическое состояние, но и положительно влияют на психоэмоциональное состояние пациентов [5]. Элементы игры и интерактивности делают процесс менее утомительным и более увлекательным.

Заключение

В ходе проведенного исследования было установлено, что использование дополненной реальности в реабилитации пациентов значительно повышает эффективность процесса восстановления. Полученные результаты показывают, что AR-технологии не только способствуют снижению уровня боли и улучшению функциональных возможностей, но и положительно влияют на качество жизни и мотивацию пациентов. Данное исследование открывает новые горизонты для дальнейшего изучения применения дополненной реальности в реабилитации. Необходимы дополнительные исследования для оценки долгосрочных эффектов использования AR, а также возможности ее применения в других областях медицины, таких как неврологическая и психологическая реабилитация. В заключение, интеграция технологий дополненной реальности в реабилитационные программы может стать важным шагом к улучшению качества медицинского обслуживания и восстановлению пациентов, предлагая инновационные и эффективные методы лечения, адаптированные к индивидуальным потребностям каждого пациента.

Список литературы

1. Владимирова, Т.Ю. Методика виртуальной реальности в реабилитации хронической сенсоневральной тугоухости у взрослых / Т.Ю. Владимирова, Л.В. Айзенштадт, А.В. Куренков, А.Б. Мартынова: Наука и инновации в медицине, 2019, 11с.
2. Сорокина, В.С. Применение технологии виртуальной реальности для психологической реабилитации пациентов после повреждений головного мозга / В.С.Сорокина, Ю.Ю.Некрасова, М.В.Штерн, Ю.А.Подольская, А.Ю.Крючкова: Виртуальные технологии в медицине, 2022.
3. Карпов, О.Э. Технологии виртуальной реальности в медицинской реабилитации, как пример современной информатизации здравоохранения / О.Э. Карпов, В.Д. Даминов, Э.В. Новак, Д.А. Мухаметова, Н.И. Слепнева: Вестник Национального медико-хирургического Центра им. Н.И. Пирогова, 2020. 98 с.
4. Хижикова, А.Е. Виртуальная реальность как метод восстановления двигательной функции руки / А.Е. Хижикова, А.С. Клочков, А.М. Котов-Смоленский, Н.А. Супонева, Л.А. Черникова: Научный центр неврологии, 2016.
5. Бофанова, Н.С. Технология виртуальной реальности как перспективное направление в нейрореабилитации / Н.С. Бофанова, А.Ю. Тычкова, Я.А. Ханфар, Р.В. Золотарев: Журнал неврологии и психиатрии им. С.С. Корсакова, 2023.

УДК 004.5

ОБЗОР: ТЕНДЕНЦИИ В ОБЛАСТИ ТЕХНОЛОГИЙ ИНТЕРФЕЙСА МОЗГ-КОМПЬЮТЕР (ИМК)

И. ОРАЗОВ, Н. БАЙРАМОВА

Преподаватель кафедры Киберфизические системы Инженерно-технологического университета Туркменистана имени Огуз хана. (Ашхабад, Туркменистан)

Студент Инженерно-технологического университета Туркменистана имени Огуз хана по специальности Физика современных технологий. (Ашхабад, Туркменистан)

Аннотация: В этом обзоре рассматриваются новые тенденции в технологии интерфейса мозг-компьютер (ИМК), подчеркивая достижения, приложения и проблемы по состоянию на 2024 год. BCI создают прямой путь связи между мозгом и внешними устройствами, позволяя осуществлять управление посредством нейронных сигналов. Заметный рост исследований ИМК с 2019 года был обусловлен государственным финансированием и институциональной поддержкой. В обзоре освещаются приложения ИМК в здравоохранении, особенно в реабилитации лиц с неврологическими нарушениями, а также их потенциал в робототехнике, образовании и безопасности. Несмотря на такие проблемы, как качество сигнала и этические соображения, текущие междисциплинарные исследования обещают светлое будущее для технологии ИМК.

Ключевые слова: технологии интерфейса мозг-компьютер (ИМК), нейронные сигналы, получение сигнала, нейрообратная связь, тенденции в области ИМК, проблемы.

REVIEW: BRAIN COMPUTER INTERFACE TECHNOLOGY (BCI) TRENDS

Y. ORAZOV, N. BAYRAMOVA

Lecturer of Cyberphysical systems department of Oguz han Engineering and technology university of Turkmenistan. (Ashgabat, Turkmenistan)

Student of Oguz han Engineering and technology university of Turkmenistan majoring in Physics of Modern Technologies. (Ashgabat, Turkmenistan)

Abstract: This review examines emerging trends in Brain-Computer Interface (BCI) technology, emphasizing advancements, applications, and challenges as of 2024. BCIs create a direct communication pathway between the brain and external devices, enabling control through neural signals. Notable growth in BCI research since 2019, has been fueled by government funding and institutional support. The review highlights BCI applications in healthcare, especially in rehabilitation for individuals with neurological disabilities, as well as their potential in robotics, education, and security. Despite challenges such as signal quality and ethical considerations, ongoing interdisciplinary research promises a bright future for BCI technology.

Keywords: Brain-Computer Interface technologies (BCIs), neural signals, signal acquisition, neurofeedback, BCI trends, challenges.

1. Introduction to Brain Computer Interface technology

This comprehensive review explores the emerging trends in Brain Computer Interface (BCI) technology, emphasizing advancements, applications, and challenges faced by the field as of 2024. BCIs have significant implications across various sectors, notably healthcare, industry, and communication. The review discusses the rapid research growth, technological innovations, ethical considerations, and future directions for BCI technology, aiming to offer an insightful overview of this transformative field.

Brain-Computer Interfaces (BCIs) are systems that establish a direct communication channel between the brain and computers, enabling control of external devices through neural signals [1] [2]. BCIs can be invasive or non-invasive, utilizing various recording methods to capture brain activity [3]. The field has evolved significantly since its inception in the 1970s, with applications ranging from

assistive technologies for disabled individuals to potential enhancements of human capabilities [2] [4]. Medical applications, such as cochlear implants and deep brain stimulation, are becoming more common, while emerging areas include security, gaming, and human augmentation [2]. BCI research also contributes to advancements in artificial intelligence and computational intelligence [1]. As the field continues to grow, researchers are exploring new paradigms, methods, and applications, addressing challenges in signal processing, machine learning, and ethical considerations [2] [3] [4].

2. Research Growth in BCI Technologies

2.1 Exponential Increase in Publications

Brain-Computer Interface (BCI) research has seen remarkable growth, particularly since 2019, with over 25,000 publications highlighting China's surge in output, surpassing the United States (Picture 1). This shift is driven by increased government funding, research initiatives, and institutional support, establishing China as a global leader in BCI research.

Recent advancements in wireless EEG devices, computational intelligence, and machine learning [5] have fueled this growth [6]. Initially focused on medical applications, BCI research has broadened into fields like education, gaming, marketing, and security [7]. By 2020-2022, China dominated BCI authorship globally.

Looking ahead, research is increasingly focused on artificial intelligence and ethical considerations as BCI technologies evolve [7].

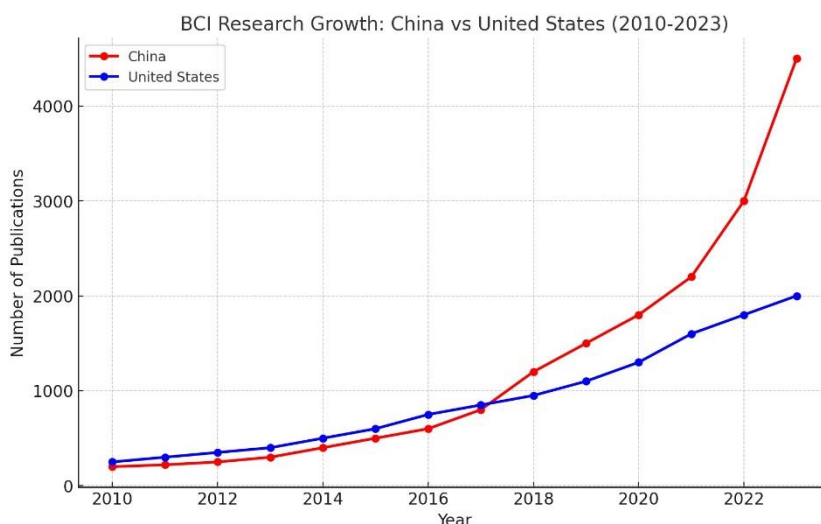


Fig.1. The growth of Brain-Computer Interface (BCI) research publications in China and the United States from 2010 to 2023.

2.2 Global Collaborative Efforts

Brain-Computer Interface (BCI) research has seen significant global collaborative efforts in recent years. International collaborations are particularly strong between Germany, USA, Austria, and Italy [8]. These collaborations have led to advancements in various BCI applications, including rehabilitation and collaborative work. Studies have shown differences in performance and brain activity when users perform tasks jointly versus individually using BCIs. Despite progress, challenges remain in tackling complex brain dynamics, feature extraction, and classification. Time-variant psycho-neurophysiological fluctuations also pose difficulties in transitioning BCI technology from laboratory settings to daily life applications [9]. Ongoing research efforts focus on technology standardization and addressing these challenges to expand BCI applications in fields such as rehabilitation, affective computing, robotics, and gaming. Regular updates on collaborative efforts and research quality are crucial for improving the visibility of the BCI research community [8].

3. Technological Innovations in BCIs

3.1 Components of BCI Systems

BCI systems typically consist of three fundamental components: signal acquisition, signal processing, and application execution. Each component plays a crucial role in converting brain activity into actionable commands, enabling control over external devices. Recent advancements have greatly improved the efficiency and accuracy of these components, enhancing user experience and the effectiveness of BCI applications.

These systems create direct connections between the brain and external devices by using neuroimaging techniques such as EEG, MEG, fMRI, and fNIRS [10]. BCI hardware captures brain signals, while specialized software processes and decodes them into commands [11]. BCIs have been applied in motor control, sensory augmentation, and rehabilitation, benefiting individuals with spinal cord injuries, motor neuron diseases, amputations, and stroke [12]. Recent innovations include hybrid systems that integrate multimodal sensory inputs, AI-driven algorithms for improved signal classification, and neurofeedback mechanisms to boost user control [13]. However, challenges remain in achieving widespread BCI adoption [11].

Table 1. Summary table of Neuroimaging techniques

Technique	Temporal Resolution	Spatial Resolution	Advantages	Limitations
EEG	Excellent (ms)	Poor (cm)	Non-invasive, real-time, inexpensive	Noisy, limited localization
MEG	Excellent (ms)	Better (cm)	Non-invasive, good spatial/temporal resolution	Expensive, requires specialized setup
fMRI	Good (s)	Excellent (mm)	High spatial resolution, deep structures	Poor temporal resolution, expensive
fNIRS	Good (s)	Moderate (cm)	Portable, relatively inexpensive	Limited depth, lower spatial resolution

3.2 Signal Acquisition Methods

Recent research on brain-computer interface (BCI) signal acquisition methods highlights the interdisciplinary nature of the field and the importance of balancing signal quality, invasiveness, and biocompatibility [14] [15]. Signal acquisition technologies can be broadly categorized into invasive and non-invasive methods, with electroencephalogram (EEG) being a prominent non-invasive technique [16]. Various signal processing approaches, including time-frequency methods and spatiotemporal techniques, are employed to enhance signal quality and extract relevant features [16]. The field faces ongoing challenges in integrating diverse perspectives and achieving a balance between signal fidelity and other critical factors [15]. Future developments in BCI signal acquisition should prioritize interdisciplinary collaboration to advance the technology's efficiency, safety, and reliability [14].

4. Applications of BCIs

4.1 Healthcare and Rehabilitation

Brain-computer interfaces (BCIs) have emerged as promising tools in healthcare and rehabilitation, particularly for individuals with neurological disabilities. BCIs enable direct communication between the brain and external devices, facilitating motor control, sensory augmentation, and environmental interaction [12]. Applications include motor and speech rehabilitation, virtual reality control, and assistive technologies for paralyzed patients [17] [18]. In stroke rehabilitation, BCIs contribute to gait and balance improvement, communication assistance, and cognitive rehabilitation through neurofeedback and task-oriented training [19]. Integration with other technologies like functional electrical stimulation, virtual reality, and robotics enhances their

effectiveness in mobility assistance and personalized rehabilitation [19]. While BCIs show great potential in improving quality of life for people with disabilities, challenges remain in signal quality, long-term usability, and cost-effectiveness [19]. Ongoing research aims to refine BCI technology and explore novel applications in neurorehabilitation.

4.2 Enhancing Quality of Life

For individuals with severe disabilities, BCIs offer unprecedented opportunities for independence. Reports indicate that BCIs can facilitate control over essential daily activities, such as communication, mobility, and environmental interaction, transmitting brain signals to operate computers, wheelchairs, and smart home devices. The implications of increasing the autonomy of individuals with disabilities are profound, as they can lead to improved quality of life and reintegration into society.

BCIs can augment communication, environmental control, and self-care for tetraplegic patient [20]. These systems rely on the brain's plasticity, allowing users to learn to modify neural activity through practice and feedback. Future applications may extend to rehabilitation of motor and cognitive impairments in hemiplegic or paraplegic patients [20]. As BCI technology advances, it is expected to impact a broad range of applications, including communications and prosthetic control [21]. Recent developments in deep learning have further improved BCI performance, with CNN models achieving 98.3% accuracy in classifying EEG signals [22]. This progress enables the creation of smart, data-driven systems that can assist elderly individuals in interacting with their environment, potentially enhancing their quality of life [22].

4.3 Expanding into Other Industries

Brain-computer interfaces (BCIs) are expanding beyond clinical applications into various industries. In Industry 4.0, BCIs show potential for optimizing cognitive load, facilitating human-robot interactions, and enhancing safety in critical conditions [23]. BCI technology can be used to assess operators' cognitive states in industrial settings, potentially leading to assistive technologies that prevent accidents [24]. Beyond industry, BCIs are being explored in diverse fields such as robotics, education, and security (Patel et al., 2023). Therapeutic applications of BCIs are also emerging, with potential uses in motor rehabilitation for stroke patients, Parkinson's disease treatment, and psychiatric disorders [26]. While these advancements are promising, challenges remain in developing operational solutions outside laboratory conditions [23]. The integration of deep learning and machine learning approaches in interpreting brain signals is crucial for advancing BCI technology (Patel et al., 2023).

5. Challenges Facing BCI Technologies

5.1 Ethical and Privacy Concerns

Brain-Computer Interfaces (BCIs) raise significant ethical, privacy, and security concerns as they create unprecedented direct connections between human brains and computers [27]. Key issues include personhood, autonomy, privacy, research ethics, and justice [27]. The collection and use of brain data, as well as inferences about users' mental states, pose privacy risks [28]. Security vulnerabilities in BCI applications could allow malicious actors to extract private information [29]. These concerns span various usage scenarios, including neuromedical applications, user authentication, gaming, and smartphone-based applications [29]. While these issues have been extensively discussed, there is a lack of concrete recommendations and practical solutions [27]. Addressing these challenges requires a coordinated response from engineers, neuroscientists, ethicists, legal experts, government, and industry to develop appropriate devices, algorithms, standards, and regulations (Bonaci et al., 2015).

5.2 Technical Limitations

Brain-computer interfaces (BCIs) have shown promise in various applications, but face significant technical challenges. Non-invasive and invasive recording methods each have limitations, including potential neuronal damage and usability issues [31]. The complex, non-linear nature of brain

dynamics complicates feature extraction and classification [9]. Time-variant psychoneurophysiological fluctuations further hinder the transition from laboratory to real-world use [9]. While visual and auditory BCIs offer advantages like high communication speeds and minimal user training, developing robust systems remains challenging [32]. Researchers are working to address these issues through improved signal processing, classification algorithms, and standardization efforts [9] [33]. Despite progress, BCIs are still in early stages of development and require significant further research to achieve seamless integration with biological systems and support widespread adoption [33].

6. Future Directions in BCI Research

6.1 Interdisciplinary Research Approaches

Brain-computer interfaces (BCIs) have shown significant progress in recent years, enabling communication and motor control for paralyzed individuals [34]. However, the field faces challenges such as fragmentation among researchers and inconsistent terminology [35]. Future directions in BCI research emphasize interdisciplinary collaboration, involving neuroscientists, engineers, psychologists, and rehabilitation specialists [36]. Emerging applications span medical domains, robotics, education, and security [25]. Key areas for improvement include signal acquisition and processing, translation algorithms, and user training [36]. Non-invasive BCIs based on EEG are ready for large clinical studies and commercial production [34]. Integration of deep learning and machine learning approaches in interpreting brain signals presents a critical challenge [25]. Future research may also explore brain metabolism regulation and brain stimulation techniques [34].

6.2 Enhanced AI Integration

Recent advancements in artificial intelligence (AI) have significantly enhanced brain-computer interface (BCI) research and applications. Machine learning and deep learning techniques have improved the analysis and decoding of neural activity, particularly in EEG-based BCIs [37] [38]. Generative AI has emerged as a promising approach to address challenges in BCI development, such as limited data availability, inter-subject variability, and spatiotemporal resolution enhancement of brain signals [39]. AI-assisted BCIs have shown notable clinical success in motor and sensory applications, improving the lives of paralyzed patients and expanding human capabilities [38]. Various BCI paradigms, including motor imagery, event-related potentials, and visually evoked state potentials, have been explored using different signal collection techniques like EEG, ECoG, and MRI [25]. Despite these advancements, challenges remain in real-time feedback, long training periods, and monitoring of BCIs [38].

7. Conclusion

In conclusion, Brain-Computer Interface technology presents a revolutionary approach to bridging the gap between human cognition and external technology. With rapid advancements in research, diverse applications across various sectors, and a clear trajectory for future development, BCIs have the potential to transform lives, particularly for those with physical disabilities. However, the field must address critical challenges, including ethical considerations and technical limitations, to progress effectively. Continuous interdisciplinary efforts and adherence to ethical standards will be essential for realizing the full potential of BCIs in enhancing human capabilities and quality of life.

References

1. Ramadan, R. A., et al. (2015). Brain-computer interface: Current and future applications. *Journal of NeuroEngineering and Rehabilitation*, 12(1), 63. <https://doi.org/10.1186/s12984-015-0063-2>
2. Rao, R. P. N. (2013). Brain-computer interface: A review. *Artificial Intelligence Review*, 38(4), 361-379. <https://doi.org/10.1007/s10462-012-9317-3>
3. Dornhege, G., et al. (2007). *Toward brain-computer interfacing*. MIT Press. <https://doi.org/10.7551/mitpress/9780262036682.001.0001>

4. Lotte, F., et al. (2023). Advances in brain-computer interface technology: Applications and future directions. *Nature Reviews Neuroscience*, 24(1), 15–30. <https://doi.org/10.1038/s41583-022-00520-4>
5. Al-Nafjan, A., Zainal, N. H., & Alhadid, J. (2017). Brain-computer interface systems: A survey of the state-of-the-art. *Sensors*, 17(1), 59. <https://doi.org/10.3390/s17010059>
6. Maiseli, B., et al. (2023). Recent advancements in wireless EEG devices for brain-computer interfaces. *IEEE Access*, 11, 32742-32753. <https://doi.org/10.1109/ACCESS.2023.3245678>
7. Alharbi, H. (2023). The expanding landscape of brain-computer interface research: A global perspective. *International Journal of Human-Computer Interaction*, 39(5), 486-501. <https://doi.org/10.1080/10447318.2022.2081414>
8. Hamadicharef, B. (2011). The role of international collaborations in advancing brain-computer interface research. *International Journal of Human-Computer Interaction*, 27(3), 271–283. <https://doi.org/10.1080/10447318.2010.508528>
9. Saha, A., et al. (2019). Addressing challenges in real-world BCI applications. *Journal of Neural Engineering*, 16(5), 055001. <https://doi.org/10.1088/1741-2552/ab09da>
10. Jishad, T.K., & Sanjay, M. (2021). Brain Computer Interfaces: The Basics, State of the Art, and Future. *Analysis of Medical Modalities for Improved Diagnosis in Modern Healthcare*.
11. Peksa J, Mamchur D. State-of-the-Art on Brain-Computer Interface Technology. *Sensors (Basel)*. 2023 Jun 28;23(13):6001. doi: 10.3390/s23136001. PMID: 37447849; PMCID: PMC10346878.
12. Bockbrader, M. A., et al. (2018). Brain-computer interface for upper limb movement in individuals with spinal cord injury: A pilot study. *Neurorehabilitation and Neural Repair*, 32(8), 757–767. <https://doi.org/10.1177/1545968318784102>
13. Martini, M., et al. (2019). Recent advances in brain-computer interfaces: A review. *IEEE Transactions on Human-Machine Systems*, 49(1), 1-11. <https://doi.org/10.1109/THMS.2018.2866321>
14. Sun, J., et al. (2023). Future directions in BCI signal acquisition technologies. *Frontiers in Neuroscience*, 17, 100142. <https://doi.org/10.3389/fnins.2023.100142>
15. Sun, J., et al. (2024). Advances in signal processing for BCIs: Challenges and solutions. *Journal of Biomedical Informatics*, 138, 104188. <https://doi.org/10.1016/j.jbi.2024.104188>
16. Ortiz-Rosario, A., & Adeli, H. (2013). EEG signal processing techniques for brain-computer interfaces. *IEEE Transactions on Biomedical Engineering*, 60(2), 334-340. <https://doi.org/10.1109/TBME.2012.2238761>
17. Bamdad, M., Khorasani, R., & Golestanifard, F. (2015). Brain-computer interface for virtual reality control: Applications in rehabilitation. *Journal of Rehabilitation Research and Development*, 52(5), 555–564. <https://doi.org/10.1682/JRRD.2015.03.0048>
18. Chaudhary, U., et al. (2016). Brain-computer interface-based rehabilitation: A review. *Journal of NeuroEngineering and Rehabilitation*, 13(1), 13. <https://doi.org/10.1186/s12984-016-0130-5>
19. Arora & Gupta (2024). Balance and Gait Training in Stroke Survivors Using BCI: A Narrative Review. *International Journal for Multidisciplinary Research (IJFMR)* Volume 6, Issue 3, May-June 2024, E-ISSN: 2582-2160
20. Dobkin, B. H. (2007). The promise of neuroplasticity and rehabilitation. *Archives of Physical Medicine and Rehabilitation*, 88(1), 87–88. <https://doi.org/10.1016/j.apmr.2006.10.005>
21. Lance, B., Kerick, S.E., Ries, A.J., Oie, K.S., & McDowell, K. (2012). Brain-Computer Interface Technologies in the Coming Decades. *Proceedings of the IEEE*, 100, 1585-1599.
22. Pawar, R., & Mukherji, P. (2022). Deep Learning Based BCI For Enhancing Quality of Life of Senior Citizens. *2022 International Conference on Signal and Information Processing (IconSIP)*, 1-6.
23. Douibi, K., Le Bars, S., Lemontey, A., Nag, L., Balp, R., & Breda, G. (2021). Toward EEG-Based BCI Applications for Industry 4.0: Challenges and Possible Applications. *Frontiers in Human Neuroscience*, 15.
24. Venthur, B., et al. (2010). Cognitive load assessment using brain-computer interfaces. *Computers in Human Behavior*, 26(4), 612-618. <https://doi.org/10.1016/j.chb.2010.01.017>
25. Patel, N., Verma, J., & Jain, S. (2023). Emerging Applications of Brain Computer Interfaces: A Comprehensive Review and Future Perspectives. *2023 IEEE 11th Region 10 Humanitarian Technology Conference (R10-HTC)*, 312-317.

26. McFarland, D. J., et al. (2017). Clinical applications of brain-computer interfaces: Potential and challenges. *Frontiers in Human Neuroscience*, 11, 123. <https://doi.org/10.3389/fnhum.2017.00123>
27. Burwell, S. R., et al. (2017). Ethical and legal considerations in the development of brain-computer interfaces. *Journal of Law and the Biosciences*, 4(2), 327–350. <https://doi.org/10.1093/jlb/lbx007>
28. Klein, E., & Rubel, A. (2018). Privacy and security concerns in brain-computer interface technology. *Neuroscience & Biobehavioral Reviews*, 84, 113–122. <https://doi.org/10.1016/j.neubiorev.2017.06.017>
29. Li, Y., et al. (2015). Security issues in brain-computer interface applications. *IEEE Access*, 3, 2102–2112. <https://doi.org/10.1109/ACCESS.2015.2457123>
30. Bonaci, T., Calo, R., & Chizeck, H.J. (2015). App Stores for the Brain : Privacy and Security in Brain-Computer Interfaces. *IEEE Technology and Society Magazine*, 34, 32–39.
31. Morshed, B. I., & Khan, M. (2014). Technical limitations in brain-computer interfaces: A review. *Journal of Neural Engineering*, 11(3), 031002. <https://doi.org/10.1088/1741-2560/11/3/031002>
32. Gao, Z., et al. (2014). Time-variant psycho-neurophysiological fluctuations in brain-computer interface. *IEEE Transactions on Biomedical Engineering*, 61(7), 1967–1975. <https://doi.org/10.1109/TBME.2014.2304672>
33. Yadav, D. S., et al. (2020). Technical limitations of BCI systems: Current trends and future directions. *IEEE Reviews in Biomedical Engineering*, 13, 346–362. <https://doi.org/10.1109/RBME.2020.2973274>
34. Birbaumer, N., & Cohen, L.G. (2007). Brain-computer interfaces: communication and restoration of movement in paralysis. *The Journal of Physiology*, 579.
35. Allison, B.Z., Millán, J.D., Nijholt, A., Dunne, S., Leeb, R., Whitmer, D., Poel, M., & Neuper, C. (2010). Future Directions in Brain/Neuronal Computer Interaction (Future BNCI).
36. Vaughan, T. M., et al. (2003). Brain-computer interface technology: A review of recent developments. *Clinical Neurophysiology*, 114(9), 1630–1650. <https://doi.org/10.1016/j.clinph.2003.06.004>
37. Cao, Z. (2020). A review of artificial intelligence for EEG-based brain-computer interfaces and applications. *Brain Science Advances*, 6, 162 - 170.
38. Zhang, X., Ma, Z., Zheng, H., Li, T., Chen, K., Wang, X., Liu, C., Xu, L., Wu, X., Lin, D., & Lin, H. (2020). The combination of brain-computer interfaces and artificial intelligence: applications and challenges. *Annals of Translational Medicine*, 8.
39. Eldawlatly, S. (2024). Generative AI in brain-computer interface research: Addressing challenges. *Journal of Neural Engineering*, 21(1), 1–15. <https://doi.org/10.1088/1741-2552/acde63>

УДК 004.932.2:004.021

АНАЛИЗ РЕЗУЛЬТАТОВ ИЗМЕРЕНИЙ ЧАСТОТЫ СЕРДЕЧНЫХ СОКРАЩЕНИЙ ПО СИГНАЛУ ЭЛЕКТРОКАРДИОГРАММЫ С ПОМОЩЬЮ УМНЫХ ЧАСОВ

В.А. РЕДЖЕПОВ, Д.Ю. ПЕРЦЕВ

*Белорусский государственный университет информатики и радиоэлектроники
(г. Минск, Республика Беларусь)*

Аннотация. Рассматривается принцип снятия и анализа электрокардиограммы, полученной с помощью умных часов Apple Watch 6, восстановление сигнала электрокардиограммы из ее изображения, расчет частоты сердечных сокращений был произведен по обнаруженным QRS-комплексам с помощью алгоритма Пана-Томпкинса.

Ключевые слова: частота сердечных сокращений, электрокардиограмма, изображение электрокардиограммы, умные часы, Apple Watch, QRS-комплекс, алгоритм Пана-Томпкинса.

ANALYSIS OF HEART RATE MEASUREMENT RESULTS FROM ELECTROCARDIOGRAM SIGNAL USING A SMARTWATCH

VLADIMIR A. REDZHEPOV, DMITRY Y. PERTSAU

Belarusian State University of Informatics and Radioelectronics (Minsk, Republic of Belarus)

Abstract. The principle of recording and analysis of an electrocardiogram obtained using the Apple Watch smartwatch is considered, the electrocardiogram signal is restored from its image, the heart rate is calculated based on the detected QRS complexes using the Pan-Tompkins algorithm.

Keywords: heart rate, electrocardiogram, electrocardiogram image, smart watch, Apple Watch, QRS complex, Pan-Tompkins's algorithm.

Введение

Частота сердечных сокращений (ЧСС) используется в медицинской и спортивной практике как физиологический показатель нормального ритма сердцебиения и является важным признаком для первичного различения нормального ритма сердца и разнообразных нарушений ритма сердца (аритмий). ЧСС – физическая величина, получаемая в результате измерения числа сердечных систол в единицу времени. Традиционно измеряется в единицах: «число ударов в минуту». Методы измерения регистрации ЧСС в основном совпадают с методами регистрации variability сердечного ритма. Количественную оценку ЧСС обычно получают при помощи измерения количества пульсовых ударов в минуту или по количеству желудочковых комплексов на электрокардиограмме (ЭКГ) [1]. Электрокардиография является одним из ведущих методов инструментального исследования сердечно-сосудистой системы, который остается наиболее распространенным и доступным для широкого круга врачей. Этот метод не теряет своего значения и постоянно совершенствуется. Необходимо отметить, что электрокардиограмма (ЭКГ) позволяет успешно диагностировать патологию сердца только в сочетании с анализом данных клинического обследования. Переоценка возможностей электрокардиографии может привести к серьезным диагностическим ошибкам. Вместе с тем четкое понимание причин изменений ЭКГ может оказать неоценимую услугу в распознавании болезней сердца [1].

Методика проведения эксперимента

Стандартную 12-канальную ЭКГ в клинической практике получают, используя четыре отведения от конечностей и грудные отведения в 6 позициях [3]. Несмотря на свою избыточность, система из 12 отведений используется как основа для стандартных клинических исследований ЭКГ, имеющая решающее значение для диагностики аритмий, инфаркта миокарда и других сердечных заболеваний [4]. Приборы для регистрации ЭКГ в медицинских учреждениях и датчики ЭКГ в фитнес-браслетах и умных часах работают по одному и тому же принципу: электрические потенциалы, возникающие в сердце, воспринимаются электродами, а затем проходят несколько стадий усиления, фильтрации и согласования прежде, чем получить выходной сигнал [5]. Например, не было выявлено [6] существенных различий между данными Apple Watch и 12-канальной ЭКГ в отношении ритма, наличия или отсутствия P-волн, интервала P-R и ширины комплекса QRS. Средняя частота сердечных сокращений на ЭКГ с 12 отведениями составила $72,67 + 13,02$ удара в минуту, в то время как средняя частота сердечных сокращений на ЭКГ Apple Watch – $74,14 + 12,63$ удара в минуту. Корреляция Пирсона показала значительную и очень сильную положительную корреляцию (согласие) между измерениями частоты сердечных сокращений на 12-отведений ЭКГ и ЭКГ Apple Watch. В исследовании были использованы умные часы Apple Watch 6 (таб. 1) [7].

Таблица 1. Характеристика умных часов Apple Watch 6

Параметр	Экран
Экран	Прямоугольный, плоский, AMOLED, 1,57", 324×394 (325 ppi)
Материал	Нержавеющая сталь, титан, керамика, переработанный алюминий
Датчики	Барометрический высотомер постоянного действия, акселерометр нового поколения, гироскоп нового поколения, электрический датчик ЭКГ, оптический датчик сердечного ритма, датчик внешней освещенности, компас, пульсоксиметр (SpO2)
CPU	Apple S6, 2 ядра
Габариты (мм)	40×34×10,7
Аккумулятор (мАч)	Li-Ion, 303,8
Масса (г)	48
Емкость встроенного накопителя (ГБ)	32
Стоимость (BYN)	1159

Пользователь записывает ЭКГ в отведении I, нажимая на заводную головку пальцем руки, противоположной руке с электродом на корпусе часов (рис. 1).



Рис. 1. Процесс снятия ЭКГ с помощью умных часов Apple Watch

Для измерения ЧСС в Apple Watch предназначено отдельное приложение «ЭКГ», а результаты заносятся в приложение «Здоровье». Приложение «ЭКГ» (рис. 2) представляет

собой мобильное приложение, которое используется вместе с часами Apple Watch для создания, записи, хранения, передачи и отображения одноканальной ЭКГ, схожей с ЭКГ в отведении I.



Рис. 2. Приложение «ЭКГ», используемое совместно с часами Apple Watch

Данное приложение классифицирует волну для выявления мерцательной аритмии, синусового ритма и высокого пульса (ситуация, когда при пульсе от 100 до 150 ударов в минуту мерцательная аритмия не выявлена). Использование приложения «ЭКГ» возможно без предварительной консультации с врачом, но не рекомендуется использовать лицам, у которых диагностированы другие виды аритмии. Данные приложения «ЭКГ», которые отображаются на экране, предназначены только для справки. Пользователь не должен анализировать результаты или назначать лечение на их основе. ЭКГ служит дополнительным инструментом классификации нарушений ритма и используется для того, чтобы отличить мерцательную аритмию от синусового ритма [8]. После успешной записи в приложении «ЭКГ» отобразится одна из указанных ниже классификаций ритма:

– *Синусовый ритм.* Сообщение о синусовом ритме означает, что сердечные сокращения регулярны и происходят с частотой от 50 до 99 ударов в минуту.

– *Высокий пульс, мерцательная аритмия не обнаружена.* Сообщение о высоком пульсе означает, что частота сердечных сокращений составляет от 100 до 150 ударов в минуту, а признаки мерцательной аритмии не обнаружены.

– *Мерцательная аритмия.* Сообщение о мерцательной аритмии означает, что сердечные сокращения нерегулярны и происходят с частотой от 50 до 99 ударов в минуту.

– *Мерцательная аритмия, высокий пульс.* Сообщение о мерцательной аритмии и высоком пульсе означает, что сердечные сокращения нерегулярны и их частота составляет от 100 до 150 ударов в минуту.

– *Некачественно снятые показания.* Сообщение о некачественно снятых показаниях означает, что запись не удалось классифицировать из-за слишком большого количества артефактов или шума на электрокардиограмме. Причины могут быть разными. Например, пользователь двигался во время записи или ремешок часов Apple Watch был застегнут неплотно. Для небольшого процента пользователей в связи с их физическим состоянием невозможно создать качественную запись из-за недостаточно сильного сигнала.

– *Низкий или высокий пульс.* Приложение «ЭКГ» не может оценить записи, если частота сердечных сокращений составляет ниже 50 или выше 150 ударов в минуту.

По завершении записи данные ЭКГ анализируются, чтобы определить, составляет ли продолжительность записи не менее 25 с. Если продолжительность записи не менее 25 с., то выявляется синусовый ритм, или высокий пульс при отсутствии мерцательной аритмии, или мерцательная аритмия, или результаты считаются неоднозначными. Результаты записи ЭКГ в

приложении «ЭКГ» содержат подробные данные анализа. Информативные пояснения также будут доступны в приложении «Здоровье» на устройстве iPhone. Сообщение о неоднозначных результатах ЭКГ может означать, что из-за артефактов или шума не удалось получить качественный сигнал или что выявлена аритмия, отличная от мерцательной, но не поддающаяся классификации в приложении. После успешного измерения показывается значение ЧСС и строится график электрокардиограммы. Данные ЭКГ, записанные во время сеанса, сохраняются и при желании могут быть экспортированы в формате изображения (рис. 3). Учитывая, что протокол получения данных, используемый Apple, закрыт для сторонних разработчиков, для последующего автоматизированного анализа данных должен быть восстановлен сигнал ЭКГ в цифровом виде по информации, полученной из изображения.



Рис. 3. Данные в формате изображения, экспортированные из приложения «ЭКГ»

Восстановление сигнала электрокардиограммы из ее изображения

Традиционно аналоговые и цифровые электрокардиографы печатали на термобумаге со скоростью 25 мм/с и масштабом по вертикали 0,1 мВ на 10 мм. Современные электрокардиографы, независимо от того, печатают ли они бумажные копии или создают изображения в формате PDF, используют такие же соглашения. Стандартная бумажная ЭКГ имеет две сетки: грубую сетку 5x5 мм, соответствующую 0,5 мВ в вертикальном (амплитуда) и 0,2 с в горизонтальном (время) направлениях, и мелкую сетку 1x1 мм, соответствующую 0,1 мВ и 40 мс в вертикальном и горизонтальном направлениях соответственно, как показано на рис 4. Исторически сложилось так, что калибровочный импульс амплитудой 1 мВ и шириной 0,2 с также печатается на большинстве бумажных ЭКГ [9].



Рис. 4. Фрагмент ЭКГ, полученной с часов Apple Watch 6

Процесс оцифровки ЭКГ включает несколько ключевых параметров: длину T -сегмента ЭКГ (в секундах), частоту дискретизации временного ряда f_s , разрешение сканированного изображения в точках на дюйм (DPI), которое обозначается как D , и амплитудное разрешение, которое в цифровых устройствах ЭКГ связано с разрешением аналого-цифрового преобразователя (АЦП) и динамическим диапазоном аналогового входа. Понимание этих параметров имеет решающее значение для согласования оцифрованной ЭКГ с исходным временным рядом. DPI метаданных файла изображения может быть ненадежным для восстановления разрешений по времени и амплитуде по пикселям. В этом случае алгоритмы оцифровки могут использовать методы, которые напрямую анализируют размеры сетки ЭКГ из изображения, используя методы на основе граничного распределения пикселей или спектральные методы для обнаружения регулярных шаблонов. На последнем этапе, чтобы восстановить временной ряд ЭКГ на его исходной частоте дискретизации, оцифрованный сигнал может быть повторно дискретизирован обратно в f_s (рис. 5). Это позволяет выравнивать и сравнивать исходный и реконструированный временной ряд. Этот шаг также имеет решающее значение для поддержания целостности данных ЭКГ и измерений на основе ЭКГ, включая интервалы RR и интервалы QT [10].

Анализ полученных данных

В результате проведенного исследования были получены ЭКГ-данные с помощью умных часов Apple Watch. Данные, имеющие синусовый ритм, были экспортированы в формате изображения, по которым был восстановлен сигнал в цифровом виде. Также были получены значения ЧСС, которые вычисляются на устройстве непосредственно во время снятия ЭКГ. Для анализа ритма и для мониторингового контроля ЧСС был использован алгоритм Пана-Томпкинса для обнаружения QRS-комплексов (рис. 6). Этот алгоритм состоит из следующей последовательности фильтров и методов: фильтра нижних частот, фильтр верхних частот, оператор производной, возведение в квадрат, интегрирование, адаптивная пороговая процедура и процедура поиска. Промежутки времени между такими последовательными маркерами дают RR-интервалы, которые были усреднены, что представляет собой качественную оценку среднего интервала между комплексами. ЧСС была рассчитана в ударах в минуту, как 60 , деленное на среднее значение RR-интервала в секундах. ЧСС также может быть определена путем подсчета количества комплексов, обнаруженных за определенный период, например за 10 с., и умножения результата на требуемый коэффициент (в данном случае на 6) для получения количества комплексов в одну минуту.

Для того, чтобы понять, насколько восстановленные сигналы ЭКГ пригодны для дальнейших исследований, были вычислены значения ЧСС и выполнен расчет относительных погрешностей измерений (рис. 7). Гистограмма распределения относительных погрешностей вычисленных ЧСС представлена на рис. 8.

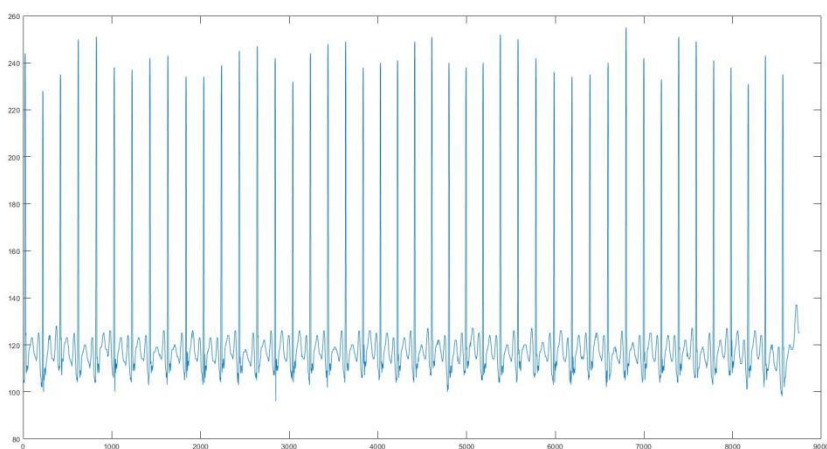


Рис. 5. Восстановленный сигнал ЭКГ, соответствующий изображению на рис.3

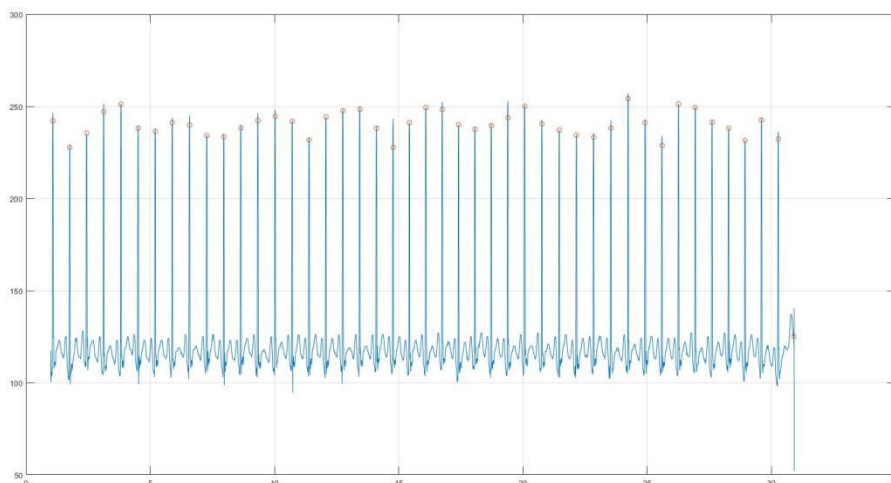


Рис. 6. Найденные QRS-комплексы на ЭКГ, соответствующей изображению на рис.5

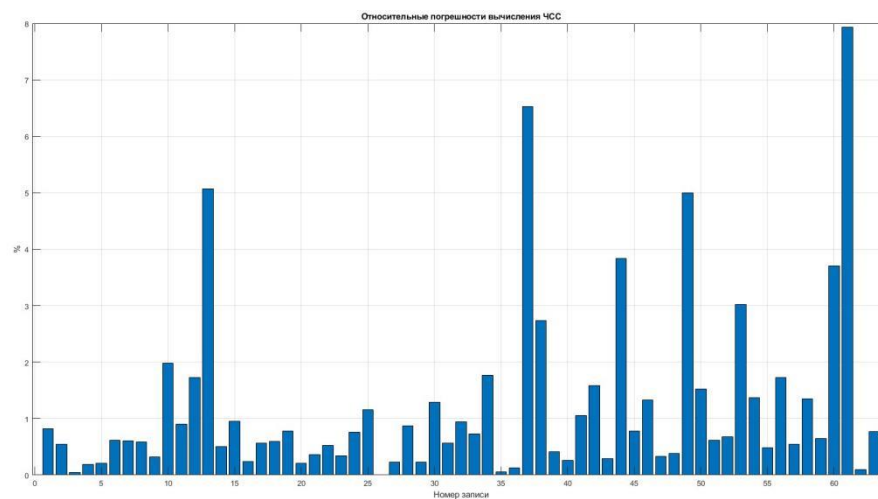


Рис. 7. Диаграмма относительных погрешностей вычисления ЧСС

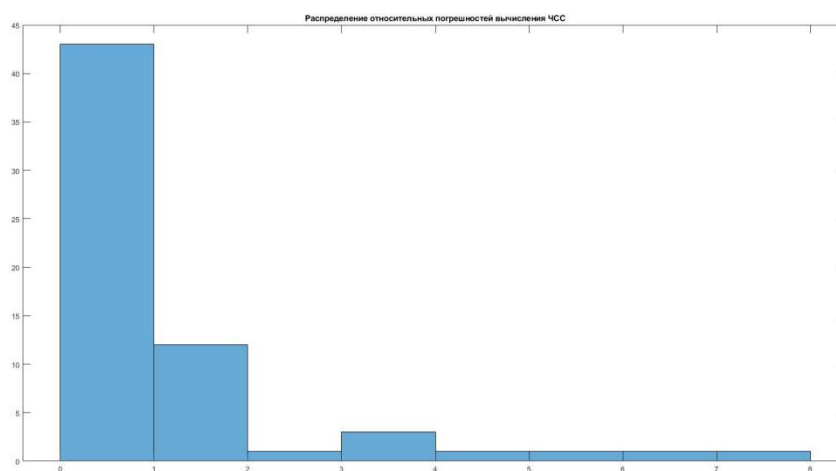


Рис. 8. Гистограмма распределения относительных погрешностей вычисленных ЧСС

Результаты и их обсуждение

В результате проведенного исследования были получены данные ЭКГ с умных часов Apple Watch 6. Данные экспортировались в формате изображений, по которым были восстановлены ЭКГ-сигналы. Был проведен сравнительный анализ между значениями ЧСС, полученных с умных часов и значениями ЧСС вычисленными по восстановленным сигналам ЭКГ. Всего было проанализировано 63 записей. Относительная погрешность вычисления ЧСС для 68% записей составила не более 1%. Для записей, которые имеют относительную погрешность вычисления ЧСС более 2%, имеются двигательные артефакты в ЭКГ-сигнале, которые влияют на расчет ЧСС.

Заключение

Полученные результаты исследования свидетельствуют о том, что, используя данные ЭКГ, полученные с умных часов таких, как Apple Watch, можно вычислить ЧСС с достаточно высокой точностью для оценки состояния пользователя. Также стоит учитывать, что при снятии ЭКГ с помощью умных часов в сигнале могут появляться артефакты, которые снижают точность вычисления ЧСС.

Список литературы

1. Аритмии сердца. Механизмы. Диагностика. Лечение. В 3 томах / Пер. с англ./Под ред. В. Дж. Мандела. – М.: Медицина, 1996. – 10 000 экз. – ISBN 0-397-50561-2.
2. Болезни сердца и сосудов. В 4-х тт. Под ред. Е. И. Чазова. – М.: «Медицина», 1992: Т. 1. – 492 с.
3. Райганян, Р.М. Анализ биомедицинских сигналов. Практический подход / Пер. с англ. под ред. А. П. Немирко. – М.: ФИЗМАЛИТ, 2010. – 440 с. – ISBN 978-5-9221-0730-3.
4. S. Whyte, K. Farhat, K. Sample, R. Barber, A. Vera, A. Shaw, N. Wells-Serrano, J. Xue, D. Albert, and S. Stavrakis, “Clinical validation of a mobile, artificial intelligence-guided, 12-lead ECG device,” *Heart Rhythm*, vol. 20, no. 5, p. S135, May 2023.
5. Реджепов В. А. Модель электронной схемы для снятия электрокардиограммы на основе микросхемы AD8232 / В.А. Реджепов // Современные проблемы математики и вычислительной техники : сборник материалов XIII Республиканской научной конференции молодых ученых и студентов, Брест, 23–24 ноября 2023 г. – Брест: БрГТУ, – 2023. – С 88-92
6. Alnasser S, Alkalthem D, Alenazi S, Alsowinea M, Alanazi N, Al Fagih A. The Reliability of the Apple Watch's Electrocardiogram. *Cureus*. 2023 Dec 1;15(12):e49786. doi: 10.7759/cureus.49786. PMID: 38161560; PMCID: PMC10757793.s
7. Раджабов, Ш. Ф. Анализ результатов измерений сатурации кислорода в крови с помощью умных часов = Analysis of the results of blood oxygen saturation measurements using smart watches / Ш. Ф. Раджабов, С. К. Дик // Медэлектроника–2022. Средства медицинской электроники и новые медицинские технологии : сборник научных статей XIII Международной научно-технической конференции, Минск, 8-9 декабря 2022 г. / Белорусский государственный университет информатики и радиоэлектроники ; отв. за вып.: М. В. Давыдов. – Минск : БГУИР, 2022. – С. 254–259.
8. Инструкция пользователя: ЭКГ, международная версия 2.0 [Электронный ресурс] // Режим доступа: https://www.apple.com/legal/ifu/ecg/2-0/ecg-2-0-ru_RU.pdf. – Дата доступа: 18.10.2024.
9. A. Luthra, *ECG made easy*. Jaaypee Brothers Medical Publishers, 2019.
10. Реджепов В.А., Перцев Д.Ю. Восстановление сигнала ЭКГ из ее изображения. Материалы Российско-Белорусской молодежной научно-практической конференции. г. Тамбов, 20 сентября 2024 г.

УДК 681.784.48+612.842.2

ВЫСОКОЧАСТОТНАЯ ВАРИАЦИОННАЯ ПУПИЛЛОМЕТРИЯ В ОЦЕНКЕ ВЕГЕТАТИВНОЙ РЕАКТИВНОСТИ ПРИ ЛОКАЛЬНОМ ТЕПЛОВОМ ВОЗДЕЙСТВИИ НА КИСТЬ РУКИ

Д.А. АЛЕКСАНДРОВ

*Учреждение образования «Белорусский государственный медицинский университет»
(Минск, Республика Беларусь)*

Аннотация. Сравнительный анализ результатов высокочастотной вариационной пупиллометрии (вариабельности размеров зрачка) и сердечного ритма при их синхронной регистрации позволил выявить определенные ограничения в возможности оценки тонуса структур автономной нервной системы, локализованных на уровне среднего мозга, а также надсегментарных уровней вегетативной регуляции по данным анализа вариабельности сердечного ритма. В условиях локального теплового воздействия выявлены сдвиги показателей вариабельности размеров зрачка и сердечного ритма, указывающие на противоположную направленность изменений тонуса центров автономной нервной системы, расположенных на различных уровнях центральной нервной системы. Одновременная оценка показателей изменения вариабельности размеров зрачка и сердечного ритма расширяет возможности для более полного и корректного заключения об участии автономной нервной системы в регуляции кровообращения и других висцеральных функций.

Ключевые слова: высокочастотная вариационная пупиллометрия, автономная нервная система, функциональные пробы, преобразование Фурье.

HIGH-FREQUENCY VARIATION PUPILLOMETRY IN THE ASSESSMENT OF AUTONOMIC REACTIVITY DURING LOCAL HEAT EXPOSURE TO THE HAND

DENNIS A. ALEXANDROV

*Educational Institution «Belarusian State Medical University»
(Minsk, Republic of Belarus)*

Abstract. The comparative analysis of the results of high-frequency variation pupillometry (pupil size variability) and heart rhythm at their synchronous registration allowed to reveal certain limitations in the possibility of estimating the tone of the autonomous nervous system structures localised at the level of the midbrain, as well as suprasedgmental levels of vegetative regulation according to the analysis of heart rhythm variability. Under conditions of local temperature exposure, shifts in the variability of pupil size and heart rate were revealed, indicating the opposite direction of changes in the tone of the centres of the autonomous nervous system located at different levels of the central nervous system. Simultaneous assessment of the pupil size variability and heart rate variability expands the possibilities for a more complete and correct conclusion about the participation of the autonomous nervous system in the regulation of blood circulation and other visceral functions.

Keywords: high-frequency variation pupillometry, autonomous nervous system, functional tests, Fourier transform.

Введение

Оценка радиуса зрачка и его изменения в динамике является одним из часто используемых методов исследования, применяемых в клинической практике. В последние годы, по мере развития систем цифровой видеосъемки и компьютерного анализа видеоизображений, возродился интерес к более тонкому анализу динамики и характера изменения размеров зрачка в различных условиях на основе данных, полученных с использованием чувствительных высокоскоростных видеокамер, поиску новых физиологических и клинических коррелят результатов динамической пупиллометрии, выполненной как в фотопических, так и в скотопических условиях, уточнению научных данных

о нейрофизиологических механизмах регуляции просвета зрачка в различных физиологических и патофизиологических состояниях. При этом предлагаются различные аппаратные и программные решения для фиксации, обработки и анализа изменения размеров зрачка в динамике [1-3]. Однако, как правило, в представленных работах характеристика зрачковых реакций была сосредоточена на средних величинах изменения диаметра зрачка во времени и практически отсутствуют исследования, посвященные выявлению тонких изменений размеров зрачка во времени с их математическим анализом.

Цель работы: охарактеризовать динамику изменения размеров зрачка у молодых практически здоровых лиц и ее связь с показателями вариабельности сердечного ритма при выполнении функциональных температурных проб.

Методика проведения исследования

Обследовано 33 молодых здоровых человека (9 юношей, 24 девушки; возраст испытуемых составлял от 19 до 23 лет). Исследование проводилось в скотопических условиях в состоянии физического и психоэмоционального покоя исследуемых лиц. Исследование изменений размера зрачка проводилось в 2 этапа с 15-минутными интервалами между ними: без локального температурного воздействия (ЛТВ), контроль; на фоне погружения кисти левой руки в теплую воду, $t = 41^{\circ}\text{C}$, время экспозиции 4 мин. Изменения размера зрачка регистрировали при помощи цифровой видеокамеры с разрешением 640×480 пикселей с использованием целевой лампы ЩЛ-2Б (объектив x8, окуляр x8) с инфракрасной подсветкой в течение 30 с в конце каждого из этапов. Видеофайл разбивали на кадры и анализировали вертикальный радиус зрачка (PЗ) в мм с шагом 100 мс. Гармонический анализ полученного колебания проводился методом быстрого преобразования Фурье в пакете прикладных программ Matlab 5.0 [9].

Для определения положения центра и PЗ было разработано программное средство для автоматической обработки видеоизображений, которые бы позволили точно и максимально быстро измерять положение центра и PЗ (Гурский И.С. под руководством проф. Кубарко А.И.). Поскольку форма зрачка у подавляющего большинства людей достаточно точно описывается эллипсом, поиск велся в направлении методов обнаружения и измерения эллипса. Наилучших результатов удалось добиться, применяя алгоритм преобразования Хафа (Generalized Hough Transform — GHT) с некоторыми усовершенствованиями, позволяющими увеличить точность результатов и на порядки увеличить скорость обработки видеоизображений [2].

Изучение реактивности АНС в условиях ЛТВ проводилось с использованием анализа вариабельности сердечного ритма (ВСР) по Баяевскому с использованием программы Бриз-М (ИМО Интеркард, Республика Беларусь).

Полученные данные представлены в виде $Me (Q25;Q75)$. Статистический анализ полученных данных выполнялся с использованием пакета прикладных программ Statistica 10.0 (Statsoft, USA). Анализ полученных данных выполнялся с использованием непараметрических критериев (критерий Вилкоксона, коэффициент ранговой корреляции Спирмена). Различия считались статистически значимыми при вероятности ошибки I рода $< 5\%$ ($p < 0,05$).

Результаты и их обсуждение

Измерение естественного PЗ в скотопических условиях после 10-минутной темновой адаптации по результатам автоматической обработки видеоизображения показало, что его радиус составляет $3,47 \pm 0,4$ мм. Радиус адаптированного к темноте зрачка, полученный по результатам ручного измерения его изображения, составил $3,52 \pm 0,28$ мм ($p > 0,05$). При исследовании зрачка испытуемых в состоянии покоя и скотопических условиях оказалось, что его размер у большинства исследованных здоровых молодых людей варьировал с частотой от 0,17 до 0,52 Гц ($0,28 \pm 0,11$ Гц), практически совпадая с диапазоном HF части спектра ВСР. Средняя продолжительность одного цикла при этом составила $3,6 \pm 0,9$ с. При этом в условиях ЛТВ было выявлено уменьшение PЗ с 2,26 мм (1,92;2,47) до 2,14 мм (1,82;2,42) ($p < 0,05$), хорошо коррелирующее с признаками снижения тонуса сегментарных центров симпатического и повышения — парасимпатического отдела АНС: по данным кардиоинтервалограммы показатель LF повысился с 46,8% (42,2;51,4) до 48,5% (43,5;51,2) ($p < 0,05$), а HF уменьшился с 30,8% (29,5;35,9) до 30,2% (27,2;34,3) ($p < 0,05$).

При этом по результатам анализа данных, полученных в результате применения быстрого преобразования Фурье, выявлялись весьма значительные индивидуальные различия в динамике изменения РЗ при локальном температурном воздействии, во многом зависящие от исходного тонуса АНС, что проявилось в неодинаковом распределении мощности спектра частот, амплитуды и фазы колебаний, формировании плавнорастающей, ступенчатой или волнообразной картины автокорреляционной функции.

Анализ степени связи между величиной РЗ и показателями ВСР с использованием коэффициента корреляции Спирмена представлен в таблице 1.

Таблица 1. Корреляционные связи между РЗ и показателями вариабельности сердечного ритма

Этап исследования	SDNN, мс	LF, %	HF, %	LF/HF	VLF, %
Контроль	-0,16	-0,14	0,03	-0,08	0,02
Тепловое воздействие	-0,12	-0,13	-0,20	0,04	0,38*

Примечание. * – Оценка силы корреляционной связи достоверна ($p < 0,05$).

При сравнении полученных данных на контрольном этапе исследования и на фоне локального теплового воздействия выявлялась значимая умеренной силы корреляционная связь между РЗ и показателем VLF ($r = 0,38$). Эти результаты согласуются с данными Р.М. Баевского с соавт. о том, что мощность спектра VLF кардиоритмограммы характеризует систему сложных влияний со стороны надсегментарного уровня регуляции висцеральных функций и подтверждают полученные нами ранее на меньшей группе испытуемых (15 человек) данные о возможности установления в условиях температурной нагрузки более тесных функциональных связей между центрами АНС, регулируемыми висцеральными функциями [1].

Заключение

Сравнительный анализ вариабельности размеров зрачка и сердечного ритма при их синхронной регистрации позволил выявить определенные ограничения в возможности оценки тонуса структур автономной нервной системы, локализованных на уровне среднего мозга, а также надсегментарных уровней вегетативной регуляции по данным анализа вариабельности сердечного ритма. В условиях локального теплового воздействия наблюдаются разнонаправленные изменения тонуса центров автономной нервной системы, расположенных на различных уровнях центральной нервной системы. Одновременная оценка показателей изменения вариабельности размеров зрачка и сердечного ритма расширяет возможности для более полного и корректного заключения об участии автономной нервной системы в регуляции кровообращения и других висцеральных функций.

Список литературы

1. Оценка участия автономной нервной системы в регуляции висцеральных функций по данным вариабельности размеров зрачка / А.И. Кубарко, И.С. Гурский, Д.А. Александров [и др.] // Проблемы регуляции висцеральных функций : сб. науч. ст. в 2 кн. Кн. 2. Минск. 2008. С. 99-103.
2. Viglione A. From pupil to the brain: New insights for studying cortical plasticity through pupillometry. A. Viglione, R. Mazziotti, T. Pizzorusso // Front. Neural Circuits. 2023. No 17. Art. 1151847. DOI: 10.3389/fncir.2023.1151847.
3. Pupillometry and autonomic nervous system responses to cognitive load and false feedback: an unsupervised machine learning approach / E.I. Alshanskaia, G.V. Portnova, K. Liukovich, O.V. Martynova // Front. Neurosci. 2024. No 18. Art. 1445697. DOI: 10.3389/fnins.2024.1445697.

УДК 004.51, 614

ПРИМЕНЕНИЕ КОМПЬЮТЕРНОЙ СИСТЕМЫ «ЭЛЕКТРОННАЯ ОЧЕРЕДЬ» ДЛЯ ОПТИМИЗАЦИИ РАБОТЫ НА ДОГОСПИТАЛЬНОМ ЭТАПЕ ОКАЗАНИЯ МЕДИЦИНСКОЙ ПОМОЩИ

Г.Д. СИТНИК¹, И.В. ПАТЕЮК¹, С.К. ДИК⁵, В.В. ВОЙТОВ², О.Я. КУЗНЕЦОВ³,
А.В. ГОРЮНОВ⁴, Н.Н. ПРОТКО¹, Е.И. ЛЕЩЕВИЧ⁵, И.И. РЕВИНСКАЯ⁵

¹ Белорусский государственный медицинский университет,
Пр. Дзержинского 83, Минск, 220083, Беларусь

² 39-ая городская клиническая поликлиника,
Каролинская 3, Минск, 220045, Беларусь

³ 5-ая городская клиническая поликлиника,²
С.Есенин 21, Минск, 220025, Беларусь

⁴ 40-ая городская клиническая поликлиника,
Люцинская 3, Минск, 220055, Беларусь

⁵ Белорусский государственный университет информатики и радиоэлектроники
П.Бровки 6, Минск, 220013, Беларусь

Аннотация. Программно-технические комплексы являются важным компонентом обеспечения доступности амбулаторно-поликлинической помощи населению. Представлены техническое описание, принцип работы и возможности комплекса «Электронная очередь», анализ статистических данных работы регистратуры, отделений и лабораторий поликлиники. Внедрение комплекса позволило значительно оптимизировать и повысить эффективность работы лечебно-профилактических учреждений.

Ключевые слова: электронная очередь, амбулаторно-поликлиническая помощь, потоки пациентов, терминал регистрации, программное обеспечение, системные и сервисные программы, картотеки баз данных, статистика, время ожидания, общая и льготная очередь.

APPLICATION OF THE COMPUTER SYSTEM "ELECTRONIC QUEUE" FOR OPTIMISATION OF WORK AT THE PRE-HOSPITAL STAGE OF MEDICAL CARE

G.D.SITNIK¹, I.V.PATEYUK¹, S.K. DZIK, V.V.VOITOV², O.YA.KUZNETSOV³,
A.V.GORYUNOV⁴, N.N.PROTKO¹, E.I.LIASHCHEVICH⁵, I.I.REVINSKAYA⁵

¹ Belarusian State Medical University,
Avenue Dzerzhinsky 83, Minsk, 220083, Belarus

² 39th City Clinical Polyclinic,
Karolinskaya 3, Minsk, 220045, Belarus

³ 5th City Clinical Polyclinic, 2
S. Yesenin 21, Minsk, 220025, Belarus

⁴ 40th City Clinical Polyclinic,
Lutsinskaya 3, Minsk, 220055, Belarus

⁵ Belarusian State University of Informatics and Radioelectronics
P.Brovki Street 6, Minsk, 220013, Belarus

Abstract. Software and technical complexes are an important component of ensuring the availability of outpatient and outpatient care to the population. The technical description, principle of operation and capabilities of the "Electronic Queue" complex, analysis of statistical data of the work of the registry, departments and laboratories of the polyclinic are presented. The introduction of the complex made it possible to optimize significantly and increase the efficiency of medical and preventive institutions.

Keywords: electronic queue, outpatient and polyclinic care, patient flows, registration terminal, software, system and service programs, database files, statistics, waiting time, general and preferential queue.

Введение

Каждый день через любую поликлинику проходит много посетителей с самой различной целью: для профилактического осмотра; на первичный врачебный приём в случае болезни; для получения назначенных врачом лечебных процедур; после выздоровления, чтобы закрыть больничный лист; по направлению из других лечебных учреждений для проведения исследований и консультаций. Современные системы управления очередью, называемые также электронной очередью, позволяют эффективно распределять поток посетителей, ликвидировать неразбериху живой очереди и создать для людей комфортные условия ожидания. Не менее комфортные условия работы необходимы и сотрудникам медицинских учреждений.

Результаты и их обсуждение

В поликлиниках Республики широко используются различные системы управления данными «Электронная очередь», разных модификаций и производителей.

Используемый программно-технический комплекс (ПТК) «Электронная очередь» предназначен для управления потоками пациентов и состоит из терминала регистрации пациентов (2), главного табло (1), табло рабочего места (3) и программного обеспечения.

Технические и качественные характеристики ПТК «Электронная очередь»:

Терминал №1: напольный антивандальный сенсорный терминал стоечного типа; вертикальное расположение сенсорной панели; проекционно-емкостная технология сенсорного экрана; распознавание до 10 одновременных касаний; диагональ экрана: 43 дюйма; защита от проникновения внутрь замком для доступа к компьютеру; разрешение: 1920x1080 пикселей; встроенная акустическая система: 10Вт (2x5Вт); встроенный компьютер (процессор: Intel Core i3, оперативная память 8Gb, SSD накопитель 120 Gb, видеоадаптер интегрированный, интерфейсы: USB, HDMI); сетевой интерфейс LAN 10/100/1000 Mbit/s RJ45); принтер для выдачи чеков; встроенный термопринтер 80мм, с автообрезчиком; лента чековая (термо); обслуживание принтера с лицевой стороны через отдельный отсек для принтера (для предотвращения доступа к внутренним узлам терминала при замене бумаги); сканер штрих кодов 2D, 3D; операционная система: Windows 10. Pro.

Терминал №2: напольный антивандальный сенсорный терминал стоечного типа; наклонное расположение сенсорной панели; защита от проникновения внутрь, замком для доступа к компьютеру; принтер для выдачи чеков; встроенный термопринтер 80мм с автообрезчиком; лента чековая (термо); обслуживание принтера через отдельный отсек для принтера (для предотвращения доступа к внутренним узлам терминала при замене бумаги); встроенный компьютер: (процессор: Intel Core i3; оперативная память 8GB; SSD накопитель 120GB); блок питания 400Вт; встроенные динамики; диагональ экрана 21,5 дюйма, разрешение экрана – 1920x1080; 10 одновременных касаний; сенсорный мультитач, тип: проекционно-емкостной; видеоадаптер –интегрированный; сетевой интерфейс (LAN) –10/100Mbit/s RJ45. HDMI, USB, VGA; сканер штрих кодов 2D, 3D; операционная система: Linux Ubuntu

Главное табло (Информационная панель с функцией подключения в систему отображения информации и озвучки): диагональ дисплея: 50"; контрастность 5000:1; динамическая контрастность 50000:1; яркость 500 кд/м²; разрешение 3840 x 2160 (16:9); встроенные динамики; встроенные интерфейсы: RJ45, HDMI, USB, VGA; время работы 12 / 7.

Табло рабочего места оператора: светодиодное матричное табло со следующими характеристиками: количество знаков (100мм) 4; цвет индикаторов – красный; возможность отображения цифровых и буквенных символов; интерфейс RS485; подача питания по интерфейсному кабелю; блок питания.

Программное обеспечение. Система электронного управления потоками пациентов обеспечивает программное взаимодействие с МИС (медицинская информационная система) ОИПИ (институт проблем информатики) НАН РБ «Веб-поликлиника» и «Клиника» и выполняет следующие функции:

– установка, настройка, изменение конфигурации системных и сервисных программ (услуг, категорий пациентов, графиков приема, логики работы ПТК);

- обеспечение программного взаимодействия (интеграции) ПТК «Электронная очередь» с МИС;
- определение контингента пациента при сканировании пластиковой карты медицинского обслуживания из картотеки базы данных МИС медицинского учреждения в автоматическом режиме;
- автоматическая запись вне очереди (при наличии прав на льготное обслуживание в картотеке базы данных МИС медицинского учреждения);
- возможность постановки в очередь экстренных пациентов;
- мониторинг работы операторов в режиме реального времени;
- получение статистики о количестве обслуженных пациентов;
- возможность архивирования талонов по всем видам услуг;
- возможность отмены талонов у администратора системы;
- настройка визуального и голосового сопровождения вызова;
- проигрывание на вызывном табло рекламных видеороликов;
- настройка «бегущей строки» вызывного табло;
- резервное копирование базы данных и медиафайлов системы;
- восстановление данных о клиентах и настроек.

Программное обеспечение управления очередью полностью совместима с системой централизации Digital Master и в полной мере обеспечивает программное взаимодействие с (МИС) «Веб-поликлиника» и «Клиника» с целью авторизации пациентов в системе, учета приоритета обслуживания для льготных категорий граждан, возможности постановки в очередь экстренных пациентов (срочный режим СИТО) только по номеру, указанному в направлении на исследование.

Все компоненты электронной подсистемы имеют прямой (в одном сегменте сети) или маршрутизируемый (разные сегменты сети) доступ к серверу МИС. Терминал регистрации пациентов и главное табло соединяются с программным обеспечением LAN, рабочие места операторов по программному обеспечению LAN.

Порядок работы Электронной системы:

С помощью терминала, расположенного в вестибюле поликлиники у входа, новый посетитель сообщает системе управления очередью цель своего визита. Для этого он выбирает из предложенного списка фамилию нужного ему врача либо вид медицинской помощи. Система регистрирует его, и терминал печатает талон с порядковым номером, который поможет в дальнейшем идентифицировать посетителя в очереди.

Получив информацию о цели визита посетителя, система помещает его в очередь к соответствующему специалисту. При этом посетителя сразу информируют о том, сколько людей находится впереди него – информация об этом печатается на талоне. Теперь посетителю остаётся ждать, когда подойдёт его очередь, и система сообщит об этом с помощью звукового оповещения и на информационном табло. У каждого врача, ведущего приём, на рабочем месте установлен операторский терминал, с помощью которого он сообщает системе о том, что он свободен и готов принять следующего посетителя. После этого система выводит приглашение для владельца талона с наименьшим номером на информационное табло и дублирует его голосовым сообщением.

Основные показатели, которые фиксируются и обрабатываются системой «Электронная очередь» это: время ожидания, время обслуживания, время от взятия талона до окончания обслуживания, количество клиентов за смену и за любой заданный промежуток времени, время по общей и по льготной очереди.

Такой же анализ, кроме врачебного и доврачебного приема ведется по следующим медицинским услугам: стол справок; анализ крови из пальца (общий анализ крови, глюкоза крови); анализы крови из вены + ОАК (общий анализ крови, глюкоза крови, биохимия, гликированный гемоглобин, гормоны, сифилис, гепатиты, коагулограмма, ВИЧ, МНО, ПСА, онкомаркеры и др.); магнитолазеротерапия; ультразвук; магнитотерапия, электростимуляция; СЕТА, УВЧ; дарсонваль; интервенционные токи; надвенный лазер; ДДТ; ЭКГ.

Руководство поликлиники своевременно получает и анализирует полученную статистическую информацию.

В результате, по сравнению с предыдущими показателями (до использования данной системы) «Электронная очередь» в поликлинике, установленная у врачей – специалистов, позволила увеличить скорость приема посетителей в среднем на 20% за счет сокращения времени ожидания вызова у кабинетов, а также оптимизировать потоки пациентов и уменьшить время ожидания (в среднем на 10-15%) в клиничко-диагностической лаборатории, отделении медицинской реабилитации, отделении функциональной диагностики с использованием новых временных регламентов для каждой услуги и новой организации процесса.

Заключение

Применение ПТК «Электронная очередь» позволило значительно повысить качество и эффективность оказания медицинской помощи в амбулаторно-поликлинических учреждениях, оптимизировать движение потоков пациентов, максимально эффективно использовать время сотрудников, уменьшить время обслуживания пациентов, увеличить количество обработанных запросов, существенно сократить время ожидания посетителей, организовать спокойный психологический климат для пациентов и сотрудников, осуществлять административный внешний контроль движения очереди и организованное движение потоков пациентов внутри поликлиники.

Преимущества электронной очереди в амбулаторно-поликлинических учреждениях; устраняется нервозность и напряжение между посетителями, улучшается эмоциональный климат, повышается лояльность клиентов; посетители равномерно распределяются между сотрудниками – повышается эффективность работы учреждения в целом; центральное табло системы используется не только для вывода информации об электронной очереди, но также с его помощью сообщаются посетителям другие полезные сведения: например, часы работы учреждения, новости медицины, демонстрация рекламы; открываются широкие возможности для анализа работы с посетителями; полученные данные помогают принимать оптимальные управленческие решения.

Список литературы

1. Единая интернет-регистратура Беларуси [Электронный ресурс]. – Режим доступа: <https://talon.by/about>. – Дата доступа: 27.02.2022.
2. Лапицкий В.А. Электронное здравоохранение Беларуси: состояние и перспективы / В.А. Лапицкий, И.Э. Том // Информатика. — 2018. — Т. 15, № 4. — С. 7—15.
3. Лапицкий В.А. Информатизация системы здравоохранения г. Минска: текущее состояние, проблемы, перспективы / В.А. Лапицкий, И.В. Юркевич // Вопросы организации и информатизации здравоохранения. — 2012. — № 4 (73).— С. 55—66.
4. Приказ МЗ РБ № 244 от 22 марта 2018 г. «Об утверждении Концепции развития электронного здравоохранения Республики Беларусь».
5. Современные информационно-коммуникационные технологии в деятельности врача / М.А. Герасименко [и др.] // Вопросы организации и информатизации здравоохранения. — 2015. — № 3 (84). — С. 76—79.
6. Штайн К. Роль национальных информационных систем здравоохранения и электронного здравоохранения (eHealth) в принятии решений: ключ к реализации политики «Здоровье-2020» и целей устойчивого развития / К. Штайн // Вопросы организации и информатизации здравоохранения. —2018. — № 3. — С. 74—78
7. Электронное здравоохранение Республики Беларусь: состояние и перспективы [Электронный ресурс] // Журнал «Здравоохранение. Healthcare». – Режим доступа: <http://www.zdrav.by/kruglyj-stol/elektronnoe-zdravoohranenie-respubliki-belarus-sostoyanie-i-perspektivy/>. – Дата доступа: 28.10.2021.

УДК 551.508

ОБРАТНЫЕ ЗАДАЧИ ОПТИКИ РАССЕИВАЮЩИХ СРЕД (МЕДИЦИНА, ЭКОЛОГИЯ)

М.М.КУГЕЙКО

Белорусский государственный университет, пр-т Независимости 4, 220030, Минск, Беларусь

Аннотация. Рассмотрен новый подход в решении обратных задач оптики рассеивающих сред – на основе установления регрессионных соотношений между измеряемыми оптическими параметрами и определяемыми микрофизическими характеристиками аэродисперсных и газовых сред, форменных элементов крови, структурно–морфологическими параметрами кожи и слизистых человека, а также аппроксимационных функций для потоков многократного рассеяния излучения крови, биотканей. Оценена эффективность методов и систем оптико-физической диагностики неоднородных рассеивающих сред на основе данного подхода.

Ключевые слова: обратные задачи оптики рассеивающих сред, аэродисперсные и газовые среды, биобъекты, форменные элементы крови, оптические характеристики, регрессионный метод решения обратных задач.

INVERSE PROBLEMS OF OPTICS OF SCATTERING MEDIA (MEDICINE, ECOLOGY)

M.M.KUGEIKO

Belarusian State University, Nezalezhnosti Ave. 4, 220030, Minsk, Belarus

Abstract. A new approach to solving inverse problems of optics of scattering media is considered - based on the establishment of regression relations between measured optical parameters and determined microphysical characteristics of aerodisperse and gas media, structural and morphological parameters of human skin and mucous membranes, as well as approximation functions for multiple scattering radiation fluxes of blood and biotissues. The efficiency of methods and systems of optical-physical diagnostics of inhomogeneous scattering media based on this approach is evaluated.

Keywords: inverse problems of optics of scattering media, aerodisperse and gaseous media, biobjects, blood form elements, optical characteristics, regression method for solving inverse problems.

Введение

Оптико–физические измерения, в которых информация об измеряемом объекте получается с использованием оптического диапазона длин волн, в настоящее время широко используется в разнообразных областях науки, техники, народного хозяйства. Интенсивное развитие они получили с появлением таких источников излучения как лазеры, светодиоды. Без использования современных квантовых приборов различного спектрального диапазона не могут успешно решаться задачи изучения строения различных сред и объектов, развиваться средства диагностики и контроля окружающей среды, диагностики и лечения в медицине, непрерывного контроля технических процессов, лазерной дальнометрии, тепловидения, судебной экспертизы, массовой информации, телевизионной техники.

Практически все оптико–физические измерения относятся к классу косвенных, состоящих в определении искомого значения физической величины на основании результатов прямых измерений других физических величин, функционально связанных с искомой величиной. Во всех случаях задача интерпретации получаемой косвенной информации является многопараметрической и часто некорректной обратной задачей. Для решения таких задач требуется использование априорной информации об объекте исследования. Практически всегда (особенно для локационных систем) такая информации не известна, а получение ее требует

проведения дополнительных измерений (в диагностике, например, атмосферы, биообъектов и т.п. это трудно осуществимо). Некорректность здесь проявляется также в чрезвычайно сильной зависимости решения от погрешности измерений, что требует решения проблемы проведения калибровочных измерений с высокой точностью. Для многих случаев это является более сложным, чем создание самой измерительной системы.

Количество требуемой априорной информации существенно уменьшается при использовании регуляризирующих алгоритмов А.Н.Тихонова. В тоже же время, при этом требуется подбор параметров регуляризации, от которых зависит точность восстановления определяемых параметров. Методы регуляризации, к тому же, теряют устойчивость при неточном подборе параметров регуляризации.

Необходимость использования априорной информации, допущений об исследуемом объекте в настоящее время, например, не позволила метрологически аттестовать лазерно–локационные системы в создаваемых глобальных сетях (мировой, европейской, СНГ, РФ) мониторинга загрязнений окружающей среды (из–за невозможности знания состояния атмосферы вследствие ее неустойчивости), систем неинвазивной оптической диагностики биофизических параметров биообъектов и т.д.

Задача количественной оценки определяемых параметров объектов обычно реализуется в два этапа. На первом этапе определяются оптические параметры объекта из получаемой измерительной информации (обычно путём сравнения экспериментальной и расчетной, в рамках модели переноса и взаимодействия света). Для обеспечения необходимой для практики точности требуется использование методов теории переноса излучения не использующих различные приближения о доминирующем процессе взаимодействия, что, в свою очередь, требует больших вычислительных затрат и, поэтому, исключает возможность интерпретации экспериментальных данных в режиме реального времени (например, при использовании наиболее точного метода Монте–Карло (МК).

В связи с вышеизложенным для оптико–физических измерений необходима разработка методов и систем в рамках концепции «безаприорности», сущность которой – максимальное исключение априорной информации или допущения об исследуемом объекте, решение проблемы калибровки (максимальном исключении влияния аппаратурных параметров, среды на результаты измерений), а также нового подхода в решении обратных задач, получение информации в режиме реального времени.

Сущность регрессионный подход к решению обратных задач оптики рассеивающих сред

Рассматривается разработанный регрессионный подход к решению обратных задач оптического зондирования рассеивающих сред (атмосферы, биологических объектов), заключающийся в извлечении из регистрируемых оптических сигналов линейно–независимых компонент, как проекций сигналов на пространство из собственных векторов их ковариационной матрицы, и определении искомым параметров среды на основе их устойчивых регрессионных связей с линейно–независимыми компонентами сигналов (см. рис.1) [1-3].

Использование в регрессиях линейно–независимых величин, соответствует извлечению из исходных (обращаемых) данных “полезного сигнала” и отбрасыванию “шума”, что позволяет строить решения обратных задач, устойчивые к случайным «возмущениям» этих данных. Вышеотмеченные собственные векторы и регрессионные решения обратных задач получают путем статистического моделирования оптических сигналов при максимальной вариативности параметров среды, влияющих на процесс переноса в ней излучения. В последующем это позволяет выполнять оперативную обработку измеряемых оптических сигналов без решения уравнения переноса излучения, доопределения и регуляризации обратной задачи.



Рис.1. Функциональная схема регрессионного подхода

Оптимальная размерность собственного базиса ковариационной матрицы обрабатываемых данных, используемого для их разложения на линейно-независимые компоненты, определяется на основе замкнутых численных экспериментов по восстановлению параметров среды из характеристик ее светорассеяния. Для этого первоначально на основе смоделированного ансамбля реализаций вектора измерений \mathbf{r} формируется «тестовый» ансамбль, в котором каждая реализация \mathbf{r} получена путем наложения на компоненты исходного вектора \mathbf{r} случайных отклонений в пределах погрешности измерений $\delta\mathbf{r}$. Далее перебираются все реализации «тестового» ансамбля и для каждой из них осуществляется решение обратной задачи по формулам регрессии между модельными параметрами \mathbf{x} и линейно-независимыми величинами, составленными из компонентов \mathbf{r} . Получаемые в итоге значения модельных параметров \mathbf{x}^* сравниваются с их фактическими значениями \mathbf{x} , и рассчитываются погрешности их восстановления. В соответствии с этим выбирается количество линейно-независимых компонентов обрабатываемых данных при заданной погрешности измерений и характеристики светорассеяния среды, по которым можно наиболее точно определять конкретные параметры среды в условиях априорной неопределенности всех других. Это также позволяет оценить информативность измеряемых данных, получить представление о теоретически достижимой точности восстановления из них параметров среды, исследовать влияние количества и точности оптических измерений на точность решения обратной задачи.

Возможности регрессионного подхода

В монографиях [1–3] продемонстрированы возможности регрессионного подхода к планированию экспериментов по оптическому зондированию рассеивающих сред, включающие анализ информативности спектральных коэффициентов ослабления и направленного светорассеяния разбавленной крови, форменных элементов крови, аэрозолей естественного и антропогенного происхождения, газовых компонент в условиях перекрытия их спектральных линий, выбраны длины волн оптического зондирования и углы приема рассеянного излучения, оптимальные для определения микрофизических параметров эритроцитов и аэрозолей (показателя преломления, счетной и объемной концентраций, характеристик распределения частиц по размерам), получены соответствующие множественные регрессии, позволяющие определять искомые микрофизические параметры в широких пределах их вариаций без решения некорректных обратных задач.

Установлены оптико-микроструктурные регрессионные соотношения для аэрозолей естественного и антропогенного происхождения, представляющие большой интерес для практического применения при лазерно-локационном и спутниковом мониторинге

окружающей среды и контроле технологических процессов [1, 3]. На этой основе разработаны методы, использующие предварительно полученные аналитические выражения, связывающие определяемые параметры среды или объекта с их спектрально–пространственными характеристиками. Методы являются основой для создания нового поколения лазерно–локационных систем, использующих минимальное количество априорной информации, дополнительных измерений, калибровочных процедур.

Разработан способ определения концентраций компонентного состава газовых смесей в условиях перекрытия спектральных линий на основе измерения спектральных значений коэффициентов поглощения светового излучения. Оценена эффективность и показано, что точностные характеристики способа на основе регрессионного подхода решения обратных задач в условиях перекрытия спектральных линий газовой компонент исследуемой среды [3] составляют единицы процентов.

На основе оптических моделей кожи и слизистых оболочек человека, а также метода Монте-Карло (МК) для решения уравнения переноса в них излучения получены устойчивые регрессионные решения обратных задач спектроскопии биотканей с пространственным разрешением, позволяющие определять оптические (коэффициент поглощения, транспортный коэффициент рассеяния, фактор анизотропии индикатрисы рассеяния) и структурно-морфологические (концентрации меланина, общего гемоглобина и билирубина в ткани; степень оксигенации крови; средний диаметр кровеносных сосудов; концентрация и размер эффективных рассеивателей) параметры тканей напрямую из сигналов их обратного рассеяния (ОР), регистрируемых на основе волоконно-оптической техники с пространственным разнесением каналов послышки и приема излучения [2,3].

Оценены погрешности восстановления параметров биотканей, вызванные их статистическим разбросом и погрешностями оптических измерений. Совместная обработка спектральных и пространственных характеристик ОР ткани с использованием полученных регрессий позволяет в 2–3 раза уменьшить погрешность восстановления оптических параметров (ОП) ткани по сравнению результатами их восстановления только из спектральных или только из пространственных характеристик ОР.

Предложено решение обратной задачи реконструкции двумерных распределений структурно-морфологических параметров (СМП) тканей человека по их мультиспектральным изображениям [2,3]. Для устранения влияния неравномерной освещенности и геометрии съемки ткани на результаты восстановления ее параметрических карт используются изображения ткани, нормированные на один из своих спектральных слоев. Обратная задача состоит в восстановлении СМП ткани из спектральных значений каждого пиксела нормированного изображения. Для ее решения используются регрессионные соотношения, предварительно полученные на основе репрезентативной выборки спектра диффузного отражения (ДО) среды, моделирующей исследуемую ткань. Устойчивость регрессионных операторов преобразования изображений тканей в параметрические карты к погрешностям измерений обеспечивается за счет использования для решения обратной задачи линейно-независимых составляющих изображения, получаемых путем проекций спектральных значений каждого пиксела на собственные векторы ковариационной матрицы спектра ДО ткани.

Отмеченный выше регрессионный подход к количественному анализу характеристик светорассеяния биологических тканей позволят с успехом решать широкий круг практических задач, и обладает рядом важных достоинств [2,3]. Во-первых, он позволяет в реальном масштабе времени обрабатывать экспериментальные данные и вести непрерывный мониторинг параметров исследуемого объекта, например, во время хирургических операций, терапевтических процедур или в ходе проведения эндоскопического обследования. Во-вторых, регрессионный метод дает возможность определять искомые параметры ткани в тех случаях, когда объем экспериментальных данных не достаточен для использования строгих математических методов решения некорректных обратных задач. И наконец, интерпретация экспериментальных данных на основе предварительно построенных регрессионных соотношений не требует привлечения сложных алгоритмов и компьютерных кодов, а также больших затрат вычислительных ресурсов, что позволяет в реальном времени обрабатывать большие объемы экспериментальных данных.

Разработаны методы определения микрофизических параметров (МФП) популяций нативных эритроцитов на основе установления устойчивых регрессионных соотношений между определяемыми МФП и измеряемыми оптическими характеристиками [3]. Следует отметить, что расчет оптических характеристик для установления регрессионных соотношений устанавливался для математической модели эритроцитов в виде двояковогнутого диска и использование модифицированного метода дискретных диполей (МДД).

В тоже время, регрессионный метод не позволяет выполнять тонкий анализ характеристик светорассеяния ткани, например, выявлять в них особенности, обусловленные малыми вариациями компонентного состава крови. В частности, это относится к содержанию дисгемоглобинов в крови (карбокси-, мет- и сульфгемоглобина), спектры поглощения которых существенно перекрывается с аналогичными спектрами основных форм гемоглобина (окси- и деоксигемоглобина). Малые вариации спектра ОР ткани, обусловленные вариациями гемоглобинного состава, в значительной степени усредняются по статистическому материалу, используемому для получения регрессий, что делает регрессионный метод слабо чувствительным к концентрации каждой конкретной формы гемоглобина в условиях их общей вариативности. В этих условиях значительно более высокая точность оценки искомым параметров может быть достигнута путем измерений спектра ОР ткани с высоким спектральным разрешением и последующего решения обратной задачи, заключающейся в моделировании теоретического спектра по отношению к экспериментальному путем подбора модельных параметров [2,3]. Высокое спектральное разрешение исходных данных обеспечивает устойчивость обратной задачи к погрешностям оптических измерений и устраняет неоднозначность ее решения в рамках используемой модели биоткани. Сложность здесь заключается в адекватном теоретическом расчете характеристик ОР ткани.

Расчет оптических сигналов, измеряемых при помощи волоконно-оптических датчиков, осуществляется с использованием диффузионного приближения (ДП) теории переноса излучения, Монте–Карло (МК) или заранее построенных «look-up» таблиц (расчетных или эмпирических). ДП далеко не всегда обеспечивает требуемую точность и накладывает ряд ограничений на геометрию схемы измерений рассеянного тканью излучения и используемый спектральный диапазон. Метод МК не имеет подобных ограничений и позволяет рассчитывать пространственные характеристики световых полей в среде с учетом ее многослойного строения, конечного размера падающего пучка и отражения света от границ среды. Однако при всех неоспоримых достоинствах метода МК он требует больших затрат машинного времени, что существенно затрудняет его практическое использование. Сокращение времени расчетов может быть достигнуто путем установления связей (аналитических или аппроксимационных) между оптическими параметрами среды и регистрируемыми сигналами.

Заключение

Рассмотрены полученные аппроксимационные выражения для расчета спектра диффузного пропускания кюветы с цельной кровью в зависимости от биохимического состава крови и морфологических параметров эритроцитов, а также для расчета спектрально-пространственных характеристик ДО и ОР кожи, слизистых оболочек в зависимости от их оптических и структурных параметров, проведен анализ эффективности использования полученных выражений для решения обратных задач оптики биотканей [2]. Особо следует отметить разработанные аппроксимационные аналоги метода МК для быстрых расчетов характеристик переноса излучения в однородной и двухслойной многократно рассеивающих средах.

Список литературы

1. Кугейко М.М., Лысенко С.А. Лазерная спектрофелометрия аэродисперсных сред. Минск: БГУ, 2012. 208 с.
2. Лысенко С.А. Методы оптической диагностики биологических объектов. Минск: БГУ, 2014. 232 с.
3. Кугейко М.М. Обратные задачи оптики рассеивающих сред. Минск: БГУ, 2023. 304 с.

УДК 551.508

МОДЕЛИРОВАНИЕ ОПТИЧЕСКИХ СВОЙСТВ НАНОЧАСТИЦ AG, AU

Л.А ТРУСЕВИЧ, М.М. КУГЕЙКО

Белорусский государственный университет, пр-т Независимости 4, 220030, Минск, Беларусь

Аннотация. Проведено исследование оптических характеристик спектральных свойств монодисперсных и полидисперсных частиц серебра и золота в крови человека, используемых в качестве контрастных агентов для методов оптической визуализации (флуоресцентная микроскопия, спектроскопия с пространственным разрешением) и терапии патологических очагов. Оценены максимальные сечения рассеяния и поглощения в крови для них.

Ключевые слова: моно и полидисперсные наночастицы серебра и золота, плазмонный резонанс, сечения рассеяния и поглощения.

MODELING OF OPTICAL PROPERTIES OF AG, AU NANOPARTICLES

L.A. TRUSEVICH, M.M. KUGEIKO

Belarusian State University, Nezalezhnosti Ave. 4, 220030, Minsk, Belarus

Abstract. The study of optical characteristics of spectral properties of monodisperse and polydisperse silver and gold particles in human blood used as contrast agents for methods of optical imaging (fluorescence microscopy, spectroscopy with spatial resolution, etc.) and therapy of pathological foci has been carried out. The maximum scattering and absorption cross sections in blood for them have been estimated.

Keywords: mono- and polydisperse silver and gold nanoparticles, plasmon resonance, scattering and absorption cross sections.

Введение

Биомедицинская оптика является одной из наиболее быстро развивающихся областей науки и техники. Неразрушающая природа света, используемого для исследования и детектирования аномалий в тканях человека, делает ее весьма привлекательной для разработки новых неинвазивных диагностических и терапевтических методов. Следует выделить такое направление в биомедицинской оптике как тераностика, которая объединяет диагностику заболевания и персонализированное лечение пациента с улучшенной эффективностью и безопасностью [1].

Одним из ключевых компонентов тераностики является диагностический имиджинг (визуализация патологических очагов и их мониторинг в процессе лечения) с высокой чувствительностью и молекулярной специфичностью [2]. Этому способствует также значительный прорыв в нанотехнологиях при разработках целого ряда материалов нового вида, представляющих собой частицы различной природы (квантовые точки, нанозолото, наносеребро, магнитные частицы, наноалмазы, апконвертирующие нанофосфоры, полимерные наночастицы) с размерами 1–200 нм, обладающие уникальными физико-химическими характеристиками, не свойственными их аналогам большого размера.

Для биомедицинского применения наночастицы, как правило, покрывают полимерами с различными реакционноспособными группами, которые предоставляют широкую возможность интегрировать в наночастицы дополнительные функциональные модули, сообщая им новые свойства. Такая функциональная гибкость наночастиц позволяет использовать их в качестве диагностических или терапевтических агентов, а также одновременно в обоих качествах. Благодаря своим нанометровым размерам наночастицы способны проникать в микроциркуляторное русло в организме, а также преодолевать различные биологические барьеры для достижения тканей мишеней.

Суммируя выше изложенное, можно сказать, что тераностический агент должен одновременно обеспечивать следующие возможности [1]: 1) направленную доставку к молекулярной мишени, 2) визуализацию патологического очага и его прижизненный имиджинг в процессе лечения, 3) эффективное и селективное воздействие на молекулярную мишень.

По прежнему существует разрыв между технологическими достижениями и клиническими применениями. Это требует как проведения научных исследований, так и разработки технических средств тераностики. В докладе рассматриваются возможности настраиваемости свойств плазмонного резонанса с использованием металлических наночастиц (Ag, Au) путем изменения их размера, формы, состава и среды, что позволяет создавать наноструктуры, предназначенные для конкретных биологических применений в терапии и визуализацию патологических очагов, так и их мониторинг в процессе лечения.

Моделирование оптических свойств наночастиц

Исследование возможностей настраиваемости свойств плазмонного резонанса проведено сравнением оптических свойств для монодисперсных наночастиц серебра и золота, а также и для нормального распределения наночастиц серебра и золота по размерам. Использовался программный пакет MiePlot [3]. Этот пакет позволяет проводить моделирование редких оптических явлений, получать различные зависимости физических величин, рассчитывать факторы эффективности рассеяния Q_{sca} , поглощения Q_{abs} и экстинкции Q_{ext} в зависимости от длины волны. Метод расчета по умолчанию, используемый в программном пакете MiePlot – теория Ми.

Используя программный пакет MiePlot созданы две компьютерные модели (КМ), каждая из которых состояла из двух слоёв. Один слой выделен для сферической металлической наночастицы, другой – для среды. В качестве металлических наночастиц выбраны наночастицы серебра и золота. Рассматривались наночастицы в диапазоне от 10 нм до 100 нм, с радиусами 5 – 50 нм с шагом 5 нм. Данный диапазон рассматривается исходя из того что существует минимальный радиус частицы, при котором она может быть захвачена внутрь клетки, и «оптимальный» радиус, при котором захват происходит с максимальной эффективностью. Для сферических и цилиндрических частиц такие оптимальные размеры равны 15 и 30 нм, соответственно, но для наночастиц, «укрытых» слоем трансферрина, этот радиус составляет ~50 нм [1].

В качестве окружающей среды выбрана среда, показатель преломления которой соответствует показателю преломления крови человека. Значения показателя преломления крови, в зависимости от длины волны, выбор металла наночастицы, радиус наночастицы для созданных компьютерных моделей представлены в таблице.

Таблица 1. Параметры наночастиц серебра и золота

№	Металл НЧ	$n_{\text{среды}}$, отн.ед.	λ , нм	r, нм
1	Ag	1,3593	550	5 – 50 с шагом 5
		1,3533	650	
		1,352	700	
		1,35067	750	
2	Au	1,3593	550	5 – 50 с шагом 5
		1,3533	650	
		1,352	700	
		1,35067	750	

Примеры расчета оптически спектро рассеяния и поглощения, полученные в результате моделирования в крови человека, приведены на рис. 1 для частиц серебра и рис. 2 для золота .

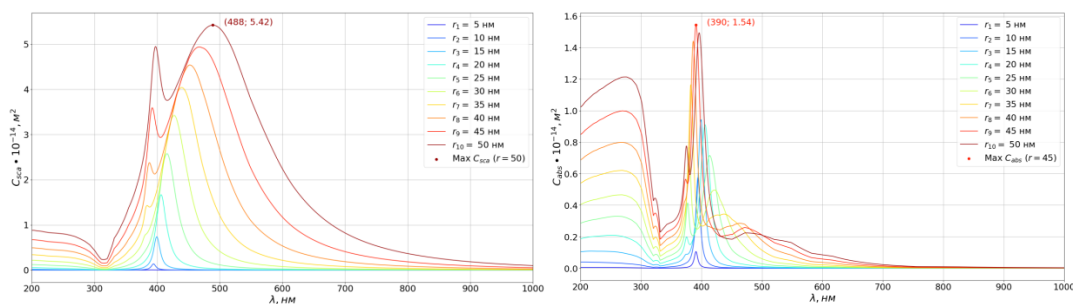


Рис. 1. Оптические спектры рассеяния и поглощения при нормальном распределении наночастиц серебра в крови человека

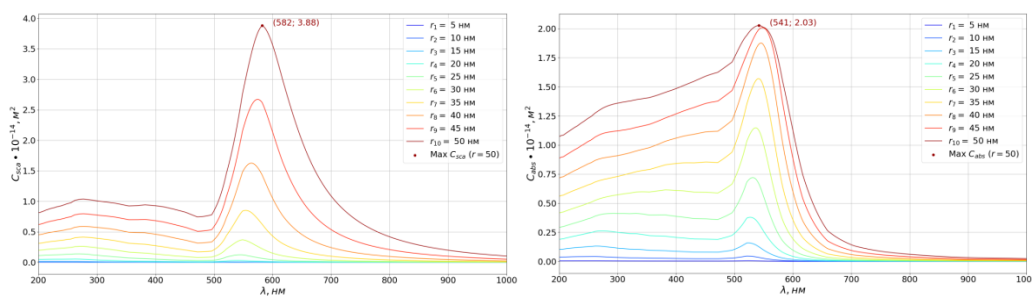


Рис. 2. Оптические спектры рассеяния и поглощения при нормальном распределении наночастиц золота в крови

Заключение

В результате численного математического моделирования плазмонных свойств наночастиц серебра и золота (Ag, Au) в организме человека показано: максимальные сечения рассеяния оптического излучения для монодисперсных и полидисперсных частиц серебра (Ag), распределенных по нормальному закону, достигаются и имеют практически одинаковые значения соответственно для длин волн 490 нм и 488 нм при одинаковых радиусах (для полидисперсных частиц среднем), равным 50 нм, максимумы же сечений поглощения достигаются на длинах волн 390 нм и 391 нм для радиусов наночастиц равных 45 нм; для монодисперсных и полидисперсных частиц золота (Au) максимумы рассеяния достигаются на длине волны 582 нм для наночастиц золота с радиусами 50 нм, максимумы же поглощения на длинах волн 542 нм и 541 нм для наночастиц золота с радиусами 50 нм (среднем для полидисперсных частиц).

Сказанное выше позволяет заключить – для быстроты расчёта оптических спектров наночастиц серебра и золота (Ag, Au) в программном пакете MiePlot можно использовать режим моделирования наночастиц одинакового размера. Кроме того, полученные результаты имеют важную практическую значимость в разработке устройств тераностики (в плане оптимального выбора спектрального диапазона), позволяющих объединять диагностику заболевания и персонифицированное лечение пациента.

Список литературы

1. Будкевич Е. В. Биокomпоненты наносистем: учебное пособие (курс лекций) .Ставрополь: СтГУ, 2017. 118 с.
2. Карякин А.А., Уласова Е.А., Вагин М. Ю., Карякина Е. А. Биосенсоры: устройство, классификация и функциональные характеристики. // Сенсор. № 1, 2002. С.16-24.
3. Mie scattering and the Debye series [Электронный ресурс]. Режим доступа: <http://www.philiplaven.com/index1.html> . – Дата доступа: 10.04.2021.

УДК 535.37

СПЕКТРОФЛУОРИМЕТР ДЛЯ СПЕКТРАЛЬНО-КИНЕТИЧЕСКОГО АНАЛИЗА БИОЛОГИЧЕСКИХ ОБЪЕКТОВ

М.П. САМЦОВ¹, Д.С. ТАРАСОВ^{1,2}, А.Е. РАДЬКО¹, К.А. ШЕВЧЕНКО¹, А.А. КИРСАНОВ²,
Н.В. ЛАБОДА^{1,2}, Е.С. ВОРОПАЙ²

¹НИУ «Институт прикладных физических проблем имени А.Н. Севченко» БГУ (Минск, Беларусь)

²Белорусский государственный университет, (Минск, Беларусь)

Аннотация. Разработан и изготовлен лазерный спектрофлуориметр для спектрально-кинетического люминесцентного анализа, который позволяет регистрировать стационарный спектр флуоресценции, кинетику затухания флуоресценции по методу время-коррелированного счета одиночных фотонов при возбуждении импульсным лазерным источником света. Разработано программное обеспечение для анализа кинетики затухания флуоресценции. Выполнен подбор эталонных образцов для контроля работы аппаратуры для измерения длительности затухания флуоресценции. Для наносекундного временного диапазона предложено использовать набор растворов органических красителей в органических растворителях. В него вошли растворы в этаноле красителей оксазин 17, DCM, родамин 6Ж и индотрикарбодиазанинового красителя НИТС, а также раствор нового индотрикарбодиазанинового красителя в о-дихлорбензоле. Показано, что в таких средах растворы представляют собой систему из одного поглощающего и флуоресцирующего центра, высокая стабильность при хранении красителей в виде порошка и достаточная для проведения измерений в соответствующих растворах. Для микросекундного диапазона предложено использовать сапфир с титаном.

Ключевые слова: спектрофлуориметр, спектрально-кинетический люминесцентный анализ, длительность затухания флуоресценции, время-коррелированный счет одиночных фотонов, органические красители.

SPECTROFLUOROMETER FOR SPECTRAL-KINETIC ANALYSIS OF BIOLOGICAL OBJECTS

M.P. SAMTSOV¹, D.S. TARASAU^{1,2}, A.E. RADZKO¹, K.A. SHEVCHENKO¹, A.A. KIRSANOV²,
N.V. LABODA¹, E.S. VOROPAY²

¹A.N. Sevchenko Institute of Applied Physical Problems of Belarusian State University (Minsk, Belarus)

²Belarusian State University (Minsk, Belarus)

Abstract. The laser spectrofluorometer for spectral-kinetic luminescence analysis has been developed and manufactured, which allows recording a stationary fluorescence spectrum, fluorescence decay kinetics using the time-correlated single photon counting method when excited by a selected pulsed light source. Software for analyzing fluorescence decay kinetics has been developed. A selection of reference samples for monitoring the operation of equipment for measuring the fluorescence decay time has been carried out. For the nanosecond time range, it is proposed to use a set of solutions of organic dyes in organic solvents. It includes solutions of oxazine 17, DCM, rhodamine 6G and indotricarbocyanine dye НИТС in ethanol, as well as a solution of a new indotricarbocyanine dye in o-dichlorobenzene. It is shown that in such media, the solutions represent a system of one absorbing and fluorescent center, which is necessary for using them as a standard. High stability during storage of the dyes in powder form and sufficient for measurements in the corresponding solutions are established. For the microsecond range, it is proposed to use sapphire with titanium.

Keywords: spectrofluorometer, spectral-kinetic luminescence analysis, fluorescence decay time, time-correlated single photon counting, organic dyes.

Введение

Науки о жизни (от англ. life sciences) сегодня являются одними из приоритетных направлений развития науки и технологий во всем мире. Успехи здесь определяются главным образом доступом к современному аналитическому оборудованию, которое позволяет получать

большой объем информации о строении и функционировании различных биобъектов. В этом отношении хорошо себя зарекомендовал люминесцентный анализ как один из наиболее информативных спектральных методов исследования объектов в различных областях науки. В последние два десятилетия его применение значительно расширилось ввиду развития аппаратуры для измерения временных характеристик свечения люминесценции. Прежде всего это обусловлено появлением мегагерцовых импульсных лазерных источников с субнаносекундной и пикосекундной длительностью, а также развитием микроэлектронной базы и ростом вычислительных возможностей.

Использование спектрально-кинетического люминесцентного анализа в оптико-физических, биологических и других исследованиях позволяет получать существенно более обширную информацию об изучаемых системах по сравнению с чисто спектральными измерениями. Актуальность использования аппаратуры для временного анализа спектрально-люминесцентных параметров обусловлена тем, что для детального анализа многих процессов, основанного на регистрации спектров поглощения и испускания флуоресцентных зондов, которые в большинстве случаев являются широкополосными и бесструктурными, таких характеристик недостаточно. При совпадении спектров люминесценции более информативным в этом случае оказываются кинетические параметры испускания. На базе измерений спектрально-кинетических параметров обеспечивается изучение молекулярной структуры белков и мембран, механизмов переноса ионов в мембранах, механизмов аллергических реакций и многие другие. Высокая чувствительность люминесцентного анализа позволяет определять с его помощью малые концентрации биологически важных веществ, определять патологические изменения биотканей и биоорганизмов.

Несмотря на актуальность исследований с высоким временным разрешением, аппаратура подобного рода в Республике Беларусь серийно не выпускается. В данной работе описан разработанный и созданный лазерный спектрофлуориметр для спектрально-кинетического люминесцентного анализа в экспериментальной физике и биологии.

Результаты и их обсуждение

Разработанный лазерный спектрофлуориметр позволяет регистрировать стационарный спектр флуоресценции и кинетику затухания флуоресценции по методу время-коррелированного счета одиночных фотонов (Time-Correlated Single Photon Counting, TCSPC) образцов при возбуждении выбранным импульсным источником света. Комплекс ориентирован на решение широкого круга задач спектрально-кинетического люминесцентного анализа. Соответствуя по своим характеристикам аналогичным изделиям зарубежных фирм (Horiba, Япония; Edinburg Instruments Ltd., Великобритания; PicoQuant, Германия), он имеет значительно меньшую стоимость.

При построении прибора в основу положен модульный принцип. Это позволяет легко реализовать такую конфигурацию спектрофлуориметра, которая требуется для конкретных физико-технических приложений. С другой стороны, посредством совершенствования отдельных ключевых узлов можно улучшать параметры аппаратуры в целом. Помимо этого, существуют возможности замены в составе комплекса узлов со схожим функциональным назначением, но существенно иными параметрами.

Принципиальная схема спектрофлуориметра состоит из трёх функционально законченных частей: оптико-механического блока, электронного блока и персональной электронно-вычислительной машины для выполнения специального программного обеспечения для управления спектрофлуориметром и анализа кинетики затухания флуоресценции. В составе спектрофлуориметра имеются сменные импульсные источники возбуждения (лазерные и светодиодные), камера образцов, монохроматор M150 (Solar LS, Беларусь), одноквантовое фотоприемное устройство и многоканальное фотоприемное устройство. В спектрометр включен набор из нескольких лазерных и светодиодных источников света собственной разработки, которые покрывают спектральный диапазон 250-760 нм (рисунок). Последнее позволило обойтись без монохроматора возбуждения, что упростило и удешевило комплекс без ущерба для параметров. Импульсный режим источников света реализован посредством оригинального схемотехнического решения. Созданные импульсные

источники могут работать в пико- и нано- режимах, с характерными длительностями импульса 0,2-0,5 и 1,5-3,0 нс. Реализована возможность регулировки частоты следования импульсов от килогерца до нескольких мегагерц, что необходимо для обеспечения возможности исследования люминесценции в микросекундном или наносекундном диапазонах.

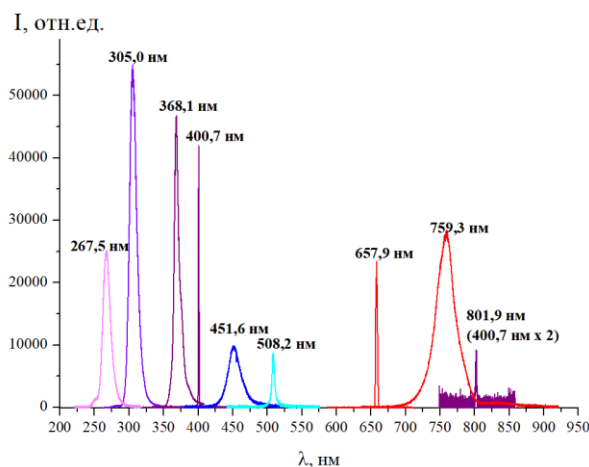


Рис. 1. Спектры лазерных и светодиодных импульсных источников возбуждения

В качестве основы одноквантового фотоприемного устройства использован фотоумножитель Hamamatsu R928 (Япония), многоканальное фотоприемное устройство разработано на базе КМОП-детектора Hamamatsu S13496 (Япония). В результате в сочетании с монохроматором M150 обеспечена возможность исследования люминесценции в монохроматорном режиме – 200-830 нм, в полихроматорном режиме – 200-1000 нм.

Разработан и изготовлен электронный блок, который обеспечивает управление источником высоковольтного напряжения для фотоумножителя, регистрацию и анализ сигнала с него. Для регистрации кинетики затухания флуоресценции в режиме время-коррелированного счета фотонов в спектрофлуориметр включена схема временной привязки и время-амплитудный преобразователь. Внедрение данного лазерного спектрофлуориметра в учебный процесс позволит поднять на современный уровень знания студентов, магистрантов и аспирантов в области аналитического спектрального оборудования со следующими техническими характеристиками:

- диапазон измеряемых времен затухания свечения: 0,2-10 000 нс;
- временное разрешение: 0,1 нс ($1 \cdot 10^{-10}$ сек);
- длины волн светодиодных источников возбуждения: 260 нм; 285 нм, 350 нм
- длины волн лазерных источников возбуждения: 405 нм; 450 нм; 515 нм; 650 нм; 780 нм;
- спектральный диапазон регистрации излучения: в монохроматорном режиме – 200-830 нм, в полихроматорном – 200-1000 нм;
- динамический диапазон по фотометрической шкале в монохроматорном режиме 10^6 .

Разработано программного обеспечения (ПО) для объединения отдельных узлов в единый программно-аппаратный комплекс. ПО спектрофлуориметра позволяет организовать управление монохроматором M150 и электронным блоком, что обеспечивает высокую степень автоматизации при регистрации и обработки стационарных спектров и кинетики затухания флуоресценции. В ПО спектрофлуориметра включен разработанный программный модуль «ФлуоТау» для анализа кинетики затухания флуоресценции, зарегистрированной по методу время-коррелированного счета одиночных фотонов. В его основе нелинейный метод наименьших квадратов. Модуль «ФлуоТау» позволяет аппроксимировать зарегистрированную кинетику затухания флуоресценции суммой до 5 экспонент, имеет широкие возможности предварительной обработки кинетики и настройки модели аппроксимации.

Качество регистрируемых по методу TCSPC кинетик затухания флуоресценции зависит от длительности и временного профиля импульсных источников, времени отклика фотодетектора, характеристик контроллера для анализа времен прилета одиночных фотонов, а

также программного обеспечения для анализа кинетики затухания флуоресценции. Для контроля стабильности работы подобного рода аппаратуры, в том числе для сравнения результатов, полученных на приборах разных производителей разумно использовать эталонные образцы с известной длительностью затухания флуоресценции. В связи с этим проведены исследования для составления набора эталонных образцов с длительностью затухания флуоресценции в нано- и микросекундном диапазоне. Основные требования к эталонному образцу – независимость длительности затухания флуоресценции от длины волны возбуждения и регистрации, высокая временная стабильность образцов. Первое условие выполняется для системы, состоящей из одного поглощающего и флуоресцирующего центра. В итоговый набор вошли красители оксазин 17, DCM, родамин 6Ж и индотрикарбоцианиновый краситель ПК1 (ПК1) в этаноле, а также раствор нового индо-трикарбоцианинового красителя ПК2 в о-дихлорбензоле. Их полосы поглощения (рисунок 2) в совокупности лежат в диапазоне 270-830 нм, который покрывает нужды для большинства флуоресцирующих молекулярных систем. Исследования спектрально-люминесцентных свойств данных красителей в соответствующих средах показали, что представленные образцы представляют собой систему, состоящую из одного поглощающего и флуоресцирующего центра. Так для всех эталонных образцов наблюдается постоянство спектра поглощения при изменении концентрации красителя. Максимум полосы поглощения оксазина 17 в этаноле располагается вблизи 550 нм, DCM в этаноле – 468 нм, родамина 6Ж в этаноле – 526 нм, ПК1 в этаноле – 745 нм, ПК2 в о-дихлорбензоле – 807 нм.

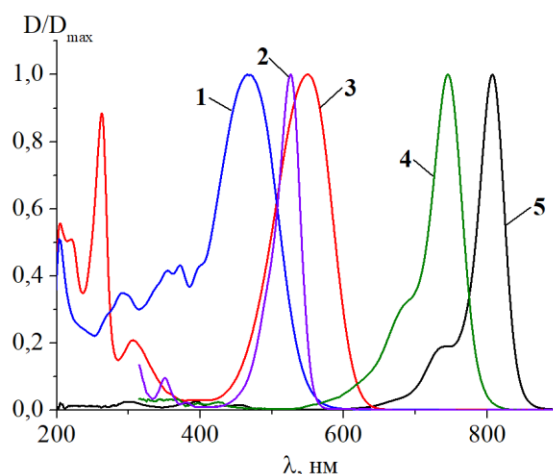


Рис. 2. Нормированные спектры поглощения растворов красителей: 1 – DCM в этаноле, 2 – родамин 6Ж в этаноле, 3 – оксазин 17 в этаноле, 4 – ПК1 в этаноле, 5 – ПК2 в о-дихлорбензоле

Исследования люминесцентных свойств эталонных образцов проводились с помощью спектрофлуориметра Fluorolog. Концентрация красителей в растворах подбиралась такой, чтобы оптическая плотность в максимуме полосы поглощения не превышала 0,1. Установлено, что форма спектра (рисунок 3), квантовый выход и длительность затухания флуоресценции у всех образцов не зависят от длины волны возбуждения. Максимум флуоресценции наблюдается на следующих длинах волн: оксазин 17 в этаноле – 641 нм; DCM в этаноле – 640 нм; родамин 6Ж в этаноле – 552 нм; ПК1 в этаноле – 773 нм; ПК2 в о-дихлорбензоле – 827 нм. Кинетика затухания флуоресценции наилучшим образом аппроксимируется одной экспонентой. Получены следующие времена затухания флуоресценции при температуре 17 °С: оксазин 17 в этаноле – 3,3 нс; DCM в этаноле – 1,5 нс, родамин 6Ж в этаноле – 4,09, ПК1 в этаноле – 1,2 нс, ПК2 в о-дихлорбензоле – 1,3 нс. Все предложенные красители продемонстрировали достаточную временную стабильность при хранении в виде порошка (месяцы и годы), и стабильность в соответствующих растворах в затемненных условиях не менее 14 суток.

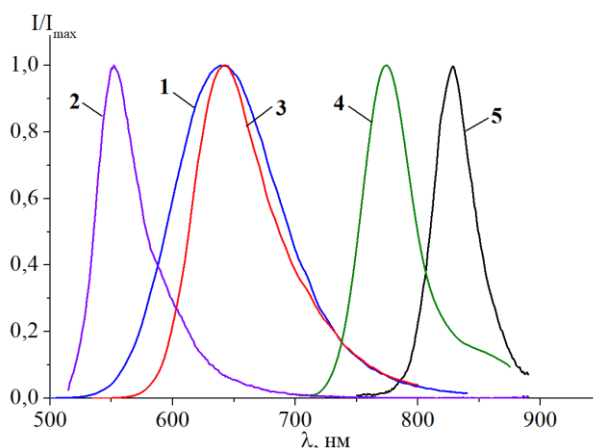


Рис. 3. Нормированные спектры флуоресценции растворов красителей: 1 – DCM в этаноле, 2 – родамин бЖ в этаноле, 3 – оксазин 17 в этаноле, 4 – ПК1 в этаноле, 5 – ПК2 в о-дихлорбензоле

Для микросекундного диапазона предложено использовать сапфир с титаном, для которого длительность затухания флуоресценции при регистрации на длине волны 740 нм при возбуждении лазерами с длиной волны излучения 405 нм, 450 нм или 510 нм составила 3,11 мкс (рисунок 4).

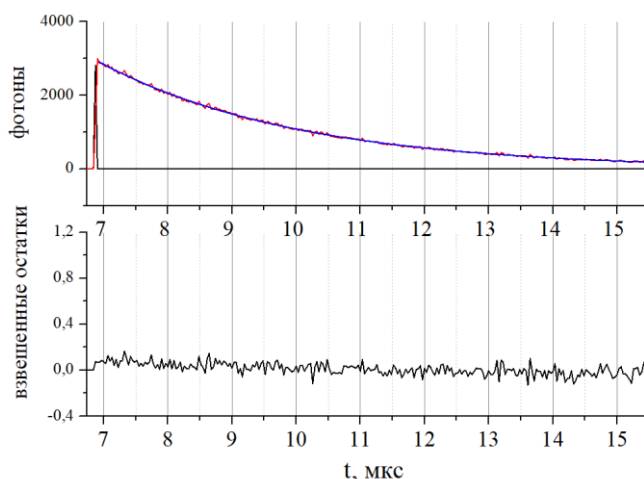


Рис. 4. Кинетика затухания флуоресценции сапфира с титаном при возбуждении лазером 510 нм и регистрации на длине волны 740 нм

Заключение

В работе представлен лазерный спектрофлуориметр для спектрально-кинетического люминесцентного анализа, который позволяет регистрировать стационарный спектр флуоресценции, кинетику затухания флуоресценции по методу время-коррелированного счета одиночных фотонов при возбуждении импульсным лазерным источником света. Режим измерения кинетики затухания флуоресценции реализован с использованием импульсных лазерных источников с субнаносекундной и пикосекундной длительностью и электроники для анализа времени прилета фотонов собственной разработки. Лазерный спектрофлуориметр по своим характеристикам соответствует зарубежным коммерческим аналогам.

Список литературы

1. Jameson D.M., Croney J.C., Moens P.D.J. Fluorescence: Basic concepts, practical aspects, and some anecdotes. *Methods in Enzymology*. 2003;360:1–43.
2. Lakowicz J.R. *Principles of Fluorescence Spectroscopy*. Springer;2006.

УДК 616-71-616-009.8

ЗНАЧЕНИЕ ВЕСТИБУЛОМЕТРИИ С ФУНКЦИОНАЛЬНЫМИ ТЕСТАМИ ПРИ РЕЦИДИВИРУЮЩЕМ ГОЛОВОКРУЖЕНИИ В СТАДИИ СУБКОМПЕНСАЦИИ

А.В. КЛЕБАН¹, И.П. МАРЬЕНКО¹, М.П. МОЖЕЙКО¹, А.А. ПОДДУБНЫЙ²

¹ Государственное учреждение «Республиканский научно-практический центр неврологии и нейрохирургии» Министерства здравоохранения Республики Беларусь (г. Минск, Республика Беларусь)

² Государственное учреждение «Республиканский научно-практический центр оториноларингологии» Министерства здравоохранения Республики Беларусь (г. Минск, Республика Беларусь)

Аннотация. Представлены данные об использовании вестибулометрии с провокационными пробами в диагностике рецидивирующего головокружения в стадии субкомпенсации. Показаны результаты вестибулометрии 64 пациентов с болезнью Меньера, вестибулярным нейронитом, вестибулярной мигренью, доброкачественным позиционным пароксизмальным головокружением.

Ключевые слова: головокружение, вестибулометрия, болезнь Меньера, вестибулярный нейронит, вестибулярная мигрень, доброкачественное позиционное пароксизмальное головокружение.

APPLICATION OF VESTIBULOMETRY IN PERIPHERAL VESTIBULAR SYNDROME IN THE SUBCOMPENSATION STAGE

HANNA V. KLEBAN¹, IRYNA P. MARYENKO¹, MARIA P. MOZHEIKO¹, ARTYOM A.
PODDUBNYY²

¹ State Institution "Republican Scientific and Practical Center of Neurology and Neurosurgery" of the Ministry of Health of the Republic of Belarus (Minsk, Republic of Belarus)

² State Institution "Republican Scientific and Practical Center of Otolaryngology" of the Ministry of Health of the Republic of Belarus (Minsk, Republic of Belarus)

Abstract. The article presents data on the use of vestibulometry with provocative tests in the diagnosis of recurrent dizziness in the subcompensation stage. The results of vestibulometry of 64 patients with Meniere's disease, vestibular neuronitis, vestibular migraine, and benign positional paroxysmal vertigo are shown.

Keywords: dizziness, vestibulometry, Meniere's disease, vestibular neuronitis, vestibular migraine, benign paroxysmal positional vertigo.

Введение

Головокружение – одна из наиболее частых жалоб, предъявляемых на амбулаторном приеме. Согласно литературным данным, хотя бы один раз в течение жизни головокружение испытывают 20-30% людей. Ежегодно головокружение возникает почти у 5% людей [1, 2].

Крупные исследования показывают, что наиболее распространенными причинами головокружения являются такие заболевания внутреннего уха как болезнь Меньера, доброкачественное позиционное пароксизмальное головокружение (ДППГ), вестибулярный нейронит и вестибулярная мигрень [3].

Методика проведения эксперимента

Объект исследования: пациенты с заболеваниями внутреннего уха с нарушением вестибулярной функции, находившиеся на стационарном лечении в отделениях РНПЦ неврологии и нейрохирургии и РНПЦ оториноларингологии.

Всем пациентам выполнялась вестибулометрия с функциональными тестами с регистрацией спонтанного и провокационного нистагма методом электронистагмографии или видеоокулографии.

Результаты и их обсуждение

Объектом исследования явились 97 пациентов с рецидивирующим головокружением. Средний возраст пациентов составил $49,7 \pm 13,3$ лет ($Me=52,5$). Среди пациентов было 25 мужчин (26%), 72 женщины (74%). Из них: 29 человек (30%) с достоверно установленной болезнью Меньера (ДБМ), 13 человек (13%) с вероятной болезнью Меньера (ВБМ), 13 человек (13%) с ДППГ, 10 человек (10%) с вестибулярным нейронитом, 8 человек (8%) с вестибулярной мигренью, прочие – 24 человека.

Проведен анализ данных электронистагмографии у пациентов исследуемых групп. В группе ДБМ скрытый спонтанный нистагм был выявлен у 3 пациентов из 29 (10%), в группе ДППГ – 2 случая из 13 (15%) - обусловлены сопутствующей патологией, в группе вестибулярного нейронита – 4 случая из 10 (40%), в группе вестибулярной мигрени – 2 случая из 8 (25%).

На основании калорического теста вестибулярная арефлексия выявлена у 100% пациентов с болезнью Меньера, которым был проведен калорический тест: в группе ДБМ 21 из 21 пациентов, в группе ВБМ 9 из 9 пациентов, в группе вестибулярного нейронита вестибулярная арефлексия выявлена в 8 случаях из 10 (80%), в группе ДППГ и вестибулярной мигрени вестибулярная возбудимость по данным калорического теста в норме. Части пациентов с болезнью Меньера калорический тест не был проведен ввиду наличия противопоказаний со стороны наружного и среднего уха.

Провокационные тесты привели к возникновению нистагма в группе ДБМ в 16 случаях, в группе ВБМ в 10 случаях, в группе ДППГ – в 18 случаях, в группе вестибулярного нейронита – 7 случаев, в группе вестибулярной мигрени – в 9 случаях. Была проанализирована частота выявления нистагма при различных провокационных тестах, которая представлена в таблице 1.

Таблица 1. Доля положительных вестибулометрических тестов у пациентов исследуемых групп, n=73, абс., %.

Провокационный тест	Количество случаев									
	Достоверная болезнь Меньера, n=29		Вероятная болезнь Меньера, n=13		ДППГ, n=13		Вестибулярный нейронит, n=10		Вестибулярная мигрень, n=8	
	абс.	%	абс.	%	абс.	%	абс.	%	абс.	%
Проба де Клейна	2	7	4	31	3	23	2	40	0	0
Гипервентиляция	2	7	1	8	2	15	0	0	6	75
Проба Вальсальвы	8	28	1	8	0	0	2	40	2	25
Проба Дикса-Холлпайка	2	7	4	31	9	69	1	20	1	13
Проба Маккьюра-Пагнини	2	7	0	0	4	31	2	40	0	0

Заключение

Анализ полученных данных демонстрирует информативность позиционных тестов для диагностики ДППГ, выявление же положительных позиционных тестов в других группах может свидетельствовать о коморбидности вестибулярной патологии. Также выявлено превалирование положительной пробы Вальсальвы в группе с ДБМ и теста с гипервентиляцией при вестибулярной мигрени, однако эти пробы не являются специфичными для данных нозологий.

Таким образом, вестибулометрическое исследование с функциональными тестами может быть использовано как дополнительный метод диагностики рецидивирующего головокружения.

Список литературы

1. Neuhauser H.K., von Brevern M., Radtke A., Lezius F., Feldmann M., Ziese T., Lempert T. Epidemiology of vestibular vertigo: a neurotologic survey of the general population. *Neurology*. 2005. Vol. 65(6): 898–904. DOI: 10.1212/01.wnl.0000175987.59991.3d
2. Hanley K., O' Dowd T. Symptoms of vertigo in general practice: a prospective study of diagnosis. *Br J Gen Pract*. 2002. Vol. 52(483):809-812.
3. Tyrrell J.S., Whinney D.J.D., Ukoumunne O.C., Fleming L.E., Osborne N.J. Prevalence, associated factors, and comorbid conditions for Ménière's disease. *Ear and hearing*. 2014. Vol. 35(4):162-169. DOI: 10.1097/AUD.0000000000000041

УДК 616-71

ROLE OF DIGITAL BIOMARKERS IN NEURODEGENERATIVE DISEASES

A. SOLTANMYRADOVA, M. TOYJANOV, Y. ORAZOV, M. GURBANBERDIYEVA

Oguz han Engineering and technology university of Turkmenistan, Ashgabat, Turkmenistan

Аннотация. The advent of digital biomarkers has revolutionized the diagnostic and management landscape of neurodegenerative diseases, offering unprecedented insights into the physiological and behavioral changes associated with Multiple Sclerosis (MS), Alzheimer's Disease (AD), and Parkinson's Disease. Digital biomarkers, defined as objective and quantifiable data obtained from digital devices, include crucial metrics such as gait speed and movement analysis. In this research how digital biomarkers can reveal vital information regarding disease progression is demonstrated, and the integration of technology into clinical practice as a means to enhance patient care is highlighted. By examining the role of digital biomarkers in the context of neurodegenerative diseases, the potential for improving diagnostic accuracy and treatment outcomes is underscored in this work, ultimately leading to a better quality of life for affected individuals.

Ключевые слова: digital biomarkers, neurodegenerative diseases, Multiple Sclerosis (MS), Alzheimer's Disease (AD), Parkinson's Disease, gait speed and movement analysis

РОЛЬ ЦИФРОВЫХ БИОМАРКЕРОВ В НЕЙРОДЕГЕНЕРАТИВНЫХ ЗАБОЛЕВАНИЯХ

A.C. СОЛТАНМУРАДОВА, М. А. ТОЙДЖАНОВ, И. К. ОРАЗОВ, М. А. ГУРБАНБЕРДИЕВА

Инженерно-технологический университет Туркменистана имени Огуз Хана, Ашхабат, Туркменистан

Abstract. Появление цифровых биомаркеров революционизировало диагностику и управление нейродегенеративными заболеваниями, предоставив беспрецедентные сведения о физиологических и поведенческих изменениях, связанных с рассеянным склерозом (РС), болезнью Альцгеймера (БА) и болезнью Паркинсона (БП). Цифровые биомаркеры, определяемые как объективные и количественные данные, полученные с помощью цифровых устройств, включают важные показатели, такие как скорость ходьбы и анализ движений. В этом исследовании демонстрируется, как цифровые биомаркеры могут раскрыть важную информацию о прогрессировании заболеваний, и подчеркивается интеграция технологий в клиническую практику как средство повышения качества ухода за пациентами. Изучая роль цифровых биомаркеров в контексте нейродегенеративных заболеваний, данная работа акцентирует внимание на потенциале улучшения точности диагностики и результатов лечения, что в конечном итоге ведет к улучшению качества жизни пострадавших.

Keywords: цифровые биомаркеры, рассеянным склерозом (РС), болезнью Альцгеймера (БА), болезнью Паркинсона (БП), скорость ходьбы и анализ движений.

Introduction

Neurodegenerative diseases such as Alzheimer's disease, Parkinson's disease are diseases that are hard to cure and early diagnosis plays a crucial role for slowing down their symptoms. People who suffer from Alzheimer's disease and other neurodegenerative diseases have difficulties such as losing balance or coordination, feet shuffle and drag when they walk, inability to control muscle movements and being confused while talking. These hurdles give burden for patients and their caregivers [1]. The symptoms and progression of these diseases can vary from patient to patient and since there is no definite method for diagnosing these diseases, and the methods that are used to diagnose these are not enough to understand the progression of the diseases. Thus everyday gadgets such as phones, tablets, smart watches can be of great help for tracking the symptoms of these diseases by collecting signals from patients.

Digital biomarkers are defined as objective, quantifiable physiological and behavioral data collected via digital devices, which can provide critical insights into an individual's health status.

Among these, gait speed and movement analysis emerge as paramount indicators, especially in the context of neurodegenerative diseases such as Multiple Sclerosis (MS), Alzheimer's Disease (AD), and Parkinson's Disease (PD) [2]. These conditions are characterized by progressive neurological decline, often accompanied by impairments in motor function, cognitive abilities, and daily living activities. The utilization of digital biomarkers offers the potential for early detection, ongoing monitoring, and personalized interventions, thereby enhancing patient outcomes and quality of life. Advanced gait analysis techniques, including the use of motion sensors and pressure-sensitive insoles, enable healthcare professionals to capture detailed parameters such as stride length, cadence, and symmetry [3-6]. These technologies can identify deviations from normative gait patterns, providing invaluable data for clinicians to tailor interventions specific to individual patient needs. In patients with PD, for example, gait analysis can reveal characteristic features such as bradykinesia and postural instability, allowing for targeted rehabilitation strategies (Higgins et al., 2020).

Digital Biomarkers in Neurodegenerative Diseases: comparison and analysis

The application of digital biomarkers, particularly gait speed, step length, and movement analysis, in the diagnosis and management of neurodegenerative diseases is profoundly impactful [7]. These parameters provide crucial insights into mobility and functional limitations, allowing for early detection of neurodegeneration before clinical symptoms manifest. Subtle changes in these metrics can serve as warning signs of emerging neurodegenerative diseases, enabling timely diagnosis and intervention. For example, a reduction in gait speed or an increase in stumbling frequency may indicate underlying issues, prompting further evaluation and proactive management [8].

Tracking these parameters over time is vital for monitoring disease progression. Regular evaluations reveal how an individual's motor function changes, which is crucial for adjusting treatment plans and rehabilitation strategies. This ongoing monitoring ensures that interventions are tailored to the patient's evolving needs, optimizing outcomes. Moreover, assessing factors like stride width and postural stability is key to understanding fall risk. Many individuals with neurodegenerative diseases experience balance impairments, making them more susceptible to falls [9]. By analyzing these aspects, clinicians can develop targeted strategies to enhance stability and reduce the likelihood of accidents, ultimately promoting safety and independence.

Table 1. Comparison of gait parameters between healthy individuals and neurodegenerative diseases

Parameter	Healthy individuals	Neurodegenerative patients
Gait speed (m/s)	1.2 – 1.5	0.5 – 1.0
Step length (cm)	70 – 80	50 – 60
Cadence (SPM)	110 – 130	80 – 100
Stride width (cm)	5 – 10	10 – 15
Postural stability	High	Low

Stumbling frequency adds another dimension to this analysis, providing insights into patient's coordination and overall stability. Analyzing stumbling frequency as a parameter between healthy individuals and those with neurodegenerative diseases is important to understand mobility and overall health. Stumbling frequency serves as a crucial digital biomarker, providing insights into balance, coordination and functional stability. Understanding when and how often stumbling occurs can help clinicians identify specific challenges, guiding therapeutic adjustments and daily activity recommendations that enhance mobility and confidence [10]. This dynamic evaluation is essential for optimizing care and ensuring that therapeutic approaches remain relevant to the patient's evolving condition.

Table 2. Comparison of stumbling frequency according to per hour between healthy individuals and neurodegenerative diseases

Group	Average stumbling frequency (stumbles per hour)	Standard Deviation	Notes
Healthy individuals	1 – 2	0.5	Represents typical range for healthy adults
Neurodegenerative patients	5 – 10	2.5	Reflects increased risk for stumbling

Table 3. Comparison of stumbling frequency according to per 100 times between healthy individuals and neurodegenerative diseases

Group	Stumbling frequency (per 100 times)	Notes
Healthy individuals	1 – 2	Reflects normal mobility patterns
Neurodegenerative patients	5 – 10	Indicates increased instability and fall risk

These comparisons provide quantitative baseline that helps healthcare professionals to identify deviations from typical mobility patterns. Early detection of increased motor function degradations can signal onset of neurodegenerative diseases, allowing for timely interventions. Recognizing these issues before they progress into more severe symptoms can lead to better management strategies and improved quality of life for patients.

Collecting Digital Biomarkers using wearable gadgets and smartphones: Implementation and Challenges

The collection of digital biomarkers through wearable gadgets and smartphones represents a significant advancement in the field of neurology, offering a practical means of obtaining continuous, real-time data that enhances clinical assessments [11]. Wearable devices such as smartwatches, fitness trackers, and specialized medical sensors can monitor various physiological and behavioral parameters, including heart rate, physical activity, and gait speed. The implementation of digital biomarker collection commences with the selection of appropriate devices capable of measuring relevant metrics such as heart rate, physical activity, sleep quality and gait patterns [12]. It is imperative that these devices be user friendly and compatible with smartphones to ensure seamless data integration. Effective data management is essential, necessitating systems that can aggregate information from various sources, including electronic health records (EHRs), to construct comprehensive health profiles [13]. Furthermore, the integration of artificial intelligence and machine learning algorithms in these applications can enhance data analysis, enabling the detection of patterns and trends that may not be apparent through traditional assessments. For instance, machine learning models can analyze collected motor function data to predict disease progression or response to therapy, allowing for personalized treatment approaches tailored to individual patients' needs [14]. This level of personalized care is particularly crucial for individuals with neurodegenerative diseases, where symptoms and disease trajectories can vary widely among patients.

Challenges

Despite the numerous advantages of digital biomarkers, several challenges must be meticulously addressed. Data privacy and security are of utmost importance, sensitive health information must be safeguarded. Furthermore, the accuracy and reliability of data collected through wearable devices can vary, necessitating regular calibration and validation against established clinical benchmarks [15]. Finally, the integration of digital biomarkers into existing clinical workflows requires comprehensive training for healthcare professionals, ensuring they are equipped to interpret the data effectively and incorporate it into patient care.

Conclusion

In conclusion, the integration of digital biomarkers, particularly gait speed and movement analysis, represents a significant advancement in the assessment and management of neurodegenerative diseases such as Multiple Sclerosis, Alzheimer's Disease, and Parkinson's Disease. The ability to collect and analyze these biomarkers using wearable gadgets and smartphone applications facilitates continuous monitoring, allowing for real-time insights into a patient's health status. As researches are conducted to underscore the importance of gait speed as a critical indicator of overall health and cognitive function, the role of movement analysis in diagnosing and managing neurodegenerative diseases becomes increasingly clear. The incorporation of these technologies into clinical practice not only enhances diagnostic accuracy but also empowers patients to take an active role in their health management, ultimately leading to improved quality of life and better healthcare outcomes.

References

1. Shota Suzumura, Aiko Osawa, Taishi Nagahama, Izumi Kondo, Yuko Sano, Akihiko Kandori (2016). "Assessment of finger motor skills in individuals with mild cognitive impairment and patients with Alzheimer's disease: Relationship between finger-to-thumb tapping and cognitive function." *Japanese Journal of Comprehensive Rehabilitation Science*
2. Nurdan Paker, Derya Bugdayci, Goksen Goksenoglu, Demet Tekdöş Demircioğlu, Nur Kesiktas, Nurhan Ince (2015). "Gait speed and related factors in Parkinson's disease."
3. E. Ray Dorsey, Spyros Papapetropoulos, Mulin Xiong, Karl Kiebertz (2017). "The First Frontier: Digital Biomarkers for Neurodegenerative Disorders", 1:6–13
4. Jessica Robin, John E. Harrison, Liam D. Kaufman, Frank Rudzicz, William Simpson, Maria Yancheva (2020). "Evaluation of Speech-Based Digital Biomarkers: Review and Recommendations", 4:99–108
5. Silvia Del Din, Morad Elshehabi, Brook Galna, Markus A. Hobert, Elke Warmerdam, Ulrike Suenkel, Kathrin Brockmann, Florian Metzger, Clint Hansen, Daniela Berg, Lynn Rochester, and Walter Maetzler (2019). "Gait Analysis with Wearables Predicts Conversion to Parkinson Disease", 86:357–367
6. Christopher Buckley, Lisa Alcock, Riona McArdle, Rana Zia Ur Rehman, Silvia Del Din, Claudia Mazzà, Alison J. Yarnall, Lynn Rochester (2019). "The Role of Movement Analysis in Diagnosing and Monitoring Neurodegenerative Conditions: Insights from Gait and Postural Control", *Journal of Brain Sciences*, 9, 34
7. Anja Dillenseger, Marie Luise Weidemann, Katrin Trentzsch, Hernan Inojosa, Rocco Haase, Dirk Schriefer, Isabel Voigt, Maria Scholz, Katja Akgün, Tjalf Ziemssen (2021). "Digital Biomarkers in Multiple Sclerosis", *Journal of Brain Sciences*, 1519
8. Bo-Young Youn, Youme Ko, Seunghwan Moon, Jinhee Lee, Seung-Gyu Ko, Jee-Young Kim (2021). "Digital Biomarkers for Neuromuscular Disorders: A Systematic Scoping Review", *Journal of Diagnostics*, 1275
9. Anna-Katharine Brem, Sajini Kuruppu, Casper de Boer, Marijn Muurling, Ana Diaz-Ponce, Dianne Gove, Jelena Curcic, Andrea Pilotto, Wan-Fai, Nicholas Cummins, Kristina Malzbender, Vera J. M. Nies, Gul Erdemli, Johanna Graeber, Vaibhav A. Narayan, Lynn Rochester, Walter Maetzler, Dag Aarsland (2023). "Digital endpoints in clinical trials of Alzheimer's disease and other neurodegenerative diseases: challenges and opportunities", *Journal of Dementia and Neurodegenerative Diseases*
10. Nathan C. Hantke, Jeffrey Kaye, Nora Mattek, Chao-Yi Wu, Hiroko H. Dodge, Zachary Beattie, Randy Woltjer (2023). "Correlating continuously captured home-based digital biomarkers of daily function with postmortem neurodegenerative neuropathology", *Journal of Digital biomarkers of daily function & postmortem pathology*
11. A.F. Pettersson, E. Olsson, L.O. Wahlund (2005). "Motor Function in Subjects with Mild Cognitive Impairment and Early Alzheimer's Disease", *Journal of Dementia and Geriatric Cognitive Disorders*, 19:299–304
12. Lampros C. Kourtis, Oliver B. Regele, Justin M. Wright, Graham B. Jones (2019). "Digital biomarkers for Alzheimer's disease: the mobile/ wearable devices opportunity." *Journal of Digital Medicine*
13. Srikanth Vasudevan, Anindita Saha, Michelle E. Tarver, Bakul Patel (2022). "Digital biomarkers: Convergence of digital health technologies and biomarkers", *Journal of Digital Medicine*
14. Bock, A. et al. (2018). "Eye Movement Patterns in Alzheimer's Disease: A Review of Recent Findings." *Journal of Alzheimer's Disease*, 62(3), 1063-1077.
15. Higgins, D. et al. (2020). "The Role of Movement Analysis in Parkinson's Disease Diagnosis." *Neurodegenerative Disease Management*, 10(2), 123-135.

УДК 535.243;535.36

УПРОЩЕНИЕ МЕТОДИКИ ОЦЕНКИ ТОНУСА МАЛЫХ СОСУДОВ

В.А. ФИРАГО, М.М. КУГЕЙКО

Белорусский государственный университет (г. Минск, Республика Беларусь)

Аннотация. Предложена модификация методики неинвазивного определения тонуса малых артериальных сосудов, основанной на использовании широкополосной спектроскопии диффузного отражения.

Ключевые слова: тонус артериальных сосудов, спектроскопия диффузного отражения, спектрометрия.

OPTIMIZATION OF SMALL VESSEL TONE ASSESSMENT METHODOLOGY

V. FIRAGO, M. KUGEIKO

Belarusian State University (Minsk, Republic of Belarus)

Abstract. A modification of the technique of noninvasive determination of the tone of small arterial vessels based on the use of broadband diffuse reflectance spectroscopy is proposed.

Keywords: arterial vessel tone, diffuse reflectance spectroscopy, spectrometry.

Введение

Микроциркуляторное русло, в котором происходят обменные процессы между кровью и окружающими тканями, активно участвует в регулировке перфузии. Его можно разделить на два бассейна: артериальный и венозный. Основным регуляторным звеном артериального бассейна являются артериолы, которые обеспечивают около 50 % сопротивления кровотоку [1]. Поэтому тонус малых артериальных сосудов, т. е. напряженность их стенок, является важным показателем при дифференциальной диагностике гипертензии, поскольку его значение в основном определяет диастолическое давление.

В статье [2] подробно рассмотрена проблема неинвазивного определения эластичности сосудов артериального бассейна микроциркуляторного русла пульсирующих тканей. Показано, что при использовании широкополосной спектроскопии диффузного отражения и усредненной формы фотоплетизмограммы возможно неинвазивное определение усредненных диаметра малых пульсирующих артериальных сосудов и коэффициента растяжения их стенок в кольцевом направлении. При этом используется минимизация отклонения моделируемого спектрально-временного профиля локального спектрального коэффициента диффузного отражения светового излучения от экспериментально регистрируемого в спектральной области 490-1100 нм. При моделировании применяется расчетная модель диффузного отражения света пульсирующей тканью, основанная на диффузионном приближении переноса светового излучения в рассеивающих средах, а также использовании параметров местной гемодинамики и измеренных значений систолического и диастолического давлений крови [2]. Создание соответствующей аппаратуры возможно при упрощении предложенной методики и алгоритмов моделирования.

Модификация расчетных выражений

Практическое применение этой методики осложняется необходимостью создания при регистрации спектрально-временных профилей диффузного отражения оптимального давления на ткань в точке исследования, при котором амплитуда пульсовых колебаний диаметра внутреннего просвета малых артериальных сосудов будет максимальной. При этом приходится приводить в непосредственный контакт с исследуемой тканью входную щель (защищенную

сапфировым окном) используемого миниатюрного спектрофотометра, например С12880МА, что приводит к необходимости модификации расчетных выражений, используемых в [2].

При непосредственном контакте входного окна спектрофотометра с пульсирующей тканью, например при его установке на подушечке большого пальца руки или ноги, отпадает необходимость учета составляющей, обусловленной перепадом коэффициента преломления на границе раздела сред. Тогда при непосредственном контакте торца оптоволокну, по которому поступает излучение галогенной лампы, или светодиодов белого цвета свечения с тканью в точке исследования, освещенность входной щели спектрофотометра выходящим из ткани излучением описывается диффузионной функцией Грина

$$\phi(r) = \frac{\Phi_S}{4\pi D(\lambda)r} e^{-\mu_{\text{eff}}(\lambda)r} \approx \frac{\Phi_S 3[\mu_a(\lambda) + \mu'_s(\lambda)]}{4\pi r} e^{-\sqrt{3\mu_a(\lambda)[\mu_a(\lambda) + \mu'_s(\lambda)]}r},$$

где r – расстояние до изотропного источника излучения; Φ_S – мощность излучения этого источника; $\mu_{\text{eff}} = \sqrt{3\mu_a(\mu_a + \mu'_s)}$ – эффективный показатель ослабления излучения средой; μ'_s и μ_a – приведенный показатель рассеяния и поглощения излучения тканью, соответственно; $D = 1/[3(\mu_a + \mu'_s)]$ – коэффициент диффузии фотонов в биоткани.

Это выражение используют при $\mu_s \gg \mu_a$ и $\mu_{\text{eff}}r \geq 0.7$, что в основном выполняется для биотканей. При вводе коллинеарного пучка излучения в рассеивающую среду глубина формирования в ткани изотропного источника в диффузионном приближении [3] полагается равной

$z_0 \approx 3D \approx 1/\mu'_s$, что позволяет вычислить значение $r = \sqrt{z_0^2 + \rho^2}$, где ρ – расстояние между точкой ввода излучения в ткань и центром входной щели спектрофотометра.

Результаты и их обсуждение

Коррекция расчетных выражений позволяет упростить аппаратуру и методику регистрации профилей диффузного отражения при определении параметров малых артериальных сосудов. Например, учет спектральной зависимости $\mu'_s(\lambda)$ в формулах двухволновой рефракционной пульсоксиметрии, позволяет установить причину изменения результатов определения сатурации гемоглобина артериальной крови кислородом при варьировании положением участков спектра, используемых в пульсоксиметрии. В выражение для определения сатурации приходится вводить корректирующую функцию $k(\lambda_1, \lambda_2) \approx \sqrt{[\mu'_s(\lambda_2)\mu_a^{\text{bla}}(\lambda_1)]/[\mu'_s(\lambda_1)\mu_a^{\text{bla}}(\lambda_2)]}$, где $\mu_a^{\text{bla}}(\lambda)$ – спектральный показатель поглощения светового излучения артериальной кровью.

Заключение

Предлагаемая модификация методики определения параметров малых артериальных сосудов упрощает создание соответствующей диагностической аппаратуры.

Список литературы

1. Инвазивный мониторинг гемодинамики в интенсивной терапии и анестезиологии: монография / В. В. Кузьков, М. Ю. Киров. Архангельск : Северный государственный медицинский университет, 2008. 244 с.
2. Фираго В.А. Оценка жесткости малых артериальных сосудов поверхностных биотканей по их спектрально-временным профилям диффузного отражения светового излучения / Журнал прикладной спектроскопии. 2024; Том 91 (1):107-123.
3. Hotra O., Firago V., Shuliko K., Kisala P. Possibilities of Diffuse Reflectance Spectroscopy in Determining and Operational Control of the Optical Properties of Finely Dispersed Scattering Media / Electronics. 2023. Vol. 12: (1-25). DOI 10.3390/electronics12132893.

УДК 612.15

К ВОПРОСУ ОСНАЩЕНИЯ ТЕРАПЕВТОВ МИКРОПРОЦЕССОРНЫМ КОМПЛЕКСОМ ДАТЧИКОВ ДЛЯ ОПРЕДЕЛЕНИЯ ПРИЗНАКОВ КАРДИОВАСКУЛЯРНЫХ ЗАБОЛЕВАНИЙ

В.А. ФИРАГО, Н.В. ЛЕВКОВИЧ, С.Г. СЛАВИНСКИЙ, В.М. СЛОДИНСКАЯ, Г.В. ПАНЧЕНКО

Белорусский государственный университет (г. Минск, Республика Беларусь)

Аннотация. Рассмотрен состав и особенности функционирования компьютеризированного комплекса оптико-физических датчиков, предназначенного для измерения и визуализации объективных данных о состоянии сердечнососудистой системы пациента во время приема его терапевтом. Обсуждены проблемы балансировки нагрузки микропроцессора, обслуживающего используемые интегральные датчики и пересылку потоков данных в компьютер. Предложен способ синхронизации времени отсчетов, которые регистрируются датчиками.

Ключевые слова: Кардиоваскулярные заболевания, диагностика, комплекс датчиков, микропроцессор.

TO THE ISSUE OF EQUIPPING THERAPISTS WITH MICROPROCESSOR- BASED SENSOR COMPLEX TO DETECT SIGNS OF CARDIOVASCULAR DISEASES

V. FIRAGO, N. LEVKOVICH, S. SLAVINSKI, V. SLODINSKAYA, G. PANCHENKO

Belarusian State University (Minsk, Republic of Belarus)

Annotation. The composition and peculiarities of functioning of a computerized complex of optical-physical sensors designed to measure and visualize objective data on the state of a patient's cardiovascular system during the patient's reception by a therapist are considered. The problems of balancing the microprocessor load serving the used integrated sensors and sending data streams to the computer are discussed. A method of time synchronization of the counts recorded by the sensors is proposed.

Keywords: Cardiovascular diseases, diagnostics, sensor complex, microprocessor.

Введение

В настоящее время при приеме пациентов терапевты в поликлиниках используют ограниченный набор оптико-электронных диагностических приборов: цифровые измерители давления и пульсоксиметры [1, 2]. Это сокращает набор объективных данных, необходимых терапевту при определении диагностических признаков, свойственных кардиоваскулярным заболеваниям, и направлении, в случае необходимости, пациентов к узкому специалисту. Например, визуализация формы колебаний давления крови в малых артериальных сосудах дает наглядную картину особенностей работы миокарда, клапанов сердца, а также состояния микроциркуляторного русла [3]. Соответствующий портативный комплекс устройств, необходимых при визуализации временных зависимостей работы сердечнососудистой системы серийно не производится, хотя в настоящее время поликлиники Республики Беларусь компьютеризированы и у каждого терапевта имеется настольный компьютер. Поэтому оснащение терапевтов наших поликлиник комплексом неинвазивных устройств, предоставляющих оперативную информацию о состоянии сердечнососудистой системы непосредственно во время приема пациентов, является актуальной задачей.

Состав комплекса и проблемы синхронизации обмена данными

Общим недостатком серийно выпускаемых малогабаритных пульсоксиметров и тонометров, оснащенных светодиодными или жидкокристаллическими мониторами для вывода измеряемых показателей, является измерение в основном одного или двух параметров. Поэтому они не приспособлены к проведению статистической обработки потока измеряемых данных. Например, малогабаритные пульсоксиметры на основе модуля MAX30102 осуществляют измерение только сатурации и частоты сердечных сокращений. Нет возможности визуализации фотоплетизмограммы, а также других параметров и их статистических характеристик. К тому же формулы расчета сатурации эмпирические, а алгоритмы обработки регистрируемых фотоплетизмограмм неустойчивы к артефактам (влиянию нестационарности среднего значения), что приводит к сбоям при их работе.

Достоверность и информативность проводимых измерений можно повысить при комплексном подходе – проведению обследования одновременно несколькими датчиками и использовании методик измерений, позволяющих оптимизировать расчетные выражения, в том числе и рефракционной пульсоксиметрии, и повысить устойчивость получаемых результатов к артефактам и индивидуальным особенностям тканей пациентов в точках исследования [3].

Достаточно информативными для терапевта показателями состояния центральной и периферической гемодинамики являются: интегральная скорость распространения пульсовой волны, усредненная форма фотоплетизмограммы, тонус артериальных сосудов микроциркуляторного русла, постоянная эндотелиальной регуляции тонуса и резерв расширения площади просвета малых сосудов артериального бассейна, получаемый при проведении окклюзивного нагрузочного теста.

Анализ возможностей современных средств оптико-физических измерений показывает, что решение рассматриваемой проблемы с минимальным набором используемых датчиков возможно при использовании совокупности неинвазивных датчиков сатурации артериальной крови, фото- и силовой плетизмографии, а также элементов для оказания необходимого функционального воздействия (плечевая и пальцевая манжетки для определения систолического и диастолического давления крови, а также окклюзии кровотока), которые подключаются к компьютеру через микропроцессорный блок управления и связи. При этом будет обеспечиваться простота и небольшая длительность (2–3 минуты) обследования, а накапливаемый объем данных и анализ их статистических характеристик даст возможность устанавливать объективные показатели вариабельности ритма работы сердца и усредненной формы колебания давления в аорте, которые дают информацию, необходимую терапевту. При использовании окклюзии плечевой артерии, возможно определение (при учете сатурации гемоглобина артериальной крови) значения резерва расширения площади внутреннего просвета малых артериальных сосудов и кровенаполнения в исследуемой точке руки при снятии окклюзии [1, 2], что важно при дифференциальной диагностике гипертензии.

Для изготовления требуемых датчиков (для большого пальца руки и ноги и плечевой манжетки) целесообразно использовать серийно выпускаемые интегральные модули для измерения сатурации артериальной крови MAX30102 и дифференциальные датчики давления воздуха в плечевой и пальцевых манжетках ABPMRRV001PD2A3. Для взаимодействия с ними используется шина I2C. Также необходимы исполнительные элементы, позволяющие управлять давлением воздуха в этих манжетках. Для задания режимов работы этих интегральных модулей и управления элементами установки требуемых значений давления в манжетках, а также управления процессом получения потоков измеряемых данных и передачи их в компьютер оптимально использовать микропроцессорную плату STM32F103C6T6, которая имеет все необходимые блоки для взаимодействия с датчиками и внешним компьютером. Программное обеспечение (ПО) этого комплекса приходится разбивать на два уровня: нижний (программа функционирования микропроцессора) и верхний (программа управления комплексом, обработки поступающих потоков данных и визуализации результатов на экране монитора компьютера в настраиваемом скользящем временном окне в режиме реального времени).

Дополнительным признаком состояния артериальных сосудов микроциркуляторного русла будет задержка между силовой и фото плетизмограммами. Поэтому при реализации

предлагаемого решения кроме задачи балансировки нагрузки на используемый микропроцессор, осуществляющий управление функционированием нескольких датчиков и их параллельный опрос, будет возникать проблема синхронизации времени отсчетов данных, регистрируемых разными датчиками со своими темпами формирования выборок. Для точного измерения требуемых задержек необходимо на верхнем уровне программного обеспечения формировать единую шкалу отсчетов по времени для всех используемых датчиков.

Предлагаемые решения и их обсуждение

Считывание данных с датчиков требует ПО, обеспечивающего исполнение заданных программных инструкций в точное (предсказуемое) время и за точный (предсказуемый) интервал времени. Операционные системы общего пользования (для ПК) таковыми не являются, поэтому в предлагаемый компьютеризированный комплекс включен микропроцессор, который осуществляет чтение данных с используемых цифровых датчиков и передачу их на ПК.

Так как объем оперативной памяти микропроцессора ограничен и способен вместить данные измерений не более чем за последнюю секунду, необходимо периодически (несколько раз в секунду) осуществлять пакетную передачу данных на ПО верхнего уровня. Для этого используется менеджер буферов, который по запросу любого из канала измерений предоставляет ему буфер, после заполнения которого он возвращается менеджеру буферов, а взамен канал получает новый буфер. Заполненный буфер ставится в очередь на отправку в компьютер по каналу USB, а после отправки перемещается в очередь свободных буферов.

В используемых интегральных датчиках используются тактовые генераторы на основе RC-цепочек, что обуславливает несинхронную дискретизацию сигналов при их преобразовании в цифровую форму. Поэтому при получении отсчетов сигналов от датчиков вместе с данными сохраняются и отметки времени (по счетчику микропроцессора) их поступления в буфер. При такой организации передачи потоков данных появляется возможность приведения времени отсчетов данных с помощью интерполяции на верхнем уровне ПО к одной регулярной последовательности t_i и формирования синхронизированных последовательностей сигналов с датчиков $U_k(t_i)$.

Применение предлагаемого компьютеризированного устройства с набором датчиков позволит визуализировать на экране компьютера форму колебаний давления в ткани плеча руки и артериолах пальцев конечностей (в том числе и в более информативном вейвлет представлении) с выводом на экран определяемых параметров (частоты сердечных сокращений, скорости нарастания систолы и параметров, описывающих форму фотоплетизмограммы). Дополнительно выводятся статистические оценки определяемых параметров (среднее значение, среднеквадратическое отклонение, гистограммы), а также оценки кровенаполненности, сатурации гемоглобина артериальной крови кислородом в исследуемой точке и резерва расширения площади внутреннего просвета малых артериальных сосудов. Набор получаемых сведений и оперативная визуализация результатов проводимых совместных (разнородных) измерений существенно повышают их информативность для вынесения диагностических заключений.

Простота применения комплекса (проводимые действия аналогичные измерению давления и сатурации артериальной крови кислородом) и большая информативность получаемого потока данных с их визуализацией на экране компьютера способствует качественному улучшению процесса ведения пациента и выявления динамики изменения основных показателей при повторных приемах.

Заключение

Принципиальное отличие предлагаемых решений от опубликованных в доступной литературе заключается: в применении комплекса датчиков и проведении совместных измерений фото и силовых плетизмограмм и их параметров с учетом параметров давления крови; сопоставлении сатурации гемоглобина артериальной крови с кровенаполненностью микроциркуляторного русла; визуализации (на основе обработки фотоплетизмограммы)

индивидуальных особенностей работы миокарда и клапанов сердца с учетом состояния малых артериальных сосудов; определении резерва расширения внутрисосудистого просвета малых артериальных сосудов микроциркуляторного русла. Это позволит существенно повысить эффективность принятия решений по дальнейшему ведению пациента.

Список литературы

1. Кубарко А.И., Мансуров В.А., Светличный А.Д., Рагунович Л.Д. Распространение пульсовой волны по малым сосудам: результаты измерений и подходы к моделированию / Неотложная кардиология и кардиооваскулярные риски. 2020; Том 4 (2): 1037-1044.
2. Глазков А.А., Лапитан Д.Г., Макаров В. В., Рогаткин Д.А. Оптический неинвазивный автоматизированный прибор для исследования центральной и периферической гемодинамики / Физические основы приборостроения. 2021; Том 10 (4): 28-36. DOI: 10.25210/jfor-2104-028036.
3. Фираго, В.А. Оценка жесткости малых артериальных сосудов поверхностных биотканей по их спектрально-временным профилям диффузного отражения светового излучения / Журнал прикладной спектроскопии. 2024; Том 91 (1):107-123.

УДК 539.16.04

КИНЕТИКА ИНЖЕКЦИОННОГО ОТЖИГА МЕЖДОУЗЕЛЬНЫХ АТОМОВ КРЕМНИЯ В p -ОБЛАСТИ КРЕМНИЕВЫХ n^+ - p -СТРУКТУР, ОБЛУЧЕННЫХ АЛЬФА-ЧАСТИЦАМИ

Д.Н. ЖДАНОВИЧ¹, И.Ф. МЕДВЕДЕВА², Е.А. ФАДЕЕВА¹, Д.А. ОГОРОДНИКОВ¹

¹Научно-практический центр НАН Беларуси по материаловедению, Минск, Беларусь

²Белорусский государственный медицинский университет, Минск, Беларусь

Аннотация. Изучена кинетика инъекционного отжига собственных междуузельных атомов кремния в двукратно положительном зарядовом состоянии в p -области кремниевых n^+ - p -структур, облученных альфа-частицами. Показано, что зависимости концентрации дефектов от прошедшего через n^+ - p -структуру электрического заряда Q имеют нелинейный характер.

Ключевые слова: кремний-германиевый сплав; альфа-частица; глубокий уровень; радиационно-индуцированный центр; инъекция.

KINETICS OF INJECTION ANNEALING OF INTERSTITIAL SILICON ATOMS IN THE p -REGION OF SILICON n^+ - p -STRUCTURES IRRADIATED WITH ALPHA PARTICLES

D.N. JDANOVICH¹, I.F. MEDVEDEVA², A.A. FADZEYEVA¹, D.A. ANARODNIKAU¹

¹Scientific-Practical Materials Research Centre of NAS of Belarus, 220072 Minsk, Belarus

²Belarusian State Medical University, Minsk, Republic of Belarus

Abstract. The kinetics of injection annealing of intrinsic interstitial silicon atoms in a doubly positive charge state in the p -region of silicon n^+ - p -structures irradiated with alpha particles was studied. It was shown that the dependences of the defect concentration on the electric charge Q passed through the n^+ - p -structure are nonlinear.

Keywords: silicon-germanium alloy; alpha particle; deep level; radiation-induced center; DLTS spectroscopy.

Введение

В работах [1-3] исследовалась эффективность введения радиационно-индуцированных центров (РИЦ) при облучении альфа-частицами кремниевых n^+ - p -структур, находящихся под обратным смещением и без смещения. Наблюдалось уменьшение эффективности введения РИЦ в область пространственного заряда (ОПЗ) по сравнению с нейтральной p -областью. Примечательно, что после облучения инъекция неосновных носителей заряда в базу n^+ - p -структур приводила к выравниванию профилей распределения дырок в ОПЗ и остальной части базы [1, 3]. Установить природу инъекционнозависимого дефекта в [1-2] не удалось. Авторы предположили, что этот дефект с энергетическим уровнем $E_c - 0,14$ эВ может быть двойным или расщепленным междуузлем кремния, либо комплексом междуузельный кремний - междуузельный углерод. Авторы работы [3] сопоставили результаты *DLTS*-спектроскопии облученных образцов с известными литературными данными [4-10] и заключили следующее. Различие в скорости удаления дырок в ОПЗ и нейтральной части p -базы в процессе облучения связано с особыми свойствами собственных междуузельных атомов кремния I_{Si} . К таким свойствам относятся достаточно высокая термическая стабильность I_{Si} в двукратно положительном зарядовом состоянии в p -Si и высокая подвижность в других зарядовых состояниях. Так, в работах [4, 5] утверждается, что I_{Si}^{+2} являются одним из доминирующих электрически активных дефектов, вводимых облучением альфа-частицами и протонами при температурах ниже 300 К в кристаллы p -Si. При равновесных условиях I_{Si}^{+2} может существовать в p -Si в течение довольно длительного времени при комнатной температуре. Энергия активации отжига дефекта оценивается в $1,1 \div 1,3$ эВ [6]. Примечательной особенностью является чрезвычайно сильная чувствительность I_{Si}^{+2} к инъекции неосновных

носителей заряда [4, 5]. При инжекции электронов дефекты исчезали даже при криогенных (4 К) температурах [7, 8]. Было высказано предположение, что инжекция неосновных носителей может приводить к появлению некоторых атермических механизмов диффузии I_{Si} [8-10].

В работах [1-3] исследовалась инжекционная зависимость I_{Si}^{+2} при пропускании через n^+ - p -структуры постоянного прямого тока. Представляет интерес возможность исследования кинетики инжекционного отжига I_{Si}^{+2} при импульсном характере тока путем контроля профиля распределения дырок в p -базе облученных альфа-частицами кремниевых n^+ - p -структур.

Материалы и методы

Исследовались диодные n^+ - p -структуры, изготовленные на пластинах кремния с эпитаксиальным слоем, легированным бором ($\rho \sim 18 \text{ Ом}\cdot\text{см}$), толщиной 33 мкм (подложка КДБ-0,005). P - n -переход формировался имплантацией фосфора в p -базу с последующим отжигом при 1420 К в атмосфере азота и кислорода. Глубина залегания p - n -перехода составляла 10-12 мкм, площадь – $6,25 \cdot 10^{-2} \text{ см}^2$. В качестве омических контактов напылялся алюминий толщиной 4,5 мкм.

Облучение образцов осуществлялось альфа-частицами с энергией $\sim 5 \text{ МэВ}$ в течение 950 мин. при температуре $290 \div 294 \text{ К}$. Поверхностная активность источника составляла $2 \cdot 10^7 \text{ Бк/см}^2$.

Инжекционный отжиг облученных n^+ - p -структур проводился импульсами прямого тока прямоугольной формы с амплитудой 0,6 А на автоматизированной установке измерения времени жизни неосновных носителей заряда. Для эффективного рассасывания инжектированных в p -базу электронов, после выключения импульсов, образец находился под постоянным обратным смещением -6 В. Длительность импульсов составляла 20 мкс, а интервал времени между ними – 6,3 мс. Количество импульсов задавалось встроенным генератором тока.

В работе определялось распределение концентрации носителей заряда $p(x)$ в базовых областях n^+ - p -структур до, после облучения и инжекции неосновных носителей заряда из анализа вольтфарадных характеристик. Метод основан на определении зависимости емкости барьера Шоттки или резко асимметричного p - n -перехода от обратного напряжения смещения $U_{см}$. Барьерная емкость измерялась при $T = 290 \text{ К}$ на частоте 1 МГц измерителем LCR E7-12.

Результаты и их обсуждение

На рис. 1 показаны профили концентрации подвижных носителей заряда $p(d)$ в базовой p -области диодных n^+ - p -структур до и после облучения альфа-частицами в течение 950 мин. при 290 К, а также после пропускания прямого тока $I_{пр} = 0,6 \text{ А}$ в течение 1 мин. при 290 К. Вводимые облучением РИЦ компенсируют основную легирующую примесь, то есть уменьшают концентрацию основных носителей заряда. Наиболее сильные изменения концентрации дырок наблюдаются вблизи границы p - n -перехода при $d = 2 \div 6 \text{ мкм}$. По мере удаления от p - n -перехода изменения значения p выражены слабее. Так, при $d = 3 \text{ мкм}$ концентрация дырок уменьшилась в 5,7 раза, а при $d = 8 \text{ мкм}$ – 1,7. Данный факт свидетельствует о том, что глубина проникновения альфа-частиц в p -область порядка $10 \div 12 \text{ мкм}$.

Результаты, представленные на рис. 1, согласуются с полученными ранее данными по облучению альфа-частицами таких же образцов в пассивном электрическом режиме (без обратного смещения) [3]. После пропускания прямого тока концентрация дырок частично восстанавливается. Так, при $d = 3 \text{ мкм}$ восстановленная доля концентрации дырок составила $(p_1 - p_\phi)/(p_0 - p_\phi) = 0,4$, а при $d = 7 \text{ мкм}$ – 0,49. Здесь p_0 – концентрация дырок на глубине d от границы n^+ - p -перехода до облучения, p_ϕ – после облучения и p_1 – после пропускания тока. Дальнейшая инжекция неосновных носителей заряда в p -базу, а также дополнительный термический отжиг образцов при 373 К в течение 30 мин. не приводят к изменениям зависимости $p(d)$.

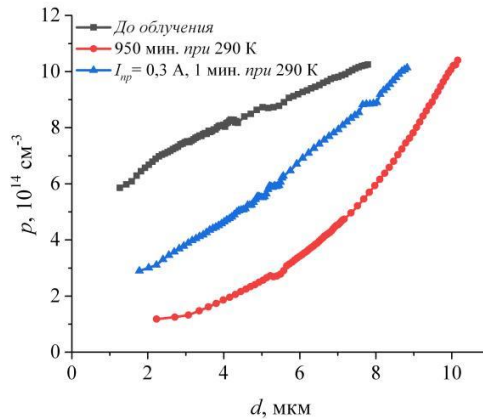


Рис. 1. Профили концентрации подвижных носителей заряда в базовой p -области n^+ - p -структур до и после облучения альфа-частицами в течение 950 мин. при 290 К, а также после пропускания прямого тока $I_{пр} = 0,6$ А в течение 1 мин. при 290 К.

На рис. 2 представлены профили концентрации подвижных носителей заряда $p(d)$ в базовой p -области n^+ - p -структур до и после облучения альфа-частицами в течение 950 мин. при 290 К и после пропускания импульсов прямого тока амплитудой 0,6 А длительностью 20 мкс при 290 К. Суммарное количество импульсов для каждой зависимости $p(d)$ приведено на графике. В целом вид полученных зависимостей до и после облучения соответствует таковому на рис. 1. Здесь также наблюдается уменьшение концентрации дырок после облучения и частичное восстановление после инжекции неосновных носителей заряда.

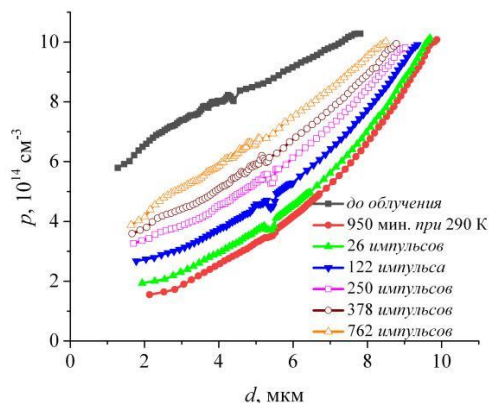


Рис. 2. Профили концентрации подвижных носителей заряда в базовой p -области n^+ - p -структур до и после облучения альфа-частицами в течение 950 мин. при 290 К и после пропускания импульсов прямого тока амплитудой 0,6 А длительностью 20 мкс при 290 К.

Для заметного восстановления значений p импульсным током требуется подать на облученную n^+ - p -структуру десятки импульсов, а для полного отжига основного компенсирующего РИЦ I_{Si}^{+2} – свыше 600 импульсов (рис. 2). Больше количество импульсов (> 600 шт.) практически не влияет на зависимость $p(d)$. Для каждого значения d можно найти разницу $p_l - p_\phi$. Один дефект I_{Si}^{+2} удаляет из валентной зоны две свободные дырки. С учётом этого, из анализа зависимостей $0,5(p_l - p_\phi)$ от d можно определить распределение концентрации дефектов N_l по глубине p -области и изменения $N_l(d)$ с возрастанием числа инжекционных импульсов (рис. 3).

В течение одного импульса через n^+ - p -переход протекает электрический заряд, равный $1,2 \cdot 10^{-5}$ Кл. Зная количество импульсов, можно получить зависимости концентрации собственных междоузельных атомов от величины электрического заряда Q , прошедшего через образец (рис. 4). Зависимости N_l от Q имеют нелинейный характер. Кривые $N_l(Q)$ при $d = 3 \div 7$ мкм практически совпадают друг с другом.

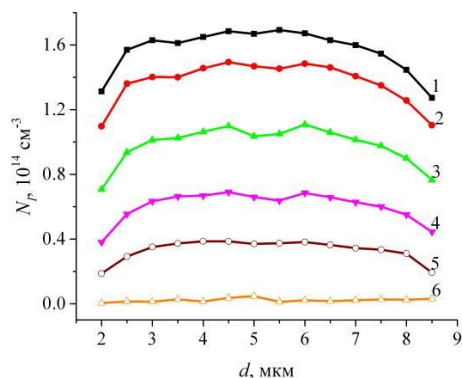


Рис. 3. Зависимости N_I от d после разного количества импульсов: 1 – 0; 2 – 26; 3 – 122; 4 – 250; 5 – 378; 6 – 634.

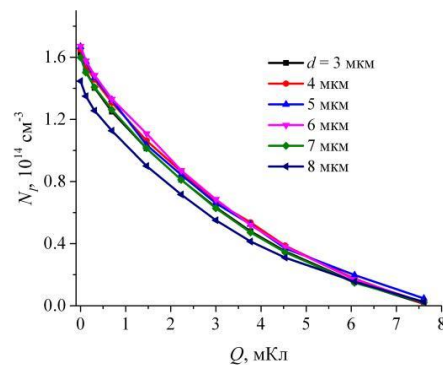


Рис. 4. Зависимости N_I от количества инжектированных электронов n при разных значениях d .

Заключение

Проведено облучение альфа-частицами с энергией 5 МэВ в течение 950 мин. при 290 К n^+ - p -структур, изготовленных на эпитаксиальном p -Si с $\rho \sim 18$ Ом·см. После облучения через n^+ - p -структуры пропускались импульсы прямого тока прямоугольной формы длительность 20 мкс и амплитудой 0,6 А. Методом вольтфарадных характеристик получены профили концентрации дырок $p(d)$ в p -области после разного количества прошедших импульсов. Из зависимостей $p(d)$ рассчитаны профили распределения концентрации $N_I(d)$ инжекционно-зависимых РИЦ, которыми предположительно являются собственные междоузельные атомы кремния в двукратно положительном зарядовом состоянии. Получены зависимости N_I от величины прошедшего через n^+ - p -структуру электрического заряда Q . Показано, что зависимости $N_I(Q)$ имеют нелинейный характер и при $d = 3 \div 7$ мкм практически совпадают друг с другом.

Список литературы

1. Кучинский, П.В. Влияние сильного электрического поля на скорость введения и пространственное распределение радиационных дефектов в кремнии / П.В. Кучинский, В.М. Ломако, А.П. Петрунин // Письма ЖТФ. – 1985. – Т. 11, № 5. – С. 309-311.
2. Кучинский, П.В. Инжекционная, электрополевая и термическая перестройка радиационных дефектов в p -кремнии / П.В. Кучинский, В.М. Ломако, А.П. Петрунин // ФТП. – 1989. – Т. 23, № 9. – С. 1625-1628.
3. Aharodnikau, D.A. The role of Si self-interstitial atoms in the formation of electrically active defects in reverse-biased silicon n^+p diodes upon irradiation with alpha particles / D.A. Aharodnikau [et al.] // Physica Status Solidi A. – 2021. – Vol. 218. – 2100104 (1 of 7).
4. Mukashev B.N., Self-interstitials in irradiated silicon / B.N. Mukashev, Kh.A. Abdullin, Y.V. Gorelkinskii // Mater. Sci. Forum. – 1997. – Vol. 258-263. – P.541-546.
5. Abdullin, Kh.A. New defect states in irradiated p -type silicon / Kh.A. Abdullin [et al.] // Phys. Lett. A. – 1990. – Vol. 144, № 3. – P. 198-200.
6. Makarenko, L.F. Kinetics of self-interstitials reactions in p -type silicon irradiated with alpha particles / L.F. Makarenko [et al.] // Phys. B. – 2012. – Vol. 407, № 15. – P. 3016-319.
7. Watkins G.D. A review of ESR studies in irradiated silicon / G.D. Watkins // Radiation Damage in Semiconductors, (ed. by P. Baruch) Dunod, Paris, – 1964). P. 97-114.
8. Watkins, G.D. Metastable defects in silicon: hints for DX and EL2? / G.D. Watkins // Semicond. Sci. Technol. – 1991. – Vol. 6, № 10B. – P. B111 - B120.
9. Jones, R. The self-interstitial in silicon and germanium / R. Jones [et al.] // Mater. Sci. and Eng. B – 2009. – Vol. 159-160. – P. 112-116.
10. Myers, S.M. Model of defect reactions and the influence of clustering in pulse-neutron-irradiated Si / S.M. Myers, P.J. Cooper, W.R. Wampler // J. Appl. Phys. – 2008. – Vol. 104, № 4. – P. 044507.

УДК 615.471

АППАРАТНОЕ ОБЕСПЕЧЕНИЕ МОБИЛИЗАЦИИ И ЭВАКУАЦИИ МОКРОТЫ ПРИ БРОНХОЭКТАТИЧЕСКОЙ БОЛЕЗНИ

О.Б. ЗЕЛЬМАНСКИЙ¹, Е.И. ДАВИДОВСКАЯ², А.М. АМИНОВА³, Н.А. ЛАТЫПОВА³, А.М. ПАК³

¹Белорусский государственный университет информатики и радиоэлектроники, г. Минск, Беларусь

²ГУ «РНПЦ пульмонологии и фтизиатрии», г. Минск, Беларусь

³АО «Медицинский университет Астана», г. Астана, Казахстан

Аннотация. Описана биомеханическая модель развития бронхоэктатической болезни. Обосновано сочетание медикаментозной терапии с аппаратным воздействием, направленным на нейтрализацию патогенетического фактора задержки бронхиального секрета в бронхах. Обосновано применение таких методов аппаратной терапии, как кислородная терапия, проводимая посредством кислородных концентраторов, СИПАП-терапия, небулайзерная терапия. Показана целесообразность применения персонифицированного подхода к автоматизации процесса подбора и коррекции режима кислородной терапии на основе оценки изменяющегося состояния пациента. Представлен новый вид аппаратного воздействия для своевременного выведения мокроты из дыхательных путей и обеспечения дренирующего и противовоспалительного действия с помощью откашливателей (виброперкуторов и инсуффлятор-аспираторов). Предлагаемые системы очистки дыхательных путей, в отличие от аспираторов, обеспечивают выведение мокроты из легких, а не только из верхних дыхательных путей, что позволяет облегчить дыхание, а также нормализовать газообмен. Предусмотрены такие режимы работы, как аппаратный кашель через лицевую маску или дыхательный мундштук, интрапульмональная перкуссия через маску, мундштук или трахеостомическую трубку и экстрапульмональная перкуссия при помощи виброжилета. Проведенное клиническое исследование показало, что применение откашливателей обеспечило быстрое облегчение симптомов, улучшение функции дыхательных мышц и повышение качества жизни пациентов.

Ключевые слова: бронхоэктатическая болезнь, гипоксия, дыхательная недостаточность, аппаратная терапия, кислородная терапия, сатурация, откашливатели, виброперкуторы, инсуффлятор-аспираторы, аппаратный кашель, интрапульмональная перкуссия, экстрапульмональная перкуссия.

APPARATUS FOR MOBILIZATION AND EVACUATION OF BRONCHIECTASIS DISEASE SPUTUM

OLEG. B. ZELMANSKI¹, ELENA. I. DAVIDOVSKAYA², AIZHAN. M. AMINOVA³,
NATALYA. A. LATYPOVA³, ALEXEY. M. PAK³

¹Belarusian State University of Informatics and Radioelectronics, Minsk, Belarus

²RSPC of pulmonology and phthisiology, Minsk, Belarus

³Astana Medical University, Astana, Kazakhstan

Abstract. The biomechanical model of bronchiectasis development is described. The combination of drug therapy with hardware intervention aimed at neutralizing the pathogenetic factor of bronchial secretion retention in the bronchi is substantiated. The use of hardware therapy methods such as oxygen therapy performed by means of oxygen concentrators, CPAP therapy, and nebulizer therapy is substantiated. A new type of hardware intervention for removal of sputum from the respiratory tract and ensuring drainage and anti-inflammatory action using expectorants (vibropercussion devices and insufflator-aspirators) is presented. The proposed respiratory tract cleaning systems, unlike aspirators, ensure removal of sputum from the lungs, and not only from the upper respiratory tract, which makes breathing easier and normalizes gas exchange. The following operating modes are provided: apparatus cough through a face mask or breathing mouthpiece, intrapulmonary percussion through a mask, mouthpiece or tracheostomy tube and extrapulmonary percussion using a vibrating vest. The positive effect of using expectorants was approved during conducted clinical research.

Keywords: bronchiectasis, hypoxia, respiratory failure, hardware therapy, oxygen therapy, saturation, expectorants, vibropercussion devices, insufflator-aspirators, hardware cough, intrapulmonary percussion, extrapulmonary percussion.

Введение

Бронхоэктатическая болезнь представляет собой хроническое, неспецифическое, приобретенное заболевание, патогенетически связанное с не разрешившимися пневмониями детского возраста [1]. Морфологическим субстратом является пост пневмонический фиброзный ателектаз, наличие бронхоэктазов и хронического воспаления в бронхах. Клинически проявляется признаками хронического неспецифического воспалительного процесса [2]. Основными симптомами являются кашель, отделение мокроты, одышка, гипоксемия. Характеризуется неуклонно прогрессирующим течением с постепенным распространением воспалительного процесса по бронхам снизу вверх. В терминальной стадии болезни развивается хроническая гнойно-обструктивная болезнь, основными проявлениями которой являются хроническая дыхательная недостаточность и хроническая гнойная интоксикация [3]. В зависимости от объема поражения классифицируют легкую, выраженную, тяжелую формы. Выделяют стадии ремиссии и обострения. Развитие современных методов лечения способствует благоприятному прогнозу. Многие пациенты доживают до преклонного возраста, но при отсутствии поддерживающей терапии качество жизни с годами снижается [4].

Несмотря на то, что медикаментозное лечение имеет высокую эффективность [5], с целью облегчения симптомов, а также повышения качества жизни пациентов его целесообразно дополнить аппаратным воздействием [6]. Таким образом, актуальной задачей является поиск новых методов лечебного воздействия, направленного на нейтрализацию патогенетического фактора задержки бронхиального секрета в бронхах, и их реализация в виде медицинских систем.

Биомеханическая модель развития бронхоэктатической болезни

Большинство пациентов составляют молодые люди 20-30 лет, 70% из которых в раннем детстве перенесли затяжные нижнедолевые пневмонии, приведшие к образованию пост пневматического фиброзного ателектаза [2], который вызывает нарушение вентиляции в пораженной части легкого и, как следствие, нарушение процессов самоочищения бронхов. В результате снижения кинетической энергии выдыхаемого воздуха, нарушения сократимости бронхов и работы мукоцилиарного аппарата, снижения местного иммунитета происходит задержка эвакуации бронхиального секрета из бронхов пораженной доли, служащего питательной средой для бактерий, которые начинают колонизировать бронхи пораженной доли [7]. Это ведет к развитию хронического латентного бронхита, вызывающего рубцовую трансформацию стенок бронхов. Вследствие растяжения рубцов возникают бронхоэктазы, которые по виду разделяют на цилиндрические, веретенообразные и смешанные. В тоже время следует отметить возможность образования бронхоэктазов из-за врожденных аномалий и генетических заболеваний. Наибольшую опасность представляет распространение инфицированного бронхоэктатического секрета в бронхах соседних долей, приводящее к возникновению воспалений в периоды гиперсенсibilизации, наблюдающиеся при острых респираторных заболеваниях. Таким образом, происходит накопление пост воспалительных изменений в соседних долях, которые также приводят к нарушению вентиляции, самоочищения бронхов и образованию бронхоэктазов [8]. При отсутствии должного своевременного лечения продолжительность жизни таких пациентов составляет 45-50 лет.

Типичными осложнениями заболевания являются дыхательная недостаточность и гипоксемия, возникающая вследствие шунтирования крови через сосуды не вентилирующейся доли легкого, которые несущественно поражаются в течение заболевания. В результате до 12% неоксигенированной крови поступает в большой круг кровообращения, что отрицательно сказывается на функционировании всех органов и систем, в особенности нервной системы. При этом насыщение гемоглобина артериальной крови может снижаться до 80-85%. В связи с чем пациенты с бронхоэктатической болезнью пессимистичны, быстро утомляемы, могут иметь нарушения памяти.

Уменьшение в объеме пораженной доли легкого до 3-5 раз ведет к росту отрицательного давления в плевральной полости, из-за чего происходит перемещение анатомических структур грудной клетки, асимметрия грудной клетки. Таким образом, наиболее

информативным видом диагностики являются рентгенография и бронхография [9]. На стороне поражения грудная стенка приобретает цилиндрическую, а не конусовидную форму, сужаются межреберные промежутки, уменьшается угол кривизны ребер, купол диафрагмы приподнимается, средостение смещается в сторону поражения, корень легкого смещается вниз кзади и медиально [7].

Аппаратная терапия при бронхоэктатической болезни

Поскольку бронхоэктатическая болезнь сопровождается дыхательной недостаточностью и гипоксемией, то применение кислородной терапии позволяет не только устранить тяжесть симптомов, но и продлить жизнь пациентов. Режимы назначения длительной кислородной терапии при использовании концентраторов кислорода – поток кислорода до 5 л/мин с содержанием кислорода 90% при подаче не менее 15 часов в сутки в амбулаторных или домашних условиях: 8 часов в ночное время, 2 сеанса по 3,5 часа в дневное время. Перерывы между сеансами кислородной терапии не должны превышать 2-х часов подряд. Целесообразным представляется применение персонифицированного подхода к автоматизации процесса подбора и коррекции режима кислородной терапии на основе оценки изменяющегося состояния пациента [10]. Еще одним способом лечения дыхательной недостаточности является СИПАП-терапия (Constant Positive Airway Pressure – создание постоянного положительного давления воздуха в дыхательных путях), которая позволяет обеспечить РЕЕР-эффект (Positive End-Expiratory Pressure – положительное давление в дыхательных путях в конце выдоха) [11].

В настоящее время в протоколах ведения пульмонологических больных ведущее место занимает небулайзерная терапия, которая состоит в подаче в дыхательные пути пациента, распыленного до состояния аэрозоля, раствора лекарственного средства и достижения местного терапевтического эффекта. Однако ввиду нарушения при бронхоэктатической болезни воздухообмена в пораженной части легкого доставка лекарственного средства с помощью небулайзера в эту часть легкого затрудняется.

В то же время наиболее эффективным возможным лечебным воздействием является воздействие, которое направлено на нейтрализацию патогенетического фактора задержки бронхиального секрета в бронхах. С целью своевременного выведения мокроты из дыхательных путей и обеспечения дренирующего и противовоспалительного действия предлагается применение таких систем очистки дыхательных путей, как откашливатели и виброперкуторы (инсуффлятор-аспираторы), обеспечивающих следующие режимы работы:

1. Аппаратный кашель или механическое откашливание (инсуффляция – эксуффляция) моделирует естественный кашель благодаря смене положительного и отрицательного давления в дыхательных путях пациента через маску или мундштук, может сочетаться с осцилляциями.

2. Интрапульмональная перкуSSIONная вентиляция (IPV) представляет собой высокоскоростную, прерывистую подачу небольших объемов воздуха в легкие через лицевую маску, дыхательный мундштук или трахеостомическую трубку. Такой вид вентиляции позволяет расправить легочную ткань, проникнуть в труднодоступные места и создать движение воздуха, перемещающее мокроту из периферийных легочных структур в крупные дыхательные пути для последующего ее откашливания. Возможно сочетание с аэрозольной и кислородной терапией, создание регулируемого РЕЕР-эффекта, обеспечивающее комплексность респираторной терапии.

3. Экстрапульмональная перкуссия осуществляется за счет осцилляторного воздействия пневмоимпульсов высокой частоты до 20 Гц, но малой амплитуды на грудную клетку при помощи виброжилета. При этом возникают высокочастотные и малоамплитудные колебания стенок бронхов, которые с одной стороны, отделяют и мобилизируют липкий секрет в более крупные отделы респираторного тракта, откуда он легко дренируется (откашливается), а с другой, разжижают вязкий секрет, улучшая его реологические свойства.

Преимуществом систем откашливания по сравнению с аспираторами, которые обеспечивают выведение мокроты только из верхних дыхательных путей, является возможность эвакуации мокроты из легких, что позволяет облегчить дыхание, а также нормализовать газообмен.

Система откашливания состоит из дыхательного контура и контура пациента. Дыхательный контур представляет собой внутренний трубопровод, оснащенный клапанами, воздушным фильтром, модулем нагнетателя, модулем ограничителя потока воздуха, переходником для подключения контура пациента, регулятором давления аспирации и скорости потока. Контур пациента включает дыхательный шланг, бактериальный и противовирусный фильтр, препятствующий притоку жидкостей из организма в корпус устройства, лицевую маску, мундштук, трахеостомическую трубку.

Экспериментальная часть

На базе АО «Национальный научный медицинский центр», Республика Казахстан в период с сентября 2022 года по декабрь 2023 года было проведено рандомизированное контролируемое исследование с участием 47 пациентов, страдающих обострениями бронхоэктатической болезни. Пациенты были случайным образом распределены на две группы: контрольная группа получала стандартное лечение, в то время как экспериментальная группа дополнительно получала немедикаментозную терапию с помощью системы откашливания ComfortCough II в следующих режимах: режим интрапульмональной перкуссии (Ip +25 см H₂O, I 1:1, f 400-600 циклов в минуту), режим аппаратный кашель (Ip +25 см H₂O, Ep -20 см H₂O, f 20 Гц) назначался пациентам с ослабленными дыхательными мышцами, режим экстрапульмональной перкуссии назначался пациентам с тяжелой обструкцией дыхательных путей. В результате мониторинга частоты дыхания, насыщения артериальной крови кислородом, объема мокроты, тяжести кашля и одышки, максимального давления вдоха и выдоха, проводимого на 1-й, 15-й и 30-й день, было установлено, что дополнительное применение системы откашливания значительно улучшило клинические результаты по сравнению со стандартной терапией. Так, в экспериментальной группе форсированная жизненная емкость легких увеличилась на 15%, объем форсированного выдоха за первую секунду улучшился на 20%, что указывает на улучшение проходимости дыхательных путей и эффективности кашля. Максимальные давления вдоха и выдоха увеличились на 25% и 30% соответственно, что свидетельствует об укреплении дыхательных мышц. Ежедневный объем мокроты снизился на 35%, а общее снижение частоты обострений составило 28%.

Результаты и их обсуждение

Эффективность лечения бронхоэктатической болезни значительно повышается при добавлении аппаратной терапии к медикаментозным методам лечения. Пациенты испытывают более быстрое облегчение симптомов, улучшение функции дыхательных мышц и повышение качества жизни. Приоритетной задачей аппаратного воздействия является нейтрализация патогенетического фактора задержки бронхиального секрета в бронхах, исходя из чего целесообразным представляется применение откашливателей и виброперкуторов. При этом следует отметить основное преимущество данных систем, состоящее в возможности сочетания внешнего воздействия на грудную клетку пациента посредством виброжилета и вентиляции дыхательных путей через маску, мундштук или трахеостомическую трубку. Также следует отметить возможность применения систем откашливания и при других паренхиматозных заболеваниях легких, а именно легочном муковисцидозе, ХОБЛ, пневмониях, БЛД, а также нейромышечных заболеваниях со сниженной жизненной емкостью легких и сниженным либо отсутствующим кашлевым рефлексом, в частности БАС, СМА, миастении, синдроме Гийена-Барре, миодистрофии Дюшенна. Системы откашливания могут применяться как в учреждениях здравоохранения, так и на дому.

Заключение

До недавнего времени международные клинические рекомендации по ведению пациентов с бронхоэктазами отсутствовали. Большинство существующих на сегодняшний день рекомендаций являются условными и основаны на доказательствах низкого качества [12]. В связи с чем, они скорее призваны инициировать дальнейшие исследования по оптимальному

лечению пациентов с бронхоэктатической болезнью. Таким образом, бронхоэктатическая болезнь представляет собой быстро развивающуюся область пульмонологии, которая может быть дополнена такими немедикаментозными методами лечения, как персонифицированная кислородная терапия с автоматическим подбором и коррекцией режима на основании изменяющегося состояния пациента, а также аппаратная эвакуация мокроты.

Список литературы

1. Чернеховская, Н.Е. Бронхоэктатическая болезнь / Н.Е.Чернеховская // Лечащий врач. – 2004. – № 2 [Электронный ресурс]. – 2004. – Режим доступа: <https://www.lvrach.ru/2004/02/4531083>. – Дата доступа: 15.06.2024.
2. Бобровнический, В. И. Бронхоэктатическая болезнь у детей : учеб.-метод. пособие / В. И. Бобровнический. – Минск : БГМУ, 2013. – 24 с
3. Зарембо, И.А. Бронхоэктазы: современный взгляд на проблему / И.А. Зарембо, Е.А. Киселева, Л.С. Зарайская, Д.И. Филиппов, С.А. Васильев // Практическая пульмонологии. – 2015. – № 4. – С. 27–33.
4. Моисеев, В. С. Внутренние болезни : учебник : в 2 т. / под ред. В. С. Моисеева, А. И. Мартынова, Н. А. Мухина. – Москва : ГЭОТАР-Медиа, 2019. – 2 т.
5. Чучалин, А. Г. Рациональная фармакотерапия заболеваний органов дыхания : руководство для практикующих врачей / под ред. А. Г. Чучалина. – 2-е изд., испр. и доп. – Москва : Литтерра, 2013. – 872 с.
6. Чучалин, А. Г. Респираторная медицина : руководство : в 2 т. / под ред. А. Г. Чучалина. – Москва : ГЭОТАР-Медиа, 2007. – 2 т.
7. Лаптев, А.Н. Бронхоэктатическая болезнь (механизмы развития, диагностика, лечение, профилактика) / А. Н. Лаптев, Е. А. Лаптева // ARS medica. Искусство медицины. – 2011. – № 9. – С.7-18.
8. Лаптева, Е.А. Развитие и прогрессирование хронического инфекционно-зависимого воспалительного процесса в бронхах при разных заболеваниях легких / Е.А. Лаптева, А.Н. Лаптев // Медицинская панорама. – 2011. – № 9. – С.9-11.
9. Яковлев, В.Н. Бронхологические методы диагностики и лечения в практике пульмонолога / В.Н. Яковлев, В.Г. Алексеев. – Москва, 2013. – 256 с.
10. Зельманский, О. Б. Методика адаптивной терапии дыхательной недостаточности и ее аппаратно-программная реализация в виде изделия медицинской техники для оптимизации расхода кислорода / Зельманский О. Б. // Лучший педагог – 2022 : II Международное книжное издание стран Содружества Независимых Государств, Нур-Султан, 2022 г. / Общенациональное движение «Бобек». – Нур-Султан : Бобек, 2022. – С. 60-63.
11. Зельманский, О. Б. Дыхательная недостаточность: техническое обеспечение диагностики и респираторной поддержки / О. Б. Зельманский, Е. И. Давидовская, А.С. Дубровский // Доклады БГУИР. - 2020. - № 18 (8). - С. 29–36.
12. Бронхоэктазы у взрослых больных: клинические рекомендации Европейского респираторного общества. Пульмонология. 2018. - 28 (2). - С. 147–168. DOI: 10.18093/0869-0189-2018-28-2-147-168.

УДК 616.281-008.55:616.282.7

ВЕСТИБУЛЯРНЫЕ МИОГЕННЫЕ ВЫЗВАННЫЕ ПОТЕНЦИАЛЫ В ДИАГНОСТИКЕ БОЛЕЗНИ МЕНЬЕРА

Г.В. ЗАБРОДЕЦ¹, И.П. МАРЬЕНКО¹, А.В. КЛЕБАН¹, А.А. ПОДДУБНЫЙ²

¹РНПЦ неврологии и нейрохирургии, г. Минск, Республика Беларусь

²РНПЦ оториноларингологии, г. Минск, Республика Беларусь

Аннотация. Болезнь Меньера является хорошо известным заболеванием внутреннего уха с гистопатологической основой в виде эндолимфатического гидропса. До настоящего времени не существует диагностических тестов, позволяющих выявить эндолимфатический гидропс со значительной степенью уверенности. Анатомические исследования височной кости показали, что функциональные нарушения в улитке, саккуле, утрикуле и полукружных каналах могут быть следствием последовательного развития эндолимфатического гидропса. В данном исследовании мы изучали диагностическую значимость вестибулярных вызванных миогенных потенциалов (ВВМП) для оценки функции отолитовых органов при болезни Меньера. В исследование было включено 37 пациентов с достоверной болезнью Меньера по диагностическим критериям Общества Барани (2015г.) на основании характерных жалоб, анамнеза и комплексного обследования, включающего тональную аудиометрию, отоневрологическое обследование с вестибулометрией и калорическими пробами. Получены нормативные данные ВВМП при обследовании группы контроля. Выявлены паттерны ВВМП, характерные для болезни Меньера, достоверно отличающиеся от нормы. Таким образом, ВВМП являются важным дополнительным диагностическим тестом по отношению к калорическому, тестам вращения и тональной аудиометрии для диагностики болезни Мерьера.

Ключевые слова: Болезнь Меньера, эндолимфатический гидропс, отолитовые органы, утрикула, саккула, диагностические тесты, вестибулярные вызванные миогенные потенциалы.

VESTIBULAR MYOGENIC EVOKED POTENTIALS IN THE DIAGNOSIS OF MENIERE'S DISEASE

GLEB V. ZABRODZETS¹, IRYNA P. MARIENKO¹, HANNA V. KLEBAN¹, ARTYOM A.
PODDUBNYY²

¹Republican Research and Clinical Center of Neurology and Neurosurgery, Minsk, Belarus

²Republican Scientific and Practical Center of Otorhinolaryngology, Minsk, Belarus

Abstract. Meniere's disease is a well-known disease of the inner ear with a histopathologic basis in the form of endolymphatic hydrops. To date, there are no diagnostic tests to detect endolymphatic hydrops with a significant degree of certainty. Anatomical studies of the temporal bone have shown that functional abnormalities in the cochlea, sacculus, utricle, and semicircular canals may result from the sequential development of endolymphatic hydrops. In this study, we investigated the diagnostic significance of vestibular evoked myogenic potentials to assess otolith function in Meniere's disease. 37 outpatients with definite Meniere's disease (Baranyi Society criteria, 2015) were included in the study on the basis of characteristic complaints, history, and a comprehensive examination including tone audiometry, otoneurologic examination with vestibulometry and caloric tests. Normative data of vestibular evoked myogenic potentials in the control group were obtained. The patterns of evoked potentials characteristic for Meniere's disease significantly differing from the norm were revealed. Thus, vestibular evoked myogenic potentials are an important diagnostic test in relation to caloric, rotation tests and tonal audiometry for the diagnosis of Ménière's disease.

Keywords: Meniere's disease, endolymphatic hydrops, otolithic organs, utricula, saccula, diagnostic tests, vestibular evoked myogenic potentials.

Введение

Болезнь Меньера (БМ) является хорошо известным заболеванием внутреннего уха. Его симптомы включают повторяющиеся эпизоды самопроизвольно проходящего головокружения, флюктуирующую или прогрессирующую сенсоневральную тугоухость, ощущение полноты и

шума в пораженном ухе. Множественные исследования показали, что эндолимфатический гидропс (ЭГ) является основной гистопатологической характеристикой БМ [1]. На данный момент имеется ряд публикаций указывающих на то, что БМ может проявляться различными клиническими симптомами и по-разному реагировать на лечение, а также обладает широким спектром фенотипических особенностей [1], тем не менее, основной патогенез ЭГ остается плохо изученным. До настоящего времени не существует единого диагностического теста для выявления ЭГ со значительной степенью уверенности [2]. Вестибулярные вызванные миогенные потенциалы (ВВМП) могут быть использованы для оценки функции отолитовых органов и периферической вестибулярной системы [3,4]. В данном исследовании мы изучали диагностическую значимость ВВМП при БМ.

Материалы и методы

В исследование было включено 37 пациентов (21 женщина, 16 мужчин) с достоверной БМ (по диагностическим критериям Общества Барани, 2015г.) на основании характерных жалоб, анамнеза и комплексного обследования, включающего тональную аудиометрию, отоневрологическое обследование с вестибулометрией и калорическими пробами [5]. Медиана возраста составила 52 (43; 61) (min-max 21-71) лет. В контрольную группу включены 13 пациентов (10 женщин, 3 мужчины) 39 (35; 55) (min-max 18-65) лет без признаков текущей и анамнестической патологии внутреннего уха.

Дополнительно в диагностике БМ мы использовали цервикальные и окулярные ВВМП (цВВМП и оВВМП). Диагностика выполнялась на комплексе компьютерном многофункциональном для исследования ЭМГ и ВП "Нейро-МВП-8" Нейрософт, Россия. Для акустической стимуляции использовались наушники TDH-39. Для генерации оВВМП использовались тональные стимулы (130 dB SPL, 500 и 1000 Гц за 4 мс) с расположением поверхностных электродов под нижним веком (активный «-») и референт («+») на 2 см ниже (или на подбородок). Во время регистрации оВВМП соблюдалась фиксация взгляда на точке под углом 30 градусов кверху. Анализировались амплитуды и латентности первых пиков N10/P16.

Для генерации цВВМП использовались звуковые щелчки (120-dBnHL 0.1 мс, с частотой 5 Гц), 2-4 сессии регистрации ВВМП в зависимости от воспроизводимости пиков. Анализировались амплитуды и латентности первых пиков P13/N23. Методика наложения поверхностных электродов: активный (-) электрод на границе верхней и средней трети грудино-ключично-сосцевидной мышцы, референт (+) на область грудино-ключичного сочленения.

Результаты и их обсуждение

Всем 37 пациентам с достоверной БМ и 13 пациентам группы контроля выполнены ВВМП обеих модальностей. Для проведения сравнительного анализа мы получили нормативные данные при обследовании группы контроля (табл. 1).

Таблица 1. Нормативные данные ВВМП при обследовании группы контроля, n=13, Ме (25%;75%)

Параметры	оВВМП, стимуляция справа	оВВМП, стимуляция слева
N10/P16, мкВ	7,1 (6,1; 8,9)	7,0 (6,5; 9,1)
P16, мс.	14,4 (13,7; 15,0)	13,9 (13,0; 14,5)
N10, мс	10,0 (9,8; 10,2)	10,0 (9,7; 10,3)
	цВВМП, стимуляция справа	цВВМП, стимуляция слева
P13/N23, мВ	100 (73; 163)	96,5 (61; 159)
P13, мс	11,3 (10,8; 12,2)	11,5 (11,2; 11,8)
N23, мс	17,8 (16,4; 20,4)	20,5 (17,4; 21,2)

Считается, что оВВМП характеризует функцию утрикулуса, а цВВМП – саккулюса посредством реализации вестибуло-окулярного и вестибуло-цервикального рефлексов. Предыдущие исследования показали, что частота ремиссии у пациентов с БМ при корректном лечении составляла от 60% до 80% [6]. Таким образом, для повышения эффективности клинического лечения большое значение имеет создание надежной методики диагностики ЭГ как гистопатологической основы БМ. Деформации и разрывы перепончатого лабиринта могут нарушить гомеостаз внутреннего уха, что может объяснить симптомы со стороны слуховой и вестибулярной систем при БМ вследствие ЭГ, который имеет тенденцию развиваться в улитке с последующим распространением на саккулу и утрикулу и в конечном итоге вовлечением полукружных каналов [7]. Тем не менее, на разных этапах ЭГ, изменяя пространственную конфигурацию перепончатого лабиринта, может изменять восприимчивость звуковых стимулов при регистрации ВВМП [8].

В нашем исследовании при проведении статистического анализа выявлены достоверные различия между основной и контрольной группами только по амплитудным показателям. Так при БМ пик N10/P16 составил 3.83 (0.0; 7.5) мс на пораженном ухе (Mann-Whitney U Test, $p = 0,001$), 8.73 (5.8; 16.0) мс со здоровой стороны ($p=0.44$); пик P13/N23 39.2 (0.0; 87.8) мс на пораженном ухе ($p<0,001$), 84.6 (44.9; 122.7) мс со здоровой стороны ($p=0.08$). Таким образом, прогрессирование ЭГ при БМ вызывает дегенерацию рецепторного аппарата отолитовых органов и соответствующее падение амплитуд основных пиков обеих модальностей ВВМП. Тем не менее, отмечена тенденция к снижению амплитуды основных пиков и на здоровой стороне при БМ, что может подтверждать данные о более частом развитии ЭГ на здоровой стороне при БМ и первично в области саккулюса.

Характерным для БМ является и изменение (повышение) восприимчивости к более высоким частотам звука, что описано как улучшение амплитуд ВВМП при стимуляции с частотой 1000Гц в сравнении с 500Гц. Однако в нашем исследовании мы получили значимые различия при сравнении процента изменения амплитуды при смене 500 на 1000Гц стимуляцию (при оВВМП) между группами (Mann-Whitney U Test, $p = 0,05$) только на здоровое ухо: при БМ 18.9 (-5.0; 37.3)% и в группе контроля 1.5 (-15.0; 5.6)%. При уточнении причины отсутствия значимых различий на изменение частоты тонального аудиостимула на стороне патологии была проанализирована норма границ разброса процента изменения данных в группе контроля: min/max от -26.5% до 26.9%. У пациентов с БМ в 10 из 28 (35,7%) обследованных на стороне патологии и 13 из 24 (54,2%) на здоровой стороне были получены результаты, выходящие за данные границы. Тем не менее, корреляционной зависимости между степенью тугоухости и амплитудными характеристиками ВВМП как на пораженной стороне, так и на здоровой выявлено не было, что может указывать на отсутствие линейной зависимости между степенью тугоухости при БМ и динамикой изменений вестибулярной функции вследствие текущего ЭГ.

Заключение

Таким образом, ВВМП является дополнительным тестом при диагностике БМ по отношению к калорическому, тестам вращения и тональной аудиометрии. Характерным для БМ является снижение амплитудных характеристик основных пиков обеих модальностей ВВМП на стороне поражения, изменение ответов на повышение частоты тональных звуковых стимулов с превышением допустимых границ нормы как на стороне поражения, так и на здоровой стороне, что предполагает вероятное развитие ЭГ. Уточнение роли ВВМП в диагностике ЭГ на интактной стороне при БМ требует дальнейших исследований в данном направлении с набором большего количества пациентов.

Список литературы

1. Hamid M.A. Meniere's disease. Pract Neurol. 2009 Jun;9(3):157-62. doi: 10.1136/jnnp.2009.176602.
2. Minor L.B., Schessel D.A., Carey J.P. Meniere's disease. Curr Opin Neurol. 2004 Feb;17(1): 9-16. doi: 10.1097/00019052-200402000-00004.
3. Lin M.Y., Timmer F.C.A., Oriol B.S., et al. Vestibular evoked myogenic potentials (VEMP) can detect asymptomatic saccular hydrops. Laryngoscope. 2006 Jun;116(6):987-92. doi: 10.1097/01.mlg.0000216815.75512.03.

4. Young Y.H., Wu C.C., Wu C.H. Augmentation of vestibular evoked myogenic potentials: an indication for distended saccular hydrops. *Laryngoscope*. 2002 Mar;112(3):509-12.
5. Lopez-Escamez JA, Carey J, Chung WH. et al. Diagnostic criteria for Menière's disease. *Journal of vestibular research: equilibrium & orientation*. 2015;25(1):1–7. doi: 10.3233/VES-150549
6. Silverstein H., Smouha E., Jones R. Natural history versus surgery for Meniere's disease. *Otolaryngol Head Neck Surg*. 100, 6–16 (1989).
7. Okuno T., Sando I. Localization, frequency and severity of endolymphatic hydrops and the pathology of the labyrinthine membrane in Meniere's disease. *Ann Otol Rhinol Laryngol*. 1987; 96, 438-445.
8. Zhang S., Leng Y., Liu B., et al. Diagnostic Value of Vestibular Evoked Myogenic Potentials in Endolymphatic Hydrops: A Meta-Analysis / *Sci Rep*. 2015 Oct 12:5:14951. doi: 10.1038/srep14951.

УДК 616.8-009.29

ПРИМЕНЕНИЕ ТРАНСКРАНИАЛЬНОЙ МАГНИТНОЙ СТИМУЛЯЦИИ У ДЕТЕЙ С ХРОНИЧЕСКИМИ ТИКОЗНЫМИ РАССТРОЙСТВАМИ: ПЕРСПЕКТИВЫ И ЭФФЕКТИВНОСТЬ

А.Р. МИРЗОЯН, Т.Н. ЧЕРНУХА, С.Л. КУЛИКОВА, Г.В. ЗАБРОДЕЦ

Республиканский научно-практический центр неврологии и нейрохирургии, г. Минск, Беларусь

Аннотация. Исследование направлено на оценку эффективности применения транскраниальной магнитной стимуляции (ТМС) у детей с хроническими тикозными расстройствами (ТР). Лечение было проведено у 21 пациента с использованием магнитного стимулятора Нейро-МС/Д с помощью 100-мм охлаждаемого двойного углового индуктора, зафиксированного над дополнительной моторной корой. Эффективность оценивалась с применением Йельской глобальной шкалы тяжести тиков и опросника PedsQL 4.0. Результаты показали снижение частоты и интенсивности тиков, а также улучшение качества жизни пациентов, что подтверждает эффективность ТМС при лечении хронических ТР у детей.

Ключевые слова: тики, синдром Туретта, хронические моторные тики, хронические вокальные тики, транскраниальная магнитная стимуляция.

THE USE OF TRANSCRANIAL MAGNETIC STIMULATION IN CHILDREN WITH CHRONIC TIC DISORDERS: PROSPECTS AND EFFECTIVENESS

ALIONA R. MIRZOYAN, TATYANA N. CHARNUKHA, SVIATLANA L. KULIKOVA,
GLEB V. ZABRODETS

Republican Research and Clinical Center of Neurology and Neurosurgery, Minsk, Belarus

Abstract. The study is aimed at evaluating the effectiveness of transcranial magnetic stimulation (TMS) in children with chronic tic disorders (TD). Treatment was administered to 21 patients using a Neuro-MS/D magnetic stimulator with a 100-mm cooled double-cone coil placed over the supplementary motor cortex. Effectiveness was assessed using the Yale Global Tic Severity Scale and PedsQL 4.0. The results demonstrated a reduction in the frequency and intensity of tics, as well as an improvement in the quality of life of the patients, confirming the efficacy of TMS in treating chronic TD in children.

Keywords: tics, Tourette syndrome, chronic motor tics, chronic vocal tics, transcranial magnetic stimulation.

Введение

Тикозные расстройства (ТР) являются распространенной патологией среди пациентов детского возраста и проявляются внезапными, быстрыми, повторяющимися, неритмичными движениями и/или вокализациями [1]. Основной задачей при лечении ТР является улучшение качества жизни пациентов, путем снижения частоты тиков, при этом достичь полного исчезновения тиков при хронических ТР получается редко, а медикаментозное лечение может оказывать негативное влияние на растущий организм ребенка [1]. В связи с этим становится всё более актуальным использование альтернативных и безопасных методов лечения. Транскраниальная магнитная стимуляция (ТМС) это метод неинвазивной стимуляции мозга, основанный на методе электромагнитной индукции, в результате которой происходит регионарная активация корковых нейронов [3]. В отличие от медикаментозной терапии ТМС практически не вызывает побочных эффектов. Однако в настоящее время опубликовано незначительное количество результатов исследований по эффективности ТМС при ТР с различными терапевтическими протоколами и точками стимуляции у детей, что затрудняет сравнительную оценку эффективности ТМС.

Материалы и методы

В исследовании принял участие 21 пациент с хроническими ТР (18 мальчиков и 3 девочки): с синдромом Туретта - 16, хроническими моторными тиками – 3, хроническими вокальными тиками – 1. Медиана возраста составила 12 [8;14] лет. Для лечения с помощью ТМС использовался магнитный стимулятор Нейро-МС/Д (Россия). Стимуляция осуществлялась с помощью 100-мм охлаждаемого двойного углового индуктора, зафиксированного над дополнительной моторной корой. Данная точка определялась как 15% расстояния кпереди от точки Cz по Международной системе размещения электродов «10-20». Лечение проводилось по 1 Гц протоколу стимуляции, интенсивность составила 110% порога моторного ответа, 1200 стимулов за один сеанс в сутки в течение 10 дней ежедневно с перерывом на выходные дни (2дня).

Для оценки эффективности лечения мы использовали Йельскую глобальную шкалу тяжести тиков (YGTSS). Оценка качества жизни проводилась с использованием опросника PedsQL 4.0 (Pediatric Quality of Life Inventory) для детей в возрасте от 5 до 18 лет (5–7 лет, 8–12 лет, 13–18 лет) до лечения и через 1 месяц после. Данный опросник состоит из 4 блоков: физическое функционирование (ФФ) — 8 вопросов (оцениваются подвижность, ходьба, бег, болевой синдром); эмоциональное функционирование (ЭФ) — 5 вопросов (оцениваются сон, беспокойство, настроение, чувство страха, грусти); социальное функционирование (СФ) — 5 вопросов (оценивается взаимодействие с другими детьми); ролевое функционирование (РФ) — 5 вопросов (оцениваются жизнь в детском коллективе, частота пропусков занятий в связи с болезнью или необходимостью посетить врача). Статистические данные обрабатывались с использованием IBM SPSS 27 с применением критерия Уилкоксона.

Результаты и обсуждение

20 пациентов прошли полный курс лечения ТМС. 1 пациент прервал курс лечения в связи с симптомами ОРВИ. За время лечения серьезных нежелательных явлений зарегистрировано не было. 2 пациента отмечали головную боль напряжения во время 1 процедуры терапевтической ТМС, которая купировалась самостоятельно в течении 2 часов после окончания процедуры.

После лечения наблюдалось улучшение состояния согласно YGTSS: медиана общей тяжести тиков снизилась с 27,50 [24,00;32,00] до 18,00 [10,00;24,00], ($p=0,005$) и медиана глобальной оценки тяжести с 49,00 [23,00;69,00] до 31,00 [19,00;45,00], ($p=0,007$) (рис 1). За время лечения 2 пациента полностью избавились от простых вокальных тиков при отсутствии значимого улучшения по моторным.

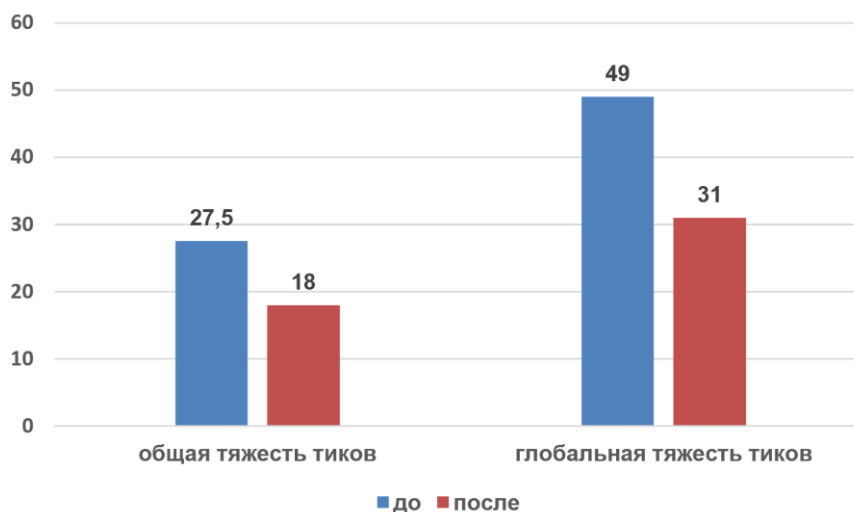


Рис. 1. Оценка YGTSS до и после лечения.

Оценка качества жизни согласно опроснику PedsQL 4.0 до лечения составила 59,78 [50,21;71,15], через 1 месяц после – 77,17 [59,72;84,78], $p=0,021$ (рис 1). По блоку ФФ до лечения 63,00 [56,00;78,00], через 1 месяц после лечения 84,38 [75,00;90,60], $p=0,008$; ЭФ до лечения 60,00 [35,00;75,00], через 1 месяц после лечения 65,00 [65,00;80,00], $p=0,135$; СФ до лечения 60,00 [30,00;85,00], через 1 месяц после лечения 85,00 [75,00;100,00], $p=0,050$; РФ до лечения 45,00 [35,00;55,00], через 1 месяц после лечения 70,00 [50,00;75,00], $p=0,007$ (рис.2).

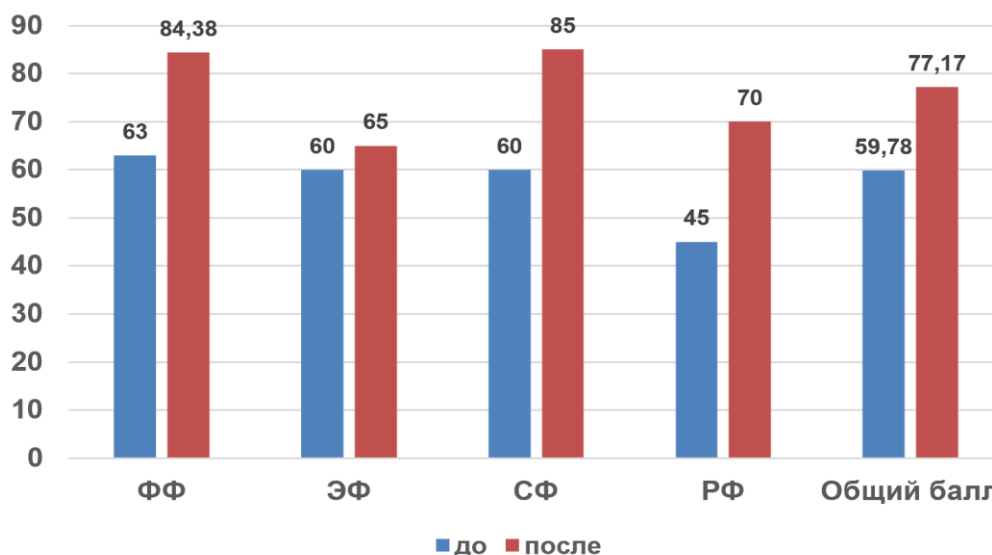


Рис. 2. Оценка качество жизни по опроснику PedsQL 4.0 до лечения и через 1 месяц после лечения

Заключение

Использование ТМС при лечении хронических ТР у детей является перспективным и безопасным методом лечения с отсутствием серьезных нежелательных явлений. Применение ТМС на область дополнительной моторной коры у детей с хроническими ТР демонстрирует достоверное снижение частоты и интенсивности тиков и улучшение качества жизни. Мы продолжаем исследование для разработки эффективного протокола лечения ТР методом ТМС.

Список литературы

1. Tourette syndrome: clinical features, pathophysiology, and treatment / К. А. Johnson [et al.] // Lancet Neurol. 2023. Vol. 22. No 2. P. 147–158. [https://doi.org/10.1016/S1474-4422\(22\)00303-9](https://doi.org/10.1016/S1474-4422(22)00303-9)
2. A Randomized Controlled Trial Comparing Behavioral, Educational, and Pharmacological Treatments in Youths With Chronic Tic Disorder or Tourette Syndrome / Rizzo R. [et al.] // Front Psychiatry. 2018. Vol. 9, No 100. <https://doi.org/10.3389/fpsy.2018.00100>
3. Corrigendum to "Evidence-based guidelines on the therapeutic use of repetitive transcranial magnetic stimulation (rTMS): An update (2014-2018)". /J.P. Lefaucheur [et al.] // Clin Neurophysiol. 2020. Vol. 131. No 5. P. 1168-1169. <http://doi.org/10.1016/j.clinph.2020.02.003>

УДК 629.7.076-614.44

ИСПОЛЬЗОВАНИЕ БЕСПИЛОТНЫХ ЛЕТАТЕЛЬНЫХ АППАРАТОВ ДЛЯ ЭПИДЕМИОЛОГИЧЕСКОГО НАДЗОРА ЗА ИНФЕКЦИОННЫМИ ЗАБОЛЕВАНИЯМИ

Е.И. БАВБЕЛЬ, В.Ф. АЛЕКСЕЕВ

*Учреждение образования «Белорусский государственный университет
информатики и радиоэлектроники (г. Минск, Республика Беларусь)*

Аннотация. Беспилотные летательные аппараты (БПЛА) становятся важным инструментом в области надзора за эпидемиологией инфекционных заболеваний, демонстрируя значительный потенциал в мониторинге и контроле за распространением инфекций. Они способны быстро и эффективно собирать данные о здоровье населения, отслеживать распространение заболеваний и оценивать экологические факторы, способствующие эпидемиям. Применение БПЛА в здравоохранении уже показало свои преимущества на различных примерах, включая успешное использование дронов для мониторинга вспышек лихорадки Эбола и борьбы с COVID-19. БПЛА позволяют осуществлять доставку медицинских товаров в труднодоступные районы и повышают эффективность вакцинации. Несмотря на это, внедрение БПЛА в систему здравоохранения сталкивается с рядом вызовов, включая вопросы конфиденциальности, технические ограничения и необходимость интеграции с существующими системами. Тем не менее, правильное использование технологий БПЛА может существенно улучшить реагирование на вспышки инфекционных заболеваний, повысить осведомленность населения и улучшить доступ к медицинским услугам. В будущем такие решения могут стать неотъемлемой частью глобальных стратегий в области здравоохранения.

Ключевые слова: БПЛА, здравоохранение, эпидемиология, инфекционные заболевания.

USE OF UNMANNED AERIAL VEHICLES FOR EPIDEMIOLOGICAL SURVEILLANCE OF INFECTIOUS DISEASES

EGOR I. BAVBEL, VIKTOR F. ALEXEEV

*Educational Institution «Belarusian State University of Informatics and Radioelectronics»
(Minsk, Republic of Belarus)*

Abstract. Unmanned aerial vehicles (UAVs) are becoming an important tool in the field of epidemiological surveillance of infectious diseases, demonstrating significant potential in monitoring and controlling the spread of infections. They are capable of quickly and efficiently collecting health data, tracking the spread of diseases, and assessing environmental factors that contribute to epidemics. The use of UAVs in healthcare has already shown its benefits in various examples, including the successful deployment of drones for monitoring Ebola outbreaks and combating COVID-19. UAVs enable the delivery of medical supplies to hard-to-reach areas and enhance the efficiency of vaccination efforts. Despite this, the integration of UAVs into healthcare systems faces a number of challenges, including privacy concerns, technical limitations, and the need for integration with existing systems. Nevertheless, the proper use of UAV technology can significantly improve responses to outbreaks of infectious diseases, raise public awareness, and enhance access to medical services. In the future, such solutions may become an integral part of global health strategies.

Keywords: UAVs, health care, epidemiology, infectious diseases.

Введение

В последние годы применение беспилотных летательных аппаратов в различных областях науки и техники стало стремительно набирать популярность. Уникальные характеристики этих устройств, такие как высокая маневренность, возможность оперативной доставки данных и доступа в труднодоступные районы, открывают новые горизонты для применения технологий в области эпидемиологии. Особенно актуально это стало в условиях глобальных угроз, связанных с инфекционными заболеваниями, где своевременный

мониторинг и анализ ситуации становятся критически важными для принятия эффективных решений.

Статья посвящена исследованию использования БПЛА для эпидемиологического надзора за инфекционными заболеваниями. Авторами рассмотрены современные подходы к интеграции дронов в процессы сбора и анализа данных о распространении инфекций, а также продемонстрированы примеры успешного применения данной технологии на практике. Особое внимание уделено преимуществам, которые предоставляют беспилотники в контексте борьбы с эпидемиями, а также возможным вызовам и ограничениям, которые необходимо преодолеть для достижения максимальной эффективности их использования. Рассмотрение этих аспектов позволит не только оценить текущее состояние дела, но и заложить основу для выработки рекомендаций по дальнейшему совершенствованию методов эпидемиологического надзора с использованием современных технологий.

Применение БПЛА в профилактике эпидемиологических заболеваний

Сбор данных и мониторинг. БПЛА обеспечивают высококачественные наблюдения за большими территориями, что позволяет быстро и эффективно собирать данные о распространении инфекционных заболеваний. Данные, полученные с помощью дронов, могут использоваться для мониторинга численности населения, миграционных потоков, а также состояния здоровья отдельных групп населения. Например, в рамках борьбы с лихорадкой Эбола использовались БПЛА для определения мест концентрации заболевших и организации целенаправленных вмешательств [1].

Кроме того, дроны могут быть оснащены различными сенсорами, которые позволяют отслеживать экологические факторы, способствующие распространению инфекций. Это может быть особенно полезно для мониторинга заболеваний, передаваемых через воду или насекомых, таких как малярия или денге. Исследования показывают, что изменение климата и окружающей среды непосредственно влияют на эпидемиологическую обстановку, и БПЛА могут предоставить ценные данные для построения моделей прогнозирования [1].

Географическая визуализация и анализ данных. Интеграция данных, полученных с помощью БПЛА, в географические информационные системы (ГИС) создает уникальную возможность для анализа и визуализации распространения инфекционных заболеваний. Такие визуализации позволяют быстрее оценить уровень угрозы в конкретных регионах, выявить узкие места и спланировать целевые меры по контролю заболеваний. Например, в некоторых странах БПЛА использовались для создания карт распространения COVID-19, что помогло в оперативном принятии решений органами здравоохранения.

Исследование, проведенное в Нигерии, показало, что БПЛА могут эффективно использоваться для ликвидации мест скопления комаров и занятий сельским хозяйством, что снижает риск распространения заболеваний, передающихся через укусы насекомых [2]. Таким образом, дроны становятся незаменимыми инструментами для сбора данных о состоянии здоровья населения и окружающей среды.

Примеры успешного применения БПЛА

Вспышка лихорадки Эбола. Случай применения БПЛА во время вспышки лихорадки Эбола в Западной Африке в 2014 году стал показателем того, как дроны могут изменить подход к эпидемиологическому надзору. БПЛА использовались для обнаружения и картирования вспышек заболеваний, а также для доставки вакцин и медицинских поставок в удаленные и труднодоступные районы (рисунок). Это не только сократило время доставки, но и снизило риск заражения медицинского персонала [3].



Рис.1 Доставка медикаментов с помощью дронов

Пандемия COVID-19. Пандемия COVID-19 продемонстрировала, насколько важно иметь гибкие и эффективные системы мониторинга. В разных странах дроны применялись для контроля соблюдения обременяющих мер, таких как социальное дистанцирование и ношение масок. Кроме того, с их помощью проводился мониторинг температурного режима и выявление потенциальных вспышек заболевания в населенных пунктах и на мероприятиях с большим скоплением людей [4].

Преимущества использования БПЛА

БПЛА обладают множеством преимуществ в контексте эпидемиологии и надзора за инфекционными заболеваниями. Во-первых, они способны быстро собирать и передавать данные, что позволяет оперативно реагировать на угрозы. Во-вторых, использование дронов снижает риск лишнего контакта между медицинским персоналом и потенциально заразными пациентами. В-третьих, их использование может существенно снизить затраты на мониторинг и контроль заболеваний в отдаленных районах [5]. БПЛА могут преодолевать природные или инфраструктурные преграды, что делает их идеальным инструментом для обследования и доставки в отдаленные и горные местности, могут использоваться для безопасного сбора образцов воздуха, воды или почвы в зонах, подверженных инфекционным угрозам, что помогает в мониторинге экологической ситуации. Беспилотники могут использоваться вместе с другими технологиями, такими как геоинформационные системы (ГИС) и системы больших данных, для анализа и прогнозирования вспышек инфекций.

Таким образом, БПЛА имеют значительный потенциал в улучшении систем здравоохранения и повышении эффективности контроля за инфекционными заболеваниями.

Вызовы и ограничения

Несмотря на обширные возможности БПЛА в области надзора за эпидемиологией, существуют и значительные вызовы. Вопросы конфиденциальности данных и безопасности полетов остаются актуальными. Необходимо учитывать, что использование БПЛА для сбора информации может вызвать опасения по поводу вторжения в личную жизнь граждан. Технические ограничения, такие как время полета, дальность действия и необходимость обучения операторов, также представляют собой значительные препятствия на пути к широкому внедрению этой технологии [5].

Действующие нормы и правила относительно использования БПЛА часто не учитывают специфику здравоохранения, требуя от страны соответствующих изменений в законодательстве. Для эффективного использования БПЛА требуется интеграция с существующими системами здравоохранения и координация с местными органами власти. Без адекватной организационной структуры и четкого понимания роли дронов в системе здравоохранения их эффективность может быть значительно снижена [5].

Несмотря на значительный потенциал использования БПЛА в здравоохранении и эпидемиологическом надзоре, необходимо преодолеть ряд вызовов, чтобы обеспечить их эффективное и безопасное применение. Сотрудничество между различными государственными структурами, научными учреждениями и частным сектором может способствовать более широкому внедрению данной технологии.

Заключение

Использование беспилотных летательных аппаратов в надзоре и эпидемиологии инфекционных заболеваний имеет огромный потенциал для повышения эффективности мониторинга и управления пандемиями. БПЛА помогают собирать данные в реальном времени, что позволяет мгновенно реагировать на угрозы. Несмотря на вызовы и ограничения, связанные с их использованием, правильное применение технологий, а также интеграция с существующими системами здравоохранения могут открыть новые горизонты для предотвращения и контроля инфекционных заболеваний в будущем. Сочетание традиционных методов эпидемиологического надзора с инновационными инструментами, такими как беспилотники, может значительно повысить эффективность и оперативность ответа на угрозы инфекционных заболеваний, что в свою очередь позволит сохранить жизни и здоровье населения в условиях глобальных изменений и новых вызовов.

Список литературы

1. Terwilliger, B., Rosser, J. C., Vignesh, V., & Parker, B. (2018). Surgical and Medical Applications of Drones: A Comprehensive Review. *Journal of The Society of Laparoscopic & Robotic Surgeons*, 22(3).
2. S. E. H. K. H. Adebayo et al., "Drones in health care: a systematic review of the evidence," *Health Policy and Planning*, vol. 35, no. 4, 2020.
3. M. Poljak, A. Šterbenc, Use of drones in clinical microbiology and infectious diseases: current status, challenges and barriers, *Clinical Microbiology and Infection*, Volume 26, Issue 4, 2020, Pages 425-430, ISSN 1198-743X, doi.org/10.1016/j.cmi.2019.09.014.
4. Maximilian Kunovjanek, Christian Wankmüller, Containing the COVID-19 pandemic with drones - Feasibility of a drone enabled back-up transport system, *Transport Policy*, Volume 106, 2021, Pages 141-152, ISSN 0967-070X, doi.org/10.1016/j.tranpol.2021.03.015.
5. Baggio S, Jacquerioz F, Salamun J, Spechbach H, Jackson Y. Equity in access to COVID-19 testing for undocumented migrants and homeless persons during the initial phase of the pandemic. *J Migr Health*. 2021;4:100051. doi: 10.1016/j.jmh.2021.100051. Epub 2021 Jun 20. PMID: 34184000; PMCID: PMC8214821.

УДК 616-71 + 612.78

МЕТОД СЕГМЕНТАЦИИ ГОЛОСОВОГО СИГНАЛА НА ПЕРИОДЫ ОСНОВНОГО ТОНА ДЛЯ СИСТЕМ МЕДИЦИНСКОЙ ДИАГНОСТИКИ

Е.И. ЖОЛУД, М.И. ВАШКЕВИЧ

*Белорусский государственный университет информатики и радиоэлектроники
(Минск, Республика Беларусь)*

Аннотация. Статья посвящена исследованию методов сегментации голосового сигнала на периоды основного тона в контексте задач медицинской диагностики. В работе рассматривается метод пересечения нуля (zero-crossing) для получения грубой разметки сигнала, а также анализируется влияние длины фильтра, используемого в этом методе, на точность определения частоты основного тона. Результаты эксперимента показывают, что выбор оптимальной длины фильтра является ключевым фактором для повышения точности сегментации.

Ключевые слова: сегментация голосового сигнала, частота основного тона, автокорреляционная функция, фильтрация, zero-crossing, PP-метод, WM-метод, акустическая обработка, медицинская диагностика, адаптивный фильтр, точность определения ЧОТ, джиттер.

METHOD OF SEGMENTING VOICE SIGNALS INTO FUNDAMENTAL FREQUENCY PERIODS FOR MEDICAL DIAGNOSTIC SYSTEMS

E.I. ZHOLUD, M.I. VASHKEVICH

*Belarusian State University of Informatics and Radioelectronics
(Minsk, Republic of Belarus)*

Abstract. This article is dedicated to the study of methods for segmenting voice signals into fundamental frequency periods in the context of medical diagnostics. This paper investigates methods for segmenting speech signals into fundamental frequency periods in the context of medical diagnosis. It examines the zero-crossing method for obtaining a rough signal segmentation and analyzes the influence of the filter length used in this method on the accuracy of fundamental frequency determination. Experimental results demonstrate that choosing the optimal filter length is a key factor in enhancing segmentation accuracy.

Keywords: voice signal segmentation, fundamental frequency, autocorrelation function, filtering, zero-crossing, PP method, WM method, acoustic processing, medical diagnostics, adaptive filter, accuracy of F0 determination, jitter.

Введение

Анализ голоса – это мощный инструмент, используемый в различных областях, включая медицину, психологию, лингвистику и криминалистику [1, 2]. Он позволяет получить ценную информацию о физическом и эмоциональном состоянии человека, а также о его личности.

Одним из самых важных параметров при анализе голоса является частота основного тона (ЧОТ), которая обозначается как F0. Это самая низкая частота звуковых колебаний, генерируемых голосовыми связками во время речи. На рис. 1, а показан фрагмент голосового сигнала, а на рис. 1,б – его спектр. На рис. 1,б также обозначена ЧОТ и её две первые гармоники. ЧОТ определяет высоту голоса и является ключевым индикатором физического состояния. Изменения в ЧОТ могут указывать на патологии голосовых связок, такие как ларингит, полипы или узлы [3], а также на нарушения в работе нервно-мышечной системы [4].

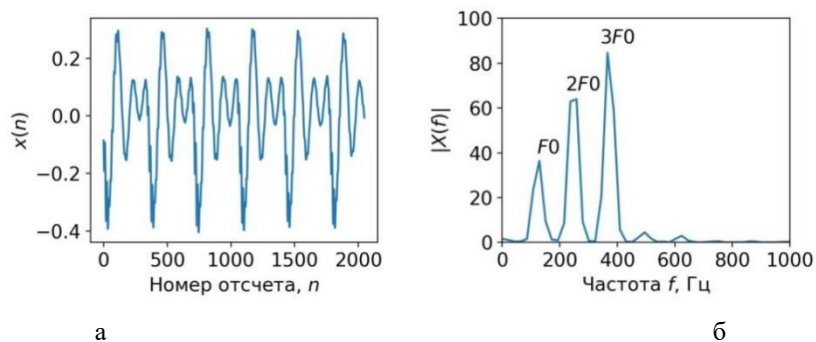


Рис. 1. Сигналы: а) голос; б) частота основного тона

Анализ ЧОТ является ценным инструментом, но для получения более глубокого анализа голоса необходимо учитывать его динамику. ЧОТ не является статичным значением, она постоянно меняется в зависимости от множества факторов, таких как нарушения в работе голосовых связок, вызванные патологиями или утомлением. Для изучения этих динамических изменений требуется сегментация голосового сигнала на периоды основного тона (ОТ). Этот процесс осложняется в тех случаях, когда голос подвержен патологическим изменениям, поскольку в этом случае в сигнале присутствуют шумы и/или нерегулярные всплески.

Методы сегментации голосового сигнала

Есть два основных метода сегментации голосового сигнала на периоды ОТ:

- подгонка формы сигнала (waveform matching) или WM-метод;
- метод отбора локальных максимумов (peak-peaking) или PP-метод.

WM-метод основывается на грубой разметке сигнала. Суть метода заключается в подборе такого смещения между двумя соседними периодами сигнала, чтобы среднеквадратичная разность между ними была минимальной [5]. PP-метод основан на нахождении отрицательных пиков на каждом периоде ОТ сигнала между точками грубой разметки [5]. Таким образом, можно заметить, что оба метода опираются на предварительно выполненную грубую разметку сигнала.

Для получения грубой разметки в [5] предложено использовать метод пересечения нуля (zero-crossing) или ZC-метод. Данный метод заключается в выполнении следующих действий.

1. Отфильтровать сигнал речи с помощью фильтра, чтобы высокочастотные компоненты, не относящиеся к ЧОТ. Рекомендуется использовать КИХ-фильтр с частотой среза равной $1,5 \cdot F_0$, при этом порядок фильтра в методе не оговаривается [5]. На рис. 2 показан голосового сигнала и его отфильтрованная версия.



Рис. 2. Входной сигнал и отфильтрованный сигнал

2. Определить моменты, когда отфильтрованный сигнал меняет знак (с плюса на минус). Обычно используют метод перехода через ноль [5]. На рис. 3 показан пример выделения моментов перехода через ноль, когда сигнал меняет полярность с положительной на отрицательную.

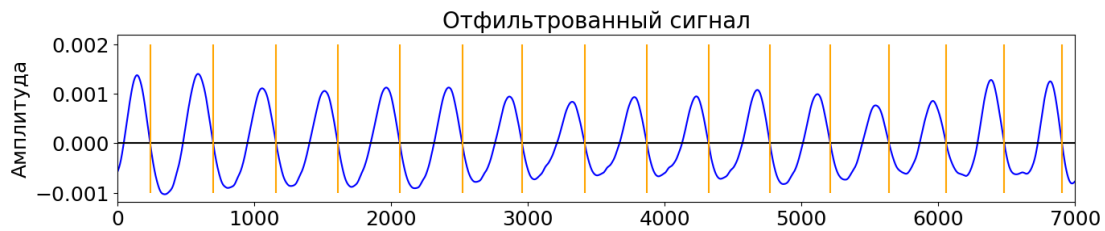


Рис. 3. Определение моментов изменения полярности в сигнале

На сегментацию ZC-метода влияет:

- шум в сигнале, который может создавать дополнительные пересечения нулевой линии, что искажает оценку ЧОТ;
- нерегулярные колебания голосовых связок, которые могут привести к неравномерному

В контексте сегментации голоса, ZC- метод, как правило, используется для получения предварительной разметки сигнала, которую затем уточняют с помощью более сложных методов, таких как WM или PP [4].

Чтобы синтезировать КИХ-фильтр, необходимый в ZC-методе требуется знать приблизительное значение ЧОТ, поскольку частота среза выбирается, как $f_c = 1,5 \cdot F_0$. Для оценки ЧОТ используется автокорреляционная функция (АКФ). Она позволяет выявить периодичность сигнала, что особенно важно для определения ЧОТ [4]. Считается, что первый максимум АКФ вне нулевого задержки соответствует периоду основного тона. Пример АКФ и её первого максимума показаны на рис. 4.

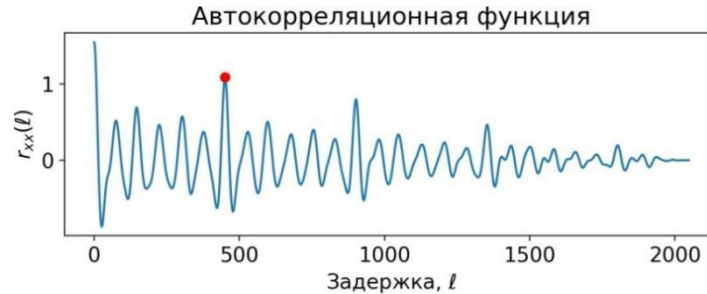


Рис. 4. Автокорреляционная функция голосового сигнала

Таким образом, в ZC-методе перед выполнением фильтрации на первых 4096 отсчетах голосового сигнала выполнялся расчет АКФ, по которой определялся период основного тона. На основании данного периода рассчитывалась ЧОТ после чего оконным методом синтезировался КИХ-фильтр с частотой среза $f_c = 1,5 \cdot F_0$.

Как было сказано ранее, в описании ZC-метод порядок фильтра не оговаривается [5], хотя этот фактор имеет существенное значение. На рис. 5 показан полигармонический сигнал, состоящий из трех гармоник с $F_0 = 210$ Гц. Слева на рис. 5 показаны спектр сигнала, а также АЧХ трех КИХ-фильтров, которые имеют частоту среза $f_c = 1,5 \cdot F_0 = 1,5 \cdot 210 = 315$ Гц.

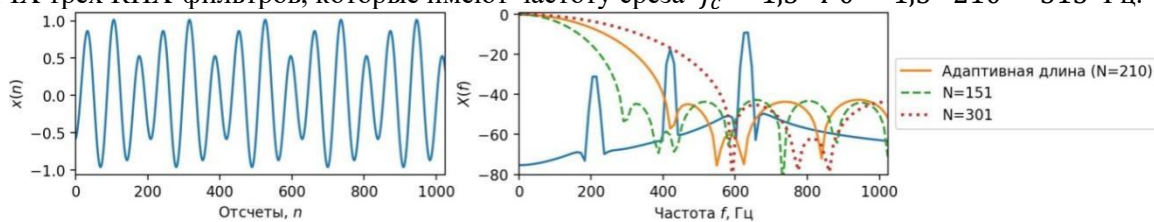


Рис. 5. Представление сигнала во временной и частотной области

Можно заметить, что случае, когда длина фильтра равна $N = 151$, то, частотная компонента ОТ хотя и выделяется, но при этом будет в выходном сигнале иметь сильное ослабление. Длина фильтра $N = 301$, позволяет выделить компоненту ОТ, но в выходной сигнал также будет проходить и вторая гармоника сигнала с небольшим ослаблением, что в результате помешает правильной работе ZС-метода. В данной работе предлагается подход, согласно которому длина КИХ-фильтра должна выбираться адаптивно. В частотности предлагается выбирать длину фильтра равной периоду ОТ, оцененному по АКФ. В этом случае, как показано на рис. 5 компонента ОТ получает небольшой ослабление, а вторая и третья гармоники попадает на ноль частотной характеристики фильтра, что позволяет эффективно подавить именно гармонические составляющие сигнала. В результате обработки таким фильтров выходной сигнал с меньшей вероятностью будет содержать компоненты, мешающие правильной работе ZС-метода.

Методика проведения эксперимента

Для проведения эксперимента с использованием базы голосов Minsk2020_ALS [6]. База содержит записи голосов людей с боковым амиотрофическим склерозом (БАС), собранные в период 2019-2020 гг. в Минске, Беларусь. База имеют 66 записей голоса здоровых людей и 62 записи пациентов с БАС. Важно отметить, что на каждого человека приходится по две записи (звуки /а/ и /и/). Таким образом, в базе представлены записи от 33 здоровых людей и 31 человека с БАС. Для исследования брались записи здоровых людей.

Целью эксперимента было определить, как длина КИХ-фильтра, используемого в ZС-методе влияет на точность определения ЧОТ голосовых сигналов. Исследовались различные фиксированные длины фильтров (201, 301, 401, 501) и адаптивная длина фильтра, равная периоду основного тона. Таким образом, КИХ-фильтр настраивался автоматически в зависимости от периода основного тона, что позволяло ему подстраиваться под характеристики конкретного сигнала. Точность определения ЧОТ оценивалась с использованием метрики джиттера – меры вариативности ЧОТ. Джиттер более 5% считался признаком ошибки в определении ЧОТ.

Результаты и их обсуждение

На рис. 6 представлены результаты в эксперимента, которые позволяет провести сравнительный анализ между длиной фильтра и количеством ошибок, возникающих в процессе обработки голосовых сигналов.

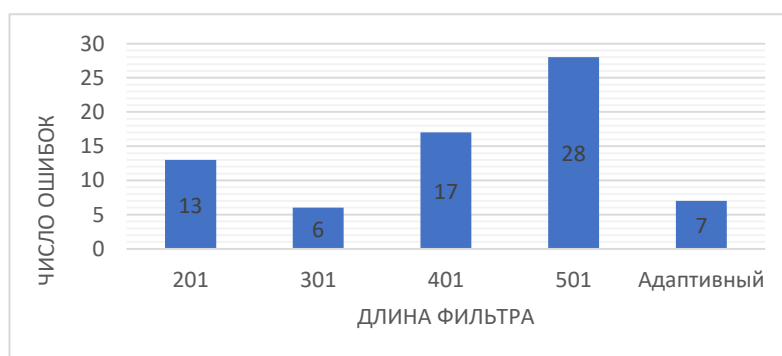


Рис.6. График количества ошибок в зависимости от длины фильтра

Согласно полученным данным, минимальное количество ошибок наблюдается при длине фильтра, равной 301, а также в условиях использования адаптивного фильтра. В этих случаях было зафиксировано всего 6 и 7 ошибок соответственно.

На основании полученных результатов эксперимента можно также сделать вывод о том, что характеристики адаптивного фильтра в значительной степени соответствуют параметрам фильтра с длиной 301 отсчет. Это свидетельствует о том, что исследуемая база данных голосовых сигналов преимущественно включает записи голосов людей, чьи частотные

характеристики наиболее эффективно обрабатываются с использованием фильтра длиной 301 отсчет.

Таким образом, результаты эксперимента не только подтверждают эффективность фильтра с адаптивной длиной для выделения периодов основного тона.

Заключение

В ходе проведенного эксперимента была исследована влияние длины КИХ-фильтра, используемого в ZС-методе, на точность сегментации голосовых сигналов, записанных у здоровых людей.

В работе было предложено выбирать длину фильтра приблизительно равной периоду основного тона. При этом основной тон предлагается оценивать на начальном сегменте голосового сигнала с использованием автокорреляционной функции.

Результаты эксперимента показали, что длина фильтра имеет значительное влияние на точность сегментации голосового сигнала. Наименьшее количество ошибок в определении ЧОТ было зафиксировано при использовании фильтра длиной 301 отсчет, а также при применении адаптивного фильтра.

Список литературы

1. Barsties B., De Bodt M. Assessment of voice quality: current state-of-the-art // *Auris Nasus Larynx*. – 2015. – Т. 42. – №. 3. – P. 183-188.
2. Hecker P. et al. Voice analysis for neurological disorder recognition—a systematic review and perspective on emerging trends // *Frontiers in Digital Health*. – 2022. – Т. 4. – P. 1-16.
3. Анализ акустических параметров голоса для выявления заболеваний гортани / Вашкевич М. И., Бурак А.А., Конойко Н.С. Долдова В.С. // *Информатика*. – 2020. –Т.17, №1. – С. 78 – 86.
4. Kul T. P., Rushkevich Y. N., Lihachev S. A. Adaptation of digital signal processing methods to the analysis of speech in neurological pathologies // *Doklady BGUIR*. – 2018. – №. 7. – P. 128-132.
5. Comparison of Extraction Methods for High-Precision Voice Perturbation Measurements / Ingo R. Titze, Haixiang Liang // *Journal of Speech and Hearing Research*, 1993. – P. 1-14.
6. https://github.com/Mak-Sim/Minsk2020_ALS_database

УДК 534.61 : 615.837

ОЦЕНКА СТЕПЕНИ РАЗРУШАЮЩЕГО ВОЗДЕЙСТВИЯ УЛЬТРАЗВУКА ПРИ ПРОВЕДЕНИИ ТЕРАПЕВТИЧЕСКИХ ПРОЦЕДУР

В.М. БОНДАРИК, С.К. ДИК, П.В. КАМЛЯЧ, Е.И. ЛЕЩЕВИЧ, И.И. РЕВИНСКАЯ

*Белорусский государственный университет информатики и радиоэлектроники
(г. Минск, Республика Беларусь)*

Аннотация. Предложено для оценки степени разрушающего воздействия ультразвука использовать результаты решения уравнения Нолтинга–Непайраса в среде MATLAB. Предложена методика моделирования поведения кавитирующих полостей в жидких средах и определены пороги кавитации для физиологического раствора.

Ключевые слова: ультразвук, моделирование, порог кавитации.

ASSESSMENT DEGREE OF DESTRUCTIVE EFFECT ULTRASOUND DURING THERAPEUTIC PROCEDURES

VASIL M. BANDARYK, SERGEY K. DZIK, PAVEL V. KAMLACH,
YAUHEN I. LIASHCHEVICH, INA I. REVINSKAYA

*Belarusian State University of Informatics and Radioelectronics
(Minsk, Belarus)*

Abstract. It is proposed to use the results of solving the Nolting–Nepayras equation in MATLAB to assess the degree destructive effect ultrasound. A technique for modeling the behavior of cavitating cavities in liquid media is proposed and cavitation thresholds for saline solution are determined.

Keywords: ultrasound, modeling, cavitation threshold.

Введение

Сегодня в медицине используют большой спектр лечебных физических факторов, отличающихся природой, проникающей способностью, методиками и техникой применения, механизмом действия и терапевтической эффективностью. Развитие медицинской техники базируется как на фундаментальных знаниях биологической и медицинской науки, так и на широком использовании достижений физики, химии, информационных технологий и новых материалов [1].

Учет кавитационных процессов играет большую роль при практическом использовании ультразвука (УЗ) в медицине. Под явлением кавитации, относящимся к жидкости, понимается образование в ней полостей с последующим их захлопыванием. В УЗ волне, создающей периодические разрежения, кавитация наблюдается при достаточной интенсивности волны. В момент захлопывания кавитирующих пузырьков давление и температура газа внутри полости достигают значительных величин, что приводит к порождению в окружающей жидкости вторичной ударной сферической волны, быстро затухающей в пространстве. Вторичная волна обладает значительной энергией, превосходящей энергию, вызвавших ее УЗ колебаний. Эта волна может вызвать значительные повреждения близлежащих структурных элементов.

При терапевтическом воздействии на биологические объекты УЗ колебаниями достаточно большой интенсивности существует опасность разрушения белков вследствие явления кавитации. В момент захлопывания давление и температура растворенного в жидкости газа достигает значительных величин [2]. Для предотвращения поражения биологических тканей при воздействии УЗ на биологические объекты важно оценить максимально возможные значения интенсивности ультразвука, а также динамику кавитационных процессов. Полученные закономерности

необходимо учитывать при проектировании и использовании медицинских аппаратов и систем, использующих энергию ультразвука.

Результаты и их обсуждение

Всякая реальная жидкость содержит различные растворенные вещества, в том числе растворенный газ, благодаря чему в жидкой среде существуют парогазовые пузырьки, которые ослабляют ее локальную прочность и являются зародышами кавитации. В реальных жидкостях имеет место распределение зародышей по начальному радиусу. Концентрация зародышей возрастает с уменьшением их радиуса.

Верхний порог размеров зародышей размыт близи значений 1-10 мкм, что соответствует критическому давлению возникновения кавитации в 1 атм. Зародыши меньшего радиуса более устойчивы [3].

В настоящее время используются различные критерии начала кавитации. Одним из них может служить расширение кавитирующей жидкости вследствие образования в ней больших парогазовых пузырьков. В качестве критерия начала кавитации может использоваться «кавитационный шум», возникающий при захлопывании кавитирующих полостей, а также «сонолюминисценция», кавитационная эрозия твердых тел и другие эффекты. Однако применение в медицине всех этих критериев оценки ультразвуковой кавитации малоприменимы, т.к. они определены только после начала процесса кавитации. Для безопасного применения медицинских ультразвуковых систем важно определить пороги начала кавитации.

В работе предложен способ определения порогов кавитации на основе анализа производных от радиуса пузырьков (скоростей пульсаций радиуса). Было проведено моделирование поведения кавитирующих полостей для определения пороговых значений амплитуды УЗ колебаний на терапевтической частоте 880 кГц.

Для оценки динамики кавитационной полости в жидких средах использовано уравнение Нолтинга–Непайраса, которое является нелинейным дифференциальным уравнением и решается методами численного интегрирования [4]:

$$R = \frac{d^2 R}{dt^2} + \frac{3}{2} \left(\frac{dR}{dt} \right)^2 + \frac{1}{\rho_0} \left[P_0 - P_n - p_{\max} \sin \omega t + \frac{2\sigma}{R} - \left(P_0 - P_n + \frac{2\sigma}{R_0} \right) \left(\frac{R_0}{R} \right)^{3n} \right] = 0, \quad (1)$$

где R – текущий радиус пузырька, t – время, ρ_0 – плотность жидкости, P_0 – внешнее давление, P_n – давление насыщенного пара в зародыше, p_{\max} – амплитудное давление в волне, σ – поверхностное натяжение, n – адиабатический коэффициент.

В среде *MatLab* разработана программа моделирования динамики поведения кавитирующих полостей в жидких средах при УЗ воздействии. Расчеты проводились для кавитационных полостей диаметром 10 мкм при нормальных условиях для 0,9 % раствора хлорида натрия (физиологического раствора).

Результаты моделирования в виде зависимостей нормированных радиусов газовых пузырьков (верхний график) и скорости их изменения во времени (нижний график) при различных амплитудах УЗ колебаний представлены на рис. 1.

При воздействии УЗ колебаний незначительной интенсивности жидкая среда стабильна (рис. 1, *a*) и кавитации не наблюдается. При увеличении интенсивности УЗ воздействия колебание радиуса пузырьков уже нестабильно, наступает предкавитационное состояние (рис. 1, *b, c*). При достижении амплитуды УЗ колебаний 0,84 мкм возникает кавитация, которая фиксируется по разрыву производной от радиуса пузырька (рис. 1, *d*) примерно через 0,9 мкс после начала процесса. Чем интенсивнее кавитация, тем выше всплески производной.

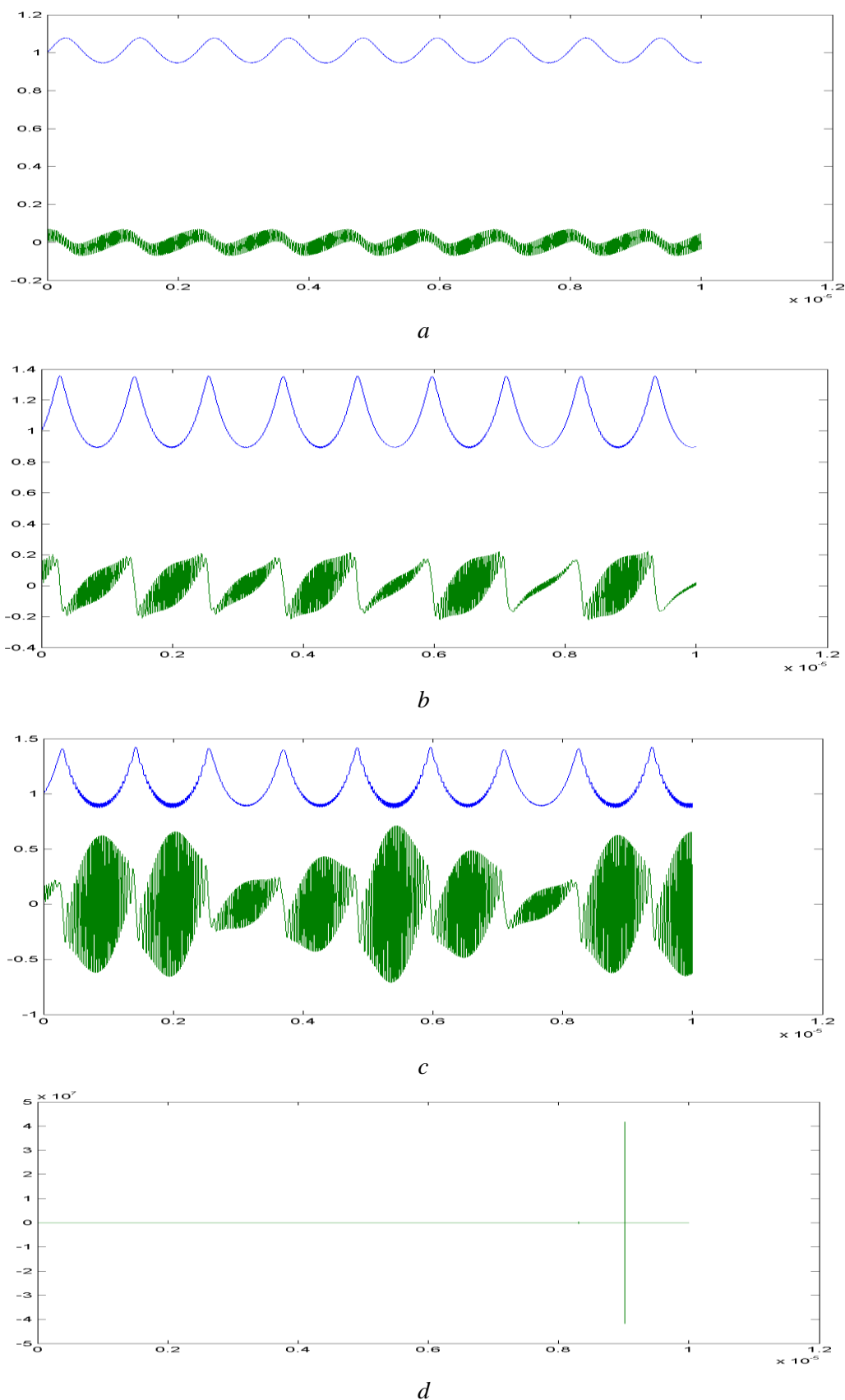


Рис. 1. Динамика поведения кавитирующих полостей в физиологическом растворе при воздействии ультразвуковых колебаний с амплитудами: *a* – 0,35 мкм; *b* – 0,80 мкм; *c* – 0,82 мкм; *d* – 0,84 мкм

На представленных рисунках газовые пузырьки схлопываются после нескольких периодов колебаний. Дальнейшее увеличение интенсивности УЗ приведет к их схлопыванию в более ранние сроки вплоть до первого периода колебаний УЗ волны. Такую кавитацию обычно и принято определять в качестве порогового значения.

Заключение

Проведенное моделирование позволило оценить интенсивности УЗ колебаний, при которых возникают первые зародыши кавитации, а также начинается процесс кавитации. Используемыми на сегодняшний день методами оценки кавитации затруднительно достичь аналогичных результатов.

Предложенная методика моделирования поведения кавитирующих полостей в жидких средах позволяет вводить новые критерии выявления порогов кавитации. Анализ порогов кавитации дает возможность более точной оценки степени разрушающего воздействия УЗ энергии при проведении терапевтических процедур в медицине.

Список литературы

1. Улащик В. С. Физиотерапия. Новейшие методы и технологии. — Справочное пособие. — Мн. : Книжный дом, 2013. — 448 с.
2. Применение ультразвука в медицине : Физические основы. — Пер. с англ. / Под ред. К. Хилла. — М. : Мир, 1989. — 568 с.
3. Основы физики и техники ультразвука / Б. А. Агранат [и др.]. — М. : Высш. шк., 1987. — 352 с.
4. Ланин, В. Л. Моделирование процессов формирования соединений материалов в ультразвуковых полях / В. Л. Ланин // Доклады БГУИР. — 2004. — № 4 (8). — С. 73 - 78.

УДК 611.84

ЧАСТОТНЫЙ АНАЛИЗ И ВИБРАЦИОННЫЕ ХАРАКТЕРИСТИКИ ТИТАНОВОГО ПРОТЕЗА СЛУХОВЫХ КОСТОЧЕК

Т.С. СМОЛЬСКАЯ¹, Э.В. ДРУЦ¹, Е.Л. МАЛЕЦ², М.С. ЛУШАКОВА¹, П.В. КАМЛАЧ¹

¹Белорусский государственный университет информатики и электроники
(г. Минск, Республика Беларусь)

²ГУ "Республиканский научно-практический центр оториноларингологии"
(г. Минск, Республика Беларусь)

Аннотация. Проблемы, связанные с потерей слуха, могут быть эффективно решены с использованием титановых протезов для замены слуховых косточек. Однако успешное восстановление слуха напрямую зависит от того, насколько эффективно протез передает звуковые волны от слуховых косточек к внутреннему уху. В данной работе проведен анализ передачи звука через титановый протез с использованием виртуальных методов моделирования. Цель исследования – оценить акустические свойства титанового протеза, а также определить, как его конструкция влияет на передачу звука в диапазоне частот, критически важных для человеческого слуха (250 Гц – 8000 Гц).

Ключевые слова: титановый протез, слуховые косточки, передача звука, частотный анализ, вибрационные характеристики, акустические свойства, виртуальное моделирование, восстановление слуха, частоты слуха человека, цепь слуховых косточек.

FREQUENCY ANALYSIS AND VIBRATION CHARACTERISTICS OF A TITANIUM AUDITORY OSSICLE PROSTHESIS

T.S. SMOLSKAYA¹, E.V. DRUTS¹, E.L. MALETS², M.S. LUSHAKOVA¹, P.V. KAMLACH¹

¹Belarusian State University of Informatics and Radioelectronics
(Minsk, Republic of Belarus)

²SI "ENT Center of the Republic of Belarus"
(Minsk, Republic of Belarus)

Abstract. Problems associated with hearing loss can be effectively addressed using titanium prostheses to replace the auditory ossicles. However, the success of hearing restoration depends directly on how efficiently the prosthesis transmits sound waves from the ossicles to the inner ear. This study analyzes the transmission of sound through a titanium prosthesis using virtual modeling methods. The aim of the research is to evaluate the acoustic properties of the titanium prosthesis and determine how its design affects sound transmission within the frequency range critical for human hearing (250 Hz – 8000 Hz).

Keywords: titanium prosthesis, auditory ossicles, sound transmission, frequency analysis, vibration characteristics, acoustic properties, virtual modeling, hearing restoration, human hearing frequencies, ossicular chain.

Введение

Для улучшения характеристик титановых протезов важно понять, как их структура и материал влияют на передачу звука. В частности, критические параметры включают частотный диапазон (250–8000 Гц), который охватывает как низкие, так и высокие частоты, необходимые для восприятия речи и окружающих звуков. Акустическое моделирование и виртуальный частотный анализ позволяют исследовать эти аспекты протезов, выявляя потери энергии и вибрационные свойства в каждом частотном диапазоне.

Цель данного исследования – провести частотный анализ и оценить вибрационные характеристики титанового протеза слуховых косточек, используя виртуальные методы моделирования. Это позволит определить, какие конструктивные особенности могут улучшить акустические свойства протеза, обеспечивая более точную передачу звуковых волн и, соответственно, лучшее качество слуха для пациентов.

Методика проведения моделирования

Для эксперимента была использована адаптированная 3D-модель слуховых косточек и протеза (рисунок 1). Для проведения акустического и частотного моделирования была выбрана программная среда COMSOL, также были учтены физико-механические свойства титана (плотность, модуль упругости и коэффициент затухания).

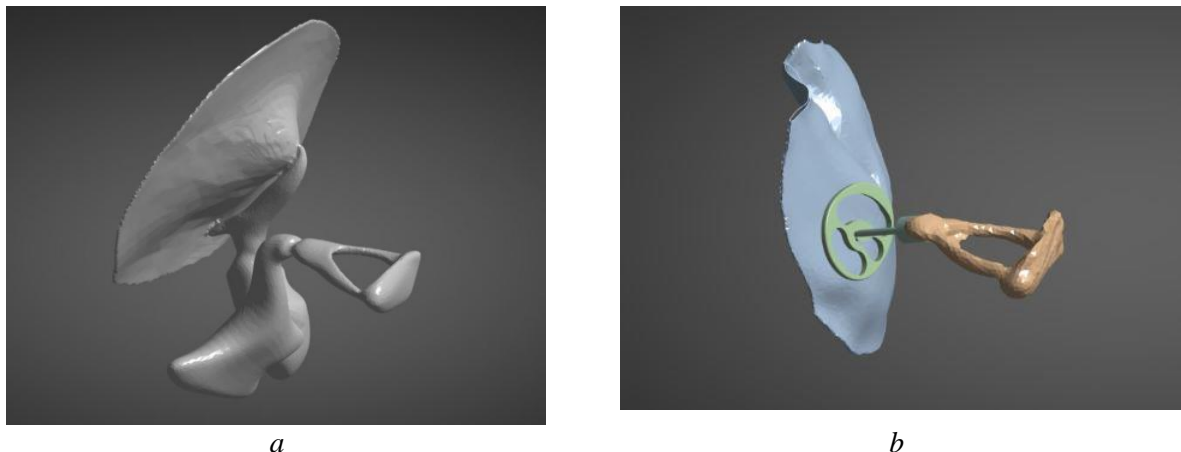


Рис. 1. 3D модель среднего уха: *a* – без импланта; *b* – с имплантом

Симуляция проводилась в частотном диапазоне от 250 Гц до 8000 Гц, на каждой из частот оценивались вибрационные характеристики и передача звуковых волн через титановый протез. Процесс включал расчет амплитуды и потерь энергии, которые возникают при передаче звука через протез на различных частотах. Дополнительно измерялись вибрационные характеристики – амплитуды колебаний внутри протеза при воздействии звуковых волн каждой из частот.

Результаты моделирования

Данные, полученные в результате симуляции, были структурированы в виде графиков (рисунок 2), отражающих потери энергии и эффективность передачи звука для каждой частоты.

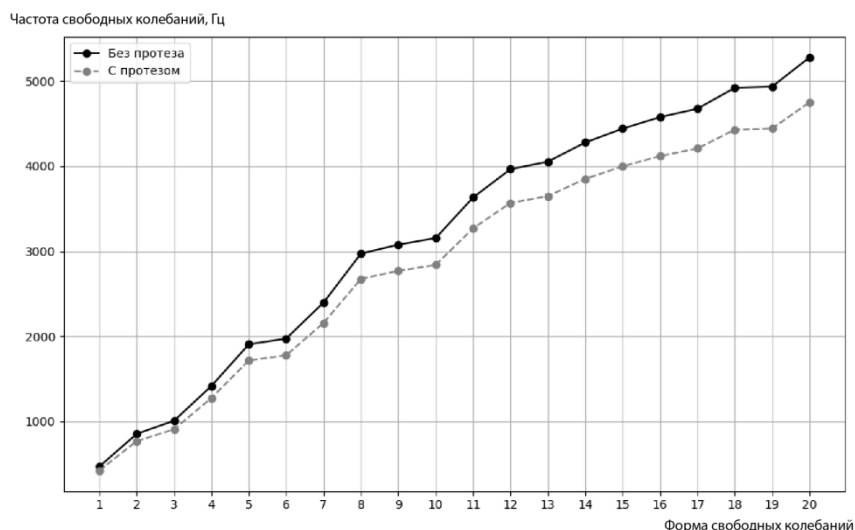


Рис. 2. 3D модель среднего уха: *a* – без импланта; *b* – с имплантом

Из графика видно, что частоты колебаний для среднего уха с протезом ниже, чем для уха без протеза. Это указывает на изменение динамических характеристик системы при установке импланта, что связано с дополнительной массой и структурной жесткостью титанового протеза.

Разница между частотами для уха с протезом и без него увеличивается с ростом номера моды, что говорит о более сильном влиянии протеза на высокочастотные колебания.

Поскольку собственные частоты связаны с акустической проводимостью и вибрационными характеристиками системы, снижение этих частот может указывать на незначительное снижение эффективности передачи звука через протез в высокочастотном диапазоне. Это влияет на восприятие высоких звуковых частот и должно учитываться при проектировании импланта.

Заключение

В данной работе был проведен анализ влияния титанового протеза слуховых косточек на вибрационные характеристики среднего уха. На основе частотного анализа показано, что установка протеза приводит к снижению собственных частот колебаний структуры, особенно заметному на высоких режимах.

Результаты моделирования подчеркивают необходимость тщательного выбора материалов и конструктивных характеристик протеза для обеспечения оптимальной передачи звуковых волн. Полученные данные могут быть использованы для дальнейших исследований и улучшения конструкции титановых протезов с целью минимизации потерь в высокочастотном диапазоне, что имеет решающее значение для улучшения качества жизни пациентов с нарушением слуха.

Список литературы

1. Hong, C. J., Giannopoulos, A. A., Hong, B. Y., et al. Clinical applications of three-dimensional printing in otolaryngology-head and neck surgery: a systematic review / C. J. Hong, A. A. Giannopoulos, B. Y. Hong, et al. –Laryngoscope, 2019. – 129(9), 2045-2052.
2. Besl, P. J., & McKay, N. D. A Method for Registration of 3-D Shapes / IEEE Transactions on Pattern Analysis and Machine Intelligence, 1992. – 14(2), 239-256.
3. Fischler, M. A., & Bolles, R. C. Random Sample Consensus: A Paradigm for Model Fitting with Applications to Image Analysis and Automated Cartography / Communications of the ACM, 1981. – 24(6), 381-395.
4. Johnson, A. E., & Hebert, M. Using Spin Images for Efficient Object Recognition in Cluttered 3D Scenes / IEEE Transactions on Pattern Analysis and Machine Intelligence, 1999. – 21(5), 433-449.
5. Plecko, M., et al. Osseointegration of novel titanium implant surfaces: A comparative in vivo study / Acta Biomaterialia, 2012. – 8(9), 3507-3514.
6. Zhuang, X., et al. Automatic reconstruction of 3D cardiac anatomy and segmentation of cardiac MR images: a review / Physics in Medicine & Biology, 2010. – 55(20), 71-98.

УДК (066.83.012.024)

МЕДИЦИНСКАЯ ЭЛЕКТРОНИКА: ОСНОВНЫЕ НАПРАВЛЕНИЯ И СТАНДАРТИЗАЦИЯ

Н.Я. ОРАЗГЕЛЬДИЕВА

Туркменский инженерно-технологический университет имени Огуз хана (Ашхабад, Туркменистан)

Аннотация. Прежде всего в статье приводится определение медицинской электроники и самые важные знания, которые составляют наиболее важную роль в этой дисциплине. Далее рассматриваются ключевые стандарты, связанные с медицинской электроникой. Приводятся самые распространенные и в то же время важные аспекты стандартизации и основополагающие стандарты, такие как: международный стандарт обмена медицинской информацией, это стандарт передачи и хранения медицинских изображений, защита конфиденциальности и безопасности медицинских данных, обеспечение интероперабельности между различными устройствами и системами, обработка больших объемов медицинских данных, правила и нормативы, устанавливающие требования к качеству, безопасности и эффективности медицинских устройств и систем. Инновационные методы разработки стандартов и развитие стандартизации медицинской техники, которая обеспечивает высокий уровень обслуживания пациентов и улучшает работу медицинского персонала.

Ключевые слова: медицинская электроника, медицинская техника, медицинская информатика, медицинская радиотехника, медицинская оптика, биосенсоры, телемедицина, стандартизация, стандарты, стандарты обмена данными, стандарты безопасности, интероперабельность.

MEDICAL ELECTRONICS: MAIN DIRECTIONS AND STANDARDIZATION

ORAZGELDIEVA NARGYZ YAZMURADOWNA

Oguz Khan Turkmen Engineering and Technology University (Ashgabat, Turkmenistan)

Abstract. First of all, the article provides a definition of medical electronics and the most important knowledge that plays the most important role in this discipline. Then, the key standards related to medical electronics are considered. The most common and at the same time important aspects of standardization and fundamental standards are given, such as: international standard for the exchange of medical information, this is a standard for the transmission and storage of medical images, protection of confidentiality and security of medical data, ensuring interoperability between various devices and systems, processing large volumes of medical data, rules and regulations that establish requirements for the quality, safety and efficiency of medical devices and systems. Innovative methods for developing standards and the development of standardization of medical equipment that ensures a high level of patient care and improves the work of medical personnel.

Keywords: medical electronics, medical equipment, medical informatics, medical radio engineering, medical optics, biosensors, telemedicine, standardization, standards, data exchange standards, safety standards, interoperability. Conflict of interests.

Введение

Медицинская электроника представляет собой ключевую область, в которой используются электронные устройства и технологии для диагностики, лечения и мониторинга состояния здоровья. В данной статье рассматриваются основные направления, в которых развивается медицинская электроника, а также значимость стандартизации в этой сфере.

Основные направления в медицинской электронике

Биомедицинская техника: Биомедицинская техника включает в себя разработку и создание медицинских приборов, таких как ЭКГ-аппараты, ультразвуковые сканеры, мониторы пациентов и другие. Эти устройства помогают врачам диагностировать и лечить различные заболевания и проводить сложные операции, в которых также используется биомедицинская

электроника, такая как: оптическая система, оснащенная миниатюрной камерой, световодный жгут, монитор, на котором выводится изображение и т.п.

Медицинская информатика: Медицинская информатика относится к использованию информационных технологий и систем для управления медицинскими данными, электронной медицинской документацией, планирования лечения и других задач. Это позволяет врачам и медицинскому персоналу более эффективно работать и улучшить обслуживание пациентов и сэкономить время, которое затрачивается при ведении документации вручную.

Медицинская радиотехника: Медицинская радиотехника включает в себя применение радиоволн и радиационных технологий в медицине, таких как магнитно-резонансная томография (МРТ), рентгеновские и гамма-лучи, ультразвуковые изображения и другие. Эти методы помогают врачам получать детальные изображения внутренних органов и тканей для диагностики и лечения.

Биомедицинская оптика: Биомедицинская оптика использует световые технологии для исследования и лечения болезней. Например, лазерные технологии применяются в хирургии для точных и малоинвазивных процедур.

Биосенсоры: Биосенсоры - это электронные устройства, которые обнаруживают и измеряют химические или биологические вещества в организме. Они играют важную роль в диагностике и мониторинге заболеваний, таких как диабет или инфекции.

Телемедицина: Телемедицина использует информационные технологии для предоставления медицинских услуг на расстоянии. Это позволяет пациентам получать консультации врачей, дистанционно мониторить свое здоровье и получать неотложную медицинскую помощь.

Таблица 1. Доля мирового рынка медицинских изделий

Страны	Доля мирового рынка медицинских изделий
США	43,5%
Европа	27,3%
Другие	11,3%
Китай	7,2%
Япония	5,6%
Канада	1,9%
Южная Корея	1,7%
Россия	1,5%

Стандартизация медицинской электроники.

Стандартизация в медицинской электронике является важным аспектом, который помогает обеспечить совместимость и безопасность между различными устройствами и системами в здравоохранении. Вот несколько ключевых стандартов, используемых в этой сфере:

Стандарты обмена данными: Стандарты, такие как Health Level 7 (HL7) (Седьмой уровень здоровья): это международный стандарт обмена медицинской информацией. Он определяет набор спецификаций обмена данными и связи, чтобы гарантировать, что данные между различными медицинскими системами могут передаваться и совместно использоваться друг с другом, а также Digital Imaging and Communications in Medicine (DICOM), (цифровая визуализация и связь в медицине): это стандарт передачи и хранения медицинских изображений. Он определяет набор протоколов связи и форматов файлов, позволяющих передавать медицинские изображения и совместно использовать их между различными устройствами и системами определяют форматы и протоколы для обмена медицинскими данными между различными системами и устройствами. Это позволяет эффективно обмениваться информацией между медицинскими учреждениями и снижает риск ошибок при передаче данных.

Стандарты безопасности: Стандарты, такие как Health Insurance Portability and Accountability Act (HIPAA) и General Data Protection Regulation (GDPR), регулируют защиту конфиденциальности и безопасности медицинских данных. Это включает требования к

шифрованию данных, контролю доступа и управлению рисками, связанными с обработкой персональных данных пациентов.

Интероперабельность: Одним из главных аспектов стандартизации в медицинской электронике является обеспечение интероперабельности между различными устройствами и системами. Это означает, что разные производители медицинской электроники должны следовать общим стандартам, чтобы их продукты могли взаимодействовать и обмениваться данными без проблем. Это упрощает интеграцию новых технологий и устройств в существующие системы здравоохранения. Для этого применяется такой стандарт, как IEC 62304: это стандарт программного обеспечения для медицинских устройств. Он определяет требования в процессе разработки программного обеспечения для обеспечения безопасности и надежности программного обеспечения для медицинских устройств.

Обработка больших данных: Стандартизация также играет важную роль в обработке больших объемов медицинских данных. Стандарты и методологии обработки данных позволяют эффективно анализировать и использовать информацию о пациентах для принятия обоснованных медицинских решений и улучшения качества здравоохранения.

Регулирование и нормативные требования: Стандартизация в медицинской электронике также связана с правилами и нормативами, устанавливающими требования к качеству, безопасности и эффективности медицинских устройств и систем. Существует не мало регулирующих органов, которые устанавливают стандарты и требования для регистрации и использования медицинской электроники.

Иновационные технологии в медицинской электронике.

Иновационные технологии в области медицинской электроники играют ключевую роль в трансформации диагностики, лечения и мониторинга состояния здоровья пациентов. Современные разработки открывают новые возможности, способствуя повышению качества медицинских услуг и улучшению взаимодействия между пациентами и медицинским персоналом.

Одним из значительных направлений являются носимые устройства, такие как фитнес-трекеры и смарт-часы, которые позволяют пациентам осуществлять мониторинг важных показателей здоровья, включая сердечный ритм и уровень кислорода в крови. Эти устройства способствуют активному вовлечению пациентов в процесс управления своим здоровьем.

Телеметрия представляет собой еще одно важное направление, обеспечивающее передачу данных о состоянии пациентов в реальном времени. Это особенно актуально для лиц с хроническими заболеваниями и послеоперационными пациентами, поскольку позволяет медицинскому персоналу оперативно реагировать на изменения в состоянии здоровья.

Интеллектуальные имплантаты, такие как кардиостимуляторы и нейростимуляторы, способны не только контролировать физиологические процессы, но и передавать информацию о состоянии пациента, что значительно увеличивает уровень контроля за его здоровьем.

Портативные диагностические приборы, такие как глюкометры и анализаторы крови, обеспечивают возможность проведения анализов в домашних условиях, упрощая процесс мониторинга и позволяя пациентам более эффективно управлять своим состоянием.

Использование искусственного интеллекта для анализа данных, полученных с медицинских устройств, значительно повышает точность диагностики и предсказания возможных осложнений, что в свою очередь улучшает результаты лечения.

Технологии виртуальной и дополненной реальности находят применение в обучении медицинского персонала, планировании операций и реабилитации пациентов, открывая новые горизонты для образования и практического применения.

Системы управления данными, основанные на блокчейн и облачных технологиях, обеспечивают безопасное хранение и обмен медицинской информацией, что способствует повышению уровня защиты данных пациентов.

Наконец, интерактивные медицинские приложения предоставляют пациентам возможность отслеживать симптомы, получать рекомендации и управлять своим лечением, что усиливает их активное участие в процессе восстановления.

Таким образом, иновационные технологии в медицинской электронике не только улучшают качество оказания медицинских услуг, но и способствуют более эффективному взаимодействию между пациентами и медицинским персоналом, что в конечном итоге повышает общую эффективность системы здравоохранения.



Рис 1. Технологии медицинской электроники

Заключение

В заключение можно сказать, что медицинская электроника играет ключевую роль в здравоохранении, значительно способствуя его развитию. Проектирование и производство медицинских электронных устройств — это сложные процессы, требующие баланса между быстротой выхода на рынок и необходимостью обеспечения точности, надежности и безопасности.

Поскольку медицинская электроника часто создается для спасения жизней, важность внимательного подхода к деталям проявляется как на этапе разработки, так и в производстве. Производители сталкиваются со строгими нормативными требованиями, необходимостью использования качественных компонентов и вызовами, связанными с быстро меняющимися технологиями. Кроме того, стремление сделать устройства более доступными без ущерба для качества и функциональности усложняет производственный процесс.

С развитием медицинской отрасли, вызванным технологическими достижениями и повышенным вниманием к пациент-ориентированному подходу, значение медицинской электроники будет только возрастать. Успех производителей в внедрении инноваций и способности быстро адаптироваться к новым условиям окажется решающим для формирования будущего здравоохранения. Они не только будут способствовать улучшению медицинского обслуживания, но и сыграют важную роль в повышении качества лечения и общей эффективности здравоохранительных систем по всему миру.

Список литературы

1. Аполлонский, С.М. Теоретические основы электротехники. Электромагное поле / С.М. Аполлонский. - СПб.: Лань, 2012. - 592 с.
2. Башарин, С.А. Теоретические основы электротехники: Учебник / С.А. Башарин. - М.: Академия, 2018. - 192 с.
3. Бычков, Ю.А. Основы теоретической электротехники: Учебное пособие / Ю.А. Бычков. - СПб.: Лань, 2009. - 592 с.
4. Бакалов, В. П. Медицинская электроника: основы биотелеметрии : учебное пособие для вузов / В. П. Бакалов. — 2-е изд., испр. и доп. — Москва : Издательство Юрайт, 2023. — 326 с.
5. Бакалов, В. П. Медицинская электроника: основы биотелеметрии : учебное пособие для вузов / В. П. Бакалов. — 2-е изд., испр. и доп. — Москва : Издательство Юрайт, 2024. — 326 с.
6. С.В. Пономарев — Метрология, стандартизация, сертификация : учебное пособие / А.Г. Сергеев, М.В. Латышев, В.В. Терегеря. – М. : Логос, 2001. – 536 с
7. В.Ю.Шишмарёв – Метрология, стандартизация, сертификация и техническое регулирование: учебное пособие, В.Ю.Шишмарёв – 6-ое изд. испр.- М.: Издательский центр «Академия», 2016 - 320с.
8. Формед [Электронный ресурс] ссылка доступа: [//https://formed.ru/glossary/apparaty_ekg_raznovidnosti_i_primenenie/](https://formed.ru/glossary/apparaty_ekg_raznovidnosti_i_primenenie/)
9. Highlear Electronic [Электронный ресурс] Комплексное руководство по медицинской электронике. Ссылка доступа: <https://hilelectronic.com/ru/medical-electronics/>

УДК 621.382.822

ФОРМИРОВАНИЕ НАНОСТРУКТУР НА ОСНОВЕ АНОДНОГО ОКСИДА АЛЮМИНИЯ И УГЛЕРОДНЫХ НАНОТРУБОК ДЛЯ УСТРОЙСТВ НАНОДИАГНОСТИКИ

А.И. ВОРОБЬЕВА, Е.А. УТКИНА

¹*Белорусский государственный университет информатики и радиоэлектроники
(г. Минск, Республика Беларусь)*

Аннотация. В данном исследовании рассматриваются возможности создания интегральных емкостных преобразователей (импедансных биосенсоров), в состав которых включены функциональные элементы на основе массивов наночастиц (НЧ) никеля и многослойных углеродных нанотрубок (МУНТ), встроенных в пористый анодный оксид алюминия (ПАОА) на стандартной кремниевой подложке. МУНТ формировали каталитическим химическим осаждением из парогазовой фазы (chemical vapor deposition – CVD-синтез), НЧ катализатора размером 30 ± 5 нм для осаждения МУНТ – электрохимическим осаждением Ni в поры ПАОА. На основании обобщения полученных результатов и оптимизации режимов основных технологических операций, разработан метод изготовления импедансных биосенсоров, совмещенный с технологией ИС. Полученные наноструктуры могут быть использованы при изготовлении УНТ-электродов импедансных биосенсоров и других наноэлектронных устройств с высокой плотностью упаковки элементов.

Ключевые слова: пористый оксид алюминия, углеродные нанотрубки, наноразмерные частицы, электрохимические процессы, импедансные биосенсоры

FORMATION OF NANOSTRUCTURES BASED ON ANODE ALUMINIUM OXIDE AND CARBON NANOTUBES FOR NANODIAGNOSTICS DEVICES

ALLA I. VOROBYOVA, ELENA A. OUTKINA

Belarusian State University of Informatics and Radioelectronics, (Minsk, Belarus)

Abstract. В данном This study examines the possibilities of creating integral capacitive converters (impedance biosensors), which include functional elements based on nickel nanoparticle (NP) arrays and multilayer carbon nanotubes (MCNT) embedded in porous anode alumina (PAOA) on a standard silicon substrate. MUNT was formed by catalytic chemical vapor deposition (CVD synthesis), LF catalyst with a size of 30 ± 5 nm for MCNT deposition - electrochemical Ni deposition into PAOA pores. Based on the generalization of the obtained results and optimization of the modes of the main technological operations, a method for manufacturing impedance biosensors was developed, combined with the IS technology. The obtained nanostructures can be used in making CNT electrodes of impedance biosensors and other nanoelectronic devices with high element packing density.

Keywords: porous aluminium oxide, carbon nanotubes, nanosized particles, electrochemical processes, impedance biosensors

Введение

Как и во многих других прикладных областях анализа (в том числе нанодиагностики), определяющим фактором развития устройств нанодиагностики стал платежеспособный потребитель – медицина, испытывавшая острый дефицит в простых и надежных средствах биохимического контроля. Современная биомедицина объединяет три направления исследований в этой области: биосенсоры, нанодиагностика и терапия.

Медицинские биосенсоры применяют для измерения содержания глюкозы в крови [1], для определения мочевины, молочной и мочевой кислоты, глицеридов жирных кислот, аминокислот, фосфатидилхолинов и ряда других важных метаболитов [2]. Биосенсоры находят также применение в микробиологической промышленности, эколого-аналитическом контроле, биотехнологии, контроле пищевых продуктов, в решении теоретических и прикладных задач химии белков и нуклеиновых кислот и т.д. [3]. Основным элементом импедансного сенсора

(независимо от способа преобразования и регистрации сигнала) является слой вещества, способный в условиях измерений при контакте с исследуемой средой обратимо сорбировать биологические пробы. Очевидно, что чем больше величина удельной поверхности материала, на основе которого формируется пленка, тем выше эффективность сенсора. Оптимальное техническое решение – использование пористых и мезопористых материалов. Формирование верхнего электрода сенсора в виде нанопористой структуры с заданным размером пор позволяет достичь необходимого уровня селективности и исключить при этом адсорбцию мешающих компонентов на чувствительном слое [4].

Предлагаются различные варианты емкостных биосенсоров фарадеевского и нефарадеевского типа [5], которые отличаются способами миниатюризации конструкции. В настоящее время планарные электроды таких датчиков изготавливают из золота, платины или графита фотолитографическими методами [5]. Современные электрохимические биосенсорные платформы состоят из функционализированных металлических или углеродных электродов. Замена каждого металлического или углеродного электрода массивом нанонитей (НН), нанотрубок (НТ, УНТ), нановолокон (НВ) или углеродных нанотрубок (УНТ) на электроде той же площади позволит увеличить чувствительность и вероятность регистрации [6].

В данном исследовании рассматриваются возможности применения композитного материала на основе массивов магнитных наночастиц (МНЧ) – углеродных нанотрубок (УНТ) – ПАОА (темплата) в биосенсорах емкостного типа (импедансных биосенсорах).

Методика проведения эксперимента

Экспериментальные образцы представляли собой двухслойные тонкопленочные композиции алюминия и титана, осажденные на стандартные Si/SiO₂ (76 мм) подложки. Поликристаллические пленки Al толщиной 3000 нм и Ti толщиной 600 нм наносились электронно-лучевым распылением в едином вакуумном цикле в установке 01НЭ-7-004 (Оратория-9). Вакуум при распылении Ti составлял $1,3 \cdot 10^{-3}$ Па, температура подложки – 523 К, скорость осаждения – $(1,0 \pm 0,2)$ нм/с. На охлажденные до 423 К подложки в вакууме $1,4 \cdot 10^{-4}$ Па осаждали Al из мишени А-995 (0,005% примесей) со скоростью $(5,0 \pm 0,5)$ нм/с. Толщину и скорость осаждения пленок контролировали кварцевым датчиком. Тонкие пленки пористого оксида алюминия ПАОА с упорядоченной структурой изготавливали методом двухстадийного анодирования Al в 4%-ном водном растворе щавелевой кислоты в потенциостатическом режиме при напряжении 40 В и температуре электролита 14°C. Барьерный слой на дне пор ПАОА удаляли непосредственно перед электрохимическим (ЭХ) осаждением Ni катодным растворением в электролите анодирования при напряжении (-3,0) В в течение 3 мин. Для осаждения никеля в ПАОА использовали электролит следующего состава (в г/л): NiSO₄·7H₂O (140); NiCl₂·6H₂O (30); H₃BO₃ (25); Na₂SO₄ (60). Осаждение проводили в двухэлектродной ячейке при постоянном потенциале (-1,6) В в течение (2,5 – 5,0) мин. В качестве вспомогательного электрода использовали графитовую пластину. Управление параметрами процессов анодирования и осаждения осуществляли с использованием потенциостата П-5827.

Синтез УНТ осуществляли инжекционным CVD методом путём высокотемпературного пиролиза жидкого углеводорода - ксилола [C₈H₁₀] в смеси с летучим источником катализатора - ферроценом [Fe(C₅H₅)₂]. Образцы из ПАОА с кластерами Ni на дне пор помещали в трубчатый реактор из кварца специально созданного для этих целей оборудования. Концентрация ферроцена составляла 0,1 %, скорость инъекции реакционной смеси в зону реактора – 1 мл·мин⁻¹, температура – 850°C, скорость потока аргона – 100 см³·мин⁻¹, скорость потока NH₃ – 10 см³/мин. Время синтеза варьировали от 30 до 90 секунд, а скорость охлаждения определялась процессом естественного остывания нагревательного устройства.

Топографию поверхности и поперечных сколов образцов, химический состав и структуру полученного материала исследовали с помощью сканирующей электронной микроскопии (СЭМ – Philips XL 30 S FEG и Hitachi S-4800) и атомно-силовой микроскопии (АСМ) – Nanotop NT-206 («Микротестмашины», Беларусь).

Результаты и их обсуждение

В данной работе мы используем конструкцию чувствительного элемента (ЧЭ) биосенсора на основе конфигурируемых электродов со встречно-гребенчатой (встречно-штыревой) структурой, рис. 1. Биочувствительный слой располагается над электродами (на поверхности электродов) и представляет собой пленку из массива УНТ в пористом оксиде алюминия. Способ распознавания биоактивных примесей заключается в адсорбции определяемого компонента на поверхности биочувствительного слоя и последующего формирования и измерения аналитического сигнала сенсора. В качестве аналитического сигнала использовали емкость гребенчатого конденсатора. Конфигурируемые электроды используются для увеличения удельного значения емкости конденсаторной структуры на единицу площади.

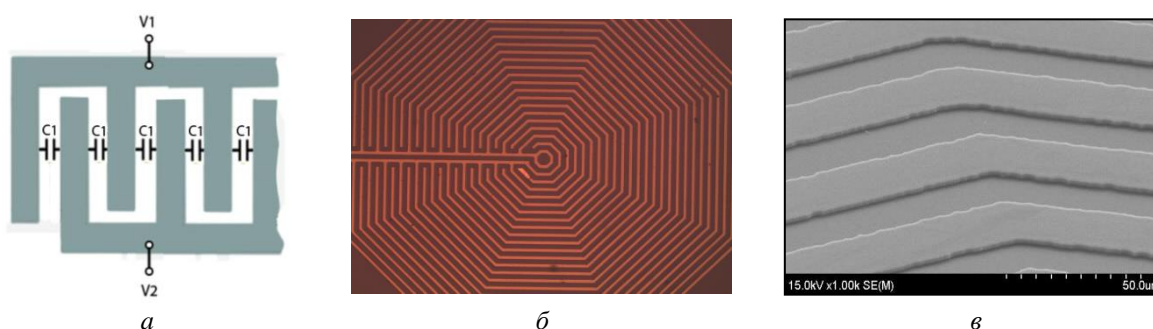


Рис. 1. Конструкция чувствительного элемента биосенсора с конфигурируемыми спиральными электродами: *а* – схема конденсатора с классической «гребенчатой» конструкцией электродов, *б* – оптическая фотография фотошаблона для изготовления ЧЭ импедансного биосенсора; *в* – СЭМ изображение фрагмента поверхности ЧЭ в виде эквидистантной спирали Архимеда после операции изготовления электродов локальным ЭХ анодированием двухслойной композиции Ti-Al

Были исследованы различные варианты осаждения НЧ, чтобы определить оптимальные параметры локального формирования нанокластеров Ni на дне пор оксида. Степень дисперсности каталитического слоя в данном случае определяется не только толщиной пленки осажденного металла, h_{Ni} равна примерно 30 ± 5 нм, но и свойствами пористого оксида. Наличие стенок пор препятствует спеканию частиц металла, окруженных оксидом, в процессе высокотемпературного отжига. Из сплошной пленки Ni, такой же толщины, осажденной на планарную поверхность, при температуре синтеза УНТ образуются более крупные частицы размером более 100 нм. Результаты осаждения Ni в ПАОА представлены на рис. 2.

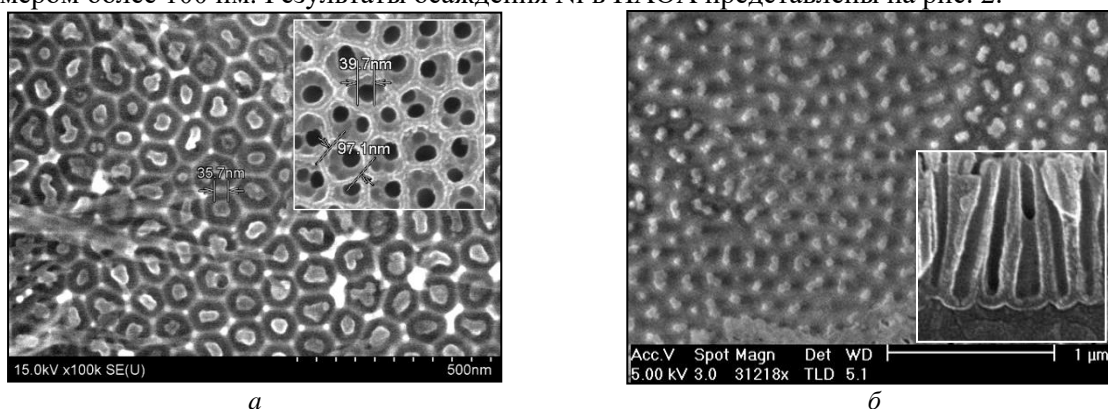


Рис. 2. СЭМ изображения поверхности тестовых образцов: *а* – после частичного удаления оксида; *б* – после полного удаления оксида. На вставках показаны фрагменты поверхности и поперечного сечения ПАОА до осаждения никеля

Для создания условий локализованного роста МНЧ-МУНТ из проводящего слоя (Ti) формируется рисунок электродов, методом обычной литографии, рис. 1б. При последующем CVD осаждении МУНТ в поры ПАОА, рост трубок будет локальным, только на проводящих электродах. В результате сформировалась композитная структура, состоящая из массива УНТ,

встроенных в ПАОА на контактных электродах из Ti. Последующий термический отжиг в присутствии переходного металла (Ni) при температуре 350⁰C в течение 60 мин способствовал улучшению электрического контакта между трубками и металлическим электродом (Ti). Результаты представлены на рис. 3, 4.

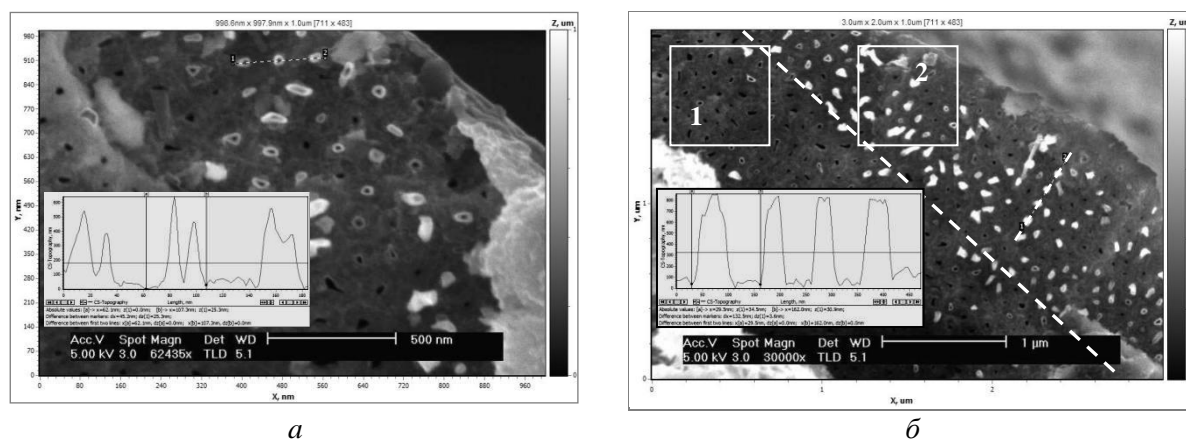


Рис. 3. СЭМ изображения поверхности и характер топографии поверхности (АСМ профили) тестовых образцов, полученных CVD синтезом при 870⁰C в 0,1 %-ной смеси ферроцен-ксилола: *а* – в течение 40 сек., *б* – в течение 60 сек.

На рис. 3 условная граница (штриховая линия) разделяет две области образца с разной степенью заполнения матрицы углеродными трубками. Области отличаются отсутствием (участок слева) и наличием (участок справа) стационарного катализатора (никеля). Кластеры стационарного катализатора были получены электрохимическим осаждением никеля в режиме постоянного потенциала после утонения барьерного слоя на дне пор ПАОА. Железо рассматривается как летучий катализатор, который также может проникать в поры и служить источником зарождения УНТ.

В таблице 1 приведены параметры массива углеродных трубок, встроенных в ПАОА и степень заполнения оксида трубками на разных участках образца.

Таблица 1. Параметры массива углеродных трубок, встроенных в ПАОА

Параметр	Участок (катализатор)	
	1 (Fe)	2 (Ni+Fe)
Степень заполнения пор, %	10±5	75±5
Внешний диаметр трубок d, нм	45±5	45±5
Внутренний диаметр трубок d ₀ , нм	25±5	20±5
Расстояние между трубками D, нм	110±5	100±10
Аспектное отношение	15–30	15–30

Анализ областей с Ni катализатором и без него, показывает, что присутствие Ni значительно увеличивает степень заполнения матрицы углеродными нанотрубками.

На участках с кластерами никеля на дне пор углеродные трубки формируются при термическом разложении молекул ксилола C₆H₄(CH₃)₂ и ферроцена (C₅H₅)₂Fe на внутренней поверхности пор оксида алюминия, нагретой до температуры 850-875⁰C. При этой температуре достигающие поверхности молекулы углеводородов распадаются до атомов, водород десорбируется, а атомы углерода мигрируют вдоль поверхности и объединяются в растущие графитовые островки, постепенно закрывающие внутреннюю поверхность поры.

Если концентрация ферроцена (летучего катализатора) увеличивается до 1,0% и выше, на поверхности ПАОА образуется слой неупорядоченных, запутанных УНТ, имеющих меньшие диаметры, чем трубки, сформированные в порах ПАОА, вставка на рис. 4. Этот слой можно удалить с помощью плазмы в парах воды, или травлением в аргоновой плазме. Полученные в результате нанотрубки (внутри пор) остаются плотно упакованными и имеют открытые концы. Обработанные в плазме концы трубок содержат в большом количестве гидроксильные и карбоксильные группы, которые приводят концы трубок в состояние пригодное для иммобилизации ферментов и антител при распознавании и обнаружении биообъектов [6].

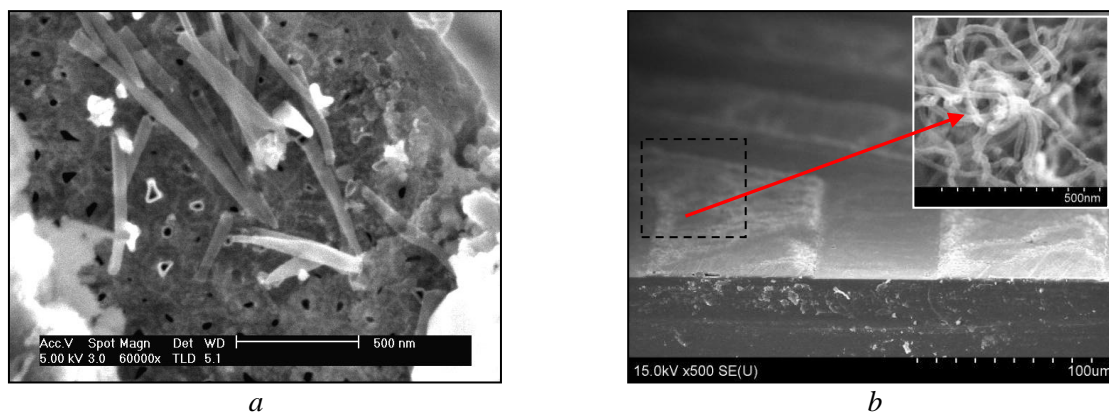


Рис. 4. СЭМ изображения поверхности тестовых образцов, полученных CVD синтезом при 870⁰С: *a* – в 0,1 %-ной смеси ферроцен-ксилола; *б* – в 1,0%-ной смеси ферроцен-ксилола.

Механическим полированием образцов также можно открывать концы МУНТ. Полированный электрод ПАОА-МУНТ можно электрохимически активировать, чтобы воздействовать на поверхностные COOH - группы для иммобилизации антител. В работе [7] показано, что механически полированные образцы такого типа прочны и их можно воспроизводимо обновлять после обработки в плазме O₂ полированием много раз.

Углеродная оболочка в чувствительном элементе датчика защищает поверхность пор и электроды от разрушения (окисления) и взаимодействия с вносимыми реагентами, сохраняет его первоначальные свойства, обеспечивает биосовместимость и стабильность во многих органических и неорганических средах.

Заключение

В данной работе в качестве нового класса сенсорных элементов микро-электрохимических систем рассматриваются интегральные емкостные преобразователи, в состав которых включены функциональные элементы на основе массивов МУНТ. На основании обобщения полученных результатов и оптимизации режимов основных технологических операций изготовления импедансных сенсоров разработаны методы их изготовления, совмещенные с технологией ИС. В изготовленных тестовых структурах достигается интеграция МУНТ в вертикально выстроенный массив электродов достаточно больших размеров с помощью CVD и стандартных технологических операций: вакуумное осаждение тонких пленок металлов, фотолитография, химическая полировка (для формирования плоской поверхности и образования контакта с отдельными фрагментами выступающих нанотрубок), электрохимическое осаждение.

Список литературы

1. Yadav A.K., Verma D., Sajwan R.K., et al. (2022) Nanomaterial-based electrochemical nanodiagnostics for human and gut metabolites diagnostics: Recent advances and challenges. *Biosens Bioelectron.* 12:733. DOI: 10.3390/bios12090733
2. Abbott J., Ye T., Ham D., Park H. (2018) Optimizing nanoelectrode arrays for scalable intracellular electrophysiology. *Accout. Chem. Res.* 51(3):600-608. doi.org/10.1021/acs.accounts.7b00519
3. Bonanni A., Valle. M (2010) Use of Nanomaterials for impedimetric DNA sensors: A Review. *Anal. Chim. Acta* 678(1):7–17. DOI: 10.1016/j.aca.2010.08.022
4. Blair E.O., Corrigan D.K. (2019) A review of microfabricated electrochemical biosensors for DNA detection. *Biosens Bioelectron.* 134:57-67. doi.org/10.1016/j.bios.2019.03.055
5. Wu S., Ye W.W., Yang M., et al. (2015) Impedance sensing of DNA immobilization and hybridization by microfabricated alumina nanopore membranes. *Sens. Actuators, B Chem.* 216:105-112. doi.org/10.1016/j.snb.2015.03.094
6. Chen R., Li Y., Huo K., Chu P.K. (2013) Microelectrode arrays based on carbon nanomaterials: Emerging electrochemical sensors for biological and environmental applications. *RSC Adv.* 3(41):18698. doi.org/10.1039/C3RA43033B

УДК 376.1

ОСНОВЫ ПРОЕКТИРОВАНИЯ АДАПТИВНОЙ КОРРЕКЦИОННО-РАЗВИВАЮЩЕЙ ОБРАЗОВАТЕЛЬНОЙ СРЕДЫ ДЛЯ ЛИЦ С АУТИЗМОМ

¹А.Г. ДАВЫДОВСКИЙ, ²Д.В. ЛИХАЧЕВСКИЙ

¹Государственное учреждение образования «Минский городской институт развития образования»,
(Минск, Беларусь)

²Учреждение образования «Белорусский государственный университет
информатики и радиоэлектроники» (Минск, Беларусь)

Аннотация. Разработаны концептуальные основы проектирования адаптивной коррекционно-развивающей образовательной среды для поддержки и сопровождения социализации, обучения, воспитания и развития, а также профессиональной ориентации лиц с расстройствами аутистического спектра. Предложенная адаптивная коррекционно-развивающая образовательная среда обеспечивает учет особых образовательных потребностей лиц с аутизмом и конкретных условий образовательной среды учреждения образования. Разработан минимальный вариант алгоритма проектирования адаптивной коррекционно-развивающей образовательной среды, минимальный алгоритм формирования и реализации индивидуальной образовательной программы для лица с аутизмом, а также представлен базовый вариант программной реализации адаптивной коррекционно-развивающей образовательной среды для лиц с расстройствами аутистического спектра.

Ключевые слова: адаптивная коррекционно-развивающая образовательная среда, алгоритмы, индивидуально-ориентированная образовательная программа, программная реализация, проектирование, расстройства аутистического спектра

Благодарность. Авторы выражают искреннюю благодарность академику Белорусской инженерной академии, кандидату физико-математических наук, доценту Сергею Константиновичу Дику за поддержку и критический анализ идей, высказанных в статье.

THE FUNDAMENTALS OF DESIGNING AN ADAPTIVE CORRECTIONAL AND DEVELOPMENTAL EDUCATIONAL ENVIRONMENT FOR PEOPLE WITH AUTISM

¹ANATOLY G. DAVIDOVSKY, ²DMITRY V. LIKHACHEVSKY

¹State Educational Institution "Minsk City Institute of Education Development", (Minsk, Belarus)

²Educational Institution «Belarusian State University of Informatics and Radioelectronics» (Minsk, Belarus)

Abstract. The conceptual foundations for designing an adaptive correctional and developmental educational environment to support and accompany socialization, education, upbringing and development, as well as professional orientation of persons with autism spectrum disorders have been developed. The proposed adaptive correctional and developmental educational environment ensures that the special educational needs of people with autism and the specific conditions of the educational environment of the educational institution are taken into account. A minimum version of the algorithm for designing an adaptive correctional and developmental educational environment has been developed, a minimum algorithm for the formation and implementation of an individual educational program for a person with autism, and a basic version of the software implementation of an adaptive correctional and developmental educational environment for people with autism spectrum disorders is presented.

Keywords: adaptive correctional and developmental educational environment, algorithms, individually oriented educational program, software implementation, design, autism spectrum disorders.

Gratitude. The authors express their sincere gratitude to Academician of the Belarusian Engineering Academy, Candidate of Physical and Mathematical Sciences, Associate Professor Sergey K. Dzik for the support and critical analysis of the ideas expressed in the article.

Введение

Количество детей с особенностями психофизического развития (ОПФР) имеет тенденцию ежегодного увеличения. В 2022 году количество детей с ОПФР составляло 179,4 тыс. человек. В 2023 г. детей с ОПФР увеличилось на 4 тыс. человек по сравнению с 2022 г. и составило 183,2 тыс. детей. Из общего количества более 16 тыс. детей с ОПФР имеют инвалидность [1]. В Республике Беларусь активно развивается практика инклюзивного образования для детей с ОПФР. Согласно Концепции инклюзивного образования лиц с ОПФР в Республике Беларусь, инклюзивное образование – это обучение и воспитание, при котором обеспечивается наиболее полное включение в совместный образовательный процесс обучающихся с особыми образовательными потребностями (ООП), в том числе лиц с особенностями психофизического развития посредством создания условий с учётом индивидуальных потребностей [2]. Инклюзивное образование предполагает обучение детей с ОПФР не в специализированном, а в обычном учебном заведении [3]. В этой связи актуальны проблемы проектирования, разработки и внедрения в практику инклюзивного образования технологии формирования адаптивной коррекционно-развивающей образовательной среды (АКРОС), которая могла бы способствовать социальной компенсации дефекта, преодолению отклонений в поведении, повышению уровня обученности и социализированности [4, 5].

Целью работы является анализ проблем проектирования адаптивной коррекционно-развивающей образовательной среды (АКРОС) для обучения, воспитания, развития и профессиональной ориентации лиц с расстройствами аутистического спектра (РАС).

Проблемы проектирования адаптивной коррекционно-развивающей образовательной среды

Проектирование АКРОС для обучения, воспитания, развития и профессиональной ориентации лиц с РАС требует решения ряда следующих проблем [6].

1) Обучающиеся с РАС лучше усваивают информацию, представленную в невербальной форме, поэтому целесообразно использовать поддерживающие коммуникации на основе коммуникационной системы обмена изображениями Pictures Exchange Communication System (PECS).

2) Учет индивидуальных образовательных потребностей детей и подростков всех четырех групп РАС на основе создания индивидуальных образовательных программ.

3) Создание физических, информационных, технических, социальных, организационных и управленческих условий, использование образовательных технологий при моделировании, проектировании и управлении АКРОС.

4) Ресурсная недостаточность, включая недостаток подготовленных педагогов, отсутствие информационно-аналитического и организационно-технического обеспечения их деятельности по созданию и поддержанию адаптивных образовательных сред.

5) Разработка индивидуальных планов обучения, учитывающих особенности и образовательные потребности ребенка с РАС во взаимодействии с его родителями (законными представителями несовершеннолетнего), членами семьи и т.д.

6) Структурирование (зонирование) образовательного пространства с четкими правилами и предсказуемым расписанием занятий и отдыха детей с РАС [5]. Структурирование образовательного пространства может включать классы с меньшим количеством обучающихся, специальные сенсорные комнаты для отдыха, рабочие станции с четко определенными задачами, использование визуальных расписаний и таймеров для управления временем обучающихся. Целесообразно, чтобы образовательное пространство включало такие зоны, как учебная, общения («круг»), игровая, индивидуальной работы, рекреационная, мытья рук, стенда дежурств и расписаний.

В этой связи предложена концептуальная модель АКРОС для детей и подростков с РАС, обеспечивающая процессы обучения, воспитания, развития, стимуляции, внешней и внутренней мотивации на основе средств поддерживающей коммуникации включающей как невербальные коммуникативные средства (предметы, фотографии, пиктограммы, записи, жесты), так и тактильно воспринимаемые символы, коммуникативные карточки, вспомогательные коммуникативные устройства.

К базовым компонентам АКРОС относятся:

- 1) обучающийся (student – S) с индивидуальными особенностями, ООП, уровнем социализированности и обученности;
- 2) преподаватель (teacher – T), адаптирующий подходы и методы обучения с учетом ООП;
- 3) содержание образования (content of education – CE), включая учебные материалы и ресурсы, доступные для обучающихся с ООП;
- 4) методы обучения (teaching methods – TM), позволяющие учитывать ООП, различия в способностях и стилях обучения;
- 5) средства коммуникаций и обратной связи (means of communication and feedback – MCF);
- 6) технологические ресурсы (technological resources – TR) – технологические инструменты и платформы, поддерживающие процесс инклюзивного образования;
- 7) искусственный интеллект (artificial intelligence – AI) – технологические инструменты для распознавания речи, поддержки принятия педагогических решений, понимания естественного языка, распознавания графических и видеоизображений.
8. Контрольно-оценочные средства (control and evaluation tools – CET) для мониторинга и оценки результативности процесса инклюзивного образования.
9. Социальная среда (social environment – SE), обеспечивающая взаимодействие между обучающимися, их сотрудничество и поддержка со стороны сообществ, как в учебных учреждениях, так и вне их.

В целом, кортежная модель АКРОС (adaptive corrective-developmental education environmental – ACDEE) включает все ее базовые компоненты:

$$ACDEE = \langle S, T, CE, TM, MCF, TR, AI, CET, SE \rangle. \quad (1)$$

Решение задач цифровой трансформации инклюзивного образования требует использования технологий AI на основе рекуррентных нейронных сетей (recurrent neural networks – RNN), позволяющих обрабатывать последовательности больших данных о состоянии субъектов процесса инклюзивного образования и компонентов АКРОС. RNN обладают памятью и способны учитывать контекст и предшествующие состояния процессов обработки больших данных. В АКРОС могут быть использованы RNN с долгосрочной памятью, двунаправленные RNN и многослойные RNN, в которых последовательно организованные слои используются для улучшения представления данных о процессе инклюзивного образования, а также для анализа и прогнозирования временных рядов данных об академической успеваемости обучающихся и состоянии компонентов АКРОС, генерация музыкальных композиций, распознавание выражения лиц обучающихся с помощью компьютерного зрения в сочетании с нейронными сетями других архитектур для анализа последовательностей изображений и видео [8]. Для диагностики РАС могут быть использованы предварительно обученные модели свёрточных нейронных сетей (convolutional neural networks) – MobileNet, Xception, EfficientNetB0, EfficientNetB1 и EfficientNetB2 в качестве экстракторов признаков аутизма [9].

Базовый алгоритм проектирования адаптивной коррекционно-развивающей образовательной среды для лиц с аутизмом

Комплекс мероприятий по проектированию и реализации АКРОС включает следующие этапы:

- диагностика и анализ личности ребенка (комплексная диагностическая оценка ребенка с РАС; SWOT-анализ личности ребенка для выяснения и детализации, сильных и слабых сторон, возможностей и угроз развития личности ребенка; анализ ООП ребенка совместно с родителями и специалистами – педагогами, психологами, логопедами, дефектологами);
- формирование индивидуально-ориентированной программы обучения, воспитания и развития, адаптированной под способности, интересы и потребности ребенка);
- формирование группы специалистов (педагогов, психологов, логопедов, дефектологов и др.) для сопровождения индивидуально-ориентированной образовательной программы;
- формирование и зонирование образовательного пространства (создание комфортной, безопасной и сенсорной среды с учетом ООП; сенсорных потребностей с использованием мягких цветов, минимизация шумов);

- зонирование образовательного пространства для различных видов деятельности (для учебы, тихих занятий, активной игры, отдыха и индивидуальной работы);
- интеграция технологий в образовательное пространство (визуальные расписания, приложения для развития речи, тактильные и визуальные адаптивные средства для поддержки процесса образовательного образования);
- выбор методов и стратегий обучения (использование визуальных подсказок; PECS; методов поведенческой терапии Applied Behavior Analysis для стимуляции позитивного поведения; игротехники);
- включение родителей (законных представителей) обучающихся в процесс инклюзивного образования (встречи, консультации, обмен опытом, развитие компетенций и навыков);
- мониторинг и коррекция индивидуально-ориентированных образовательных программ;
- социальная интеграция лиц с РАС (повышение уровня социализированности);
- рефлексивный SWOT-анализ результатов реализации образовательной программы и образовательного пространства.

На рис. 1 представлен минимальный (упрощенный) вариант алгоритма проектирования АКРОС для лиц с аутизмом, требующий дополнительной глубокой проработки и адаптации применительно к конкретным условиям реализации процесса инклюзивного образования.

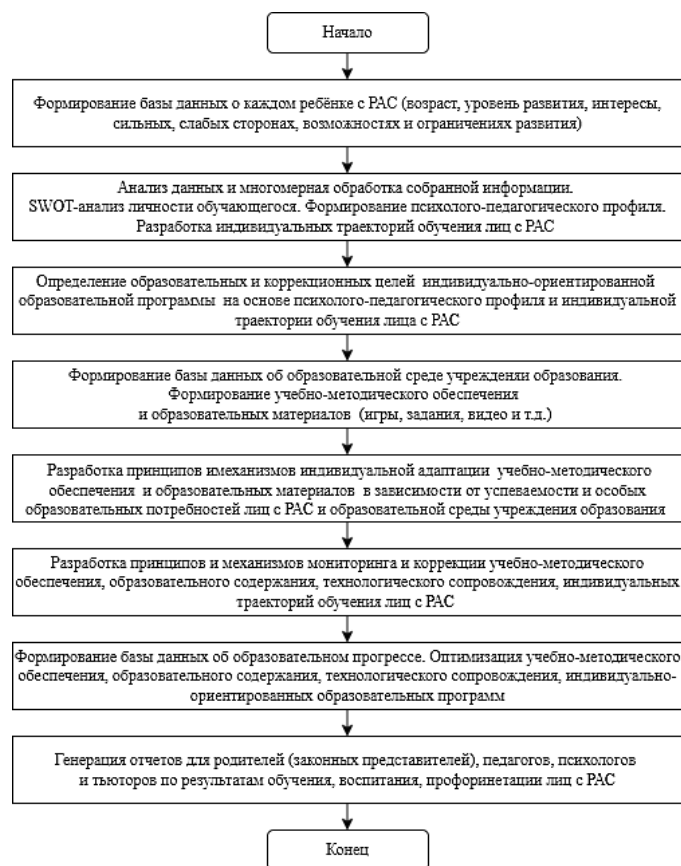


Рис. 1. Минимальный вариант алгоритма проектирования адаптивной коррекционно-развивающей образовательной среды для лиц с аутизмом

На рис. 2 представлен минимальный алгоритм формирования и реализации индивидуальной образовательной программы для лица с аутизмом в условиях АКРОС. Он направлен на диагностику, оценку и развитие обученности и социализированности лица с РАС, предложенный в рамках минимального алгоритма АКРОС.

Алгоритм предполагает комплексную оценку социализированности и обученности лиц с РАС, интеграцию технологий, включая AI, селекцию средств и методов обучения, воспитания и развития лица с РАС, мониторинг результатов социальной интеграции, рефлексивный анализ реализации индивидуальной образовательной программы для лиц с РАС.

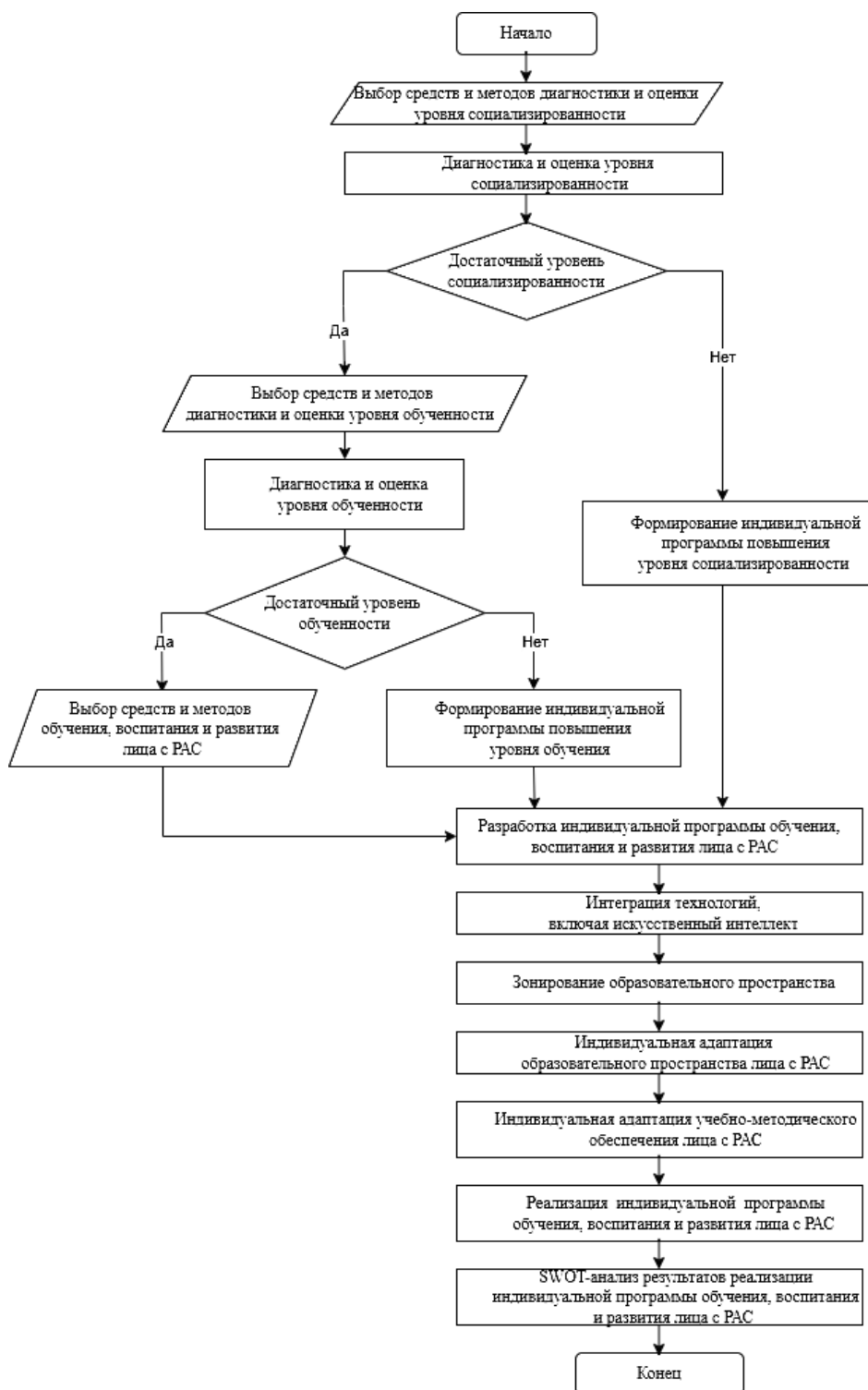


Рис. 2. Минимальный алгоритм формирования и реализации индивидуальной образовательной программы для лица с аутизмом в адаптивной коррекционно-развивающей образовательной среде

Основы программной реализации адаптивной коррекционно-развивающей образовательной среды для лиц с аутизмом

Создание АКРОС требует интеграции различных компонентов, таких как пользовательский интерфейс, база данных, алгоритмы адаптации и анализ данных. Ниже приведен упрощенный пример кода на Python, который демонстрирует основные идеи

программной реализации АКРОС, включая создание простого интерфейса с использованием библиотеки tkinter, а также базовые функции для адаптации образовательного контента в зависимости от уровня знаний пользователя. Ниже представлен фрагмент кода, реализованного на Python, демонстрирующий основные шаги программной реализации АКРОС:

```
#!/usr/bin/env python
import tkinter as tk
from tkinter import messagebox
class EducationalEnvironment:
    def __init__(self, master):
        self.master = master
        self.master.title("Адаптивная образовательная среда")
        self.level = 0 # Уровень знаний пользователя
        self.questions = {
            0: "Какой цвет получается при смешивании красного и синего?",
            1: "Что такое фотосинтез?",
            2: "Объясните закон всемирного тяготения."
        }
        self.answers = {
            0: "Фиолетовый",
            1: "Процесс, с помощью которого растения производят пищу.",
            2: "Все тела притягиваются друг к другу."
        }
        self.label = tk.Label(master, text="Добро пожаловать в образовательную среду!")
        self.label.pack()
        self.question_label = tk.Label(master, text="")
        self.question_label.pack()
        self.answer_entry = tk.Entry(master)
        self.answer_entry.pack()
        self.submit_button = tk.Button(master, text="Отправить", command=self.check_answer)
        self.submit_button.pack()
        self.next_button = tk.Button(master, text="Следующий вопрос",
command=self.next_question)
        self.next_button.pack()
        self.next_question()
    def next_question(self):
        if self.level < len(self.questions):
            self.question_label.config(text=self.questions[self.level])
            self.answer_entry.delete(0, tk.END)
        else:
            messagebox.showinfo("Поздравляем!", "Вы завершили все вопросы!")
            self.master.quit()
    def check_answer(self):
        user_answer = self.answer_entry.get()
        if user_answer.lower() == self.answers[self.level].lower():
            messagebox.showinfo("Правильно!", "Ответ верный!")
            self.level += 1
            self.next_question()
        else:
            messagebox.showerror("Неправильно", "Попробуйте снова!")
if __name__ == "__main__":
    root = tk.Tk()
    app = EducationalEnvironment(root)
    root.mainloop()
```

При создании кода необходим импорт библиотеки tkinter для создания графического интерфейса и модуль random для случайного выбора вопросов. При этом класс EducationalEnvironment – основной класс для управления образовательной средой;

– init: инициализация интерфейса и переменных, создание вопросов и ответов в зависимости от уровня знаний;

- next_question: загружает случайный вопрос в зависимости от уровня знаний пользователя;
- check_answer: проверяет ответ пользователя и обновляет уровень знаний.

Заключение

Таким образом, разработаны концептуальные основы проектирования АКРОС для поддержки и сопровождения социализации, обучения, воспитания и развития, а также профессиональной ориентации лиц с РАС. Предложенная АКРОС обеспечивает учет особых образовательных потребностей лиц с аутизмом и конкретных условий образовательной среды учреждения образования. В рамках концепции АКРОС разработан минимальный вариант алгоритма формирования и реализации индивидуальной образовательной программы для лица с аутизмом. Кроме того, разработан базовый вариант программной реализации базового варианта предложенной АКРОС для лиц с РАС. Возможности расширения алгоритма включают использование баз данных на основе SQLite для хранения диагностических психолого-педагогических тестов и заданий, вопросов и ответов диалоговых кейсов для коррекционных мероприятий с детьми с РАС разного возраста, а также наиболее типичные кейсы для совместной работы с родителями (законными представителями) несовершеннолетних с РАС, использование адаптивных алгоритмов для коррекции учебно-методического обеспечения, применение мультимедийных элементов и интерактивных вариантов PECS.

Список литературы

1. Минобразования: в Беларуси ежегодно увеличивается количество детей с особенностями психофизического развития. – [Электронный ресурс]. – Режим доступа: <https://www.belta.by/society/view/minobrazovaniya-v-belarusi-ezhegodno-uvelichivaetsya-kolichestvo-detej-s-osobennostjami-592621-2023/> – Дата доступа: 15.09.2024.
2. Концепция развития инклюзивного образования лиц с особенностями психофизического развития в Республике Беларусь (приказ Министра образования Республики Беларусь от 22 июля 2015 № 608). – [Электронный ресурс]. – Режим доступа: https://do.academy.edu.by/npa/Docum/07/608-inkluziv_obrazov.pdf – Дата доступа: 15.09.2024.
3. Хруль, О.С. Социально-образовательная интеграция учащихся с особенностями психофизического развития: теория и практика : монография / О.С. Хруль. – Минск : Национальный институт образования, 2020. – 272 с.
4. Жихарева, И.А. Организация образовательной среды для детей с расстройствами аутистического спектра. Средства поддерживающей коммуникации / И.А. Жихарева. – [Электронный ресурс] – Режим доступа: <https://ckroirgome1.schools.by/pages/organizatsiya-obrazovatelnoj-sredy-dlja-detej-s-rasstrojstvami-austicheskogo-spektra-sredstva-podderzhivajuschej-kommunikatsii> – Дата доступа: 21.09.2024.
5. Организация среды при обучении детей с РАС. / О.В. Загуменная, А.В. Васильева, В.В. Кистень, О.М. Петрова // Аутизм и нарушения развития – 2018. – Т. 16, № 1. – С. 13–17. –DOI: 10.17759/autdd.2018160102
6. Давыдовский, А.Г. Проблемы моделирования и проектирования адаптивных коррекционно-развивающих образовательных сред для лиц с расстройствами аутистического спектра / А.Г. Давыдовский // Актуальные направления и перспективы педагогического образования : тезисы докладов IV науч.-практ. конф. с международным участием (10 октября 2024 г., Минск, Беларусь). Под общ. ред. Т. И. Мороз. Минск : МГИРО, 2024. – С. 22-23. Режим доступа: <http://http://mgiro.minsk.edu.by/main.aspx?guid=189423> – Дата доступа: 15.10.2024.
7. Хаустов, А.В. Особые образовательные потребности обучающихся с расстройствами аутистического спектра / А.В. Хаустов // Аутизм и нарушения развития. – 2016. – Т.14, №2. – С. 3–12. DOI:10.17759/autdd.2016140201
8. Аггарвал, Ч. Нейронные сети и глубокое обучение : учебный курс (пер. с англ.) / Ч. Аггарвал. – СПб., 2020. – 720 с.
9. Rahman, K.K.M. Identification of Autism in Children Using Static Facial Features and Deep Neural Networks / K.K.M. Rahman, M.M. Subashini // Brain Sci. – 2022. – Vol.12, №1. – DOI: 10.3390/brainsci12010094.

УДК 534.141

ОЦЕНКА РАЗМЕРА СТРУКТУРНЫХ ЭЛЕМЕНТОВ В УЛЬТРАЗВУКОВОЙ ВИЗУАЛИЗАЦИИ С ИСПОЛЬЗОВАНИЕМ СТАТИСТИЧЕСКОГО АНАЛИЗА

Д.В. ЛЕОНОВ¹, Т.В. ЯКОВЛЕВА^{1,2}, Н.С. КУЛЬБЕРГ³, О.В. ВЛАСОВА¹,
О.В. ОМЕЛЯНСКАЯ¹, Ю.А. ВАСИЛЬЕВ¹

¹Государственное бюджетное учреждение здравоохранения города Москвы
«Научно-практический клинический центр диагностики и телемедицинских технологий
Департамента здравоохранения города Москвы»
(г. Москва, Россия)

²Федеральное государственное учреждение «Федеральный исследовательский центр
«Информатика и управление» Российской академии наук»
(г. Москва, Россия)

³Федеральное государственное бюджетное образовательное учреждение высшего
образования «Московский государственный технический университет имени Н. Э. Баумана
(национальный исследовательский университет)»
(г. Москва, Россия)

Аннотация. В данной статье представлен подход к определению размеров структурных образований в ультразвуковой диагностике, основывающийся на теоретически обоснованном анализе статистических характеристик ультразвукового сигнала, рассеянного на неоднородностях исследуемой среды. В зависимости от соотношения размеров области когерентности и ширины луча, статистическое распределение данных, формирующих ультразвуковое изображение, может варьироваться между распределениями Рэлея и Райса. Настоящая работа направлена на разработку нового метода статистического анализа, который позволит эффективно выделять значительную когерентную составляющую в эхо-сигнале, служа инструментом для оценки размеров неоднородностей среды. Такой подход к анализу ультразвуковых изображений обеспечит возможность количественного оценивания структурных образований, что в свою очередь повысит информативность ультразвуковой диагностики.

Ключевые слова: дифференциация тканей, рассеяние, распределение Рэлея, распределение Райса, диагностическая визуализация, количественный ультразвук.

SIZE OF STRUCTURAL ELEMENTS ESTIMATION IN ULTRASONIC VISUALIZATION USING STATISTICAL ANALYSIS

D.V LEONOV¹, T.V. YAKOVLEVA, N.S. KULBERG, O.V. VLASOVA, O.V. OMELIANSKAYA,
YU. A. VASILEV

¹Research and Practical Clinical Center for Diagnostics and Telemedicine Technologies of the
Moscow Health Care Department
(Moscow, Russia)

²Federal Research Center "Computer Science and Control" of the Russian Academy of Sciences
(Moscow, Russia)

³Federal State Budgetary Educational Institution of Higher Education «Bauman Moscow State
Technical University (National Research University)»
(Moscow, Russia)

Abstract. This paper presents an approach to determining the size of structural formations in ultrasound diagnostics, based on theoretically justified analysis of the statistical characteristics of the ultrasound signal scattered on inhomogeneities of the investigated area. Depending on the ratio between the size of the coherence region and the beam width, the statistical distribution of the data forming the ultrasound image can vary between Rayleigh and Rice distributions. The present work aims to develop a new statistical analysis method that can effectively isolate the significant coherence component in the echo signal, serving as a tool for estimating the

size of inhomogeneities in the area. This approach to the analysis of ultrasound images will provide the possibility of quantitative assessment of structural formations, which in turn will increase the quality of ultrasound diagnostics.

Keywords: tissue differentiation, scattering, Rayleigh distribution, Rice distribution, diagnostic imaging, quantitative ultrasound.

Введение

Методы статистической обработки сигналов сегодня активно применяются в различных научных областях для анализа стохастических данных. Особое внимание уделяется характеру статистического распределения, который влияет на анализируемую информацию. В контексте ультразвуковой визуализации данных, рассматриваемых в данной работе, адекватным является распределение Райса [1]. Это распределение, а также его частный случай – распределение Рэлея – описывают амплитуду изображения в В-mode при однородных отражателях и высокой их плотности, формируя огибающую радиочастотного сигнала [2]. В отсутствие когерентной составляющей сигнал следует распределению Рэлея, тогда как распределение Райса наблюдается при наличии заметной когерентной составляющей [3]. Это распределение активно используется для повышения качества сонограмм, в том числе для снижения шума. Хотя связь рэлеевского и райсовского распределений с рассеянными ультразвуковыми сигналами подтверждена многими исследователями, новое применение заключается в количественной оценке размеров неоднородностей через выявление когерентной составляющей [4, 5]. Таким образом, работа предлагает подход к анализу статистических характеристик эхо-сигналов, позволяющих проводить оценку размеров структурных элементов, формирующих ультразвуковое изображение.

Материалы и методы

Оценивание неоднородностей среды с помощью ультразвуковой визуализации происходило на основе отношения степени когерентности рассеянного ультразвукового сигнала и соотношения геометрических параметров ультразвукового луча и рассеивающих неоднородностей. При уменьшении количества некоррелированных между собой рассеивателей распределение Рэлея переходит в распределение Райса. При обнаружении момента перехода одного распределения в другое можно говорить об оценке размера структурных неоднородностей.

В данном исследовании анализируется когерентность эхо-сигнала, полученного в биологической среде с однородными рассеивателями, что позволяет формировать ультразвуковое диагностическое изображение, соответствующее рэлеевскому и райсовскому статистическим распределениям амплитуды.

Распространение ультразвуковой волны в среде описывается основным уравнением акустики, которое имеет конкретное решение, зависящее от свойств рассеивающей неоднородной среды, в частности, от флуктуаций плотности и сжимаемости; в контексте Фурье-преобразования $P(\vec{R}, \omega)$ пространственно-временной функции давления $p(\vec{R}, t)$, это уравнение записывается следующим образом [6]:

$$\Delta P + \frac{\omega^2}{c^2} P + 2i\gamma(\omega, \vec{R})P = \frac{\omega^2}{c^2} \hat{\beta}(\vec{R})P + \nabla(\hat{\rho}(\vec{R}))\nabla P, \quad (1)$$

где ω – частота, t – время, $c = (\rho_0 \beta_0)^{-1/2}$ – скорость звука в среде с плотностью ρ_0 и сжимаемостью β_0 , $\frac{\rho(\vec{R})}{\rho_0}$ – относительное изменение плотности, $\frac{\beta(\vec{R})}{\beta_0}$ – относительное изменение сжимаемости среды, $\gamma(\omega, \vec{R})$ – преобразование Фурье функции поглощения звука в среде, \vec{R} – пространственная координата рассматриваемой точки среды. Как

правило, выше приведенное уравнение для спектральной плотности функции давления $P(\vec{R}, \omega)$ решается в борновском приближении.

Функция давления, описывающая распространение звука в среде, является комплексной величиной с амплитудой и фазой. В неоднородной среде рассеянный сигнал искажается спекл-шумом, который возникает из суммы многих независимых компонентов от рассеяния звуковых волн точечными отражателями с гауссовской статистикой. Итоговая функция давления и эхо-сигнал представляют собой сумму детерминированной величины и гауссовского шумового компонента, искажающего сигнал.

Рассмотрим комплексную величину функции давления $p(\vec{R}, t)$ в определенной точке пространства \vec{R} и времени t : $p(\vec{R}, t) = p_{\text{Re}} + ip_{\text{Im}}$ как случайную величину. Она состоит из детерминированной компоненты и гауссовского шума с дисперсией σ^2 . Обозначим амплитуду детерминированной части как A . Действительная p_{Re} и мнимая p_{Im} части комплексного сигнала искажаются независимым гауссовским шумом с одинаковыми дисперсиями и ненулевыми математическими ожиданиями. Амплитуда $p = \sqrt{p_{\text{Re}}^2 + p_{\text{Im}}^2}$ результирующего сигнала подчиняется распределению Райса с параметрами A и σ^2 . Функция плотности вероятности этого распределения определяется следующим образом [1]:

$$f(p|A, \sigma^2) = \frac{p}{\sigma^2} \cdot \exp\left(-\frac{p^2 + A^2}{2\sigma^2}\right) \cdot I_0\left(\frac{pA}{\sigma^2}\right). \quad (2)$$

Задача одновременного определения параметров сигнала A и шума σ на основе выборочных измерений $p_i (i=1, 2, \dots, n)$ суммарного сигнала может быть эффективно решена с помощью методов двухпараметрического анализа данных [7-10]. Эти методы служат математическим инструментом для статистического анализа эхо-сигнала при решении проблемы оценки размеров неоднородности среды.

Результаты и их обсуждение

Для количественной оценки размеров рассеивателей при ультразвуковой визуализации в работе использовался математический подход. Он основан на анализе статистического распределения амплитуды эхо-сигнала и выявлении перехода от рэлеевского распределения к райсовскому. Это позволило определить диаметр фокальной перетяжки луча, который соответствует оцениваемому размеру рассеивающих ультразвуков неоднородностей исследуемой биологической среды. Полученная информация о размере рассеивателей важна для наблюдения за изменениями на клеточном уровне. Результаты анализа эхо-сигнала позволяют определить степень когерентности, где одна составляющая подчиняется Рэлеевскому распределению, а другая – Райсовскому. Анализ райсовских данных применим для решения задачи, так как возможно рассчитать составляющие сигнала и шума, исходя из конкретных измерений без дополнительных предположений.

Заключение

В работе представлена концепция, основанная на статистическом анализе эхо-сигнала, для определения размеров структурных образований при ультразвуковой визуализации. Разработанный математический метод демонстрирует свою эффективность в количественной ультразвуковой диагностике, что подтверждено экспериментальными результатами. Ключевым аспектом является переход распределения эхо-сигнала от Рэлеевского к Райсовскому, который связан с изменениями ширины луча. Исследования с использованием компьютерного моделирования подтвердили гипотезу о зависимости характера статистического распределения от размеров сканирующего луча и неоднородностей. Таким образом, предложенный метод может значительно улучшить задачи количественной ультразвуковой диагностики.

Список литературы

1. Rice S.O. Mathematical Analysis of Random Noise // Bell System Technical Journal. 1944. Vol. 23. P. 282-322.
2. Cai R. Statistical Characterization of the Medical Ultrasound Echo Signals // Scientific Reports. 2016. Vol. 6, No 1. P. 39379.
3. Parker K.J. Shapes and distributions of soft tissue scatterers // Physics in Medicine and Biology. 2019. Vol. 64, No 17. P. 175022.
4. Shankar P.M. A general statistical model for ultrasonic backscattering from tissues // IEEE Transactions on Ultrasonics Ferroelectrics and Frequency Control. 2000. Vol. 47, No 3. P.727-736. DOI: 10.1109/58.842062.
5. Martínez-Graullera O., Yagüe-Jiménez V., Romero M. P. and Ibáñez Rodríguez A. Improving ultrasonic medical image quality by attenuation of the secondary lobes // IEEE International Ultrasonics Symposium. 2019. P. 1286-1289. DOI: 10.1109/ULTSYM.2019.8926260.
6. Yakovleva T.V., Kulberg N.S. Noise and Signal Estimation in MRI: Two-Parametric Analysis of Rice-Distributed Data by Means of the Maximum Likelihood Approach // American Journal of Theoretical and Applied Statistics. 2013. Vol. 2, No. 3. P. 67-79.
7. Яковлева Т.В. Теоретическое обоснование математических методов совместного оценивания параметров сигнала и шума при анализе райсовских данных // Компьютерные исследования и моделирование. 2016. Т. 8, № 3. С. 445-473. DOI: 10.20537/2076-7633-2016-8-3-445-473.
8. Яковлева Т.В., Кульберг Н.С. Методы математической статистики как инструмент двухпараметрического анализа магнитно-резонансного изображения // Информатика и ее применения. 2014. Т. 8, № 3. С. 79-89.
9. Yakovleva T. Peculiarities of the Rice Statistical Distribution: Mathematical Substantiation // Applied and Computational Mathematics. 2018. Vol. 7, No 4: P. 188-196. DOI: 10.11648/j.acm.20180704.12.
10. Яковлева Т.В., Кульберг Н.С., Леонов Д.В. Оценивание размера структурных образований при ультразвуковой визуализации посредством статистического анализа эхо-сигнала // Доклады Российской академии наук. Математика, информатика, процессы управления. 2023. Т. 509, № 0. С. 87-93. DOI: 10.31857/S2686954322600744.

УДК 535.371

МЕТОД ИК СПЕКТРОСКОПИИ ДЛЯ АНАЛИЗА СПЕКТРАЛЬНЫХ ОСОБЕННОСТЕЙ ПЛАЗМЫ КРОВИ БЕРЕМЕННЫХ ЖЕНЩИН ПРИ НОРМАЛЬНО ПРОТЕКАЮЩЕЙ БЕРЕМЕННОСТИ И БЕРЕМЕННЫХ ЖЕНЩИН С РЕЗУС-ИММУНИЗАЦИЕЙ

А.А. ИВАНОВ¹, А.К. КОРОЛИК², О.В. КОЗЛЯКОВА³, М.С. ТАРАСИК¹,
Г.Г. ЛУБНЕВСКАЯ¹

¹Белорусский государственный медицинский университет,
пр. Дзержинского, 83, 220116 Минск, Беларусь

²ГУ Минский научно-практический центр хирургии, трансплантологии и гематологии,
ул. Семашко, 8, 220045 Минск, Беларусь

³Городской центр трансфузиологии УЗ 6-ой ГКБ, ул. Уральская, 5, 220037 Минск, Беларусь

Аннотация: с помощью метода ИК спектроскопии выявлены особенности структурных изменений крови беременных женщин с Rh⁺, Rh⁻ и Rh-иммунизацией в зависимости от сроков беременности. Показана целесообразность использования метода ИК спектроскопии для дополнительной диагностики сопутствующих заболеваний при беременности, например, таких, как почечная недостаточность.

Ключевые слова: ИК спектроскопия, липопротеины, плазма крови, Rh⁺, Rh⁻ и Rh-иммунизация беременных женщин.

IR SPECTROSCOPY METHOD FOR ANALYSIS OF SPECTRAL FEATURES OF BLOOD PLASMA OF PREGNANT WOMEN WITH NORMAL PREGNANCY AND PREGNANT WOMEN WITH RH IMMUNIZATION

ALEXANDER.A. IVANOV¹, ANNA.K. KOROLIK², OLGA.V. KOZLYAKOVA³, MARYNA.S. TARASIK¹, GALINA.G. LUBNEVSKAYA¹

¹Belarusian State Medical University, Dzerzhinsky Ave., 83, 220116 Minsk, Belarus

²State University Minsk Scientific and Practical Center for Surgery, Transplantology and Hematology,
st. Semashko, 8, 220045 Minsk, Belarus

³City Center for Transfusiology, 6th City Clinical Hospital, st. Uralskaya, 5, 220037 Minsk, Belarus

Abstract: using the IR spectroscopy method, features of structural changes in the blood of pregnant women with Rh⁺, Rh⁻ and Rh-immunization were identified depending on the duration of pregnancy. The feasibility of using the IR spectroscopy method for additional diagnosis of concomitant diseases during pregnancy, for example, such as renal failure, has been shown.

Keywords: IR spectroscopy, lipoproteins, blood plasma, Rh⁺, Rh⁻ and Rh-immunization of pregnant women.

Введение

Здоровье человека закладывается еще в период его внутриутробного развития. Многие работы указывают на связь различных заболеваний у детей с нарушениями течения беременности их матерей. Более того, имеются и прямые связи осложненного течения беременности с уровнем перинатальной смертности (смерть ребенка в утробе матери на последних сроках беременности или в первую неделю жизни). Среди причин мертворождаемости и ранней детской смертности одно из первых мест занимает несовместимость крови матери и плода по резус-фактору. При этом может возникнуть резус-иммунизация – иммунная реакция, вследствие которой организм матери вырабатывает антитела. Это может вызвать пороки и нарушения развития плода, вплоть до прерывания беременности в различных сроках, и гибели плода.

В последние годы метод ИК спектроскопии, благодаря существенному повышению его аналитических возможностей в результате использования ИК-фурье-спектрометров, находит все большее применение в биомедицине, в частности, для компонентного анализа плазмы

крови и структуры входящих в ее состав белков, диагностики на этой основе различных заболеваний.

Цель работы

Применение метода ИК-фурье-спектроскопии для анализа структурных особенностей компонент плазмы крови в процессе беременности у женщин с положительной (Rh^+) и отрицательной (Rh^-) резус-принадлежностью крови при физиологической (неосложненной) беременности, а также беременных женщин с резус-иммунизацией (Rh -имм.). Одним из показателей нормального или нарушенного протекания основных физиологических процессов в организме человека является уровень липопротеинов в плазме крови.

Материалы и методы

В работе использовалась плазма крови здоровых женщин репродуктивного возраста – контрольная группа, беременных женщин с Rh^+ и Rh^- при неосложненной беременности, а также беременных женщин с Rh -иммунизацией. Для проведения ИК спектроскопических исследований плазмы крови женщин контрольной группы, беременных с Rh^+ и Rh^- при физиологической беременности и с Rh -иммунизацией на разных сроках беременности, а также модельных образцов нами были получены тонкие пленки на поверхности оптических окон из кристаллов KRS-5 путем нанесения и последующей сушки дозированных количеств разбавленной плазмы и водных растворов модельных соединений. Пленки формировались при комнатной температуре и влажности в течение не менее 24 ч. ИК спектры в области частот 400-4000 cm^{-1} регистрировались на ИК-фурье спектрометре **Nexus 670** (Nicolet, США) при спектральном разрешении 2 cm^{-1} и числе сканирований 128, при этом прибор постоянно продували сухим воздухом.

Результаты и их обсуждение

Для выявления спектральных особенностей плазмы крови беременных женщин с положительным и отрицательным резусом при нормально протекающей физиологической беременности, а также беременных женщин с резус-иммунизацией по сравнению с плазмой крови здоровых доноров были получены и исследованы ИК спектры поглощения этих образцов, а также модельных образцов – альбумина и липопротеинов низкой плотности. На рис. 1 представлены ИК спектры пленок альбумина и липопротеина низкой плотности.

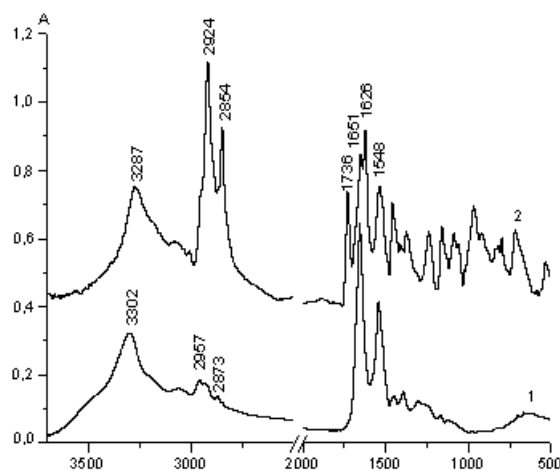


Рис. 1 – ИК-фурье-спектры пленок альбумина (1) и липопротеинов низкой плотности (2) в области частот 500-3600 cm^{-1} (спектры смещены по оси ординат для наглядности)

ИК спектр липопротеина резко отличается от спектра альбумина и плазмы крови наличием высокоинтенсивных полос валентных колебаний CN_2 -группы при 2924 и 2854 cm^{-1} и

полосы валентных колебаний карбонильной группы при 1736 см^{-1} . Известно, что эти полосы обусловлены липидной составляющей липопротеинов [1]. Высокая интенсивность полос поглощения CH_2 -групп в ИК спектрах липопротеинов при сравнительно небольшой интенсивности этих полос в ИК спектрах белков, делает область $2800\text{--}3000\text{ см}^{-1}$ наиболее подходящей для анализа уровня липопротеинов в плазме крови.

На рис. 2 показаны ИК спектры в области $500\text{--}3600\text{ см}^{-1}$ пленок плазмы крови двух здоровых доноров (контрольная группа) и беременной женщины с Rh-иммунизацией на сроке беременности 30-31 недель.

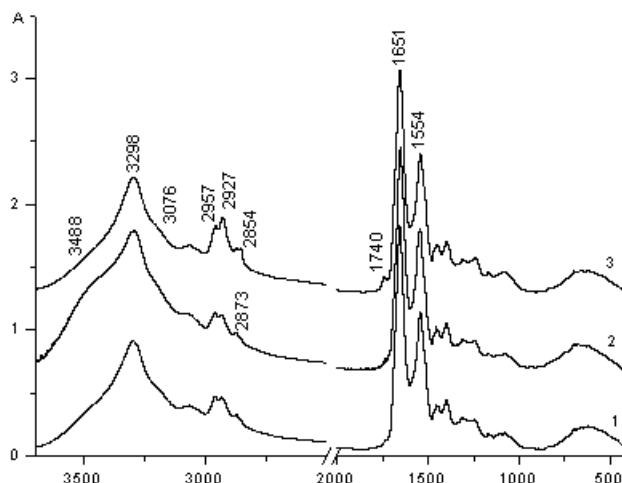


Рис. 2 – ИК-фурье-спектры пленок плазмы крови контрольной группы (1,2) и беременной женщины с Rh-иммунизацией (3) на сроке беременности 30-31 недель в области частот $500\text{--}3600\text{ см}^{-1}$ (спектры смещены по оси ординат для наглядности)

Для всех трех групп беременных женщин интенсивность полос поглощения при 2927 и 2854 см^{-1} выше чем для доноров контрольной группы, что свидетельствует о повышенном содержании липопротеинов. Причем наиболее сильно эти различия выражены на сроках беременности 30-35 недель. Для беременных женщин с Rh-иммунизацией эта зависимость отличается существенно большим увеличением содержания липопротеинов на сроке беременности 30-32 недели и очень сильным и быстрым снижением на более поздних сроках [1-2]. Полученные результаты согласуются с литературными данными, что именно на сроках беременности 30-35 недель происходит активация всех метаболических процессов для обеспечения растущего плода и жизнедеятельности организма матери пластическим материалом, в частности, повышается уровень липидов в сыворотке крови [1].

В других областях ИК спектра плазмы крови беременных женщин с Rh^+ , Rh^- существенных изменений не обнаружено.

Однако, в ИК спектре плазмы крови беременной женщины с Rh-иммун. на сроке беременности 34-35 недель (Рис. 3) наблюдается увеличение поглощения при 1401 см^{-1} и появление новой полосы с максимумом при 1589 см^{-1} , которые могут быть обусловлены увеличением концентрации триглицеридов и мочевины в плазме крови, соответственно [1]. Но эти изменения в ИК спектре плазмы крови беременных женщин с Rh-иммун. никак не связаны с самой беременностью, а являются результатом проявления сопутствующего заболевания. В частности, появление полосы поглощения при 1589 см^{-1} , обусловленное присутствием в плазме крови мочевины [3-4], прямо свидетельствует о почечной недостаточности у человека, а увеличение относительной интенсивности полосы поглощения при 1401 см^{-1} , может опосредованно также указывать на заболевание почек, поскольку при этом заболевании наблюдается и увеличение количества триглицеридов [5].

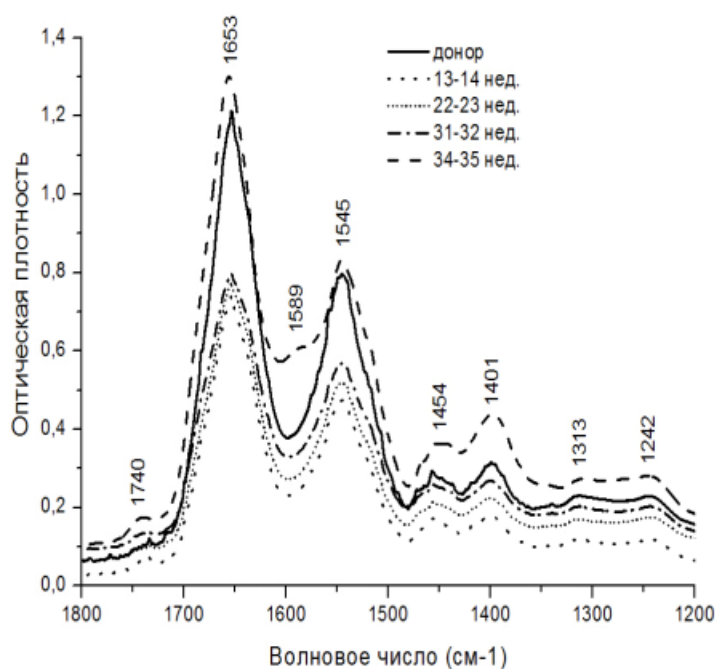


Рис. 3 – ИК спектры плазмы крови здорового донора, беременных женщин с резус - иммунизацией в области частот 1800-1200 см⁻¹

Заключение

С помощью метода ИК спектроскопии выявлены особенности структурных изменений в крови беременных женщин с Rh⁺, Rh⁻ и Rh-иммунизацией в зависимости от сроков беременности. Установлено, что содержание липопротеинов, независимо от резус-принадлежности беременных женщин, повышается уже на ранних сроках беременности, достигает максимума при сроке 30-32 недели, а затем снижается. Для беременных женщин с Rh-иммунизацией эта зависимость отличается существенно большим (по отношению к женщинам с Rh⁺, Rh⁻) увеличением уровня липопротеинов на сроке беременности 30-32 недели и очень сильным и быстрым снижением на более поздних сроках. Показана целесообразность использования метода ИК спектроскопии для дополнительной диагностики сопутствующих заболеваний при беременности, например, таких, как почечная недостаточность.

Список литературы

1. Infrared Spectroscopy in Clinical and Diagnostic Analysis / A.R. Shaw [et al.] //in. "Encyclopedia of Analytical Chemistry" / Ed. R.A. Meyers. – Chichester: J. Wiley and Sons Ltd. – 2000-2006. - № 1. – С. 7–10.
2. Использование метода ИК спектроскопии для оценки уровня липопротеинов в плазме крови беременных женщин / А.А. Иванов [и др.] // Молекулярные, мембранные и клеточные основы функционирования биосистем: тезисы докладов междунар. научной конференции, Пятнадцатого съезда Белорусского общественного объединения фотобиологов и биофизиков [Электронный ресурс] Минск, 15-17 июня 2022 г. / редкол.: И.Д. Волотовский (гл. ред.) [и др.].– Минск: БГУ, 2022. – С. 122.
3. Reagent – free, simultaneous determination of serum cholesterol in HDL and LDL by infrared spectroscopy / Kan-Zhi Liu [et al.] // Clinical Chemistry. – 2002. – V.48. – P. 499–506.
4. Смит, А. Прикладная ИК-спектроскопия / А. Смит. - Москва: Мир, 1982. – С. 290–318.
5. Вельтищев, Ю.Е. Справочник практического врача / Ю.Е. Вельтищев и др. – Москва: Медицина, 1992. – С. 215–234.

УДК 616.85:616.833.35-079

ТЕХНОЛОГИЯ ДИАГНОСТИКИ НЕВРОПАТИИ ВОЗВРАТНОЙ ДВИГАТЕЛЬНОЙ ВЕТВИ СРЕДИННОГО НЕРВА

Т.В. ГРИГОРОВИЧ¹, В.И. ХОДУЛЕВ¹, Н.А. КАБИРОВА²

¹Республиканский научно-практический центр неврологии и нейрохирургии (г. Минск, Беларусь)

²Медицинский центр «Маяк здоровья» (г. Минск, Беларусь)

Аннотация. Патология возвратной двигательной ветви срединного нерва может возникать как в рамках синдрома запястного канала, так, и изолировано и редко описывается в литературе. Точная распространенность невропатии возвратной двигательной ветви у пациентов с синдромом запястного канала не определена. К ущемлению нерва могут предрасполагать анатомические изменения в кровеносных сосудах, а также происхождение и ход возвратной двигательной ветви. Кроме того, она особенно уязвима для ятрогенных повреждений во время декомпрессионных операций при синдроме запястного канала из-за его анатомической изменчивости. Из-за не типичной клиники повреждения возвратной двигательной ветви не диагностируются и имитируют нарушения на другом уровне. Комплексная клиническая оценка с использованием электрофизиологического исследования и ультразвуковой визуализации имеет важное значение для точной диагностики патологии и дальнейшей тактики ведения и лечения пациентов.

Ключевые слова: компрессионная невропатия, срединный нерв, возвратная двигательная ветвь, мышцы тенара, короткая мышца отводящая большой палец, вторая червеобразная мышца, синдром запястного канала, электронейромиография.

THE TECHNOLOGY OF DIAGNOSIS OF NEUROPATHY OF THE RECURRENT MOTOR BRANCH OF THE MEDIAN NERVE

TATYANA. V. GRIGOROVICH¹, VASILY. I. KHODULEV¹, NATALIA. A. KABIROVA²

Republican Scientific and Practical Center of Neurology and Neurosurgery (Minsk, Belarus)¹

Mayak Zdorovye Medical Center (Minsk, Belarus)²

Abstract. Pathology of the recurrent motor branch of the median nerve can occur both within the framework of carpal tunnel syndrome and in isolation and is rarely described in the literature. The exact prevalence of recurrent motor branch neuropathy in patients with carpal tunnel syndrome is not determined. Anatomical changes in the blood vessels, as well as the origin and course of the recurrent motor branch, can predispose to nerve entrapment. In addition, it is particularly vulnerable to iatrogenic injuries during decompression operations for carpal tunnel syndrome due to its anatomical variability. Due to the atypical clinical picture, recurrent motor branch injuries are not diagnosed and imitate disorders at another level. Comprehensive clinical assessment using electrophysiological examination and ultrasound imaging is important for accurate diagnosis of pathology and further tactics of patient management and treatment.

Keywords: compression neuropathy, median nerve, recurrent motor branch, thenar muscles, abductor pollicis brevis, second lumbrical muscle, carpal tunnel syndrome, electroneuromyography.

Введение

Трудно переоценить роль кисти в повседневной и профессиональной деятельности человека. Кроме ее непревзойденной способности выполнять захваты, кисть стоит в одном ряду с органом зрения, выполняя функцию основного механизма сенсорного восприятия, которое намного превосходит любую другую часть человеческого тела. Срединный нерв является одним из основных нервов, участвующих в иннервации кисти. Он обеспечивает чувствительность кожи «рабочей» поверхности большого, указательного и среднего пальцев, а

также смежной стороны безымянного пальца. Мышцы, иннервируемые срединным нервом, входят в состав мобильной единицы кисти, отвечающей за выполнение точных движений. Срединный нерв является смешанным нервом в состав которого входят двигательные, чувствительные и вегетативные волокна.

На расстоянии 5-6 см проксимальнее складки запястья от лучевой стороны срединного нерва отходит ладонная кожная ветвь, иннервирующая кожу основания тенара. На уровне дистальной границы запястного канала срединный нерв делится на мышечные и пальцевые ветви. Возвратная моторная ветвь иннервирует мышцы тенара: поверхностную головку короткого сгибателя большого пальца (*flexor pollicis brevis*), короткую мышцу отводящую большой палец (*abductor pollicis brevis*) и мышцу противопоставляющую большой палец (*opponens pollicis*) [1]. Срединный нерв формирует два общих пальцевых нерва, один - для смежных сторон указательного и среднего пальцев, другой - для смежных сторон среднего и безымянного пальцев. Еще одной его ветвью является собственный пальцевый нерв лучевой стороны указательного пальца. Собственный пальцевый нерв лучевой стороны указательного пальца отдает двигательную ветвь к первой червеобразной мышце. Общий пальцевый нерв смежных сторон указательного и среднего пальцев формирует ветвь, иннервирующую вторую червеобразную мышцу.

Моторная ветвь, иннервирующая мышцы возвышения тенара, имеет большое число вариантов отхождения. Имеется семь основных вариантов:

- Классический вариант, наблюдаемый у 50% пациентов. Ветвь начинается от ладонно-лучевой поверхности срединного нерва, дистальнее лучевого конца карпального канала. Ветвь изгибается радиально и вверх, достигая мышц тенара между *flexor pollicis brevis* и *abductor pollicis brevis*.

- Вариант, который встречается приблизительно у 30% пациентов. В этом случае ветвь начинается от передней поверхности срединного нерва в пределах запястного канала. Она проходит через канал со срединным нервом и изгибается вокруг дистального конца ретинакулума сгибателей, направляясь к группе мышц тенара между *flexor pollicis brevis* и *abductor pollicis brevis*.

- Вариант, который встречается приблизительно у 20% пациентов. Ветвь начинается от передней поверхности нерва в пределах запястного канала. Она идет радиально и пронизывает ретинакулум сгибателей, поступая в группу мышц тенара между *abductor pollicis brevis* и *flexor pollicis brevis*.

- Ветвь начинается от локтевой стороны срединного нерва. Затем она пересекает срединный нерв в пределах канала, изгибается вокруг дистального конца ретинакулума сгибателей, направляясь в группу мышц тенара. Она также может пройти через ретинакулум.

- Нерв начинается от передней поверхности срединного нерва в пределах запястного канала. На уровне дистального конца ретинакулума ветвь изгибается радиально поверх ретинакулума. Нерв пересекает дистальную часть ретинакулума почти поперек, прежде чем достигнет группы мышц тенара.

- Очень редкий вариант представлен множественными моторными ветвями срединного нерва. При этом нервы (чаще два) могут следовать по любому направлению, описанному выше.

- Высокое деление срединного нерва. В данном редком случае нерв может разделиться на медиальную и латеральную ветви высоко на предплечье. Ветвь тенара, начинающаяся от латеральной ветви, может выйти из запястного канала или в обычной манере или пронизывая ретинакулум сгибателей на его лучевой стороне [1].

Патология возвратной двигательной ветви срединного нерва может возникать как в рамках синдрома запястного канала, так и изолировано. Компрессионная невропатия срединного нерва на уровне запястного канала характеризуется сдавлением срединного нерва под поперечной связкой ладони и занимает первое место среди заболеваний периферических нервов верхних конечностей, составляя 90% всех туннельных невропатий. Клинические и электрофизиологические исследования выявили потенциальную возможность того, что при синдроме запястного канала могут вовлекаться исключительно двигательные волокна и представлять собой состояние, отличное от классических симптомов данной патологии. Точная распространенность невропатии возвратной двигательной ветви у пациентов с синдромом

запястного канала не определена. К ущемлению нерва могут предрасполагать анатомические изменения в кровеносных сосудах, а также происхождение и ход возвратной двигательной ветви [2, 3]. Кроме того, она особенно уязвима для ятрогенных повреждений во время декомпрессионных операций при синдроме запястного канала из-за его анатомической изменчивости, о которой было подробно описано выше [4]. Также нужно отметить, что из-за не типичной клиники повреждения возвратной двигательной ветви не диагностируются и имитируют нарушения на другом уровне.

Повреждение возвратной двигательной ветви срединного нерва приводит к атрофии мышц возвышения большого пальца, выпадении функции отведения и противопоставления большого пальца и, соответственно, невозможности сжать кисть в кулак. Человеческая кисть, теряя функцию большого пальца, теряет свои самые главные возможности для осуществления функции захвата, щипка путем сближения с каждым из пальцев, особенно с указательным. Потеря мелкой моторики кисти является большой трагедией для пациента.

В диагностике невропатий основным методом является проведение электронейромиографии (ЭНМГ), которая позволяет распознать уровень, степень, распространенность поражения, а также характер патологического процесса, лежащего в основе невропатии. На сегодняшний день сочетание электронейромиографии и ультразвуковой визуализации признано «золотым стандартом» диагностики периферических невропатий.

В этом исследовании мы представим разработанную технологию диагностики повреждения возвратной двигательной ветви срединного нерва. Благодаря которой станет возможным раннее выявление данной патологии для улучшения результатов лечения пациентов.

Цель – разработать технологию диагностики патологии возвратной двигательной ветви срединного нерва на уровне кисти с использованием электронейромиографического исследования.

Материалы и методы

Исследование проводилось в отделении функциональной диагностики Республиканского научно-практического центра неврологии и нейрохирургии. За период с января 2023 по октябрь 2024 года было обследовано 50 пациентов с патологией срединного нерва на уровне запястья и кисти травматического и компрессионного генеза. Среди данной группы было выявлено шесть пациентов с изолированным повреждением возвратной двигательной ветви срединного нерва. Группа контроля (здоровых добровольцев) включало 20 испытуемых в возрасте от 19 до 52 лет.

Сбор данных включал тщательный сбор анамнеза с помощью стандартизированных шкал и опросников. Сюда входили сведения о начале и прогрессировании симптомов, профессиональной и повседневной деятельности, а также событиях предшествующих возникновению симптомов. Клиническое обследование включало определение мышечной силы, признаков атрофии мышц и/или наличие болезненности при пальпации в кисти на уровне запястного канала. Также оценивалось наличие или отсутствие нарушений чувствительности на кистях. Проводились специальные тесты: симптом Тинеля, Фалена, обратного Фалена, Вартенберга и Фромена.

Электронейромиографическое обследование пациентов выполнялось с помощью компьютерного многофункционального комплекса «Нейро-МВП-4» компании «НейроСофт» (Россия). Электрическая стимуляция исследуемых нервов осуществлялась биполярным накожным стимулирующим электродом с металлическими наконечниками диаметром 5 мм с постоянным межэлектродным расстоянием 25 мм. При стимуляции катод располагали дистальнее анода. Супрамаксимальную стимуляцию проводили одиночными прямоугольными стимулами длительностью от 0,1 до 0,3 мс и регулируемой интенсивностью напряжения от 0 до 100 мА. Напряжение тока подбиралось индивидуально. Время эпохи анализа составляет 100 мс при исследовании моторных волокон нервов и 20 мс – для чувствительных. Фильтры для низких частот установлены на уровне 5 Гц и 20 Гц, для высоких- 10000 Гц и 20000 Гц для моторной и чувствительной порции волокон соответственно. В качестве отводящих электродов использовались поверхностные накожные чашечковые электроды диаметром 10 мм.

При стимуляции срединного нерва использовалась двухканальная регистрация моторных ответов с короткой мышцы отводящей большой палец и второй червеобразной мышцы. Активный регистрирующий электрод над короткой мышцей, отводящей большой палец помещался в моторной точке мышцы, референтный был расположен дистально над проксимальной фалангой первого пальца. Активный регистрирующий электрод над второй червеобразной мышцей располагался немного латеральнее середины третьей пястной кости, а референтный – над проксимальной фалангой второго пальца. Срединный нерв стимулировался на 2 см проксимальнее дистальной складки запястья и в локтевой ямке. Эта двухканальная методика оценивала проведение по моторным волокнам срединного нерва к короткой мышце отводящей большой палец и второй червеобразной мышце. Потенциал действия чувствительного нерва был получен антидромно путем поверхностной стимуляции срединного нерва на проксимальной складке запястья и регистрации с указательного пальца с помощью кольцевых электродов.

УЗИ проводилось с использованием ультразвуковых устройств Vivid E 9 (GE), HD 11 XE (Philips) и EPIQ 7 (Philips) с использованием линейных датчиков, работающих в диапазоне частот 5–12 МГц и 4–18 МГц. Оценивали непрерывность, контур, структуру, эхогенность нервного ствола, признаки мышечной гипотрофии, сосудистой патологии. Размеры и эхогенность нерва оценивали по отношению к контралатеральной стороне.

Данные ЭНМГ исследований и УЗИ диагностики были систематически проанализированы. Для ЭНМГ были проанализированы такие параметры, как дистальная моторная латентность, скорость проводимости и амплитуда от пика до пика моторного ответа и потенциала действия чувствительного нерва и сравнены с нормативными значениями. Данные УЗИ включали оценки непрерывности нерва, контура, структуры, эхогенности и измерения толщины нервного ствола и мышц по сравнению с контралатеральной стороной. Все анализы были выполнены с использованием стандартного статистического программного обеспечения. При анализе показателей дистальной латентности моторного ответа с короткой мышцы отводящей большой палец и второй червеобразной мышцы при стимуляции срединного нерва использовались средние значения ± 2 стандартных отклонения.

Результаты и их обсуждение

В группе здоровых испытуемых при обследовании срединного нерва по двухканальной методике средние значения латентности моторного ответа с короткой мышцы отводящей большой палец составили $3,1 \pm 0,3$ мс, а с второй червеобразной мышцы – $3,0 \pm 0,3$ мс. Что не имело значительных отличий. В группе пациентов с компрессионной невропатией срединного нерва на уровне запястного канала параметры дистальной латентности моторного ответа значительно превышали норму как с короткой мышцы отводящей большой палец, так и второй червеобразной мышцы. Кроме того, имелось выраженное снижение скорости проведения по сенсорным волокнам и амплитуды потенциала действия чувствительного нерва.

В группе пациентов с изолированной патологией возвратной двигательной ветви срединного нерва отмечалось увеличение дистальной латентности и снижение амплитуды моторного ответа (вплоть до полного выпадения) с короткой мышцы отводящей большой палец, Изменения параметров моторного ответа с второй червеобразной мышцы и проведения по сенсорным волокнам были минимальны или отсутствовали. Для демонстрации приводится описание клинического случая.

Пациент Д. находился на лечении в отделении неврологии РНПЦ неврологии и нейрохирургии с жалобами на чувствительные нарушения в стопах и неловкость в левой кисти. Из анамнеза было выяснено, что пациент год назад получил травму запястий режущим предметом. При неврологическом осмотре отмечалась гипотрофия мышц тенара левой кисти, слабость ладонного отведения большого пальца. Тесты Тинеля и Фалена были отрицательными. Рефлексы с рук D=S. Растройств чувствительности на кистях не отмечено. При ЭНМГ исследовании при стимуляции срединного нерва зарегистрирован моторный ответ с короткой мышцы отводящей большой палец с увеличенной дистальной латентностью и сниженной амплитудой в сравнении с противоположной конечностью, параметры моторного

ответа с второй червеобразной мышцы и проведение по чувствительным волокнам были в норме.

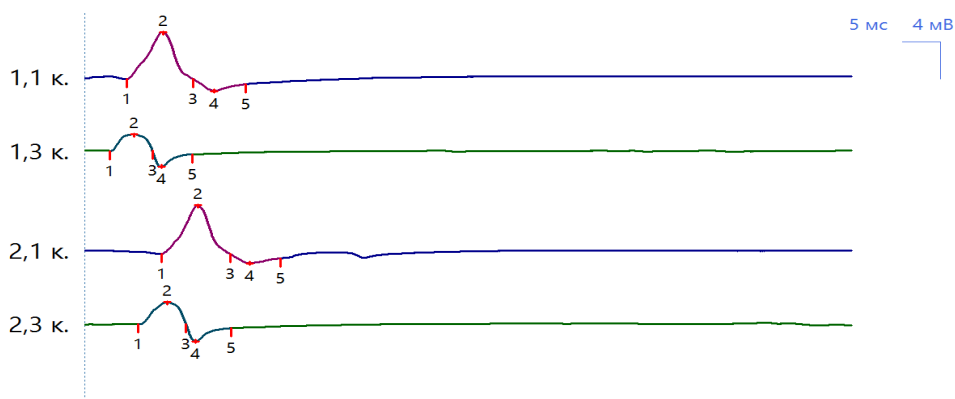


Рис. 1. Параметры моторных ответов с короткой мышцей отводящей большой палец и второй червеобразной мышцы при стимуляции срединного нерва на уровне запястья и в локтевой ямке у пациента с изолированным повреждением возвратной моторной ветви срединного нерва: 1.1 к.-2.1 к. – моторный ответ с короткой мышцей отводящей большой палец при стимуляции в двух точках; 1.3 к.-2.3к. – моторный ответ с второй червеобразной мышцы при стимуляции в двух точках.

УЗИ исследование выявило наличие посттравматической невромы на уровне кожного дефекта. А также снижение эхогенности и толщины мышц тенара на пораженной стороне.

Заключение

Таким образом, нами разработана новая технология диагностики патологии возвратной двигательной ветви срединного нерва. А также определена важность комплексного клинического обследования пациентов с применением электрофизиологических методик в сочетании с ультразвуковой визуализацией, что помогает установить не только уровень, степень и локализацию поражения, но и механизмы его развития, определяя успешность дальнейшего лечения.

Список литературы

1. Emre Demircay, Erdinc Civelek, Tufan Cansever, Serdar Kabatas, Cem Yilmaz: Anatomic Variations of the Median Nerve in the Carpal Tunnel: A Brief Review of the Literature. Turkish Neurosurgery 2011, Vol: 21, No: 3, 388-396 DOI: 10.5137/1019-5149.JTN.3073-10.1
2. Picasso R,Zaottini F,Pistoia F,et all.: Recurrent motor branch neuropathy in carpal tunnel syndrome: an ultrasound study,Muscle Nerve. 2023, 68:184-90. 10.1002/mus.27915
3. Widder S.,Shons AR: Carpal tunnel syndrome associated with extra tunnel vascular compression of the median nerve motor branch. J Hand Surg Am. 1988, 13:926-7. 10.1016/0363-5023(88)90273-0
4. Riglar G., Pivec C., Platzgummer H., et all.: High-resolution ultrasound visualization of the recurrent motor branch of the median nerve: normal and first pathological findings. Eur Radiol. 2017, 27:2941-9. 10.1007/s00330-016-4671-1

УДК 615.47, 616-71

ИСПОЛЬЗОВАНИЕ УЛЬТРАЗВУКОВОЙ ДИАГНОСТИКИ В ДЕТСКОЙ ПРАКТИКЕ В УСЛОВИЯХ САНАТОРНО-КУРОРТНОЙ ОРГАНИЗАЦИИ

Д.В. БАРАНОВСКИЙ

*Дочернее унитарное предприятие «Свислочь»
а/г. Свислочь, Осиповичский район, Могилевская область, Республика Беларусь*

Аннотация. Цель исследования – практическое применение и эффективность ультразвуковой диагностики в детском санаторно-курортном учреждении при заболеваниях органов пищеварения. Пациенты и методы: ультразвуковое диагностирование детей и подростков с патологией органов пищеварения. Результаты: ультразвуковая диагностика способствовала выявлению ряда скрытой патологии органов пищеварения. Выводы. Метод ультразвуковой диагностики является высокоэффективным способом оценки состояния здоровья детей и подростков с целью выявления скрытой патологии органов пищеварения в условиях санаторно-курортного учреждения

Ключевые слова: дети, подростки, патология органов пищеварения, ультразвуковое исследование, санаторно-курортное учреждение

THE USE OF ULTRASOUND DIAGNOSTICS IN CHILDREN'S PRACTICE IN THE CONDITIONS OF A SANATORIUM-RESORT ORGANIZATION

DMITRY V. BARANOVSKY

Subsidiary unitary enterprise "Svisloch" a/t Svisloch, Osipovichi district, Mogilev region, Republic of Belarus

Abstract. The purpose of the study is the practical application and effectiveness of ultrasound diagnostics in a children's sanatorium-resort institution for diseases of the digestive system. Patients and methods: ultrasound diagnosis of children and adolescents with digestive pathology. Results: ultrasound diagnostics contributed to the identification of a number of hidden pathologies of the digestive organs. Conclusions. The ultrasound diagnostic method is a highly effective way to assess the health status of children and adolescents in order to identify hidden pathology of the digestive organs in a sanatorium-resort institution

Keywords: children, teenagers, pathology of the digestive organs, ultrasound diagnostics, sanatorium-resort institution

Введение

Здоровье детей и подростков является одной из самых важных и актуальных тем в любом обществе, независимо от обстоятельств. Это связано с тем, что здоровье подрастающего поколения определяет будущее конкретной страны, её генофонд, а также научный и экономический потенциал. [1,2]. Состояние здоровья детей служит также своего рода индикатором общего уровня благополучия населения. Исследования показывают, что проблемы со здоровьем в детском возрасте могут иметь долгосрочные последствия, влияя на качество жизни и продуктивность в будущем. [1].

Незаменимым помощником во врачебной практике служат различные виды диагностики, существующие в ДУП «Детский санаторий «Свислочь»: ЭКГ, спирография и спирометрия, лабораторная и ультразвуковая диагностика. [1,3]. Последняя имеет больше преимуществ, обладая многими качествами удобными для санаторно-курортной организации. Это ее высокая диагностическая ценность, доступность, безопасность, безболезненность, неинвазивность, отсутствие у ребенка негативной реакции.

Цель исследования – изучить и показать, что ультразвуковые обследования могут значительно повысить уровень диагностики различных заболеваний на ранних стадиях и позволит своевременно начать лечение и улучшить прогноз для здоровья детей.

Пациенты и методы

Нами проведено исследование, направленное на оценку эффективности ультразвуковой диагностики в рамках санаторно-курортного лечения на базе детского санатория «Свислочь». Его предназначение - оздоровление детей в возрасте от 6 до 18 лет, которые проживают в зонах, наиболее пострадавших от последствий Чернобыльской катастрофы. Важно отметить, что все дети, проходящие лечение в нашем учреждении, имеют равные условия: они находятся в одинаковых условиях проживания, получают одинаково сбалансированное питание, участвуют в досуговых мероприятиях и имеют доступ ко всем медицинским услугам. Санаторий «Свислочь» принимает детей из Могилевской области, однако также сюда приезжают юные пациенты и из других регионов Беларуси, где существует неблагоприятная радиационная обстановка. Это подчеркивает важность работы санатория в контексте здоровья детей, пострадавших от радиационного воздействия.

Для проведения ультразвуковых исследований использовался современный аппарат «Mindray M7T», имеющий довольно хорошую разрешающую способность, что позволяет детально исследовать различные органы и системы организма. Нами проводится широкий спектр диагностических исследований. В данной работе нами сделан акцент на диагностике патологии органов брюшной полости: печени, желчного пузыря, поджелудочной железы и селезенки.

В настоящей статье по итогам деятельности 2022-2024 (9 месяцев) годы представлены в основном результаты исследования органов брюшной полости с применением датчиков, имеющим частоту 7,5 - 2,5 МГц. Объемы работы осуществлялись в соответствии со штатным расписанием, в том числе скрининговые.

При проведении диагностики внутренних органов анализировались их объемное, структурное и функциональное состояние, экзогенность, место положения. Всего осмотрено 414 детей для диагностирования патологии внутренних органов, что составляет 5,1% от всех отдохнувших за этот период. Из них 194 мальчика и 220 девочек. Выявлено патологии -65 случаев (15,70% от числа исследованных); у мальчиков -36 случаев, у девочек – 29 случаев. Данные представлены в таблице 1.

Таблица 1. Выявленная патология за 2022-2024гг.

Параметры патология /	Число случаев		% от числа случаев	
	пол			
	мальчики		девочки	
гепатомегалия	2	5.56	1	3.45
аномалия ж/п	9	25.00	7	24.1
функция ж/п	19	52.77	14	48.2
полип ж/п	-	-	1	3.45
конкремент ж/п	-	-	2	6.89
хр. холецистит	-	-	1	3.45
кисты	3	8.33	2	6.89
гемангиома печени	1	2.78	-	-
кальцинаты селезенки	2	5.56	1	3.45
итого	36	100	29	100

Исследованы органы брюшной полости [1,4,5,6,7] у 5,1% детей, получавших лечение в санатории ДУП «Детский санаторий «Свислочь». При исследовании печени обращалось внимание на контуры, сосудистый рисунок, размеры печени, экзогенность. Выявлено умеренное изменение структуры (увеличение зернистости) у 1.3% осмотренных детей (в основном у детей, перенесших вирусный гепатит); 2 случая солитарной кисты у девочек-подростков и гемангиомы у мальчика. Размеры печени колебались в пределах 118-130 мм (по среднеключичной линии). Исключение составили: 2 случая гепатомегалии у мальчиков и 1 случай у девочки.

Исследование сократительной функции желчного пузыря нагрузочной пробы проведено у 50.77% респондентов (случаев): мальчики-29.23%, девочки-21.53%. Изменения структуры стенки желчного пузыря, деформации чаще встречаются у мальчиков. Выявлены у мальчиков дискинезии желчевыводящих путей гиперкинетического типа в 13.2% и гипокINETического в 8,9% от общего числа функциональных проб, а у девочек – гиперкинетического в 10.3% и гипокINETического в 9,8% соответственно. Гиперкинетический тип дискинезии превалирует над гипокINETическим, причем если первый тип распределился по частоте встречаемости среди мальчиков, то второй тип встречается чаще у девочек. Кроме этого, были выявлены случаи наличия конкрементов желчного пузыря: 2 случая у девочек, что составило – 6.89% от всех случаев среди девочек. Также здесь был обнаружен полип желчного пузыря – 1 случай у девочки.

Размеры желчного пузыря [4,5,7] колебались у мальчиков и девочек от 40 до 60 мм по длине и от 15 до 20 мм по ширине (по данным литературы – в норме 30x50-70 мм).

При исследовании селезенки [4,5,6,7] (положение лежа на правом боку) размеры ее колебались в среднем: длина 70-95 мм, ширина 30-50 мм (по литературным данным средние размеры 60-110 мм). У детей очень хорошо просматривается вся структура селезенки с сосудистым пучком. При обследовании выявлены следующие изменения: кальцинаты различной величины; рубцовые соединительнотканые участки; кисты (солитарные).

Поджелудочная железа [4,5,6,7] у детей визуализируется достаточно хорошо даже без предварительной подготовки ребенка (что не всегда достигается у взрослых), в положении лежа на спине (иногда используем положение на боку или стоя). Обращалось внимание на размеры головки поджелудочной железы и ее экзогенности. Имелись случаи повышения экзогенности (уплотнение) причем чаще у девочек. Кальцинаты встречались в 3 случаях (4,62% осмотренных детей).

Результаты и их обсуждение

Возможность проведения УЗИ непосредственно в санатории позволяет значительно улучшить диагностические возможности учреждения, выявляя как явную, так и скрытую патологию внутренних органов на ранних стадиях развития. Это особенно актуально для детей с хроническими заболеваниями, которые составляют основную часть контингента санаториев. Ультразвуковое исследование позволяет своевременно диагностировать воспалительные процессы в органах брюшной полости (аппендицит), выявлять врожденные аномалии развития внутренних органов, оценивать состояние желчного пузыря и печени, контролировать эффективность лечения заболеваний желудочно-кишечного тракта.

Заключение

Таким образом, использование ультразвуковой диагностики в санаторно-курортном лечении не только позволяет эффективно выявлять и лечить заболевания, но и играет важную роль в поддержании общего здоровья детей, что в конечном итоге влияет на будущее всей нации. Важно также отметить, что подобные исследования не только помогают выявить существующие проблемы, но и способствуют формированию более здорового образа жизни у детей, что в дальнейшем может положительно сказаться на их физическом и психическом здоровье. Ультразвуковое исследование в конечном итоге играет значительную роль в условиях санаторно-курортного лечения детей. Его применение в детских санаториях является необходимым условием для обеспечения качественного и своевременного медицинского обслуживания. Более того, раннее выявление патологии позволяет предупредить развитие серьезных осложнений и повысить общее качество жизни ребенка.

Список литературы

1. Значение ультразвуковой диагностики в условиях санаторно-курортного лечения детей /Д.В. Барановский, С.С. Пасовец / Актуальные проблемы санаторно-курортного лечения: материалы Республиканской научно-практической конференции, посвященной 30-летию санатория «Надзея» филиала «Брестоблгаз» / отв. ред. С.С. Василевский, - Гродно: ГрГМУ, 2023, С.58-64

2. Оценка здоровья детского населения Республики Беларусь. / Е. В. Левчик, В. В. Подолякина, Е. П. Живицкая. / Сахаровские чтения 2019 года: экологические проблемы XXI века: материалы 19-й международной научной конференции, 23–24 мая 2019 г., г. Минск, Республика Беларусь: в 3 ч. / МГЭИ им. А. Д. Сахарова БГУ; ред.кол.: А. Н. Батян [и др.]; под ред. С. А. Маскевича, С. С. Позняка. – Минск: ИВЦ Минфина, 2019. – Ч. 1. – С. 243-246.
3. Опыт санаторно-курортного лечения и оздоровления детей с заболеваниями щитовидной железы в условиях санатория ДУП «Детский санаторий «Свислочь» / Современные проблемы санаторно-курортного лечения: сборник материалов республиканской научно-практической конференции с международным участием, посвящённой 30-летию филиала «Санаторий «Радон» ОАО «Белагроздравница» / отв. ред. Л.А. Пирогова, - Гродно : ГрГМУ, - 2023, С.112-116.
4. Бек Эрик. Ультразвуковая диагностика у детей / Эрик Бек, Рик Р. ван Рейн; пер. с англ.; под общ. ред. проф. М.И. Пыкова. – Москва: МЕДпресс-информ, 2020. – 728с.: ил.
5. Ультразвуковые методы исследования в педиатрии (методика проведения и возрастные нормативы): методические рекомендации / сост. А. И Гуревич., Е. А. Зубарева, М. А. Богуславская [и др.] //Серия «Лучшие практики лучевой и инструментальной диагностики». – Вып. 26. -2-е изд., перераб. и доп. – М.: ГБУЗ «НПКЦ ДиТ ДЗМ», 2020. – 54с.
6. Олти Джейн. Ультразвуковое исследование: иллюстрированное руководство: пер. с англ. /Дж. Олти, Э. Хой. — М.: Мед. лит., 2019 —288 с., ил.
7. Инструментальные методы диагностики в гастроэнтерологии: учеб.-метод. пособие / Н. В. Капралов, И. А. Шоломицкая. – Минск: БГМУ, 2015 – 24 с.

УДК 612.46:612.337

СЕГМЕНТАРНОЕ ДЕЙСТВИЕ ТОРМОЗНЫХ АМИНОКИСЛОТ В РЕГУЛЯЦИИ ВИСЦЕРАЛЬНОЙ БОЛИ ПОЧЕЧНОГО И КИШЕЧНОГО ПРОИСХОЖДЕНИЯ

Т.В. КАРАВАЙ¹, Р.Н. ЯСЮЧЕНЯ²

¹Белорусский государственный университет, Минск, Беларусь

²Институт повышения квалификации руководящих работников и специалистов физической культуры, спорта и туризма учреждения образования «Белорусский государственный университет физической культуры», Минск, Беларусь

Аннотация. В статье анализируются особенности участия тормозных аминокислот в модуляции висцеральной боли кишечного и почечного происхождения на сегментарном уровне. Получены результаты действия ГАМК, введенного под оболочки спинного мозга. Выявлено ослабление рефлекторно обусловленного прироста частоты эфферентной импульсации брыжеечного и почечного нервов, вызванного обструкцией мочеточника или пережатием брыжеечной артерии.

Ключевые слова: ГАМК, глицин, обструкция мочеточника, ишемия кишки.

SEGMENTAL ACTION OF INHIBITORY AMINO ACIDS IN THE REGULATION OF VISCERAL PAIN OF RENAL AND INTESTINAL ORIGIN

T.V. KARAVAY¹, R.N. YASYUCHENYA²

¹Belarusian State University, Minsk, Belarus

²Institute for Advanced Training of Managers and specialists of Physical Culture, Sports and Tourism of the educational institution "Belarusian State University of Physical Culture", Minsk, Belarus

Abstract. The article analyzes the features of the participation of inhibitory amino acids in the modulation of visceral pain of intestinal and renal origin at the segmental level. The results of the action of GABA injected under the membranes of the spinal cord were obtained. A decrease in the reflex-induced increase in the frequency of efferent impulses of the renal and mesenteric nerves caused by obstruction of the ureter or compression of the mesenteric artery was revealed.

Keywords: GABA, glycine, ureteral obstruction, intestinal ischemia.

Введение

Анализ публикаций, посвященных модуляции висцеральной боли, свидетельствует о вовлечении возбуждающих и тормозных аминокислот в обработку ноцицептивной сигнализации. Главным трансмиссером в спинном мозге является глутамат, который воздействуя на NMDA(n-метил-D-аспартат)-рецепторы, способствует гипералгезии и формированию устойчивой боли. Важная роль принадлежит также субстанции P, кальцитонин-ген связанному пептиду, серотонину, норадреналину, опиатам и нейрокинин-1 рецепторам [1].

В работах [2], посвященных анализу механизмов ноцицептивных реакций, вызываемых повреждающей стимуляцией чувствительных кишечных волокон, показано, что ключевую роль в ограничении последствий гипоксии тканей играют тормозные аминокислоты – глицин, ГАМК и NO. Они действуют на уровне сегментарного замыкания соответствующих рефлекторных дуг и ограничивают симпатозовбуждающие эффекты висцеральной боли. Таким образом, ГАМК- и глицинергические интернейроны вместе с супраспинальными нисходящими тормозными сетями поддерживают физиологический уровень болевой чувствительности, контролируя или регулируя интенсивность и модальность проекционного входа ноцицептивно-специфических нейронов в мозг [3,4]. Более того, нарушение баланса между возбуждающими (глутамат) и тормозными (ГАМК, глицин) нейромедиаторами может способствовать развитию хронической висцеральной боли. Вопрос о вкладе указанных медиаторных систем в ограничение висцеральной боли остается дискуссионным.

Целью работы явился электрофизиологический анализ вклада тормозных аминокислот в сегментарное формирование активности симпатических эфферентных волокон почечного и брыжеечного нервов.

Методика проведения эксперимента

Опыты проведены на 13 взрослых наркотизированных (уретан – 500 мг/кг, нембутал – 30 мг/кг) крысах. У всех животных для открытия доступа к нервам и органам брюшной полости производилась лапаротомия. Хлорсеребряными электродами регистрировалась тоническая эфферентная импульсация проводников почечного (n=7) и общего брыжеечного нерва (n=6), а также рефлекторные реакции в них, вызванные возбуждением (перевязкой мочеточника или окклюзией брыжеечной артерии) до и после введения нейроактивных препаратов под оболочки спинного мозга. Нарушение оттока жидкости продолжительностью 30 мин осуществляли перевязкой левого мочеточника хирургической шелковой нитью с последующим введением в его проксимальный просвет катетера, через который медленно вливали теплый (37°C) физиологический раствор объемом 0,3 мл. Правая почка и правый мочеточник оставляли интактными. Обратимая кратковременная (10 мин) окклюзия брыжеечной артерии выполнялась специальным зажимом.

Математические расчеты и представление полученных результатов в виде графиков осуществляли с помощью программ Statistica 6.0, Excel 2007, Origin 41.

Результаты и их обсуждение

Получены результаты симпатингибирующего действия на активность центробежных волокон почечного и брыжеечного нервов после инфузии в ликвор спинного мозга раствора γ -аминомасляной кислоты (ГАМК)[5,6].

В серии экспериментов моделирование висцеральной боли, вызванной путем обструкции мочеточника или ишемией-реперфузией тонкого кишечника крыс, приводила к угнетению вызванной активности симпатических эфферентных волокон почечного нерва от $59,5 \pm 1,7$ имп/с до $37,7 \pm 1,2$ имп/с и усилению активности брыжеечного нерва от $38,1 \pm 2,7$ имп/с до $65,5 \pm 2,5$ имп/с. Предварительное интратекальное введение ГАМК (10^{-2} моль/л – в опытах обструкции мочеточника, 500 мкг/0,1 мл в пробах с окклюзией брыжеечного сосуда) еще глубже ослабляла рефлекторно обусловленный прирост частоты эфферентной импульсации до $31,3 \pm 7,8$ имп/с (по отношению к контролю $61,7 \pm 1,7$ имп/с) почечного нерва и до $29,7 \pm 2,2$ имп/с брыжеечного нерва ($46,5 \pm 4,5$ имп/с). После снятия лигатуры и зажима, спустя 40–60 мин отмечалась тенденция к восстановлению показателей до исходного уровня (рис.1).

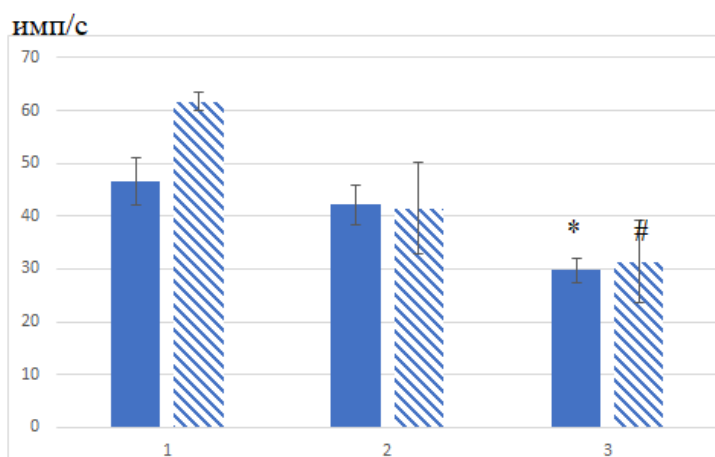


Рис. 1. Изменение частоты импульсации симпатических эфферентных волокон брыжеечного (■) и почечного нервов (▨): 1 – фон; 2 – введение ГАМК под оболочки спинного мозга; 3 – висцеральная боль, вызванная ишемией кишки или обструкцией мочеточника. *, # - $P < 0,05$ по отношению к фону.

Заключение

Ранее в работах [5,6] были получены доказательства того, что введение под оболочки спинного мозга растворов глицина, ГАМК и ее метильного производного – фенибута оказывает ингибирующее действие на симпатическую эфферентную активность почечного и брыжеечного нервов. Эти данные свидетельствуют о зависимости механизмов формирования тонической активности симпатических сосудодвигательных волокон почки и кишки от ГАМК-, глицинергических нейрхимических процессов.

В проведенных исследованиях получены результаты, доказывающие участие тормозных аминокислот в регуляции тонической и рефлекторно вызванной активности эфферентных волокон почечного и брыжеечного нервов крысы, и их участия в процессе моделирования висцеральной боли почечного и кишечного происхождения.

Список литературы

1. Cervero, F. Visceral pain-central sensitization // Gut. - 2000 (suppl IV). - Vol.47. – P. 56-57.
2. Farmer, A.D., Aziz, Q. Visceral pain hypersensitivity in functional gastrointestinal disorders // British Medical Bulletin. - 2009. –Vol.91. - P.123-126.
3. Xunjia, Qian. Current status of GABA receptor subtypes in analgesia / Qian Xunjia et al. // Biomed Pharmacother. - 2023–Vol.168. DOI:10.20944/preprints202305.1444.v1.
4. Caylor, J. Spinal cord stimulation in chronic pain: evidence and theory for mechanisms of action / Caylor J., Reddy R., Yin S. et al.// Bioelectron Med – 2019. -Vol.5, N.12.
5. Ясюченя, Р.Н. Вклад сегментарных ГАМК-ергических нейрхимических процессов в симпатическую регуляцию функций почки / Р. Н. Ясюченя, А. Г. Чумак // Вестник БГУ. Сер. 2. – 2016. – № 2. – С. 38–43.
6. Каравай, Т.В. Симпатоингибирующее действие фенибута в модели ишемии – реперфузии тонкой кишки / Т.В. Каравай, А.Г. Чумак // Новости медико-биологических наук (News of biomedical sciences). 2010. Т.1. № 2. -С.153-157.

УДК 004.8

ПРИМЕНЕНИЕ РАДИОМИЧЕСКИХ ПРИЗНАКОВ ДЛЯ КЛАССИФИКАЦИИ ПАТОЛОГИЙ ПЕЧЕНИ МЕТОДАМИ МАШИННОГО ОБУЧЕНИЯ

Ю.В. СТАРИЧКОВА, С.В. АНТОНЕНКО, Н.Ш. ГАЗАНОВА

РТУ МИРЭА, г. Москва, Россия

Аннотация. Данное исследование посвящено разработке и тестированию подходов к автоматизации диагностики патологий на основе радиомических признаков, извлечённых из медицинских изображений. С помощью библиотеки PyRadiomics были получены текстурные и структурные характеристики патологий печени, такие как гетерогенность и контрастность, которые позволяют более точно интерпретировать особенности снимков. В качестве классификаторов применялись алгоритмы CatBoost и LightGBM, зарекомендовавшие себя в анализе данных высокой размерности. Модели обучались и оценивались на основе метрик accuracy и F1-score для обеспечения высокой точности и надёжности классификации. В ходе экспериментов также исследовалось влияние увеличения объёма обучающей выборки за счёт добавления данных, полученных по результатам сегментации патологий с использованием библиотеки NNUnet. Результаты показали, что дополнение данных способствует улучшению ключевых метрик, что свидетельствует о потенциальной эффективности предложенного подхода для поддержки медицинской диагностики.

Ключевые слова: радиомические признаки, машинное обучение, медицинские изображения, диагностика патологий, CatBoost, LightGBM, PyRadiomics, классификация патологий, анализ изображений, расширение обучающей выборки.

THE USE OF RADIOMIC FEATURES FOR THE CLASSIFICATION OF LIVER PATHOLOGIES BY MACHINE LEARNING METHODS

YU.V. STARIKOVA, S.V. ANTONENKO, N.S. GAZANOVA

RTU MIREA Moscow, Russia

Abstract. This study aims to develop and test approaches to automate pathology diagnostics based on radiomic features extracted from medical images. Using the PyRadiomics library, textural and structural characteristics of liver pathologies, such as heterogeneity and contrast, were obtained, which allow for a more accurate interpretation of image features. CatBoost and LightGBM algorithms, which have proven themselves in high-dimensional data analysis, were used as classifiers. The models were trained and evaluated based on the accuracy and F1-score metrics to ensure high accuracy and reliability of classification. During the experiments, the effect of increasing the training sample size by adding data obtained as a result of pathology segmentation using the NNUnet library was also investigated. The results showed that data supplementation contributes to the improvement of key metrics, which indicates the potential effectiveness of the proposed approach for supporting medical diagnostics.

Keywords: radiomic features, machine learning, medical images, pathology diagnostics, CatBoost, LightGBM, PyRadiomics, pathology classification, image analysis, expansion of the training sample.

Введение

Автоматизация диагностики медицинских патологий с применением методов машинного обучения открывает новые возможности в области медицины, повышая точность и скорость анализа медицинских изображений. В последнее десятилетие сформировалось новое направление углубленного анализа цифровых изображений — радиомика, которая использует самые разнообразные математические методы обработки изображений, включая статистико-корреляционные и алгоритмы машинного обучения. Радиомика — это быстро развивающаяся область исследований, связанная с извлечением количественных показателей (текстурным анализом) областей интереса на медицинских изображениях.

В данное исследование были включены результаты КТ 620 пациентов, проходивших диагностику и лечение в 2022-2024 годах в медицинских учреждениях г. Москвы. У этих пациентов рентгенологически выявлены и гистологически подтверждены новообразования печени, относящиеся к четырём группам: простые кисты, гемангиомы, карцинома (HCR) и фокальная нодулярная гиперплазия (FNG). Деперсонифицированный набор данных для анализа был предоставлен Центром диагностики и телемедицины, г. Москва [1].

В данном исследовании радиомические признаки — метрики, отражающие текстурные и структурные характеристики изображения — стали основой для классификации различных типов патологий печени. Эти признаки были извлечены с использованием библиотеки PyRadiomics, которая позволяет количественно описывать особенности медицинских изображений.

В рамках предлагаемого подхода анализ радиомических признаков предполагается применять на завершающем этапе исследования, после получения результатов нейросетевой сегментации. Радиомика позволяет интегрировать знания специалистов с возможностями нейронных сетей, что повышает эффективность анализа. В перспективе, использование радиомических признаков может улучшить интерпретируемость нейросетевых моделей, позволяя врачам понимать, на основе каких характеристик принято решение.

Для классификации в предлагаемом исследовании применялись методы CatBoost и LightGBM, каждый из которых был настроен и проверен на предмет точности и полноты. Настоящее исследование направлено на оценку эффективности расширения обучающей выборки путем включения в нее радиомических признаков, извлеченных не только из результатов ручной разметки патологий, как рассмотрено в [1-3] но и из сегментаций, предсказанных моделью UNet.

Методика проведения эксперимента

Радиомические признаки представляют собой набор количественных показателей, которые можно извлечь из изображений для более глубокого анализа их текстуры, формы, интенсивности и других характеристик. Эти признаки находят широкое применение в задачах медицинской диагностики, так как позволяют выявить особенности патологий, недоступные при традиционном визуальном анализе. Основные категории радиомических признаков включают следующие группы[4].

1. Тектурные характеристики. К ним относятся гетерогенность и контрастность, которые описывают распределение яркостей и однородность области на изображении.

2. Формальные признаки. К ним относятся параметры, описывающие форму и структуру объектов, например, круглоту или вытянутость.

3. Гистограммные признаки. В этой группе находятся параметры распределения интенсивности яркости в изображении, позволяющие выявлять паттерны изменения плотности ткани.

Библиотека PyRadiomics предоставляет доступ к набору инструментов для автоматического извлечения таких признаков, упрощая процесс подготовки данных для машинного обучения.

Для задачи классификации использовались два наиболее популярных алгоритма градиентного бустинга: CatBoost и LightGBM. Эти методы широко применяются в задачах анализа данных высокой размерности и зарекомендовали себя как мощные инструменты для обработки сложных наборов признаков, таких как радиомические признаки, позволяя моделям эффективно извлекать значимую информацию для точной классификации патологий. Каждый из этих методов обладает уникальными особенностями, которые делают их особо ценными для анализа медицинских изображений.

– CatBoost — классификатор, адаптированный для работы с несбалансированными данными, что важно в условиях медицинской диагностики, где встречаются редкие патологии. CatBoost эффективно работает с категориальными признаками и позволяет получить хорошие результаты даже при ограниченном объеме обучающей выборки. Это делает его подходящим выбором для задач, требующих гибкости и надежности при анализе неравномерно представленных классов.

– LightGBM — алгоритм, который отличается высокой скоростью обучения без снижения точности. Этот метод оптимизирован для работы с большими объемами данных и

использует продвинутое техники для ускорения процесса вычислений. LightGBM обеспечивает быструю и эффективную обработку, что делает его особенно привлекательным при работе с радиомическими признаками в условиях ограниченных вычислительных ресурсов.

Результаты и их обсуждение

Основной целью эксперимента было исследование влияния увеличения обучающей выборки за счет прогнозов сети UNet на производительность моделей.

На первом этапе данные были разделены на тестовую и обучающую выборки, и модели обучались на основе радиомических признаков.

На втором этапе 40% данных, извлеченных из сегментаций, предсказанных моделью UNet на данных тестовой выборки, были добавлены в обучающую выборку, после чего модели были заново обучены и проверены на оставшейся части тестовой выборки. Сравнительные результаты метрик accuracy и F1-score между этапами показали, что добавление данных положительно сказалось на показателях точности классификации. Это указывает на то, что данные модели способны извлекать больше полезной информации при увеличении объема обучающих данных.

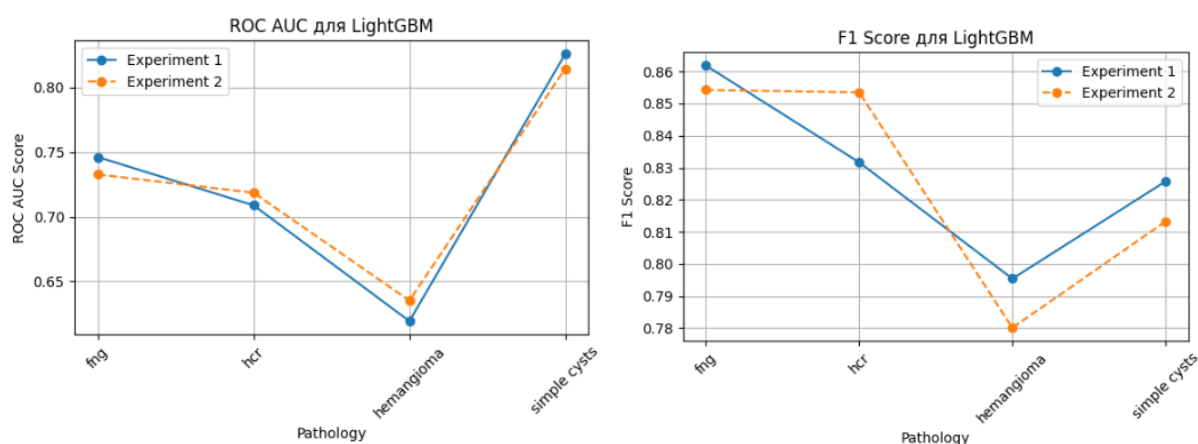


Рис. 1. Сравнение ROC AUC и F1_score у 1 и 2 эксперимента для LightGBM: a – ROC_AUC a; b – F1_score

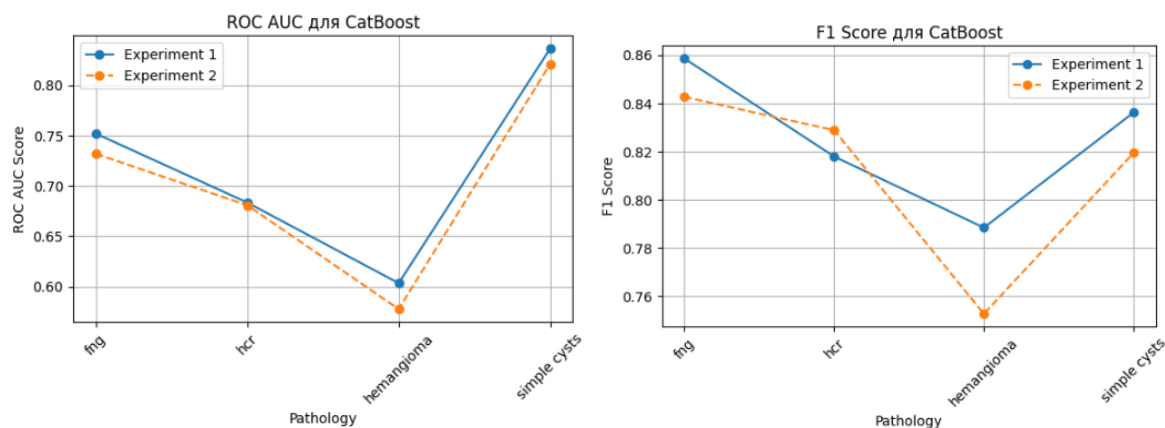


Рис. 2. Сравнение ROC AUC и F1_score у 1 и 2 эксперимента для CatBoost: a – ROC_AUC; b – F1_score

Проведенный эксперимент показал, что модели анализа радиомических признаков можно использовать для сегментаций, полученных сетью для повышения точности прогнозирования. В частности, точность прогнозирования ФНГ сетью UNet, реализованной в библиотеке NUNet без радиомических признаков составляла F1= 0.82, а с использованием радиомических признаков составила F1= 0.865.

Обе модели (LightGBM и CatBoost) продемонстрировали более высокие значения ROC AUC и F1 Score в первом эксперименте для гемангиом и ФНГ. Для карцином (наиболее опасной патологии) второй эксперимент показал более высокую точность. Патология *simple cysts* является единственной, где метрики остались на том же уровне или незначительно улучшились. Это может свидетельствовать о том, что добавление тестовых данных в обучающую выборку не всегда улучшает качество классификации и может даже привести к ухудшению результатов для некоторых классов патологий, вероятно, из-за изменения распределения данных или появления «шумовых» признаков.

Заключение

Проведённое исследование показало, что использование радиомических признаков в сочетании с методами машинного обучения эффективно для автоматизации классификации медицинских патологий. Добавление тестовых данных в обучающую выборку позволило улучшить метрики классификации по некоторым патологиям, что свидетельствует о перспективности такого подхода. Дальнейшие исследования могут быть направлены на оптимизацию моделей для более точного анализа медицинских изображений.

Список литературы

1. Использование радиомических признаков для классификации новообразований печени различной этиологии по данным компьютерной томографии / Ю. А. Васильев, Е. Ф. Савкина, А. А. Борисов [и др.] // Диагностическая и интервенционная радиология. 2024. Т. 18, № S2.1. С. 79-86.
2. Song J., Yin Y., Wang H., Chang Z., Liu Z., Cui L. A review of original articles published in the emerging field of radiomics //Eur J Radiol/ 2020. 127. P. 108991.
3. Kumar V., Gu Y. et al. Radiomics: the process and the challenges// Magn Reson Imaging, 2012. 30(9). P. 1234–1248,
4. Ramón Y Cajal S., Sesé M., Capdevila C. et al. Clinical implications of intratumor heterogeneity: challenges and opportunities.// J Mol Med (Berl). 2020. 98(2). P. 161–177.
5. Mirestean C.C., Pagute O., Buzea C. et al. Radiomic machine learning and texture analysis — new horizons for head and neck oncology// Maedica (Bucur). 2019 . 14(2). P. 126–130.
6. Lubner M.G., Smith A.D., Sandrasegaran K. et al. CT texture analysis: definitions, applications, biologic correlates, and challenges// Radiographics. 2017. 37(5). P.1483–1503.

УДК 621.39

АЛГОРИТМИЧЕСКИЙ ДИЗАЙН ПРОЕКТИРОВАНИЯ СРЕДСТВ МЕДИЦИНСКОЙ ЭЛЕКТРОНИКИ

В.Ф. АЛЕКСЕЕВ, Д.В. ЛИХАЧЕВСКИЙ, Г.А. ПИСКУН

*Учреждение образования «Белорусский государственный университет
информатики и радиоэлектроники (г. Минск, Республика Беларусь)*

Аннотация. Статья посвящена современным методам и принципам разработки медицинских устройств с акцентом на алгоритмический подход. Рассматриваются основные принципы, лежащие в основе алгоритмического проектирования, включая системный анализ, модульность, адаптивность и оптимизацию, что позволяет создавать эффективные и надежные медицинские приборы. Авторы фокусируют внимание на генеративном подходе, который применяет алгоритмические методы для автоматизированной генерации решений и дизайна, существенно ускоряя процесс разработки и улучшая результаты. Описывается последовательность выполнения алгоритмического дизайна, включая этапы идеи, прототипирования, тестирования и валидации, что позволяет систематизировать процесс проектирования и повысить его эффективность. Статья окажется полезной для специалистов в области медицинской электроники и разработчиков, стремящихся внедрить инновационные подходы в своих проектах.

Ключевые слова: алгоритмический дизайн, интерактивный дизайн, генеративный подход, медицинская электроника, структурированный анализ, проектирование.

ALGORITHMIC DESIGN OF MEDICAL ELECTRONICS

VIKTOR F. ALEXEEV, DMITRY V. LIKACHEVSKY, GENNADY A. PISKUN

*Educational Institution «Belarusian State University of Informatics and Radioelectronics»
(Minsk, Republic of Belarus)*

Abstract. The article is devoted to modern methods and principles of medical device development with an emphasis on an algorithmic approach. It discusses the fundamental principles underlying algorithmic design, including systems analysis, modularity, adaptability, and optimization, which enable the creation of efficient and reliable medical instruments. The authors highlight a generative approach that applies algorithmic methods for the automated generation of solutions and designs, significantly accelerating the development process and improving outcomes. The sequence of executing algorithmic design is described, encompassing the stages of ideation, prototyping, testing, and validation, which helps to systematize the design process and enhance its effectiveness. The article will be useful for specialists in medical electronics and developers seeking to implement innovative approaches in their projects.

Keywords: algorithmic design, interactive design, generative approach, medical electronics, structured analysis, design.

Введение

В последние годы области медицины и технологии сталкиваются с растущими вызовами в связи с необходимостью создания инновационных решений для диагностики, лечения и мониторинга состояния пациентов. Одним из ключевых факторов, способствующих прогрессу в этой сфере, является алгоритмический дизайн проектирования средств медицинской электроники. Этот подход позволяет интегрировать современные вычислительные технологии и алгоритмические методы в процесс разработки медицинских устройств, что ведет к повышению их функциональности, эффективности и безопасности [1–5].

Алгоритмический дизайн охватывает широкий спектр аспектов, включая выбор оптимальных компонентов, моделирование процессов, анализ данных и создание интуитивно понятного интерфейса. При этом фундаментальные принципы проектирования ориентированы не только на технические характеристики, но и на потребности пользователя, что особенно

важно в контексте медицинских приложений, где от корректности работы оборудования зачастую зависит жизнь пациента.

Основные принципы алгоритмического подхода в проектировании средств медицинской электроники

Проектирование средств медицинской электроники требует интеграции многогранных знаний, включая биомедицинскую инженерию, информационные технологии, а также организационные и клинические аспекты. В этой области все чаще применяется алгоритмический подход, который позволяет структурировать процесс проектирования и сделать его более эффективным. Под алгоритмическим подходом понимается систематизация методов и технологий, направленных на решение конкретных задач [6–9].

1. Структурированный анализ и проектирование

Первый принцип алгоритмического подхода заключается в проведении структурированного анализа системы. Это включает в себя декомпозицию сложных медицинских задач на более простые составляющие. Используя методы анализа, такие как метод функционального моделирования или диаграммы потоков данных, можно создать четкое представление о том, как система будет функционировать.

Этот процесс включает в себя определение требований пользователей, характеристик функциональности и ограничений дизайна. Например, при проектировании кардиомонитора важно учитывать, что устройство должно обеспечивать непрерывный мониторинг и высокую точность данных. Анализ требований позволяет избежать ошибок в дальнейшем проектировании и повышает надежность конечного продукта.

2. Модульность и повторное использование

Второй принцип заключается в модульности проектируемых систем. Разделение системы на независимые модули позволяет упростить процесс разработки и тестирования. Каждый модуль может быть разработан и протестирован отдельно, что снижает риски ошибок и упрощает последующее обновление программного обеспечения или аппаратного обеспечения.

Эффективное повторное использование ранее разработанных модулей в новых проектах также является важным аспектом алгоритмического подхода. Например, алгоритмы обработки сигналов, используемые в одном медицинском устройстве, могут быть адаптированы для использования в другом, имеющем схожие требования. Таким образом, модульный подход не только ускоряет процесс проектирования, но и облегчает дальнейшую поддержку и развитие системы.

3. Оценка и тестирование

Третий принцип касается оценки и тестирования проектируемых систем. На каждом этапе проектирования и разработки должна проводиться оценка соответствия требованиям. Это включает как функциональные тесты, так и тесты на совместимость, надежность и безопасность. Использование алгоритмических методов для разработки тестовых сценариев позволяет значительно повысить эффективность тестирования.

Инструменты автоматизированного тестирования, такие как модели, основанные на тестировании на основе моделей (МВТ – *Model Based Testing* – это метод тестирования программного обеспечения, при котором поведение тестируемой программы во время выполнения проверяется на соответствие прогнозам, сделанными моделью тестирования), могут быть применены для оценки различных аспектов систем. Например, в случае разработки программного обеспечения для медицинских устройств такие методы помогают выявлять ошибки на ранних стадиях, минимизируя риски на последующих этапах.

4. Интерактивный дизайн и пользовательский интерфейс

Одним из ключевых аспектов проектирования медицинской электроники является создание интуитивно понятных пользовательских интерфейсов. Алгоритмический подход к дизайну включает в себя активное вовлечение конечных пользователей на всех стадиях проектирования. Использование методов интерфейсного проектирования, таких как создание прототипов и пользовательское тестирование, способствует более тесному взаимодействию между разработчиками и пользователями.

Это позволяет не только улучшить качество интерфейсов, но и снижает вероятность ошибок, связанных с неверным пониманием работы устройства. Например, в проектировании систем, используемых для мониторинга состояния пациентов, важно, чтобы интерфейс был интуитивно понятным и обеспечивал быструю доступность необходимых данных.

Генеративный подход в проектировании средств медицинской электроники

Современное здоровье человека во многом зависит от достижений науки и технологии, особенно в области медицинской электроники. Генеративный подход к проектированию программного обеспечения и аппаратных средств все более активно внедряется в эту сферу, приводя к созданию инновационных решений, способствующих улучшению качества диагностики и лечения. В этом контексте искусственный интеллект (ИИ) играет ключевую роль, помогая оптимизировать процесс проектирования и поиска необходимых алгоритмов [9–14].

Генеративный подход – это метод, ориентированный на создание новых решений на основе существующих данных и моделей. В отличие от традиционного подхода, который чаще всего основывается на фиксированных шаблонах и алгоритмах, генеративный подход позволяет дизайнерам и инженерам разрабатывать инновационные продукты, адаптируя их к изменяющимся потребностям пользователей и требованиям рынка.

Применение генеративного подхода в медицине

В области медицинской электроники генеративный подход может быть использован для создания различных типов устройств – от диагностических систем до терапевтических инструментов. Адаптация таких технологий предоставляет возможность моделирования и прогнозирования различных сценариев использования медицинского оборудования, включая индивидуализацию лечения в зависимости от персональных данных пациентов.

Роль машинного обучения. Машинное обучение является одной из ключевых технологий ИИ, которая может быть интегрирована в генеративный подход для улучшения проектирования медицинских устройств. Благодаря способности выявлять скрытые закономерности в больших объемах данных, алгоритмы машинного обучения могут помочь в оптимизации проектирования и подборе наиболее эффективных решений.

Например, в процессе разработки нового устройства для мониторинга сердечно-сосудистой системы можно использовать алгоритмы машинного обучения для анализа данных о пациентах. Это позволит выявить общеизвестные и скрытые паттерны, что в конечном итоге будет способствовать созданию более точного и эффективного устройства.

Генеративные модели. Генеративные модели, такие как генеративные состязательные сети (*GAN*), могут быть использованы для генерации новых дизайнов медицинских устройств. Эти модели обучаются на существующих данных и могут создавать уникальные конструкции, которые соответствуют определенным требованиям.

Одним из показательных примеров может служить использование *GAN* для разработки форм медицинских имплантатов, где важно учитывать анатомические особенности пациента. Это позволяет не только улучшить функциональность устройства, но и повысить его совместимость с организмом.

Примеры успешного внедрения могут являться, например:

– ранняя диагностика заболеваний – одним из ярких примеров внедрения генеративного подхода с использованием ИИ является проект по ранней диагностике заболеваний на основе анализа медицинских изображений. Команда исследователей из университета Стони Брук разработала алгоритм, который анализирует рентгеновские снимки и с помощью генерируемых данных может выявлять предрасположенность к заболеваниям на стадии, когда симптомы ещё не проявились.

– индивидуальные протезы – кроме того, в проектировании протезов также наблюдается успешное применение генеративного подхода. Исследования в этой области показывают, что внедрение машинного обучения позволяет создавать индивидуальные

протезы, которые лучше всего соответствуют анатомическим особенностям пациента. Это значительно повышает уровень удобства и эффективность устройства.

Проблемы применении генеративного подхода. Генеративный подход в проектировании средств медицинской электроники представляет собой одну из наиболее актуальных и перспективных областей исследований и разработок. Этот подход основан на использовании алгоритмов, симулирующих процессы генерации и оптимизации различных компонентов и систем, что позволяет создавать инновационные решения в области медицинских технологий. Однако существует ряд проблем и вызовов, которые необходимо учитывать при применении генеративного подхода в данной сфере.

1. Сложности в адаптации алгоритмов

Одной из основных проблем генеративного подхода в проектировании средств медицинской электроники является сложность адаптации используемых алгоритмов для специфических медицинских условий. Например, различные медицинские приборы, такие как мониторы жизненно важных функций или диагностические устройства, имеют разные требования к надежности, жилой среде и безопасности. Разработка универсального алгоритма, который будет эффективно работать для всех типов медицинской электроники, представляет собой значительную задачу.

2. Этика и безопасность данных

Сложным аспектом использования генеративных моделей является этика и безопасность данных. При проектировании медицинских устройств необходимо учитывать защиту персональных данных пациентов, что особенно актуально в свете предстоящих изменений в законодательстве. Генеративные алгоритмы зачастую требуют больших объемов данных для обучения, что может привести к нарушениям конфиденциальности и безопасности данных, если не будут соблюдены надлежащие меры безопасности [15].

3. Проблемы взаимодействия с медицинским сообществом

Сопротивление со стороны медицинского сообщества является еще одним барьером для внедрения генеративного подхода. Врачи и другие профессионалы могут быть не готовы принимать новые технологии из-за недостаточной информации о их надежности и эффективности. Важно провести обучение и информирование медицинских работников о преимуществах и рисках использования таких технологий, что требует значительных усилий со стороны разработчиков и исследовательских организаций [16].

4. Нормативно-правовые аспекты

Нормативно-правовые аспекты также представляют собой значительную преграду для применения генеративного подхода. Регулирование в области медицинской электроники часто отстает от быстрого прогресса технологий. Это создает проблемы с сертификацией и утверждением новых устройств на рынке, что может замедлить внедрение инновационных решений, созданных с использованием генеративных методов [17].

5. Технические ограничения

Нельзя не упомянуть и технические ограничения, с которыми сталкиваются разработчики. Генеративные модели могут потребовать значительных вычислительных ресурсов для обучения и оптимизации, что может быть непрактично в условиях ограниченных бюджетов. Кроме того, для интеграции разработанных решений в существующие медицинские системы могут потребоваться дополнительные усилия и время на адаптацию [18].

Последовательность выполнения алгоритмического дизайна

Современные технологии в области медицинской электроники играют ключевую роль в диагностике, лечении и мониторинге состояния пациентов. Проектирование таких систем требует тщательного планирования, глубоких знаний и применения алгоритмического дизайна. Последовательность выполнения процесса проектирования помогает организовать работу и минимизировать ошибки, связанные с разработкой продукта. Рассмотрим основные этапы алгоритмического дизайна проектирования средств медицинской электроники.

1. Определение требований

Первый шаг в алгоритмическом дизайне – это четкое понимание требований к медицинскому устройству. Это включает в себя функциональные требования, такие как:

- виды измерений или воздействий, которые устройство должно выполнять (например, мониторинг сердечного ритма, анализ крови и т.д.);
- надежность и долговечность устройства;
- соответствие стандартам и нормативам в области медицины и безопасности.

Для сбора требований можно использовать анкетирование, интервью с врачами и специалистами, а также анализ существующих решений [19].

2. Исследование и анализ

На этом этапе необходимо провести исследование существующих технологий и решений, которые могут быть использованы для создания нового устройства. Это включает в себя анализ патентов, научных публикаций и продукции конкурентов. Важно понимать сильные и слабые стороны аналогичных устройств, а также тенденции развития отрасли [20].

3. Концептуальное проектирование

После того как требования определены и проведен анализ существующих решений, начинается этап концептуального проектирования. В этом разделе разрабатываются начальные концепции устройства, создаются схемы и диаграммы, которые иллюстрируют взаимодействие различных компонентов [21]. На этом этапе также важно провести предварительное исследование рынка для определения потенциальной потребности в устройстве.

4. Алгоритм проектирования

Разработка алгоритма, предназначенного для выполнения задач, заложенных в требованиях, является ключевым этапом проектирования. Алгоритм должен быть эффективным и оптимизированным, позволяющим устройству функционировать быстро и точно. На этом этапе важно:

Определить математические модели, которые будут использоваться в алгоритме;

Выбрать подходящие технологии для реализации (например, использование микроконтроллеров, FPGA и т.д.);

Подготовить документацию, необходимую для программистов и инженеров [22].

5. Прототипирование

После завершения алгоритма проектирования начинается этап прототипирования. Создание прототипа позволяет протестировать концепции и алгоритмы в действии. Это может быть как аппаратный, так и программный прототип. Важно провести тестирование на различных этапах, чтобы выявить недостатки и возможные ошибки, которые могут возникнуть при использовании устройства [23].

6. Тестирование и валидация

Тестирование и валидация являются критически важными этапами в процессе проектирования средств медицинской электроники. Необходимо провести как предварительное, так и финальное тестирование, чтобы убедиться в том, что устройство соответствует установленным требованиям безопасности и эффективности (ISO 14971). Валидация включает в себя клинические испытания, где устройство тестируется на реальных пациентах для подтверждения его надежности и безопасности [24].

7. Документация и сертификация

После успешного тестирования следующим шагом является подготовка всей необходимой документации для сертификации устройства. Это включает в себя инструкции по эксплуатации, технические характеристики и результаты испытаний. Сертификация может потребовать дополнительных проверок, подтверждающих соответствие требованиям международных стандартов, таких как ISO 13485 [25].

Заключение

Алгоритмический подход в проектировании средств медицинской электроники представляет собой важный инструмент, который помогает объединить знания из различных областей и обеспечивает более качественные результаты. Структурированный анализ, модульность, тщательное тестирование и внимание к пользователю помогают создавать надежные и эффективные медицинские устройства, которые могут существенно улучшить качество медицинского обслуживания.

Таким образом, применение алгоритмического подхода в проектировании средств медицинской электроники открывает новые возможности для инновационных разработок в области здравоохранения.

Список литературы

1. Алексеев, В. Ф. Человеческий фактор и юзабилити-инжиниринг в процессе проектирования инновационных медицинских устройств=Human factors and usability engineering in the design process of innovative medical devices / В. Ф. Алексеев, Г. А. Пискун // Медэлектроника–2022. Средства медицинской электроники и новые медицинские технологии : сборник научных статей XIII Международной научно-технической конференции, Минск, 8-9 декабря 2022 г. / Белорусский государственный университет информатики и радиоэлектроники ; отв. за вып.: М. В. Давыдов. – Минск : БГУИР, 2022. – С. 143–148.
2. Somayaji, K., & Bansal, A. (2020). Algorithmic Design in Biomedical Engineering: A Review. *Journal of Biomedical Engineering and Medical Devices*, 5(2), pp. 1-11.
3. Zhang, Y., & Qin, Z. (2021). Machine Learning in Medical Electronics: Challenges and Opportunities. *IEEE Transactions on Biomedical Engineering*, 68(5), pp. 1450-1460.
4. Li, Y., et al. (2022). Designing Medical Devices using IoT: Algorithmic Approaches and Their Applications. *Sensors*, 22(8), 3200.
5. Z. Ahmed, et al., Artificial intelligence with multi-functional machine learning platform development for better healthcare and precision medicine, *Database* 2020 (2020).
6. Frolov, A., & Rubtsov, A. (2020). Principles and Methods of Designing Medical Electronic Systems. *Biomedical Engineering*, 54(6), 360-367.
7. Hwang, Y., & Kim, Y. (2019). Modular Design in Medical Device Development. *Journal of Medical Systems*, 43(7), 189.
8. Hsu, C., & Lee, Y. (2021). User-Centric Design Approaches in Medical Devices: A Review. *Applied Ergonomics*, 93, 103360.
9. ASTM International. (2020). Standard Guide for the Assessment of the Safety of Medical Devices. ASTM F2503-07.
10. Zhang, Y., & Zheng, J. (2021). Generative Models for Medical Diagnosis: Recent Advances and Applications. *Journal of Medical Systems*, 45(5), 28-45.
11. Goodfellow, I., Pouget-Abadie, J., Mirza, M., Xu, B., Warde-Farley, D., Ozair, S., ... & Courville, A. (2014). Generative Adversarial Nets. *Advances in Neural Information Processing Systems*, 27.
12. Kearney, M. (2020). Machine Learning Techniques in Medical Device Development. *IEEE Transactions on Biomedical Engineering*, 67(8), 2371-2381.
13. Dattani, N., & Ramesh, B. (2021). Application of AI in Medical Devices: A Review. *Artificial Intelligence in Medicine*, 113, 101107.
14. Liu, T., Chen, J., & Hou, J. (2021). Personalized Prosthesis Design Using AI-Powered Generative Design. *Journal of Biomedical Materials Research Part B: Applied Biomaterials*, 109(5), 809-820.
15. Coccozza, R., & Conforti, M. (2021). Data Privacy in Medical Devices: Opportunities and Challenges. *Journal of Medical Systems*, 45(5), 1-12.
16. Arora, S., & Bansal, H. (2020). The Role of Medical Professionals in Adopting New Technologies. *International Journal of Health Services*, 50(3), 345-357.
17. Van Veen, T. (2019). Regulatory Frameworks for Medical Devices: Navigating the Minefield. *Biomedical Engineering Online*, 18, 12-23.
18. Johnson, T. (2022). Overcoming Technical Limitations in Generative Design for Medical Devices. *Engineering in Medicine & Biology Society*, 2022, 1234-1241.
19. Cai, Y., Wang, D., & Zhang, Y. (2020). Requirements engineering in medical device development: A review. *Journal of Biomedical Informatics*, 112, 103600.
20. Mok, C. K., Inamdar, A., & MacKenzie, C. R. (2019). A systematic review of existing technologies for the implementation of medical device interoperability. *Journal of Medical Devices*, 13(1), 010934.
21. Khan, F., Ansari, M. A., & Murtaza, G. (2021). Conceptual framework for medical device design and development. *Medical Engineering & Physics*, 95, 18-29.
22. Ahmed, A., Gupta, S., & Kumar, A. (2018). Algorithm design for medical devices: A review. *Health Information Science and Systems*, 6(1), 1-12.
23. Dou, Y., Li, X., & Zhang, Y. (2021). Prototyping methods in medical device design: A comparative study. *Journal of Healthcare Engineering*, 2021, 9987384.
24. Curtis, L. H., et al. (2020). Clinical trial design for medical devices: a review of the current status. *Devices for Medical Applications*, 28, 100350.
25. Deng, Y., Wang, Z., & Jiang, H. (2019). Quality management system in medical device industry: A case study. *International Journal of Medical Sciences*, 16(13), 1-8.

УДК 621.39

ПРОТОТИПИРОВАНИЕ И КОНЦЕПТУАЛЬНОЕ ПРОЕКТИРОВАНИЕ СРЕДСТВ МЕДИЦИНСКОЙ ЭЛЕКТРОНИКИ

В.Ф. АЛЕКСЕЕВ, Д.В. ЛИХАЧЕВСКИЙ, Г.А. ПИСКУН

*Учреждение образования «Белорусский государственный университет
информатики и радиоэлектроники (г. Минск, Республика Беларусь)*

Аннотация. Рассматриваются ключевые аспекты прототипирования и концептуального проектирования средств медицинской электроники, акцентируя внимание на важности интерактивного взаимодействия врача и медицинского оборудования. Анализируются современные подходы к взаимодействию медицинского персонала с высокотехнологичными устройствами. Рассматриваются факторы, способствующие эффективной коммуникации между врачом и медицинским оборудованием, такие как интуитивный интерфейс и адаптация технологий к требованиям клинических задач. Описываются методы прототипирования интерфейсов, позволяющие учитывать потребности пользователей на ранних стадиях разработки. Рассматриваются инструменты и технологии, которые помогают создать прототипы, способствующие тестированию концепций и сбору обратной связи от врачей, что, в свою очередь, повышает качество и удобство использования медицинских устройств. Обсуждается процесс концептуального проектирования, который включает в себя этапы исследования потребностей, генерации идей и создания дизайн-концепций. Подчеркивается значимость прототипирования и концептуального проектирования в развитии медицинских технологий, направленных на улучшение качества медицинских услуг и опыт взаимодействия врачей с оборудованием.

Ключевые слова: прототипирование, интерактивное взаимодействие, концептуальное проектирование, медицинская электроника.

PROTOTYPING AND CONCEPTUAL DESIGN OF MEDICAL ELECTRONICS

VIKTOR F. ALEXEEV, DMITRY V. LIKACHEVSKY, GENNADY A. PISKUN

*Educational Institution «Belarusian State University of Informatics and Radioelectronics»
(Minsk, Republic of Belarus)*

Abstract. The key aspects of prototyping and conceptual design of medical electronics are considered, emphasizing the importance of interactive interaction between physicians and medical equipment. Modern approaches to the interaction of healthcare personnel with high-tech devices are analyzed. Factors that contribute to effective communication between the physician and medical equipment are discussed, such as intuitive interfaces and the adaptation of technologies to the requirements of clinical tasks. Methods for prototyping interfaces that take user needs into account at early stages of development are described. Tools and technologies that help create prototypes facilitating the testing of concepts and gathering feedback from physicians are discussed, which, in turn, enhances the quality and usability of medical devices. The process of conceptual design is examined, encompassing the stages of needs assessment, idea generation, and the creation of design concepts. The significance of prototyping and conceptual design in the development of medical technologies aimed at improving the quality of medical services and the experience of interaction between physicians and equipment is emphasized.

Keywords: prototyping, interactive interaction, conceptual design, medical electronics.

Введение

В последние годы развитие медицинской электроники стало одним из ключевых факторов, способствующих улучшению качества медицинских услуг и повышению их доступности. Инновационные технологии в данной области позволяют не только эффективно диагностировать и лечить заболевания, но и значительно улучшать процессы мониторинга здоровья пациентов, обеспечивая более точное и персонализированное лечение. Однако для

разработки эффективных устройств и систем требуется не только глубокое понимание медицинских и инженерных аспектов, но и применение современных методов проектирования.

Прототипирование и концептуальное проектирование играют важную роль в процессе создания новых средств медицинской электроники. Эти подходы позволяют объединить идеи, технологии и требования пользователей на ранних этапах разработки, минимизируя риски и затраты, а также ускоряя вывод новых продуктов на рынок. В статье будет рассмотрен процесс прототипирования, его методы и инструменты, а также значимость концептуального проектирования в контексте медицины. Мы также проанализируем успешные примеры внедрения этих методов, что позволит выявить ключевые аспекты, способствующие эффективному развитию медицинских технологий и обеспечению безопасности пациентов.

Понятия интерактивного взаимодействия врача и медицинского оборудования

В последние десятилетия здравоохранение претерпело значительные изменения благодаря развитию технологий и медицины. Интерактивное взаимодействие врача и медицинского оборудования становится ключевым аспектом в процессе диагностики и лечения. Это взаимодействие включает в себя использование различных устройств, программного обеспечения и технологий, которые помогают врачам в их работе, улучшая качество медицинских услуг и повышая эффективность лечения.

Интерактивное взаимодействие включает в себя не только непосредственное обращение врача к медицинскому оборудованию, но и использование различных интерфейсов, которые позволяют врачу получать и обрабатывать информацию в режиме реального времени. Примеры таких технологий включают системы телемедицины, электронные медицинские записи (ЭМЗ), а также устройства для мониторинга здоровья. Эти инструменты делают процесс диагностики более точным и оперативным, позволяя врачам лучше понимать состояние пациента и принимать более обоснованные решения [1–4].

Важным аспектом интерактивного взаимодействия является удобство пользователя. Оборудование и программное обеспечение должны быть интуитивно понятными и легко доступными для врачей, чтобы минимизировать время, необходимое на обучение и адаптацию. Эффективные интерфейсы помогают избежать ошибок в работе и обеспечивают быстрое реагирование на изменения состояния пациента.

Кроме того, интерактивное взаимодействие способствует обмену данными между различными медицинскими устройствами и системами, что позволяет создать более полную картину здоровья пациента. Это особенно актуально в условиях многопрофильных клиник, где взаимодействие между различными специалистами имеет решающее значение для успешного лечения.

Одним из ярких примеров интерактивного взаимодействия является использование виртуальной и дополненной реальности в медицине. Эти технологии позволяют врачам взаимодействовать с пациентами и медицинским оборудованием в 3D-пространстве, улучшая визуализацию и понимание анатомических структур и патологий.

Таким образом, интерактивное взаимодействие врача и медицинского оборудования представляет собой сложный и многогранный процесс, который играет ключевую роль в современном здравоохранении. Использование новых технологий и методов взаимодействия открывает новые горизонты для диагностики и лечения, делая медицинские услуги более доступными и эффективными.

Прототипирование пользовательского человеко-машинного интерфейса

Прототипирование является важным этапом в разработке пользовательского интерфейса и пользовательского опыта. Этот процесс позволяет дизайнерам и разработчикам создать предварительные версии интерфейсов для тестирования и получения обратной связи от пользователей до начала окончательной разработки.

Существует несколько типов прототипов, включая низкоуровневые (или «paper» прототипы), которые представляют собой простые рисунки или чертежи, и высокоуровневые, которые содержат интерактивные элементы и могут симулировать реальное взаимодействие с

продуктом. Использование прототипов помогает выявить проблемы с дизайном и юзабилити, а также улучшить общий опыт пользователей [5].

Одним из ключевых преимуществ прототипирования является возможность быстрой проверки идей и концепций. Когда дизайнеры могут визуализировать свои идеи и представлять их пользователям, они могут быстрее перейти к оптимизации интерфейса на основе полученной обратной связи. Это позволяет избежать затрат на время и ресурсы в процессе разработки, так как ошибки и недочёты исправляются на начальных этапах.

Современные инструменты для прототипирования, такие как *Figma*, *Adobe XD* и *InVision*, предлагают широкий спектр функций для создания интерактивных прототипов. Эти инструменты позволяют командам работать совместно, обмениваться идеями и получать мгновенную обратную связь, что значительно ускоряет процесс разработки интерфейса.

Важно помнить, что прототипирование – это итеративный процесс. Дизайнеры должны быть готовы к изменениям на каждом этапе и открыты к предложениям от пользователей. Таким образом, создание успешного интерфейса требует постоянного взаимодействия с конечными пользователями и их участия в процессе тестирования и доработки. Прототипирование пользовательского интерфейса и человеко-машинного интерфейса (ЧМИ) представляет собой важный этап в процессе разработки программного обеспечения. Этот этап позволяет командам создать и тестировать свои идеи на ранних стадиях, прежде чем они будут реализованы в окончательном продукте. Прототипы могут принимать различные формы: от простых бумажных макетов до высокофункциональных интерактивных моделей, которые позволяют пользователям взаимодействовать с интерфейсом, как если бы он уже был готов [6–10].

Значение прототипирования.

Прототипирование служит нескольким важным целям:

- визуализация идеи: прототипы помогают разработать и визуализировать концепцию интерфейса, что упрощает обсуждение идей в команде и с клиентами;
- тестирование: прототипы позволяют проводить тестирование с реальными пользователями на ранних стадиях разработки, выявляя проблемы и собирая обратную связь;
- экономия времени и ресурсов: обнаружение и исправление проблем на этапе прототипирования значительно дешевле и менее затратно, чем внесение изменений на более поздних этапах разработки.

Виды прототипов

Существует несколько видов прототипов, которые можно использовать на разных стадиях разработки:

- бумажные прототипы: это базовые наброски интерфейса, выполненные на бумаге. Они позволяют командам быстро визуализировать идеи и проводить простое тестирование функциональности;
- визуальные прототипы: создаются с использованием графических редакторов и *prototyping tool*. Они более детализированы и могут включать элементы дизайна и навигации;
- интерактивные прототипы: эти прототипы позволяют пользователям взаимодействовать с интерфейсом, как с реальным приложением. Такие прототипы часто создаются с помощью специализированных инструментов (например, *Figma*, *Adobe XD*, *Axure*).
- функциональные прототипы: они могут включать в себя часть функциональности конечного продукта и используются для тестирования ключевых сценариев использования программы.

Инструменты для прототипирования

На сегодняшний день существует большое количество инструментов для прототипирования. Рассмотрим некоторые из них:

- *Figma*: это облачный инструмент для проектирования интерфейсов и прототипирования, который позволяет командам совместно работать над проектом в реальном времени;
- *Adobe XD*: программа для проектирования и прототипирования интерфейсов, предоставляющая мощные инструменты для создания интерактивных прототипов;

– *Axure*: профессиональный инструмент для создания *wireframes* и интерактивных прототипов. Позволяет добавлять элементы логики, что делает прототипы более реалистичными;

– *Sketch*: популярный инструмент среди *UX/UI*-дизайнеров для проектирования и создания прототипов, особенно в среде *macOS*;

– *InVision*: платформа для создания интерактивных прототипов и совместной работы с командой.

Рекомендации по прототипированию интерфейсов

Рекомендуется сначала создать базовую версию прототипа. На этом этапе главное – сосредоточиться на основных функциях, а более сложные элементы можно добавить позже.

На ранних этапах разработки целесообразно выполнить тестирование прототипы с реальными пользователями. Их отзывы помогут определить, что работает, а что нет.

Примените итеративный подход: прототипируйте, тестируйте, собирайте обратную связь и вносите изменения. Работа в итерациях позволяет быстро адаптироваться к изменяющимся требованиям.

Обязательно документируйте процесс: записывайте все этапы разработки и изменения, внесенные на основе обратной связи. Это поможет избежать недоразумений и сохранить информацию для будущих проектов.

Обсуждайте и пересматривайте: регулярно собирайтесь с командой для обсуждения проделанной работы и выявления новых идей для улучшения интерфейса.

Концептуальное проектирование средств медицинской электроники

Концептуальное проектирование средств медицинской электроники – это сложный и многоуровневый процесс, который требует глубоких знаний как в области медицины, так и в области инженерного проектирования. Разработка медицинских устройств должна учитывать не только функциональные характеристики, но и безопасность, надежность, эргономику и соответствие требованиям законодательства. В последние десятилетия наблюдается активное развитие технологий, что, в свою очередь, требует более гибкого и инновационного подхода к проектированию медицинских приборов.

Концептуальное проектирование начинается с анализа потребностей пользователей и определение ключевых функций устройства. Один из первых этапов – это проведение исследований на основе опросов врачей и пациентов, чтобы выяснить, какие функции приборов им необходимы. Использование методов проектирования с участием пользователей (*User-Centered Design*) позволяет более точно определять потребности и ожидания конечных пользователей, что в конечном итоге повышает эффективность и удобство использования устройства.

Следующим важным этапом является разработка концептуальных схем и моделей устройства. На этом этапе проектировщики создают технические чертежи, схемы и макеты, которые помогают визуализировать конечный продукт и его функциональные возможности. При разработке концепции устройства особенно важно учитывать возможные сценарии его использования, что позволит выявить потенциальные проблемы на ранних этапах проектирования.

Безопасность медицинских устройств является критически важным аспектом их проектирования. Все медицинские приборы должны соответствовать жестким стандартам и нормативам, которые регулируются международными и национальными организациями. Эти стандарты включают оценки рисков, тестирование биосовместимости, а также долгосрочные испытания на безопасность и эффективность. Включение концепции оценки рисков на начальных этапах проектирования помогает минимизировать потенциальные угрозы для пациентов и пользователей.

Современные технологии значительно изменили подходы к проектированию медицинской электроники. Инновации, такие как искусственный интеллект (ИИ), большие данные и интернет вещей (IoT), открывают новые горизонты для разработки. Например, использование ИИ в анализе данных позволяет не только улучшить диагностику, но и

оптимизировать производственные процессы и профилактическое обслуживание медицинских устройств.

IoT-технологии позволяют врачам и медицинским работникам собирать данные в реальном времени, что способствует улучшению ухода за пациентами. Проектирование устройств с учетом возможностей интеграции в облачные платформы и систем хранения данных увеличивает их функциональность и позволяет принимать более обоснованные решения на основе собранной информации.

Заключение

Прототипирование – это важная составляющая процесса разработки пользовательских интерфейсов и человеко-машинных интерфейсов. Эффективное использование прототипов может значительно повысить качество конечного продукта и удовлетворенность пользователей. Сегодня существует широкий выбор инструментов для прототипирования, которые позволяют командам находить наиболее подходящие решения для своих проектов. Помня о лучших практиках и принципах итеративного подхода, команды могут успешно создавать интерфейсы, которые действительно отвечают потребностям пользователей.

Концептуальное проектирование средств медицинской электроники – это динамичный и многогранный процесс, который сочетает в себе творческий подход, строгие научные методы и соблюдение стандартов безопасности. Внедрение новых технологий и методов проектирования позволяет не только улучшить качество медицинских изделий, но и повысить уровень заботы о пациентах. Важно постоянно обновлять знания и навыки проектировщиков.

Список литературы

1. Jiang, Y., & Tan, J. (2020). Interactive Medical Devices and Their Role in Patient Care. *Journal of Healthcare Engineering*, 2020.
2. Kneebone, R., & Scott, W. (2019). The Role of Interactive Technology in Clinical Training. *Medical Education*, 53(2), 123-129.
3. Wang, K., & Li, Y. (2021). Telemedicine and Interactive Medical Technology: A Review. *Health Information Science and Systems*, 9(1), 14.
4. Radley, D. C., & Dyer, A. (2018). The Impact of Electronic Medical Records on Patient Safety. *Healthcare Policy*, 13(4), 70-82.
5. Алексеев, В. Ф. Человеческий фактор и юзабилити-инжиниринг в процессе проектирования инновационных медицинских устройств=Human factors and usability engineering in the design process of innovative medical devices / В. Ф. Алексеев, Г. А. Пискун // Медэлектроника–2022. Средства медицинской электроники и новые медицинские технологии : сборник научных статей XIII Международной научно-технической конференции, Минск, 8-9 декабря 2022 г. / Белорусский государственный университет информатики и радиоэлектроники ; отв. за вып.: М. В. Давыдов. – Минск : БГУИР, 2022. – С. 143–148.
6. Norman, D. A. (2013). *The Design of Everyday Things*. Basic Books.
7. Cooper, A., Reimann, R., & Cronin, D. (2014). *About Face: The Essentials of Interaction Design*. Wiley.
8. Garrett, J. J. (2010). *The Elements of User Experience: User-Centered Design for the Web and Beyond*. New Riders.
9. Nielsen, J., & Loranger, H. (2006). *Prioritizing Web Usability*. New Riders.
10. Krug, S. (2014). *Don't Make Me Think: A Common Sense Approach to Web Usability*. New Riders.
11. ISO 13485:2016. *Medical devices — Quality management systems — Requirements for regulatory purposes*. International Organization for Standardization.
12. FDA. (2021). *Medical Device Safety*. Retrieved from <https://www.fda.gov>
13. European Commission. (2017). *Medical Devices: Guidance on the Clinical Evaluation of Medical Devices*. Official Journal of the European Union.
14. Kalinowski, T. et al. (2019). Design thinking approach in medical devices design: A review. *Journal of Health Engineering*, 2019.
15. Yang, Y., & Zhuang, R. (2020). Internet of Things in Medical Devices: A Review of Current Applications and Future Challenges. *IEEE Internet of Things Journal*, 7(1), 324-334.
16. Leek, K. et al. (2021). User-centered design in the development of healthcare technologies: a systematic review. *International Journal of Medical Informatics*, 156, 104193.

УДК 616.8

ОБЪЕКТИВИЗАЦИЯ ХРОНИЧЕСКОГО БОЛЕВОГО СИНДРОМА

Г.Д. СИТНИК¹, М.В. ДАВЫДОВ², А.Н. ОСИПОВ², Э.С. КАШИЦКИЙ⁴, С.К. ДИК²,
Н.Н. ПРОТЬКО¹, В.В. ВОЙТОВ³, М.Э. КАШИЦКАЯ⁵, М.И. ТАРАСЕВИЧ⁵, И.Г. ТЕРЕХОВА⁶,
Э.П. СИНЯК⁶

¹ Белорусский государственный медицинский университет

Пр. Дзержинского 83, Минск, 220083, Беларусь

² Белорусский государственный университет информатики и радиоэлектроники

П.Бровки 6, Минск, 220013, Беларусь

³ 39-ая городская клиническая поликлиника

Каролинская 3, Минск, 220045, Беларусь

⁴ Институт физиологии НАН Беларуси

Академическая 28, Минск, 220072, Беларусь

⁵ 2-я городская клиническая больница

Энгельса 25, Минск, 220030, Беларусь

⁶ Республиканский санаторий «БЕРЕЗИНА» для ветеранов войны, труда и инвалидов»,
Минская область, Республика Беларусь

Аннотация. Инструментальные методы объективизации хронического болевого синдрома являются важным компонентом оценки динамики и эффективности проводимой терапии. Представлены данные цифровой прессорной альгометрии с использованием ручного алгометра в зоне наиболее выраженных клинических болевых проявлений. Отмечена положительная корреляционная связь между уровнем болевого синдрома и данными механической альгометрии.

Ключевые слова: хронический болевой синдром, цифровая прессорная альгометрия, визуально-аналоговая шкала интенсивности боли, инструментальные методы объективизации боли, прессорный болевой порог, временная суммация боли.

OBJECTIVIZATION OF CHRONIC PAIN SYNDROME

G.D. SITNIK¹, M.V. DAVYDOV², A.N. OSIPOV², E.S. KASHICKIJ⁵, S.K. DZIK²,
N.N. PROT'KO¹, V.V. VOJTOV³, M.E. KASHICKAYA⁵, O.YA. KUZNECOV⁴,
M.I. TARASEVICH⁶, I.G. TEREKHOVA⁷, E.P. SINYAK⁷

¹ Belarusian State Medical University,

Avenue Dzerzhinsky 83, Minsk, 220083, Belarus

² Belarusian State University of Informatics and Radioelectronics

P.Brovki Street 6, Minsk, 220013, Belarus

³ 39th City Clinical Polyclinic,

Karolinskaya 3, Minsk, 220045, Belarus

⁴ Institute of Physiology of the National Academy of Sciences of Belarus

⁵ 2th City Clinical Polyclinic,

Engelsa 25, Minsk, 220030, Belarus

⁶ Republican Sanatorium «Berezina» for Veterans of War, Labor and Disabled,
Minsk region, Republic of Belarus

Abstract. Instrumental methods of objectification of chronic pain syndrome are an important component of assessment of dynamics and effectiveness of the conducted therapy. The data of digital pressor algometry using a hand-held algometer in the zone of the most pronounced clinical pain manifestations are presented. A positive correlation between the level of pain syndrome and the data of mechanical algometry is noted.

Keywords: chronic pain syndrome, digital pressor algometry, visual analogue pain intensity scale, instrumental methods of pain objectification, pressor pain threshold, temporal summation of pain.

Введение

Около 90 % всех заболеваний связано с болью. По данным разных исследователей, от 7 до 64 % населения периодически испытывают чувство боли, а от 7 до 45 % страдают рецидивирующей или хронической болью. Две трети населения мира живут с болью более 5 лет и консультировались по этому поводу не менее, чем у трех специалистов. В США на борьбу с болью ежегодно затрачивается более 100 млрд. долларов.

По длительности болевого синдрома подразделяют:

- Острая (длительность < 6 недель, в онкологии < 3 месяцев);
- Хроническая (длительность > 6 недель, в онкологии >3 месяцев).

Наибольшее распространение имеют хронические боли в области спины.

Хронический болевой синдром (ХБС) является самостоятельным заболеванием. Он не выполняет защитной функции и не несет никакой биологической целесообразности. Хроническая боль ведёт к дезадаптации, ненормальному восприятию болевых и не болевых импульсов и сопровождается различными нарушениями функций центральной нервной системы. Клиническая картина зависит от локализации очага поражения, конституции больного, его психики и индивидуального порога болевой чувствительности, предшествующего болевого опыта.

Основной причиной возникновения ХБС является длительно существующая постоянная боль, которая вызывает дисбаланс в работе периферической и центральной нервной системы. Нейронные рецепторы и волокна в этом случае подвергаются постоянной активизации, что приводит к возрастающей стимуляции центральной нервной системы болевыми раздражителями.

Цель исследования - объективизировать метод цифровой прессорной альгометрии с применением ручного альгометра в зоне наиболее выраженных клинических проявлений при хроническом болевом синдроме в клинической практике.

Методика

Оценка интенсивности ХБС наиболее проста и удобна для исследователя и пациента с помощью *визуально-аналоговой шкалы* (ВАШ) интенсивности боли от 0 до 100%. Для этого просили пациента на отрезке прямой линии длиной 10 см (градуированной в мм от 1 до 100) изобразить силу боли, которую он испытывает на момент исследования. Ноль соответствовал отсутствию боли, а конечная цифра шкалы – максимально выраженной боли, которую пациент испытывал когда либо в жизни. Эта шкала позволяет количественно оценить динамику ХБС в процессе лечения.

При сопоставлении полученных сведений с клинической картиной и данными инструментальных методов обследования, определяли степень интенсивности боли (слабая – от 0 до 40%, умеренная – от 40% до 70%, сильная – от 70% до 100%).

Для оценки нейропатического характера боли использовали удобный для скрининговых исследований опросник DN 4.

В научных исследованиях применяют инструментальные методы объективизации боли. Альгометрия заключается в количественном измерении субъективного отчета о боли при предъявлении нарастающих по интенсивности болевых стимулов. Исследователь с помощью механического альгометра (прибор в виде механического стержня с пружиной, датчиком и цифровым индикатором) надавливает на определенную точку тела. При появлении боли и ощущении нестерпимой боли, пациент путем нажатия на специальную кнопку фиксирует цифровое значение при котором возникла боль. Обычно используются множество точек, что позволяет определить зоны локализации максимальной боли.

Одним из методов оценки ХБС является определение прессорного болевого порога, измеряемого с помощью цифрового альгометра в клинических и экспериментальных условиях. При исследовании данного нейрофизиологического феномена определяют степень давления на заданную область, выраженную, в кг/см², при которой происходит трансформация неболевого, постепенно наращиваемого прессорного стимула в болевой.

Исследование проводилось по разработанной нами методике. Перед началом проведения процедуры врач-исследователь просил больного, находящегося в положении лежа на животе, указать на локус наиболее выраженной, по мнению пациента, боли в пояснично-крестцовой области, который затем уточнялся с помощью пальпации. При постепенном наращивании усилия посредством давления резиновой рабочей поверхностью альгометра площадью 1 см², расположенной перпендикулярно кожной поверхности тела, на верифицированную точку максимальной болезненности фиксировали силу давления в кг/см², при которой пациент сообщал о появлении боли (болевого порог (БП)). Также нами проводился анализ временной суммации боли, вызванной прессорным альгометром. Для этого последовательно (1 секунда стимуляция и 3 секунды отдых) в верифицированную точку максимальной болезненности в пояснично-крестцовой области 10 раз осуществляли надавливание резиновой рабочей поверхностью альгометра с силой давления БП, установленной ранее. После каждого болевого стимула пациент сообщал о субъективной выраженности боли, оцененной по 100-балльной шкале ВАШ. Полученные таким образом 10 значений ВАШ-боли суммировались (ВАШсум) и использовались для дальнейшей статистической обработки.

Результаты и их обсуждение

В исследование включены 55 пациентов с диско-радикулярным ХБС до и после курса консервативного лечения. Возраст больных варьировал от 30 до 70 лет. Мужчин 33, женщин 22. Средний возраст составил 50,6±6,4. лет. Критерии включения: вертеброгенный (дискогенный) болевой синдром в области поясницы, (М 54,5 по МКБ-10), доброкачественный характер которого верифицирован результатами нейровизуализационного исследования (магнитнорезонансная или компьютерная томография); умеренный или выраженный болевой синдром, больше 65 мм по ВАШ; рецидивирующее или персистирующее течение заболевания, с давностью текущего обострения не менее 3 месяцев.

Кроме стандартного неврологического, обследование включало в себя исследование тактильной, вибрационной, температурной и болевой чувствительности в зонах выраженного болевого синдрома. Устанавливался характер изменений - нормальная, сниженная, повышенная или извращенная чувствительность. Обращали внимание и на сопутствующие вегетативно-трофические нарушения (изменение окраски кожных покровов (гиперемия или цианоз), нарушения трофики тканей, повышенное или пониженное потоотделение, отечность).

Перед курсом лечения определяли выраженность болевого синдрома с помощью шкал ВАШ и DN 4, а также с использованием механического альгометра регистрировали БП и ВАШсум, для выявления нейропатического характера боли использовали шкалы DN4.

Клиническая характеристика пациентов до курса терапии. Уровень боли по ВАШ (мм) 74 ± 13; частота нейропатической боли (по DN 4) 49.1%; уровень боли (по DN 4) (в баллах) 4,4±0,8; гипестезия в зоне иннервации пораженного корешка 83,6%; гиперэстезия в зоне поврежденного корешка 16,3%; парэстезии в зоне пораженного корешка 52,7%; снижение мышечной силы 45,8%; снижение сухожильно-надкостничных рефлексов 52,7%; выпадение сухожильно-надкостничных рефлексов 14,5%; вегетативно-трофические нарушения 23,6%.

Такое же исследование проводили по окончании курса лечения.

Эффективность лечения в мировой практике оценивается по ряду критериев: уменьшению интенсивности боли, динамике физических и эмоциональных функций, наличию или отсутствию побочных симптомов и реакций, связанных с лечением. Снижение интенсивности боли на 10-20% считается минимально значимым, умеренно (клинически) значимым считается уменьшение боли на 30%, а снижение более чем на 50% считается существенным облегчением боли.

Результаты лечения расценивались как хорошие, если удавалось добиться уменьшения болевого синдрома более чем на 50%, при положительной динамике клинических, лабораторных и инструментальных показателей. Удовлетворительными считали результаты лечения при уменьшении болевого синдрома на 30-50% при отсутствии отрицательной динамики клинических, лабораторных и инструментальных показателей. Неудовлетворительными считали результат лечения при уменьшении болевого синдрома менее

чем на 30% при отсутствии отрицательной динамики клинических, лабораторных и инструментальных показателей.

Результаты лечения – хороший 45,4%, удовлетворительный 27,3%, неудовлетворительный 27,3%.

В группе с хорошим результатом лечения (уменьшение зоны чувствительных нарушения, увеличение мышечной силы, снижение выраженности вегетативных нарушений, увеличение объема движений в пояснично-крестцовом отделе) выявлено значимое снижение болевого порога в зоне максимальной болезненности, расположенной в области поясницы: $5,11 \pm 1,4$ кг/см², ($3,88 \pm 0,8$ кг/см² перед исследованием), и положительное изменение временной суммы боли $568 \pm 5,43$ кг/см² ($789,2 \pm 45,6$ кг/см² перед исследованием). По шкале ВАШ в этой же группе также положительная динамика: $39 \pm 7,5$, ($75,7 \pm 9,1$ мм перед исследованием).

Выводы

Таким образом, применение в диагностике ХБС данных цифровой прессорной альгометрии с использованием ручного альгометра в зоне наиболее выраженных клинических болевых проявлений, позволило значительно повысить информативность инструментальных методов контроля ХБС, в течение короткого времени определить качество и эффективность назначенного курса терапии.

Отмечена положительная корреляционная связь между уровнем боли и данными механической альгометрии.

Лучшие результаты достигаются при диагностике интенсивности и динамики болевого синдрома у пациентов с выраженными проявлениями боли.

Список литературы

1. Боль. Практическое руководство. Под редакцией академика РАН Н.Н. Яхно. МЕДпресс. 2022. 416с.
2. Колвин Л., Фэллон М. Основы медицины боли. ГЕОТАР-Медиа. 2015. 128с.
3. Медицина боли. Под ред Салима М. Хайека, Бинита Дж.Шаха, Мехула Дж. Десаи. Перевод с англ. Издательство ГЕОТАР-Медиа. 2022. 456с.
4. Парфенов В.А., Головачева В.А. Хроническая боль и ее лечение в неврологии. ГЕОТАР-Медиа. 2023. 296с.
5. Самарцев И.Н., Живолупов С.А. Софизмы в современной доктрине рациональной терапии хронической боли в нижней части спины и пути их преодоления. //Нервные болезни. 2020; №4. С.25-31.
6. Синдром центральной сенситизации (обзор литературы) / С.А.Лихачев [и др.] //Медицинские новости. 2018; № 1.С.14-19.

УДК 615.838, 615.834

ПРИРОДНЫЕ ФАКТОРЫ И ИХ ИСПОЛЬЗОВАНИЕ В ПРАКТИКЕ ДЕТСКОЙ КУРОРТОЛОГИИ И САНАТОРНО-КУРОРТНОГО ЛЕЧЕНИЯ

Д.В. БАРАНОВСКИЙ¹, Л.А. МАЛЬКЕВИЧ²

¹Дочернее унитарное предприятие «Свислочь»
а/г. Свислочь, Осиповичский район, Могилевская область, Республика Беларусь

²Белорусский государственный медицинский университет, г.Минск, Республика Беларусь

Аннотация. Цель работы - исследование влияния природных и климатических факторов на патологическое состояние органов дыхания детей и подростков в условиях санатория «Свислочь». Пациенты и методы: дети и подростки с патологией органов дыхания. Результаты: позитивные изменения отмечены при исследовании жизненной емкости легких и пиковой скорости выдоха, свидетельствующие об эффективности применяемых мероприятий на этапе санаторно-курортного лечения природными и климатическими факторами на базе санатория «Свислочь» Выводы. природные факторы детского санатория «Свислочь» оказывают лечебный и оздоравливающий эффект на органы дыхания, улучшают общее состояние здоровья детей и подростков в условиях санаторно-курортного учреждения

Ключевые слова: природные и климатические факторы, дети, подростки, органы дыхания, спирометрия, пикфлоуметрия, лечебный и оздоравливающий эффект.

NATURAL FACTORS AND THEIR USE IN THE PRACTICE OF CHILDREN'S RESORT AND SANATORIUM TREATMENT

DMITRY V. BARANOVSKY¹, LYUDMILA A. MALKEVICH²

¹Subsidiary unitary enterprise "Svisloch" a/t Svisloch, Osipovich district, Mogilev region, Republic of Belarus

²Belarusian State Medical University, Minsk, Republic of Belarus

Abstract. The aim is to study the influence of natural and climatic factors on the pathological state of the respiratory organs of children and adolescents in the conditions of the sanatorium "Svisloch". Patients and methods: children and adolescents with respiratory pathology. Results: positive changes were noted in the study of the vital capacity of the lungs and the peak exhalation rate, indicating the effectiveness of the measures used at the stage of sanatorium treatment by natural and climatic factors on the basis of the sanatorium "Svisloch" Conclusions. natural factors of the children's sanatorium "Svisloch" have a curative and healing effect on the respiratory system, improve the general health of children and adolescents in a sanatorium-resort institution

Keywords: natural and climatic factors, children, adolescents, respiratory organs, spirometry, peakfluometry, therapeutic and healing effect.

Введение

В структуре общей заболеваемости болезни органов дыхания занимают первое место в детской популяции. Наиболее частым заболеванием органов дыхания у детей являются острый бронхит, а также бронхопневмонии, которые осложняют течение респираторных заболеваний и детских инфекций.[1].

Среди заболеваний органов дыхания у детей разных возрастных групп на долю бронхолегочных заболеваний приходится около 30-40% случаев выявленной патологии [2].

Методы курортной медицины как более физиологичные, оказывающие оздоравливающее действие, являются приоритетными не только при лечении детей с хроническими заболеваниями, но и в оздоровлении часто болеющих детей, и с факторами риска. Санаторно-курортное лечение способствует усилению специфических (иммунологических) и неспецифических систем детского организма. Активная стимуляция

компенсаторных механизмов наиболее эффективна в начальных стадиях патологического процесса. Основным методом санаторно-курортного лечения детей остается максимальное использование природных физических факторов (климат, минеральные воды, лечебные грязи) [3,4,5,6,7].

Пациенты и методы

Для решения поставленной задачи в работе использовались следующие методы исследований, оценивающие эффективность использования природных [7] факторов в лечении детей и подростков с заболеваниями органов дыхания [8,9]: анализ научно-методической литературы, педагогическое наблюдение, спирометрия (определение жизненной емкости легких – ЖЕЛ, л), пикфлоуметрия (показатель скорости выдоха – ПСВ), методы математической статистики. Статистическую обработку данных проводили в программе Statistica 7.0, [10] высчитывались средние значения (\bar{X}) показателей и величина отклонения (σ). Достоверность результатов, полученных в ходе исследования, определялась с помощью Т-критерий Стьюдента, при условии достоверности ($p \leq 0,05$).

Исследование проводилось на базе Дочернего унитарного предприятия «Детский санаторий «Свислочь», в рамках разрабатываемой программы «Здоровые дети-здоровье нации». В нем принимали участие по 14 детей обоих полов, в возрасте 7-9 лет и 14-15 лет, имевшие в анамнезе различные респираторные заболевания и болезни органов дыхания. При выборе исследуемых важным фактором являлось исключение детей, страдающих бронхиальной астмой с проявлением астматического состояния или приступов удушья на момент прибытия в санаторно-курортное учреждение.

Результаты и их обсуждение

Длительность санаторно-курортного лечения детей с данной патологией составляла от 18 до 21 дня. Из-за различия сроков пребывания детей в санатории определили единый срок для проведения исследования – 15 дней. Санаторно-курортное лечение условно распределялось на несколько этапов: начальный, основной, заключительный. На начальном этапе санаторно-курортного лечения (до 3-х дней) проводилось исследование функционального состояния дыхательной системы детей и подростков с респираторной патологией, назначался щадящий двигательный режим с учетом адаптации организма к влиянию природно-климатических факторов места расположения санатория. На следующем, втором этапе санаторно-курортного лечения (продолжительностью в 6-7 дней), применялся весь комплекс имеющейся в санатории терапии, постепенно расширялся режим двигательной активности, проверялась эффективность лечения и оздоровления детей с респираторными заболеваниями. С 6-го по 10-й день детей и подростков переводили на тонизирующий двигательный режим и по мере улучшения состояния здоровья в дальнейшем на тренирующий двигательный режим. Выбор режима физической активности проводили дифференцированно, в зависимости от индивидуальных особенностей ребенка, состояния его здоровья и уровня физической подготовленности, а также с учетом продолжающегося процесса адаптации детского организма к природно-климатическим условиям санатория. В программу лечебно-оздоровительных мероприятий вошли следующие процедуры: - климатотерапия, включающая длительное (до 5 часов в день) пребывание на свежем воздухе; - воздушные и солнечные ванны (до 2 часов в день в первой половине дня), минеральные ванны [5], бассейн с минеральной водой из собственной скважины [5], природная минеральная вода питьевая [4]. Воздушные ванны, как один из самых эффективных способов закаливания и повышения сопротивляемости организма ребенка, использовались непосредственно до дневного и ночного сна. Аэротерапия применялась как в покое (обучение на воздухе), так и в сочетании с двигательной активностью ребенка (дозированные прогулки, игры на свежем воздухе). Также она проводилась и дозированно: продолжительностью по 20-30 минут два раза в день, в первой и второй половине дня на начальном этапе исследования. В последующем время пребывания на свежем воздухе постепенно увеличивалось до 4-5 часов в сутки, добавлялась бальнеотерапия, в виде минеральных ванн из собственной скважины соответствующей концентрации, при температуре

воды 36°-38°С. Процедуры проводились через день в первой половине дня, длительность процедуры составляла 10-20 минут. Курс бальнеотерапии составил 8 ванн. Детям были даны рекомендации по получению процедуры не раньше, чем через 1 час после завтрака и с отдыхом или снижением двигательной активности в течение 30 минут после приема ванн. Последовательно включалась пелоидотерапия [11], в виде грязевых аппликаций на грудной клетке с нанесением лечебной грязи на паравертебральную область от шейного до поясничного отдела позвоночника, температура грязевых аппликаций – 38-40°С. Продолжительность каждого сеанса грязелечения составляла от 10 до 15 минут, курс – 8 процедур. Оксигенотерапия применялась в виде кислородных коктейлей 1 раза в день. К ней добавлялось питьевой прием минеральной воды в дозе 3г на килограмм веса ребенка – 1 порция. Лечебный массаж проводился в области спины от линии плеч до нижних углов лопаток, применялись приемы сегментарного воздействия на паравертебральные области. Курс массажа составлял 10 процедур, продолжительностью сеанса – по 8-10 мин. В состав лечебной физической культуры входили: утренняя гигиеническая гимнастика, лечебная или дыхательная гимнастика. Также к ней добавлялись подвижные игры на воздухе, ежедневные прогулки в темпе 70-80 шагов в минуту, терренкур (после адаптации детей к климатическим условиям санатория). На заключительном этапе санаторно-курортного лечения, который составлял порядка от 3 до 5 дней, дети продолжали принимать минеральные ванны, бассейн с минеральной водой, пеллоидотерапию. Из применяемых лечебно-оздоровительных мероприятий дети также получали питьевую минеральную воду и оксигенотерапию в виде кислородных коктейлей. Одновременно проводились заключительные исследования, измерялись основные показатели функционального состояния дыхательной системы организма детей, прошедших реабилитацию. Динамические изменения изучаемых показателей, произошедшие у детей 7-8 лет и 14-15 лет с респираторными заболеваниями в процессе реабилитации на этапе санаторно-курортного лечения, представлены в таблицах 1 и 2. Функциональные показатели дыхательной системы детей и подростков с патологией органов дыхания после прохождения курса реабилитации в условиях санаторно-курортного лечения имеют положительную тенденцию к улучшению своих значений.

Таблица 1. Динамика функциональных показателей дыхательной системы детей 7-8 лет

Показатели	Начальный этап курса реабилитации (n=14) (Xср.±σ)	Завершающий этап курса реабилитации (n=14) (Xср.±σ)	Достоверность t-кр. Стьюдента (p≤0,05)
ЖЕЛ, л	1,3±0,2	1,4±0,1	≥0,05
Пиковая скорость выдоха (ПСВ), л/мин	211,9±0,3	215,2±0,2	≤0,05

Таблица 2. Динамика функциональных показателей дыхательной системы детей 14-15 лет

Показатели	Начальный этап курса реабилитации (n=14) (Xср.±σ)	Завершающий этап курса реабилитации (n=14) (Xср.±σ)	Достоверность t-кр. Стьюдента (p≤0,05)
ЖЕЛ, л	2,7±0,2	2,9±0,1	≥0,05
Пиковая скорость выдоха (ПСВ), л/мин	445,4±0,3	449,6±0,2	≤0,05

Показатель ЖЕЛ после курса реабилитации увеличился на 0,1 л. у детей (p≥0,05) и на 0.2 у подростков (p≥0,05). Достоверно улучшился (p≤0,05) на 3,3 л/мин у детей и на 4.2л/мин у подростков показатель пиковой скорости выдоха (ПСВ), указывающий как на укрепление дыхательной мускулатуры, преимущественно, отвечающей за выдох, улучшение проходимости бронхолегочного тракта для выдыхаемого воздушного потока детей 7-8лет и 14-15 лет с патологией органов дыхания после прохождения курса лечения и оздоровления в условиях санаторно-курортного учреждения.

Заключение

Улучшение результатов, полученных в ходе текущего исследования в детском санаторий «Свислочь» по оценке функционального состояния дыхательной системы детей и подростков с респираторными заболеваниями, свидетельствуют об эффективности применения природных и климатических факторов для лечения и оздоровления на этапе санаторно-курортного лечения для данного контингента детского населения республики и других стран.

Список литературы

1. Детская пульмонология: национальное руководство / под ред. Б. М. Блохина. - Москва: ГЭОТАР-Медиа, 2021. - 960 с.
2. Лян, Н. А. Медицинская реабилитация детей с бронхиальной астмой / Н. А. Лян, М. А. Хан // Аллергология и иммунология в педиатрии. – Июнь 2016. – № 2 (45). – С. 7-20
3. Актуальные аспекты курортологии детства / Е.В. Ермакова Вопросы курортологии и реабилитации в педиатрии: Сборник научных трудов к 100-летию ГБУ РО «Рязанский детский санаторий памяти В.И. Ленина». - Рязань: ФГБОУ ВО «Рязанский государственный медицинский университет им. акад. И.П. Павлова» Минздрава России, ГБУ РО «Рязанский детский санаторий памяти В.И. Ленина». 2019 – С.10
4. Применение природной питьевой минеральной воды санатория «Свислочь» в комплексном лечении детей с патологией органов пищеварения / Д.В.Барановский / Медэлектроника-2022, Средства медицинской электроники и новые медицинские технологии: сб. науч. ст. XIII Междунар. науч. – техн. конф (Республика Беларусь, Минск, 8-9 декабря 2022 года), - Минск:БГУИР,2022,С.54-59.
5. Бальнеотерапия в лечении детей с различной патологией на базе санатория «Свислочь» /Д.В.Барановский/ Медэлектроника-2022, Средства медицинской электроники и новые медицинские технологии: сб. науч. ст. XIII Междунар. науч. – техн. конф (Республика Беларусь, Минск, 8-9 декабря 2022 года), - инск:БГУИР,2022, С.128-133
6. Рекреационный и туристический потенциал дочернего унитарного предприятия «Детский санаторий «Свислочь» /Д.В. Барановский, Л.А. Малькевич/ Институт физиологии НАН Беларуси, Новости медико-биологических наук /Научно-практический и научно-теоретический журнал/ Минск, 2023, Т. 23, №1, С.65-69
7. Медико-климатическая характеристика, минеральные воды и целебные пелоиды Беларуси/ В.И. Сенько, В.А. Пономарев, С.В. Губкин, Э.С. Кашицкий, Н.Д. Титкова; под ред. С.В.Губкина,- Минск: Изд. центр БГУ, 2023,-168с.: ил.
8. Бронхолегочная патология детского возраста с точки зрения доказательной медицины (рекомендации по диагностике и лечению) // Файзуллина Р.А.,Пикуза О.И., Закирова А.М., Рашитов Л.Ф. Методическое пособие для слушателей последипломного и дополнительного профессионального образования. — Казань: КГМУ, 2011 — 47 с.
9. Система поддержки принятия врачебных решений. Пульмонология: Клинические протоколы лечения / Составители: А. С.Белевский, С. Н. Авдеев, Г. Е. Баймаканова и др. – М.: ГБУ «НИИОЗММ ДЗМ», 2021 – 152 с.
10. Галиновский, Н. Г. Информационные технологии в биологических исследованиях. Знакомство с программным пакетом Statistica 7 : практическое пособие / Н. Г. Галиновский, С. А. Зятьков, Г. Г. Гончаренко; Гомельский гос.ун-т им. Ф. Скорины. – Гомель : ГГУ им. Ф. Скорины, 2019 – 31 с.
11. Санаторно-курортное лечение: национальное руководство / под ред. А.Н. Разумова, В.И. Стародубова, Г.Н. Пономаренко. -Москва: ГЭОТАР-Медиа, 2021,- 752с.

УДК 616-009.021.1

ВИРТУАЛЬНАЯ РЕАЛЬНОСТЬ В БОРЬБЕ С ПОСТИНСУЛЬТНЫМ БОЛЕВЫМ СИНДРОМОМ

И.П. МАРЬЕНКО, Н.Н. УSOVA, М.П. МОЖЕЙКО

¹ Государственное учреждение «Республиканский научно-практический центр неврологии и нейрохирургии» Министерства здравоохранения Республики Беларусь (г. Минск, Республика Беларусь)

² Учреждение Образования «Гомельский государственный медицинский университет»
(г. Гомель, Республика Беларусь)

Аннотация. Наличие постинсультного болевого синдрома характерно для большинства пациентов, перенесших острое нарушение мозгового кровообращения. Постинсультный болевой синдром оказывает значительное влияние на общее состояние пациента, на когнитивные функции, выраженность депрессии и качество жизни пациентов. Использование новейших компьютерных технологий в медицинской реабилитации пациентов с инфарктом мозга и внутримозговым кровоизлиянием возрастает в течение последнего десятилетия. Виртуальная реальность может прямо или косвенно влиять на когнитивные процессы, что позволяет уменьшить боль. Однако необходимы дальнейшие исследования, чтобы установить долгосрочные преимущества применения виртуальной реальности в компенсации болевого синдрома у пациентов с острым нарушением мозгового кровообращения.

Ключевые слова: острое нарушение мозгового кровообращения, медицинская реабилитация, постинсультный болевой синдром, виртуальная реальность

VIRTUAL REALITY IN THE FIGHT AGAINST POST-STROKE PAIN SYNDROME

I.P. MARYENKO, N.N. USOVA, M.P. MOZHEIKO

¹State institution «Republican Scientific and Practical Center for Neurology and Neurosurgery» of the Ministry of Health of the Republic of Belarus (Minsk, Republic of Belarus)

²Educational Institution «Gomel State Medical University» (Gomel, Republic of Belarus)

Annotation. The presence of post-stroke pain syndrome is typical for most patients who have suffered an acute cerebrovascular accident. Post-stroke pain syndrome has a significant impact on the general condition of the patient, cognitive function, severity of depression and quality of life of patients. The use of the latest computer technologies in medical rehabilitation of patients with cerebral infarction and intracerebral hemorrhage has been increasing over the past decade. Virtual reality can directly or indirectly influence cognitive processes, which can reduce pain. However, further research is needed to establish the long-term benefits of virtual reality in pain management in patients with acute cerebrovascular accident.

Key words: acute cerebrovascular accident, medical rehabilitation, post-stroke pain syndrome, virtual reality

Введение

Виртуальная реальность (ВР) и дополненная реальность (ДР) — это технологии, которые изменили наше восприятие мира и взаимодействие с ним. ВР погружает пользователя в полностью искусственную среду, создавая иллюзию присутствия в другом месте или времени. ДР, напротив, добавляет цифровые элементы в реальный мир, улучшая его и предоставляя дополнительную информацию. Эти технологии находят применение в самых разных областях, включая и медицину [1-3].

В начале 90-х годов прошлого столетия ВР достигла того уровня развития, когда стало возможным использовать ее в нейрореабилитации. ВР — это генерированная с помощью анимационных компьютерных программ и отображаемая в очках окружающая среда, внешнее пространство, максимально приближенное к действительному. Пациент может участвовать в виртуальных событиях, например, перемещаться, манипулировать с виртуальными предметами и даже наблюдать свои действия со стороны в качестве постороннего зрителя. Пациент, находясь в виртуальной среде, формирует с ней физиологическую связь по типу «восприятие-

действие», где производимое движение осуществляется в реальности с одновременной «обратной сенсорной связью» по выполненному движению в среде ВР. ВР заставляет человека реагировать на динамику событий натуральным образом, и, следовательно, является физиологичным для организма и позволяет пользователю естественным образом взаимодействовать с компьютерной средой

Методика проведения эксперимента

Цель исследования: оценить эффективность использования тренировок в среде ВР при постинсультной боли. Объектом исследования были пациенты: основная группа - 45 пациентов (средний возраст $61,1 \pm 9,63$ лет, из них 28 мужчин (62,2%) и 17 женщин (37,8%), в реабилитации которых применяли тренировки в ВР. Группа сравнения - 36 пациентов с ОНМК, в реабилитации которых не были использованы тренировки в ВР (средний возраст $61,9 \pm 9,19$ лет, из них 22 мужчины (61,1%) и 14 женщин (38,9%).

Использованы для оценки постинсультного болевого синдрома (ПИБС): визуальная аналоговая шкала; DN4 (Douleur Neuropathic 4 Questions); PainDetect; шкалы оценки тревожности Спилбергера-Ханина, шкала депрессии Бека; опросник центральной сенситизации; опросник качества жизни SF-36, международная классификация функционирования (МКФ); концентрация нейротрофических факторов (BDNF, NGF, VGF) и медиаторов (дофамин, серотонин, субстанция P, норадреналин) в плазме крови пациентов определяли твердофазным иммуноферментным методом.

Использована разработанная программа «ВРЗдоровье – метод реабилитации равновесия посредством применения перемещения проекции туловища в виртуальной среде»: свидетельство о регистрации компьютерной программы № 1086 / М. В. Юрченко, Н. А. Суша, И. П. Марьенко, М. П. Можейко, Е. С. Иваницкий, А. В. Качановский // реестр компьютерных программ центра интеллектуальной собственности Республики Беларусь. - <https://ncip.by/avtorskie-i-smezhnye-prava/registraciya-kompyuternyh-programm/reestr-kompyuternyh-programm/>. Продолжительность тренировки при выполнении каждого упражнения составляла 2 минуты 30 секунд. Курс тренировок составлял 5-10 процедур. У всех пациентов было взято информированное согласие [4].

Результаты и их обсуждение

Таблица 1. Интенсивность ПИБС по визуальной аналоговой шкале в группах исследования

Балл ВАШ	ПИБС в момент обследования		Самый сильный ПИБС течение 1 месяца		Средний уровень ПИБС в течение 1 месяца	
	До лечения	После лечения	До лечения	После лечения	До лечения	После лечения
Основная группа, с применением ВР	5,0 [4,0;6,0]	3,0 [0;4,0]*	6,0 [5,0;7,0]	5,0 [3,0;7,0] *	5,0 [4,0;6,0]	4,0 [2,0;5,0] *
Группа сравнения, без применения ВР	4,0 [3,0;8,0]	3,0 [2,0;5,0]	6,0 [5,0;8,0]	5,0 [5,0;6,0]	5,0 [4,0;6,0]	3,0 [2,0;5,0]

Примечание: * – значимое различие балла при сравнении значений в группе до и после лечения, $p < 0,05$

Как видно из таблицы 1, у пациентов с ПИБС наблюдалась боль умеренной интенсивности, которая значимо уменьшилась после проведения тренировок в среде ВР. В группе сравнения с ПИБС без использования ВР значимого уменьшения боли курса лечения не произошло.

Таблица 2. Динамика уровня депрессии и тревоги у пациентов с постинсультным болевым синдромом до и после использования разработанного метода

Эмоционально-волевые нарушения	До лечения	После лечения
Уровень депрессии	10,5 [5,0;18,0]	9,0 [6,0;15,0]
Реактивная тревожность	45,0 [42,0;50,0]	42,0 [38,0;45,0]*
Личностная тревожность	47,0 [41,0;55,0]	44,0 [39,0;50,0]*

Примечание: * – значимое различие балла при сравнении групп до и после лечения, $p < 0,05$

Как показано в таблице 2, после мультимодального афферентного воздействия среды ВР достоверно снизился уровень реактивной и личностной тревоги у лиц с постинсультным болевым синдромом.

Таблица 3. Эффективность МР по критериям снижения интенсивности болевого синдрома

Эффективность тренировок в ВР	Группа основная % (абс.число пациентов)	Группа сравнения % (абс.число пациентов)
Полное восстановление	27,1% (16)	15,8% (6)
Значительное улучшение	32,2% (19)	15,8% (6)
Улучшение	22,03% (13)	18,4% (7)
Незначительное улучшение	6,8% (4)	13,2% (5)
Без изменений	6,8% (4)	31,6% (12)
Ухудшение	-	5,3% (2)

У пациентов с ПИБС, прошедшим комплекс мероприятий с применением ВР в большем проценте случаев возникает полное восстановление ($\chi^2=8,17$; $p=0,0043$) и значительное улучшение ($\chi^2=5,68$; $p=0,01$) болевого синдрома (таблица 3).

При этом в группе пациентов, у которых не была использована ВР в большем проценте случаев интенсивность ПИБС оказалась без изменений ($\chi^2=25,9$; $p<0,001$).

У пациентов с ПИБС при использовании мультимодального афферентного воздействия установлено значимое увеличение уровня серотонина, что подтверждает активацию нейромедиаторных систем, отвечающих за модуляцию и уменьшение болевого синдрома ($p<0,05$). Установлено значимое различие между уровнем субстанции P у пациентов обследованных групп. Так при использовании ВР показатели данного болевого медиатора P был значимо меньше. Установлены изменения уровня нейротрофинов и нейромедиаторов у пациентов с использованием разработанного метода и без него после лечения.

Заключение

Игровой сценарий, отвлекая и увлекая пациента, обучает произвольному управлению тела, двигательному контролю, снижается страх передвижений и падений, повышает эмоциональную вовлеченность в процесс. Показана эффективность комплекса медицинской реабилитации с использованием мультимодального афферентного воздействия среды виртуальной реальности у пациентов с ПИБС. Динамика уровня депрессии ниже, чем динамика тревоги и интенсивности ПИБС при использовании медицинской реабилитации с ВР. Установлены изменения уровня нейротрофических белков и нейромедиаторов у пациентов с ПИБС в процессе медицинской реабилитации с применением мультимодального афферентного воздействия среды ВР. Полученные результаты обосновывают перспективы использования виртуальной реальности в нейрореабилитации пациентов с ПИБС.

Список литературы

1. Virtual reality and chronic low back pain doi: 10.1080/17483107.2019.1688399.
2. The Impact of Virtual Reality on Chronic Pain DOI: 10.1371/journal.pone.0167523.
3. An 8-Week Self-Administered At-Home Behavioral Skills-Based Virtual Reality Program for Chronic Low Back Pain: Double-Blind, Randomized, Placebo-Controlled Trial Conducted During COVID-19 DOI: 10.2196/26292.
4. Возможности технологии виртуальной реальности в диагностике и восстановлении функции равновесия: анализ собственных наблюдений / И. П. Марьенко [и др.] // Неврология и нейрохирургия. Восточная Европа. – 2019. - Т. 9, № 1. - С. 28-35

УДК 616-009.3,004.415.2

ДИАГНОСТИЧЕСКАЯ СИСТЕМА ДЛЯ ОПРЕДЕЛЕНИЯ ПОЛОЖЕНИЯ ТЕЛА ПАЦИЕНТА ПРИ ВОЗНИКНОВЕНИИ БОЛЕВЫХ ОЩУЩЕНИЙ

В.Г. МАКОВЕЦКИЙ, А.Л. ТАГИЛЬ, Т.С. БОБРОВА, М.В. ДАВЫДОВ

*Белорусский государственный университет информатики и радиоэлектроники
(Минск, Республика Беларусь)*

Аннотация. В данной статье представлена система, включающая в себя мобильное приложение с клиент-серверной архитектурой на операционной системе Android и диагностическое устройство, для помощи в определении положения тела пациента при возникновении болевых ощущений в процессе проведения диагностики заболеваний. Мобильное приложение позволяет получить данные о положении тела пациента с помощью диагностического устройства состоящего из нескольких акселерометрических датчиков, визуализировать полученные данные и сохранить их для дальнейшей обработки.

Ключевые слова: положение тела, медицинская диагностика, акселерометрический метод, мобильное приложение.

MOBILE APPLICATION FOR DETERMINING THE PATIENT'S BODY POSITION IN THE EVENT OF PAIN

V.G. MAKOVETSKY, A.L. TAGIL, T.S. BABROVA, M.V. DAVYDOV

*Belarusian State University of Informatics and Radioelectronics
(Minsk, Belarus)*

Abstract. This article presents a mobile application with a client-server architecture on the Android operating system to help determine the patient's body position when pain occurs during disease diagnostics. The mobile application allows you to obtain data on the patient's body position using a system of accelerometric sensors, visualize the obtained data and save them for further processing.

Keywords: body position, medical diagnostics, accelerometric method, mobile application.

Введение

Развитие информационных технологий приводит к появлению систем здравоохранения. Термин «электронное здравоохранение» описывает медицинские услуги, которые связаны с цифровыми процессами, коммуникациями или технологиями, такими как электронные рецепты назначения, телездоровоохранение или электронные медицинские записи. Использование электронных технологий в здравоохранении происходило как минимум с 1990-х годов[1].

Целью работы является создание мобильного приложения под операционную систему Android, которое поможет медицинским специалистам вести профили пациентов и истории болезни, организовать визиты к врачу, а также облегчить процесс диагностики заболеваний сопровождающимися болевыми ощущениями за счет более точного определения положения тела пациента. Приложение рассчитано на использование как врачами, так и пациентами самостоятельно.

Мобильное приложение позволяет получить данные о положении тела (позе) пациента с помощью системы акселерометрических датчиков, закрепленных в определенных местах бедрово-крестцовой зоны, визуализировать результаты, а также сохранить данные для последующего анализа, как локально, так и на внешних серверах и облачных сервисах.

Данная разработка может быть полезна лицам, которые заинтересованы в исследовании проявления болевого симптома при изменении положения (позы) пациента, как в стенах медицинского учреждения, так и дистанционно при самостоятельном использовании приложения пациентом

Описание диагностической системы

Диагностическая система состоит из диагностического устройства, включающего в себя три акселерометрических датчика и мобильного приложения, позволяющего визуализировать полученные с диагностического устройства данные и сохранить их на сервере для дальнейшего использования.

Мобильное приложение устанавливается на смартфон или планшет и предусматривает подключение диагностического устройства по технологии Bluetooth к мобильному устройству врача или пациента. Устройство позволяет получить мобильному приложению численные данные о положениях датчиков при нахождении тела пациента в основных положениях: стоя, сидя и лёжа, а также промежуточные позиции.

Компонентами устройства являются три акселерометрических датчика MPU6050, плата Arduino Nano и Bluetooth-модуль HC05. На рисунке 1 представлена принципиальная схема диагностического устройства.

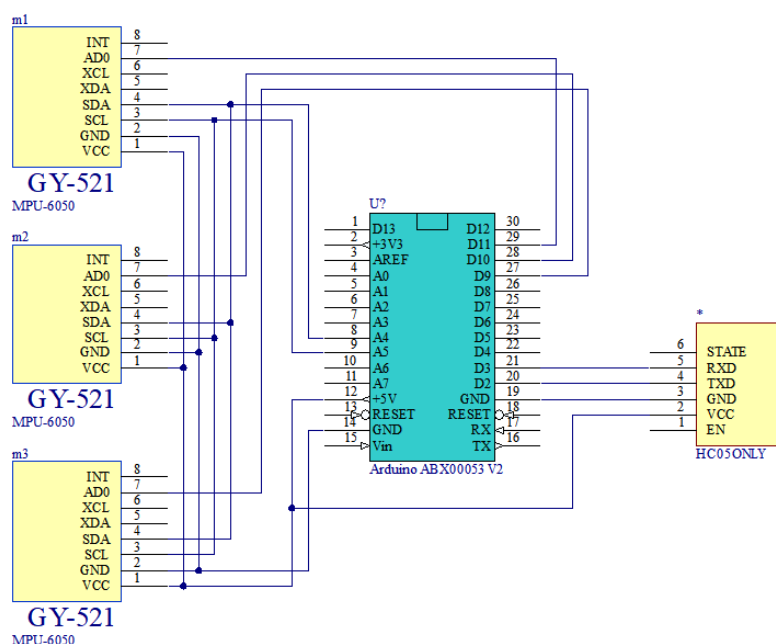


Рис. 1. Принципиальная схема диагностического устройства

Модули MPU6050 крепятся на теле пациента следующим образом:

- датчик m_1 крепится возле передней большеберцовой мышцы;
- датчик m_2 крепится возле прямой мышцы бедра;
- датчик m_3 крепится возле средней ягодичной мышцы.

Остальные устройства крепятся возле датчика m_3 произвольным способом.

Изначально все датчики находятся в горизонтальном положении. При изменении положения тела можно выделить три различных комбинации изменения направления оси датчика в зависимости от положения тела пациента:

- положение стоя: в этом случае все датчики направлены осью X вниз;
- положение сидя: в этом случае датчики m_1 и m_3 направлены осью X вниз, а датчик m_2 направлен осью Y вниз;
- позиция лёжа: в этом случае все датчики направлены осью Y вниз.

Датчик MPU6050 имеет особенность в том, что он всегда выдает ненулевые значения ускорения по оси, направленной вдоль вектора ускорения свободного падения. В процессе диагностики снимаются данные с каждого датчика, после того определяется ось с максимальным по модулю ускорения для каждого датчика.

После определения тела модуль HC05 получает соответствующие сигналы и передает данные по Bluetooth на мобильное устройство.

Разработка мобильного приложения

Приложение состоит из клиентской и серверной части. Серверная часть обрабатывает клиентский запрос и сохраняет полученные данные.

Считывание данных с датчика происходит с заданным интервалом. Устройство передает показания модулей ускорений по направлениям осей каждого датчика в зависимости от положения тела в пространстве. Эти сообщения отправляются на сервер в формате JSON. Для каждого устройства предусмотрено максимальное время записи, в процессе которой оно может передать данные. Если время записи заданной записи автоматически останавливается.

Клиентская часть приложения состоит из следующих экранов:

- формы регистрации и авторизации;
- профиля врача или пациента;
- медицинской истории;
- списка врачей;
- список пациентов, которые выбирают врача;
- список устройств для подключения по Bluetooth;
- визуализация снятых с диагностического устройства показаний;
- некоторые другие связующие экраны.

В примере на рисунке 2 представлен один из экранов приложения, на котором представлены данные пациента.

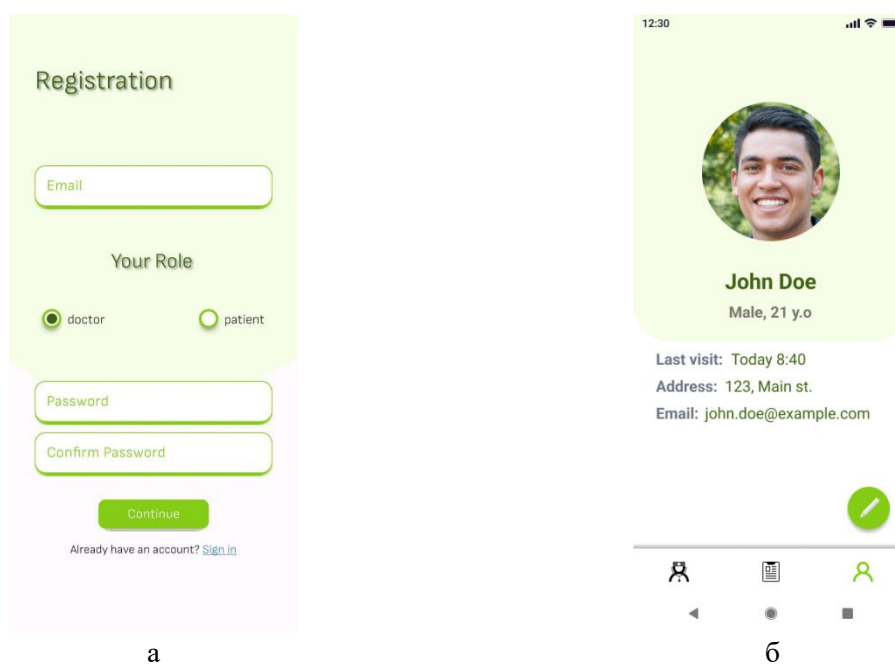


Рис. 2. Страницы приложения иллюстрирующие процесс регистрации (а) и профиль пациента(б)

Профиль врача содержит такую важную информацию, как стаж медицинской практики, номер его кабинета, расписание и контактную информацию. Каждый пользователь может отредактировать информацию своего профиля. Для врача доступна вкладка со списком посещений с датами и пациентами ФИО. В списке пациентов врач может выбрать пациента для просмотра его профиля, медицинской истории и диагностики, которая будет описана далее.

Для пациентов доступны списки врачей и вкладка с диагностикой, на которой пациент отмечает момент появления болевых ощущений, локализацию и характер болевого ощущения. Затем данные можно сохранить и отправить на сервер.

Полученные результаты

Процесс диагностики заключается в следующем: пациенту закрепляют датчики диагностического устройства, запускается мобильное приложение и подключается к диагностическому устройству. Затем врач заходит в раздел диагностики и запускает процесс сканирования. Задача пациента принять такое положение, в котором у него возникают болевые ощущения и проговаривать свои ощущения. Врач, в свою очередь, может вносить заметки о проявлении болевых ощущений, их локализации и характере. Такими же возможностями обладает и пациент при самостоятельной диагностике в домашних условиях.

Снимки экрана записи процесса диагностики, представлены рисунке 3.

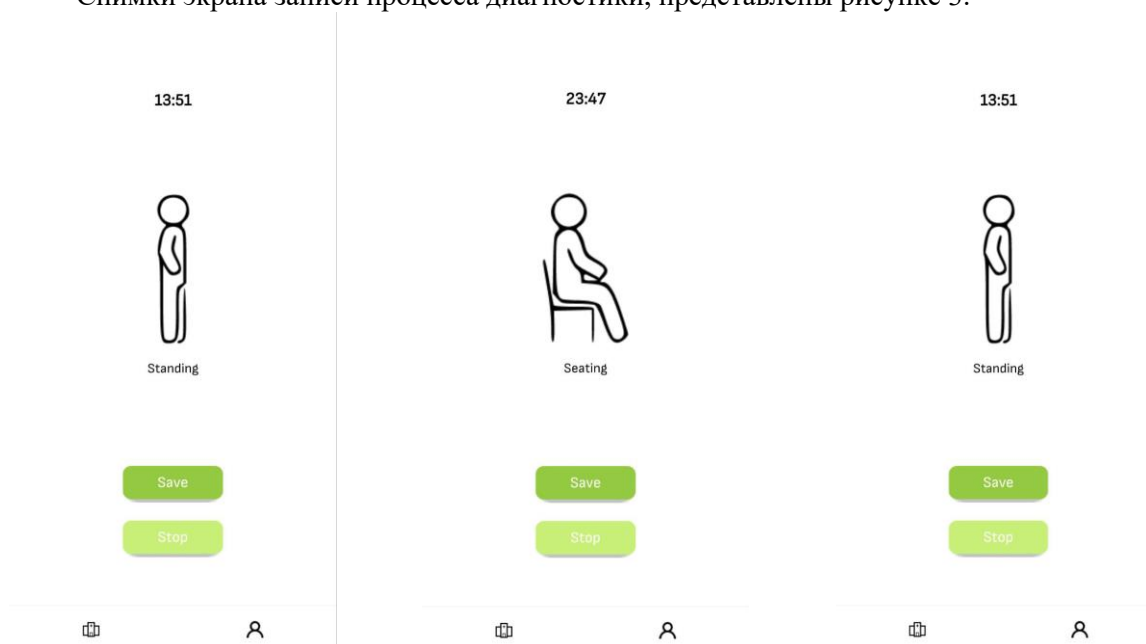


Рис.3. Визуализация результатов диагностики

Заключение

Таким образом, разработанная диагностическая система обеспечивает удобный интерфейс общения врачей и пациентов, а также позволяет проводить измерения с помощью Bluetooth-устройства и сохранять результаты.

Система может применяться для диагностики неврологических заболеваний сопровождающихся болевым синдромом в медицинских учреждениях, медицинских кабинетах учреждений образования или в домашних условиях.

Список литературы

1. Делла Меа, В. Что такое электронное здравоохранение: смерть телемедицины? / В. Делла Меа // Журнал медицинских интернет-исследований. — 2001. — Т. 3, № 19.
2. Попов, Г.И. Биомеханика двигательной деятельности: учеб. для студ. учреждения высш. проф. Образование / Г.И.Попов. — М.:Издательский Центр «Академия», 2011. — 320 с.

УДК 57.087.3

АЛГОРИТМ ПОИСКА ОТПЕЧАТКА СТОПЫ НА ПЛАНТОГРАММЕ

Е.А. ЗУЕВ, А.В. ЧУРАКОВ, С.А. САЛАХЛЫ, Т.С. СМОЛЬСКАЯ,
Э.В. ДРУЦ, В.С. ГАВРИЛЕНКО

Белорусский государственный университет информатики и радиоэлектроники, г. Минск, Беларусь

Аннотация. Данная научная статья посвящена разработке и исследованию алгоритмов выделения стопы в контексте анализа биомеханики и биометрии. Представлены новые методы и подходы к выделению стопы на изображениях. Произведен анализ результатов экспериментов, включающих широкий спектр данных, полученных как с клинических изображений, так и из видеоматериалов. Разработанные алгоритмы демонстрируют высокую эффективность и точность в выделении стопы даже в условиях вариабельности освещения и позы. Предложены практические сценарии применения алгоритмов выделения стопы в медицинских и биометрических приложениях, таких как создание персонализированных ортопедических устройств и биометрическая идентификация. Полученные результаты способствуют развитию сферы медицинской диагностики и биометрических технологий, повышая точность и автоматизацию процессов анализа структуры стопы.

Ключевые слова: плантограмма, плоскостопие

ALGORITHM FOR SEARCHING FOR A FOOT PRINT ON A PLANTOGRAM

E.A. ZUEV, A.V. CHURAKOV, S.A. SALAKHLY, T.S. SMOLSKAYA,
E.V. DRUTS, V.S. GAVRILENKO

Belarusian State University of Informatics and Radioelectronics, Minsk, Belarus

Abstract. This scientific article is devoted to the development and study of foot extraction algorithms in the context of biomechanics and biometrics analysis. New methods and approaches to foot extraction in images are presented. The results of experiments, including a wide range of data obtained from both clinical images and video materials, are analyzed. The developed algorithms demonstrate high efficiency and accuracy in foot extraction even under conditions of variability in lighting and pose. Practical scenarios for the use of foot extraction algorithms in medical and biometric applications, such as the creation of personalized orthopedic devices and biometric identification, are proposed. The obtained results contribute to the development of medical diagnostics and biometric technologies, increasing the accuracy and automation of foot structure analysis processes.

Keywords: plantogram, flatfoot

Введение

Плантография представляет собой один из доступных и информативных методов диагностики ранних стадий плоскостопия, основанный на отпечатках стоп. Для проведения исследования ребенку предлагается в положении «сидя на стуле» одновременно встать обеими стопами на чистый лист бумаги, затем перейти в положение «стоя», став стопы на ширину плеч. Затем ребенок садится, отрывает стопы от поверхности, и полученные отпечатки анализируются. В норме закрашенная (отпечатавшаяся) часть стопы (рисунок 1) должна находиться снаружи проведенной линии. Для определения степени плоскостопия проводят касательную линию к внутреннему краю стопы, опускают из нее перпендикуляр до пересечения с первой линией, и полученное расстояние делится на три равные части. Нумерацию начинают от внутренней части отпечатка к наружной. При продольном плоскостопии I степени

закрашенная часть плантограммы распространяется на $1/3$ подсводного пространства, при II степени – на $2/3$, при III степени занимает все подсводное пространство.

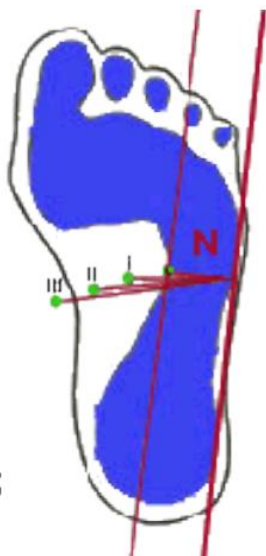


Рис.1. Смоделированный отпечаток стопы

Основная часть

Алгоритм выделения стопы состоит из трех блоков:

1. Улучшение изображения – предобработка.
2. Выделение бинарного образа стопы.
3. Выделение функциональных зон.

После предобработки в алгоритме происходит разделение, позволяющее выполнять анализ левой и правой стоп по отдельности. Для удаления точечных шумов и помех, возникших во время получения изображения используется медианная фильтрация, которая позволяет сгладить все яркостные шумы. Затем выполняется разделение изображения на цветовые компоненты. Так как зеленая компонента по яркости доминирует, оптимальным элементом контрастирования изображения стопы является разница между красной и зеленой компонентами. Эта операция позволила максимально четко очертить границы стопы. Проводится бинаризация изображения. Изображения стоп довольно четкие и хорошо разделены, поэтому бинаризация выполняется без особых проблем (рисунок 2).



Рис.2. Результат вычитания красной компоненты из зеленой и ее бинаризации

После бинаризации изображение содержит не только изображение стопы, но и лишние элементы фона. Большинство из них прижаты к границам изображения и могут быть легко удалены по этому признаку. Остаются мелкие бинарные шумы, которые удаляются по признаку площади или операцией морфологического сглаживания. В результате получается изображение стоп, прижатых к стеклу плантографа (рис. 3).



Рис.3. Результат обработки бинаризованной разницы цветových компонент и выделенный образ стопы

Для определения функциональных зон и дальнейшего анализа необходимо разделить объекты: вычислить максимальные и горизонтальные координаты больших объектов и по их диапазонам определить принадлежность к правой или левой стопе.

По размеру удаляются изображения пальцев, затем определяется главная ось стопы, для этого строится выпуклый контур. На основе этой оси определяется поворот стопы, который делается для того, чтобы визуально ориентировать бинарный образ стопы и облегчить разбиение на зоны, затем ось разбивается на три части. Точки, разбивающие эту ось, принадлежат линиям, разделяющим стопу на функциональные зоны. Через эти точки проводятся горизонтальные линии (так как стопа уже ориентирована).

Затем проводится идентификация выделенных объектов и операция морфологического замыкания, удаляющая эти линии. В результате получаем три функциональные области стопы (рисунок 4). Теперь по изображению можно сделать все необходимые измерения и повторить алгоритм для другой стопы.

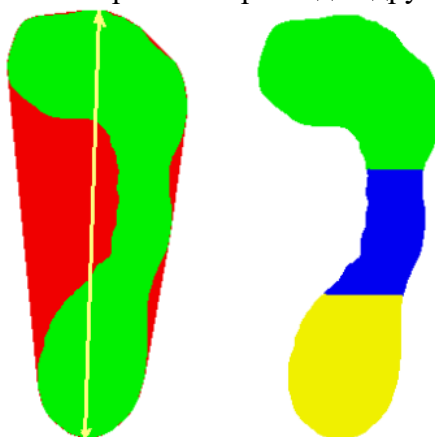


Рис.4. Результат бинаризации разницы цветových компонент и выделена стопа, выделенные функциональные области стопы

Заключение

В заключении исследования методов выявления плоскостопия по плантограмме подчеркивается его значимость в сфере диагностики и лечения данного расстройства опорно-двигательной системы. Несмотря на распространенность плоскостопия, акцент делается на важности своевременного выявления для предупреждения возможных осложнений и обеспечения оптимального функционирования стопы. Метод плантографии выделяется своей относительной простотой и доступностью, что делает его применимым для широкого использования в клинической практике. Он может служить первичным этапом диагностики, предоставляя важную информацию для врача при принятии решений о дальнейших шагах в лечении. Результаты исследования подчеркивают важность системного подхода к диагностике и лечению плоскостопия, включая не только визуализационные методы, но и дополнительные функциональные тесты и клиническое обследование. Комбинированный подход позволяет более точно определить характеристики плоскостопия у каждого пациента и предложить наиболее эффективные методы коррекции.

Список литературы

1. Функциональные методы исследования стопы в современной медицинской практике / Калинина М.Л., Железнов Л.М., Шехтман А.Г. // Современные проблемы науки и образования. – 2015. – № 3.
2. Kjørgaard Nilsson M., Friis R., SkjoldahlMichaelsen M., AbildgaardJakobsen P., Oestergaard Nielsen R. Classification of the height and flexibility of the medial longitudinal arch of the foot. *Journal of Foot and Ankle Research* 2012, 5:3 doi:10.1186/1757-1146-5-3, available at: <http://www.jfootankleres.com/content/5/1/3>
3. McPoil T.G., Vicenzino B., Cornwall M.W., Collins N. Can foot anthropometric measurements predict dynamic plantar surface contact area? *Journal of Foot and Ankle Research* 2009, 2:12 doi:10.1186/1757-1146-2-12, available at: <http://www.jfootankleres.com/content/2/1/28>
4. Гавриков К. В. Соматотипологические особенности строения и функции стопы человека / К. В. Гавриков, В. Б. Мандриков, А. И. Краюшкин, А. И. Перепелкин. – Волгоград: Изд-во ВолГМУ, 2006. – 145 с.

УДК 616.28-008.14-085.849.19-085.847.8

ИССЛЕДОВАНИЕ КОМБИНИРОВАННОГО ВОЗДЕЙСТВИЯ НАДВЕННОГО ЛАЗЕРНОГО ОБЛУЧЕНИЯ КРОВИ И ЛОКАЛЬНОЙ МАГНИТОТЕРАПИИ НА ВОССТАНОВЛЕНИЕ СЛУХОВОЙ ФУНКЦИИ У ПАЦИЕНТОВ С ОСТРОЙ СЕНСОНЕВРАЛЬНОЙ ТУГОУХОСТЬЮ

О.В. ВОРОТНИЦКАЯ, Л.А. МАЛЬКЕВИЧ, О.О. ЧЕШИК

Белорусский государственный медицинский университет (Минск, Республика Беларусь)

Аннотация. Проведен анализ эффективности комбинированного применения надвенозного лазерного облучения крови и локальной магнитотерапии в комплексном лечении пациентов с острой нейросенсорной тугоухостью. Отмечен положительный терапевтический эффект: снижение слуховых порогов преимущественно в диапазонах средних и высоких частот по данным пороговой тональной аудиометрии, а также субъективное улучшение слуха пациентами. В группе пациентов где в дополнение к медикаментозному лечению проводилось применение надвенозного лазерного облучения крови и локальной магнитотерапии наблюдалось более выраженное восстановление слуховой функции по данным пороговой тональной аудиометрии по сравнению с группой, где физиотерапия не применялась. В основной группе снижение слуховых порогов наблюдалось в 2 раза чаще на низких частотах, в 1,8 раза чаще на средних и в 1,9 раза чаще на высоких частотах по сравнению с группой, пролеченной только медикаментозно.

Ключевые слова: нейросенсорная тугоухость, надвенозное лазерное облучение крови, локальная магнитотерапия, физиотерапия, аудиометрия.

THE COMBINED IMPACT OF OVERVENOUSLY LASER IRRADIATION OF BLOOD AND LOCAL MAGNETOTHERAPY ON RESTORATION OF AUDITORY FUNCTION IN PATIENTS WITH ACUTE SENSORINEURAL HEARING LOSS

VOLHA V. VARATNITSKAYA, LIUDMILA A. MALKEVICH, OLGA O. CHESHYK

Belarusian state medical university (Minsk, Republic of Belarus)

Abstract. The present study aimed to explore the effectiveness of the combined use of overvenous laser blood irradiation and local magnetic therapy in the complex treatment of patients with acute sensorineural hearing loss. A positive therapeutic effect was noted. The positive outcome is a decrease in hearing thresholds mainly in the mid- and high-frequency ranges according to threshold tonal audiometry, as well as a subjective improvement in hearing by patients. In the group of patients where, in addition to drug treatment, overvenous laser blood irradiation and local magnetic therapy were used, a more pronounced restoration of hearing function was observed according to threshold tonal audiometry compared to the group where physiotherapy was not used. In the main group, a decrease in hearing thresholds was observed 2 times more often at low frequencies, 1.8 times more often at medium frequencies and 1.9 times more often at high frequencies compared to the group treated only with drugs.

Keywords: sensorineural hearing loss, overvenous laser irradiation of blood, local magnetic therapy, physiotherapy, audiometry.

Введение

Во всем мире наблюдается рост числа людей с нарушениями слуха, это влечет за собой финансовые потери и социальные проблемы. По прогнозам ВОЗ к 2050 году около 30% населения планеты будет страдать различными степенями нарушения слуха. В условиях стремительного роста числа пациентов с острой нейросенсорной тугоухостью (ОНСТ) актуальность разработки и внедрения эффективных методов лечения становится все более очевидной.

Среди причин снижения слуха лидирующую позицию занимает нейросенсорная тугоухость – потеря слуха, обусловленная поражением рецепторного аппарата внутреннего уха, преддверно-улиткового нерва, ствола мозга или слуховой коры головного мозга. Современные исследования показывают, что ранняя диагностика и своевременное лечение ОНСТ могут значительно улучшить прогноз и качество жизни пациентов. Однако, несмотря на существующие методы терапии, такие как использование глюкокортикостероидов и слухопротезирование, существование стандартизированных протоколов лечения, до сих пор существуют отличия в лечении пациентов. Не во всех случаях физиотерапевтическое лечение дополняет медикаментозное, что приводит к вариативности и неоднозначным результатам лечения. В связи с этим, необходимость в проведении дополнительных исследований, направленных на оптимизацию и стандартизацию лечебных подходов, а также на изучение новых терапевтических стратегий, включающих более широкое применение физиотерапии, внедрение новых физиотерапевтических методов лечения, становится крайне важным. Это позволит не только повысить эффективность лечения, но и снизить социально-экономические последствия заболевания.

По времени возникновения и развития заболевания выделяют несколько форм нейросенсорной тугоухости. Особого внимания заслуживают внезапная и острая нейросенсорная тугоухость (ОНСТ), так как это наиболее хорошо поддающиеся терапии и прогностически благоприятные формы заболевания.

Значимыми этиологическими факторами развития ОНСТ являются инфекционные и сердечно-сосудистые заболевания, использование ототоксичных лекарственных препаратов, дегенеративно-дистрофические заболевания позвоночника, травмы. Пациенты с острой нейросенсорной тугоухостью часто имеют несколько сопутствующих заболеваний или состояний, которые могут способствовать развитию нарушений слуха. Однако, используя только анамнез, без применения сложных и дорогостоящих методов обследования определить ведущий фактор в патогенезе ОНСТ в большинстве случаев невозможно

Теоретический анализ

Современные исследования продолжают выявлять новые данные о влиянии различных этиологических факторов на возникновение этого заболевания, тем не менее, большинство авторов сходятся во мнении, что основным патогенетическим звеном, независимо от этиологического фактора, является нарушение кровообращения, что приводит к ухудшению питания и снабжения кислородом рецепторных клеток внутреннего уха и проводящих путей слухового анализатора [1].

Основными особенностями кровоснабжения внутреннего уха, предрасполагающими к развитию нейросенсорной тугоухости являются: питание единственной артерией, проходящей в костном канале, отсутствие анастомозов. Учитывая эти особенности, особое значение в терапии острой нейросенсорной тугоухости приобретают физиотерапевтические методы лечения. Эти методы помогают улучшить кровообращение и усиливают эффект лекарственных средств.

Поиск терапии, эффективно воздействующей на различные аспекты патогенеза острой нейросенсорной тугоухости, остается актуальной задачей. На наш взгляд, наибольший потенциал в этом направлении имеют методы надвенозного лазерного облучения крови (НЛОК) и магнитотерапия благодаря их доступности, патогенетической обоснованности и высокой эффективности.

НЛОК оказывает нормализующее влияние на иммунный статус организма, липидный состав сыворотки крови, реологические свойства крови, сосудистый тонус [2]. В результате применения НЛОК происходит активация процессов калликреиногенеза и фибринолиза, улучшение деформируемости мембран эритроцитов [3]. НЛОК нормализует показатели перекисного окисления липидов и повышает активность антиоксидантной системы крови, роль которых в развитии острой нейросенсорной тугоухости различной этиологии подтверждена многими исследованиями.

Магнитотерапия также является патогенетически обоснованным методом лечения острой нейросенсорной тугоухости вследствие сосудорасширяющего, спазмолитического,

нейротропного действия магнитного поля. Применение магнитотерапии у пациентов с нейросенсорной тугоухостью способствует расширению сосудов, увеличению объемной скорости кровотока [4].

Экспериментальная часть

Цель: оценить эффективность использования надвенозного лазерного облучения крови и локальной магнитотерапии для восстановления слуховой функции у пациентов с острой нейросенсорной тугоухостью.

Материалы и методы:

В исследовании приняли участие 24 пациента (13 женщин и 11 мужчин), проходивших лечение в 1 и 2 оториноларингологических отделениях УЗ «4-я городская клиническая больница имени Н.Е. Савченко».

Острая односторонняя нейросенсорная тугоухость была диагностирована у 17 пациентов (70,83%), а двусторонняя – у 7 пациентов (29,17%). Состояние слуховой функции оценивалось для каждого уха отдельно, что позволило проанализировать результаты 31 наблюдения.

Среднее время от начала заболевания до госпитализации составило $13,67 \pm 4,56$ дня.

Средний возраст пациентов составил $51,65 \pm 5,64$ года.

В ходе исследования пациенты методом случайной выборки были разделены на 2 группы: 1 группа (группа сравнения) – пролеченные только медикаментозно – 12 человек, 14 ушей; 2 группа (основная группа) – пациенты, получавшие физиотерапевтическое лечение в комплексе с медикаментозным – 12 человек, 17 ушей;

Медикаментозное лечение проводилось согласно клиническому протоколу «Диагностика и лечение пациентов с оториноларингологическими заболеваниями (взрослое население)» Утвержден постановлением Министерства здравоохранения Республики Беларусь от 01.06.2017 № 49.

Физиотерапевтическое лечение включало: магнитотерапию на область уха от аппарата «Униспок», контактно, 10 минут и НЛОК от аппарата «Жень-Шень», продолжительность воздействия 10-15 минут. Всего каждому пациенту было проведено по 7-10 процедур магнитотерапии и НЛОК ежедневно.

Результаты оценивались путем сравнения данных пороговой тональной аудиометрии, выполненной на двухканальном аудиометре Grason-Stadler GSI-61 до начала лечения и на 10-12 день терапии. Учитывались общее самочувствие и субъективная оценка улучшения слуха пациентами. При анализе аудиограмм считали значимым снижение порога восприятия звука более чем на 5 дБ. Статистическая обработка данных проводилась с использованием программы Microsoft Excel на персональном компьютере.

Результаты исследования

На фоне проведенного лечения все пациенты во всех группах отметили улучшение слуха.

В основной группе снижение слуховых порогов на 5 - 20 дБ наблюдалось на низких частотах в 35% случаев, на средних в 59% и высоких в 60% случаев; в группе сравнения в 29, 36 и 44% случаев соответственно. В основной группе наблюдались случаи снижения порогов восприятия звука до 20-30, 30-40 дБ и 40-50 дБ в 12 - 17 % случаев на разных частотах (Таблицы 1,2).

Улучшения слуха на частотах 120-500 Гц согласно данным пороговой тональной аудиометрии не наступило в 41% случаев (7 ушей) в основной группе и в 71% случаев (10 ушей) в группе сравнения. На средних частотах снижения слуховых порогов не произошло в 12% случаев (2 уха) в основной группе и в 50% случаев (7 ушей) в группе сравнения; на высоких частотах – в 6% случаев (1 ухо) в основной группе и в 50% случаев (7 ушей) в группе сравнения (Таблицы 1,2).

Таблица 1. Снижение слуховых порогов у пациентов основной группы в результате лечения

Снижение слуховых порогов	Количество ушей, имеющих изменение слуха % (абс.)		
	Низкие частоты (120-500Гц)	Средние частоты (1000-4000Гц)	Высокие частоты (6000-10000 Гц)
Без изменений	41% (7)	12% (2)	6% (1)
5-20 дБ	35% (6)	59% (10)	65% (11)
20-30 дБ	12% (2)	17% (3)	17% (3)
30-40 дБ	12%(2)	12% (2)	-
40-50 дБ	-	-	12% (2)

Таблица 2. Снижение слуховых порогов у пациентов группы сравнения в результате лечения

Снижение слуховых порогов	Количество ушей, имеющих изменение слуха % (абс.)		
	Низкие частоты (120-500Гц)	Средние частоты (1000-4000Гц)	Высокие частоты (6000-10000 Гц)
Без изменений	71% (10)	50% (7)	50% (7)
5-20 дБ	29% (4)	36% (5)	43% (6)
20-30 дБ	-	7%(1)	-
30-40 дБ	-	7% (1)	-
40-50 дБ	-	-	7% (1)

В основной группе улучшение слуха более чем на 20 дБ было зафиксировано в большем количестве случаев, чем в группе сравнения. В основной группе улучшение слуха более чем на 20 дБ было зафиксировано в большем количестве случаев, чем в группе сравнения.

Заключение

Комплексное применение физиотерапевтических методов, таких как надвенное лазерное облучение крови (НЛОК) и магнитотерапия, значительно повышает эффективность лечения острой нейросенсорной тугоухости, что подтверждается снижением слуховых порогов в основной группе в 2 раза чаще на низких частотах, в 1,8 раза чаще на средних и в 1,9 раза чаще на высоких частотах по сравнению с группой, где физиотерапевтическое лечение не применялось.

Снижение слуховых порогов было наиболее выражено на средних и высоких частотах, что может быть связано с более значительными изменениями слуха на этих частотах вследствие заболевания.

Применение физиотерапевтических методов в дополнение к основному медикаментозному лечению способствует более эффективному восстановлению слуха у пациентов с острой нейросенсорной тугоухостью. Это подчеркивает важность применения физиотерапевтических методов в комплексном лечении острой нейросенсорной тугоухости для достижения более эффективных и устойчивых результатов.

Список литературы

1. Саливончик, Е. И. Нейросенсорная тугоухость в период пандемии COVID-19: что мы знаем сегодня? / Е. И. Саливончик // Рецепт. – 2021. – Т. 24, № 3. – С. 2-11.
2. Боряк В.П Влияние лазеротерапии на показатели кажущейся вязкости крови при лечении больных хронической обструктивной болезнью легких (хобл) в сочетании с метаболическим синдромом / В.П. Боряк // Вісник проблем біології і медицини. -2017. - Т.1, № 4. -С. 104-105.
3. Абрахманова А.И. / Место лазерной терапии в лечении ишемической болезни сердца / А.И. Абрахманова, Амиров Н.Б.// Вестник современной клинической медицины. -2019. Т.12, № 6. – С. 77-82.
4. Супова, М. В. Опыт применения виброакустической терапии и магнитотерапии при нейросенсорной тугоухости / М. В. Супова, С. Н. Смирнова // Физиотерапия, бальнеология и реабилитация. – 2007. – № 4. – С. 38.

УДК 620.197.2

ПОЛУЧЕНИЕ БИОСОВМЕСТИМЫХ КОНВЕРСИОННЫХ ПОКРЫТИЙ НА МАГНИЕВОМ СПЛАВЕ МЕДИЦИНСКОГО НАЗНАЧЕНИЯ

А.В. ПОСПЕЛОВ, А.А. ШИРВЕЛЬ, А.А. КАСАЧ, Е.О. БОГДАН, И.И. КУРИЛО

Белорусский государственный технологический университет (г. Минск, Республика Беларусь)

Аннотация. Разработаны составы растворов электролитов и режимы химического фосфатирования легированного редкоземельными элементами сплава магния WE43. Методами линейной вольтамперометрии изучены особенности процесса коррозии исследуемого сплава и защитные свойства сформированных на его поверхности конверсионных фосфатсодержащих покрытий. Установлено, что покрытия на основе гидрофосфата кальция обеспечивают наиболее высокий защитный эффект (93%) и позволяют снизить скорость коррозии сплава WE43 в физиологическом растворе Хэнка практически в 10 раз, что обусловлено формированием однородной мелкозернистой бездефектной структуры конверсионного слоя.

Ключевые слова: сплав магния WE43, химическое фосфатирование, конверсионные покрытия, фазовый состав, структура, адгезия, коррозия, защитный эффект.

OBTAINING BIOCOMPATIBLE CONVERSION COATINGS ON MAGNESIUM ALLOYS FOR MEDICAL PURPOSE

ANDREY V. POSPELOV, ARTEM A. SHIRVEL, ALIAKSANDR A. KASACH,
EKATERINA O. BOGDAN, IRINA I. KURILO

Belarussian State Technological University (Minsk, Republic of Belarus)

Abstract. Compositions of electrolyte solutions and chemical phosphating regimes for magnesium alloy WE43 alloyed with rare earth elements have been developed. Using linear voltammetry methods, the corrosion features of the alloy under study and the protective properties of phosphate-containing coatings formed on its surface were studied. It has been established that coatings based on calcium hydrogen phosphate provide the highest protective effect (93%) and can reduce the corrosion rate of WE43 alloy in Hank's physiological solution by almost 10 times, which is caused by the formation of a homogeneous, fine-grained, defect-free structure of the conversion layer.

Keywords: magnesium alloy WE43, chemical phosphating, conversion coatings, phase composition, structure, adhesion, corrosion, protective effect.

Введение

В настоящее время в травматологии и ортопедии весьма перспективно применение биоразлагаемых металлических имплантатов, которые при внедрении в костную ткань сначала выполняют опорную функцию, а в дальнейшем – резорбируются в физиологических средах организма, замещаясь нативной костью, что исключает необходимость повторных хирургических вмешательств для извлечения имплантатов [1-2]. Среди биоразлагаемых металлов наибольший интерес представляют магний и его сплавы благодаря их высокой биосовместимости, низкой плотности и механическим свойствам, сходным со свойствами нативной кости. Кроме того, магний является одним из важнейших микроэлементов в организме человека, участвующим в качестве кофактора более чем в 300 различных ферментативных реакциях и играющим важную роль в энергетическом обмене. Установлено, что ионы магния, мигрирующие из имплантатов, способствуют регенерации костной ткани и ускоряют процессы заживления при заболеваниях костей. Водород, являющийся основным продуктом разложения магниевых сплавов, также может оказывать положительное влияние на организм, поскольку обладает антиоксидантной активностью, является селективным поглотителем гидроксильных радикалов и пероксинитрита [1-5].

Однако, несмотря на огромный потенциал магния и его сплавов как материала для получения биоразлагаемых имплантатов, существует ряд нерешенных вопросов, ограничивающих их широкое применение: быстрая и неконтролируемая деградация в биологических средах, сопровождающаяся высвобождением водорода, а также неоднородная степень разрушения с образованием локальных дефектов. Вышеописанные проблемы могут оказывать негативное влияние на ткани организма и приводить к нарушению механической целостности имплантата до того, как произойдет заживление костной ткани [4, 5, 6].

Для снижения скорости коррозии магниевых сплавов и улучшения их биологических свойств используются различные методы, например, легирование кальцием, марганцем, цинком, цирконием и другими элементами, а также нанесение функциональных покрытий на основе гидроксиапатита, хитозана, β -трикальцийфосфата и др. [3-7].

Целью настоящей работы являлось получение фосфатных конверсионных покрытий на сплаве магния WE43 и изучение их фазового состава, структуры, адгезионных и защитных свойств.

Методика проведения эксперимента

Для проведения исследований использовали сплав магния WE43, номинальный состав которого представлен следующими химическими элементами, мас. %: Y – 4,8; Zr – 0,7; Nd – 2,9; Gd – 0,4; Dy – 0,3; Mg – баланс.

Перед нанесением покрытий образцы сплава размером 20×20×5 мм подвергали полировке и шлифовке на шлифовально-полировальном станке METAPOL 2000P (Laizhou Lyric Testing Equipment, Китай) с последующим обезжириванием в этиловом спирте (99 %) в течение 60 с при температуре 20 °С.

Формирование конверсионных фосфатсодержащих покрытий на поверхности образцов сплава WE43 осуществляли в течение 30 мин при температуре 50 °С в растворах следующих составов, моль/дм³: H₃PO₄ – 0,2; Me(NO₃)₂ (где Me – Mg, Ca и Zn) – 0,4; 2M NaOH – до pH 2,8.

Фазовый анализ полученных покрытий определяли с использованием рентгенофазового анализа (РФА) при помощи рентгеновского дифрактометра D8 Advance Bruker AXS. Обработку дифрактограмм осуществляли в программном обеспечении Match с использованием эталонной базы COD (Crystallography Open Database).

Оценку защитных свойств полученных покрытий проводили в растворе Хэнка (pH=7,4) следующего состава, г/дм³: NaCl – 8,0; KCl – 0,4; NaHCO₃ – 0,07; MgCl₂·7H₂O – 0,10; CaCl₂ – 0,14; NaH₂PO₄ – 0,07; KH₂PO₄ – 0,07. Электрохимические исследования коррозии полученных образцов проводили на потенциостате / гальваностате AUTOLAB PGSTAT 302, оснащенный модулем импеданса. Рабочим электродом служили фосфатированные образцы сплава WE43, в качестве электрода сравнения использовали хлоридсеребряный электрод, противозлектродом являлся платиновый точечный электрод. Поляризационные кривые снимали в потенциостатическом режиме. Диапазон измерений поляризационных кривых составил от –200 до 300 мВ относительно бестокового потенциала при линейной скорости развертки потенциала 1 мВ/с. Время установления бестокового потенциала – 30 мин.

Результаты и их обсуждение

Методом рентгенофазового анализа установлено, что в растворах фосфатирования, содержащих Mg(NO₃)₂ и Ca(NO₃)₂, образуются покрытия на основе гидрофосфатов MgHPO₄·3H₂O (MgP) и CaHPO₄·2H₂O (CaP), а в растворах, содержащих Zn(NO₃)₂, – на основе Zn₃(PO₄)₂·4H₂O (ZnP).

Структуру покрытий, синтезированных на магниевом сплаве WE43, изучали методом оптической микроскопии (рис. 1). Установлено, что наиболее однородной и мелкозернистой структурой характеризуются покрытия CaP и MgP. Покрытия ZnP имеют игольчатую и крупнокристаллическую структуру и характеризуются наличием большого количества трещин и отслоений. Невысокие адгезионные свойства покрытий на основе фосфата цинка, по-видимому, обусловлены высокой разностью стандартных электродных потенциалов магния (–2,38 В) и цинка (–0,76 В). В этом случае происходит контактное осаждение цинка на

поверхности магниевой подложки и, как следствие, неравномерное растворение сплава при формировании конверсионного покрытия ZnP.

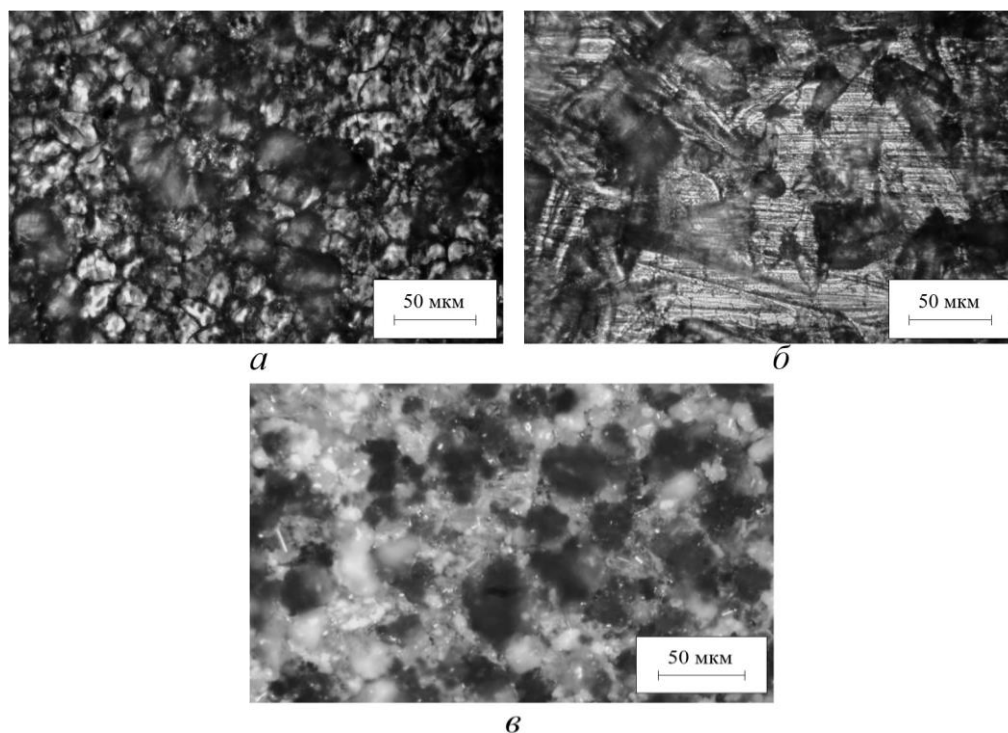


Рис. 1. Оптические микрофотографии образцов покрытий: *a* – MgP; *б* – CaP; *в* – ZnP

Результаты электрохимических исследований коррозии сплава магния WE43 без покрытий и с нанесенными фосфатсодержащими конверсионными покрытиями представлены на рис. 2. Электрохимические параметры коррозии исследуемых образцов, рассчитанные по данным поляризационных измерений, приведены в табл. 1.

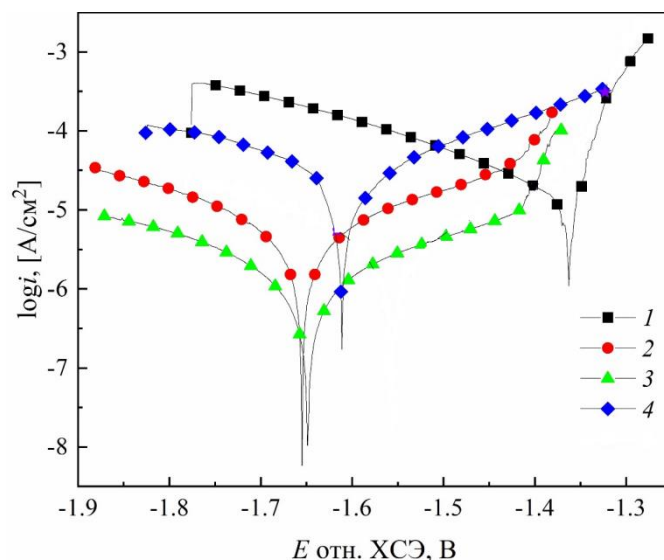


Рис. 2. Поляризационные кривые в растворе Хэнка образцов сплава магния WE43 без покрытия (1) и с синтезированными покрытиями: MgP (2); CaP (3); ZnP (4)

Согласно полученным поляризационным кривым наименьшей коррозионной устойчивостью в растворе Хэнка обладает образец сплава магния WE43 без покрытия. Сформированное на поверхности покрытие ZnP не оказывает существенного влияния на скорость коррозии исследуемого сплава. Плотности токов коррозии при этом составляют

$1,74 \cdot 10^{-5}$ и $1,61 \cdot 10^{-5}$ А/см². Покрытия MgP и CaP способствуют снижению скорости коррозии сплава WE43 практически в 10 раз.

Таблица 1. Электрохимические параметры процесса коррозии исследуемых образцов

Образец	$a_a, В$	$b_a, В$	$a_k, В$	$b_k, В$	$i_{кор}, А/см^2$	$E, В$	$Z, \%$
WE43 без покрытия	-1,21	0,03	-2,61	-0,26	$1,74 \cdot 10^{-5}$	-1,36	–
MgP	-0,04	0,31	-2,80	-0,21	$4,83 \cdot 10^{-6}$	-1,67	72
CaP	-0,05	0,27	-2,84	-0,20	$1,16 \cdot 10^{-6}$	-1,66	93
ZnP	-0,76	0,18	-2,21	-0,13	$1,61 \cdot 10^{-5}$	-1,61	7

Установлено, что защитный эффект синтезированных фосфатсодержащих покрытий уменьшается в ряду CaP (93 %) > MgP (72 %) > ZnP (7 %). Наиболее высокий защитный эффект покрытия на основе гидрофосфата кальция обусловлен однородной и бездефектной структурой сформированного конверсионного слоя. Более низкое значение защитного эффекта покрытия MgP, вероятно, обусловлено незначительным присутствием в их структуре микротрещин. Практически полное отсутствие защитной способности покрытий ZnP вызвано неоднородной и рыхлой структурой конверсионного слоя.

Заключение

На основании результатов проведенных исследований показана перспективность модифицирования поверхности магниевых сплавов WE43 фосфатсодержащими соединениями магния и кальция. Установлено, что покрытия на основе гидрофосфата кальция обеспечивают наиболее высокий защитный эффект (93%) и позволяют снизить скорость коррозии исследуемого сплава в растворе Хэнка практически в 10 раз. Высокие антикоррозионные свойства синтезированных покрытий обуславливаются формированием однородной мелкозернистой бездефектной структуры конверсионного слоя.

Выполнение исследований финансировалось в рамках гранта Президента Республики Беларусь на 2024 год и в рамках НИР ГПНИ «Химические процессы, реагенты и технологии, биорегуляторы и биооргхимия», рег. № 20240861.

Список литературы

1. Ding W. Opportunities and challenges for the biodegradable magnesium alloys as next-generation biomaterials. *Regen Biomater* 2016; 3(2): 79–76. doi.org/10.1093/rb/rbw003.
2. Kannan M.B., Raman R.K. In vitro degradation and mechanical integrity of calcium containing magnesium alloy in modified simulated body fluid. *Biomaterials* 2008; 29: 2306–2314, doi.org/10.1016/j.biomaterials.2008.02.003.
3. Lukyanova E., Anisimova N., Martynenko N., Kiselevsky M., Dobatkina S., Estrin Yu. Features of in vitro and in vivo behaviour of magnesium alloy WE43. *Mater Lett* 2018; 215: 308–311, doi.org/10.1016/j.matlet.2017.12.125.
4. Urban R.M., Jacobs J.J., Gilbert J.L., Galante J.O. Migration of corrosion products from modular hip prosthesis. Particle microanalysis and histopathological findings. *J Bone Joint Surg* 1994; 76(9): 1345–1359. doi.org/10.2106/0004623-199409000-00009.
5. Kiselevsky M.V., Anisimova N.Yu., Polotsky B.E., Martynenko N.S., Lukyanova E.A., Sitdikova S.M., Dobatkin S.V., Estrin Yu.Z. Biodegradable Magnesium Alloys as Promising Materials for Medical Applications (Review). *Sovremennye tehnologii v medicine* 2019; 11(3): 146, https://doi.org/10.17691/stm2019.11.3.18.
6. Lu, J. Biological properties of calcium phosphate biomaterials for bone repair: a review / J. Lu, H. Yu, C. Chen // *RSC Advances*. 2018. V.8. P. 2015-2033.
7. Staiger MP, Pietak AM, Huadmai J, Dias G. Magnesium and its alloys as orthopedic biomaterials: a review. *Biomaterials*. 2006 Mar;27(9):1728-34. doi: 10.1016/j.biomaterials.2005.10.003.

УДК 21.3.049.77–048.24:537.2

МОДЕЛИРОВАНИЕ АЛГОРИТМА ИЗМЕРЕНИЯ ГЛЮКОЗЫ

С.А. САЛАХЛЫ, А.Н. ОСИПОВ, В.С. ГАВРИЛЕНКО, Е.А. ЗУЕВ

*Белорусский государственный университет информатики и электроники
(г. Минск, Республика Беларусь)*

Аннотация. В статье предложен подход к моделированию помехоустойчивого алгоритма для измерения концентрации глюкозы в крови с использованием кодов Баркера и псевдослучайных последовательностей. Основное внимание уделено повышению точности измерений в условиях высокого уровня шумов, что особенно важно для энергоэффективных подкожных глюкозных сенсоров, работающих на низкой интенсивности флуоресценции. Разработанный метод направлен на улучшение соотношения сигнал/шум и предназначен для применения в системах непрерывного мониторинга глюкозы (CGM).

Ключевые слова: алгоритм измерения глюкозы, подкожные глюкозные сенсоры, помехоустойчивость, псевдослучайная последовательность, флуоресцентный метод, моделирование, белый шум, точность измерения глюкозы, непрерывный мониторинг глюкозы.

MODELING OF THE GLUCOSE MEASUREMENT ALGORITHM

S.A. SALAHLY, A.N. OSIPOV, V.S. GAVRILENKO, E.A. ZUEV

*Belarusian State University of Informatics and Radioelectronics
(Minsk, Republic of Belarus)*

Abstract. The article proposes an approach to modeling a noise-resistant algorithm for measuring blood glucose concentration using Barker codes and pseudorandom sequences. The main attention is paid to improving the accuracy of measurements in conditions of high noise levels, which is especially important for energy-efficient subcutaneous glucose sensors operating at low fluorescence intensity. The developed method is aimed at improving the signal-to-noise ratio and is intended for use in continuous glucose monitoring (CGM) systems.

Keywords: glucose measurement algorithm, subcutaneous glucose sensors, noise immunity, pseudorandom sequence, fluorescent method, modeling in python, white noise, glucose measurement accuracy, continuous glucose monitoring.

Введение

Системы непрерывного мониторинга глюкозы (CGM) постепенно становятся стандартом для пациентов, нуждающихся в постоянном контроле уровня сахара в крови. Эти устройства обеспечивают постоянную обратную связь, позволяя оперативно реагировать на изменения уровня сахара в крови. В то же время создание энергоэффективных и точных сенсоров, способных работать в условиях низкого уровня флуоресценции, остается сложной задачей, требующей инновационных решений.

Методика проведения моделирования

Проблема точного измерения уровня глюкозы осложняется шумами, которые возникают при работе с низкоэнергетическими сенсорами. Для преодоления этой трудности был предложен метод, основанный на использовании псевдослучайных последовательностей и кодов Баркера. Коды Баркера представляют собой короткие последовательности двоичных чисел, известные своей способностью минимизировать автокорреляцию, что делает их идеальными для применения в системах, требующих высокой помехоустойчивости. В данном методе флуоресцентный сенсор облучается по псевдослучайной схеме, что позволяет получить отклик в форме сигнала, модулированного этой последовательностью.

Сначала генерируется входной сигнал, представляющий собой заданную m -последовательность. Этот сигнал, используемый для моделирования облучения геля в сенсоре, вызывает флуоресценцию, интенсивность которой пропорциональна амплитуде облучающего сигнала. Программа затем добавляет белый шум к модулированному сигналу, моделируя реальные условия измерений, где шум существенно влияет на точность определения концентрации глюкозы. Шумовые искажения вызывают проблемы при обработке сигнала, что делает применение помехоустойчивых алгоритмов особенно важным.

На следующем этапе сигнал умножается на код Баркера. Код Баркера помогает усилить сигнал относительно шума, так как его структура позволяет компенсировать нежелательные колебания, вызванные шумом. Затем выполняется суммирование результатов, что позволяет выделить информацию о концентрации глюкозы, сохраняя высокое отношение сигнал/шум. Эта методика особенно эффективна при низкой интенсивности флуоресценции, что актуально для энергосберегающих сенсоров.

Заключительный шаг алгоритма заключается в вычислении итоговой величины концентрации глюкозы путем интеграции полученного сигнала. Итоговая амплитуда сигнала используется для оценки уровня глюкозы, что позволяет сравнить результаты с фактическими данными и оценить точность предложенного метода. Таким образом, предлагаемый алгоритм успешно решает задачу повышения помехоустойчивости, а использование псевдослучайных последовательностей делает его особенно эффективным для низкоэнергетических сенсоров.

Результаты моделирования

Для иллюстрации процесса был разработан код на языке Python, который моделирует все этапы алгоритма. На первом графике (рисунок 1) показан входной сигнал, представляющий собой синусоидальный сигнал, смоделированный для изучения поведения флуоресцентного отклика.

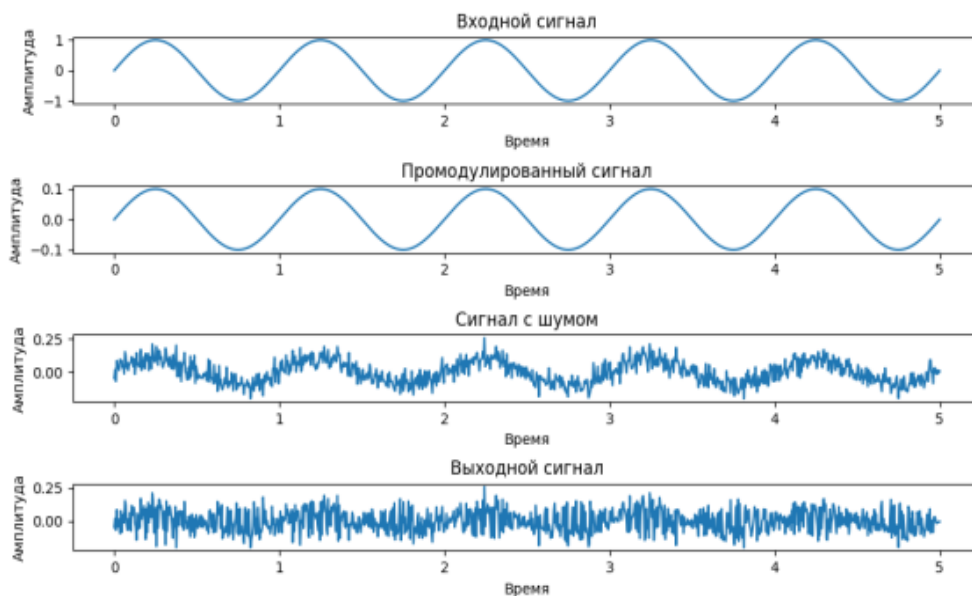


Рис. 1. Процесс модуляции и фильтрации сигнала

Далее, во втором графике, представлен промодулированный сигнал, который был ослаблен, чтобы отразить низкую интенсивность флуоресценции, характерную для низкоэнергетических сенсоров. Этот шаг имитирует ограниченность энергии в реальных устройствах и позволяет пронаблюдать влияние слабых сигналов на точность измерения.

Третий график демонстрирует результат добавления шума к сигналу и отражает реальные условия измерения, где сигнал оказывается под влиянием помех. Этот этап позволяет

показать, как шум ухудшает соотношение сигнал/шум и насколько затрудняется точное измерение концентрации глюкозы.

На заключительном графике представлено применение кода Баркера, который, будучи наложен на шумный сигнал, улучшает его помехоустойчивость. Этот процесс имитирует умножение промодулированного сигнала на код Баркера, что усиливает полезный сигнал и снижает влияние шума. Выходной сигнал после обработки с помощью кода Баркера обладает улучшенным отношением сигнал/шум, что делает его пригодным для дальнейшей обработки и получения более точного значения концентрации глюкозы.

В заключении алгоритма проводится суммирование итоговых значений, что позволяет вычислить концентрацию глюкозы. Результат, представленный на последнем графике, иллюстрирует улучшенное качество сигнала и демонстрирует эффективность предложенного алгоритма.

Заключение

Разработанный алгоритм моделирования измерения уровня глюкозы с применением кодов Баркера и псевдослучайных последовательностей демонстрирует высокую помехоустойчивость и низкое энергопотребление, что делает его пригодным для использования в современных медицинских сенсорах. Дальнейшее тестирование на реальных данных необходимо для окончательной оценки его надёжности и точности.

Список литературы

1. Комплект системы Eversense E3 CGM [Электронный ресурс]. – Режим доступа: <https://global.eversenseddiabetes.com/patienteducation/eversense-user-guides/>
2. Обзор существующих методов и аппаратов [Электронный ресурс]. – Режим доступа: <https://global.eversenseddiabetes.com/patient-education/eversense-user-guides/>
3. Процедура введения датчика и подготовки пациента [Электронный ресурс]. – Режим доступа: <https://global.eversenseddiabetes.com/healthcare-providers/healthcare-provider-resource-page/#toggle-id-1>
4. Система постоянного мониторинга глюкозы [Электронный ресурс]. – Режим доступа: <https://www.diacheck.ru/product/sistemapostoyannogo-monitorirovaniya-glyukozy-ipro2-model-mmt-7745>
5. Датчик компании Abbott [Электронный ресурс]. – Режим доступа: <https://www.freestylelibre.ru/libre/products/sensors.html>
6. Датчик компании Dexcom, CGM-система G4 Platinum [Электронный ресурс]. – Режим доступа: <http://dexcom.by/пошаговаяинструкция-по-установке-nightscout/>
7. Medtronic с платформами MiniMed 640G и 530G [Электронный ресурс]. – Режим доступа: <https://www.medtronicdiabetes.com/ru-RU/support/manuals>

УДК 004.8

РАЗРАБОТКА МЕТОДА РЕГИСТРАЦИИ МУЛЬТИФАЗНЫХ КТ-ИЗОБРАЖЕНИЙ С ИСПОЛЬЗОВАНИЕМ АФИННЫХ ПРЕОБРАЗОВАНИЙ

Ю.В.СТАРИЧКОВА, А.В.ПИТИНОВ, Н. Ш. ГАЗАНОВА

РТУ МИРЭА, г. Москва, Россия

Аннотация. Данное исследование посвящено разработке и тестированию новых подходов для автоматического переноса вручную размеченных данных на смежные фазы компьютерной томографии (КТ) печени. Такой перенос позволяет значительно сократить время, затрачиваемое на разметку медицинских изображений, а также преодолеть проблему нехватки размеченных данных для обучения алгоритмов автоматического анализа. В рамках работы были исследованы различные методы регистрации изображений КТ печени, направленные на точное совмещение изображений разных фаз. В разработанном алгоритме используется библиотека Insight Segmentation and Registration Toolkit (ИТК), в частности, модуль ИТК Elastix, предназначенный для высокоточной регистрации медицинских изображений. Однако стандартные методы библиотеки оказались недостаточно эффективными в сложных случаях совмещения из-за анатомических и физиологических изменений между фазами. Для преодоления этих ограничений был предложен усовершенствованный метод регистрации, позволяющий повысить точность совмещения и обеспечить более надежный перенос разметки. Проведенные экспериментальные исследования демонстрируют потенциальную эффективность предложенного подхода для автоматизации процесса разметки и улучшения качества анализа медицинских изображений КТ печени.

Ключевые слова: компьютерная томография печени, автоматическая разметка, регистрация изображений, ИТК Elastix, аффинное преобразование, медицинская визуализация.

DEVELOPMENT OF A METHOD FOR REGISTRATION OF MULTIPHASE CT IMAGES USING AFFINE TRANSFORMATIONS

YU.V.STARICHKOVA, A.V.PITINOV

RTU MIREA, Moscow, Russia

Abstract. This study is devoted to the development and testing of new approaches for automatic transfer of manually labelled data to adjacent phases of liver computed tomography (CT). Such transfer allows to significantly reduce the time spent on markup of medical images, as well as to overcome the problem of lack of marked-up data for training automatic analysis algorithms. As part of this work, different methods of liver CT image registration have been investigated to accurately align images of different phases. The developed algorithm utilises the Insight Segmentation and Registration Toolkit (ITK) library, in particular the ITK Elastix module designed for high precision registration of medical images. However, the standard methods of the library have proven to be underperforming in complex matching cases due to anatomical and physiological changes between phases. To overcome these limitations, an improved registration method was proposed to improve the matching accuracy and provide more reliable markup transfer. The conducted experimental studies demonstrate the potential effectiveness of the proposed approach to automate the markup process and improve the quality of medical CT liver image analysis.

Keywords: liver computed tomography, automatic markup, image registration, ITK Elastix, affine transformation, medical imaging.

Введение

Современная медицина активно использует методы компьютерной томографии (КТ) для диагностики и исследования заболеваний печени. КТ предоставляет возможность получать высококачественные трехмерные изображения, которые являются ключевыми для детального изучения анатомии и патологических изменений органа. Однако для эффективного использования этих данных в клинической практике и научных исследованиях требуется точная разметка

изображений, что зачастую является трудоемким и времязатратным процессом, выполняемым вручную специалистами-радиологами. Нехватка размеченных данных представляет серьезную проблему при разработке и обучении алгоритмов автоматического анализа изображений, включая методы машинного и глубокого обучения. Эти алгоритмы требуют большого объема высококачественных размеченных данных для достижения высокой точности и надежности. Увеличение объема размеченных данных посредством ручной разметки сопряжено со значительными затратами времени и ресурсов. Одним из перспективных решений данной проблемы является перенос уже существующих вручную размеченных данных на смежные фазы КТ исследований. Это позволяет не только сэкономить время на разметку, но и увеличить объем доступных данных для обучения алгоритмов. Однако для успешного переноса разметки необходимо обеспечить точное совмещение изображений разных фаз, что является сложной задачей из-за различий в положении органов, дыхательных движений пациента и других физиологических изменений. В рамках данного исследования рассматриваются подходы к регистрации изображений КТ печени с целью автоматизации переноса разметки на смежные фазы. Основой для разработки алгоритма послужила библиотека Insight Segmentation and Registration Toolkit (ИТК), широко используемая в медицинской визуализации благодаря своей гибкости и мощному функционалу. В частности, использован модуль ИТК Elastix, предназначенный для точной и надежной регистрации изображений. Однако стандартные методы, предлагаемые этой библиотекой, не всегда справляются с задачей точного совмещения в сложных случаях, что приводит к ошибкам при переносе разметки. Для преодоления данных ограничений был разработан усовершенствованный метод регистрации, включающий адаптацию параметров и алгоритмов ИТК Elastix под специфические особенности изображений КТ печени. Проведены экспериментальные исследования, результаты которых показали повышение точности регистрации и успешный перенос разметки на смежные фазы. Это свидетельствует о потенциальной эффективности предложенного подхода и его возможности применения в клинической практике для автоматизации процесса разметки и улучшения качества анализа медицинских изображений.

Методика проведения эксперимента

Для автоматического переноса разметки с одной фазы компьютерной томографии (КТ) печени на другую была разработана методика, включающая несколько этапов предобработки и регистрации изображений. Основными шагами данного подхода являются нормализация изображений, использование эвристики для определения ключевых срезов, поиск максимально похожих срезов, обрезка изображений по ограничивающему прямоугольнику (bounding box) и регистрация с использованием библиотеки Elastix в составе ИТК. На первом этапе проводится нормализация исходных изображений КТ, приводя их к стандартным значениям уровней серого, соответствующим фильтру abdomen в программе 3D Slicer. Это обеспечивает одинаковую контрастность и яркость изображений, что составляет важное условие для успешной последующей регистрации. Для этого используются параметры окна (window) и уровня (level): `window=350.0`, `level=40.0`. для выбора среза. Была реализована эвристика, для выбора среза, заключающаяся в выборе последнего среза, на котором присутствует маска печени. Это обусловлено тем, что вокруг последнего среза с разметкой находится свободная от органов контрастирующая область, что облегчает алгоритму поиск соответствий при регистрации. Этот подход позволяет алгоритму "зацепиться" за топографические особенности изображения [1]. Для улучшения точности совмещения производится поиск максимально похожего среза на фазе, куда переносится разметка, в пределах ± 40 срезов по оси z (соответствующей направлению от головы к ногам) и ± 15 срезов по осям x и y. Сначала поиск проводится по осям x и y, затем по оси z. Такой выбор диапазонов связан с тем, что наибольшее смещение органов наблюдается именно по оси z из-за особенностей положения пациента в сканере и физиологических факторов [2]. В качестве метрики сходства используется среднеквадратичная ошибка (RMSE). Данная метрика позволяет количественно оценить разницу между срезами и выбрать наиболее похожий, что способствует более точному совмещению границ печени. Далее для подготовки полученного совмещенного исследования для использования в обучении моделей искусственного интеллекта производится обрезка изображений по ограничивающему прямоугольнику, определенному по маске печени, с

добавлением отступа в 20 вокселей со всех сторон. Это уменьшает объём данных для обработки и фокусирует регистрацию на области интереса, что повышает её эффективность и точность [3]. Для регистрации изображений используется библиотека Elastix из состава ИТК, которая предоставляет широкий набор инструментов для медицинской регистрации. В качестве типа преобразования выбрано аффинное преобразование из-за его быстродействия и достаточной точности для данной задачи. Аффинное преобразование учитывает перенос, масштабирование, поворот и сдвиг, что достаточно для компенсации изменений между фазами КТ [4]. Использование маски печени в качестве области интереса для регистрации позволяет сосредоточить процесс на значимых областях и игнорировать посторонние структуры. Процесс начинается с инициализации метода регистрации. Затем, на фиксированное изображение накладывается маска, которая выделяет область интереса — в данном случае, это участок с изображением печени. Для оценки подобия изображений используется метрика общей информации Матте, основанная на гистограммах. Регистрация включает в себя использование оптимизатора, который управляет поиском оптимальных параметров преобразования. Ему задаются параметры, такие как скорость обучения и количество итераций, чтобы настроить процесс на достижение устойчивой сходимости. Перемещения по изображению измеряются в физических единицах, позволяя учесть реальное пространственное разрешение данных. На следующем этапе происходит инициализация аффинного преобразования, которое используется для трансформации изображения. Данный тип преобразования позволяет учесть основные изменения между изображениями, такие как смещения и масштабирование. Оно не изменяет глубинные характеристики структуры, но корректирует ее положение и ориентацию относительно других изображений. Наконец, для выполнения интерполяции выбирается сплайн, который обеспечивает гладкость переходов между пикселями. В результате выполнения процесса выводится конечное преобразование, которое можно применить для корректировки движущегося изображения, чтобы оно совпадало с фиксированной маской.

Результаты и их обсуждение

В результате применения предложенного метода удалось улучшить качество переноса разметки по сравнению со стандартным использованием библиотеки ИТК Elastix. При использовании только стандартных методов регистрация в сложных случаях была неточной, что приводило к значительным расхождениям в разметке печени на разных фазах. Оценка качества переноса разметки проводилась с использованием коэффициента подобия Dice и метрики пересечения по площади (Intersection over Union, IoU). В эксперименте использовались автоматические сегментационные маски, полученные с помощью модели, обеспечивающей коэффициент Dice более 80% относительно истинной разметки.

Таблица 1. Полученные метрики

Метод	Коэффициент Dice, %	IoU, %
Стандартный ИТК Elastix	73,2 %	61%
Предложенный метод	81,5%	72,2%

Использование предложенной методики позволило увеличить коэффициент Dice с 73,2% до 81,5%, а метрику IoU с 61,0% до 72,2% при этом следует брать во внимание накопление ошибки[5] от использования в качестве ground truth масок сегментаций. Это свидетельствует о значительном улучшении точности переноса разметки. На рисунке 1 представлены визуальные результаты регистрации: (а) результат регистрации с использованием стандартного ИТК Elastix, (б) результат с использованием предложенного метода. Красным контуром отмечена маска печени, синим контуром маска патологии, обе маски являются размеченными вручную, также на обоих изображениях изображены срезы с одним индексом, чтобы наглядно продемонстрировать разницу в смещении. Видно, что в случае применения предложенной методики границы печени и патологии более чётко совпадают.

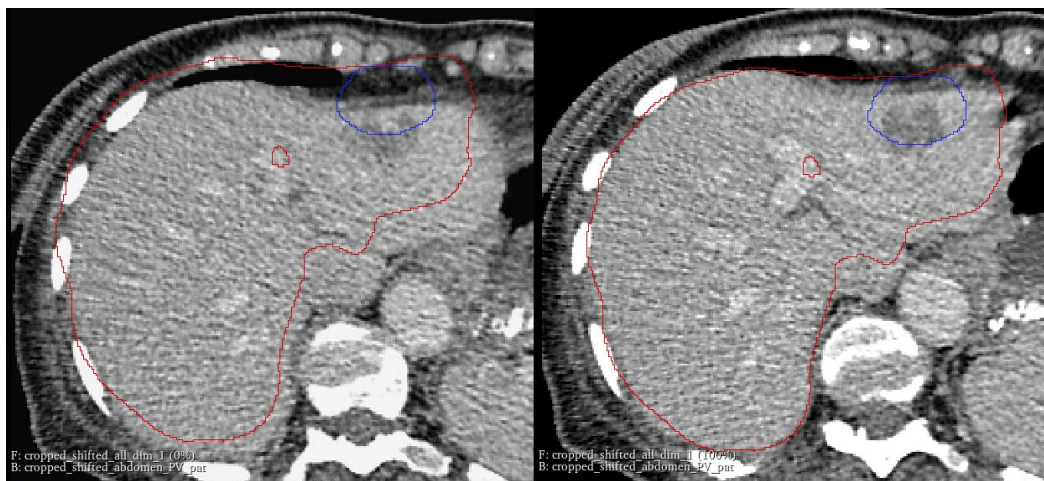


Рис. 1. Сравнение результатов регистрации: (а) стандартный ИТК Elastix; (б) предложенный метод.

Улучшение результатов связано с использованием эвристики для выбора ключевых срезов и фокусированием регистрации на области ground truth маски патологии. Аффинное преобразование оказалось достаточным для компенсации смещений и деформаций между фазами, сохраняя при этом высокую скорость вычислений.

Заключение

В рамках данного исследования разработан и протестирован метод автоматического переноса ручной разметки печени на смежные фазы КТ исследований. Предложенная методика включает предварительную нормализацию изображений, использование эвристики для выбора ключевых срезов, обрезку по ограничивающему прямоугольнику и регистрацию с использованием аффинного преобразования в библиотеке Elastix. Результаты экспериментов показали, что данный подход обеспечивает значительное улучшение точности переноса разметки по сравнению со стандартными методами. Это подтверждается повышением коэффициента Dice до 81,5% и метрики IoU до 72,2%. Предложенный метод может быть использован для автоматизации процесса разметки медицинских изображений, что существенно экономит время специалистов и улучшает качество анализа данных.

Список литературы

1. Maintz, J.B.A., Viergever, M.A. A survey of medical image registration. *Medical Image Analysis*, 1998;2(1):1-36.
2. Hill, D.L.G., Batchelor, P.G., Holden, M. et al. Medical image registration. *Physics in Medicine & Biology*, 2001;46(3):R1-R45.
3. Zitová, B., Flusser, J. Image registration methods: a survey. *Image and Vision Computing*, 2003;21(11):977-1000.
4. Johnson, H. J., McCormick, M. M., Ibáñez, L., & the Insight Software Consortium. (2024). The ITK software guide: Book 1: Introduction and development guidelines (4th ed., Updated for ITK version 5.4.0). Retrieved from <https://itk.org>. P. 6-7.
5. Ronneberger, O., Fischer, P., Brox, T. U-Net: Convolutional Networks for Biomedical Image Segmentation. *Medical Image Computing and Computer-Assisted Intervention – MICCAI 2015, Lecture Notes in Computer Science*, vol 9351.

УДК 004.981.3

ЦИФРОВАЯ ДИАГНОСТИКА И ПЕРСПЕКТИВЫ ЦИФРОВИЗАЦИИ В ЗДРАВООХРАНЕНИИ С ПРИМЕНЕНИЕМ ИОМТ «МАСТЕР ЗДОРОВЬЯ»

Г.Б. ГРЕБИНЕВИЧ¹, В.В. ТКАЧЕНКО², Л.Б. ХРУСТИЦКАЯ¹

¹*Ноосферные технологии (г. Минск, Республика Беларусь)*

²*Объединенный институт проблем информатики Национальной академии наук Беларуси
(г. Минск, Республика Беларусь)*

Аннотация. Представлено описание цифровой диагностической технологии, разработанной на медикобиологической основе метода И.Накатани, особенности и возможности ее реализации с цифровым устройством «Мастер Здоровья», разработанного как изделие медицинского назначения для серийного производства и относящегося к категории медицинских Интернет-вещей (ИомТ) по набору своих функций. Проведены пилотные обследования добровольцев с различными особенностями нозологии в объеме, необходимом при формировании распознающих эталонов для определения уровня и источника нарушений здоровья и для работы машинно-обучаемой экспертной системы поддержки диагностирования. Приведены результаты практической апробации и приемочных клинических испытаний с широким представителем различных групп населения. Определены направления использования цифровой диагностической технологии с применением ИомТ «Мастер Здоровья» и связанные с ними перспективы цифровизации в сфере здравоохранения.

Ключевые слова: метод Накатани, биологически активная точка, цифровая медицина, машинное обучение, клинические испытания, медицинская диагностика, информатизация здравоохранения.

DIGITAL DIAGNOSTICS AND PROSPECTS OF DIGITALIZATION IN HEALTHCARE USING IOMT "HEALTH MASTER"

GALINA.B. GREBINEVICH¹, VADIM.V. TKACHENKO², LARISA.B. KHRUSTITSKAYA¹

¹*Noosphere Technologies (Minsk, Republic of Belarus)*

²*United Institute of Informatics Problems of the National Academy of Sciences of Belarus
(Minsk, Republic of Belarus)*

Abstract. The description of the digital diagnostic technology developed on the basis of the I.Nakatani method is presented. The features and possibilities of its implementation with the digital device "Health Master", developed as IomT device for mass production, are presented. Pilot surveys of volunteers having various nosological features were conducted to the extent necessary for the formation of recognition standards to determine the level and source of health disorders and for the operation of a machine-trained expert diagnostic support system. The results of practical approbation and acceptance clinical trials with a wide representation of various population groups are presented. The directions of using digital diagnostic technology using the IomT "Health Master" and the related prospects for digitalization in the healthcare sector are determined.

Keywords: Nakatani method, biologically active point, digital medicine, machine learning, clinical trials, medical diagnostics, healthcare informatization.

Введение

В современной медицине особую важность приобретает видение проблемы целиком и лечение не симптомов самой болезни, а ее первопричины. Только системное и широкое обследование и диагностика позволяют установить и верифицировать ее с необходимой достоверностью. При этом цифровые технологии играют все более важную роль в процессе постановки медицинского диагноза. Автоматизация позволяет выявить патологию и заболевание уже на ранней стадии, а значит, увеличивает шансы на успешное лечение и выздоровление. Искусственный интеллект (ИИ) помогает быстрее и точнее диагностировать

заболевание на основе анализа информации о пациенте, улучшить взаимодействие между врачами и пациентами, подобрать оптимальную программу и контролировать ход лечения.

В докладе представлены результаты клинических испытаний новой технологии диагностики и устройства медицинского назначения «Мастер Здоровья», в которой неразрывно соединены возможности интеллектуальных систем на основе технологий машинного обучения и преимущества, связанные с использованием в качестве диагностических данных объективных показателей функционального состояния организма, а именно: результатов электропунктурного исследования.

Получение и цифровая обработка данных обследования

«Мастер Здоровья» – цифровое биометрическое переносное устройство (УЦБП), изделие медицинской техники, получившее Государственную регистрацию и разрешенное к производству и применению в Республике Беларусь. В нем реализовано оригинальное цифровое решение на основе известного в медицинской практике метода И. Накатани, который за последние 20 лет, как и его аналоги, претерпели ряд усовершенствований, значительно расширив доступность и диагностические возможности в различных отраслях медицины.

Метод Накатани предполагает построение так называемой карты риодораку по результатам измерения электропроводности кожного покрова в зонах двадцати четырех биологически активных точек (БАТ) организма. Каждый человек имеет свой индивидуальный нормальный диапазон уровней эндогенного электричества, по отклонению от которого можно судить о физиологическом состоянии его организма, функциональных органов и систем. Достоверность метода была подтверждена клинической практикой и он широко используется. Применительно к УЦБП этот метод адаптирован и модернизирован с применением цифровых технологических возможностей в результате междисциплинарного сотрудничества и усилий многих специалистов в рамках международного проекта «Цифровые Технологии, Человек – Здоровье и Развитие» и при научно-технической поддержке НАН Беларуси.

Процессы измерения, обработки и интерпретации электрофизиологических параметров в зонах БАТ как медикобиологической основы работы УЦБП и его программного обеспечения (ПО) выполняются автоматически с использованием ПО УЦБП, интегрированного с экспертной системой удаленного «облачного» сервиса.

Приборная часть УЦБП является микропроцессорным устройством и содержит блок обработки информации, блоки памяти и управления, индикатор в виде дисплея, буферный каскад, активный и индифферентный электроды, блок оценки, вход которого через блок гальванической развязки связан с выходом блока обработки информации, источник тока и модуль нормирования межэлектродного сопротивления, выполненный в виде электронного программно-управляемого сопротивления, соединенного с активным электродом и источником тока. Функциями микропрограммного обеспечивается:

- установка и калибровка режимов работы измерительного устройства для съема электрофизиологических параметров в активных зонах;
- выбор и отображение текущего режима работы с данными измерения;
- запись во внутреннюю флеш-память устройства результатов измерения (до 200 обследований) и передача этих данных при подключении к компьютеру через USB-порт;
- поддержка режима идентификации пользователя УЦБП с выдачей ID кода устройства через компьютер пользователя на облачный сервер.

Функциями приложения клиентской части ПО, которая устанавливается на компьютере пользователя – клиента облачного сервиса, поддерживается:

- идентификация пользователя УЦБП с выдачей ID измерительного устройства на облачный сервер;
- ввод и сохранение в ПК сведений о пациенте и данных измерения электрофизиологических параметров по соответствующему индивидуальному коду;
- визуализация в наглядной форме на экране монитора данных обследования и их интерпретации на основе результатов аналитической обработки программными средствами экспертной системы удаленного «облачного» сервиса.

Аналитическая обработка данных обследования и их интерпретации средствами экспертной системы удаленного «облачного» сервиса осуществляется автоматически и не предусматривает каких-либо специальных действий со стороны клиента-пользователя. Серверное ПО обеспечивает дублирование содержания баз данных по всем обследованиям и при необходимости возможность их восстановления на клиентской части системы. Алгоритмы аналитической обработки данных по совокупности обследований реализуют методы машинного обучения и создания эталонов распознавания, позволяющих автоматизировать процедуру диагностики с построением индивидуальных карт здоровья, оценкой рисков развития тех или иных заболеваний, прогнозированием клинических результатов, эффективности мер профилактики и терапии.

С помощью «Мастера Здоровья» врач может в течение 10 минут проводить обследование пациента как проиллюстрировано на рис.1 и, опираясь на результаты аналитической обработки со стороны «облачного» сервера, выявлять ранние признаки заболеваний, оценивать уровень адаптивных возможностей, тестировать пути восстановления функционального равновесия в организме, а также давать рекомендации к проведению альтернативных диагностических процедур или ставить клинический диагноз на основе интегрального подхода и методов, указанных в соответствующих стандартах.



Рис. 1. Процедура обследования и снятия показаний с помощью УЦБП в репрезентативных точках – по 6 зон на каждой на правых и левых конечностей: *a* – на запястьях рук; *b* – на стопах.

Результаты измерений фиксируются в памяти УЦБП и передаются на компьютер. Данные, загруженные в экспертный аналитический контур программы, просеиваются через фильтры образов, а результат их обработки и анализа экспертной системой облачного сервера представляется в виде программных заключений с возможностью их последующей визуализации (рис. 2), что позволяет:

- автоматизировать процесс анализа данных индивидуальных карт;
- сравнивать результаты одновременных обследований и проводить мониторинг эффективности мер профилактики и терапии;
- отслеживать динамику изменений показателей, определять степень рисков заболеваний и прогнозировать клинические результаты;
- формировать отчеты и сохранять данные для последующей оценки и выдачи заключения пациенту на электронном или бумажном носителе.

Клинические испытания и обсуждение их результатов

За десятилетний период проведения пилотных испытаний устройства в различных группах добровольцев были обследованы десятки тысяч пациентов. Выполнялось тестирование и совершенствование программных модулей устройства, оценка уровня чувствительности сенсора и удобство использования при проведении первичных и контрольных измерений диагностической процедуры как для врача, так и для пациента. Предварительное тестирование состояния здоровья с помощью прототипов, а затем промышленных образцов устройства у 800 человек при апробации устройства показало, что нижняя граница достоверности в среднем по

группе основных заболеваний составляет 75%, а по таким как заболевания ЖКТ, ССС и щитовидной железы, достоверность более 80%.

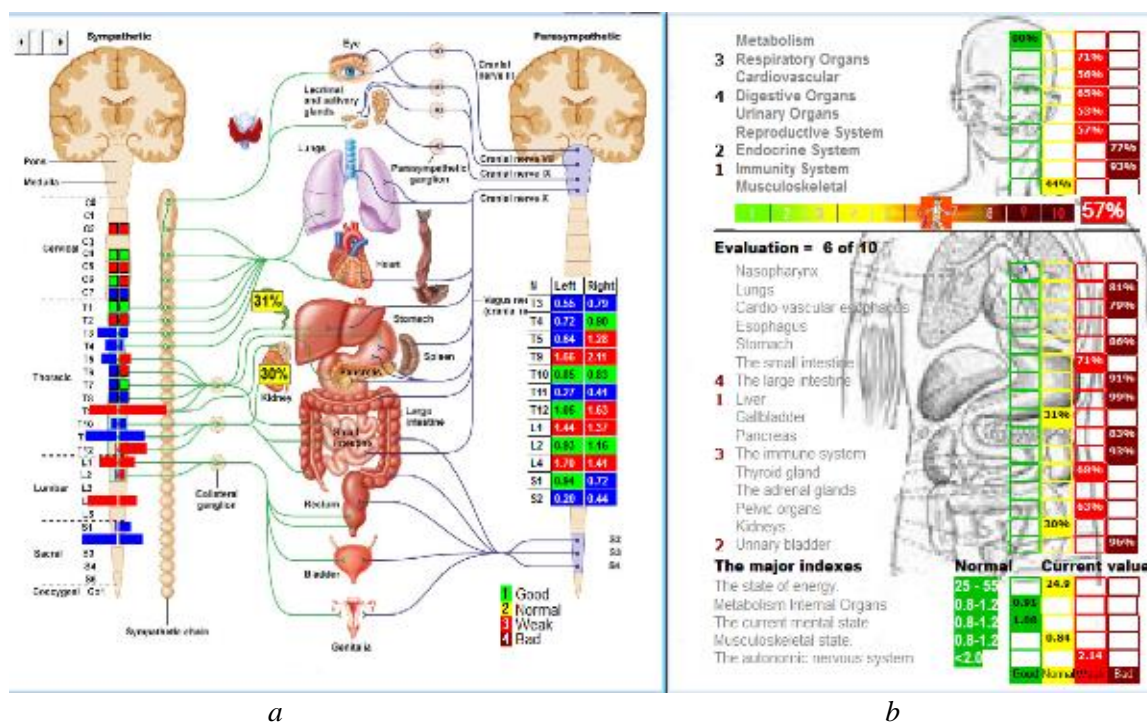


Рис. 2. Иллюстрированное отображение результатов обследования после цифровой обработки показаний УЦБП: *a* – интегральная картина с указанием в процентах функционального состояния органов и систем, их связи с сегментами позвоночного столба; *b* – картина изменения общего состояния здоровья в %.

Приемочные клинические испытания проводились на трех аккредитованных клинических базах в соответствии с программой и методикой, утвержденной Министерством здравоохранения. Исследования проводились в различных условиях приема, тип медицинского клинического испытания – «слепое», сравнительное, последовательное, многоцентровое, контролируемое испытание. Всего наблюдалось 1657 человек различного возраста, пола и занятости: до 20 лет – 12%, от 20 до 45 лет – 35%, старше 45 лет – 43%, старше 60 лет – 15%; женщин – 65%, мужчин – 35%; детей – 5%. В процессе тестирования на предмет диагностической значимости цифрового метода для оценки функционального статуса и выявления рисков заболеваний, под наблюдением находились 640 добровольцев с заведомо подтвержденными диагнозами. Результаты тестирования представлены в табл. 1

Таблица 1. Диагностическая значимость цифровой оценки функционального состояния организма

Код заболевания по МКБ 10	Нозология	Чувствительность в %	Специфичность в %	Уровень общей точности в %
I00-I99	Система кровообращения	75,6	45,5	74,3
M00-M99	Опорно-двигательный аппарат	76,9	35,1	67,1
J00-J99	Органы дыхания	76,3	13,4	75,4
G00-G99	Нервная система	48,6	24,5	46,3
N00-N99	Мочеполовая система	72,8	32,1	72,0
E00-E90	Эндокринная система и обмен веществ	68,1	23,6	66,2
K00-K93	Система пищеварения	78,2	36,0	63,7
L00-L99	Кожа и подкожная клетчатка	66,7	33,3	63,9

Ход клинических испытаний и апробация «Мастер Здоровья» на различных площадках продемонстрировали широкие перспективы его применения:

- при первичном осмотре по месту жительства или работы, в медицинских организациях: поликлиниках, здравпунктах, социальных пунктах и пр.;

- при профилактических обследованиях для выявления рисков по основным группам неинфекционных заболеваний;

- для динамического контроля эффективности терапевтических мероприятий, профилактических оздоровительных процедур, фитотерапии и диетотерапии и пр.; Результаты клинических испытаний и апробация «Мастер Здоровья» на различных площадках продемонстрировали широкие перспективы его применения:

- при первичном осмотре по месту жительства или работы, в медицинских организациях: поликлиниках, здравпунктах, социальных пунктах и пр.;

- при профилактических обследованиях для выявления рисков по основным группам неинфекционных заболеваний;

- для динамического контроля эффективности терапевтических мероприятий, профилактических оздоровительных процедур, фитотерапии и диетотерапии и пр.;

- при массовых обследованиях допризывников, детей и подростков, людей, работающих во вредных условиях труда;

- при проведении массовых спортивных мероприятий и соревнований, в тренировочном процессе в физкультурных диспансерах.

«Мастер Здоровья» может эффективно использоваться в течение всей жизни человека (с трех лет). Благодаря использованию инструментов ИИ и накоплению данных обследований точность и скорость анализа с применением «Мастер Здоровья» будут улучшаться. Это в свою очередь будет способствовать внедрению цифровых медицинских технологий и росту возможностей для оптимизации работы системы здравоохранения, направленной на снижение заболеваемости и повышение эффективности медицинского обслуживания так как:

1. Пациенты смогут получать консультации и мониторинг состояния здоровья без необходимости посещения врача;

2. Использование больших данных в медицине позволит выявлять тренды, предсказывать вспышки заболеваний и улучшать общественное здоровье;

3. Широкое применение цифровой технологии будет способствовать развитию теоретических основ электрофизиологии человека и повышению профессионального врачебного уровня;

4. Цифровые решения в оценке состояния здоровья человека ускорят внедрение в медицинскую практику концепции «Медицина-4П».

Несмотря на явные перспективы, цифровая медицина предполагает решение ряда проблем, требующих изучения, а именно, этических и правовых аспектов, связанных с ее использованием, обеспечением надежности и эффективности в реальных условиях.

Заключение

Экспресс-оценка с помощью цифрового устройства IoT «Мастер Здоровья» является неинвазивной диагностической процедурой, быстрым и безопасным методом обследования как в медицинском стационаре, так и в самом отдалённом селе. В условиях Беларуси, с учетом развития и доступности сети Интернет на ее территории, внедрение устройства с представленными выше характеристиками в практику общественного здравоохранения позволит проводить скрининг и мониторинг здоровья населения любых возрастных групп и в любом месте, а в перспективе – сформировать базу данных о состоянии здоровья населения в заданном регионе, отслеживать динамику терапии, корректировать ее, а на основе анализа разрабатывать программы профилактики.

Цифровое устройство с интернет-доступом позиционируется как надежный и оперативный помощник врача в медицинской диагностике, как доступный и недорогой инструмент для динамического наблюдения за здоровьем населения.

УДК 004.67

ОСОБЕННОСТИ РЕАЛИЗАЦИИ ПРОГРАММНОГО ОБЕСПЕЧЕНИЯ ДЛЯ КОМПЬЮТЕРИЗИРОВАННОГО КОМПЛЕКСА ОЦЕНКИ СКОРОСТИ РАСПРОСТРАНЕНИЯ ПУЛЬСОВОЙ ВОЛНЫ

А.В. ЛЕБЕДЕВСКИЙ

Белорусский государственный университет (г. Минск, Республика Беларусь)

Аннотация. Обсуждаются проблемы реализации программного обеспечения верхнего и нижнего уровней комплекса оценки скоростей распространения пульсовой волны в магистральных сосудах и сосудах микроциркуляторного русла. Предложен алгоритм регистрации исключительных ситуаций и передачи информации о них на ПО верхнего уровня без использования механизма исключений. Описан способ форматирования строк, выделенных в статической области памяти. Обсуждается вопрос определения оптимального размера буферов для хранения данных, поступающих от датчиков с различными (отличающимися на порядок) скоростями передачи данных. Определена и обоснована структура данных для оптимального взаимодействия с потоками данных в ПО верхнего уровня.

Ключевые слова: фотоплетизмограмма, обработка исключений, форматирование строк, управление памятью, данные с гетерогенной структурой.

FEATURES OF PROGRAM IMPLEMENTATION FOR COMPUTERIZED COMPLEX OF PULSE WAVE VELOCITY ESTIMATION

A. LEBEDEVSKIY

Belarusian State University (Minsk, Republic of Belarus)

Annotation. The problems of software realization of the high and low levels of the system for estimation of pulse wave propagation velocities in the main vessels and vessels of the microcirculatory channel are discussed. An algorithm for registering exceptional situations and transferring information about them to the high level without using the exception mechanism is proposed. The method of formatting the lines allocated in the static memory area is described. The question of determining the optimal size of buffers for storing data coming from sensors with different (differing by an order of magnitude) data transfer rates is discussed. The data structure for optimal interaction with data streams in high level software is defined and reasoned.

Keywords: photoplethysmogram, exception handling, string formatting, memory management, data with heterogeneous structure.

Введение

Сердечно-сосудистые заболевания лидируют по количеству смертей в мире. В 2022 году вышло Постановление Минздрава РБ о проведении диспансеризации взрослого населения старше 39 лет, главная цель которой – определение факторов риска развития заболеваний на ранней стадии. Специализированной аппаратуры для проведения оценки состояния сердечно-сосудистой системы, кроме обычно принятых (например ЭКГ), на текущий момент нет. Для эффективного проведения диспансеризации требуется недорогая диагностическая аппаратура, удобная в применении при массовом скрининге населения. Важно, чтобы она могла выпускаться белорусскими предприятиями.

На данный момент на кафедре квантовой радиофизики и оптоэлектроники факультета радиофизики и компьютерных технологий БГУ создается компьютеризированный комплекс, предназначенный для оценки временной задержки прихода пульсовой волны в различные ткани. В разрабатываемом комплексе используется набор датчиков, с которых микроконтроллером асинхронно осуществляется считывание данных с учетом с учетом

временных ограничений каждого из датчиков. Эти потоки через канал связи по USB направляются в ноутбук (на верхний уровень программного обеспечения), где обрабатываются, визуализируются и сохраняются в памяти ПК. Чтобы оперативно получать и оценивать отклик организма на функциональное тестовое воздействие, визуализацию на ПК получаемых результатов требуется осуществлять в реальном масштабе времени.

Управление работой используемых датчиков и связь с ноутбуком осуществляет микроконтроллер STM32F103C8T6 на отладочной плате Blue Pill. Для регистрации данных, поступающих с датчиков, и передачи их на верхний уровень создана прошивка (программа функционирования микроконтроллера, нижний уровень программного обеспечения (ПО) разрабатываемого комплекса) на языке программирования C. На верхнем уровне ПО для визуализации и обработки информации используется система компьютерной математики Matlab, позволяющая оперативно разрабатывать алгоритмы обработки и представления получаемых результатов, обеспечивая при этом требуемое быстродействие. В комплексе используются три интегральных модуля: два пульсоксиметрических модуля MAX30102 и модуль ЭКГ AD8232, который подключен через 12-битное 4-канальное АЦП MCP3204.

В процессе разработки ПО приходится решать ряд проблем, от учета особенностей языка программирования Matlab (где передача параметров в функцию по ссылке невозможна без написания пользовательского класса), до ограничений возможностей используемого микроконтроллера (необходимость выделять буфера для датчиков так, чтобы данные от каждого датчика хранились в течение хотя бы 0,2 секунды, поскольку при меньшем периоде заполнения буфера, верхний уровень ПО может не обеспечить своевременный прием данных).

Цель доклада – рассмотреть проблему гибкого и нетребовательного по ресурсам механизма сбора ошибок на ПО нижнего уровня, а также задачу выбора структуры данных и поиска алгоритмов для получения, обработки и визуализации данных с гетерогенной структурой в унифицированном для всех данных виде на ПО верхнего уровня.

Созданные и внедренные в ПО решения могут быть интересны разработчикам программного обеспечения синхронного сбора и обработки данных с гетерогенной структурой для программно-аппаратных комплексов на основе микроконтроллера.

Обработка ошибок

В процессе функционирования ПО нижнего уровня появляется множество ситуаций, при которых дальнейшее выполнение программы или невозможно (нет свободных буферов для временного сохранения данных перед передачей их на ПК), или оно требует дополнительных действий (например, необходимость увеличить счетчик ошибок при нарушении целостности передачи данных по шине I2C). Для сообщения о таких исключительных ситуациях на встраиваемых системах обычно используют коды ошибок. Однако в таком случае разработчику необходимо вручную вести учет всех возможных исключительных ситуаций для обеспечения уникальности кодов ошибок.

Альтернативой является использование механизма обработки исключений. Недостатками исключений являются: накладные расходы на оперативную память и непредсказуемость времени обработки исключения. Даже при использовании механизма обработки исключений, предложенного Renwick et al. [1], который оптимизирован по размеру генерируемого вспомогательного кода и ограничивает максимальное время обработки исключения, остается открытой проблема невозможности захвата исключений из разных потоков (из основного потока и из прерывания).

Наиболее оптимальным вариантом решения проблемы является внедрение сущности «накопитель ошибок», который оперирует ошибками в строковом виде. Информация об ошибке в таком случае представляется или как заданная вручную разработчиком строка или как невыполненное условие, записанное в виде строки выполняемого кода (используя оператор «#» препроцессора языка C [2, p. 16]). В конце эксперимента в случае, если за время процесса измерения произошли ошибки, накопитель ошибок высылает на верхний уровень текстовое представление всех зарегистрированных ошибок, которые произошли во время измерения. На ПО верхнего уровня эти данные могут быть использованы для выявления проблемы, которая привела к данному ряду ошибок и принятия мер по ее устранению. Так как накопитель ошибок

в программе нижнего уровня существует в единственном экземпляре, исключительные ситуации появляющиеся в прерываниях микроконтроллера могут быть зарегистрированы таким же образом, как и ошибки в основном потоке программы. Так как микропроцессор является однопоточным, для синхронизации доступа к накопителю ошибок из основного потока программы и из прерываний не требуется использование примитивов синхронизации, а достаточно отключения оптимизаций для переменной, хранящей количество текущих зарегистрированных ошибок (т.е. объявления переменной с модификатором `volatile`).

Гибкое задание источников данных для измерений

Для управления потоками входных данных (каждый из которых представляет собой одну измеряемую величину в виде «сырых» (необработанных) данных) в унифицированном виде важно определить алгоритм взаимодействия программы верхнего уровня с потоками данных и структуру данных, обеспечивающую возможность хранения информации о потоках данных с разнородной структурой и однозначное определение их типов. Для этого каждому потоку данных присвоен уникальный однобайтовый идентификационный номер (`id`), одинаковый как на верхнем, так и на нижнем уровнях; и на верхнем уровне работа с источниками данных проводится исключительно через структуру данных «кортеж» – отображение, где ключом является `id` измерения, а значением – хранимая информация. Таким образом, считываемые данные, поступающие от каждого источника данных, можно сохранять в кортеже выходных данных по переданному вместе с данными значению `id`. А конфигурировать набор используемых в текущем эксперименте устройств оптимально путем записи параметров источника данных по соответствующему для данного измерения значению `id` в отдельный кортеж параметров.

Заключение

Разработан компьютеризированный комплекс оценки скоростей распространения пульсовой волны в магистральных сосудах и сосудах микроциркуляторного русла, включающий три датчика: два пульсоксиметрических модуля МАХ30102 и модуль ЭКГ AD8232. Рассмотрен ряд проблем, которые возникают перед разработчиком программного обеспечения обработки и анализа данных, поступающих от набора датчиков. Основные из них:

- наличие гибкого и нетребовательного по ресурсам механизма сбора ошибок;
- оптимизация архитектуры ПО, чтобы накопление, обработка и визуализация потоков данных с гетерогенной структурой осуществлялось в унифицированном для всех данных виде.

Предлагаемые в докладе решения описанных проблем могут быть полезны разработчикам ПО как нижнего уровня, выполняющего задачи получения данных, их первичной обработки и передачи на ПК, так и ПО верхнего уровня, выполняющего задачи приема, обработки и визуализации потоков данных в единообразном виде.

Список литературы

1. Low-Cost Deterministic C++ Exceptions for Embedded Systems / J. Renwick, T. Spink, B. Franke // Proceedings of the 28th International Conference on Compiler Construction (CC '19), February 16–17, 2019, Washington, DC, USA. ACM, New York, NY, USA, 11 pages.
2. The C Preprocessor [Electronic Resource] / R.M. Stallman, Z. Weinberg // Free Software Foundation. Mode of access: <https://gcc.gnu.org/onlinedocs/cpp.pdf>. Date of access: 16.10.2024, 88 p.

УДК 617.52:616.74/.75]-009.7-085.814.1-085.849.19

ЛАЗЕРОПУНКТУРА В ЛЕЧЕНИИ ПАЦИЕНТОВ С МИОФАСЦИАЛЬНЫМИ БОЛЕВЫМИ СИНДРОМАМИ ЛИЦА

Л.В. ПОДСАДЧИК, А.П. СИВАКОВ, Л.А. МАЛЬКЕВИЧ,
С.М. МАНКЕВИЧ, Т.И. ГРЕКОВА

*УО «Белорусский государственный медицинский университет»,
проспект Дзержинского 83, корп.1, Минск, Республика Беларусь;*

Аннотация: Метод лазеропунктуры предложен для лечения пациентов с миофасциальным болевым синдромом лица. Использование лазеропунктуры способствует улучшению течения заболевания и уменьшает болевой синдром.

Ключевые слова: лазеропунктура, миофасциальная болевая дисфункция, лечение.

THE LASEROPUNCTURE METHOD IN TREATING PATIENTS WITH MYOFASCIAL PAIN DYSFUNCTION

L.V. PODSADCHIK, A.P. SIVAKOV, L.A. MALKEVICH,
S.M.MANKEVICH, T.I. GREKOVA

Abstract : Method of laseropuncture therapy were proposed to treat patients with myofascial pain disfunction. The use of laserotherapy contributes to improving the course of the disease, decreasing the pain syndrome.

Keywords: laseropuncture, myofascial pain disfunction, treatment.

Введение

Лицевые боли (прозопалгии) в структуре всех болевых синдромов занимают обособленное место ввиду их специфичности. Результаты эпидемиологических исследований свидетельствуют о том, что наряду с болевыми синдромами различной локализации и головными болями лицевые боли являются одной из причин утраты трудоспособности. Одна из часто встречающихся форм миогенная прозопалгия формирующаяся при миофасциальных синдромах области шеи и плечевого пояса.

Миофасциальная болевая дисфункция – нарушение функции той или иной мышцы, возникающее в связи с ее перегрузкой. Миофасциальные болевые синдромы (МФБС) лицевой мускулатуры развиваются по тем же механизмам, что и в скелетных мышцах и обуславливают 10-20% болевых синдромов на лице. На начальном этапе в мышце возникает напряжение, переходящее в стабильный локальный гипертонус. При длительном фиксированном локальном гипертонусе возникают вторичные расстройства – сосудистые, обменные, воспалительные. Локальные гипертонусы становятся источником локальных и отраженных болей и превращаются в триггерные точки (ТТ).

Отраженные боли от мышц шеи и верхнего плечевого пояса могут быть причиной боли в височной области, что связано с нарушением двигательной активности трапецевидной и грудино-ключично-сосцевидной мышц. Боль в лобной области часто обусловлена нарушением двигательной активности грудино-ключично-сосцевидной, полуостистой мышцы головы. Боль в области уха и височно-челюстного сустава – нарушением двигательной активности в латеральной и медиальной крыловидной, жевательной, грудино-ключично-сосцевидной мышцах.

Комплекс лечебных и реабилитационных мероприятий должен быть направлен на купирование болевого синдрома, профилактику стабилизации патологического процесса, **влияние на пусковой механизм МФБС** и в конечном итоге, улучшение качества жизни пациентов.

Среди лечебных и реабилитационных средств используется медикаментозная терапия, включающая применение нестероидных противовоспалительных препаратов, миорелаксантов центрального действия, антидепрессантов и противоэпилептических средств, также активно используется рефлексотерапия и физиотерапевтические методы лечения. Метод рефлексотерапии с использованием воздействия физическими факторами на АТ – лазеромагнитопунктура - оказывает анальгетическое, трофическое действие и нормализует тонус пораженных мышечных структур.

Целью исследования явилась оценка эффективности методов физиопунктуры (лазеромагнитопунктуры) в комплексном лечении пациентов с миофасциальными болевыми синдромами лица.

Материалы и методы

Под наблюдением находились 38 пациентов с МФБС лица, амбулаторных и находящихся на стационарном лечении в отделениях неврологии У г. Минска в 2022-2024гг.

Все пациенты предъявляли жалобы на боли в разных областях лица – лобной, височной, орбитальной и параорбитальной зонах, одновременно отмечались болевые ощущения в заушной, затылочной и теменной областях. При пальпаторном исследовании отмечались тоническое напряжение и ТТ в области **грудино-ключично-сосцевидной, трапециевидной, поверхностной мышцы шеи.**

Исследуемые группы оказались однородными по половому и возрастному признаку, клиническому течению заболевания. Средний возраст – $42,5 \pm 0,1$ лет. Давность заболевания в исследуемых группах составила от 3 месяцев до 1 года. Все пациенты получали традиционное медикаментозное лечение. Пациентам основной группы на фоне медикаментозного лечения проводилась лазеромагнитопунктура. Пациенты контрольной группы получали только медикаментозную терапию.

Лазеропунктура проводилась с помощью аппарата «Женьшень М». Воздействие на АТ и ТТ осуществлялось лазерным лучом мощностью 25мВт с длиной волны 0,650мкм, магнитной индукцией 10-30 мТл. Экспозиция на АТ до 2 мин. После воздействия на точки проводилось надвенное лазерное облучение на кубитальную область с экспозицией 20 мин. Использовались акупунктурные и триггерные точки (а-ши) в области пораженных мышц и зоне отражения боли. С целью уменьшения вегетативных симптомов включались АТ с анальгетическим и вегетативным регулирующим действием. Воздействие проводилось на АТ канала мочевого пузыря (V) – V3, 4, 5, 7, 9, 10, канала желчного пузыря (VB) – VB 1,2,3,4,5,6,7,12,20, канала трех обогревателей (TR) – TR5, 15, 23, толстого кишечника (GI) – GI4, 10,11, заднесрединного меридиана (VG) – VG24, VG22, VG19, VG20, канала желудка (E) – E 8, 36, 42, 45, селезенки-поджелудочной железы (RP) – RP6. На одну процедуру ЛП использовалось 10-12 АТ, комбинировались локальные и точки широкого спектра действия, курс лечения 10 процедур, ежедневно.

До и после лечения оценивались клинические проявления заболевания, а также определялись сроки купирования болевого синдрома по визуальной аналоговой шкале (ВАШ), эффективность лечения пациентов с МФБС лица. После проведенного лечения пациентам предлагалось оценить эффективность лечения по пятибалльной шкале: отличный – 5 баллов, хороший – 4 балла, удовлетворительный – 3 балла, без изменений – 2 балла, ухудшение – 1 балл. В последующем для сравнительного анализа рассчитывался средний балл.

Результаты и обсуждение

В результате проведенного лечения отмечалось заметное уменьшение болевого синдрома (уменьшение интенсивности боли по визуальной аналоговой шкале на 50% и более от исходного уровня) в группе с применением лазеропунктуры от 80 баллов до 20 к 7-8 процедуре. В контрольной группе болевой синдром уменьшался в меньшем объеме и составил 52,5 балла.

У 10 пациентов болевой синдром полностью купировался, у 23 произошло значительное улучшение, у 5 отмечено улучшение состояния. Критериями оценки эффективности комплексного лечения пациентов явились: ослабление болевого синдрома, уменьшение вегетативных симптомов. Следует отметить, что в процессе лечения в группе пациентов, которым назначались методы лазеропунктуры не отмечалось категории «ухудшение». При проведении методов лазеропунктуры не наблюдалось неблагоприятных побочных явлений и осложнений ни во время проведения процедуры, ни после их завершения. После окончания курса ЛП все пациенты отмечали улучшение сна и состояние «психологического комфорта».

Заключение

Таким образом, включение в комплексную терапию с МФБС лица метода лазеропунктуры повышает эффективность лечения, что подтверждается достоверным уменьшением болевого синдрома, вегетативных проявлений заболевания, улучшением качества жизни пациентов.

Список литературы

1. Актуальные вопросы лазерной терапии. Сборник статей / Под. ред. С.В. Москвина. – М –Тверь:ООО “Издательство “Триада”, 2019. – 176с.
2. Гаваа Лувсан. Традиционные и современные аспекты восточной рефлексотерапии.–М.:–Наука.–1986.–576с.

УДК 616.71-007.17:615.825

ФИЗИЧЕСКИЕ ФАКТОРЫ В ПРОФИЛАКТИКЕ И ЛЕЧЕНИИ БОЛЕЗНИ ШЛЯТТЕРА

А.С. ВАНДА, О.О. ЧЕШИК, Л.А. МАЛЬКЕВИЧ, Е.В. РЫСЕВЕЦ

Белорусский государственный медицинский университет, г. Минск, Республика Беларусь

Аннотация. Своевременное обращение за медицинской помощью и начало восстановительного лечения снижает риск асептического некроза. Применение магнитотерапии и электролечения купирует болевой синдром, снижает воспаление и восстанавливает трофику тканей.

Ключевые слова: остеохондропатия, высокоинтенсивная магнитотерапия, физиотерапевтические средства восстановительного лечения.

PHYSICAL FACTORS IN PREVENTION AND TREATMENT SCHLATTER'S DISEASES

ALENA S. VANDA, OLGA O. CHESHIK, LYUDMILA A. MALKEVICH, ELENA V. RYSEVETS

Belarusian State Medical University, Minsk, Republic of Belarus

Annotation. Timely seeking medical help and starting rehabilitation treatment reduces the risk of avascular necrosis. The use of magnetic therapy and electrotherapy relieves pain, reduces inflammation and restores tissue trophism.

Key words: osteochondropathy, high-intensity magnetic therapy, physiotherapeutic means of rehabilitation treatment.

Введение

Остеохондропатия бугристости большеберцовой кости и хрящевой ткани сочленения, или болезнь Шляттера, чаще диагностируется одностороннее поражение в подростковом возрасте. Название «травматический периостит», встречавшееся ранее в полной мере указывает на этиологию и патогенез, так как преимущественно поражает физически активных подростков и чаще мальчиков. Заболевание специфично для занимающихся баскетболом, футболом, хоккеем, фигурным катанием, так как для данных видов спорта характерным является значительная нагрузка на коленные суставы, вызванная быстрой сменой направления движения. Значительные по степени напряжения сокращения четырехглавой мышцы бедра с одной стороны и частые удары при падении на коленный сустав приводят к воспалению и нарушению трофики в месте прикрепления сухожилия четырехглавой мышцы бедра. Заболевание не позволяет продолжать спортивные тренировки и требует соответствующего восстановительного лечения, протокол которого содержит средства лекарственной и физиотерапии, ортопедический режим (ограничение физических осевых нагрузок). Не менее важно своевременное начало лечения, начатое в острой фазе, способно купировать воспаление надкостницы не допуская развития асептического некроза.

Цель исследования: определить эффективное сочетание физических факторов восстановительного лечения.

Материалы и методы

Истории болезней 24 подростков: 19 мальчиков и 5 девочек в возрасте от 12 до 15 лет. Из них 13 (11 мальчиков, 1 девочка) занимались спортом и проходили ежегодные медицинские осмотры в Республиканском научно-практическом центре спорт (РНПЦ спорта) и по факту травмы – ушиб коленного сустава, без нарушения его целостности; 11 подростков (все мальчики), проходивших лечение в травматолого-ортопедическом отделении 17 городской

детской клинической поликлиники межрайонного детского консультативно-диагностического амбулаторного ортопедического центра (ДКДОЦ) по поводу болезни Шляттера.

Из анализа историй болезни пациентов РНПЦ спорта известно, что все обратились к травматологу-ортопеду после падения на коленный сустав во время спортивной тренировки с жалобами на боль, отечность, разлитую синюшность кожных покровов и болезненные ощущения при наступании на ногу, прихрамывание. Диагноз: неосложненный, изолированный ушиб коленного сустава. Назначено лечение: высокоинтенсивная магнитотерапия, фонофорез с гидрокортизоном, электрофорез с новокаином, ударноволновая терапия.

Пациенты ДКДОЦ, находились под наблюдением ортопеда и проходили лечение по поводу остеохондропатии бугристости большеберцовой кости. При первичном обращении жалобы: появление резкой боли при пальпации места прикрепления сухожилия квадрицепса бедра, во время движения, особенно при подъеме по лестнице и приседаний; дискомфорт при опоре на колено; снижение мышечной силы, атрофия четырехглавой мышцы бедра. Рентгенологический диагноз: импрессионный перелом вторичного характера, что соответствует 2 стадии после асептического некроза – 5 пациентов; разрушение и резорбция отломков костной ткани (3 стадия) – 6 человек. Получаемое лечение: полное исключение физической активности, физиотерапия (электро- и фонофорез), магнитотерапия; ношение эластичного биндажа или наколенника при ходьбе, краткий курс нестероидных противовоспалительных препаратов. Степень выраженности симптомов при волнообразном течении заболевания может варьироваться в зависимости от фазы патологического процесса.

Результаты и их обсуждение

Обнаружено в сроки $5 \pm 2,8$ дней купирование болей, у пациентов получавших лечение по поводу ушиба коленного сустава. С этой целью применялось: магнитотерапия, фонофорез с гидрокортизоном, электрофорез с новокаином. 4 пациентам в возрасте старше 14 лет – ударноволновая терапия (1 раз в неделю) до наступления терапевтического эффекта. Все пациенты отмечали отсутствие жалоб и выздоровление на $9 \pm 1,7$ день. Ограничений по допуску к спортивной тренировке не применялось.

У пациентов ДКДОЦ, длительность лечения по поводу болезни Шляттера составила в среднем 8-12 месяцев. Физиотерапевтическое лечение, включавшее магнитотерапию, фоно- и электрофорез, парафино-озокеритовые аппликации, выполнялось курсами. Решение о длительности и частоте принималось врачом-ортопедом индивидуально для каждого пациента и зависело от стадии заболевания. Рекомендации об исключении, а позднее – ограничении двигательной нагрузки на коленный сустав вплоть до 18 лет (наступление окончания остеогенеза) относились ко всем пациентам и, особенно для пациентов, у которых имелись деформации позвоночника, грудной клетки и стоп.

Следует учитывать, что этиологической причиной данного заболевания является травмирование «зоны роста» трубчатых костей, и ему подвержены подростки, испытывающие повышенные физические нагрузки (спортсмены), что составляет высокий риск. В тоже время, данный контингент находясь под медицинским контролем, в случае травмирования получал своевременное лечение. Подростки с верифицированной болезнью Шляттера обращались за медицинской помощью не в острой фазе (после получения травмы), а позже, когда патологический процесс находился в фазе, когда ткани были некротизированы. В этом случае пациенты нуждались в длительном курсе восстановительного лечения с большим количеством применяемых средств.

Заключение

Из анализа данных историй болезни следует:

- своевременное обращение за медицинской помощью предупреждает тяжелое развитие патологического процесса;
- использование физиотерапевтических средств в лечении ушиба коленного сустава, восстанавливает трофику тканей при хронической их травматизации, что снижает риск развития асептического некроза;
- сочетание физиотерапевтических средств и их комплексное применение при остеохондропатии бугристости большеберцовой кости и хрящевой ткани сочленения повышает эффективность восстановления и сокращает сроки лечения.

УДК 004.932:612.17

АВТОМАТИЗАЦИЯ ОБРАБОТКИ МЕДИЦИНСКИХ ДАННЫХ С ИСПОЛЬЗОВАНИЕМ КОМПЬЮТЕРНОГО ЗРЕНИЯ: ПОДХОДЫ И ПЕРСПЕКТИВЫ ВНЕДРЕНИЯ В КАРДИОЛОГИИ

Е.А. КУРЛЮК, Н.А. ЛАРЧЕНКО, М.В. ДАВЫДОВ, Е.К. КУРЛЯНСКАЯ

*Белорусский государственный университет информатики и радиоэлектроники
(Минск, Беларусь)*

Аннотация. Статья посвящена автоматизации обработки медицинских данных с использованием технологий искусственного интеллекта (ИИ) и компьютерного зрения, особенно в кардиологии. Рассматриваются методы машинного обучения, включая глубокое обучение и OCR (оптическое распознавание символов), для анализа эхокардиограмм и других медицинских изображений. Проект направлен на автоматизацию ввода и обработки данных (биохимических анализов и данных суточного мониторинга артериального давления), что сокращает вероятность ошибок и ускоряет рабочие процессы. Внедрение технологии суперразрешения изображений (RealESRGAN) и модулей для сегментации текста способствует повышению точности распознавания данных. Проект демонстрирует потенциал для интеграции в системы персонализированного лечения и диагностики гипертонических заболеваний.

Ключевые слова: автоматизация, искусственный интеллект, компьютерное зрение, OCR, кардиология, суперразрешение, диагностика, эхокардиограмма, машинное обучение, персонализированное лечение.

APPLICATION OF ARTIFICIAL INTELLIGENCE IN CARDIOLOGY AND PROSPECTS FOR ITS IMPLEMENTATION

N.A. LARCHENKO, E.A. KURLYUK, M.V. DAVYDOV, E.K. KURLYANSKAYA

*Belarusian State University of Informatics and Radioelectronics
(Minsk, Republic of Belarus)*

Abstract. The article is devoted to the automation of medical data processing using artificial intelligence (AI) and computer vision technologies, especially in cardiology. Machine learning methods, including deep learning and OCR (optical character recognition), for analyzing echocardiograms and other medical images are considered. The project aims to automate data input and processing (biochemical analyses and daily blood pressure monitoring data), which reduces the likelihood of errors and speeds up workflows. The introduction of super-resolution image technology (RealESRGAN) and text segmentation modules contributes to improving the accuracy of data recognition. The project demonstrates the potential for integration into systems for personalized treatment and diagnosis of hypertensive diseases.

Keywords: Automation, artificial intelligence, computer vision, OCR, cardiology, super-resolution, diagnosis, echocardiogram, machine learning, personalized treatment.

Введение

Современная медицина активно использует технологии искусственного интеллекта (ИИ) для автоматизации процессов обработки данных, включая кардиологию. Развитие методов машинного обучения и компьютерного зрения открывает новые возможности в анализе медицинских изображений, что позволяет сократить время обработки данных и снизить вероятность ошибок, связанных с человеческим фактором.

Примером успешного применения ИИ является использование глубокого обучения для интерпретации эхокардиограмм, что обеспечивает высокую точность диагностики заболеваний сердца [1]. Компьютерное зрение также может интегрироваться с большими объемами данных,

что позволяет создавать персонализированные планы лечения для пациентов с кардиологическими заболеваниями [2].

Предлагаемый проект направлен на автоматизацию процесса ввода и обработки данных, таких как результаты биохимических анализов и суточное мониторирование артериального давления (СМАД). Он будет интегрирован в более широкую систему «Персонализированные планы лечения гипертонических заболеваний на базе искусственного интеллекта». Данная система призвана оптимизировать работу врачей, минимизируя рутинные задачи, такие как ручной ввод данных и их проверка. Применение технологий OCR для распознавания текстовой информации с изображений отчетов, а также использование методов компьютерного зрения, позволит автоматизировать ввод данных, улучшить систематизацию и сократить время обработки. Это, в свою очередь, повысит эффективность создания персонализированных планов лечения.

Использование глубокого обучения в подобных системах способствует ускорению анализа диагностических изображений, таких как эхокардиограммы, обеспечивая точное распознавание структур сердца и количественную оценку, включая вычисление массы левого желудочка и фракции выброса [3]. Таким образом, проект позволяет значительно улучшить рабочие процессы в кардиологии и облегчает врачам принятие обоснованных решений на основе точных данных.

Проблематика ручной обработки данных в кардиологии

Анализ медицинских данных в кардиологии требует высокой точности и скорости. Ручной ввод данных из отчетов и анализов может приводить к ошибкам и задержкам в диагностике, что снижает эффективность лечения. Это особенно критично для анализа данных суточного мониторирования артериального давления (СМАД), где временные ряды измерений обширны и трудоемки для интерпретации. Введение автоматизированных систем на основе технологий OCR и компьютерного зрения позволяет минимизировать эти проблемы, ускоряя рабочие процессы и снижая риски ошибок.

Цифровизация медицинских данных, особенно в рамках «Персонализированных планов лечения гипертонических заболеваний на базе искусственного интеллекта», играет ключевую роль в повышении точности и доступности информации. Электронные записи значительно упрощают доступ к данным, позволяют хранить большие объемы информации и применять её для персонализированного подхода к лечению пациентов с гипертонией [4]. Автоматизация ввода данных и их дальнейший анализ с использованием ИИ позволяют снизить риск ошибок и ускорить процессы диагностики и принятия решений [5, 6].

Таким образом, автоматизация обработки данных с применением технологий искусственного интеллекта в рамках персонализированных планов лечения способствует повышению эффективности и точности диагностики и терапии гипертонических заболеваний.

Алгоритмы и методы

Взаимодействие основных компонентов системы автоматизированной обработки медицинских данных осуществляется следующим образом: изначально медицинское изображение (скан анализа) подвергается обработке с использованием модуля повышения разрешения изображений (RealESRGAN), который улучшает разрешение изображения и повышает читаемость текста. После этого применяется модуль сегментации строк, который выделяет текстовые строки непосредственно на изображении для дальнейшей обработки. Далее модуль оптического распознавания символов (OCR) выполняет извлечение текстовой информации из каждой строки. Заключительным этапом является работа текстового парсера, который анализирует распознанные данные, сопоставляет их с референтными значениями и выделяет ключевые параметры, значимые для диагностики гипертонических заболеваний. Далее рассмотрен каждый из модулей более подробно.

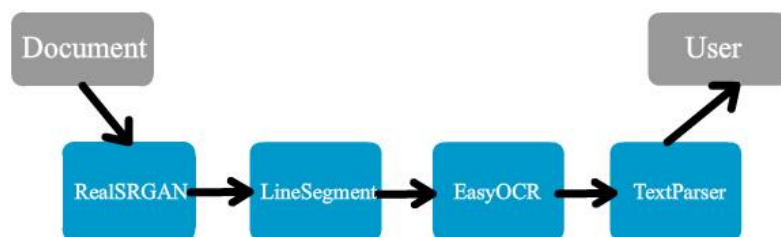


Рис. 1. Структурная схема взаимодействия основных модулей системы
Fig. 1. Structural diagram of interaction of the main modules of the system

OCR (EasyOCR) – библиотека, использующая комбинацию сверточных нейронных сетей (CNN) и рекуррентных нейронных сетей (RNN) для оптического распознавания текста на медицинских изображениях, таких как биохимические анализы или результаты СМАД. В EasyOCR для выделения текстовых регионов на изображениях применяются CNN, после чего RNN анализирует последовательности символов. Исследования показывают, что EasyOCR демонстрирует хорошие результаты при работе с изображениями низкого качества или с нечеткими фонами. В одном из исследований было выявлено, что при различных уровнях деградации изображений (размытость, изменение контраста и размера символов) точность EasyOCR варьировалась от 3% до 80%. Например, при значительной разнице в интенсивности между текстом и фоном возникали ошибки в распознавании символов, таких как 'o' и '0', или 'l' и '1'. Размытость изображения снижала точность распознавания, однако для некоторых букв, таких как 'v', результаты улучшались. Уменьшение размера символов до 30-40% от исходного значительно снижало точность распознавания [7].

Таким образом, для повышения точности распознавания при наличии артефактов на изображениях, вызванных размытостью или низким разрешением, необходимо использование методов суперразрешения для предварительной обработки изображений.

RealESRGAN – генеративная состязательная сеть (GAN), применяемая для повышения разрешения изображений, которая используется для улучшения качества медицинских сканов перед их распознаванием с помощью OCR. Генератор RealESRGAN, основанный на Residual-in-Residual Dense Blocks (RRDB), эффективно восстанавливает текстуры изображения, минимизируя потери качества и артефакты, что особенно важно при работе с изображениями низкого качества. Согласно исследованию, хотя RealESRGAN показал худшие количественные результаты по метрикам PSNR и SSIM, визуальные сравнения показали, что RealESRGAN создает изображения с более четкими краями и улучшенной контрастностью, что делает его идеальным выбором для улучшения сканов медицинских изображений с последующей обработкой OCR [8].

В другом исследовании было показано, что методы суперразрешения, основанные на GAN, позволили улучшить точность OCR на 21% при работе с изображениями низкого разрешения, что делает такие подходы важными для повышения эффективности OCR в условиях низкокачественных данных [9].

Line Segmenter – модуль, предназначенный для сегментации текста на изображениях на отдельные строки. Этот этап необходим для более точного распознавания текста OCR, особенно в документах, содержащих таблицы или текст, структурированный в несколько строк. Модуль использует проекционные методы для определения границ строк на изображении, что значительно упрощает дальнейшую обработку текстовых данных. Сегментация строк позволяет извлекать текст более корректно, минимизируя ошибки, связанные с неправильной структурой текста.

Text Parser (APBMTextParser и BiochemistryTextParser) – это модули, которые анализируют извлеченные данные, сопоставляя их с референтными значениями. Парсеры применяются для поиска ключевых параметров, таких как биохимические показатели (например, уровень глюкозы, холестерина) или данные артериального давления. Эти параметры сопоставляются с референтными значениями, выделяются те, которые характерны

для гипертонических заболеваний. Это позволяет врачам быстрее интерпретировать результаты анализов и облегчает процесс диагностики, снижая нагрузку на медицинский персонал.

Графический интерфейс системы реализован с использованием библиотеки PyQt5 и предлагает интуитивно понятный интерфейс для взаимодействия с системой. Пользователю достаточно загрузить изображение с результатами анализов, выбрать необходимые опции (например, использовать суперразрешение или сегментацию строк), и система автоматически выполнит распознавание и анализ данных. Интерфейс предоставляет врачу возможность быстро и просто получить информацию, минимизируя количество рутинных действий.

Результаты и их обсуждение

Способность программного обеспечения анализировать и сравнивать извлеченные данные биохимии и СМАД с predetermined референтными значениями позволяет получить детальный обзор параметров здоровья пациента. Ниже обсуждаются результаты анализа каждого изображения (биохимия и СМАД).

Без применения технологий суперразрешения и сегментации строк данные обоих типов анализа демонстрировали значительные потери точности при распознавании, особенно в условиях низкого качества исходных изображений и сканов. Использование суперразрешения для биохимических данных значительно повысило точность распознавания и минимизировало ошибки, вызванные низким качеством изображений. Для данных СМАД использование одной только технологии суперразрешения оказалось недостаточным, применение модуля сегментации строк после суперразрешения значительно повысило точность обработки данных СМАД.

Загруженные результаты биохимического анализа обрабатываются с помощью OCR и анализируются с использованием референтных значений, предоставленных в специальном CSV-файле. Для каждого параметра программа проверяет, попадает ли значение в типичный диапазон. Подробная оценка параметров включает:

- соответствующие референтным значениям параметры: параметры, такие как АЛТ, глюкоза и общий холестерин, были успешно распознаны, а значения окрашены в соответствии с их сравнением с референтными значениями;
- параметры вне диапазона референтных значений: в некоторых случаях параметры, такие как мочевина, оказались за пределами референтных значений и были выделены красным цветом, чтобы привлечь внимание медицинского работника;
- неизвестные параметры: в некоторых случаях параметры могут не совпадать из-за различий в написании или лабораторных обозначениях или часть параметров не были среди предоставленных в CSV-файле (параметр Н).

На рисунках 2.а представлены часть документа биохимического анализа, который был подан на вход программы. На вход документ подается полностью в виде скана или фотографии документа. На рисунке 2.б результаты его обработки.

Показатель	Результат
АСТ	19
АЛТ	19
ЛДГ общий	199
Мочевина	6,8
Креатинин	64,2
Билирубин общий	10
Глюкоза	5,56
Общий белок	70
Натрий	138
Калий	4,3
Хлор	106
Холестерин общий	5,15
Триглицериды	0,97
ЛПВП-холестерин	1,16
ЛПНП-холестерин	3,95
Козфф-т атерогенности	3,4
Н	0,07

а

Результаты анализа:
аст: 19 Е/л - **в пределах нормы**
алт: 19 Е/л - **в пределах нормы**
лдг общий: 199 Е/л - **в пределах нормы**
мочевина: 6,8 ммоль/л - **выше нормы**
креатинин: 64,2 мкмоль/л - **в пределах нормы**
билирубин общий: 10 мкмоль/л - **в пределах нормы**
глюкоза: 5,56 ммоль/л - **в пределах нормы**
общий белок: 70 г/л - **в пределах нормы**
натрий: 138 ммоль/л - **в пределах нормы**
калий: 4,3 ммоль/л - **в пределах нормы**
хлор: 106 ммоль/л - **в пределах нормы**
холестерин общий: 5,15 ммоль/л - **в пределах нормы**
триглицериды: 0,97 ммоль/л - **в пределах нормы**
лпвп-холестерин: 1,16 ммоль/л - **в пределах нормы**
лпнп-холестерин: 3,95 ммоль/л - **в пределах нормы**
коэфф-т атерогенности: 3,4 - **выше нормы**
н: 0,07 Неизвестно - **неизвестный параметр**

б

Рис. 2. Пример работы: а – Данные биохимического анализа на изображении; б – Результат обработки
Fig. 2. Work example: a – Biochemical analysis data in the image; b – Processing result

Результаты СМАД включают несколько параметров, собранных за время измерений, такие как систолическое/диастолическое давление, среднее артериальное давление и частота сердечных сокращений. Эти данные были также обработаны с помощью OCR и окрашены в зависимости от референтных диапазонов.

Результаты СМАД, представленные на рисунке 3, включают несколько параметров: систолическое и диастолическое давление, среднее артериальное давление (МАР), частота сердечных сокращений (ВРМ), а также пульсовое давление (РР). Каждый из этих параметров был обработан с использованием OCR и систематизирован для дальнейшего анализа. Данные также были автоматически проверены на соответствие референтным значениям (зелёным цветом – нормальные значения, голубым – ниже нормы, красным – выше нормы), что позволило выделить отклонения, характерные для гипертонии. В дополнение к этим показателям, на основе данных СМАД возможно построение графиков изменения артериального давления и частоты сердечных сокращений в течение суток, что помогает врачам визуализировать динамику давления пациента.

Num	Time	Sys/Dia (mmHg)	HR (BPM)	MAP (mmHg)	PP (mmHg)
1+	11:11	149/102	91	112	47
2	11:20	158/102	89	115	56
3	11:30	151/101	87	112	50
4	11:47	138/ 96	87	107	42
5	11:57	141/ 93	84	104	48
6	12:14	161/112	80	123	49
7	12:29	164/102	93	114	62
9	13:05	136/ 92	89	103	44
10	13:22	132/ 94	94	102	38
11	13:32	142/ 98	89	109	44

Time	Sys/Dia	HR	MAP	PP
1 11:11	149/102	91	112	47
2 11:20	158/102	89	115	56
3 11:30	151/101	87	112	50
4 11:47	141/93	87	107	42
5 12:14	161/112	80	123	49
6 12:29	164/102	93	114	62
7 13:05	136/92	89	103	44
8 13:22	132/94	94	102	38
9 13:32	142/98	89	109	44
10 13:48	153/95	86	107	58
11 14:05	138/98	88	99	50

Рис. 3. Пример работы: *a* – Данные СМАД на изображении; *b* – Результат обработки
Fig. 3. Work example: *a* – CMAD data on the image; *b* – Processing result

Заключение

Результаты согласовывались с ручной проверкой, что демонстрирует потенциал программного обеспечения как эффективного инструмента для быстрого предварительного анализа данных биохимии и СМАД.

Данная система представляет собой важный шаг в сторону автоматизации медицинской диагностики и анализа данных. Использование технологий машинного обучения, таких как OCR и улучшение качества изображений, позволяет системе эффективно работать с различными видами медицинских отчетов и анализов, минимизируя необходимость ручного ввода данных. Благодаря модульной структуре, система легко расширяется и адаптируется к различным видам анализов, что делает её универсальным инструментом для медицинских учреждений. Данная система может быть успешно интегрирована в «Персонализированные планы лечения гипертонических заболеваний на базе искусственного интеллекта», где автоматизация обработки данных поможет персонализировать лечение, повышая его точность и эффективность.

Список литературы

1. Мадани, А., Онг, Дж. Р., Тибревал, А., Мофрад, М. Глубокая эхокардиография: эффективное использование данных для контролируемого и полу-контролируемого глубокого обучения с целью автоматизированной диагностики сердечных заболеваний // NPJ Digital Medicine. – 2018. – Т. 1. – Режим доступа: <https://www.nature.com/articles/s41746-018-0065-x>
2. Сломка, П., Дей, Д., Ситек, А., Мотвани, М., Берман, Д., Джермано, Г. Кардиологическая визуализация: движение к полностью автоматизированному машинному анализу и интерпретации // Expert Review of Medical Devices. – 2017. – Т. 14. – С. 197–212. – Режим доступа: <https://www.tandfonline.com/doi/full/10.1080/17434440.2017.1300057>

3. Чжан, Дж., Гаджала, С., Агравал, П., Тайсон, Г., Халлок, Л. А., Бёссинк-Нельсон, Л., Лассен, М., Фан, Е., Арас, М., Джордан, С., Флейшман, К., Мелиско, М., Касим, А., Шах, С. Дж., Баджси, Р., Део, Р. Полностью автоматизированная интерпретация эхокардиограмм в клинической практике // *Circulation*. – 2018. – Т. 138. – С. 1623–1635. – Режим доступа: <https://www.ahajournals.org/doi/10.1161/CIRCULATIONAHA.118.034338>
4. Миллер, А. Р., Такер, К. Границы политики здравоохранения: цифровые данные и персонализированная медицина // *Innovation Policy and the Economy*. – 2017. – Т. 17. – С. 49-75. – Режим доступа: <https://www.journals.uchicago.edu/doi/10.1086/688844>
5. ван Терхейден, Н. Информатика и массовый анализ данных в цифровом здравоохранении // *Информатика и массовый анализ данных в цифровом здравоохранении*. – 2018. – С. 55-64. – Режим доступа: https://link.springer.com/chapter/10.1007/978-3-319-61446-5_5
6. Абеджан, З., и др. Наука о данных в здравоохранении: преимущества, проблемы и возможности // *Data Science in Healthcare*. – 2019. – С. 3-38. – Режим доступа: https://link.springer.com/chapter/10.1007/978-3-030-05249-2_1
7. Салехудин, М. А. М., Басах, С., Язид, Х., Басаруддин, К., Сафар, М. Дж. А., Сом, М. Х. М., & Сидек, К. А. (2023). Анализ оптического распознавания символов с использованием EasyOCR при деградации изображения. *Journal of Physics: Conference Series*. Режим доступа: <https://iopscience.iop.org/article/10.1088/1742-6596/2641/1/012001>
8. Ямашита, М., & Марков, А. (2020). Улучшение медицинских изображений с использованием методов сверхвысокого разрешения. *Journal of Medical Imaging and Health Informatics*. Режим доступа: https://link.springer.com/chapter/10.1007/978-3-030-50426-7_37
9. Лат, А., & Джавахар, Ч. В. (2018). Повышение точности OCR с помощью методов сверхразрешения. 24-я Международная конференция по распознаванию образов (ICPR), 2018. Режим доступа: <https://ieeexplore.ieee.org/document/8545609>

Reference

1. Madani, A., Ong, J. R., Tibrewal, A., Mofrad, M. Deep echocardiography: data-efficient supervised and semi-supervised deep learning towards automated diagnosis of cardiac disease // *NPJ Digital Medicine*. – 2018. – Т. 1. – Режим доступа: <https://www.nature.com/articles/s41746-018-0065-x>
2. Slomka, P., Dey, D., Sitek, A., Motwani, M., Berman, D., Germano, G. Cardiac imaging: working towards fully-automated machine analysis & interpretation // *Expert Review of Medical Devices*. – 2017. – Т. 14. – С. 197–212. – Режим доступа: <https://www.tandfonline.com/doi/full/10.1080/17434440.2017.1300057>
3. Zhang, J., Gajjala, S., Agrawal, P., Tison, G., Hallock, L. A., Beussink-Nelson, L., Lassen, M., Fan, E., Aras, M., Jordan, C., Fleischmann, K., Melisko, M., Qasim, A., Shah, S. J., Bajcsy, R., Deo, R. Fully Automated Echocardiogram Interpretation in Clinical Practice // *Circulation*. – 2018. – Т. 138. – С. 1623–1635. – Режим доступа: <https://www.ahajournals.org/doi/10.1161/CIRCULATIONAHA.118.034338>
4. Miller, A. R., Tucker, C. Frontiers of Health Policy: Digital Data and Personalized Medicine // *Innovation Policy and the Economy*. – 2017. – Т. 17. – С. 49-75. – Режим доступа: <https://www.journals.uchicago.edu/doi/10.1086/688844>
5. van Terheyden, N. Informatics and Mass Data Analysis in Digital Health // *Информатика и массовый анализ данных в цифровом здравоохранении*. – 2018. – С. 55-64. – Режим доступа: https://link.springer.com/chapter/10.1007/978-3-319-61446-5_5
6. Abedjan, Z., et al. Data Science in Healthcare: Benefits, Challenges and Opportunities // *Data Science in Healthcare*. – 2019. – С. 3-38. – Режим доступа: https://link.springer.com/chapter/10.1007/978-3-030-05249-2_1
7. Salehudin, M. A. M., Basah, S., Yazid, H., Basaruddin, K., Safar, M. J. A., Som, M. H. M., & Sidek, K. A. (2023). Analysis of Optical Character Recognition using EasyOCR under Image Degradation. *Journal of Physics: Conference Series*. <https://iopscience.iop.org/article/10.1088/1742-6596/2641/1/012001>
8. Yamashita, M., & Markov, A. (2020). Medical Image Enhancement Using Super Resolution Methods. *Journal of Medical Imaging and Health Informatics*. Режим доступа: https://link.springer.com/chapter/10.1007/978-3-030-50426-7_37
9. Lat, A., & Jawahar, C. V. (2018). Enhancing OCR Accuracy with Super Resolution. 2018 24th International Conference on Pattern Recognition (ICPR). Режим доступа: <https://ieeexplore.ieee.org/document/8545609>

УДК 616-006

АНАЛИЗ ДОЗИМЕТРИЧЕСКИХ ПАРАМЕТРОВ МОДЕЛИ РАСПРЕДЕЛЕНИЯ ДОЗЫ ИОНИЗИРУЮЩЕГО ИЗЛУЧЕНИЯ ПРИ МОДЕЛИРОВАНИИ ОБЛУЧЕНИЯ ПОВЕРХНОСТИ ГРУДНОЙ КЛЕТКИ

И.Н. ЧИРКОВА¹, М.Н. ПЕТКЕВИЧ¹, Д.И. КОЗЛОВСКИЙ¹, М.В. ТУМИЛОВИЧ²

¹ГУ «Республиканский научно-практический центр онкологии и медицинской радиологии им. Н.Н. Александрова» (аг. Лесной, Республика Беларусь)

²Белорусский государственный университет информатики и радиоэлектроники (г. Минск, Республика Беларусь)

Аннотация. Лучевая терапия после мастэктомии при диагнозе рак молочной железы является одним из этапов лечения онкологического заболевания. Основная задача лучевого лечения состоит в минимизации дозовых нагрузок ионизирующего излучения на кожу и подкожные ткани, а также в повышении точности доставки дозы в объем опухоли. С этой целью используются вспомогательные устройства в виде болуса из тканеэквивалентных материалов. В процессе предлучевой подготовки и на этапе лучевой терапии важное значение имеет корректная фиксация болуса и выбор методики облучения. Цель работы является экспериментальное установление зависимости значения дозы ионизирующего излучения в точке на поверхности модели тела пациента от величины ошибки в воспроизведении заданных условий облучения в части корректности фиксации болуса. Результаты исследования позволили произвести оценку величины дозы ионизирующего излучения в контрольной точке с использованием различных методик моделирования распределения дозы в теле пациента при облучении поверхности грудной клетки после мастэктомии.

Ключевые слова: лучевая терапия, мастэктомия, болус, дозовое распределение, ионизирующее излучение, неопределенность, фантом, компьютерный томограф, радиационный пучок.

DEPENDENCE OF DOSE DISTRIBUTION OF IONIZING RADIATION ON THE SELECTED METHOD FOR CALCULATING THE IRRADIATION PLAN

IRINA N. CHIRKOVA, MAKSIM N. PETKEVICH, DENIS I. KOZLOVSKIY, MIROSLAV V. TUMILOVICH

¹*N. N. Alexandrov National cancer center of Belarus (Lesnoy, Republic of Belarus)*

²*Belarusian State University of Informatics and Radioelectronics (Minsk, Republic of Belarus)*

Abstract. Radiation therapy after mastectomy for breast cancer is one of the stages of cancer treatment. The main objective of radiation therapy is to minimize the dose loads of ionizing radiation on the skin and subcutaneous tissues, as well as to increase the accuracy of dose delivery to the tumor volume. For this purpose, auxiliary devices in the form of a bolus made of tissue-equivalent materials are used. In the process of pre-radiation preparation and at the stage of radiation therapy, correct fixation of the bolus and the choice of the irradiation technique are of great importance. The purpose of the work is to experimentally establish the dependence of the ionizing radiation dose at a point on the surface of the patient's body model on the error in reproducing the specified irradiation conditions in terms of the correctness of bolus fixation. The results of the study made it possible to estimate the dose of ionizing radiation at a control point using various methods for modeling the dose distribution in the patient's body during irradiation of the chest surface after mastectomy.

Keywords: radiation therapy, mastectomy, bolus, dose distribution, ionizing radiation, uncertainty, phantom, computed tomograph, radiation beam.

Введение

Лучевая терапия после мастэктомии является одним из этапов лечения и позволяет снизить количество случаев рецидивов и смертности у онкологических больных с высоким риском местно-региональной недостаточности. В последние годы с внедрением новых высокотехнологичных методов лучевой терапии, таких как лучевая терапия с модуляцией интенсивности (Intensity-modulated radiation Therapy (IMRT)) и модулированная по интенсивности арк-терапия (Volumetric Modulated Arc Therapy (VMAT)) обеспечивается хороший баланс между предписанным дозовым покрытием и щадящим воздействием ионизирующего излучения на нормальные ткани и органы [1]. Мастэктомия представляет собой хирургическое удаление молочной железы. Как правило, резекция выполняется с прилегающими тканями: подкожно-жировым слоем, регионарными лимфатическими сосудами и узлами, в некоторых случаях с малой и большой грудной мышцей. Местный рецидив чаще всего возникает в кожных и подкожных тканях в непосредственной близости от первичного очага опухоли. Проблема переоблучения кожных покровов во время сеансов лучевой терапии, а также точность доставки дозы ионизирующего излучения и ее равномерное распределение по объему мишени существует давно и авторами предлагалось использовать вспомогательные устройства в виде болюсов для увеличения точности дозового распределения в облучаемом объеме [2].

В практике современной лучевой терапии рака молочной железы широкое применение получило использование болюсов, как виртуальных, так и физических, для снижения вероятности местных рецидивов после облучения ионизирующим излучением [3].

Физический болюс представляет собой тканеэквивалентный материал, который располагается на теле пациента во время сеансов предлучевой подготовки и лучевой терапии. Болюс – пластичный плотный нестерильный материал (например, плотный гель, парафин, силикон), который при облучении обладает свойствами кожи по своим плотностным характеристикам и предназначен для моделирования тканей человека (кожи) для изменения попадающей дозы ионизирующего излучения или глубины ее проникновения).

Виртуальный болюс – математический инструмент, позволяющий моделировать на поверхности тела пациента либо фантома тканеэквивалентный материал, который входит в область контурирования. Под контурированием понимается очерчивание границ и объемов тканей с целью дальнейшей оценки на них дозовой нагрузки ионизирующего излучения. Суть моделирования виртуального болюса состоит в построении контуров тела и объема целевого планирования (Planning Target Volume (PTV)) вокруг области грудной клетки с заданным расширением, эквивалентным по плотности, в зоне прохождения пучков излучения. Авторами работы [4] высказано предположение, что использование виртуального болюса применимо только для методик лучевого лечения 3 ДЛТ (трехмерная конформная лучевая терапия) и ЛТМИ (лучевая терапия с модуляцией интенсивности), и не подходит для методики расчета МИАТ (модулированной по интенсивности арк-терапии), так как не представляется возможным сделать отступы по телу.

В последнее время в литературе обсуждается применение физических болюсов для снижения вероятности местных рецидивов, описаны случаи успешного применения данного вспомогательного материала, когда риск местных рецидивов достаточно велик [5]. Для лечения используются методики с применением различных материалов болюса, в частности болюсы, напечатанные на 3D принтере, а также латунный сетчатый материал, позволяющий уменьшить зазор между кожей и поверхностью болюса, снизить затраты времени на укладку, а также время на облучение [6, 7]. Также авторами рассматривалась влияние толщины болюса на величину погрешности в доставке дозы [8].

Малоизученной остается проблема влияния воздушного зазора между вспомогательным материалом в виде физического болюса и облучаемой поверхностью. Авторами работы [9] было доказано, что неопределенность линейно возрастает с увеличением величины зазора, а также зависит от методики расчета плана облучения. При лучевой терапии онкологических пациентов в отделениях лучевой терапии используются протоколы на основе фотонов с адаптированным болюсом и данный метод остается наиболее распространенным методом лечения для большого числа пациентов.

На базе ГУ «РНЦ онкологии и медицинской радиологии им. Н.Н. Александрова» в клиническую практику внедрено лечение пациенток с раком молочной железы с применением болюсных материалов. В отделениях лучевой терапии активно используются болюсы производства компании CIVCO (болюс с покрытием). Данный материал представляет собой твердый гомогенный гель, плотность которого эквивалентна плотности биологических тканей и составляет 1,03 г/см³. Материал является пластичным, не провисает и не деформируется со временем.

Наиболее удобным способом оценки воздействия ионизирующего излучения на тело человека является моделирование. Для этих целей используется антропоморфный фантом. Под антропоморфным фантомом подразумевают прибор, по физическим (плотность, элементарный состав) и техническим свойствам максимально соответствующий телу человека. В литературе описаны случаи использования антропоморфного фантома Catphan 600 (PTV, Freiburg). Прибор представляет собой устройство в виде цилиндра из плотного тканезквивалентного материала, тело фантома набрано из отдельных слоев толщиной 1 см со вставками материалов различных плотностей [11]. Также широкое применение получил антропоморфный фантом Андерсона (RCD, Gardena). Фантом представляет собой макет тела человека от головы до паховой области из плотного тканезквивалентного материала. Тело фантома состоит из отдельных вставок толщиной 1 см с различными плотностями.

На выбор фантома влияют его физические характеристики (антропоморфность, доступность, простота укладки и фиксации на нем дополнительных изделий медицинского назначения), а также техническое оснащение отделения лучевой подготовки и лучевой терапии.

Для построения модели воздействия на человека ионизирующего облучения использовалась компьютерная система со встроенным программным обеспечением (КСПО) Eclipse версии 16.3. Данное программное обеспечение выбрано для простоты и удобства моделирования процесса облучения и является совместимым со всеми приборами и техническими модулями оборудования в отделении лучевой терапии. При помощи программного модуля Eclipse реализовываются прецизионные, клинически эффективные и щадящие для пациентов методики облучения, такие как IMRT (облучение с модуляцией интенсивности), 3D (трехмерная конформная лучевая терапия), VMAT (модулированная по интенсивности арк-терапия).

Целью данной работы является экспериментальное установление зависимости значения дозы ионизирующего излучения в точке на поверхности модели тела пациента от величины ошибки в воспроизведении заданных условий облучения в части корректности фиксации болюса.

Методика проведения эксперимента

В основе метода оценки методик облучения при лучевой терапии с болюсом использовалось оборудование и программное обеспечение отдела по инженерному обеспечению РНЦ ОМР им. Н.Н. Александрова.

С использованием компьютерного томографа Aquilion Lightning производства компании Canon получена томограмма антропоморфного фантома Catphan с шагом 2,5 мм, реконструированная до толщины среза в 1,25 мм. Полученная томограмма импортирована в компьютерную систему планирования облучения Eclipse (рисунок 1). Антропоморфность фантома позволяет при помощи встроенных инструментов изображать на нем целевые объемы (в данном случае PTV - Planning Target Volume или планируемый объем мишени), как в соответствии с международными рекомендациями по оконтуриванию, так и согласно национальным локальным протоколам и требованиям [ICRU].

За объем PTV в фантоме выбран верхний левый квадрат, ширина и длина PTV оконтуривана размером 5 см, что соответствует размеру болюса, который используется на аппарате лучевой терапии при лечении пациентов после мастэктомии, глубина PTV - 5 см. Следует отметить, что планируемый объем мишени изображен близко к краю фантома, имитируя ситуацию расположения очага опухоли непосредственно на коже. В виртуальную модель фантома также включена такая структурная модель как болюс, оконтуриванная с использованием соответствующего программного модуля КСПО Eclipse. Полученный набор

структур можно использовать для создания дозиметрических планов облучения любой методикой из применяемых в практике в отделениях лучевой терапии. Далее с использованием встроенного программного обеспечения созданы планы облучения по различным методикам расчета. При этом направление радиационного пучка от линейного ускорителя при каждой методике расчета оставалось неизменным. Также на поверхности фантома выбрана контрольная точка для оценки дозы, расположенная в центре PTV на поверхности фантома.

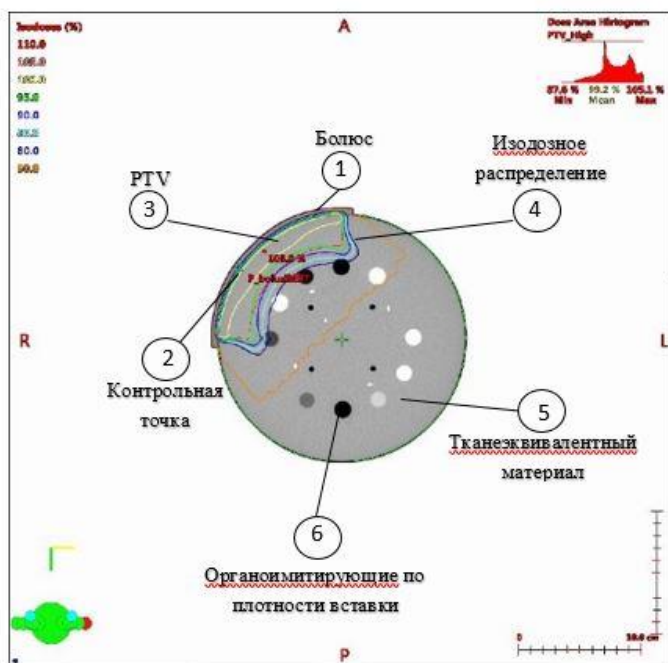


Рис. 1. Скан антропоморфного фантома Catphan с указанием структур: 1 – болус, 2 – контрольная точка, 3 – PTV, 4 – изодозное распределение, 5 – тканеэквивалентный материал

При помощи программного модуля Eclipse менялось положение болуса, создавая погрешность его укладки путем искусственно созданного зазора между болусом и поверхностью фантома с шагом 1 мм от 0 до 1 см. Оценка доставленной дозы и дозового распределения проводилась в выбранной контрольной точке для каждой методики расчета.

Результаты и их обсуждение

В результате проведенных экспериментальных исследований установлена зависимость дозы в контрольной точке от величины ошибки в воспроизведении заданных условий облучения в части корректности фиксации болуса (рисунок 2).

Анализ дозиметрических параметров модели распределения дозы ионизирующего излучения в контрольной точке в объеме мишени, полученных при моделировании планирующей системой Eclipse, показал возможность применения всех методик расчета для облучения поверхности грудной клетки. Для каждой из методик с увеличением расстояния между болусом и поверхностью фантома, возникает ошибка, связанная с некорректной фиксацией болуса. При наличии зазора между болусом и поверхностью в пределах 0–0,5 см значение дозы в контрольной точке линейно увеличивается, но при этом ухудшается и дозовое распределение в объеме PTV, а именно, увеличивается максимум ионизации на поверхности на 15 %, что в реальных условиях ведет к нарушению заданных условий облучения и может привести к незапланированному переоблучению кожных покровов и близлежащих органов и тканей. При наличии зазора в пределах 0,5–1 см величина дозы излучения в контрольной точке существенно снижается (23 %), а также наблюдается значительные отклонения в распределении дозы излучения по объему облучаемой мишени (16 %), что приводит к

нарушению заданных условий облучения, и как следствие, отсутствию запланированного эффекта от лечения.

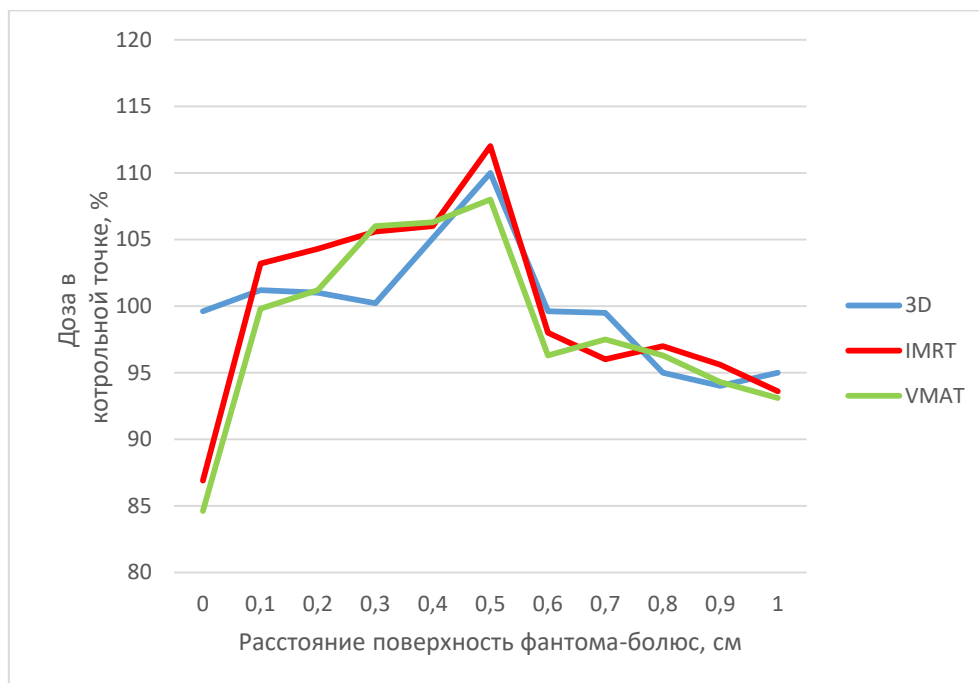


Рис. 2. Значение дозы ионизирующего излучения в контрольной точке на поверхности тела фантома от плотности прилегания болуса

Для тех случаев, когда болус не использовался, доза ионизирующего излучения в контрольной точке оказалась меньше запланированной на 73 – 76 %, что обуславливает использование вспомогательного материала при лечении пациентов с раком молочной железы.

Плотное прилегание болуса к поверхности облучаемого объема обеспечивает получение значений дозы ионизирующего излучения в контрольной точке на 75 – 80 % соответствующее запланированному и охват мишени составляет 95 % от предписанной дозы.

Заключение

Результаты, полученные в ходе проведенного исследования, позволяют сделать вывод о приемлемости использования всех применяемых на практике в отделении лучевой терапии методик расчета дозиметрических планов с использованием болуса. При этом основной вклад в ошибки при отпуске дозы вносит некорректное воспроизведение заданных условий облучения в части фиксации болуса. Правильная и плотная фиксация болуса позволяет получить дозу в контрольной точке на поверхности на уровне 75 – 80 % от соответствующей запланированной.

По результатам работы сформулировано дальнейшее направление исследования – разработка методики воспроизведения заданных условий облучения в части корректности фиксации болуса.

Список литературы

1. Глебовская, В.В. Нужны ли сложные технологии лучевой терапии в лечении больных раком молочной железы после радикальной мастэктомии? Клинический случай / В.В. Глебовская, Е.В. Тимошкина, О.П. Трофимова // Онкологический журнал. – 2022. -Т.5, №2, С. 89–100.
2. Abel, S. Local failure and acute radiodermatological toxicity in patients undergoing radiation therapy with and without postmastectomy chest wall bolus: Is bolus ever necessary / S. Abel, P. Renz, M. Trombetto // Practical radiation oncology. – 2017. – Vol.7, iss 3. – P.167–172.

3. Стуров, А.В. О возможности изменения изодозного распределения в лучевой терапии / А.В. Стуров, А.О. Нештак, С.Ф. Четвериков // Медицина и здравоохранение: материалы III Международной научной конференции, Казань, май 2015 г.: Бук /редкол.: Г.Д. Ахметова, Г.А. Кайнова, Е.И. Осянина. – Казань, 2015. – С.25–28.
4. Ugurlu, T. The effect of using virtual bolus on VMAT plan quality for left-sided breast cancer patients / T. Ugurlu, C. Akbas, // Applied Radiation and Isotopes. – 2022. – Vol. 189.
5. Kadar-Person, O. A Delfi study and International Consensus Recommendation: The use of bolus in the setting of postmastectomy radiation therapy for early breast cancer / O. Kadar-Person, HM. Dahn, N. Bese // Critical Reviews in Oncology/Hematology. – 2021. – Vol.164. – P.115–121.
6. Lu, Y. 3D Printing Polymer-based Bolus Used for Radiotherapy / Y.Lu, J. Song // National Library of Medicine. – 2021. – Vol.7, №414, – P. 27-42.
7. Sakai, Y., Double enhancement effect of a surface dose with tungsten rubber bolus in photon radiotherapy for keloids and superficial tumors / Y. Sakai, H. Monzen, M. Tamuro // Physical and engineering sciences in medicine. – 2023. – Vol.46, №1. – P. 179–184.
8. Mieville, F., Post-mastectomy radiotherapy: Impact of bolus thickness and irradiation technique on skin dose / F. Mieville, N. Pitteloud, V. Achard // Journal of Medical Physics. – 2023. –Vol. 46, – P. 1-13.
9. Tang, Ch. Quantify the Effect of Air Gap Errors on Skin Dose for Breast Cancer Radiotherapy / Ch. Tang, J. Yuan, // Technology in Cancer Research and Treatment. – 2023. – P. 1-13.
10. Гольдман, Е.И. Использование антропоморфного фантома тела человека для осуществления комплексного тестирования технологического процесса лучевой терапии / Е.И. Гольдман, Е.В. Титович // Доклады БГУИР. – 2019. – №7–8. –С.133–140.
11. Возможности использования анатомических пластиналов в качестве антропоморфных фантомов: сб. тр. / Всероссийская научно-практическая конф. Радиационная гигиена: итоги и перспективы; редкол.: Т. Б. Балтруковой (отв. ред.). – Санкт-Петербург: Северо-Западный медицинский университет, 2022. – С. 6 –7.

УДК 004.021:796

АНАЛИЗ ШАГОВЫХ И БЕГОВЫХ ЛОКОМОЦИЙ ЧЕЛОВЕКА С ИСПОЛЬЗОВАНИЕМ МАТРИЦ РАССТОЯНИЯ

Д. И. ГУСЕЙНОВ¹, Н. С. ДАВЫДОВА², М. В. ДАВЫДОВ²

¹Белорусский государственный университет физической культуры, пр-т Победителей 105, 220020,
Минск, Беларусь

²Белорусский государственный университет информатики и радиоэлектроник, ул. П. Бровки, 6, 2200013,
Минск, Беларусь

Аннотация. В работе представлен метод биомеханического анализа шаговых и беговых локомоций на основе данных захвата движений и матриц расстояний. Рассматриваются математические операции обработки многомерных данных для стандартизации и визуализации двигательных действий человека. Предлагается метод нормализации данных на основе евклидовой метрики, что позволяет учесть антропометрические особенности пациента и значительно повысить точность анализа. Результаты работы демонстрируют перспективы использования предложенного подхода для улучшения диагностики и персонализации реабилитационных программ при патологиях двигательного аппарата.

Ключевые слова: шаговые и беговые локомоции, диагностика, захват движений, матрицы расстояний

ANALYSIS OF HUMAN WALKING AND RUNNING LOCOMOTIONS USING DISTANCE MATRICES

D. I. GUSEINOV¹, N. S. DAVYDOVA², M. V. DAVYDOV²

¹Belarusian State University of Physical Culture, 105 Pobediteley Ave.,
220020, Minsk, Belarus

²Belarusian State University of Informatics and Radioelectronics, 6 P. Brovki str.,
2200013, Minsk, Belarus

Abstract. The method for biomechanical analysis of walking and running locomotions based on motion capture data and distance matrices is presented in the paper. Mathematical operations of multidimensional data processing for standardization and visualization of human motor actions are considered. A method of data normalization based on Euclidean metrics is proposed, which allows taking into account the anthropometric characteristics of the patient and significantly improving the accuracy of the analysis. The results of the work demonstrate the prospects of using the proposed approach to improve the diagnosis and personalization of rehabilitation programs for pathologies of the motor apparatus.

Key words: walking and running locomotion, diagnostics, motion capture, distance matrices

Введение

Практически каждый человек, за исключением людей с ограниченными возможностями, ежедневно преодолевает расстояние 1–3 км пешком. Известно, что биомеханические характеристики ходьбы являются надежными количественными индикаторами физического, а также психического здоровья человека. Известно, что наличие различных патологий шаговых локомоций вызывают дисфункции опорно-двигательного аппарата [1], нарушают нормальную работу сердечно-сосудистой системы [2], а также могут вызывать расстройства психического здоровья [3]. В области прикладной медицины биомеханический анализ шаговых и беговых локомоций, а также количественная и качественная оценка позы человека используется при постановке и уточнении диагноза, разработке терапевтического воздействия в рамках реабилитации после различных травм головного и спинного мозга, при протезировании [4].

Технологии, обеспечивающие количественный анализ базовых локомоций человека, претерпели значительные усовершенствования. Сегодня при диагностике опорно-двигательной

системы человека используются аппаратно-программные комплексы видеоанализа движений, системы регистрации электромиографической активности мышц, динамометрические платформы, инерциальные измерительные устройства и другие носимые датчики [5]. Однако клиническая ценность данных технологий все еще является предметом дискуссий, поскольку их использование сопровождается активным вовлечением медицинских экспертов при обработке, анализе и оценке регистрируемых данных. Кроме того, клиническое использование большинства вышеперечисленных технологий на сегодняшний день затруднено и не может быть окончательно внедрено в практику вследствие повышенной ресурсоемкости процесса диагностики и интерпретации результатов [6].

Очевидно, что в области клинической диагностики биомеханики базовых локомоций человека необходимо стремиться к автоматизации и упрощению процессов сбора, анализа и оценки получаемых результатов с обязательным сохранением их точности, достоверности и информативности. Это обусловлено повышенной востребованностью и социальной значимостью данной процедуры. В данном направлении наиболее эффективным и подходящим способом повышения автоматизации процесса клинической диагностики и снижения его ресурсоемкости является разработка алгоритмов оценки отдельно взятых поз в совершаемых локомоциях [7].

Основная часть

Главным исследовательским направлением в области клинической диагностики и оценке шаговых и беговых локомоций, а также позы человека является разработка алгоритмов автоматического анализа данных. Это обусловлено существенным технологическим прогрессом по части аппаратного обеспечения. На сегодняшний день известно достаточное количество научно и экспериментально обоснованных алгоритмов оценки позы и простых двигательных действий человека. Как правило, такие алгоритмы основаны на использовании пространственных, пространственно-временных и временных данных, регистрируемых соответствующим оборудованием [8]. В литературе встречаются алгоритмы измерения и количественной оценки поведенческих эффектов [9], мультиперсонального анализа позы людей на изображениях [10, 11] и многие другие схожие алгоритмы экспериментального применения. Это говорит о том, что все перечисленные подходы еще находятся на этапе технологического совершенствования и не могут быть полноценно внедрены в медицинскую практику. Ключевым недостатком данных алгоритмов является их недостаточная точность и прецизионность измерения, что делает невозможность их применения в клинической диагностике. Это обусловлено тем, что разрабатываемые алгоритмы оптимизируются и совершенствуются для использования на мобильных устройствах при решении либо бытовых, либо узкоспециализированных задач, не требующих высокой точности.

Алгоритмы анализа данных для клинической диагностики должны удовлетворять определенным требованиям. В частности, для обеспечения необходимой точности следует сперва изучить характеристики регистрируемых сигналов, определить ключевые и наиболее устойчивые признаки и установить последовательность их идентификации [12]. Это позволит распознавать и анализировать отдельные позы в составе шаговых и беговых локомоций, а также обеспечить высокую автоматизацию многих процессов.

Сегодня в качестве измерительного оборудования для клинической диагностики широко используются системы захвата движений [13, 14]. Подобные системы используются преимущественно с целью поддержки принятия решения, предоставляя необходимый и содержательный объем достоверных данных. Однако необходимо в том числе обеспечить своевременную и оперативную обработку и анализ регистрируемых показателей.

В качестве исходной информации выступает многомерный массив данных, содержащий координаты точек (ключевых анатомических ориентиров) тела человека. На основании такого массива формируется кинематическая модель тела человека. Подобные модели рассматриваются в пределах некоторого пространства (чаще всего, трехмерного). Данные, которые имеется возможность определить, представляют собой относительное и абсолютное пространственное положение каждой точки в формате проекции на координатные оси. Такие данные удобно представлять в формате матрицы (рисунок 1).

$$\begin{matrix} & \xrightarrow{m} \\ \begin{matrix} \downarrow n \\ \left[\begin{array}{l} [x_{01}, y_{01}, z_{01}], [x_{02}, y_{02}, z_{02}], \dots [x_{0i}, y_{0i}, z_{0i}] \\ [x_{11}, y_{11}, z_{11}], [x_{12}, y_{12}, z_{12}], \dots [x_{1i}, y_{1i}, z_{1i}] \\ \dots \\ [x_{j1}, y_{j1}, z_{j1}], [x_{j2}, y_{j2}, z_{j2}], \dots [x_{ji}, y_{ji}, z_{ji}] \end{array} \right] \end{matrix} & \end{matrix}$$

Рис.1. Матричное представление двигательных действий человека в 3-х мерном пространстве

Содержание матрицы представляет собой пространственные координаты каждой анатомической точки, совокупность которых составляет целостную кинематическую модель тела человека. Размер матрицы определяется количеством строк и столбцов ($m \times n$, где m – количество анатомических точек, используемых для описания тела человека; n – количество моментов времени, в течение которых осуществлялось двигательное действие) [15]. Подобное представление является наиболее удобным и распространенным для количественного описания двигательных действий человека, которое представляет собой совокупность последовательных поз в пространстве. Для каждой из этих поз характерна уникальная совокупность пространственных координат каждого узла (рисунок 2).

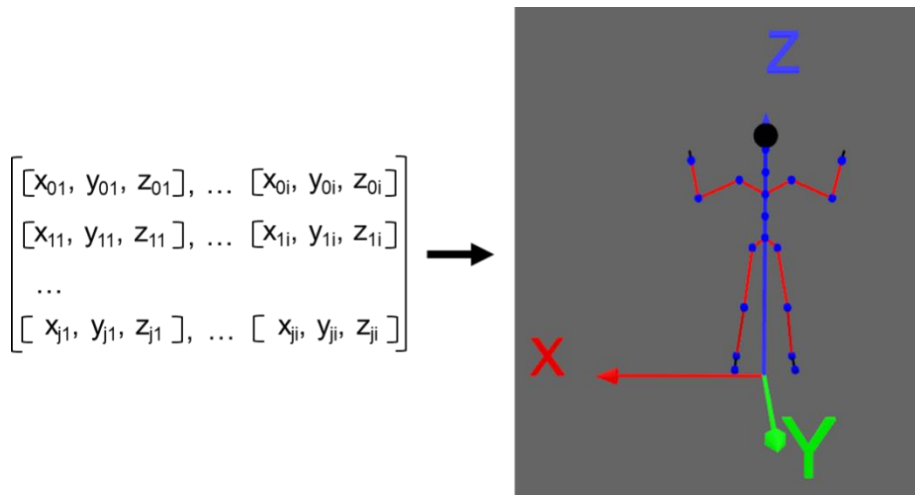


Рис. 2. Преобразование данных матрицы в компьютерную модель тела человека

Необходимо отметить, что исходная матрица координат не может быть использована для клинической диагностики поз в рамках шаговых и беговых локомоций, поскольку содержит данные с учетом антропометрических признаков исследуемого. Для стандартизации данных необходимо использовать нормализацию по пространственному расстоянию точек относительно друг друга, в результате чего формируется матрица расстояний. Наиболее распространенной и фундаментальной метрикой для формирования матрицы расстояний (вне зависимости от размерности пространства) является евклидова метрика, определяющая геометрическое расстояние между точками в n -мерном евклидовом пространстве [16, 17] (формула 1):

$$dn(i, j) = \frac{d(i, j)}{r(i, j)} \tag{1}$$

где $dn(i, j)$ – нормализованное геометрическое расстояние между точками i и j в n -мерном пространстве;

$d(i, j)$ – евклидово расстояние между точками i и j в n -мерном пространстве;

$r(i, j)$ – фактическая длина цепи.

Фактическая длина цепи представляет собой сумму евклидовых расстояний между всеми анатомическими точками, формирующими цепь (формула 2):

$$r(i, j) = \sum_{k=i}^j d(a, b)_k \quad (2)$$

где $d(a, b)$ – нормализованное геометрическое расстояние между последовательными точками a и b в n -мерном пространстве.

Визуализация переменных, используемых в формулах 1 и 2 представлена на рисунке 3, где $r(i, j)$ представляет собой сумму евклидовых расстояний между точками i и k , k и l , l и m , m и n , n и p , p и q и j .

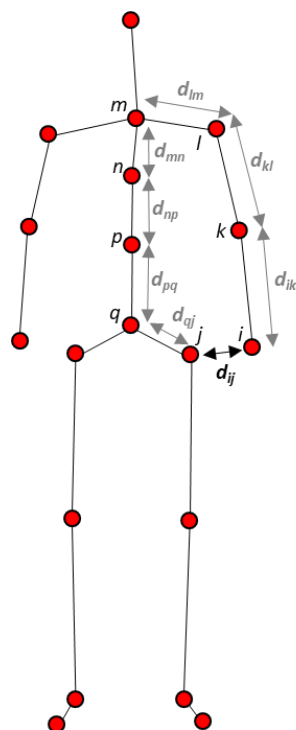


Рис.3. Расчет нормализованного геометрического расстояния между точками i и j

В результате подобного преобразования регистрируемых с использованием систем захвата движений данных имеется возможность формировать наглядные матрицы расстояний, содержащие все кинематические признаки шаговых и беговых локомоций в рамках отдельных поз. На рисунке 4 представлены экспериментальные матрицы расстояний фазы постановки (1), переката (2) и отрыва стопы (3) от поверхности опоры.

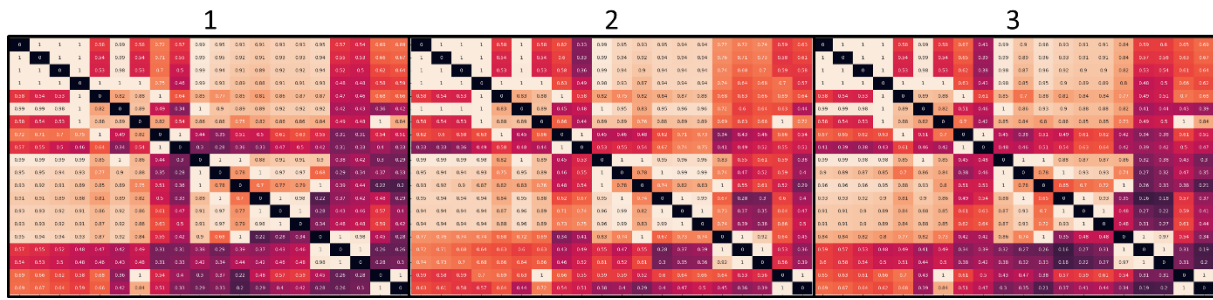


Рис.4. Матрицы расстояний для отдельных поз в структуре шаговых локомоций

На основании матриц расстояний в дальнейшем будут разработаны алгоритмы автоматического анализа биомеханических параметров шаговых и беговых локомоций человека. Кроме того, матрицы расстояний могут выступать наиболее удобной, содержательной и емкой структурой данных для изучения специфических характеристик поз в норме и патологии, а гибкие возможности масштабирования данных, лежащих в основе матриц расстояний позволят установить наиболее неочевидные биомеханические признаки.

Заключение

Актуальность разработки и совершенствования алгоритмов клинической диагностики шаговых и беговых локомоций человека обусловлена состоянием технического и технологического оснащения медицинских учреждения, а также возросшим риском травматизма опорного-двигательного аппарата и других функциональных систем организма человека. Основной технологической задачей является создание и оптимизация алгоритмов, позволяющих анализировать локомоции с учётом особенностей и патологий двигательного аппарата. Ключевым этапом здесь становится преобразование многомерных данных, получаемых с помощью датчиков и устройств захвата движений, в матричное представление, что позволяет стандартизировать данные для дальнейшего анализа. Использование матриц расстояний, основанных на евклидовой метрике, обеспечивает точное представление поз в пространстве, что критически важно для диагностических задач.

В ходе настоящего исследования предложен метод нормализации данных видеозахвата движений человека на основе геометрических расстояний между ключевыми анатомическими точками, вследствие чего появляется возможность эффективно стандартизировать данные независимо от антропометрических особенностей исследуемого. Такой подход формирует перспективы для дальнейшего совершенствования алгоритмов диагностики, направленных на выявление неочевидных биомеханических признаков. Предложенный подход представляет собой перспективный инструмент для детального анализа и визуализации двигательных действий, что особенно актуально в реабилитации и клиническом мониторинге функционального состояния лиц с различными двигательными патологиями.

Список литературы

1. Pirker W., Katzenschlager R. Gait disorders in adults and the elderly: A clinical guide. Wiener Klinische Wochenschrift. 2017;129(3):81–95. DOI: 10.1007/s00508-016-1096-4.
2. Jørgensen J.R., Bech-Pedersen D.T., Zeeman P., Sørensen J., Andersen L.L., Schönberger M. Effect of intensive outpatient physical training on gait performance and cardiovascular health in people with hemiparesis after stroke. Physical therapy. 2010;90(4):527–537. DOI: 10.2522/ptj.20080404.
3. Sanders R.D., Gillig P.M. Gait and its assessment in psychiatry. Psychiatry (Edgmont). 2010;7(7):38–43.
4. Rohan A., Rabah M., Hosny T., Kim S. Human Pose Estimation-Based Real-Time Gait Analysis Using Convolutional Neural Network. IEEE Access. 2020;8:191542–191550. DOI: 10.1109/ACCESS.2020.3030086.
5. Khan W., Badii A. Pathological gait classification and segmentation by processing the hip joints motion data to support mobile gait rehabilitation. Research in Medical & Engineering Sciences. 2019;7(3):1–9. DOI: 10.31031/RMES.2019.07.000662.

6. Simon S.R. Quantification of human motion: gait analysis—benefits and limitations to its application to clinical problems. *Journal of Biomechanics*. 2004;37(12):1869–1880. DOI: 10.1016/j.jbiomech.2004.02.047.
7. Stenum J., Cherry-Allen K.M., Pyles C.O., Reetzke R.D., Vignos M.F., Roemmich R.T. Applications of Pose Estimation in Human Health and Performance across the Lifespan. *Sensors*. 2021;21(21):7315. DOI: 10.3390/s21217315.
8. Cornman H.L., Stenum J., Roemmich R.T. Video-based quantification of human movement frequency using pose estimation: A pilot study. *PLOS ONE*. 2021;16(12):e0261450. DOI: 10.1371/journal.pone.0261450.
9. Nath T., Mathis A., Chen A.C., Patel A., Bethge M., Mathis M.W. Using DeepLabCut for 3D markerless pose estimation across species and behaviors. *Nature Protocols*. 2019;14:2152–2176. DOI: 10.1038/s41596-019-0176-0.
10. Viswakumar A., Rajagopalan V., Ray T., Parimi C. Human Gait Analysis Using OpenPose. 2019 Fifth International Conference on Image Information Processing (ICIIP), Shimla, India. 2019:310–314. DOI: 10.1109/ICIIP47207.2019.8985781.
11. Insafutdinov E., Pishchulin L., Andres B., Andriluka M., Schiele B. DeeperCut: A Deeper, Stronger, and Faster Multi-person Pose Estimation Model. In: Leibe B., Matas J., Sebe N., Welling M. (eds) *Computer Vision – ECCV 2016*. ECCV 2016. Lecture Notes in Computer Science. 2016;9910. Springer, Cham. DOI: 10.1007/978-3-319-46466-4_3.
12. Gao L., Zhang G., Yu B., Qiao Z., Wang J. Wearable human motion posture capture and medical health monitoring based on wireless sensor networks. *Measurement*. 2020;166:108252. DOI: 10.1016/j.measurement.2020.108252.
13. Bortolini M., Faccio M., Gamberi M., Pilati F. Motion Analysis System (MAS) for production and ergonomics assessment in the manufacturing processes. *Computers & Industrial Engineering*. 2020;139:105485. DOI: 10.1016/j.cie.2018.10.046.
14. Menolotto M., Komaris D., Tedesco S., O'Flynn B., Walsh M. Motion Capture Technology in Industrial Applications: A Systematic Review. *Sensors (Basel)*. 2020;20(19):5687. DOI: 10.3390/s20195687.
15. Parag A., Ketaki A., Prabhakaran B. Robust blind watermarking mechanism for motion data streams. In *Proceedings of the 8th workshop on Multimedia and security (MM&Sec '06)*. Association for Computing Machinery, New York, NY, USA. 2006:230–235. DOI: 10.1145/1161366.1161407.
16. Deza M.M., Deza E. *Encyclopedia of Distances*. Springer, 2014. – P 103.
17. Bernardin A., Hoyet L., Mucherino A., Gonçalves D., Multon F. Normalized Euclidean distance matrices for human motion retargeting. 2017:1–6. DOI: 10.1145/3136457.3136466.

УДК 004.942

ВЫБОР СРЕДЫ ДЛЯ МОДЕЛИРОВАНИЯ ВОЗДЕЙСТВИЯ НАПРАВЛЕННОЙ КОНТАКТНОЙ ДИАТЕРМИИ

А.Е. НОВИЦКАЯ, П.В. КАМЛАЧ

Белорусский государственный университет информатики и радиоэлектроники (Минск, Беларусь)

Аннотация. Проведен систематический анализ программных сред моделирования для создания физико-математических моделей воздействия на биологические ткани. С целью оценки их характеристик была разработана таблица сравнения, включающая как универсальные, так и специализированные решения. В результате анализа была выбрана среда моделирования COMSOL Multiphysics, которая демонстрирует высокую эффективность и многофункциональность для разработки и анализа модели воздействия направленной контактной диатермии на биоткани. Этот выбор обусловлен ее способностью глубоко исследовать физические процессы в биологическом материале, что имеет важное значение для дальнейших научных изысканий в данной области.

Ключевые слова: направленная контактная диатермия, TR-терапия, TECAR-терапия, среда моделирования.

SELECTION OF A MEDIUM FOR SIMULATION OF THE EFFECTS OF DIRECTED CONTACT DIATHERMY

HANNA Y. NAVITSKAYA, PAVEL V. KAMLACH

Belarusian State University of Informatics and Radioelectronics (Minsk, Belarus)

Abstract. An analysis of software simulation environments has been carried out, allowing the creation of physical models of the impact on biological tissue. An analysis was made of modeling environments for universal and general-purpose, specialized purposes, according to the selected general and specific criteria for the model under study. As a result of the work, the COMSOL Multiphysics modeling environment was selected, which is characterized by the greatest efficiency in relation to the creation and analysis of a model of the effect of directed contact diathermy on biological tissue.

Keywords: directed contact diathermy, TR-therapy, TECAR-therapy, simulation environment.

Введение

Направленная контактная диатермия, известная также как TECAR-терапия или TR-терапия, представляет собой один из современных методов физиотерапии, используемых для лечения и профилактики. Для изучения процессов, происходящих в биотканях под воздействием направленной контактной диатермии, необходимо разработать модель, отражающую результаты применения TR-терапии. В этой работе материал представлен следующим образом: создается система оценки, соответствующая множеству критериев, состав и приоритеты которых определены в зависимости от области исследования и целей моделирования. Далее выбирается и кратко описывается ряд распространенных средств моделирования, как общего, так и специализированного назначения. Также составлена таблица сравнения характеристик программ, что позволяет наглядно оценить их различия и преимущества. Анализ полученных данных позволяет определить эффективную среду для моделирования. [1].

Методика проведения эксперимента

Мультифизическая модель в контексте воздействия направленной контактной диатермии на биоткань объединяет описания физических явлений, происходящие при

применении данной терапии [3]. При создании модели биоткани необходимо учитывать свойства всех составляющих ее частей: кожи, жировой ткани, мышечной ткани, костной ткани. Это позволит наиболее точно описать процессы, происходящие в биоткани при применении TECAR-терапии. Для получения верных результатов исследования необходимо разработать методику моделирования направленной контактной диатермии. Для решения данных задач важным является определить наиболее подходящую среду моделирования.

Выбор эффективной среды моделирования объекта требует анализа распространенных в Беларуси и за рубежом систем на основе дискретно-событийного метода моделирования [3-5]. Выбор дискретно-событийного моделирования обусловлен возможностью точного описания принципов функционирования и поведения объекта исследования.

Система моделирования должна удовлетворять возможностям решения задач: создания модели биоткани; моделирования воздействия направленной контактной диатермии на биоткань; визуализации результатов исследования.

Система моделирования как программное обеспечение должна удовлетворять общим требованиям: доступности для некоммерческого использования, кросс-платформенности, возможности разработки отдельного приложения-модели [1]. Для достижения поставленной цели были рассмотрены программы MATLAB, Sim4Life, COMSOL Multiphysics.

MATLAB – это инструмент для анализа данных, моделирования и решения разнообразных задач в области математики, инженерии и других наук. MATLAB позволяет создавать и решать математические модели, описывающие физические и инженерные системы, есть возможность проводить симуляции и оптимизацию различных процессов. Программа предоставляет возможность построения двух- и трехмерных графиков, динамических анимаций, есть возможность визуализировать результаты исследований и анализов. MATLAB включает богатую библиотеку для обработки данных, линейной алгебры, преобразования Фурье и других математических функций, поддерживает объектно-ориентированное программирование[4].

Недостатками MATLAB являются необходимость изучения специального языка программирования MATLAB для работы с программой, также MATLAB позволяет создать математическую модель биоткани, однако, для более точного и специализированного моделирования биологических тканей, рекомендуется использовать специализированные инструменты мультифизического моделирования.

Sim4Life – это программное обеспечение для моделирования физиологии и анатомии человека. Оно предоставляет возможность создавать компьютерные модели, которые помогают изучать воздействие различных факторов на биоткань. Программа позволяет создавать динамические модели тканей, что важно для изучения физиологических процессов. Sim4Life можно использовать для моделирования воздействия различных факторов на биоткань, таких как электромагнитные поля, тепловое воздействие и другие [5].

Основным недостатком Sim4Life является отсутствие доступа к программе для некоммерческого использования в Беларуси.

COMSOL Multiphysics – это программное обеспечение для мультифизического моделирования. С его помощью можно моделировать реальные системы, устройства и процессы, учитывая различные физические взаимодействия. COMSOL Multiphysics позволяет моделировать полностью сопряженные и отдельные физические процессы. Возможно создавать математические модели, описывающие реальные явления. COMSOL предоставляет полный набор инструментов для моделирования - от геометрии до визуализации и анализа результатов. Программа позволяет создавать собственные приложения для моделирования с помощью Application Builder. COMSOL Multiphysics используется в различных областях, таких как электродинамика, механика, гидродинамика, теплопередача, химия и электрохимия. Преимуществом программы является ее наличие в Беларуси в свободном доступе для некоммерческого использования.

Недостатком COMSOL Multiphysics является сложность изучения программы.

Таблица 1. Сравнение сред моделирования

Характеристика	MATLAB	Sim4Life	COMSOL Multiphysics
Поддержка мультифизических задач	–	+	+
Интерфейс и удобство использования	+	+	+
Наличие библиотек и модулей	+	+	+
Область применения (широкая)	+	–	+
Стоимость и лицензирование (гибкие лицензии)	+	–	+

Результаты и их обсуждение

Наиболее подходящим вариантом для моделирования воздействия направленной контактной диатермии на биоткань является программа COMSOL Multiphysics. Преимущество данной среды моделирования заключается в том, что она содержит в себе весь необходимый функционал для решения мультифизических задач, включая моделирование и исследование метода направленной контактной диатермии. В сравнении с другими рассмотренными программами COMSOL Multiphysics наиболее точно отвечает поставленным запросам. Одним из важных факторов является то, что COMSOL Multiphysics находится в свободном доступе. COMSOL Multiphysics является наиболее мощным инструментом для мультифизических задач, но требует больше ресурсов и может быть дороже. MATLAB и Sim4Life имеют свои преимущества и недостатки, где MATLAB более универсален, а Sim4Life лучше подходит для специфических биомедицинских задач. Выбор программы будет зависеть от конкретных требований и бюджета пользователя.

Заключение

Рассмотрены три среды моделирования: MATLAB, Sim4Life, COMSOL Multiphysics. Определены основные достоинства и недостатки данных программ. В результате сравнительного анализа доступных сред моделирования, для моделирования воздействия направленной контактной диатермии на биоткань выбрана программа COMSOL Multiphysics.

Список литературы

1. Выбор среды имитационного моделирования информационно-управляющих сетей/ С. А. Даденков, Е. Л. Кон // ВЕСТНИК ПЕРМСКОГО УНИВЕРСИТЕТА – 2019. – Vol. 1, № 44
2. Плотников А.М., Рыжиков Ю.И., Соколов Б.В. Современное состояние и тенденции развития имитационного моделирования в Российской Федерации // Труды СПИИРАН. СПб.: ФГБУН СПИИРАН, 2013. № (25). С. 42-112.
3. Борщев, А.В. Применение имитационного моделирования в России – состояние на 2007 г. // Имитационное моделирование. Теория и практика: сб. докл. III Всерос. науч.-практ. конф. по имитационному моделированию и его применению в науке и промышленности ИММОД-2007. СПб.: ФГУП ЦНИИТС, 2007. Т. 1. С. 11-16.
4. Девятков В. В. Методология и технология имитационных исследований сложных систем: современное состояние и перспективы развития: моногр. М.: Вузовский учебник: ИНФРА-М., 2014. 448 с.
5. Щербаков, Д. О. Обзор цифровой платформы для моделирования Sim4Life // Электронные системы и технологии: сборник материалов 57-й научной конференции аспирантов, магистрантов и студентов БГУИР, Минск, 19-23 апреля 2021 г. / Белорусский государственный университет информатики и радиоэлектроники ; редкол.: Д. В. Лихаческий [и др.]. – Минск, 2021. – С. 286–288..

УДК 004.942:62 -9-027.45

ОПРЕДЕЛЕНИЕ ЭФФЕКТИВНОСТИ МОДЕЛЕЙ ПРОГНОЗИРОВАНИЯ НАДЁЖНОСТИ ПОЛУПРОВОДНИКОВЫХ ПРИБОРОВ МЕТОДОМ СТАТИСТИЧЕСКОГО ИМИТАЦИОННОГО МОДЕЛИРОВАНИЯ

И.В. РУСАК

Учреждение образования «Белорусский государственный университет информатики и радиоэлектроники, Республика Беларусь, г. Минск, ул. П.Бровки, 6

Аннотация. Рассмотрение применения статистического имитационного моделирования для исследования эффективности моделей прогнозирования надёжности полупроводниковых приборов для заданной наработки по результатам контроля информативных параметров полупроводниковых приборов в начальный момент времени. Особенностью исследуемых моделей прогнозирования является преобразование информативных параметров в дискретный двоичный или троичный код. Модели получены с помощью обработки данных обучающего эксперимента большого объёма, смоделированного на компьютере, а эффективность моделей определена путем их применения к экземплярам обучающей выборки, так и к экземплярам смоделированных контрольных выборок.

Ключевые слова: информативные параметры, преобразование в кодовые сигналы, класс надёжности полупроводниковых приборов, модели прогнозирования.

DETERMINING THE EFFICIENCY OF RELIABILITY PREDICTION MODELS FOR SEMICONDUCTOR DEVICES BY STATISTICAL SIMULATION MODELING

I.V. RUSAK

Educational institution "Belarusian State University of Informatics and Radioelectronics, Republic of Belarus, Minsk, P. Brovki st., 6

Abstract. Consideration of the application of statistical simulation modeling for studying the efficiency of models for predicting the reliability of semiconductor devices for a given service life based on the results of monitoring the informative parameters of semiconductor devices at the initial moment of time. A feature of the studied forecasting models is the transformation of informative parameters into a discrete binary or ternary code. The models were obtained by processing the data of a large-volume training experiment simulated on a computer, and the efficiency of the models was determined by applying them to both training sample instances and simulated control sample instances.

Keywords: informative parameters, conversion into code signals, reliability class of semiconductor devices, forecasting models.

Введение

Решение о надёжности полупроводниковых приборов при использовании информативных параметров, контролируемых в начальный момент времени, принимают в виде отнесения прогнозируемого изделия (конкретного используемого экземпляра) к одному из двух классов с точки зрения работоспособности (надёжности) этого экземпляра для заданной наработки (времени работы) t_n :

– K_1 – класс работоспособных экземпляров (экземпляров повышенного уровня надёжности);

– K_2 – класс неработоспособных экземпляров (потенциально ненадёжных экземпляров).

Практика показала, что использование одного информативного параметра может привести к значительным ошибкам прогнозирования в виде «перепутывания» по результатам индивидуального прогнозирования номера класса экземпляров, к которому они в действительности будут принадлежать на момент наработки t_n . Поэтому для прогнозирования используют несколько информативных параметров. Их число в основном выбирают в диапазоне $k = 2 \dots 5$. Совокупность

информативных параметров, измеренная в начальный момент времени у конкретного экземпляра (в последствии будем называть его j -м экземпляром) создаёт образ этого экземпляра. Задача индивидуального прогнозирования в этом случае состоит в том, чтобы правильно распознать образ, т.е. верно указать класс (K_1 или K_2), к которому для интересующей наработки t_n будет принадлежать экземпляр j . Поэтому методы индивидуального прогнозирования надёжности полупроводниковых приборов по их информативным параметрам известны также как методы «распознавания образов». Для выполнения индивидуального прогнозирования класса полупроводниковых приборов для заданной наработки t_n нужно располагать моделью прогнозирования. Её получают, используя предварительные экспериментальные исследования на надёжность некоторой выборки изделий интересующего типа. Эти исследования называют обучающим экспериментом.

$$\begin{aligned} j \in K_1, \text{ если } F_j[x_1^{(j)}, \dots, x_k^{(j)}] \geq P_0 \\ j \in K_2, \text{ если } F_j[x_1^{(j)}, \dots, x_k^{(j)}] < P_0, \end{aligned} \quad (1)$$

где символ j означает конкретный экземпляр; $F_j[\dots]$ – прогнозирующая функция, подсчитанная для j -го экземпляра; P_0 – порог разделения классов, выбираемый экспериментально из условия лучшего разделения на классы экземпляров обучающей выборки.

Полученную модель вида (1) применяют к однотипным экземплярам, не принимавшим участия в обучающем эксперименте. Известные методы прогнозирования, такие как метод статистических решений, метод потенциальных функций и некоторые другие являются сложными как для понимания, так и для автоматизации процедуры прогнозирования [1]. Известно, что непрерывные отчёты информативных параметров в полупроводниковых приборах в определенной степени содержат избыточное количество информации о классе работоспособности экземпляра для интересующей наработки t_n . С учётом этого представилось возможным перейти на двоичное представление информативных параметров. Используя принципы пороговой логики, модель прогнозирования можно получить в виде логической таблицы, показывающей какой комбинации двоичных сигналов соответствует тот или иной класс работоспособности полупроводниковых приборов.

Методика проведения эксперимента

Условия моделирования, указанные в таблице 1, получены с учётом экспериментальных данных реального обучающего эксперимента и подтверждения с использованием этих экспериментальных данных гипотез о распределении информативных параметров отдельно в каждом классе (K_1 и K_2) по трёхпараметрическому распределению Вейбулла. Условия моделирования информативных параметров биполярных транзисторов типа КТ872А представлены в таблице 1.

Таблица 1. Условия моделирования информативных параметров биполярных транзисторов типа КТ872А

Параметр распределения Вейбулла	Информативный параметр для экземпляров класса K_1			Информативный параметр для экземпляров класса K_2		
	$x_1 \rightarrow h_{21Э}$	$x_2 \rightarrow I_{КБ0}$	$x_3 \rightarrow U_{КЭнас}$	$x_1 \rightarrow h_{21Э}$	$x_2 \rightarrow I_{КБ0}$	$x_3 \rightarrow U_{КЭнас}$
a	0,963	0,0889	112,8	0,719	0,062	330,8
b	3,684	4,569	1,310	2,754	2,109	1,430
c	2,717	0,123	421,3	2,529	0,182	400,7

В качестве параметров информационных параметров использовались: $h_{21Э}$ – статический коэффициент передачи тока, $I_{КБ0}$ – обратный ток коллектора, $U_{КЭнас}$ – напряжение насыщения коллектор-эмиттер. Параметры a и c распределения Вейбулла являются размерными. В данном случае размерность: для $I_{КБ0}$ – мкА, для $U_{КЭнас}$ – мВ. По экспериментальным данным транзисторов КП744А получены параметры a , b и c распределения в классах работоспособности K_1 и K_2 для трёх используемых информативных параметров и с учётом этого выбраны условия их моделирования в обучающем эксперименте для экземпляров обучающей выборки (5000 экземпляров) и экземпляров четырёх контрольных выборок объёмом 5000 каждая. В качестве примера в таблице 2 приведены условия моделирования для этого типа транзисторов. В качестве размерностей параметров a и c : для $U_{ЗИ.пор}$ – В, для $C_{3С}$ и $C_{3И}$ – пФ.

Таблица 2. Условия моделирования информативных параметров

Параметр распределения Вейбулла	Информативный параметр для экземпляров класса K_1			Информативный параметр для экземпляров класса K_2		
	$x_1 \rightarrow U_{ЗИ.пор}$	$x_2 \rightarrow C_{3С}$	$x_3 \rightarrow C_{3И}$	$x_1 \rightarrow U_{ЗИ.пор}$	$x_2 \rightarrow C_{3С}$	$x_3 \rightarrow C_{3И}$
a	0,45	25,32	3,96	0,60	37,11	16,88
b	2,48	2,54	0,70	2,88	2,95	0,81
c	2,61	750,8	454,0	2,15	762,1	447

Используя экспериментальные данные обучающих экспериментов на примере биполярных транзисторов большой мощности типа КТ872А и полевых транзисторов большой мощности типа КП744А были исследованы вероятностные свойства информативных параметров. Установлено, что для используемых информативных параметров этих ИЭТ подтверждается гипотеза о трёхпараметрическом распределении Вейбулла, согласно которому плотность распределения информативного параметра (обозначен через x) имеет вид модели (2), в которой $a > 0$ – параметр масштаба, $b > 0$ – параметр формы, c – параметр сдвига, $x > c$:

$$f(x, a, b, c) = \begin{cases} \frac{b}{a} \left(\frac{x-c}{a} \right)^{b-1} \exp \left[- \left(\frac{x-c}{a} \right)^b \right] & \text{для } x > c \\ 0 & \text{для } x \leq c, \end{cases} \quad (2)$$

Количество экземпляров класса надёжных (K_1) и потенциально ненадёжных (K_2) ИЭТ принято: $n_1 = 3000$, $n_2 = 2000$.

Моделирование информативных параметров полевых транзисторов КП744А, отвечающих обучающей и контрольным выборкам, выполнялось по следующему вычислительному алгоритму (3):

$$x = c + a[-\ln(1-r)]^{1/b}. \quad (3)$$

Результаты обучающего эксперимента, смоделированного на компьютере, были использованы для получения моделей прогнозирования для случаев преобразование информативных параметров как в двоичные (1 и 0), так и троичные (1, 0, R) кодовые сигналы. Полученные модели прогнозирования были применены для прогнозирования к экземплярам обучающей выборки (5000 экземпляров) и к четырём контрольным выборкам, каждая объёмом по 5000 экземпляров. Причём действительный класс экземпляров контрольных выборок был известен до процедуры применения моделей прогнозирования [2]. На этапе индивидуального прогнозирования путём сравнения прогнозного класса экземпляра с действительным классом определена вероятность принятия правильных прогнозов $P_{прав}$ в предположении применения для прогнозирования моделей, основанных на использовании прогнозирующих функций в случае преобразования информативных параметров в двоичные кодовые сигналы и при преобразовании информативных параметров в троичные кодовые сигналы [3]. В таблице 3 приведены значения вероятностей $P_{прав}$, полученные для обучающей выборки и усреднённые значения $P_{прав}$ по результатам применения исследуемых моделей к четырём контрольным выборкам.

Таблица 3 Эффективность моделей прогнозирования, полученная применением моделей прогнозирования к обучающей и контрольным выборкам

Описание прогнозирующей функции $F^{(i)}$	Значение порога разделения классов	Вероятность правильных прогнозов класса работоспособности	
		обучающая выборка	контрольная выборка
Преобразование информативных параметров в двоичные кодовые сигналы			
Базовый метод, использование близости к классу K_1	1,704	0,8818	0,8803
Разность показателей близости к классам K_1 и K_2	0	0,8818	0,8803
Отношение показателей близости к классу K_1 и K_2	0	0,8818	0,8803
Использование частной информации о классах K_1 и K_2	0 бит	0,8818	0,8809
Преобразование информативных параметров в троичные кодовые сигналы			
Аналог базового МПЛ с использованием кодов 1, 0, R	1,428	0,9246	0,9151
Разность показателей близости к классам K_1 и K_2	0	0,9162	0,9108
Отношение показателей близости к классам K_1 и K_2	0	0,9162	0,9108
Использование частной информации о классах K_1 и K_2	0 бит	0,9246	0,9151
Метод статистических решений			
Гипотеза о нормальном распределении информативных параметров в классах K_1 и K_2	0	0,9132	0,9116
Гипотеза о распределении информативных параметров в классах K_1 и K_2 по закону Вейбулла	0	0,9136	0,9062

Результаты и их обсуждение

Анализ результатов, полученных с использованием реального обучающего эксперимента и обучающего эксперимента, выполненного методом имитационного статистического моделирования на компьютере, позволил сделать следующие выводы:

1. В общем случае модели прогнозирования, основанные на преобразовании информативных параметров в троичные кодовые сигналы, обеспечивают лучшие результаты прогнозирования, нежели модели на основе преобразования информативных параметров в двоичные кодовые сигналы.

2. Модели прогнозирования, использующие частную информацию о классе K_1 и классе K_2 , содержащуюся в сообщениях о получении путём преобразования набора кодовых сигналов, в рамках своего вида преобразования информативных параметров (двоичное или троичное) обеспечивают меньшие ошибки прогнозирования класса работоспособности ИЭТ и при этом отпадает необходимость в определении порога разделения классов.

3. В случае преобразования информативных параметров в двоичные кодовые сигналы модель, использующая учёт энтропии классов K_1 и K_2 , не позволяет получить наименьшие ошибки прогнозирования из-за неучёта корреляции информативных параметров при

определении условной энтропии класса экземпляра с учётом полученного набора двоичных кодовых сигналов [4].

4. Модели прогнозирования, основанные на преобразовании информативных параметров в кодовые сигналы (двоичные или троичные) можно представить в виде простых логических таблиц, с помощью которых можно сразу сделать прогноз класса работоспособности для заданной наработки рассматриваемого (прогнозируемого) экземпляра.

5. Методом имитационного статистического моделирования на ПЭВМ обучающих экспериментах также установлено: предлагаемые модели прогнозирования, использующие преобразование информативных параметров в двоичные кодовые сигналы по эффективности (вероятности принятия правильных решений) незначительно уступают методу статистических решений. Также в случае преобразования информативных параметров в троичные кодовые сигналы модель, основанная на использовании частной информации о классе K_1 и классе K_2 , содержащейся в получаемом наборе троичных кодовых сигналов на примере исследуемых типов транзисторов обеспечила лучшие результаты прогнозирования, нежели метод статистических решений в предположении нормальных законов распределения информативных параметров отдельно в классах K_1 и K_2 .

Заключение

Как следует из результатов, проведенных в таблице 3, модели прогнозирования, использующие суммарное значение частной информации о классе K_1 и классе K_2 , получаемой от набора двоичных (1 или 0) и троичных (1, 0 или R), в рамках своего вида преобразования информативных параметров обеспечивают большее значение вероятности принятия решений, то есть меньшие ошибки прогнозирования класса работоспособности полупроводниковых приборов, нежели другие модели. С использованием результатов индивидуального прогнозирования, полученным при рассмотрении обучающей и контрольных выборок установлено, что модель прогнозирования, использующая суммарное значение частной информации о классе K_1 и классе K_2 , в случае троичного преобразования на 10...20% меньше, нежели аналогичная модель в случае преобразования информативных параметров. Поэтому эта модель рекомендуется для использования при решении практических задач индивидуального прогнозирования класса работоспособности полупроводниковых приборов.

Список литературы

1. Боровиков С.М., Казючиц В.О., Шнейдеров Е.Н. Выбор информативных параметров для прогнозирования индивидуальной надежности полупроводниковых приборов. Технические средства защиты информации : тезисы докладов XIX Белорусско-российской научно -технической конференции, Минск, 8 июня 2021 г.
2. Шнейдеров Е. Н., Бурак И. А., Боровиков С. М., Гришель, Р. П. Получение практических навыков по методам прогнозирования надёжности изделий электронной техники: Высшее техническое образование: проблемы и пути развития: материалы VII Международной научно-методической конференции.
3. Боровиков С. М., Шнейдеров Е. Н., Журов П. А., Бруй А. А. Модели прогнозирования эксплуатационной безотказности электрических и электромеханических компонентов электронных устройств: Технические средства защиты информации : тезисы докладов XVIII Белорусско-российской научно-технической конференции, Браслав.
4. Боровиков С. М., Бересневич А. И., Шалак А. В., Шнейдеров Е. Н. Оценка ошибок прогнозирования параметрической надёжности изделий электронной техники: Технические средства защиты информации : тезисы докладов XVIII Белорусско-российской научно-технической конференции, Браслав.

УДК 621.314.211 : 621.3.019.3

НОВЫЙ ПОДХОД К ОЦЕНКЕ ЭКСПЛУАТАЦИОННОЙ НАДЁЖНОСТИ ТРАНСФОРМАТОРОВ ВТОРИЧНЫХ ИСТОЧНИКОВ ПИТАНИЯ МЕДИЦИНСКОЙ АППАРАТУРЫ

С.М. БОРОВИКОВ, Е.Д. ГРИШЕЧКИН

Учреждение образования «Белорусский государственный университет информатики и радиоэлектроники», г. Минск, Республика Беларусь

Аннотация. Рассматривается новый подход к оценке эксплуатационной надёжности трансформаторов вторичных источников питания для медицинской аппаратуры. Отличительной особенностью подхода является выделение в конструкции трансформатора составных частей, влияющих на безотказную работу трансформатора в составе электронной аппаратуры медицинского назначения и последующий учёт надёжности этих частей, принимая во внимание их количественные характеристики, например число обмоток, длину и диаметр провода каждой обмотки, количество внешних контактных соединений. В качестве основной конструктивной части трансформатора, влияющей на его надёжность, следует рассматривать и магнитопровод (сердечник), материал которого определяет потери электрической энергии и дополнительный температурный нагрев трансформатора при его работе. Оценка прогнозного показателя безотказности трансформатора в целом может быть дана путём учёта надёжности его составных частей. Гипотетически указанный подход обеспечит получение более достоверных показателей эксплуатационной надёжности трансформатора при его работе в составе электронного медицинского устройства, а при использовании электронного устройства по функциональному назначению позволит правильно оценить риски и опасности для пациентов и медицинского персонала в случае отказа электронной аппаратуры медицинского назначения по вине трансформаторов вторичных источников питания.

Ключевые слова: медицинская аппаратура, вторичные источники питания, трансформаторы, эксплуатационная надёжность, модель прогнозирования, интенсивность отказов.

A NEW APPROACH TO ASSESSING THE OPERATIONAL RELIABILITY OF TRANSFORMERS OF SECONDARY POWER SOURCES OF MEDICAL EQUIPMENT

SERGEI M. BOROVIKOV, EGOR D. GRIESHECHKIN

Belarusian State University of Informatics and Radioelectronics, Minsk, Belarus

Abstract. A new approach to assessing the operational reliability of secondary power supply transformers for medical equipment is considered. A distinctive feature of the approach is the allocation of component parts in the transformer design that affect the failure-free operation of the transformer as part of medical electronic equipment and the subsequent consideration of the reliability of these parts, taking into account their quantitative characteristics, such as the number of windings, the length and diameter of the wire of each winding, the number of external contact connections. The main structural part of the transformer that affects its reliability should also be considered the magnetic circuit (core), the material of which determines the loss of electrical energy and additional temperature heating of the transformer during its operation. An assessment of the predicted failure-free performance of the transformer as a whole can be given by taking into account the reliability of its components. Hypothetically, the indicated approach will provide more reliable indicators of the operational reliability of the transformer when it is used as part of an electronic medical device, and when using the electronic device for its functional purpose, it will allow for a correct assessment of the risks and dangers for patients and medical personnel in the event of failure of electronic medical equipment due to the fault of transformers of secondary power sources.

Keywords: medical equipment, secondary power supplies, reliability, transformers, operational reliability, prediction model, failure rate.

Введение

Современная медицинская аппаратура предъявляет высокие требования к надежности элементов и комплектующих изделий, входящих в состав электронных устройств этой аппаратуры. Отказы и сбои в работе электронных устройств могут повлиять на здоровье и создать опасность для пациентов и медицинского персонала. От вторичных источников питания зависит обеспечение стабильной и безопасной работы медицинской аппаратуры, включая оборудование жизнеобеспечения, диагностические приборы и устройства мониторинга состояния пациентов. Во многих случаях надёжность электронных устройств медицинского назначения зависит от того, насколько надёжны их вторичные источники питания.

Типичными структурными схемами источников питания, получающих энергию от промышленной сети с частотой 50 Гц, являются следующие:

1. Источник питания без преобразователя частоты. Такие источники питания ранее широко использовались в бытовой электронике, однако в последнее время вместо них все чаще используют источники с преобразованием частоты. Причиной является то, что в источниках без преобразования частоты вес и габариты трансформатора, работающего на частоте 50 Гц, а также сглаживающего фильтра оказываются довольно большими. Тем не менее, эти источники питания используются в настоящее время в медицинском оборудовании, поскольку в нём габаритные и весовые характеристики важны, но в ряде случаев не являются определяющими. Согласно ГОСТ Р МЭК 60601-1-2022, любое медицинское устройство должно содержать как минимум одно средство защиты, гарантирующее защиту от поражения электрическим током пациента и медицинского работника, взаимодействующих с данным устройством, даже в случае возникновения отказа устройства. Одним из таких методов защиты является изоляция, а трансформаторы используются в роли гальванической развязки.

2. Источники питания с преобразованием частоты. В этих источниках напряжение от промышленной сети электропитания подается непосредственно на выпрямитель. На выходе сглаживающего фильтра создается постоянное напряжение, которое вновь преобразуется в переменное с помощью так называемого инвертора. Полученное переменное напряжение имеет частоту, значительно превышающую 50 Гц (обычно используют частоты в десятки килогерц). Затем напряжение передается через трансформатор, выпрямляется и фильтруется. Так как трансформатор в этой схеме работает на повышенной частоте, то его вес и габариты, а также вес и габариты сглаживающего фильтра оказываются значительно меньшими, нежели в источниках питания без преобразователя частоты. Использование источников питания с преобразованием частоты в медицинской аппаратуре позволяет повысить эффективность работы и улучшить тепловой режим работы. Как и в предыдущей схеме, основная роль трансформатора состоит в гальванической развязке электрической сети и нагрузки, что является определяющим фактором в безопасной эксплуатации медицинской аппаратуры.

Актуальность нового подхода к прогнозной оценке надёжности трансформаторов

В отечественной и мировой практике для прогнозирования эксплуатационной надёжности трансформаторов источников электропитания электронного оборудования используют модель вида [1–4]

$$\lambda_3 = \lambda_B \prod_{i=1}^m K_i, \quad (1)$$

где λ_3 – эксплуатационная интенсивность отказов трансформатора, соответствующая условиям его применения в составе электронной аппаратуры; λ_B – базовая (усреднённая) интенсивность отказов, характерная для трансформаторов электропитания электронного оборудования; K_i – поправочные коэффициенты, учитывающие изменения эксплуатационной интенсивности отказов в зависимости от различных факторов; m – число учитываемых факторов.

Согласно например [1], для трансформаторов источников питания в качестве λ_B необходимо использовать значение $\lambda_B = 0,0035 \times 10^{-6}$ 1/ч независимо от вида и размеров

трансформатора, типа магнитопровода, числа обмоток и диаметра используемых проводов, количества внешних контактов и других конструкторско-технологических параметров (рис. 1).



Рис. 1. Различные конструктивные исполнения трансформаторов источников питания

В трансформаторах электропитания медицинской аппаратуры используются дополнительные обмотки для обеспечения изоляции и защиты, что ещё больше усложняет конструкцию трансформаторов и вносит определённый вклад в их эксплуатационную ненадежность. Использование одного числового значения λ_B для всего многообразия трансформаторов вторичных источников питания (см. рис. 1) без учёта их конструкторско-технологических параметров вызывает дополнительные погрешности в дальнейшей прогнозной оценке по модели (1) интересующего показателя безотказности λ_3 . Поэтому актуальным является получение для оценки эксплуатационной надёжности трансформаторов электропитания такой модели, которая принимала бы во внимание конструктивные части трансформатора, их количество и особенности с точки зрения обеспечения безотказной работы в конкретных эксплуатационных условиях. Такой подход позволит получить более достоверное значение эксплуатационной надёжности трансформатора конкретной конструкции.

Предлагаемый подход к оценке эксплуатационной надёжности трансформаторов

Для трансформаторов источников питания, как сложных изделий, суммарный поток отказов которых складывается из независимых потоков отказов составных конструктивных частей, в частности магнитопровода, обмоток с учётом их числа и диаметра используемых проводов, внешних контактных выводов и др., предлагается использовать модель прогнозирования эксплуатационной интенсивности отказов λ_3 (как показателя безотказности трансформатора в целом) в виде

$$\lambda_3 = \lambda_{B1} \prod_{i=1}^{m_1} K_i^{(1)} + \dots + \lambda_{Bn} \prod_{i=1}^{m_n} K_i^{(n)}, \quad (2)$$

где λ_{Bj} – исходная (базовая, усреднённая) интенсивность отказов j -й конструктивной части трансформатора, $j = 1, \dots, n$; n – количество выделенных составных конструктивных частей трансформатора, влияющих на его надёжность; $K_i^{(j)}$ – поправочный коэффициент, учитывающий влияние i -го фактора для j -й конструктивной части трансформатора; $i = 1, \dots, m_j$; $j = 1, \dots, n$; m_j – количество факторов, учитываемых для i -й части трансформатора.

Модель (2) принимает во внимание тот факт, что разные конструктивные части трансформатора могут иметь разные значения поправочных коэффициентов, учитывающих влияние одного и того же фактора, например уровня качества изготовления частей трансформатора в условиях производства.

С начальным вариантом модели, основанной на использовании выражении (2), можно ознакомиться в работе [5]. Модель была включена в методику выполнения инженерных расчётов надёжности комплектующих изделий и электронных устройств для ИТ-системы, предназначенной для автоматизированного расчёта и обеспечения надёжности электронных устройств, известной под названием система АРИОН [5]. Модель

предназначена для прогнозирования эксплуатационной надёжности трансформаторов электропитания электронной аппаратуры, в том числе медицинского назначения. Дальнейшие исследования авторов доклада направлены на усовершенствование модели с учётом многообразия материалов, используемых в качестве магнитопровода трансформаторов электропитания, конструктивных их особенностей.

Заключение

Предлагаемый подход к оценке эксплуатационной надёжности трансформаторов электропитания позволит разработать модели прогнозирования, обеспечивающие более достоверные показатели эксплуатационной надёжности трансформаторов вторичных источников питания электронных медицинских устройств, что при использовании электронной аппаратуры в медицинской практике даст возможность более правильно учитывать риски и опасности в случаях отказов аппаратуры по вине трансформаторов вторичных источников питания.

Список литературы

1. Прытков С.Ф., Горбачева В.М., Мартынова М.Н., Петров Г.А. Надёжность электрорадиоизделий, 2006: справочник. Москва: ФГУП «22 ЦНИИИ МО РФ»; 2008.
2. Боровиков С.М., Цырельчук И.Н., Троян Ф.Д. Расчёт показателей надёжности радиоэлектронных средств; под ред. С.М. Боровикова. Минск: БГУИР; 2010.
3. Reliability prediction of electronic equipment: Military Handbook MIL-HDBK-217F. Washington: Department of defense DC 20301; 1995.
4. A universal model for reliability prediction of Electronics components, PCBs and equipment. RDF 2000: reliability data handbook. Paris: UTE C 80-810; 2000.
5. Боровиков С.М., Шнейдеров Е.Н., Матюшков В.Е., И.Н Цырельчук. Разработка методики прогнозирования надёжности электронных устройств для системы АРИОН. Доклады БГУИР. 2011; 4 (58): С. 93-100.

УДК 004.934: 004.588

ВИЗУАЛЬНОЕ РАСПОЗНАНИЕ РЕЧИ

Д.А. МАКАР

Белорусский государственный университет информатики и радиоэлектроники (г. Минск, Беларусь)

Аннотация. С развитием технологий автоматического распознавания речи, развивается интеграция визуальных компонентов коммуникации. В данной работе представлен принцип построения программного обеспечения, направленного на создание системы визуального распознавания жестикуляции и артикуляции речевого аппарата. Исследование предполагает применение машинного обучения для анализа произносимых слов, основанное на методах компьютерного зрения, включая систему захвата данных, обработки и интеграции, а также воспроизведение речи с применением технологий синтеза.

Ключевые слова: визуальное распознавание речи, автоматическое распознавание речи, машинное обучение, нейронные сети, синтез речи.

VISUAL SPEECH RECOGNITION

D.A. MAKAR

Belarusian State University of Informatics and Radioelectronics (Minsk, Belarus)

Abstract. With the development of automatic speech recognition technologies, the integration of visual components in communication is also evolving. This paper presents the principles for developing software aimed at creating a system for visually recognizing gestures and the articulation of the speech apparatus. The study involves the application of machine learning for analyzing spoken words, based on computer vision methods, including data capture, processing, and integration systems, as well as speech reproduction using synthesis technologies.

Keywords: visual speech recognition, automatic speech recognition, machine learning, neural networks, speech synthesis.

Введение

С развитием технологий автоматического распознавания речи (ASR), развивается интеграция визуальных компонентов коммуникации.

Цель программного обеспечения – создание системы, которая будет учитывать только визуальные компоненты.

Задачи:

1. Исследование артикуляции и жестикуляции речевого аппарата и интеграция в процесс распознавания;
2. Разработка модуля для захвата и анализа мимики и микромимики;
3. Реализация алгоритмов для восприятия и воспроизведения речи на основе визуальных данных.

Методика

Для системы захвата данных, необходимо использовать камеры для визуального распознавания речи. Данная система сочетает в себе элементы компьютерного зрения и обработку языка.

Принцип архитектуры:

Камеры для захвата данных (лица и артикуляции), для получения 3D-данных о мимике и микромимике (например, Microsoft Kinect). Камеры устанавливаются таким образом чтобы обеспечить полноту фиксации изображения (крупный план лица) для максимального распознавания мимики и движения губ. Система непрерывно или по запросу считывает при определенных триггерах (например, при обнаружении движения губ).

Для обработки визуальных данных потребуется компьютерное зрение, а для анализа движения лица такие библиотеки, как OpenCV и Mediapipe, что поможет извлечь ключевые точки на лице [1,2]. Пример принципа работы Mediapipe на рис 1. Благодаря алгоритмам

компьютерного зрения (например, Haar Cascades или HOG), система определяет и отслеживает лицо на видео или в режиме реального времени.

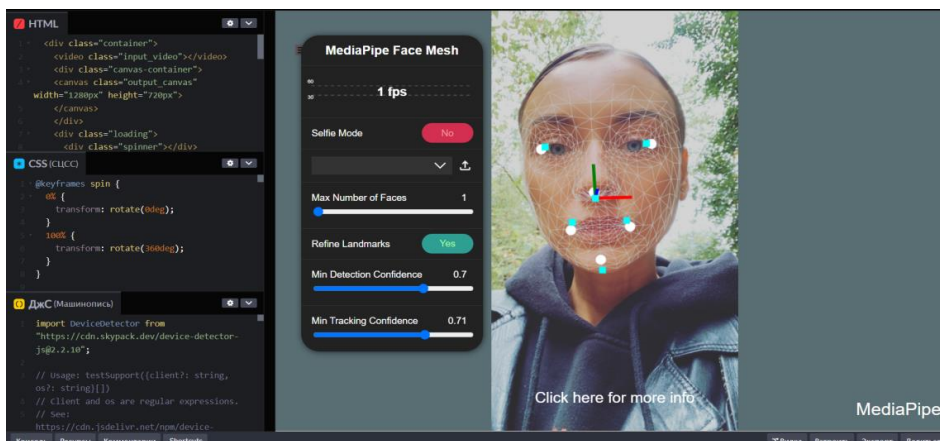


Рис. 1. Пример принципа работы Mediarpipe

Используя методы обработки изображений, система сосредотачивается на области рта и анализирует движение губ. Для фильтрации применимы выделение контуров и использование машинного обучения для классификации звуков по движению губ.

Модели машинного обучения: обучение нейросети (например, CNN и RNN), для анализа временных рядов и выявления взаимосвязи произносимых слов [3].

Моделирование артикуляции: создание модели для предоставления движения артикуляторов (языка, губ).

Реализация модуля воспроизведения речи: технологии синтеза речи (text-to-speech, TTS), для генерации звуковой дорожки, стогованной с полученными визуальными данными.

Языки программирования: Python – для прототипа и Deep Learning, C++ – для высокопроизводительных вычислений в реальном времени.

Библиотека и фреймворки: TensorFlow или PyTorch – для моделирования нейросети, OpenCV – для обработки изображений и MediaPipe – для захвата ключевых точек.

Интерфейс: Flask или Django – для взаимодействия пользователя с системой.

Визуальные паттерны звуковых сигналов сопоставляются с текстом. Для повышения уровня точности, можно использовать аудиозапись параллельно с видеопотоком, что позволит алгоритмам учитывать и визуальные, и звуковые данные.

Результат

Визуальное распознавание речи, основанное на артикуляции и жестикуляции речевого аппарата, представляет собой многообещающую область – это сложная задача, требующая междисциплинарного подхода. Успешная реализация возможна при наличии качественных данных для обучения, а также подходящих алгоритмов обработки изображения и языка.

Заключение

Применение данного метода многогранно и не ограничивается областью людей с частичной или полноценной потерей речи, для более адаптивной коммуникации в социуме, но и в системе государственной безопасности, профессиональной деятельности и иной сфере.

Список литературы

1. Менау Геворгян, OpenCV 4 с Python Blueprints: творческие проекты компьютерного зрения Bluid с последней версией OpenCV и Python 3, 2-е издание / Мю Геворгян, А. Мамиконян, М. Бейлер // Packt Publishing Ltd, 2020.
2. Фреймворк MediaPipe [Электронный ресурс] // Google AI for Developers. Режим доступа: <https://ai.google.dev/edge/mediapipe/framework>. Дата обращения: 05.11.2024.
3. Мишель А. Нильсен, Нейронные сети и глубокое обучение / М.А. Нильсен // Determination Press, 2015.

УДК 616–073.75 : 611.714

АНАТОМИЧЕСКИЕ ОСОБЕННОСТИ ВИСОЧНО-НИЖНЕЧЕЛЮСТНОГО СУСТАВА ПО ДАННЫМ КОНУСНО-ЛУЧЕВОЙ КОМПЬЮТЕРНОЙ ТОМОГРАФИИ

Д.Г. ГРУЗИНСКАЯ, И.В. САМУЙЛОВ

*Белорусский государственный университет информатики и радиоэлектроники
(г. Минск, Республика Беларусь)*

Аннотация. Было проведено исследование анатомических особенностей височно-нижнечелюстного сустава при помощи конусно-лучевой компьютерной томографии. Разработан алгоритм съема и анализа данных: суставных щелей (передней, верхней и задней), разности в высоте мыщелков, минимальной плотности мыщелков. Установлены корреляционные зависимости в среде *Matlab*.

Ключевые слова: конусно-лучевая компьютерная томография, височно-нижнечелюстной сустав, алгоритм, суставная щель, мыщелок.

ANATOMICAL FEATURES OF THE TEMPOROMANDIBULAR JOINT ACCORDING TO CONE-BEAM COMPUTED TOMOGRAPHY DATA

DARYA G. GRUZINSKAYA, IVAN V. SAMYILOV

Belarusian State University of Informatics and Radioelectronics (Minsk, Republic of Belarus)

Abstract. The anatomical features of the temporomandibular joint were studied using cone beam computed tomography. We developed an algorithm for capturing and analyzing data: articular slits (anterior, superior and posterior). Established correlations in *Matlab*.

Keywords: cone-beam computed tomography, temporomandibular joint, algorithm, articular gap, condyle.

Введение

Височно-нижнечелюстной сустав имеет сложное строение, и поэтому традиционные методы визуализации, такие как рентген, часто не позволяют получить полное представление о его анатомических особенностях и функциях. Конусно-лучевая компьютерная томография (КЛКТ) предоставляет более точные данные для диагностики, помогая выявить характер и точное расположение патологий, что имеет ключевое значение для подбора оптимального метода лечения. С использованием конусно-лучевой компьютерной томографии изображение получается за счет вращения вокруг неподвижной головы пациента С-образной платформы, к которой прикреплены источник рентгеновского излучения и детектор [1].

Основная часть

Височно-нижнечелюстной сустав – это синовиальный сустав шарнирного типа, соединяющий нижнюю челюсть с остальными частями черепа. Образован головкой нижнечелюстной кости и нижнечелюстной ямкой [2].

Между двумя суставными поверхностями височно-нижнечелюстного сустава проходит суставной диск, делящий сустав на две части со своей синовиальной оболочкой. Диск сочленяется с нижнечелюстной ямкой височной кости сверху и мыщелком нижней челюсти внизу (рис. 1) [3].

Данный сустав обеспечивает плавные и эффективные движения, включая открывание и закрывание рта, смещение нижней челюсти вперед и назад, а также боковые движения во время жевания. Благодаря парной конструкции обеспечивается равномерное движение обеих сторон

челюсти одновременно и одинаково. За счёт правильной работы сустава обеспечивается осуществление таких процессов, как жевание, речь и общая подвижность нижней челюсти [4].

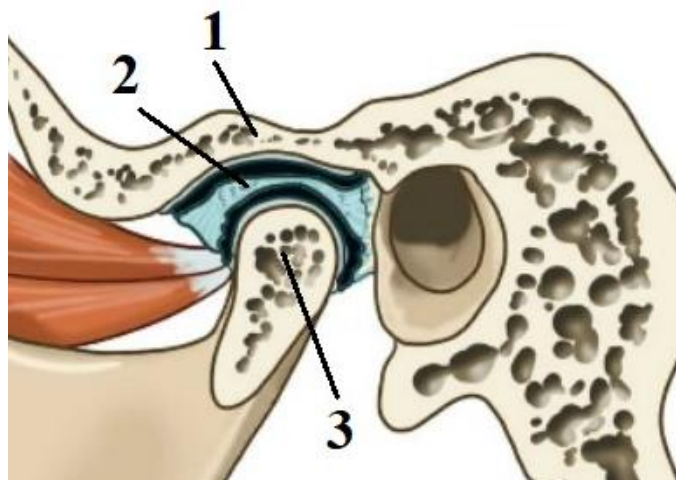


Рис. 1. Височно-нижнечелюстной сустав в сагиттальной плоскости: 1 – нижнечелюстная ямка; 2 – суставной диск; 3 – мыщелок

Для проведения анализа результатов исследования ВНЧС была создана база данных исследуемой группы в составе 28 человек. Критерием включения пациента в выборку являлось сомкнутое положение челюстей в привычном прикусе и отсутствие каппы.

Методика проведения эксперимента

Исследования проводились в программе *Galileos Viewer*, которая предоставляет пользователю возможность просматривать и анализировать трехмерные изображения, полученные из отсканированных фрезерно-томографических карт, используемых в дентальной имплантологии и ортодонтии [5].

Алгоритм исследования расстояний суставных щелей:

1. Выставить на фронтальной (рис. 2, а) и сагиттальной (рис. 2, б) плоскостях оси симметрии по крайним точкам мыщелка.
2. Путем пролистывания срезов выбирается тот, на котором крайние точки мыщелка и сустава максимально сопоставлены.
3. Провести прямые под углом 45° к пересечению осей и измерить переднюю и заднюю суставные щели вдоль этих прямых, верхнюю – параллельно оси ординат (рис. 2, в).

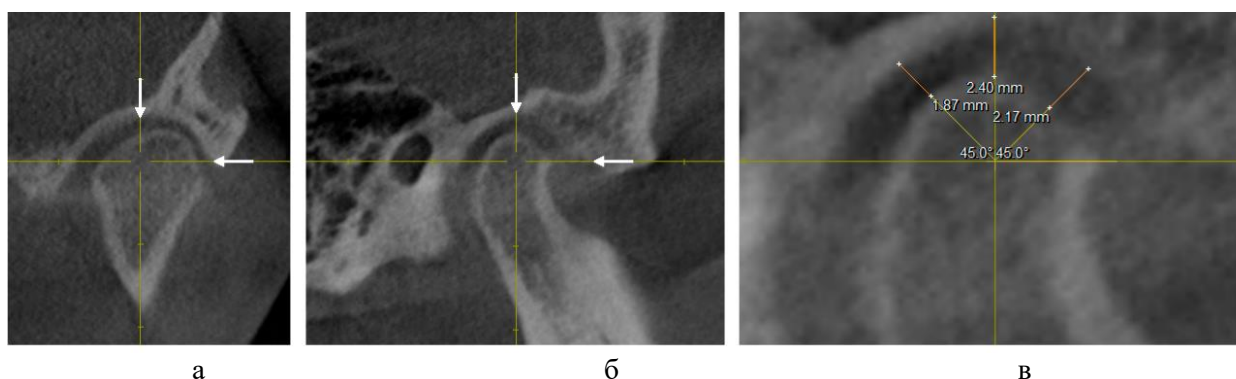


Рис. 2. Суставные щели ВНЧС: а – выставленные оси на фронтальной плоскости; б – выставленные оси на сагиттальной плоскости; в – измерение суставных щелей ВНЧС на сагиттальной плоскости

4. Необходимо установить ось абсцисс по верхней точке нижнего мыщелка. Провести отрезок под углом 90° к оси абсцисс от верхней точки верхнего мыщелка. Таким образом, определяем разницу в высоте мыщелков во фронтальной плоскости по центральной оси

(рис. 3). При переносе значений в базу данных необходимо учесть: отрицательное значение подразумевает, что выше левый мыщелок, а положительное – правый.

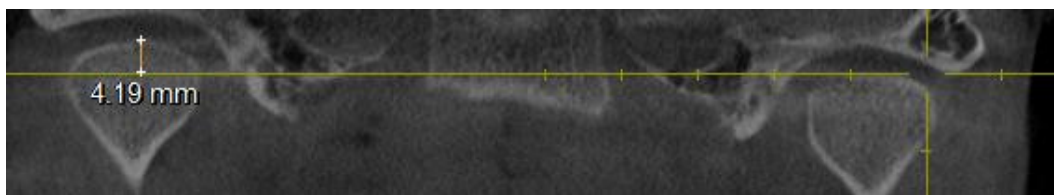


Рис. 3. Разница в высоте мыщелков

5. Переходим на сагитальную плоскость и смотрим полутоновые значения по поверхности мыщелка: верхняя полусфера суставной головки. По контуру кортикального слоя определяем минимальное (рис. 4, а) и максимальное (рис. 4, б) значение плотности костной ткани.

6. Повторить все пункты для левого (анатомически) мыщелка (на изображении справа).



Рис. 4. Определение полутоновых значений костной ткани суставной головки: а – минимальная плотность; б – максимальная плотность

Результаты и их обсуждение

Обработка полученных данных и установление корреляционных зависимостей проводилась в среде *Matlab*. Зависимость размеров передней суставной щели от задней левого и правого суставов представлена на рис. 5, а. Наблюдается ярко выраженная асимметрия распределения. Диапазон изменения для передней и задней суставных щелей правого и левого суставов приблизительно одинаковый. Передняя суставная щель правого и левого суставов изменяется от 1,06 мм до 4,99 мм. Задняя суставная щель правого и левого суставов изменяется от 1,32 мм до 4,42 мм. Коэффициент корреляции составил $r = 0,25$, что говорит об очень слабой связи передней суставной щели от задней правого и левого суставов.

Рассмотрим график зависимости задней суставной щели от верхней правого и левого суставов (рис. 5, б). Наблюдается асимметрия распределения. Диапазон изменения для задней и верхней суставных щелей правого и левого суставов приблизительно одинаковый. Задняя суставная щель правого и левого суставов изменяется от 1,32 мм до 4,42 мм. Верхняя суставная щель правого и левого суставов изменяется от 1,31 мм до 4,84 мм. Коэффициент корреляции составил $r = 0,61$, что говорит о наличии средней связи задней суставной щели от верхней правого и левого суставов.

Рассмотрим график зависимости передней суставной щели от верхней правого и левого суставов (рис. 5, в). Наблюдается симметрия распределения. Диапазон изменения для передней и верхней суставных щелей правого и левого суставов приблизительно одинаковый. Передняя суставная щель правого и левого суставов изменяется от 1,06 мм до 4,99 мм. Верхняя суставная

щель правого и левого суставов изменяется от 1,31 мм до 4,84 мм. Коэффициент корреляции составил $r = 0,22$, что говорит об очень слабой связи передней суставной щели от верхней правого и левого суставов. Анализ данных показывает, что значимая корреляция наблюдается только между значениями задней суставной щели и верхней правого и левого суставов.

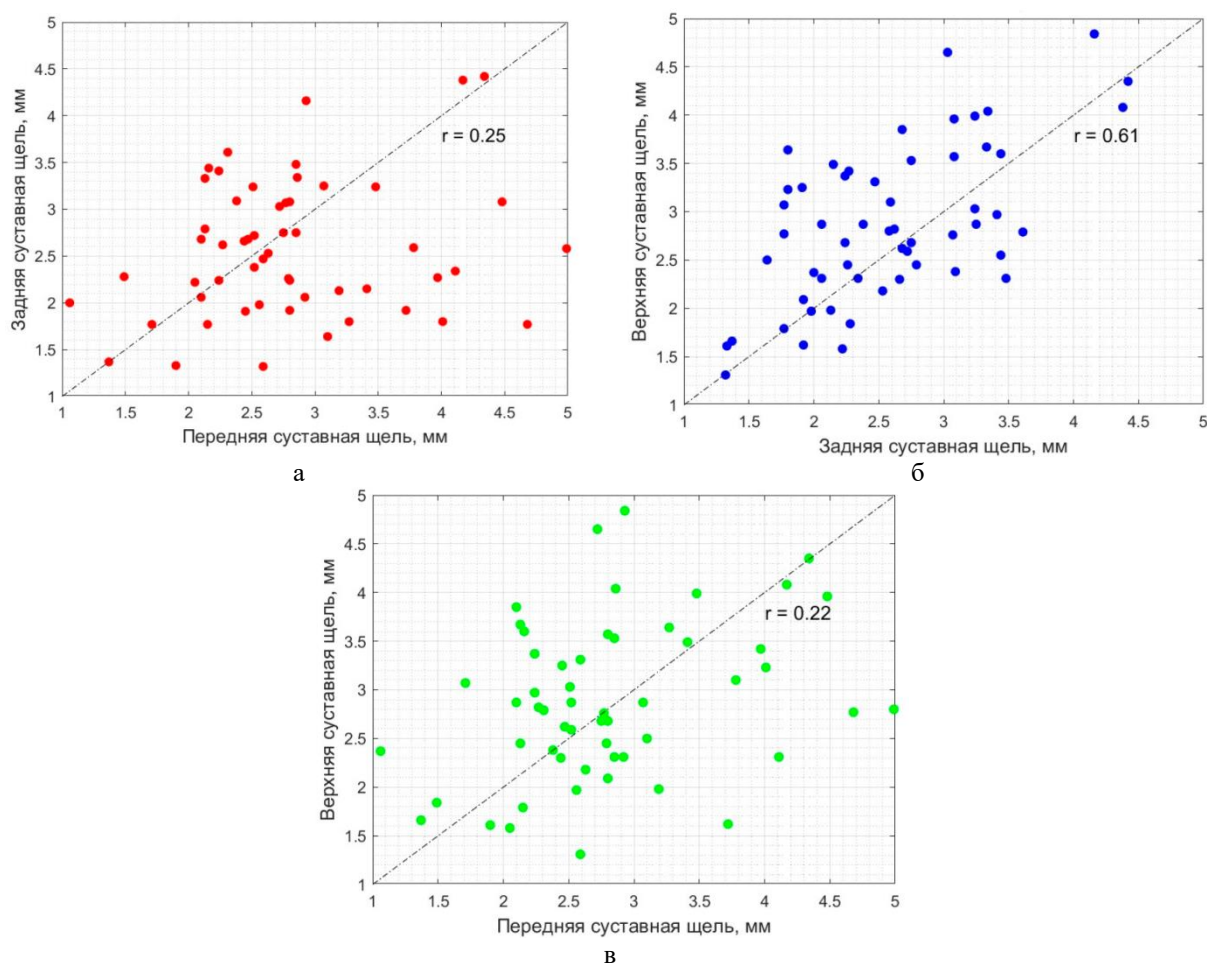


Рис. 5. Зависимости размеров суставных щелей правого и левого суставов: *а* – передней от задней суставной щели; *б* – задней от верхней суставной щели; *в* – передней от верхней суставной щели

На рис. 6, а изображена гистограмма распределения разности в высоте между мышелками. Гистограмма показывает асимметричное распределение, с основным пиком в диапазоне от -2 мм до 2 мм. Диапазон изменения находится в пределах от -5,21 мм до 4,38 мм. Исходя из гистограммы, видно, что чаще встречаются пациенты, у которых левый мышелок выше правого.

Полутон не является прямым показателем плотности костной ткани, однако между ними существует корреляция. Поэтому плотность будет выражаться в условных единицах (у. е.). Рассмотрим график зависимости минимальных плотностей правой суставной головки от левой (рис. 6, б). Наблюдается не ярко выраженная симметрия распределения. Диапазон изменения для правой и левой суставных головок приблизительно одинаковый. Минимальная плотность костной ткани правой суставной головки изменяется от 1017 у. е. до 1608 у. е.. Минимальная плотность костной ткани левой суставной головки изменяется от 1106 у. е. до 1659 у. е.. Коэффициент корреляции составил $r = 0,68$, что говорит о наличии средней связи минимальных плотностей костных тканей правой суставной головки от левой.

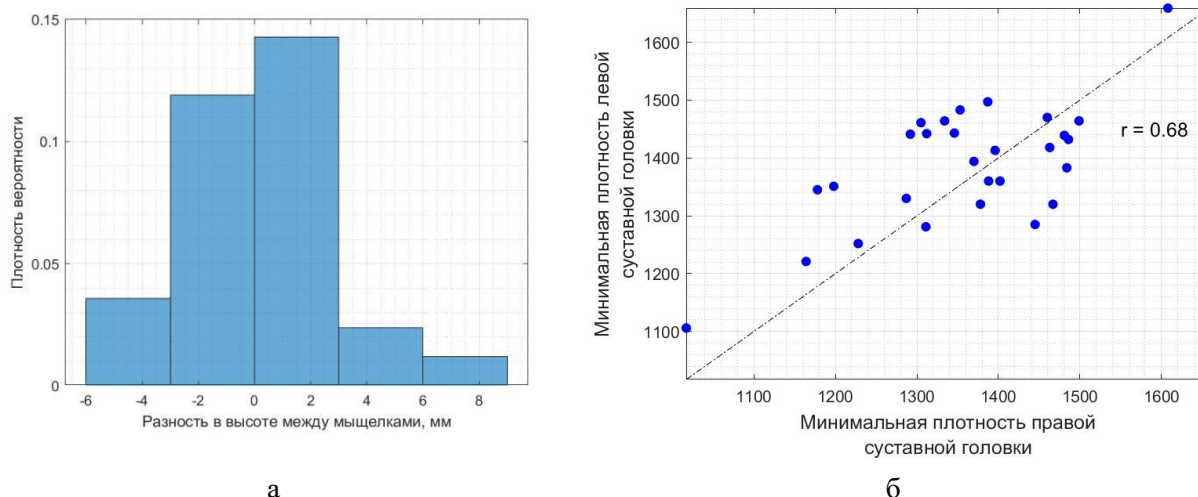


Рис. 6. Зависимости: *а* – гистограмма распределения разности в высоте между мыщелками; *б* – минимальных плотностей костных тканей правой суставной головки от левой

Заключение

В ходе проведенного исследования была обнаружена средняя корреляционная зависимость: при увеличении верхних суставных щелей, то есть, смещении вниз нижнечелюстной кости (нижней челюсти, мыщелков), будут увеличиваться и задние суставные щели, то есть, смещение будет происходить с выдвиганием нижней челюсти вперед. Из полученных данных чаще встречаются пациенты, у которых левый мыщелок выше правого. Несмотря на это, истончение костной ткани суставных головок правого и левого суставов происходит равномерно. Перечисленные выше выводы подтверждают, что суставной диск, находящийся между нижнечелюстной ямкой и мыщелком выполняет функцию амортизатора. Он предохраняет от травмы органы, расположенные в пограничных областях.

Список литературы

1. Scarfe W.C., Farman A.G. What is cone-beam CT and how does it work / W.C. Scarfe // Dental Clinics of North America – 2008. – №52. – P. 707 – 730.
2. Okeson J. Management of temporomandibular disorders and occlusion. – 5th edition. – New Delhi, Mosby, 2003.
3. Горячева, Е. Морфология височно-нижнечелюстного сустава / Е. Горячева // Известия высших учебных заведений. Поволжский регион. Медицинские науки. – 2023. – №1 – С. 80 – 95.
4. Артюшкевич, А. Заболевания височно-нижнечелюстного сустава / А. Артюшкевич // Современная стоматология. – 2014. – №1 – С. 11 – 14.
5. Galileos Viewer Software [Электронный ресурс]. – Режим доступа :<https://galileos-viewer.software.informer.com>. Дата доступа: 31.10.2024.

УДК 616-079.1

ОСОБЕННОСТИ ДИАГНОСТИКИ ИШЕМИИ ТОЛСТОЙ КИШКИ НА ОСНОВАНИИ СТАТИСТИЧЕСКИХ ДАННЫХ, ПОЛУЧЕННЫХ ПОСРЕДСТВОМ ГАСТРОЭНТЕРОГРАФИЧЕСКИХ ИЗМЕРЕНИЙ

П.Г. МАТУСОВ¹, А.Н. КУПО²

¹Учреждение здравоохранения «Гомельская университетская клиника – областной госпиталь инвалидов Великой Отечественной войны» (г. Гомель, Республика Беларусь)

²Учреждение образования «Гомельский государственный университет имени Франциска Скорины» (г. Гомель, Республика Беларусь)

Аннотация. Предложена методика диагностики абдоминальной ишемии, которая, в частности, относится к специфическим осложнениям после реконструктивных операций на аорте. При этом, результаты гастроэнтерографических измерений, обработанные методами математической статистики, позволяют диагностировать степень постоперационных осложнений от транзиторной до трансмуральной в первые сутки после операции, и тем самым снизить вероятность развития летального исхода.

Ключевые слова: абдоминальная ишемия, гастроэнтерографические измерения, статистическая обработка медицинских показателей.

FEATURES OF DIAGNOSIS OF COLONIC ISCHEMIA BASED ON STATISTICAL DATA OBTAINED THROUGH GASTROENTEROGRAPHIC MEASUREMENTS

PAVEL G. MATUSAU¹, ALIAKSANDR N. KUPO²

¹Gomel University Clinic – Regional Hospital for Disabled Veterans of the Great Patriotic War" (Gomel, Republic of Belarus)

²Francisk Skorina Gomel State University (Gomel, Republic of Belarus)

Abstract. A method for diagnosing abdominal ischemia is proposed, which, in particular, refers to specific complications after reconstructive operations on the aorta. At the same time, the results of gastroenterographic measurements, processed by methods of mathematical statistics, make it possible to diagnose the degree of postoperative complications from transient to transmural on the first day after surgery, and thereby reduce the likelihood of death.

Keywords: abdominal ischemia, gastroenterographic measurements, statistical processing of medical indicators.

Введение

Современные методы лечения и усовершенствованные медицинские технологии позволили снизить уровень смертности после реконструктивных операций на аорте [1]. В меньшей степени уделено внимание вопросу специфических осложнений в раннем послеоперационном периоде при данных видах операций, а также возможным методам их предупреждения. К специфическим осложнениям относится абдоминальная ишемия, на долю которых приходится около 20%. В структуре абдоминальной ишемии ишемический колит занимает до 80%. В зависимости от тяжести поражения кишечной стенки выделяют три формы:

– легкая степень (транзиторная) характеризуется поражением слизистого слоя. Клинически проявляется диареей, возможно с примесью крови. В 75% случаев начинается впервые 24-48 часов.

– средняя степень ишемии характеризуется поражением слизистого и мышечного слоя, которая может привести к заживлению с образованием стриктуры и фиброза, а может перейти в более тяжелую форму.

– тяжёлая степень (трансмуральная) ишемии, которая приводит к гангрене кишки и перфорации. На ее долю приходится 2% от общего количества осложнений и смертность в этой группе составляет 50%. Данные осложнения выявляются, как правило, поздно из-за того, что

пациенты находятся под действием анальгетиков в послеоперационном периоде, а появляющиеся боли и диарею связывают с особенностями операции и приемом антибиотиков.

Известно, что кровоснабжение толстой кишки происходит из бассейна двух артерий (верхней и нижней брыжеечных). Между ними есть анастомозирующий сосуд, по которому происходит питание левой половины ободочной кишки. Для диагностики послеоперационной ишемии традиционно проводят аортографию. В 35% случаев удается выявить функционирующую дугу Реолана. При малейшем подозрении на абдоминальную ишемию врачу приходится опираться на клинические проявления. Самым распространенным является диарея. Как правило, жидкий стул коричневого цвета, возможно с примесью крови. Наличие крови в стуле не является отражением тяжести ишемии кишки. У данных пациентов температура может достигать 37,2–37,8 °С. В анализе крови специфических изменений на стадии ишемии. В постановке диагноза прибегают к выполнению эндоскопии, которая является более доступным и надежным диагностическим способом. Если со стороны слизистой изменений не выявлено на расстоянии 40–60см от анального канала, исследование прекращают. Ишемических поражений правой половины ободочной кишки без поражения левой не бывает. Колоноскопия должна выполняться ежедневно, а при необходимости и несколько раз в день. Недостатком является плохая переносимость пациентами данного исследования и большая вероятность перфорации кишки.

Предлагается способ диагностики ишемии толстой кишки на основе информации, полученной посредством гастроэнтерографа ЛА-И24USB (ЗАО «Руднев-Шиляев», Москва) [2].

Методика диагностики гастроэнтерографическим методом

Устройство сбора и обработки гастроэнтерографической информации (гастроэнтерограф), предназначено для регистрации биоэлектрических проявлений моторной активности различных отделов желудочно-кишечного тракта (ЖКТ) и проведения спектрального анализа. Гастроэнтерограф состоит из электронного блока регистратора, персонального компьютера (ноутбука), комплекта соединительных проводов, электродов и специального программного обеспечения. Гастроэнтерорегистратор содержит 24-разрядный аналого-цифровой преобразователь, реализованный на модифицированном прецизионном устройстве аналого-цифрового преобразования для IBM PC/AT совместимых компьютеров на шину USB [2]. Данные для диагностики получаются путём получения сигналов с электродов, присоединённых определённым образом к пациенту. Внешний вид устройства и схема присоединения электродов представлены на рисунке 1.

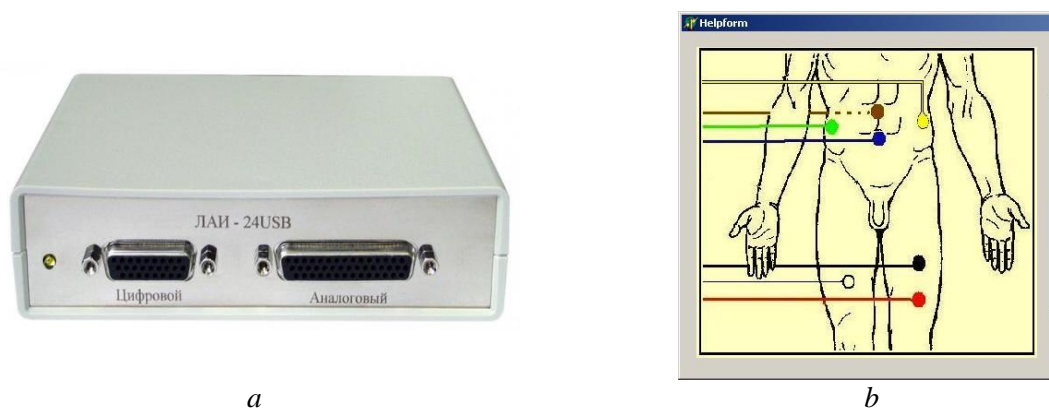


Рис. 1. Внешний вид устройства сбора информации (а) и пример схемы подключения электродов (b)

Пара электродов (красно/черный) – компенсационная, служит для подавления помех психобиологического происхождения, и ее место на левом бедре (голену) пациента. Пары (зелено-желтый) и (сине/коричневый) – измерительные, устанавливаются во взаимно перпендикулярных плоскостях абдоминального отдела. Кроме того Возможны и другие схемы наложения электродов, в частности (зелено-желтую) и (сине/коричневую) пары можно

разместить на диагональных конечностях пациента, что реализует классическую схему регистрации биопотенциалов ЖКТ в послеоперационном периоде, когда нет физической возможности установки электродов на переднюю брюшную стенку. Назначение (красно-черной) пары электродов при этом не меняется

Полученный сигнал визуализируется посредством специального программного обеспечения, при этом может быть выбран ряд его комбинаций с учётом компенсационного канала, как это показано на рисунке 2. Критерием соответствия в данном случае является минимальный размах полученной разности.



Рис. 2. Внешний вид окна отображения полученного сигнала

В системе имеются два фильтра – линейризатор, позволяющий исключить ошибки первого рода при спектральном анализе случайного сигнала и предварительный фильтр, основанный на преобразовании Фурье, имеющий полосу пропускания от 0 до 0,5 Гц, т.е. фильтрующий до 90% помех от сетевой наводки и работы сердечно-сосудистой системы. Применение обратного преобразования Фурье к выделенным спектральным диапазонам позволяет получить развёртку колебаний биопотенциалов во времени в соответствующих отделах ЖКТ. Существует опциональная возможность для получения спектрального представления сигнала и его обработки, тем самым могут быть получены количественные характеристики интенсивности биокосебаний различных отделов ЖКТ в соответствии с их спектральным составом, как это показано в таблице 1.

Таблица 1. Спектральный состав биокосебаний различных отделов ЖКТ

Отдел	Начало, Гц	Конец, Гц
Гастрограмма	0,04	0,06
Энтерограмма дистальный	0,16	0,20
Энтерогра проксимальный	0,08	0,12
Колограмма	0,016	0,022

Основными диагностическими показателями, получаемыми в результате компьютерной обработки, служат значения амплитуд («размах» колебаний) электрических сигналов, энергия в импульсе, спектр мощности и его изменение во времени, величины отклонений частот от номинальных величин, коэффициенты аритмии, форма импульса. В частности, режим функционирования желудка, называемый «нормогастрия», соответствует диапазону частот сокращения органа на уровне $\omega_D = 0,05$ Гц с допуском в пределах $\pm 20\%$. Международное обозначение такой частоты 3 cpm (3 circles per minute — 3 цикла в минуту). Например, наиболее высокие частоты сокращений наблюдаются у двенадцатиперстной кишки (ДПК) 12 cpm (0,2 Гц) [3, 4].

Самым информативным и широко используемым в мировой практике показателем динамики активности ЖКТ является пространственная 3D-картина, отображающая зависимость амплитуды (мощности) гастросигнала от времени и частоты. Она может быть построена как на основе преобразований типа скользящего (оконного, кратковременного)

Фурье-анализа (running spectral analysis — RSA), так и с помощью математического аппарата вейвлет-анализа [4].

Заключение

Данный метод позволяет отслеживать состояние пациента в динамике, не подвергая риску его здоровье. Предложенный метод показал свою эффективность при применении его в функциональной диагностике процессов в органах ЖКТ, в частности ишемии толстой кишки. Сопоставлены частотные режимы миоэлектрических колебаний с видами гастроэнтерологических заболеваний, при этом точность диагноза составляет до 80 % исследуемых случаев. Средства визуализации позволяют проследить изменения доминантных частот органов во времени. Распределение пиков активности колебания по множеству частот с учетом их длительности можно наглядно представить посредством гистограмм. Для обработки гастросигналов, представленных в виде таблиц, и визуализации результатов применяются системы компьютерной математики MathCad и MATLAB. Спектральные методы обработки сигналов в гастроэнтерологических исследованиях активно прогрессируют, при этом, развивается тесное сотрудничество медиков с инженерами — специалистами по IT-технологиям в составе общих департаментов научных центров или одного или двух факультетов многопрофильных университетов [4].

Список литературы

1. Комаров Р.Н., Каравайкин П.А., Мурылёв В.В. История реконструктивной хирургии аорты и аортального клапана. Патология кровообращения и кардиохирургия. – 2017. – вып. 21(3S) – С. 45-60.
2. Официальный сайт ООО «Руднев-Шиляев» [Электронный ресурс]: URL: <https://rudshel.ru/platy-sboradannyh-s-interfejsom-usb/lai24usb360000> (дата обращения: 01.11.2024).
3. Орешко Л. С., Семенова Е. А., Орешко А. Ю. Функциональное состояние органов пищеварения у больных целиакией, ассоциированной с дисплазией соединительной ткани. Экспериментальная и клиническая гастроэнтерология. – 2021.– вып. 188(4) – С. 96–105.
4. Свиньин С.Ф., Попов А.И., Рудалев А.В. Вейвлет-анализ и информационные технологии в задачах обработки электрогастроэнтерограмм // Труды СПИИРАН, 2013, – вып. 4(27) – С. 129-143.

621.382.33–027.45

ОБЕСПЕЧЕНИЕ НАДЁЖНОСТИ СРЕДСТВ МЕДИЦИНСКОЙ ЭЛЕКТРОНИКИ ПРОГНОЗИРОВАНИЕМ РАБОТОСПОСОБНОСТИ ПОЛУПРОВОДНИКОВЫХ ПРИБОРОВ

С.М. БОРОВИКОВ, И.В. РУСАК

Учреждение образования «Белорусский государственный университет информатики и радиоэлектроники», г. Минск, Республика Беларусь

Аннотация. Одним из способов обеспечения безотказности ответственных средств медицинской электроники является использование в их составе отобранных комплектующих элементов, отвечающих требованию надёжности. Применительно к полупроводниковым приборам для отбора могут быть использованы методы индивидуального прогнозирования класса работоспособности (работоспособные или неработоспособные) для заданной наработки по информативным параметрам приборов. Эти методы позволяют в начальный момент времени для готовых и прошедших выходной контроль полупроводниковых приборов по значениям их информативных параметров, измеряемым у каждого конкретного экземпляра (полупроводникового прибора), подсчитать прогнозирующую функцию и по её значению принять решение о классе работоспособности экземпляра, а далее отобрать те экземпляры, которые для заданной наработки с большой степенью вероятности будут принадлежать к классу работоспособных экземпляров. Интерес для практики представляют методы, в которых информативные параметры полупроводниковых приборов в начальный момент времени преобразуют в дискретный код (двоичный или троичный) и решение о классе работоспособности экземпляра принимают по набору дискретных сигналов без выполнения расчёта прогнозирующей функции. Для ответа на вопрос, как по набору кодовых сигналов принимать более достоверные решения, использовано статистическое имитационное моделирование информативных параметров полупроводниковых приборов.

Ключевые слова: медицинская аппаратура, надёжность, полупроводниковые приборы, преобразование информативных параметров в дискретный код, прогнозирование класса работоспособности.

ENSURING RELIABILITY OF MEDICAL ELECTRONIC APPARATUS BY FORECASTING OF THE PERFORMANCE OF SEMICONDUCTOR DEVICES

SERGEI M. BOROVIKOV, ILIA V. RUSAK

Belarusian State University of Informatics and Radioelectronics, Minsk, Belarus

Abstract. One of the methods to ensure failure-free operation of critical medical electronics is to use selected components that meet reliability requirements. As applied to semiconductor devices, methods of individual prediction of the performance class (operational or non-operational) for during operating time by using the informative parameters of the devices can be used for selection. These methods allow, at the initial moment of time, for finished semiconductor devices that have passed the final inspection, to calculate the predictive function based on the values of their informative parameters measured for each specific specimen (semiconductor device) and, based on its value, to make a decision on the performance class of the specimen, and then select those specimens that are highly likely to belong to the class of operational specimens for a given service life. Of practical interest are methods in which the informative parameters of semiconductor devices are initially converted into a discrete code (binary or ternary) and a decision on the performance class of the specimen is made based on a set of discrete signals without calculating the predictive function. To answer the question of how to make more reliable decisions based on a set of code signals, statistical simulation modeling of informative parameters of semiconductor devices was used.

Keywords: medical equipment, reliability, semiconductor devices, transformation of information parameters into discrete code, prediction of reliability class.

Введение

Уровень надёжности средств медицинской электроники во многом определяется надёжностью используемых в их составе вторичных источников питания, безотказность которых в немалой степени зависит от качества (надёжности) используемых мощных полупроводниковых приборов. Полупроводниковые приборы (далее обобщённо изделия электронной техники – ИЭТ) требуемого уровня надёжности могут быть отобраны методами индивидуального прогнозирования по информативным параметрам, под которым понимают такой, обычно электрический параметр, значения которого в начальный момент времени для конкретного экземпляра несёт информацию о надёжности этого экземпляра для будущих моментов времени работы – наработки.

По результатам индивидуального прогнозирования решение о надёжности ИЭТ (конкретного экземпляра) принимают в виде отнесения его к одному из двух классов уровня надёжности для заданной наработки:

K_1 – класс работоспособных экземпляров;

K_2 – класс неработоспособных экземпляров (эти экземпляры с большой вероятностью откажут в составе электронного средства раньше момента окончания заданной наработки).

Теоретический анализ

Решение о классе конкретного экземпляра для заданной наработки t_3 принимают по значениям информативных параметров x_1, \dots, x_k этого экземпляра, используя модель прогнозирования, которую получают с помощью предварительных исследований (называемых обучающим экспериментом) интересующего типа ИЭТ, в следующем виде [1, 2]:

$$\begin{cases} j \in K_1, \text{ если } F[x_1^{(j)}, \dots, x_k^{(j)}] \geq P_0, \\ j \in K_2, \text{ если } F[x_1^{(j)}, \dots, x_k^{(j)}] < P_0, \end{cases} \quad (1)$$

где j – означает конкретный экземпляр; k – число используемых информативных параметров (обычно $k = 2 \dots 5$); $F[x_1^{(j)}, \dots, x_k^{(j)}]$ – значение прогнозирующей функции, полученное расчётом для j -го экземпляра; P_0 – порог разделения классов.

Причём, обучающий эксперимент включает исследования определённой выборки ИЭТ на надёжность в течение продолжительности, эквивалентной заданной наработке t_3 .

Для прогнозирования класса однотипного экземпляра, не принимавшего участия в обучающем эксперименте, необходимо у этого экземпляра измерить информативные параметры x_1, \dots, x_k , подсчитать значение прогнозирующей функции $F[\dots]$ и по модели (1) принять решение о классе работоспособности экземпляра по прогнозу для будущей наработки t_3 . Необходимость выполнения сложных расчётов по определению прогнозирующей функции $F[\dots]$, входящей в модель (1), сдерживает и/или ограничивает применение этого вида индивидуального прогнозирования в практике.

Характеристика моделей прогнозирования, использующих дискретный код

В работах [1-4] предложено: после измерения информативных параметров выполнять их преобразование в двоичный ($z = 1$ либо $z = 0$) или троичный ($\tau = 1$, либо $\tau = 0$, либо $\tau = R$ – неопределённость) коды, используя пороговые уровни информативных параметров, найденные заранее по результатам обучающего эксперимента. Принцип преобразования в троичный код на примере электрического параметра $U_{KЭнас}$ (напряжение коллектор-эмиттер) биполярных транзисторов большой мощности типа КТ872А иллюстрирует рис. 1.

На рис. 1 приняты следующие обозначения: m_1 и m_2 – средние значения (математические ожидания) информативного параметра, полученные для экземпляров соответственно классов K_1 и K_2 по результатам обучающего эксперимента; $w(U_{KЭнас} | K_S)$ – гипотетическая условная плотность распределения электрического параметра $U_{KЭнас}$ для класса S ($S = 1$ или 2).

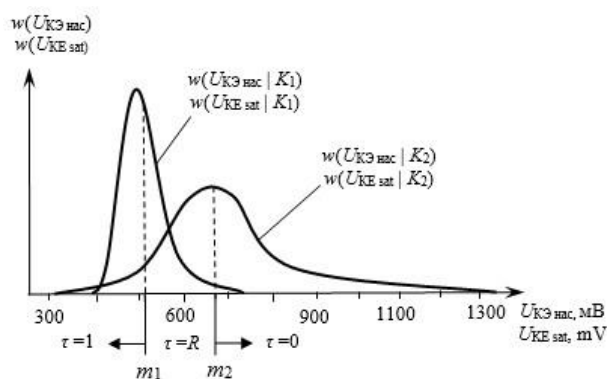


Рис. 1. Преобразование параметра $U_{КЭнас}$ в троичный код

После выполнения преобразования в коды решение о классе работоспособности нового однотипного ИЭТ может приниматься без выполнения расчётов по комбинации двоичных или троичных сигналов, используя логические таблицы, пример которой соответствует табл. 1.

Таблица 1. Пример логической таблицы для экземпляров класса K_1

Сочетание τ_i			Значение F , подсчитанное с использованием [5], дв. ед.	Сочетание τ_i			Значение F , подсчитанное с использованием [5] дв. ед.
τ_1	τ_2	τ_3		τ_1	τ_2	τ_3	
1	1	1	11,066	1	R	R	3,338
1	1	R	6,769	0	1	1	2,992
1	R	1	7,636	1	0	1	4,187
R	1	1	7,098	1	1	0	3,383
R	R	1	3,668	R	0	1	0,219
R	1	R	2,801				–

Для получения логических таблиц предложено несколько моделей [5]. Актуальным является вопрос о том, какая из моделей обеспечивает более достоверные результаты прогнозирования. Использование для получения ответа обучающих экспериментов на конкретных типах ИЭТ не даст окончательный ответ на этот вопрос из-за ограниченного объёма используемых выборок. Предлагается изучить закономерности информативных параметров на ограниченных выборках (примерно объёмом до 200 экземпляров) конкретных типов ИЭТ, а затем выполнить статистическое имитационное моделирование обучающего эксперимента на компьютере.

Экспериментальная часть

На примере экспериментальных данных биполярных транзисторов большой мощности типа КТ872А и полевых транзисторов большой мощности типа КП744А установлено, что для информативных параметров подтверждается гипотеза о трёхпараметрическом (смещённом) распределении Вейбулла [6] с параметрами $a > 0$ – параметр масштаба, $b > 0$ – параметр формы, c – параметр сдвига, $x > c$.

Количество экземпляров класса надёжных (K_1) и потенциально ненадёжных (K_2) ИЭТ принято: $n_1 = 3000$, $n_2 = 2000$.

Моделирование информативных параметров для экземпляров обучающей и контрольных выборок выполнялось по следующему вычислительному алгоритму [2, 6]:

$$x = c + a[-\ln(1-r)]^{1/b}, \quad (2)$$

где r – случайные равномерно распределённые числа в диапазоне $(0 \dots 1)$.

На основе экспериментальных данных реальных обучающих экспериментов и подтверждения с использованием этих данных гипотез о распределении информативных параметров отдельно в каждом классе (K_1 и K_2) по трёхпараметрическому распределению Вейбулла были получены условия моделирования на компьютере информативных параметров (табл. 2).

Таблица 2. Условия моделирования информативных параметров биполярных транзисторов КТ872А

Параметр распределения Вейбулла	Информативный параметр для экземпляров класса K_1			Информативный параметр для экземпляров класса K_2		
	$x_1 \rightarrow h_{21Э}$	$x_2 \rightarrow I_{КБ0}$	$x_3 \rightarrow U_{КЭнас}$	$x_1 \rightarrow h_{21Э}$	$x_2 \rightarrow I_{КБ0}$	$x_3 \rightarrow U_{КЭнас}$
a	0,963	0,0889	112,8	0,719	0,062	330,8
b	3,684	4,569	1,310	2,754	2,109	1,430
c	2,717	0,123	421,3	2,529	0,182	400,7

Примечания. 1. Пояснение информативных параметров:

$h_{21Э}$ – статический коэффициент передачи тока, $I_{КБ0}$ – обратный ток коллектора, $U_{КЭнас}$ – напряжение насыщения коллектор-эмиттер.

2. Параметры a и c распределения Вейбулла являются размерными. В данном случае размерность: для $I_{КБ0}$ – мкА, для $U_{КЭнас}$ – мВ.

Заключение

Обоснована возможность обеспечения требуемой надёжности полупроводниковых приборов в составе средств медицинской электроники путём их отбора методом индивидуального прогнозирования класса работоспособности по информативным параметрам. Отмечаются ограничения при использовании моделей прогнозирования, получаемых классическим методом, описанным в литературе. Указываются достоинства методов, использующих преобразование информативных параметров в дискретные коды с принятием решения о классе работоспособности экземпляра по набору дискретных кодовых сигналов. Для определения лучшего способа формирования прогнозирующей функции, используемой для построения логических таблиц, применяемых для прогнозирования класса работоспособности экземпляров по комбинации (сочетанию) дискретных кодовых сигналов, изучены на основе экспериментальных данных (реальных обучающих экспериментов) закономерности информативных параметров ИЭТ. Установлено, что информативные параметры биполярных и полевых транзисторов большой мощности неплохо описываются трёхпараметрическим распределением Вейбулла. С учётом этого определены параметры распределения Вейбулла, используемые для статистического имитационного моделирования на компьютере обучающего эксперимента при объёме выборки, составляющей пять тысяч экземпляров. Такой большой объём выборки позволит более объективно, нежели экспериментальные данные малых объёмов выборок, оценить эффективность разных методов, используемых для построения логических таблиц.

Список литературы

1. Боровиков С.М. Статистическое прогнозирование для отбраковки потенциально ненадёжных изделий электронной техники. М.: Новое знание; 2013.
2. Боровиков С.М. Теоретические основы конструирования, технологии и надёжности. Минск: Дизайн ПРО; 1998.
3. Боровиков С.М., Казючиц В.О. Индивидуальное прогнозирование надёжности транзисторов большой мощности для электронных устройств медицинского назначения. Доклады БГУИР. 2021; 19(1): С. 88-95. DOI: <http://dx.doi.org/10.35596/1729-7648-2021-19-1-88-95>.
4. Казючиц В.О., Боровиков С.М., Батура М.П., Шнейдеров Е.Н. Прогнозирование класса надёжности изделий электронной техники методом преобразования информативных параметров в дискретный код. Доклады ТУСУР. 2023; 26 (1): 91-97. DOI: 10.21293/1818-0442-2023-26-1-91-97.
5. Боровиков С.М. Статистическое имитационное моделирование в исследовании эффективности моделей прогнозирования надёжности изделий по информативным параметрам = Statistical simulation modeling in the research of the effectiveness of models for predicting product reliability by informative parameters. BIG DATA и анализ высокого уровня = BIG DATA and Advanced Analytics: сборник научных статей X Международной научно-практической конференции, Минск, 13 марта 2024 г.: в 2 ч. Ч. 2. Белорусский государственный университет информатики и радиоэлектроники; редкол.: В.А. Богуш [и др.]. Минск, 2024: 122-131.
6. Вадзинский Р.Н. Справочник по вероятностным распределениям. СПб: Наука; 2001.

UDC 617-7 + 004.89

PREDICTIVE ACCURACY OF PATIENT SATISFACTION IN APHAKIC CORRECTION SURGERY USING THE RANDOM FOREST ALGORITHM

MARIA S. ILYASOVA¹, SERGEY M. GRIDJUSHKO², AKSANA N. DUDZICH²,
VICTORIA L. KRASILNIKOVA², ALEKSANDER M. PRUDNIK¹

¹Belarusian State University of Informatics and Radioelectronics, Minsk, Belarus

²Institute of Advanced Training and Retraining of Healthcare Personnel BSMU, Minsk, Belarus

Abstract. This study evaluates the efficacy of a random forest model in predicting patient satisfaction following ophthalmic surgery for the correction of aphakia. Utilizing preoperative and postoperative clinical metrics, the model was trained to identify patterns associated with patient outcomes. In validation, it demonstrated robust performance on a designated test set, achieving an accuracy of 94%, sensitivity of 92%, specificity of 91%, and an area under the receiver operating characteristic curve of 0.95. Stability and reliability were further confirmed through 5-fold cross-validation, consistently showing an average accuracy of 93.5%. Feature importance analysis identified axial length and best corrected visual acuity as key predictors. These findings establish the model's potential as a reliable tool for healthcare providers to predict patient satisfaction in postoperative settings, enhancing clinical decision-making in the treatment of aphakia.

Keywords patient satisfaction, ophthalmic surgery, random forest algorithm, machine learning, predictive analytics, medical informatics, outcome assessment, data mining, healthcare analytics, artificial intelligence in medicine, clinical decision support systems.

ПРОГНОСТИЧЕСКАЯ ТОЧНОСТЬ УДОВЛЕТВОРЕННОСТИ ПАЦИЕНТОВ ПРИ ХИРУРГИЧЕСКОЙ КОРРЕКЦИИ АФАКИИ С ИСПОЛЬЗОВАНИЕМ АЛГОРИТМА СЛУЧАЙНОГО ЛЕСА

М.С. ИЛЬЯСОВА¹, С.М. ГРИДЮШКО², О.Н. ДУДИЧ²,
В.Л. КРАСИЛЬНИКОВА², А.М. ПРУДНИК¹

¹Белорусский государственный университет информатики и радиоэлектроники, Минск, Беларусь

²Институт повышения квалификации и переподготовки кадров здравоохранения БГМУ, Минск, Беларусь

Аннотация. В данном исследовании оценивается эффективность модели случайного леса в прогнозировании удовлетворенности пациентов после офтальмологической хирургии, направленной на коррекцию афакии. Используя предоперационные и послеоперационные клинические показатели, модель была обучена для выявления закономерностей, связанных с результатами удовлетворенности пациентов. В процессе валидации она продемонстрировала надежные показатели на выделенном тестовом наборе, достигнув точности 94%, чувствительности 92%, специфичности 91% и площади под ROC-кривой 0,95. Стабильность и надежность были дополнительно подтверждены с помощью 5-кратной перекрестной проверки, которая показала среднюю точность 93,5%. Анализ значимости признаков выявил осевую длину и лучшую исправленную остроту зрения как ключевые предикторы. Эти результаты подтверждают потенциал модели как надежного инструмента для медицинских работников для прогнозирования удовлетворенности пациентов в послеоперационных условиях, улучшая клиническое принятие решений при лечении афакии.

Ключевые слова: удовлетворенность пациентов, офтальмологическая хирургия, алгоритм случайного леса, машинное обучение, прогнозная аналитика, медицинская информатика, оценка результатов, аналитика в здравоохранении, искусственный интеллект в медицине, системы поддержки клинических решений.

Introduction

Advancements in medical informatics and artificial intelligence are increasingly pivotal in enhancing patient-centric outcomes in healthcare [1, 2]. The random forest algorithm, known for its exceptional performance with heterogeneous data, is employed in this study to predict patient satisfaction post-ophthalmic surgery for the correction of aphakia — an essential indicator of surgical efficacy and patient care quality [3].

The correction of aphakia through ophthalmic surgery, encompassing a range of corrective and therapeutic eye procedures, demands precise outcome measures, critically influencing patient quality of life. Traditional approaches to gauging patient satisfaction, often reliant on subjective surveys and objective clinical outcomes, lack the granularity provided by machine learning models. This research utilizes a comprehensive dataset of demographic, clinical, and operative variables to refine the predictive accuracy of patient satisfaction using the random forest model [4]. The goal is to identify determinants of patient perceptions, thereby aiding in the personalization of treatment protocols and optimizing surgical outcomes in ophthalmology.

Experiment

Data mining in this study involved the extraction, transformation, and loading of a medical dataset from the 10th City Clinical Hospital in Minsk. The dataset comprises 109 patient records, each detailing critical variables for analyzing outcomes of aphakic correction surgery and assessing patient satisfaction. It includes a diverse group of patients with conditions such as myopia, hyperopia, and emmetropia, which allows for a focused analysis on how different refractive errors influence surgical success and satisfaction. Age distributions range from 57 to 76 years for women and 47 to 85 years for men, providing a basis for age-related insights into surgical effectiveness.

In the assessment of patient data for predicting outcomes of ophthalmic surgery for the correction of aphakia, variables are categorized based on their relevance to specific surgical stages:

- Preoperative variables;
- Postoperative variables;
- Variables used both before and after surgery.

The preoperative dataset includes baseline measurements that are essential for evaluating patient conditions and planning surgical procedures. This category encompasses the patient's Age and Gender, which are fundamental demographic factors affecting surgical outcomes. Clinical measurements such as best corrected visual acuity (BCVA) and mean corneal opacity (MCO) provide insights into the patient's visual status and corneal health, respectively. Refractive properties, including spherical refraction (SR) and cylindrical refraction (CR) along with the axis of astigmatism, are critical for customizing surgical interventions. Anatomical measurements such as corneal curvature K1 and K2, axial length (AL), anterior chamber depth (ACD), lens thickness (LT), central corneal thickness (CCT), and white-to-white distance (WTW), are vital for determining the surgical approach and selecting appropriate intraocular lenses.

Postoperative variables are instrumental in assessing the effectiveness of the surgical interventions. These include postoperative spherical refraction (Post-SR) and postoperative cylindrical refraction (Post-CR), which measure the required refractive corrections after the surgery. Postoperative visual acuity (Post-BCVA) gauges the success of the visual outcomes. Detailed retinal assessments are conducted through measurements like minimum thickness in fovea, central sector thickness, and the comprehensive evaluation of retinal area and volume. macular zone distance and height (MZ Distance, MZ Height) further provide critical data on the structural integrity of the retina post-surgery.

Some variables are pivotal in both the preoperative assessments and postoperative evaluations. endothelial cell count (ECC) is a key indicator of corneal health, vital for pre-surgical evaluations and monitoring post-surgical recovery. The intraocular lens type (IOL Type) selected based on preoperative data is assessed for its postoperative performance and impact on patient vision. Finally, patient satisfaction, although recorded postoperatively, reflects the effectiveness of the entire surgical process and patient experience, correlating with both preoperative expectations and postoperative outcomes.

In the process of preparing the dataset for the predictive modeling of patient satisfaction outcomes after ophthalmic surgery for the correction of aphakia, three data transformation steps were applied:

- Imputation;
- Normalization;
- Encoding.

The necessity of imputation arises from the presence of missing values in our dataset, which can lead to biased or incorrect model predictions if not addressed. To tackle this, we utilized the SimpleImputer method from the scikit-learn library. For numerical features, we opted for mean imputation, which involves calculating the average of a feature and using that average to fill in missing values. This method helps preserve the overall distribution and central tendency of the data. Categorical data was handled with mode imputation, where missing entries were replaced with the most frequently occurring value within a feature. This approach is particularly suitable for categorical data as it maintains the statistical mode of the dataset.

Normalization, or feature scaling, is crucial when working with methods that are sensitive to the scale of input features, such as many machine learning algorithms. We utilized the StandardScaler from the scikit-learn library to standardize our numerical data, ensuring each feature contributes equally to the analysis by converting them to have zero mean and unit variance. This step prevents features with larger ranges from disproportionately influencing the model outcome.

Encoding transforms categorical variables into a numerical format, making them interpretable by machine learning algorithms. We applied one-hot encoding to nominal categorical variables using the OneHotEncoder from the scikit-learn library. This method converts each unique category value into a new binary column, thus preserving all information about the category without implying any ordinal relationship. The result is a more expansive but analytically suitable dataset, facilitating more accurate predictions by the learning model.

During the predictive modeling phase [5–7] for assessing patient satisfaction after ophthalmic surgery, a feature selection process was integral to optimizing the dataset for superior model performance. The selection strategy comprised three key techniques:

- Correlation analysis;
- Feature importance evaluation using random forest;
- Incorporation of expert domain knowledge.

In a subsequent phase focused on refining the predictive model for outcomes after aphakia correction surgery, correlation analysis was applied. This analysis was crucial to maintain the statistical integrity of the model, confirming the independence of features and preventing multicollinearity, which could otherwise undermine the model’s precision and interpretability.

The correlation analysis was performed using the pandas library on the dataframe that holds our dataset. The analysis was performed by calculating Pearson correlation coefficients for each variable pair. These coefficients measure linear relationships, where values closer to +1 or –1 indicate strong positive or negative linear correlations, respectively, and values near zero suggest no correlation. The resulting correlation matrix, as depicted in Table 1, illustrates these coefficients, allowing us to identify and evaluate the strength and direction of the relationships between the features. This step is crucial in detecting potential redundancies within the variables. The correlation matrix did not reveal any instances of significant multicollinearity among the numerical features.

Table 1. Correlation Coefficients Matrix for Numerical Features

Feature	AL	ACD	K1	K2	SR	CR	Post-CR
AL	1.00	–0.14	0.19	–0.18	–0.15	0.04	–0.13
ACD	–0.14	1.00	–0.04	0.00	–0.13	0.08	0.10
K1	0.19	–0.04	1.00	–0.01	–0.15	–0.11	–0.03
K2	–0.18	0.00	–0.01	1.00	0.06	0.05	–0.09
SR	–0.15	–0.13	–0.15	0.06	1.00	–0.08	0.09
CR	0.04	0.08	–0.11	0.05	–0.08	1.00	–0.10
Post-CR	–0.13	0.10	–0.03	–0.09	0.09	–0.10	1.00

Upon examining the computed correlation values, it became evident that the strongest correlations did not approach the threshold commonly used to identify problematic multicollinearity, which is set at 0.8. Features such as AL and ACD, or K1 and K2, demonstrated lower coefficients that were well below this level.

This outcome indicates the absence of redundant data among the evaluated features, supporting the decision to retain all variables for further stages of model development. The comprehensive set of features, free from redundancy, enhances the model's potential to capture a broad spectrum of influences on patient satisfaction outcomes post-surgery. Each variable's contribution to the model will continue to be analyzed in subsequent phases, ensuring robust predictive capability without the interference of multicollinearity. This methodical approach underscores the rigor of the analysis, effectively preserving the integrity and the analytical value of the dataset.

To refine the predictive model aimed at evaluating patient outcomes after aphakic correction surgery, an advanced phase of model optimization was conducted. Utilizing the established RandomForestClassifier framework from the scikit-learn library, the data was methodically divided into an 80–20 training-validation split through the `train_test_split` function.

Hyperparameter tuning was performed with grid search cross-validation via the `GridSearchCV` module, targeting key variables to optimize the algorithm's performance in the dataset. The following hyperparameters were adjusted to achieve a refined balance, significantly enhancing the model's capability to generalize effectively to new data:

- Number of trees (`n_estimators`): 500;
- Maximum depth of trees (`max_depth`): 30;
- Minimum samples at leaf node (`min_samples_leaf`): 3.

This tuning process involved evaluating each parameter set's impact on model accuracy and the area under the ROC curve, guiding the selection of the most effective configurations. After identifying the optimal settings, the RandomForestClassifier was recalibrated using the entire training dataset. This approach ensured the model was not only finely tuned but also robust and precise, ideal for deployment in clinical settings where accurate prediction of patient satisfaction is critical.

Results and discussion

In evaluating the random forest model's efficacy in predicting patient satisfaction post-ophthalmic surgery for the correction of aphakia, a validation was conducted using the reserved 20% test set segment of the data. This strategic evaluation was structured to assess the model's performance through multiple statistical metrics and a validation technique to ensure robust generalizability and reliability.

The model's performance was quantified through several key metrics: accuracy, sensitivity (true positive rate), specificity (true negative rate), and the area under the receiver operating characteristic (ROC) curve (AUC). These metrics provide a comprehensive understanding of the model's predictive accuracy and its ability to discriminate between the satisfied and unsatisfied patient outcomes. The achieved accuracy was 94%, with a sensitivity of 92% and specificity of 91%, underscoring the model's precise classification capabilities. The AUC, a critical indicator of the model's discriminative power, was recorded at 0.95, confirming a high capability in distinguishing between the patient satisfaction categories (see Figure 1).

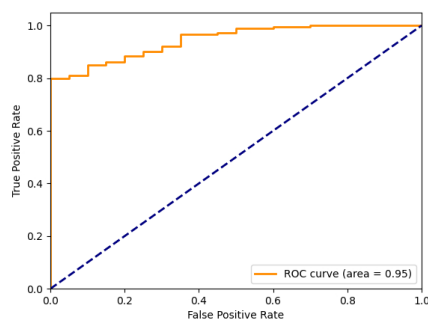


Fig. 1. ROC Curve

To further validate the model's stability and reliability, 5-fold cross-validation was employed, which revealed an average accuracy of 93.5% with a standard deviation of 1.2%. This demonstrates the model's consistent performance across different data subsets and reinforces the validity of the model across varied patient data scenarios. The average AUC obtained through cross-validation was 0.94, supporting the strong discriminative ability of the model across folds (see Figure 2).

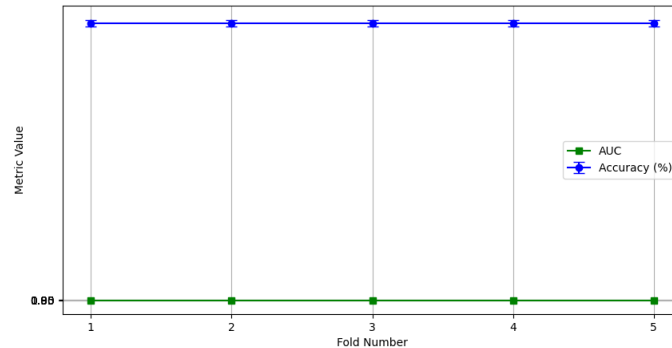


Fig. 2. Cross-Validation Consistency

The confusion matrix provided deeper insights into the model's performance, detailing the number of true positives (TP), false positives (FP), true negatives (TN), and false negatives (FN) (see Figure 3). This matrix facilitated an in-depth analysis of the model's predictive precision, indicating that the model effectively recognized the majority of satisfied and unsatisfied patients, with minimal misclassifications.

A critical component of understanding the underlying mechanisms driving the model's predictions is the analysis of feature importance. This analysis highlighted that AL and BCVA were the most influential features in predicting patient outcomes. This insight not only validates the clinical relevance of the features but also provides potential pathways for clinical intervention (see Figure 4).

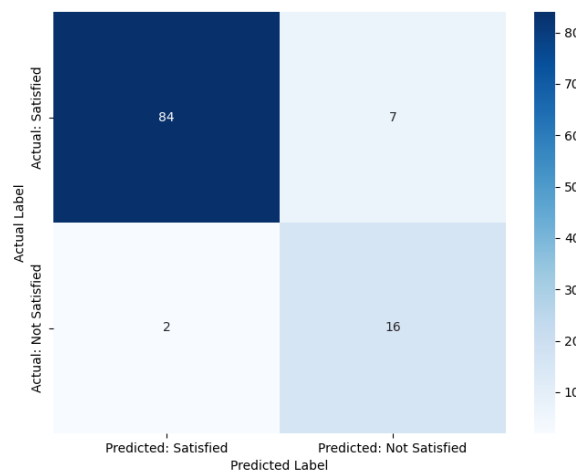


Fig 3. Confusion Matrix

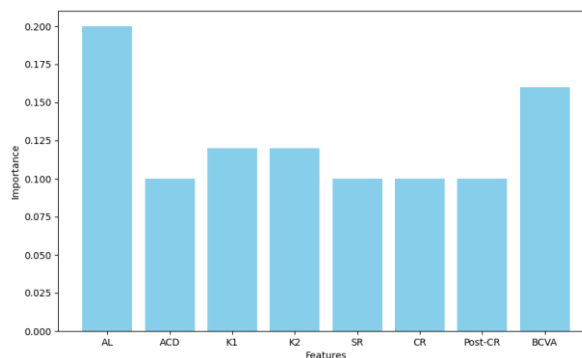


Fig. 4. Feature Importance Bar Chart

The results elucidated through the model validation process demonstrate a robust predictive capability, which is essential for deployment in clinical settings where accurate predictions can significantly impact patient management and treatment outcomes [8–10]. The high accuracy and AUC indicate that the model can effectively be used in clinical practice to predict patient satisfaction, potentially guiding post-operative care to improve patient experiences. Furthermore, the consistency shown in cross-validation highlights the model's applicability to diverse clinical scenarios, making it a reliable tool for healthcare practitioners.

Conclusion

The random forest model demonstrated robust predictive capabilities for patient satisfaction post-ophthalmic surgery for the correction of aphakia, achieving an accuracy of 94%, sensitivity of 92%, specificity of 91%, and an AUC of 0.95. These metrics underscore the model's precision and effectiveness in distinguishing between different patient satisfaction outcomes.

Consistent performance was further validated through 5-fold cross-validation, which revealed an average accuracy of 93.5%. This consistency assures the model's reliability across various patient demographics, making it well-suited for clinical applications.

Feature importance analysis identified AL and BCVA as critical predictors, pointing to specific clinical metrics that significantly impact patient satisfaction. This insight suggests potential areas for clinical improvement and patient care optimization.

The model's utility is set to increase with the ongoing integration of additional data, enhancing its predictive accuracy. To maximize clinical applications, a web application is being developed. This platform will use secure APIs for real-time data integration and feature interactive visualization tools to present predictive insights, facilitating intuitive and efficient decision-making. Easy access to these insights will significantly enhance patient care, marking a substantial advancement in applying machine learning to improve patient-centered care.

References

1. Topol E.J. High-performance medicine: the convergence of human and artificial intelligence // *Nature Medicine*. Vol. 2019. No. 25, P. 44–56. <https://doi.org/10.1038/s41591-018-0300-7>
2. Artificial intelligence in surgery: the future is now. Guni A. [et al.]. // 2024. Vol. 65, No. 1. P. 22–39. <https://doi.org/10.1159/000530366>.
3. Breiman L. Random Forests // *Machine Learning*. 2001. Vol. 45, No. 1. P. 5–32. <https://doi.org/10.1023/A:1010933404324>.
4. Exploring drivers of patient satisfaction using a random forest algorithm. Simsekler M. C. E. [et al.]. // 2021. Vol. 21, No. 1. P. 157. <https://doi.org/10.1186/s12911-021-01519-5>.
5. Prediction of unsuccessful endometrial ablation: random forest vs logistic regression. Stevens K. Y. R. [et al.]. // 2021. Vol. 18, No. 1. P. 18. <https://doi.org/10.1186/s10397-021-01097-4>.
6. A random forest algorithm-based prediction model for moderate to severe acute postoperative pain after orthopedic surgery under general anesthesia. Shi G. [et al.]. // 2023. Vol. 23, No. 1. P. 361. <https://doi.org/10.1186/s12871-023-02328-1>.
7. Predicting patient-reported outcomes following lumbar spine surgery: development and external validation of multivariable prediction models. Halicka M. [et al.]. // 2023. Vol. 24, No. 1. P. 333. <https://doi.org/10.1186/s12891-023-06446-2>.
8. Infant aphakia: putting study results into practice. Plager D. A. [et al.]. // 2017. <https://www.aao.org/eyenet/article/infant-aphakia-putting-study-results-into-practice>.
9. Complications at 10 years of follow-up in the Infant Aphakia Treatment Study. Lambert S. R. [et al.]. // 2020. Vol. 127, No. 8. P. 1125–1130. <https://doi.org/10.1016/j.ophtha.2020.02.020>.
10. Outcomes of bilateral cataracts removed in infants 1 to 7 months of age with and without intraocular lens implantation. Wilson M. E. [et al.]. // 2019. Vol. 126, No. 11. P. 1508–1511. <https://doi.org/10.1016/j.ophtha.2019.05.013>.

УДК. 621.395.97

ИНФОРМАЦИОННЫЕ ТЕХНОЛОГИИ В ОРГАНИЗАЦИИ ЛЕЧЕБНЫХ И ПСИХОЛОГО-ПЕДАГОГИЧЕСКИХ МЕРОПРИЯТИЙ НА БАЗЕ ДЕТСКОГО САНАТОРИЯ «СВИСЛОЧЬ»

Д.В. БАРАНОВСКИЙ¹, К.В. БАРАНОВСКАЯ¹, М.А. ВЫШИВАНЮК²

¹Дочернее унитарное предприятие «Детский санаторий «Свислочь», а/г. Свислочь, Осиповичский район, Могилевская область, Республика Беларусь, e-mail: detsansvisloch@mail.ru

²Республиканское унитарное предприятие «Научно-производственный центр по геологии»
(Филиал «Центральная лаборатория» НППЦ по геологии), г. Минск, Республика Беларусь

Аннотация. Цель исследования – практическое применение инновационных технологий в санаторно-курортном учреждении для решения организационных медицинских и педагогических вопросов. Пациенты и методы: использование детей и их телефонов через подключение к их педагогам с помощью различных программ. Положительный результат заключался в том, что система взаимоотношения педагога с детьми посредством информационных технологий оказалась максимально эффективной в организационных вопросах. Информационные технологии в санаторно-курортных организациях должны получить необходимое развитие для реализации программ по лечению и оздоровлению.

Ключевые слова: дети, подростки, организационные вопросы, информационные технологии, санаторно-курортное учреждение.

INFORMATION TECHNOLOGIES IN THE ORGANIZATION OF THERAPEUTIC AND PSYCHOLOGICAL-PEDAGOGICAL EVENTS ON THE BASIS OF THE CHILDREN'S SANATORIUM "SVISLOCH"

DMITRY V. BARANOVSKY, CHRISTINA V. BARANOVSKAYA,
MARIYA A. VYSHIVANYUK

¹Subsidiary unitary enterprise "Children's sanatorium "Svisloch", a/t. Svisloch, Osipovich district, Mogilev region, Republic of Belarus, e-mail: detsansvisloch@mail.ru

²Republican Unitary Enterprise "Scientific and Production Center for Geology"
(State Enterprise "SPC for Geology"), Minsk, Republic of Belarus

Annotation. The purpose of the study is the practical application of innovative technologies in a sanatorium-resort institution to solve organizational medical and pedagogical issues. Patients and methods: using children and their phones through connecting to their teachers using various programs. The positive result was that the system of teacher-child relationship through information technology proved to be as effective as possible in organizational matters. Information technologies in sanatorium-resort organizations should receive the necessary development for the implementation of treatment and rehabilitation programs.

Keywords. children, teenagers, organizational issues, information technology, sanatorium

Введение

Сегодня компьютеры и ресурсы глобальной сети Интернет стали необходимыми образовательными инструментами, технологии стали более миниатюрными, доступными, эффективными и простыми в использовании. Это привело к использованию мобильных и портативных компьютерных устройств (карманные компьютеры PDA (Personal Digital Assistants), ноутбуки и планшетные персональные компьютеры) с мобильным доступом в Интернет в сфере образования: управление и организация учебного процесса; организация обучения с использованием технологий дистанционного обучения; поддержка субъектов образовательного процесса с использованием технических средств [1,2].

Существенную роль в решении проблем социального и психолого- педагогического сопровождения учебно-воспитательного процесса, реализации деятельности социального педагога, учителей-предметников, классных руководителей играют информационно-коммуникативные технологии. [1].

Пациенты и методы

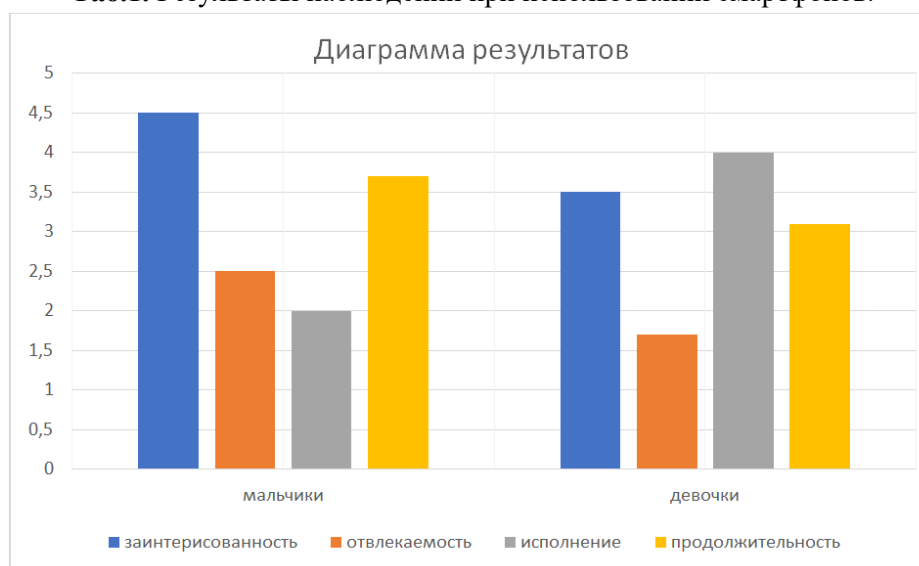
Нами была проведена работа по оценке различных подходов в решении организационных задач лечебного и педагогического направлений. Для этих целей были определены две группы испытуемых. Одна группа 8 чел. (4 мальчика и 4 девочки) использовала обычные коммуникативные «технологии» посредством слова и обычного диалога. Другая группа, состоявшая также из 4 мальчиков и 4 девочек использовала для коммуникации свои смартфоны, где в совместном чате осуществлялись команды и отчет о выполнении тех или иных процедур. Дети брались в возрасте 13-14 лет, работа выполнялась несколько заездов подряд. Общее число участников исследования составила 48 человек. В качестве критериев оценки брались такие параметры как: заинтересованность, отвлекаемость, качество исполнения поставленных задач и продолжительность их выполнения.

Результаты и обсуждения

Анализ научной литературы, [1,2,3,4], посвященной влиянию смартфонов на когнитивные способности детей, выявляет неоднозначные и часто противоречивые тенденции. Существующие исследования затрагивают широкий круг аспектов, от влияния на внимание и память до развития языка и исполнительных функций. Многие приложения и программы способствуют развитию когнитивных навыков. Обучающие игры, например, могут способствовать развитию логического мышления, памяти и пространственного воображения. Доступ к большому объему информации через интернет открывает перед детьми новые возможности для обучения и развития. Важно отметить, что ключевым фактором является не сам факт использования смартфона, а характер и количество времени, проводимого за ним. [1,2].

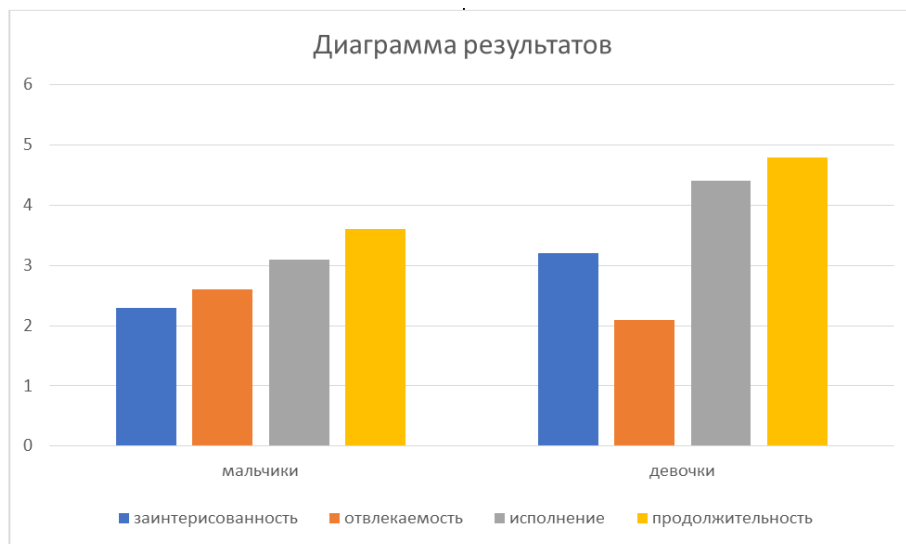
Таким образом на основе диаграммы из таблицы 1 мы видим, что применение смартфонов и возможность самостоятельно решать все вопросы вызвало большую заинтересованность в среде и девочек, и мальчиков, которые показали в том числе и большую заинтересованность. Однако такие параметры как отвлекаемость и исполнительность оказались гораздо хуже, чем у девочек. Показатель продолжительности участия в исследовании выше оказался у мальчиков.

Таб.1. Результаты наблюдений при использовании смартфонов.



При речевом воздействии (таблица 2) и большем контроле со стороны воспитателей показатели заинтересованности и отвлекаемости оказались ниже, как у мальчиков, так и у девочек. Однако результативность несколько выше по отношению к группе работавших со смартфонами. Как по продолжительности участия, так и по выполнению процедур и поставленных задач.

Таб.2. Результаты наблюдений при речевой коммуникации.



Заключение

Во время нашего исследования, мы заметили, что среди тех, кто использует смартфоны, более выражены такие мотивационные факторы, как проявление самостоятельности, однако не хватает настойчивости в получении результатов. В то же время под присмотром воспитателей снижается заинтересованность, но повышается результат. Причиной таких различий служат многие факторы: от социально- бытовых домашних условий и уровня образования и социализации, до уровня возросших потребностей. Несомненно одно – ребенок находится на перепутье. Где-то проявляется интерес к самостоятельному решению задач, а где-то воспользоваться помощью со стороны. Это может свидетельствовать о том, что для этих детей важнее поддерживать социальные связи и получать положительную оценку со стороны взрослых, чем углубляться в знания и развивать познавательные навыки.

На сегодняшний день существует объективная необходимость в развитии информационных технологий в детских санаторно-курортных организациях, разработке и создании соответствующих программ.

Список литературы

1. Акопова, М. А. Влияние смартфонов на attentionные способности студентов. *Вестник университета*, № 6, -2020г.- с. 167–172
2. Регущ, Л. А., Алексеева, Е. В., Веретина, О. Р. и др. / Особенности мышления подростков, имеющих разную степень погруженности в интернет-среду. *Известия РГПУ им. А.И. Герцена*, № 194 -2019г.-с. 19–29.
3. Солдатова, Г. У., Вишнева, А. Е Особенности развития когнитивной сферы у детей с разной онлайн-активностью. есть ли золотая середина? *Консультативная психология и психотерапия*, т. 27, № 3 - 2019г.- с. 97–118.
4. Frost, P., Donahue, P., Goeben, K. et al. An examination of the potential lingering effects of smartphone use on cognition. *Applied Cognitive Psychology*, no. 33(6), -2019y.- pp. 1055–1067.

УДК 004.93'11

УСТРОЙСТВА ПОМОЩИ В ПЕРЕДВИЖЕНИИ И ОБНАРУЖЕНИИ ПРЕПЯТСТВИЙ ДЛЯ СЛАБОВИДЯЩИХ И ИНВАЛИДОВ ПО ЗРЕНИЮ

С.С. ДАСЬКО, Н.Д. АБРАМОВИЧ, С.К. ДИК, И.И. РЕВИНСКАЯ

*Белорусский государственный университет информатики и радиоэлектроники
(Минск, Республика Беларусь)*

Аннотация. Изучена классификация систем мобильности. Проанализирован рынок устройств помощи в передвижении. Рассмотрены представленные на рынке устройства и их функциональные возможности. Определены факторы, влияющие на эффективность устройств обнаружения препятствий. Сделаны выводы о тенденциях развития устройств обнаружения в мире и Республике Беларусь.

Ключевые слова: тифлоприборы, устройства обнаружения препятствий, электронный поводырь, помощь в передвижении, помощь в обнаружении.

MOBILITY AND OBSTACLE DETECTION ASSISTANCE DEVICES FOR VISUALLY IMPAIRED PERSONS

STANISLAV S. DASKO, NIKOLAI D. ABRAMOVICH, SERGEY K. DZIK,
INA I. REVINSKAYA

Belarusian State University of Informatics and Radioelectronics (Minsk, Republic of Belarus)

Abstract. The classification of mobility systems is studied. The market of mobility assistance devices is analyzed. The devices on the market and their functionality are considered. The factors influencing the efficiency of obstacle detection devices are determined. The conclusions on the development trends of detection devices in the world and the Republic of Belarus are described.

Keywords: Typhlo devices, obstacle detection devices, electronic guide, mobility aid, detection aid.

Введение

В соответствии со статистикой Всемирной организации здравоохранения по данным 2023 года, во всем мире по меньшей мере 2,2 миллиарда человек имеют нарушения зрения [1]. Из них по данным Всемирного союза слепых, 43 миллиона человек страдают слепотой и 253 миллиона – умеренными и тяжелыми нарушениями зрения [2]. В Республике Беларусь на учете в Белорусском товариществе инвалидов по зрению состоит более 6 тысяч человек [3].

Ориентирование и мобильность слабовидящего или инвалида по зрению предполагает умение самостоятельно передвигаться в пространстве, зная свое собственное местоположение относительно ориентиров на пути и пункта назначения, при этом перемещаясь безопасно.

Системы мобильности – условное название средств и приемов, которые используют люди с нарушениями зрения для того, чтобы безопасно передвигаться и вовремя обнаруживать препятствия. Системы мобильности можно условно разделить на 5 видов: передвижение без каких-либо специальных средств (например, при помощи слежения рукой по стене); передвижение с помощью сопровождающего; передвижение при помощи собаки-поводыря; передвижение при помощи трости; передвижение с использованием электронных средств.

Существующие электронные средства передвижения представлены на рынке в различных вариациях: вспомогательные устройства, крепящиеся к трости; самостоятельные устройства, предназначенные для держания в руке, крепления к какой-либо части тела, вмонтированные в очки и т.д. Такие устройства повышают безопасность и скорость передвижения.

Основная часть

В настоящее время электронные системы помощи обнаружения, доступные на рынке, представляют собой «умные» электронные трости, носимые устройства (например, браслеты, жилеты или очки), мобильные приложения, системы с камерами и искусственным интеллектом (ИИ). Электронные трости представляют собой белые трости, оснащенные датчиками для обнаружения препятствий, или полностью электронные мобильные устройства. На сегодняшний день на рынке представлены трость WeWalk, трость UltraCane, умная трость «Робин» с ИИ, электронная трость RAY. Также существуют устройства помощи, представленные в виде очков, например, OrCam MyEye 3 Pro и мобильные приложения, например Seeing AI.

Трость WeWalk (рис. 1) – это умная трость, которая оснащена ультразвуковыми датчиками, которые об обнаружении препятствий оповещают при помощи вибрации. В трость интегрированы ИИ, возможность работы с Google Maps, а также возможность навигации, голосовых инструкций и оповещений пользователя [4].

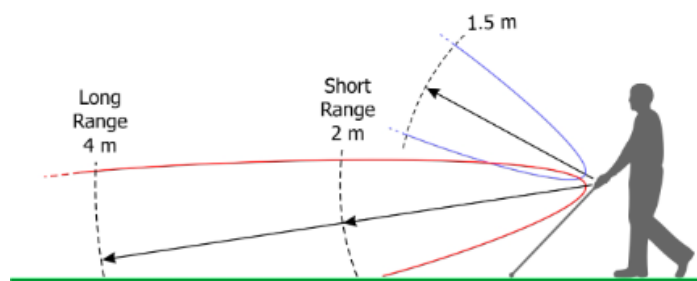


Рис. 1. Умная трость WeWalk

UltraCane (рис. 2, а) – трость с ультразвуковыми сенсорами, которая оповещает об обнаружении препятствия при помощи вибрации рукоятки. Она способна обнаружить препятствия в радиусе 2 – 4 метра ниже уровня груди, а также до 1,5 метров на высоте головы и груди (рис. 2, б) [5].



а



б

Рис.2. Трость UltraCane: а – внешний вид; б – поле зрения

Умная трость «Робин» с ИИ (рис. 3). Она умеет распознавать препятствия, определять расстояние до них; запоминать и распознавать лица людей по загруженным фотографиям.

Предупреждение о препятствиях осуществляется при помощи вибрации, а также имеет возможность подключения к дисплею Брайля и наушников [6].



Рис. 3 Умная трость «Робин»

Электронная трость RAY (рис. 4) – это компактная система помощи в ориентировании, которая является дополнением к белой трости и распознает препятствия при помощи ультразвуковых эхолотаторов. Обладает специальным режимом «Escape», который предоставляет возможность пользователю определить небольшие промежутки или проходы (например, дверные проемы). Обратная связь осуществляется путем акустической или вибрационной индикации [7].



Рис. 4. Электронная трость RAY

OrCam MyEye 3 Pro (рис. 5) – устройство помощи, которое представлено в виде очков, обеспечивающее возможность сканирования текста и интегрированным ИИ. Обладает функциями управления голосовыми командами, жестами рук или сенсорной панели [8].



Рис.5. Устройство помощи OrCam MyEye 3 Pro

Seeing AI – мобильное приложение на основе ИИ, разработанное компанией Microsoft для IOS, которое использует камеру мобильного телефона для обнаружения людей или объектов, чтения текста. Обратная связь осуществляется путем голосового информирования. На рис. 6 представлен скриншот страницы загрузки приложения в Google Play [9].

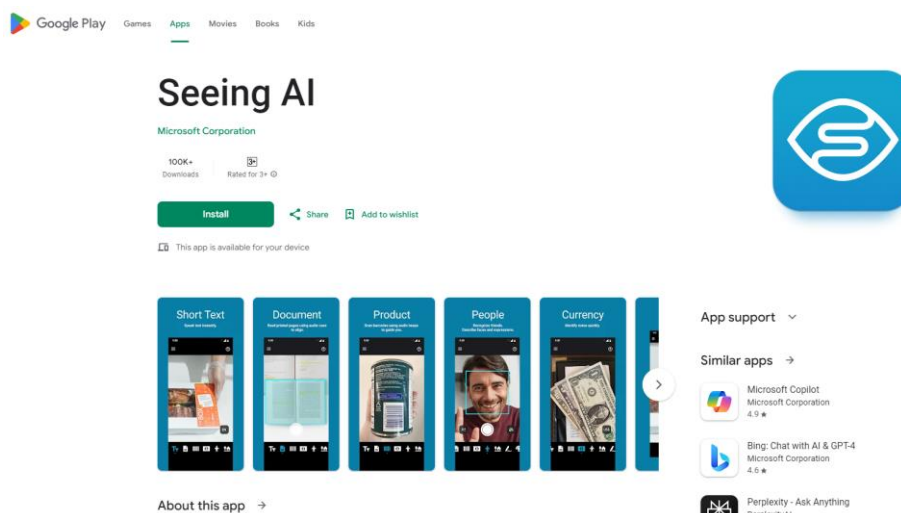


Рис. 6. Страница загрузки приложения Seeing AI в Google Play

Несмотря на большое количество устройств и программных продуктов, представленных на рынке, разработка электронных помощников в передвижении слабовидящим и инвалидам по зрению является актуальной в связи с рядом причин, которые связаны с улучшением качества жизни, доступностью технологий и необходимостью дальнейших инноваций в этой сфере.

Существующие технические решения еще не могут полностью заменить зрение. Кроме того, многие используемые технологии имеют ограничения в использовании.

При проектировании и оценке качества мобильных систем помощи обнаружения препятствий учитывается ряд факторов, влияющих на эффективность устройства. Основными из них являются эффективный угол обзора пространства, дальность измерения расстояния, мощность центрального процессора, а также гарантированная длительность работы в автономном режиме. Наиболее актуальными являются исследования по увеличению панорамности (способности охватывать более широкий угол обзора пространства без поворота устройства) и улучшению точности измерений [10, 11].

Заключение

Таким образом, в развитии современной медицинской техники, несмотря на активное развитие и внедрение электронных тифлоприборов, тема разработки эффективного, компактного, полностью автономного и массово доступного устройства помощи обнаружения препятствий остается актуальной. Уже существующие подобные медицинские средства показали свою эффективность, однако существующие решения еще далеки от совершенства и массово не доступны. Внедрение новых технологий, а также совершенствование уже существующих, способно значительно улучшить качество жизни слабовидящих и инвалидов по зрению. Однако из представленных на рынке приборов, которые были рассмотрены, отсутствуют устройства производства Республики Беларусь, и только умная трость «Робин» и электронная трость RAY производятся в Российской Федерации.

Таким образом можно сделать вывод о том, что несмотря на прорыв в сфере технологий помощи незрячим людям, тифлоприборы требуют дальнейшего развития и модернизации; а также необходимости разработки отечественного устройства помощи в обнаружении.

Список литературы

1. Blindness and vision impairment [Electronic Resource]. – Mode of access : <https://www.who.int/news-room/fact-sheets/detail/blindness-and-visual-impairment#:~:text=Key%20facts,are%20refractive%20errors%20and%20cataracts>. Date of access : 31.10.2024.
2. World Blind Union [Electronic Resource]. – Mode of access: <https://worldblindunion.org/about/>. Date of access : 31.10.2024.

3. Министерство труда и социальной защиты Республики Беларусь [Электронный ресурс]. – Режим доступа : <https://mintrud.gov.by/ru/obschestvennoe-obedinenie-belorusskoe-tovarischestvo-invalidov-rozreniyu-ru#:~:text=В%20структуре%20ОО%20«БелТИЗ»%20имеется,инвалидов.> Дата доступа : 31.10.2024.
4. The brand new wewalk smart cane 2 – your smart mobility companion [Electronic Resource]. – Mode of access : <https://wewalk.io/en/product/>. Date of access : 31.10.2024.
5. UltraCane [Electronic Resource]. – Mode of access : https://www.ultracane.com/about_the_ultracane. Date of access : 31.10.2024.
6. Исток аудио группа компаний. Умная трость «Робин» [Электронный ресурс]. – Режим доступа : https://www.istok-audio.com/catalog/product/umnaya_trost_robin/. Дата доступа : 31.10.2024.
7. Исток аудио группа компаний. Электронная трость RAY [Электронный ресурс]. – Режим доступа : https://www.istok-audio.com/catalog/product/elektronnaya_trost_ray/. Дата доступа : 31.10.2024.
8. OrCam [Electronic Resource]. – Mode of access : <https://www.orcam.com/en-us/orcam-myeye-3-pro>. Date of access : 31.10.2024.
9. Seeing AITalking camera for the blind [Electronic Resource]. – Mode of access : <https://www.seeingai.com>. Date of access : 31.10.2024.
10. Костенко, В. Л. Энергоэффективная система панорамного ультразвукового обнаружения препятствий для слепых / В. Л. Костенко, С. Б. Кондратьев, М. В. Ядро́ва, Д. О. Попов // Вестник НТУ «ХПИ», Серия: Новые решения в современных технологиях. – Харьков : НТУ «ХПИ». – 2018. – № 16. – С. 47-55. DOI:10.20998/2413-4295.2018.16.07.
11. Alex, Y Smart cane for blind and visually impaired people / Y. Alex, S. Shyam // International journal of creative research thoughts. – India : IJCRT. – 2020. – Vol. 8, No 5. – P 2513 – 2517. ISSN: 2

УДК 616.8

КАРБОКСИРЕФЛЕКСОТЕРАПИЯ ОСЛОЖНЕННОЙ НЕВРОПАТИИ ЛИЦЕВОГО НЕРВА

Т.И. ГРЕКОВА, А.П. СИВАКОВ, С.М. МАНКЕВИЧ, Л.В. ПОДСАДЧИК

Белорусский государственный медицинский университет, институт повышения квалификации и переподготовки кадров здравоохранения, ул.П.Бровки, 3, г.Минск, 220039, Республика Беларусь.

Аннотация. Развитие контрактуры мимических мышц при невропатии лицевого нерва ухудшает качество жизни. В настоящее время отсутствует единая концепция лечения и реабилитации данной группы пациентов. Карбоксирефлексотерапия может быть использована в программе восстановительного лечения невропатии лицевого нерва как альтернативный метод.

Ключевые слова: невропатия лицевого нерва, контрактура, карбоксирефлексотерапия.

CARBOXYREFLEXOTHERAPY OF COMPLICATED FACIAL NEUROPATHY

T.I. GREKOVA, A.P.SIVAKOU, S.M. MANKEVICH, L.V. PODSADCHIK

Belarusian State Medical University, Republic of Belarus; 3, P.Brovki Str., 220039, Minsk, Belarus

Abstract. The development of contracture of facial muscles in facial neuropathy worsens the quality of life. Currently, there is no unified concept of treatment and rehabilitation of this group of patients. Carboxyreflexotherapy can be used in the program of restorative treatment of facial nerve neuropathy as an alternative method

Keywords: facial neuropathy, contracture, carboxyreflexotherapy.

Введение

Распространенность невропатии лицевого нерва (НЛН) составляет от 20 до 30 человек на 100 тыс. населения. НЛН развивается преимущественно в возрасте 30-50 и 60-70 лет с одинаковой частотой среди мужчин и женщин. Статистика для детей младше 10 лет отличается - 2,7 на 100 000, а для лиц 10-20 лет - 10,1 на 100 000 в год. Рецидив заболевания возникает у 3-11% пациентов. Среди мононевропатий НЛН занимает 2-е место по частоте встречаемости. В 75% случаев НЛН является идиопатической, в 25% случаев — обусловлена вторичными причинами [3]. Для НЛН характерны органические и функциональные расстройства различной степени тяжести, приводящие к преимущественно одностороннему поражению мимической мускулатуры. При этом возникает эстетический дефект, вследствие слезотечения, лагофтальма, нарушения речи, изменение мимики – это приводит к ухудшению качества жизни.

В настоящее время нет единой концепции лечения и реабилитации пациентов с НЛН на разных стадиях заболевания [3, 5].

Теоретическая часть

Согласно классификации НЛН в течении заболевания выделяют: острую стадию продолжительностью до двух недель; подострую - до четырех недель и хроническую - более 4 недель. При НЛН прогноз восстановления функции лицевого нерва в значительной степени зависит от времени начала лечения заболевания, преобладания в лечении и процессе реабилитации на различных стадиях заболевания.

В 20,8–32,2% случаев через 4–6 недель у пациентов с НЛН в исходе заболевания остаются умеренные или тяжелые симптомы, такие как неполное восстановление движений в мимических мышцах, контрактуры, синкинезии, гемифациальный спазм и другие. Неблагоприятными прогностическими признаками НЛН являются: полный мимический

паралич, проксимальный уровень поражения (гиперакузия, сухость глаза), заушная боль, наличие сопутствующего сахарного диабета, возраст старше 60 лет, выраженная дегенерация лицевого нерва по результатам электрофизиологических исследований.

Для уменьшения проявления постневритической контрактуры мимических мышц показано физиотерапевтическое лечение: применение дециметровых волн, комбинированные методики воздействия СМТ на область проекции верхних шейных симпатических узлов с последующим применением ультразвука, лазеротерапии, электрофорез сосудорасширяющих лекарственных средств (эуфиллин, компламин, магния сульфат), седативных (натрия бромид) и миорелаксирующих препаратов, ЛФК, массажа, постизометрической релаксации, тейпирования. Очевидно, что эти физические факторы направлены на улучшения проведения импульсов по нервным волокнам, улучшение трофики, микроциркуляции и уменьшение спазма мимической мускулатуры [3, 5].

Первичный пусковой механизм рефлексотерапии (РТ) представляет раздражение рецепторных образований кожи и подлежащих тканей. В отличие от физиотерапевтических зон воздействия, при использовании РТ зона воздействия минимальна, а за счет проникновения иглы в более глубокие ткани в процесс вовлекаются многочисленные анатомические образования, заложенные в коже, мышцах, околососудистых сплетениях, оболочках нервов и др. Все это позволяет достигнуть сопоставимого с физиотерапевтическим воздействием эффекта при меньшей дозировке воздействия [6].

Одним из эффективных методов, улучшающих состояние микроциркуляторного русла, является инъекционная карбокситерапия. Эффективность этого метода основана на следующих механизмах регуляции. Рефлекторно-химический эффект введения углекислого газа (УГ) обусловлен образованием угольной кислоты при соединении УГ с водой, при этом происходит возбуждение хеморецепторов рефлексогенных зон, активируются дыхательный и вазомоторный центры головного мозга, что способствует улучшению функции внешнего дыхания, кровообращения. Кроме того, метаболизм углекислого газа в организме изменяет рН среды (биохимический эффект). Создается локальный ацидоз, характеризующийся гипоксией тканей и усиленным потреблением O₂, что, в свою очередь, способствует притоку артериальной крови с кислородом к пораженному участку, улучшению микроциркуляции. Рефлекторно-механический эффект обусловлен механическим раздражением точек акупунктуры (ТА) инъекционным введением УГ, триггерных точек, миофибралгических зон, что путем передачи импульса в центральную нервную систему вызывает рефлекторную эфферентную реакцию, что также обеспечивает усиление микроциркуляции, устраняет венозный и лимфатический стаз.

Таким образом, введение УГ в ТА (карбоксирефлексотерапия) оказывает миорелаксирующее, гемореологическое, трофическое воздействие [1, 2, 4]. При НЛН инъекции УГ в ТА производятся в околоушной области и в зоне пораженных мимических мышц, затылочной зоны, шейно-воротниковой зоны. Такой способ введения УГ в ТА предполагает минимальный поток газа (5 - 10 мл), что также уменьшает возможность побочных реакций.

Цель исследования – определить эффективность карбоксирефлексотерапии в лечении мимических контрактур при НЛН.

Материалы и методы

Под наблюдением находилось 30 пациентов в возрасте от 25 до 40 лет с НЛН с исходом в контрактуру мимической мускулатуры различной степени. Всем пациентам проводились клинические методы исследования: сбор жалоб, анамнез, неврологическое обследование. Степень поражения оценивали по шкале Хауса — Бракмана (ШХБ), которая из-за своей простоты и частоты использования считается «золотым стандартом». Шкала градуируется от 1 (нет нарушения функции нерва) до 6 (тотальный паралич).

Карбоксирефлексотерапия проводилась на аппарате INCO₂ в дозе 10 мл/мин в ТА наиболее заинтересованной зоны лица, ТА передней поверхности шеи и шейно-воротниковой зоны через день, на курс лечения 10 процедур. В одну процедуру использовалось 10-12 ТА.

Результаты и их обсуждение

Все пациенты обратились в хронический период заболевания (более 4 месяцев от начала заболевания). У всех больных были выявлены орокулярные, ороплатизменные синкинезии. Пациентов обучили технике постизометрической релаксации.

Таблица. Распределение пациентов в зависимости от степени тяжести контрактур и давности заболевания

Степень клинических проявлений	Периоды заболеваний	
	Поздний восстановительный период	Период остаточных явлений
Средняя	11	7
Тяжелая	4	2
Итого	15	9

После проведенного курса лечения у всех пациентов отмечалось уменьшение ощущения стягивания и напряжения мышц лица с пораженной стороны, в разной степени уменьшились проявления синкинезий и контрактур.

Заключение

Положительный результат карбоксирефлексотерапии у пациентов с НЛП, полученный в рамках предварительного исследования, свидетельствует о целесообразности применения данного метода. Полученные данные указывают на необходимость разработки новых методик лечения НЛП с учетом полиморфной картины данного заболевания.

Список литературы

1. Герасименко М. Ю., Аксененко И. П., Инъекционная карбокситерапия как метод в коррекции локальных нежелательных явлений (отек, нейропатия) в косметологии. Физиотерапевт. 2019;4, С38-44
2. Зеленкова Г. Карбокситерапия. Новейшие исследования. Свидник, 2019; 120с.
3. Завалий Л.Б., Петриков С.С., Рамазанов Г.Р., Касаткин Д.С., Чехонацкая К.И. Современные подходы к лечению и реабилитации пациентов с невропатией лицевого нерва. Вестник восстановительной медицины. 2020; 96 (2), С.59-67.
4. Лувсан Гаваа. Традиционные и современные аспекты восточной медицины. М.: АО «Московские учебники и Картолитография». 2000; 400 с
5. Саковец Т.Г., Богданов Э.И. Медицинская реабилитация при нейропатии лицевого нерва. Практическая медицина. Том 18, №5, 2020, С.46-49
6. Улащик В.С. Очерки общей физиотерапии. Мн.: «Навука і тэхніка». 1994; 199с.

References

1. Gerasimenko M.U., Aksenenko I.P. Injectable carboxytherapy the method of correction local adverse events (edema, neuropathy) in cosmetology. Physiotherapist. 2019;4, P.38-44
2. Zelenkova G. Carboxytherapy. Noveyshie issledovaniya. Svidnik.2019; 120p.
3. Zavaliy L.B., Petrikov S.S., Ramazanov G.R., Kasatkin D.S., Chekhonatskaya K.I Modern approaches to the treatment and rehabilitation of patients with facial neuropathy. Bulletin of rehabilitation medicine. 2020; 96 (2), С.59-67
4. Gavaa Luvsan. Traditsionnyye i sovremennyye aspekty vostochnoy meditsiny. – М., АО «Moskovskiye uchebniki i Kartolitografiya». 2000; 400с
5. . Sakovets T.G., Bogdanov E.I. Medical rehabilitation for neuropathy of the facial nerve. Practical medicine. 2020. Vol. 18, № 5, P. 46-49
6. Ulaschik V.S. Essays on general physiotherapy. Mn. “Navuka i technika”. 1994; 199p.

УДК 615.8:615.847+615.844.1

КОМБИНИРОВАННАЯ ФИЗИОТЕРАПИЯ ОСТЕОАРТРОЗА

Н.В. ВОЙЧЕНКО, Л.А. МАЛЬКЕВИЧ, Е.А. СУЩЕНЯ

*Белорусский государственный медицинский университет
(г. Минск, Республика Беларусь)*

Аннотация: В статье рассматриваются вопросы комбинированной физиотерапии остеоартроза. Приведены результаты комбинированного применения флюктуирующих токов и фотоманнитотерапии. У пациентов с остеоартрозом курсовое применение фотоманнитотерапии и флюктуирующих токов способствует уменьшению боли в суставе при пальпации и при движении, улучшает функциональную активность пациентов.

Ключевые слова: остеоартроз, физиотерапия, флюктуирующие токи, магнитные поля, фотоманнитотерапия.

COMBINED PHYSIOTHERAPY OF OSTEOARTHRITIS

N.V. VOICHENKO., L.A. MALKEVICH, A.A. SUSHCHENIA

*Belarusian State Medical University
(Minsk, Republic of Belarus)*

Abstract: The article discusses the issues of combined physiotherapy of osteoarthritis. The results of the combined use of fluctuating currents and photomagnetic therapy are presented. In patients with osteoarthritis, a course of photomagnetic therapy and fluctuating currents helps to reduce pain in the joint during palpation and movement, improves the functional activity of patients.

Keywords: osteoarthritis, physiotherapy, fluctuating currents, magnetic fields, photomagnetic therapy.

Введение

Остеоартроз (ОА) является одним из наиболее распространенных заболеваний суставов. Частота данной патологии увеличивается с возрастом, так, у лиц старше 45 лет она составляет 27 %, а в возрасте старше 60 лет достигает 97 %. При рентгенологическом исследовании признаки остеоартроза обнаруживаются практически у большинства обследуемых в возрасте 55 лет и старше.

ОА – мультифакториальное хроническое прогрессирующее заболевание, при котором в патологический процесс вовлекается не только хрящ, но и все компоненты сустава – субхондральная кость, периартикулярные ткани, синовиальная оболочка. Если ранее считали, что при остеоартрозе преобладают преимущественно дегенеративные процессы, в настоящее время многими авторами подчеркивается воспалительный компонент как одно из звеньев патогенеза.

При ОА чаще всего поражаются крупные суставы, в связи с чем длительное течение заболевания приводит к нарушению локомоторной функции, затруднению передвижения пациентов и развитию той или иной степени ограничения жизнедеятельности [1].

В лечении остеоартроза оптимальным является комплексное воздействие, направленное на коррекцию и купирование различных патологических проявлений. Существует широкий арсенал медикаментозных средств, применяющихся в лечении пациентов с ОА, достаточно эффективно используются и физиотерапевтические методы, которые чаще всего назначаются комплексно: в виде сочетания (применение нескольких факторов одновременно на одну и ту же область тела) или комбинирования (использование физиотерапевтических факторов последовательно, либо в разные дни) [2].

Активно используются в лечении пациентов с ОА импульсные токи. Особый интерес вызывает применение флюктуирующих токов. Флюктуирующие токи – переменные токи малой

силы и низкого напряжения, хаотически меняющиеся по амплитуде и частоте в диапазоне от 100 до 2000 Гц. Особенностью действия флюктуирующих токов на организм является то, что благодаря беспорядочному изменению их параметров на протяжении всего времени воздействия в тканях не развиваются явления адаптации. Наряду с анальгетическим, трофостимулирующим, сосудорегулирующим действием, данным токам присущ и противовоспалительный эффект, что является актуальным в лечении пациентов с ОА [3].

В последние десятилетия широкое распространение получили источники импульсных магнитных полей, а также светодиодные источники, успешно применяемые при различных группах заболеваний, в том числе при остеоартрозе.

Известно, что низкочастотная магнитотерапия обладает противовоспалительным действием, связанным с влиянием на синтез простагландинов, стабилизацией мембран тучных клеток и базофилов, торможением выброса гистамина и других медиаторов. Магнитотерапия оказывает вазоактивный, противоотечный, трофический и анальгезирующий эффекты [4].

Действие оптического поляризованного излучения зависит от длины волны, что предопределяет индивидуальный подход к его использованию. Так, красному и инфракрасному светодиодному излучению присущи физиологические и лечебные эффекты, сходные с эффектами, вызываемыми низкочастотными магнитными полями. Поэтому при сочетании этих двух физических факторов происходит усиление терапевтического действия.

Эффективность сочетанного применения низкочастотных импульсных магнитных полей и оптического излучения определяется физиологическими и лечебными эффектами света, магнитного поля и взаимным их влиянием на ряд сдвигов в организме.

Как показывают многочисленные исследования, при таких воздействиях можно усиливать эффекты, присущие физическим факторам, за счет суммации и потенцирования их действия, а также ослаблять нежелательные эффекты одного физического фактора путем применения другого, влиять на различные стороны патологического процесса, увеличивать период последствия [5].

В арсенале физиотерапевтов благодаря интенсивному развитию отечественного рынка физиотерапевтической аппаратуры появилась возможность использовать различные варианты комбинирования и сочетания вышеуказанных факторов, в частности, разработан новый метод-фотоманнитотерапия, основанный на сочетанном применении импульсных магнитных полей и оптического излучения.

Фотоманнитотерапия активно используется в комплексном лечении различных заболеваний, данный метод возможно комбинировать с другими физиотерапевтическими методами (ультразвуковой терапией, криотерапией, импульсной электротерапией, в том числе флюктуоризацией). Однако к настоящему времени методики комбинированного применения флюктуирующих токов и фотоманнитотерапии недостаточно разработаны, что и определило актуальность нашего исследования.

Материалы и методы

В исследование были включены пациенты с остеоартрозом I- II-ой стадии (n=62), которые были распределены в две сопоставимые по половозрастному составу, длительности и тяжести заболевания группы: основную (32 пациента) и группу сравнения (30 пациентов). Средний возраст пациентов составлял $60,3 \pm 1,2$ года, длительность заболевания - $10,2 \pm 4,0$ лет.

На фоне приема медикаментозной терапии (хондропротекторы, нестероидные противовоспалительные средства) пациентам группы сравнения проводили воздействие флюктуирующими токами на область суставов от аппарата «Рефтон 01» (ООО «Азгар», Республика Беларусь). Электроды располагали поперечно на область пораженных суставов, использовали биполярный симметричный ток, среднюю плотность тока 1 мА/см^2 . Время процедуры составляло 12 – 15 минут, курс лечения составил 10 процедур, проводимых 5 раз в неделю.

Пациентам основной группы дополнительно к медикаментозной терапии назначали курс комбинированной физиотерапии, которая включала применение флюктуирующих токов по вышеуказанным параметрам и фотоманнитотерапию на область пораженного сустава от аппарата «ФотоСПОК» (ОДО «Магномед», Республика Беларусь). Воздействие осуществляли

контактно, стабильно. При поражении коленных суставов воздействие осуществляли на медиальную и латеральную поверхности сустава, область подколенной ямки; при поражении тазобедренных суставов – на переднюю, заднюю и боковую поверхность сустава. Параметры процедуры: индукция сложномодулированного НИМП 25 ± 5 мТл, сочетание поляризованного излучения инфракрасного (920–960 нм) и красного (610–680 нм) диапазонов, плотность потока мощности $3,5 \pm 0,5$ мВт/см², длительность воздействия 5 мин на одну зону, общая продолжительность фотоманнитотерапии до 20 мин. Курс комбинированной физиотерапии составил 10 процедур, проводимых 5 раз в неделю.

Все пациенты были обследованы до и после курса лечения. Эффективность проведенной терапии оценивали по динамике суставного синдрома, индекса WOMAC, интенсивности боли в суставе (по 100-бальной визуально-аналоговой шкале ВАШ).

Результаты и их обсуждение

После проведенного курса лечения у пациентов отмечено клиническое улучшение: в обеих группах наблюдали снижение болевого синдрома, улучшение функциональной способности суставов. К моменту завершения курса физиотерапевтических процедур в группе пациентов, получившей курс комбинированной физиотерапии, значительное улучшение отметили 25% пациентов, улучшение – 71,9%, отсутствие положительной динамики – 3,1%.

В группе сравнения значительное улучшение отметили 20 % пациентов, улучшение – 70%, без динамики – 10 %.

Следует отметить, что 27,5% пациентов основной группы указывали на уменьшение болевого синдрома уже после 3-й процедуры, тогда как в группе сравнения уменьшение болевого синдрома пациенты отмечали только после 5-й процедуры.

До начала лечения пациентов беспокоили жалобы на боли в коленных, тазобедренных суставах, возникающие в покое и при движении, при этом наиболее выраженные боли пациенты отмечали при движении – 50,9 (47,1–54,6) в группе сравнения и 51,9 (49–54,7) баллов в основной группе по 100-бальной визуально-аналоговой шкале ВАШ.

Выявлено, что в обеих группах в результате проведенного лечения уменьшилась боль в суставе при пальпации на 58,2% в основной и на 57,8% в группе сравнения, боль при движении уменьшилась на 52,6% в основной и на 37,4% в группе сравнения, боль в покое – на 42,6% и на 36,3% соответственно. При этом комбинированное применение флюктуирующих токов и фотоманнитотерапии в большей степени, чем монотерапия флюктуирующими токами, способствовало снижению боли в суставе при движении ($p < 0,05$).

В результате проведенного лечения у пациентов обеих групп наблюдалась положительная динамика при оценке показателей индекса WOMAC – уменьшение боли, уменьшение скованности в суставах, увеличение функциональной активности.

Как в группе пациентов, которые получили стандартное лечение, так и в группе пациентов, прошедших курс комбинированной физиотерапии, различия были статистически значимыми в сравнении с показателями индекса WOMAC до начала лечения ($p < 0,001$). Так, применение комбинированной физиотерапии в основной группе способствовало снижению индекса WOMAC, боль в 2,7 раз, индекса WOMAC, скованность – в 2,2 раза, индекса WOMAC, функция – в 2,0 раза. В целом же суммарный индекс WOMAC у пациентов основной группы снизился в 2,1 раз (в группе сравнения в 1,4 раза).

Следует так же отметить, что переносимость проведенной комбинированной терапии пациенты отметили, как отличную и хорошую (92,2 %). Каких - либо побочных эффектов при проведении комбинированной физиотерапии выявлено не было.

Заключение

Таким образом, комбинированное использование флюктуирующих токов и сложномодулированного низкочастотного импульсного магнитного поля и оптического излучения красного и инфракрасного диапазонов (фотоманнитотерапия) у пациентов с остеоартрозом уменьшает болевой синдром, увеличивает функциональную способность пациентов. Использование комбинирования флюктуоризации и фотоманнитотерапии

позволит повысить эффективность комплексного лечения и реабилитации пациентов с остеоартрозом.

Список литературы

1. Алексеева Л. И. Обновление клинических рекомендаций по лечению больных остеоартритом 2019 г. Рус. мед. журн. 2019, № 4, С. 2–6.
2. Тактика врача физической и реабилитационной медицины: практ. руководство / под ред. Г. Н. Пономаренко, М. : ГЭОТАР-Медиа, 2023. 160 с.
3. Физиотерапия и курортология: руководство / под ред. В. М. Боголюбова. М., 2020. Т. 1. 312 с.
4. Кончугова Т. В., Кульчицкая Д.Б, Иванов А.В. Эффективность методов магнитотерапии в лечении и реабилитации пациентов с заболеваниями суставов с позиции доказательной медицины. Вопр. курортологии, физиотерапии и лечеб. физ. культуры. 2019. Т. 96, № 4. С. 63–68.
5. Электромагнитотерапия: новые данные и технологии / под. общ. ред. Улащика В.С.. Минск : Беларус. навука, 2018. 323 с.

УДК 621.3.049.77–048.24:537.2

УЛЬТРАЗВУКОВОЕ ИССЛЕДОВАНИЕ ВИСОЧНО-НИЖНЕЧЕЛЮСТНОГО СУСТАВА

БРЕДИХИНА Д.А., БОНДАРЬ В.Г., ГРИБКО А.С.

*Белорусский государственный университет информатики и радиоэлектроники,
г. Минск, Республика Беларусь*

Аннотация. В данной работе рассмотрены патологии височно-нижнечелюстного сустава и метод их диагностики с помощью ультразвукового исследования. Рассмотрены статические данные, подтверждающие актуальность поднятой проблемы и методов ее диагностики на примере рассматриваемого метода диагностики. Исследовались такие структурные элементы височно-нижнечелюстного сустава как заднее капсульно-шеечное пространство, суставная капсула и внутрисуставная щель. Предобработка данных включала в себя оцифровку, систематизацию и разделение данных с последующим корреляционным анализом полученных результатов. Была выявлена зависимость вышеупомянутых структурных элементов правого сустава от аналогичных параметров левого сустава. Обработываемые данные были визуализированы с помощью программы MS Excel.

Ключевые слова: ультразвуковое исследование, височно-нижнечелюстной сустав, суставный диск, стоматология, заднее капсульно-шеечное пространство, суставная капсула, внутрисуставная щель, корреляционный анализ, нижняя челюсть, комбинированный парный сустав.

ULTRASOUND EXAMINATION OF THE TEMPOROMANDIBULAR JOINT

BREDIHINA D.A., BONDAR V.G., GRIBKO A.S.

Belarusian State University of Informatics and Radioelectronics, Minsk, Republic of Belarus

Abstract. Pathologies of the temporomandibular joint and the method of their diagnosis by means of ultrasound research were considered. Statistical data confirming the relevance of the raised problem and methods of its diagnostics were studied using the example of the diagnostic method under consideration. The study of such important parameters of the temporomandibular joint as posterior capsular-cervical space, joint capsule and intra-articular gap was conducted in the work. Pre-processing of data included digitization, systematization and division of data, followed by correlation analysis of the obtained results. The dependence of the above-mentioned structural elements of the right joint on similar parameters of the left joint was revealed. The analysis of the processed data was visualized using the MS Excel program.

Keywords: ultrasound examination, temporomandibular joint, articular disk, stomatology, posterior capsular-cervical space, joint capsule, intra-articular gap, correlation analysis, lower jaw, combined paired joint.

Введение

Височно-нижнечелюстной сустав (ВНЧС) – комбинированный парный сустав, образованный головкой нижней челюсти, нижнечелюстной ямкой и суставным бугорком височной кости, суставным диском, внутрисуставными связками и капсулой сустава [1].

Внутресуставная щель – это пространство внутри сустава, которое играет важную роль в его функционировании. В контексте ВНЧС суставная щель состоит из двух полостей, разделенных суставным диском.

Суставная капсула ВНЧС представляет собой плотную соединительнотканную оболочку, которая окружает сустав и обеспечивает его стабильность и защиту. Суставная капсула состоит из плотной соединительной ткани, которая окружает весь сустав, образуя замкнутую полость, заполненную синовиальной жидкостью [2].

Внутренняя часть выстлана синовиальной мембраной, которая производит синовиальную жидкость. Эта жидкость смазывает суставные поверхности, уменьшает трение и обеспечивает

питание хрящевой ткани. Наружная часть плотная фиброзная оболочка, которая обеспечивает прочность и защиту сустава.

Заднее капсульно-шеечное пространство ВНЧС – это анатомическая область, расположенная позади суставной капсулы и шейки нижней челюсти. В этом пространстве расположены некоторые мышцы, такие как латеральная крыловидная мышца, которые помогают в движении нижней челюсти.

Согласно многочисленным данным эпидемиологических исследований, частота встречаемости заболеваний ВНЧС на приеме у врача-стоматолога составляет от 10 до 70%, при этом чаще от дисфункции ВНЧС страдают женщины, особенно в возрасте 20–40 лет [3-6].

Первое место по частоте поражения занимают внутренние нарушения ВНЧС, которые составляют более 80% пациентов с этой патологией. Термин «внутреннее нарушение» ВНЧС используется в случаях изменения анатомических и функциональных взаимоотношений между суставным диском, мышечковым отростком нижней челюсти и нижнечелюстной ямкой височной кости. При поражениях ВНЧС самыми распространенными являются жалобы на щелчки или хруст при открывании и закрывании рта, боли в области сустава и прилежащих к нему зонах, ограничение открывания рта вплоть до полной невозможности его открытия [7].

При патологиях ВНЧС одним из самых распространённых методов диагностики является ультразвуковое исследование (УЗИ). Метод обладает большими возможностями в определении степени подвижности суставного диска с возможностью оценивать ее количественно в миллиметрах в динамике и статике. Важным преимуществом УЗИ является возможность непосредственной визуализации движения диска во время открывания рта. Метод также демонстрирует удобство в оценке геометрии, структуры и размеров суставного диска. Очевидным ограничением УЗИ височно-нижнечелюстных суставов выступает техническая невозможность оценки боковых смещений диска. С другой стороны, дешевизна метода, возможность максимального приближения его к пациенту и рабочему месту клинициста являются неоспоримыми преимуществами в сравнении с любыми другими методами лучевой диагностики данной области. В процессе исследования средствами УЗИ производится визуализация головки, мениска, капсулярно-связочного и мышечного аппарата ВНЧС. Исследование проводится в двух статичных положениях (при закрытом рте и максимально открытом рте), а также в динамике — в процессе открывания и закрывания рта [8].

Методика проведения эксперимента

В ходе исследования приняли участие 30 человек, имеющих патологии с височно-нижнечелюстным суставом, на основе чего были получены данные о заднем капсульно-шеечном пространстве, суставной капсулы и внутрисуставной щели

Данные были оцифрованы и разделены в соответствии с вышеперечисленными параметрами и классифицированы на две группы (данные правого сустава и левого сустава). Для наглядности было принято решение обобщить данные и привести их к стандартному виду (таблица 1).

Таблица 1. Усредненные данные для параметров исследования.

	Заднее капсульно-шеечное пространство, мм	Внутресуставная щель, мм	Суставная капсула, мм
Правый сустав	0,9±0,3	0,6±0,2	0,8±0,1
Левый сустав	1,1±0,3	0,7±0,3	0,8±0,1

Результаты и их обсуждение

Проводя анализ заднего капсульно-шеечного пространства, можно проследить определенную зависимость между левым и правым суставом (рисунок 1). Для подкрепления визуального заключения математическим можно воспользоваться корреляционным анализом, по которому число корреляции для переднего отдела и достоверность составляет 0,69 и 0,54 соответственно. Диапазон изменения размеров для правого сустава 0,7-2 мм, для левого сустава 0,7-2,2 мм. На основе визуального и корреляционного анализа можно прийти к выводу, что

заднее капсульно-шеечное пространство в правом суставе и левым имеет среднюю корреляцию. Также необходимо отметить несимметричность распределения размеров заднего капсульно-шеечного пространства. Несимметричность данных выражается в разной частоте встречаемости у людей с подобными соотношениями размеров в правом и левом суставе, такие данные распределены со смещением и не образуют гистограмму нормального распределения.

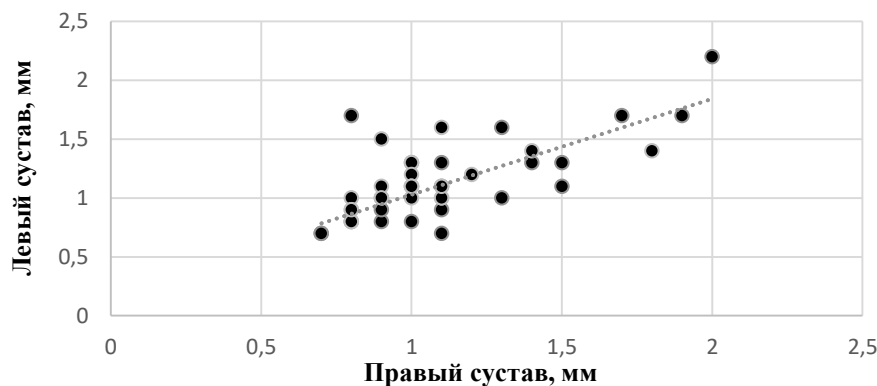


Рис.1. График зависимости левого и правого заднее капсульно-шеечного пространства

Аналогичный корреляционный анализ можно провести и с суставной капсулой (рисунок 2). Для такой зависимости правого и левого сустава число корреляции и достоверность равны 0,84 и 0,77 соответственно. Что и позволяет сделать вывод о том, что суставная капсула в правом суставе имеет высокую корреляцию с левым суставом. Это означает, что изменения или патологии, которые происходят в правом суставе, сильно связаны с аналогичными изменениями в левом суставе, то есть такой признак может указывать на сходство или параллельность патологических процессов или состояний, которые влияют на оба сустава. Диапазон изменения толщины для правого сустава 0,4-1.1 мм, для левого сустава 0.6-1.1 мм. Полученные данные так же не симметричны и не образуют гистограмму нормального распределения.

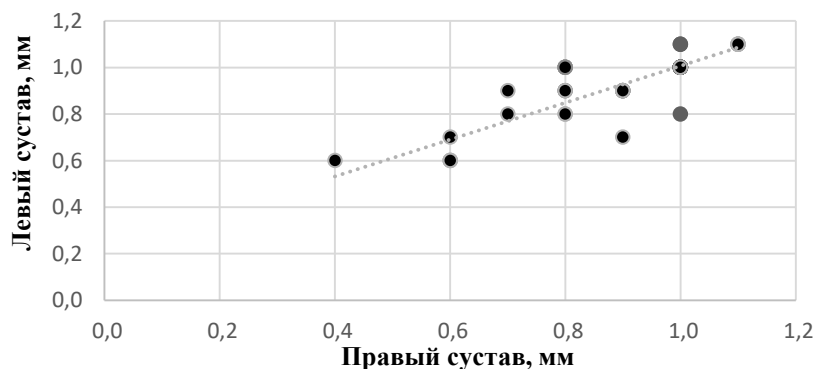


Рис.2. График зависимости левой и правой суставной капсулы

Анализируя внутрисуставную щель, выявлена зависимость, изображенная на рисунке 3. Выражая зависимость в числовом виде, получим следующие значения: число корреляции составляет 0,5, достоверность составляет 0,2. Диапазон изменения толщины для правого сустава 0.1-1.2 мм, для левого сустава 0.1-2.1 мм. Из анализа зависимости следует, что внутрисуставную щель в правом суставе и левым имеет корреляцию ниже, чем в других рассмотренный аспектах в данной работе, что означает слабую зависимость размеров щели правого и левого сустава. В графике четко прослеживается несимметричность данных, более того самая большая среди рассмотренных параметров. Так с учетом проведенного корреляционного анализа и абсолютно несимметричного распределения размеров щели можно

сделать вывод о том, что два сустава фактически не связаны друг с другом зависимостью размера внутрисуставной щели.

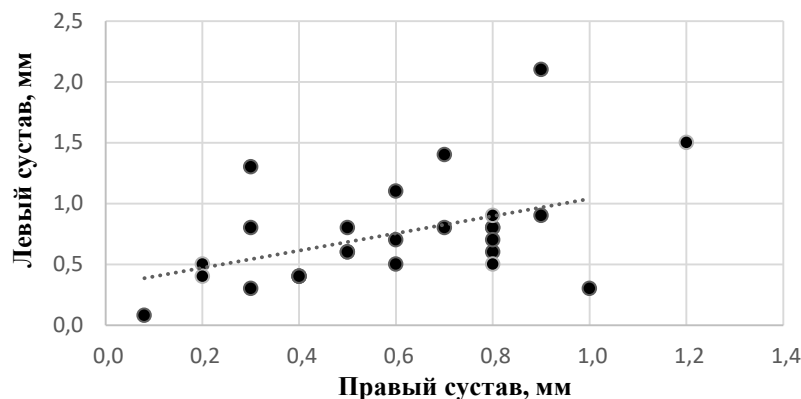


Рис.3. График зависимости левой и правой внутрисуставной щели

Несмотря на то, что прослеживается выраженная зависимость параметров суставного диска и патологий ВНЧС, для более точной оценки и интерпретации этого вывода, необходимо учитывать контекст и методологию приведенной системы интерпретации, а также дополнительные клинические данные и исследования. Это поможет определить практическую значимость данного наблюдения и его применение в диагностике, лечении или мониторинге состояния височно-нижнечелюстного сустава.

Заключение

Была изучена зависимость заднего капсульно-шеечного пространства, суставной капсулы, внутрисуставной щели правого и левого ВНЧС. В результате чего выявлена сильная зависимость между суставной капсулой, заднее капсульно-шеечного пространства правого и левого сустава, а также слабую корреляцию внутрисуставной щели противоположных суставах. Распределение рассмотренных величин в правом и левом суставах преимущественно симметричное, за исключением заднего капсульно-шеечного пространства, где наблюдается больший разброс данных, теряющих симметрию друг с другом.

Список литературы

1. Лучевая диагностика в стоматологии: национальное руководство. Алексахина Т.Ю., Аржанцев А.П., Буковская Ю.В. и др. / Под ред. А.Ю. Васильева, С.К. Тернового. 2010. - 288 с. (Серия "Национальные руководства по лучевой диагностике и терапии") - ISBN 978-5-9704-1349-4.
2. Григорьева Л.П. Болевая дисфункция височно-нижнечелюстного сустава // Стоматология. – 2007. – №3. – С.63-66.
3. Дорошина В.Ю., Макеева И.М., Проценко А.С. Стоматологическая диспансеризация студентов московских вузов и пути повышения ее эффективности // Стоматология. — 2010.— Т. 1.— С. 7–8.
4. Li C. et al. Ultrasonography for detection of disc displacement of temporomandibular joint: a systematic review and meta-analysis // Journal of Oral and Maxillofacial Surgery. — 2012.— Т. 70. — №. 6.— С. 1300–1309.
5. Kundu H. et al. Assessment of TMJ disorders using ultrasonography as a diagnostic tool: a review // Journal of clinical and diagnostic research: JCDR. — 2013.— Т. 7.— № 12.—С. 3116.
6. Shi J. J. et al. The relationship between partial disc displacement and mandibular dysplasia in female adolescents // Medical Science Monitor. — 2010.— Т. 16. — №. 6.— С. CR283-CR288.
7. Сысолятин П.Г., Безруков В.М., Ильин А.А. Классификация заболеваний височно-нижнечелюстного сустава. М.: Медицинская книга, Н.Новгород: издательство НГМА; 2000.
8. Применение ультразвукового метода исследования в комплексной диагностике внутренних нарушений ВНЧС / V.V. Bekreev, S. Yu. Ivanov, D.V. Burenchev, T.A. Gruzdeva, R.I. Yurkevich, B.G. Gharamyan // Медицинский алфавит №29/2016, том №4, Стоматология

УДК 533.9.072

ПРИМЕНЕНИЕ СИНУСОИДАЛЬНО-МОДУЛИРОВАННЫХ СИГНАЛОВ ДЛЯ ГЕНЕРАЦИИ НИЗКОТЕМПЕРАТУРНОЙ АТМОСФЕРНОЙ ПЛАЗМЫ

У. А. АСКАЛЬДОВИЧ¹, А.Н. ОСИПОВ¹, В.А. РОКАЧ¹, Т. МА¹, А.В. АКСЮЧИЦ¹,
В.В. БОЖЕНКОВ¹, И.О. ХАЗАНОВСКИЙ²

¹Белорусский государственный университет информатики и радиоэлектроники,
г. Минск, Республика Беларусь

²ООО «Горнэлектроникс», г. Минск, Беларусь

Аннотация. Представлены результаты исследования возбуждения холодной атмосферной плазмы синусоидально-модулированными сигналами. Изложены вопросы энергопотребления генератора плазмы при изменении глубины модуляции, несущей и модулирующей частоты СМТ сигнала.

Ключевые слова: низкотемпературная атмосферная плазма, генератор, синусоидально-модулированные сигналы.

APPLICATION OF SINUSOIDAL MODULATED SIGNALS FOR GENERATION OF COLD ATMOSPHERIC PLASMA

U.A. ASKALDOVICH¹, A.N. OSIPOV¹, V.A. ROKACH¹, T. MA¹, A. V. AKSUCHITS¹,
V.V. BOZHENKOV¹, I.O. HAZANOVSKIY²

¹Belarusian State University of Information and Radioelectronics, Minsk, Republic of Belarus

²LLC "Hornelectronics", Minsk, Republic of Belarus

Abstract. The results of investigation of excitation of cold atmospheric plasma by sinusoidally modulated signals are presented. The issues of power consumption of the plasma generator at changing the modulation depth, carrier and modulating frequency of the CMT signal are described.

Keywords: cold atmospheric plasma, generartor, sinusoidally modulated signals.

Введение

Разработка новых подходов к возбуждению и генерации плазменных разрядов мотивирована уникальными потребностями все большего количества областей применения, охватываемых плазменной технологией: микроэлектронику, оптику, химическую промышленность, сельское хозяйство и др. [1]. Продолжающееся расширение плазменных приложений, включая междисциплинарные области исследований, требует разработки новых и уникальных подходов к генерации плазмы, что является особенно актуальным для здравоохранения. На биологический объект (клетку) помещенный в плазму оказывают комбинированное воздействие ряд основных факторов: активные формы кислорода и азота, нагрев энергией инфракрасных лучей, электромагнитное поле радиочастотного диапазона, ультрафиолетовое излучение, электроны плазмы, ионы, образующие электрический ток[2]. Электрический ток плазмы на пациента в значительной степени соответствует сигналу, возбуждающую плазму. На практике для возбуждения применяются синусоидальные сигналы и сигналы с широтно-импульсной модуляцией[3,4]. Вместе с тем, в здравоохранении нашло широкое применение электролечение посредством синусоидально-модулированных токов (СМТ). В связи с этим в данном докладе рассматриваются вопросы генерации атмосферной плазмы, возбуждаемой синусоидально-модулированными сигналами.

Методика проведения эксперимента

При генерации низкотемпературной атмосферной плазмы синусоидально-модулированными сигналами возможно совмещение терапевтического воздействия холодной плазмы с эффектом амплипульстерапии. В проведенных исследованиях осуществлена оценка изменения формы тока и мощности, генерируемой устройством на основе регистрируемых напряжений и токов, возбуждающих плазму. Структурная схема исследовательского стенда приведена на рис.1

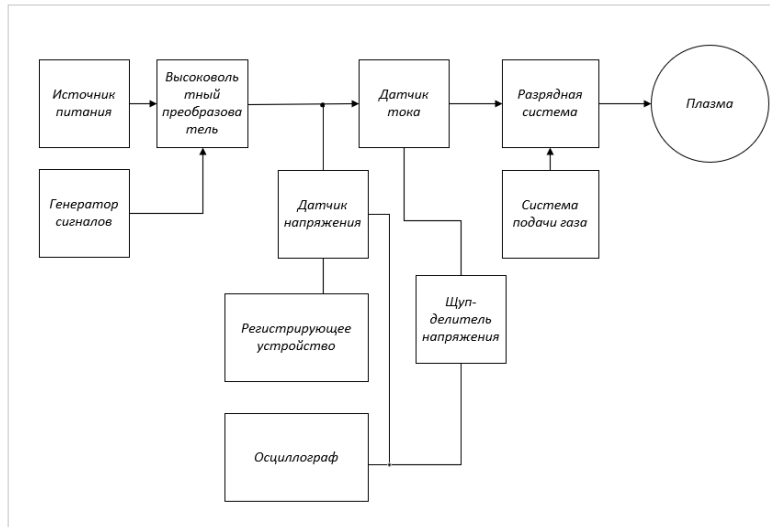


Рис. 1. Структурная схема исследовательского стенда

В состав стенда входят следующие блоки: источник питания постоянного напряжения, высоковольтный преобразователь, генератор сигналов, разрядная система, система подачи газа, датчик тока и напряжения регистратор параметров напряжения и тока, осциллограф. В процессе проведения исследований для формирования плазмы использованы синусоидально-модулированные сигналы. Диапазон изменения параметров СМТ: несущая частота – 1-50 кГц с шагом 100 Гц, модулирующая частота – 20-1000 Гц. Формирование плазмы осуществляется в разрядной системе коаксиального типа, через которую пропускается газ и на выходе формируется плазменный факел. В качестве плазмообразующего газа используется аргон (^{18}Ar). Регулировка количества поступающего газа в разрядную систему осуществляется при помощи регулятора расхода газа системы подачи газа. Регистрация параметров производилась с помощью осциллографа.

Результаты и их обсуждение

На рисунке 2 представлены диаграммы напряжения и тока при использовании модулирующей частоты 1 кГц и 70 Гц. Изменение модулирующей частоты приводит к существенному изменению формы тока, а соответственно и изменению свойств самой плазмы.

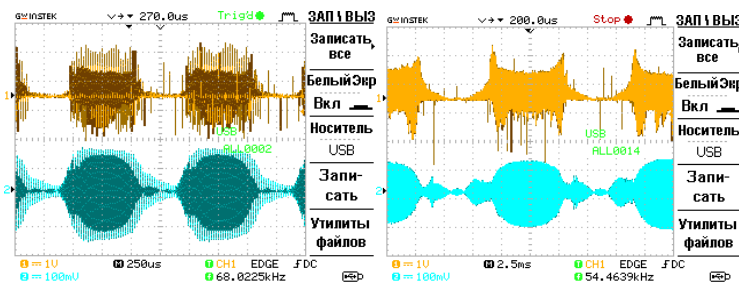


Рис. 2. Диаграммы напряжения и тока при использовании модулирующей частоты 1 кГц и 70 Гц

Потребляемая мощность при изменении частоты модуляции в диапазоне 20Гц-1кГц не изменяется. Однако уменьшение глубины модуляции от 100% до 20%. приводит к увеличению энергопотребления на 50%. Зависимости потребляемой мощности от изменения глубины модуляции для различных значений несущей частоты и изменения кратности резонансной частоты представлены на рисунке 3.

Таким образом, процессы возбуждения плазмы в случае применения СМТ сигналов носят более сложный характер в сравнении с ШИМ сигналами. Это окажет существенное влияние на лечебные параметры плазмы и требует дополнительных исследований.

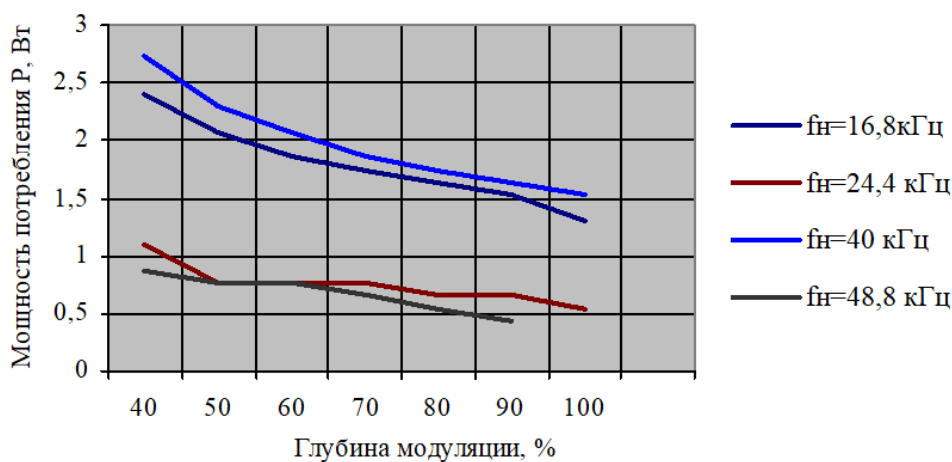


Рис. 3. Зависимость энергопотребления устройства генерации плазмы от глубины модуляции СМТ-сигнала

Заключение

Проведены исследования возбуждения холодной атмосферной плазмы синусоидально-модулированными сигналами. Энергопотребление генератора плазмы увеличивается при увеличении глубины модуляции и остается неизменным при изменении значений несущей частоты СМТ сигнала. Изменение модулирующей частоты СМТ приводило к существенному изменению формы тока в выходной цепи. Результаты работы могут быть использованы при проектировании генераторов атмосферной холодной плазмы медицинского назначения.

Список литературы

1. I Adamovich¹, S Agarwal², E Ahedo³, L L Alves⁴, S Baalrud⁵, N Babaeva⁶, A Bogaerts⁷, A Bourdon⁸, P J Bruggeman^{4,9}, C Canal The 2022 Plasma Roadmap: low temperature plasma science and technology // Journal of Physics D: Applied Physics. – 2022
2. Ю.В. Запорожченко, Д.А. Котов, Е.К. Железнова, А.Н. Осипов Факторы воздействия низкотемпературной плазмы генерируемой при атмосферном давлении на биологические объекты // Медэлектроника 2022. - Минск: 2022. - С. 90.
3. Патент № RU202393U1. Устройство генерации потока нетермальной плазмы : № Н05Н1/24 : заявл. 13.07.2021 : опубл. 22.06.2022 / Шитц Д.В. – 3 с.
4. Осипов, А.Н. Применение сигналов с ШИМ для генерации низкотемпературной атмосферной плазмы / А.Н. Осипов, Е.Н. Каленкович, В.А. Рокач, Т. Ма // Проблемы физики, математики и техники – 2023г. – № 2 (55) – С. 32-38

УДК 534.141

МЕТОДЫ КОМПЕНСАЦИИ АБЕРРАЦИЙ ВОЛНОВОГО ФРОНТА ПРИ УЛЬТРАЗВУКОВОЙ ВИЗУАЛИЗАЦИИ

Д.В. ЛЕОНОВ

*Государственное бюджетное учреждение здравоохранения города Москвы
«Научно-практический клинический центр диагностики и телемедицинских технологий
Департамента здравоохранения города Москвы» (г. Москва, Россия)*

Аннотация. В данном исследовании сравниваются три метода коррекции aberrаций в ультразвуковой визуализации. Первый метод использует полиномиальную аппроксимацию aberrаций волнового фазового фронта, которая хорошо работает в различных условиях, но для нее характерны высокие вычислительные затраты. Второй метод, осуществляет прямую оценку фазы и позволяет найти баланс между производительностью и вычислительной эффективностью. Третий метод предполагает использование дополнительного акустического источника для направленной коррекции, но требует смещения источника при изменении области интереса. Все три метода используют секторный датчик в режиме синтезированной апертуры. Экспериментальные результаты демонстрируют значительное увеличение контрастного и пространственного разрешения.

Ключевые слова: aberrации, формирование луча, коррекция фазы, синтез апертуры.

METHODS FOR ABERRATION CORRECTION IN ULTRASOUND IMAGING

D.V. LEONOV

*Research and Practical Clinical Center for Diagnostics and Telemedicine Technologies of the Moscow Health
Care Department (Moscow, Russia)*

Abstract. In this study, three methods for aberration correction in ultrasound imaging are considered. The first method uses polynomial approximation of wavefront phase aberrations, which performs well in a variety of conditions but is characterized by high computational cost. The second method, which involves direct phase estimation, strikes a balance between performance and computational efficiency. The third method involves the use of an additional acoustic source for directional correction, but requires the source to be shifted when the region of interest changes. All three methods use a sector transducer in synthetic aperture mode. Experimental results show a significant increase in contrast and spatial resolution.

Keywords: aberration, beam formation, phase correction, synthetic aperture.

Введение

До сих пор aberrации остаются одной из главных проблем ультразвуковой диагностики [1]. Они связаны с изменениями скорости звука на пути распространения волны, возникающими при её прохождении волны через слои биологических тканей [2-4]. Проявление aberrаций растёт с повышением частоты. Но и на относительно низких частотах, применяемых при исследовании мозга через кости черепа, искажениями, проявляющимися из-за aberrаций, нельзя пренебречь [5-7]. Проблема aberrаций может быть частично решена методами коррекции [8, 9]. Рассматриваемые в работе методы коррекции генерируют синтетический сфокусированный пучок и используют его в качестве маяка для коррекции [10, 11]. Расширение этого пучка можно легко измерить [12], что служит аналогом расширения сигнала маяка в методах обращения волнового фронта [13]. Один из сравниваемых методов основан на аппроксимации волнового фронта полиномиальными функциями [10]. Другой метод использует преобразование Фурье для прямой оценки фазовых искажений, которые впоследствии используются для коррекции [11]. Третий метод представляет собой вариацию классического подхода с обращением волнового фронта. В нем используется дополнительный ультразвуковой датчик, служащий точечным источником для основного датчика [13].

Количественные эксперименты, направленные на сравнение этих трех методов коррекции аберраций, проводились на несущей частоте 2 МГц с использованием пластин из отвержденной фотополимерной смолы в качестве искажающих слоев и височной кости *ex vivo*, помещенной на поверхность фантома для проверки качества ультразвукового сканера.

Материалы и методы

В экспериментальных исследованиях использовалось оборудование Сономед-500, оснащенное датчиком с фазированной решеткой 3.0S19 [14]. «Сырые» сигналы в режиме синтеза апертуры передавались ультразвуковым диагностическим сканером на компьютер для обработки. Визуализация проводилась на частоте 2 МГц, частота дискретизации составляла 40 МГц, а частота данных после децимации – 10 МГц. В исследовании использовался многоцелевой фантом ATS Laboratories модели 539. Датчик был закреплен на штативе для минимизации вибраций. Анализировались четыре типа целей внутри фантома: ближняя, средняя, боковая и анэхогенная. Эксперимент был направлен на введение и последующую коррекцию аберраций с помощью пластин из фотополимерной смолы [15], имитирующих характеристики черепа. Были изготовлены два аббератора: №1 (1,5 волны) и №2 (2,5 волны). Аббератор № 3 представлял собой модель височной кости *ex vivo* размером 70 x 50 мм и толщиной менее 4 мм. Различия в количестве волн между аббераторами №1 и №2 привели к разным формам и уровням искажающих слоев. Среднеквадратичные значения аббераторов №1 и №2 составили 39 и 97, соответственно. FWHM автокорреляционной функции составила 1,14 мм для аббератора № 1 и 0,96 мм для аббератора № 2. Аббератор №2 демонстрировал несколько более сильные аберрации, чем те, которые обычно наблюдаются в естественных условиях. В модели височной кости *ex vivo* среднеквадратичное значение составило 44 нс, а FWHM – 1,67 мм. Согласно литературным данным, среднее значение RMS в образцах черепа составляет 60 нс.

Оператор выбирает область для получения изображения и устанавливает датчик. Затем включается режим синтетической апертуры и выполняется сканирование. Расфокусированные данные передаются на компьютер. Обработка данных проходит в два этапа. Сначала алгоритм определяет наличие аберраций, а затем оценивает фазовые задержки для их компенсации. В методе коррекции аберраций на основе полиномиальной аппроксимации используется специальная схема сканирования с виртуальными точечными источниками. Это позволяет оценивать аберрации независимо от наличия реальных отражателей. Сканирующее устройство использует передающий и принимающий лучи, фиксируя передающий луч в положении виртуального источника и сканируя кадр принимающим лучом. Передающий луч освещает только ту позицию, которая является центром области интереса. Положение принимающего луча меняется, чтобы охватить весь кадр. В результате в кадре отображается одна виртуальная функция распределения точек в фокальной области. Коррекция выполняется путем итеративного введения полиномиальных функций при фокусировке и оценки ширины луча. Та функция будет соответствовать наилучшей коррекции, при которой ширина луча достигает наименьшего значения.

Метод прямой оценки искажений корректирует аберрации путём измерения фазовых сдвигов с использованием преобразования Фурье. Он также использует данные синтетической апертуры и специальную схему диагностического сканирования для создания виртуальных точечных источников, что позволяет оценивать аберрации независимо от наличия реальных отражателей. Во время реализации метода анализируется функция распределения точек в фокальной области. Эта функция более чёткая при отсутствии аберраций и размыта при их наличии. Расширение и размытие функции автоматически сравниваются с теоретической шириной функции распределения точек в случае отсутствия аберраций. Основная идея метода заключается в восстановлении абберационного профиля на основе информации, содержащейся в функции отклика виртуального точечного источника. Чтобы получить нужный абберационный профиль, к данным, полученным при В-сканировании, применяется одномерное преобразование Фурье.

Метод обращения волнового фронта основывается на применении двух преобразователей, один из которых выступает в роли опорного. Референтный преобразователь

закрепляется на поверхности фантома перед многоэлементным датчиком. Перед получением сонограммы выполняется коррекция аберраций. Референтный преобразователь испускает синусоидальный сигнал с гауссовой формой огибающей на частоте 2 МГц. Опорный преобразователь пропускает сигнал через интересующую область и передаёт его на элементы многоэлементного датчика. Каждый элемент многоэлементного преобразователя измеряет и фиксирует задержки принятого сигнала. Полученные данные используются для корректировки аберраций. Этот метод предполагает равномерное распределение аберраций по всему кадру и рассматривает его как единую большую изопланатическую зону.

В эксперименте ультразвуковой прибор сканировал искажающие слои с помощью датчика с фазированной решёткой в режиме синтезированной апертуры. Полученные данные передавались на компьютер для обработки и формирования ультразвуковых изображений. Результирующие изображения сопоставлялись до и после коррекции разными методами. Рассчитывались параметры эхо-сигналов: пиковая интенсивность, среднеквадратичная ширина, полная ширина на уровне половины максимума и соотношение уровня контраста к уровню шума.

Результаты и их обсуждение

Большинство гиперэхогенных точечных мишеней стали уже благодаря использованию методов коррекции. Полиномиальный метод повысил пиковую интенсивность в 1,8 раза для латеральной мишени. Метод с двумя датчиками увеличил интенсивность пика в 1,5 раза, а полиномиальный метод – в 2 раза для ближней мишени. Полиномиальный метод показал 3,1-кратное увеличение интенсивности пика для боковой мишени по сравнению со значением до коррекции. Также отмечается, что накопление ведет к улучшению качества коррекции. Полиномиальный метод улучшил фокусировку, увеличив значение пика для боковой мишени на 3,1 раза. В экспериментах использовались слои фотополимерной смолы для оценки коррекции аберраций. Коррекция была успешной в сложных сценариях, таких как визуализация через височную кость. Методы коррекции занимали разное время, причем полиномиальный метод был самым длительным. К ограничениям рассматриваемых методов можно отнести то, что полиномиальный метод и метод прямой оценки фазы не способны исправить линейные фазовые аберрации и амплитудные искажения.

Заключение

В этом исследовании была продемонстрирована эффективность различных методов коррекции аберраций в ультразвуковой визуализации с синтезированной апертурой. Один из них использует полиномы Лежандра для разложения функции волнового фронта и точной коррекции фазовых аберраций. Другой метод предполагает непосредственную оценку профиля фазовых аберраций. Третий метод представляет собой вариацию традиционной техники обращения волнового фронта. Эксперименты проводились с использованием фантома для проверки качества ультразвуковых устройств и с применением искажающих слоев, изготовленных из фотополимерной смолы, а также с применением височной кости *ex vivo*. Метод полиномиального разложения привел к уменьшению среднеквадратичной ширины углового распределения интенсивности и более чем двукратному увеличению контрастной разрешающей способности. Результаты исследования подтверждают эффективность этих методов, но также подчеркивают их ограничения применительно к задаче коррекции аберраций при ультразвуковой визуализации с синтезированной апертурой.

Список литературы

1. Nauber R., Büttner L., Czarske J. Special Issue on Computational Ultrasound Imaging and Applications. Applied Sciences. 2024; 14: 964. <https://doi.org/10.3390/app14030964>
2. Ren J., et al. Unveiling the potential of ultrasound in brain imaging: Innovations, challenges, and prospects. Ultrasonics. 2024; 107465. DOI: 10.1016/j.ultras.2024.107465
3. Sharifzadeh M., et al. Mitigating Aberration-Induced Noise: A Deep Learning-Based Aberration-to-Aberration Approach. IEEE Transactions on Medical Imaging (2024). DOI: 10.1109/TMI.2024.3422027

4. Chupova D., et al. Compensation for Aberrations When Focusing Ultrasound Through the Skull Based on CT and MRI Data. *Acoustical Physics*. 2024; 70: 288-298.
5. Jiangjin Z. H. O. U., et al. Deep learning-based skull reconstruction and aberration correction method for transcranial ultrasound plane-wave imaging. *ACTA ACUSTICA*. 2024. 49: 381-391.
6. Shen F., et al. An efficient method for transcranial ultrasound focus correction based on the coupling of boundary integrals and finite elements. *Ultrasonics*. 2024; 137: 107181. DOI: 10.1016/j.ultras.2023.107181
7. Zhou J., et al. Transcranial ultrafast ultrasound Doppler imaging: A phantom study. *Ultrasonics*. 2024; 144: 107430. DOI: 10.1016/j.ultras.2024.107430
8. Daniel M., et al. Multifrequency transcranial ultrasound holography with acoustic lenses. *Physical Review Applied*. 2024; 21: 014011. DOI: 10.1103/PhysRevApplied.21.014011
9. Ali R., Brevett T., Zhuang L., Bendjador H., Podkowa A.S., Hsieh S.S., Simson W., Sanabria S.J., Herickhoff C.D., Dahl J.J.. Aberration correction in diagnostic ultrasound: A review of the prior field and current directions. *Z Med Phys*. 2023. 33(3):267-291. <https://doi.org/10.1016/j.zemedi.2023.01.003>
10. Leonov D., Kulberg N., Yakovleva T. Aberration correction by polynomial approximation for synthetic aperture ultrasound imaging. *Med Phys*. 2024; 51(5):3292-2208. <https://doi.org/10.1002/mp.17078>
11. Leonov D., Kulberg N., Yakovleva T., et al. Innovative aberration correction in ultrasound diagnostics with direct phase estimation for enhanced image quality. *Phys Eng Sci Med*. 2024; 46:1765–1778. <https://doi.org/10.1007/s13246-023-01338-0>
12. Leonov D., Kulberg N., Yakovleva T., Solovyova P. Approach to Detecting Aberrations in Transcranial Ultrasound Imaging. *Acoust Phys*. 2023;68:175–186. <https://doi.org/10.1134/S106377102202004X>
13. Osipov L., Kulberg N., Skosyrev S., Leonov D., Grigorev G., Vladzimirskiy A., Morozov S. Transcranial Beam Steering with Aberration Correction. *Biomedical Engineering*. 2021;54:438–442. <https://doi.org/10.1007/s10527-021-10057-3>
14. Leonov D., Kulberg N., Morozov S., Vladzimirsky A., Gromov A.. Diagnostic mode detecting solid mineral inclusions in medical ultrasound imaging. *Acoustical Physics*. 2018;64(5): 624-636. <https://doi.org/10.1134/S1063771018050068>
15. Leonov D., Nasibullina A., Grebennikova V. et al. Design and evaluation of an anthropomorphic neck phantom for improved ultrasound diagnostics of thyroid gland tumors. *Int J CARS*. 2024;19:1637–1645. <https://doi.org/10.1007/s11548-024-03130-1>

УДК 615.327

КУРСОВОЕ ПРИМЕНЕНИЕ МИНЕРАЛЬНОЙ ВОДЫ В РЕАБИЛИТАЦИОННО-ОЗДОРОВИТЕЛЬНЫХ ТЕХНОЛОГИЯХ ПРИ САНАТОРНО-КУРОРТНОМ ЛЕЧЕНИИ

Н.В. РЕШЕТНИКОВА¹, В.Л. ШЕВЕЛЬ¹, Л.А. МАЛЬКЕВИЧ²

¹ОАО «Амкодор-Белвар» санаторий «Пралеска», Минский район, а/г. Ждановичи, Республика Беларусь

²Учреждение образования «Белорусский государственный медицинский университет»,
г. Минск, Республика Беларусь

Аннотация. Санаторий «Пралеска» ОАО «Амкодор-Белвар» располагает необходимой лечебно-диагностической базой для проведения полноценного комплексного санаторно-курортного лечения и обследования пациентов с заболеваниями органов пищеварения, органов дыхания, с заболеваниями эндокринной системы, расстройствами питания и нарушениями обмена веществ, болезнями костно-мышечной и нервной систем, органов кровообращения, мочеполовой системы (гинекология). Природные лечебные факторы санатория «Пралеска», которые создают благоприятные условия для отдыха и оздоровления людей: климат; смешанный лес; природные источники минеральной воды; расположение в водоохраной зоне на берегу водохранилища «Минское море».

Ключевые слова: санаторий, лечение, оздоровление, минеральная вода, минерализация, минеральные ванны, ингаляции, внутриполостное орошение

APPLICATION OF MINERAL WATER IN REHABILITATION AND HEALTH TECHNOLOGIES IN SANATORIUM AND RESORT TREATMENT

N.V. RESHETNIKOVA¹, V.L. SHEVEL¹, L.A. MALKIEVICH²

¹«Amkador-Belvar OJSC» Sanatorium "Praleska", Minsk District, ag. Zhdanovichi, Republic of Belarus

²Educational Institution "Belarusian State Medical University", Minsk, Republic of Belarus

Abstract. The "Praleska" Sanatorium of ОАО "Amkodor-Belvar" has the necessary medical and diagnostic facilities for comprehensive sanatorium resort treatment and examination of patients with diseases of the digestive organs, respiratory system, endocrine disorders, nutritional disorders, metabolic issues, musculoskeletal and nervous system diseases, as well as cardiovascular and urinary system conditions (gynecology). Natural therapeutic factors of the "Praleska" sanatorium that create favorable conditions for relaxation and health improvement: Climate; Mixed forest; Natural sources of mineral water; Location in a conservation area by the water body.

Keywords: sanatorium, treatment, rehabilitation, mineral water, mineralization, mineral baths, inhalations, intracavitary irrigation

Введение

В санатории находится собственная скважина минеральной воды, пробуренная в 1989 году на глубину 462,0 метра. Воды извлекаются из водоносного волинского терригенного комплекса и водоносной зоны трещиноватости архей – нижнепротерозойских магматических и метаморфических пород на участке месторождения санатория «Пралеска» ОАО «Амкодор-Белвар». Эксплуатация скважины осуществляется в соответствии с требованиями законодательства Республики Беларусь под постоянным санитарным и физико-химическим контролем.

Материалы и методы

Используемая в санатории «Пралеска» минеральная вода из расположенной на территории санатория скважиной № 4 является лечебно-столовой питьевой хлоридно-сульфатной натриевой малой минерализации (4,7 г/л), слабощелочной реакции. Заключение о

бальнеологической оценке получено 05.05.2021 (№ 11/3-2021). Химический состав минеральной воды скважины № 4, мг/дм³ [1]: натрий 1628,0; калий 18,2; кальций 71,1; магний 37,9; хлориды 2 117,6; сульфаты 703,2; гидрокарбонаты 219,6; железо суммарное 2,42. Активная реакция рН 8,0. По органолептическим показателям минеральная вода прозрачная, имеет характерный вкус и запах, без цвета, без осадка. Курс лечения минеральной водой составляет 14-18 дней. Повторные курсы питьевого лечения природной водой для коррекции углеводного, липидного и минерального обменов рекомендуют проводить через два месяца. Минеральная вода широко используется в санатории для принятия общих минеральных ванн, орошений и ингаляций. Для удобства пациентов в санатории «Пралеска» оборудован уютный бювет, где предусмотрен набор и питье минеральной воды в холодном и подогретом виде.

Питьевая минеральная вода широко и успешно применяется в санатории при следующих заболеваниях [2]:

- болезни органов пищеварения: болезни полости рта и пищевода, хронические гастриты с повышенной, пониженной и нормальной секрецией, ГЭРБ, хронические энтериты и колиты с нарушениями секреторной и моторной функций, синдром раздраженного кишечника, хронические заболевания печени, желчного пузыря и желчевыводящих путей, постхолецистэктомический синдром, хронический панкреатит, язва желудка и 12ПК, последствия оперативных вмешательств и воспалительных процессов в брюшной полости;
- заболевания дыхательных путей: ларингиты, синуситы, фарингиты, трахеиты, бронхиты, остаточные явления после перенесенной пневмонии или операции на легких;
- болезни нервной системы: цереброваскулярные заболевания, воспалительные заболевания, поражения отдельных нервов, нервных корешков и сплетений, полинейропатии, болезни нервно-мышечного синапса и мышц, последствия травм, оперативных вмешательств, полиомиелита, ДЦП, расстройства вегетативной нервной системы;
- болезни системы кровообращения: артериальная гипертензия, ИБС, ревматические пороки сердца, кардиомиопатии, эссенциальная гипотония, заболевания периферических артерий и вен;
- болезни костно-мышечной системы: артропатии, системные поражения соединительной ткани, дорсопатии и спондилопатии, болезни мягких тканей, остеопатии и хондропатии;
- заболевания (кроме туберкулезной этиологии) почек и мочевыводящих путей: тубулоинтерстициальные болезни (хронический пиелонефрит и др.), цистит, уретрит и др.;
- воспалительные и невоспалительные заболевания женских половых органов;
- заболевания мужских половых органов: хронический простатит, орхит, эпидидимит и др.;
- болезни эндокринной системы: заболевания обмена веществ (сахарный диабет, ожирение, подагра), болезни щитовидной железы;
- болезни кожи: дерматит и экзема, папулосквамотозные нарушения, крапивница, болезни придатков кожи, кератозы и др.;
- железодефицитные анемии.

Противопоказаниями для назначения питьевой минеральной воды являются: обострения воспалительного процесса в желудке или кишечнике, сопровождающиеся рвотой, поносом, кровотечением, резким болевым синдромом, желчекаменная болезнь и острый холецистит, требующие хирургического лечения, стеноз пищевода и привратника; резкое опущение желудка; недостаточность кровообращения II Б и III степени; нефротический синдром; почечная недостаточность; цирроз печени.

Механизм физиологического и лечебного действия питьевой минеральной воды [1,3,4]. В механизме действия питьевой минеральной воды выделяют три фазы: сложнорефлекторную, нейрохимическую и фазу последствий. В сложнорефлекторной фазе участвуют все звенья нервной системы – от рецепторов до коры головного мозга. Немаловажную роль в этой фазе играет и гуморальное звено. Именно гуморальным путем осуществляется влияние минеральных вод на секреторную функцию желудка, тесно связанную с количеством выделяемых пищеварительных гормонов. Нейрохимическая фаза обусловлена действием химических составляющих воды, всасывающихся через слизистую оболочку желудочно-кишечного тракта и непосредственно влияющих на обменные процессы, рН пищеварительных соков, ферментативную активность в кишечнике. В формировании фазы последствий принимают участие как рефлекторные, так и нейрогуморальные механизмы.

При заболеваниях органов пищеварения раздражая рецепторы слизистой полости рта, минеральные воды повышают количество слюны, рефлекторно изменяют функции желудочно-кишечного тракта. Продолжительная задержка минеральной воды в полости рта усиливает раздражение рецепторов, и поэтому для усиления секреторной и эвакуаторной функции пищеварительного тракта минеральные воды следует пить медленно, небольшими глотками. В случае избыточной секреции желудочного сока минеральную воду следует пить залпом, большими глотками. Для усиления секреторной и моторной функции желудка пьют холодную минеральную воду медленно небольшими глотками. Влияние температуры определяет назначение холодных минеральных вод при склонности к запору, а горячих и теплых – при поносах. Благодаря своим свойствам минеральная вода из наших источников нормализует двигательную и секреторную функции пищеварительного тракта, способствует удалению патологической слизи со слизистой оболочки желудка, дыхательных и мочевыводящих путей. Прием воды внутрь при сахарном диабете и болезнях печени приводит к нормализации кислотно-щелочного равновесия и улучшению обменных процессов в организме. Через 15-30 мин после приема воды внутрь наблюдается стимуляция желудочной секреции, рефлекторно активизируется функция печени и поджелудочной железы. Поступление воды из желудка в двенадцатиперстную кишку, которое происходит через 1-1,5 ч, сопровождается противоположным эффектом. В связи с этим при гипосекреторных состояниях минеральные воды необходимо назначать перед едой или за 20-30 мин до приема пищи, при гиперсекреции - за 1-1,5ч до еды. Существенное значение имеет количество минеральной воды, потребляемой на прием. Обычно его определяют из расчета 3-5 мл/кг массы тела. Суточная доза при 3-4 разовом приеме будет составлять 500-1000мл. Меньшее количество назначают при замедленной эвакуации, при атонии желудка, при сопутствующих заболеваниях сердечно-сосудистой системы. Пациентам с заболеваниями печени и желчевыводящих путей, почек, при нарушениях обмена, наоборот увеличивают объем принимаемой минеральной воды с целью оказать промывающее действие. Имеются научные данные, что прием щелочной воды способствует выведению «*Helicobacter pylori*» из клеток эпителия, что предотвращает развитие язвенной болезни, а также ускоряет заживление уже имеющихся язвенных дефектов. Часть минеральной воды всасывается в кровь, благодаря чему изменяется химический состав жидкостей, усиливается образование биологически активных веществ, активизируются и нормализуются функции органов и систем. Хлоридные натриевые воды повышают обменные процессы, оказывают заметный желчегонный эффект, повышают кислотность желудочного сока, стимулируют функцию поджелудочной железы, секрецию кишечных ферментов. Они оказывают противовоспалительное и десенсибилизирующее действие, снижают проницаемость клеточных мембран, уменьшают кровоточивость, оказывают благоприятное действие на рост костной ткани и зубов. Соли сульфата магния и сульфата натрия практически не всасываются в кишечнике. Они мало влияют на секрецию желудка и действуют преимущественно на его двигательную функцию, усиливают перистальтику кишечника, дают послабляющий эффект. Ионы магния активно влияют на желчевыделительную функцию, усиливают пузырный рефлюкс, изменяют физико-химические свойства желчи, увеличивают содержание жирных кислот.

Специфичность действию минеральной воды придают находящиеся в них микроэлементы [1]. Присутствующие в минеральной воде органические вещества влияют на секреторную функцию желудка, усиливают моторно-эвакуаторную функцию кишечника, желчевыводящих путей.

Прекрасный эффект выявлен при использовании минеральной воды из наших источников в лечении мочекаменной болезни: тормозится образование солей мочевой кислоты, а также питьевое лечение способствует растворению уратов и оксалатов. Суточная доза воды при заболеваниях печени, желчевыводящих путей, почек и мочевыводящих путей составляет 1,5 -1,5 л в сутки (6-8 раз по 200 мл). Курсовой прием (3-4 недели) питьевой минеральной воды оказывает существенное влияние на течение процессов репаративной регенерации [3]. Минеральная вода повышает мочеотделение, способствует растворению и выделению слизи из мочевыводящих путей, нормализует состав мочи, приводит к уменьшению воспалительных явлений, интоксикации и болевого синдрома, способствует выведению мочевого песка.

Хлоридно-натриевая минеральная вода из глубинных водоносных слоев, экологически чистая, при приеме внутрь способна повышать чувствительность тканей к инсулину, от нехватки которого страдает организм при сахарном диабете. Клетки начинают лучше «узнавать» инсулин, в результате чего снижается уровень глюкозы в крови, достигается эффект

снижения веса. Прием минеральной воды показан в том числе и пациентам с нарушением толерантности к глюкозе, так как предотвращает развитие сахарного диабета. При питьевом лечении нашей минеральной водой наблюдается тенденция нормализации цифр АД и липидного обмена, усиливаются обменные процессы, улучшается периферическое кровообращение, что необходимо при лечении сердечно-сосудистых заболеваний. Минеральная вода широко используется для лечения и профилактики заболеваний органов дыхания. При помощи ингаляций минеральной водой через небулайзер достигается противовоспалительный эффект при заболеваниях верхних дыхательных путей, улучшается дыхательная функция. Широко применяются методики внутрисполостного орошения минеральной водой [3].

В санатории «Пралеска» широко используются хлоридные натриевые ванны. Они оказывают на организм многостороннее специфическое действие, которое зависит от концентрации солей и температуры воды в ванне. С лечебной целью чаще используют хлоридные натриевые воды слабой средней (5–15 г/дм³) концентрации, реже — высокой (20–30 г/дм³), т.к. при применении последней нередко проявляются отрицательные реакции со стороны кожи, а также сердечно-сосудистой, нервной и других систем организма. Образующийся на коже во время принятия ванны «солевой плащ» сохраняется и после процедуры, являясь источником длительного воздействия на нервные рецепторы и рефлекторно на многие системы организма. Хлоридные натриевые ванны средней концентрации нормализуют активность симпатoadреналовой системы и коркового вещества надпочечников, что приводит к иммунологической перестройке, увеличению энергетических ресурсов в тканях сердца, печени и скелетных мышцах за счет усиленного поглощения кислорода и стимулирования синтеза макроэргов и, в целом, к повышению компенсаторно-приспособительных возможностей организма. Поскольку более 50% наших отдыхающих — представительницы прекрасного пола, то следует отметить их восторженные отзывы о пользе применения минеральной воды в процессе СПА и косметических процедур для кожи лица и тела. Помимо благоприятного воздействия на обмен веществ, кровообращение, ванны оказывают тонизирующее воздействие на нервную и костно-мышечную системы. Назначают хлоридные натриевые ванны с температурой воды 36–38°C продолжительностью 10–20 мин. Курс лечения состоит из 12–15 процедур, проводимых ежедневно или два дня подряд с последующим днем отдыха[4]. После принятия ванны пациент должен промокнуть тело полотенцем (без растирания) и отдыхать в течение 15–20 мин. Показания: заболевания сердечно-сосудистой системы (начальные проявления атеросклероза, миокардиосклероз и миокардиодистрофия, ревматические пороки сердца у детей и взрослых при I степени активности процесса и недостаточности кровообращения I и II степени, АГ I степени, АГ, облитерирующие заболевания сосудов конечностей, варикозное расширение вен, посттромбофлебитический синдром); заболевания позвоночника и опорнодвигательного аппарата (спондилез, болезнь Бехтерева, артриты и полиартриты нетуберкулезной этиологии); заболевания и последствия травм центральной и периферической нервной системы (последствия травм головного и спинного мозга, последствия полиомиелита и полирадикулоневритов, плекситы, радикулиты, нейропатии); хронические воспалительные заболевания половых органов; некоторые кожные болезни (псориаз, экзема, нейродермит и др.). Противопоказания те же, что и для других бальнеопроцедур, а также гипотиреоз, рецидивирующий тромбофлебит.

Результаты и их обсуждения

В 2018 году минеральную воду в санатории «Пралеска» ОАО «Амкодор-Белвар» принимали 3 097 пациентов, реализовано 132 460 литров, из них: по поводу сопутствующих хронических заболеваний органов пищеварения – 336 человек (с хроническим гастритом – 196 пациентов; неосложненной язвенной болезнью желудка и двенадцатиперстной кишки – 42 пациента; хроническим колитом – 26 пациентов; функциональными заболеваниями кишечника – 20 пациентов; хроническими заболеваниями печени и желчевыводящих путей – 19 пациентов; желчекаменной болезнью – 21 пациент; хроническим панкреатитом – 12 пациентов); в связи с нарушениями обмена веществ – 16 пациентов; хроническими заболеваниями мочевыделительных путей – 24 пациента; мочекаменной болезнью – 15 пациентов; в составе лечебных ванн – 49 пациентов; для ингаляций – 61 пациент; для влагалитических орошений – 59 женщин; в качестве столового напитка – 2 537 пациентов.

В 2019 году минеральную воду принимали 3 879 пациентов, реализовано 179 590 литров, из них: по поводу сопутствующих хронических заболеваний органов пищеварения – 403 человека (с хроническим гастритом – 248 пациентов; неосложненной язвенной болезнью желудка и двенадцатиперстной кишки – 43 пациента; хроническим колитом – 21 пациента; функциональными заболеваниями кишечника – 25 пациентов; хроническими заболеваниями печени и желчевыводящих путей – 24 пациента; желчекаменной болезнью – 25 пациентов; хроническим панкреатитом – 16 пациентов); в связи с нарушениями обмена веществ – 19 пациентов; хроническими заболеваниями мочевыделительных путей – 29 пациентов; мочекаменной болезнью – 18 пациентов; в составе лечебных ванн – 29 пациентов; для ингаляций – 73 пациента; для влагалищных орошений – 70 женщин; в качестве столового напитка – 3 238 пациентов.

В 2020 году минеральную воду принимали 2 739 пациентов, реализовано 126 268 литров, из них: по поводу сопутствующих хронических заболеваний органов пищеварения – 235 человек (с хроническим гастритом – 137 пациентов; неосложненной язвенной болезнью желудка и двенадцатиперстной кишки – 26 пациента; хроническим колитом – 18 пациентов; по 14 пациентов с функциональными заболеваниями кишечника, заболеваниями печени и желчевыводящих путей, желчекаменной болезнью; хроническим панкреатитом – 12 пациентов); в связи с нарушениями обмена веществ – 11 пациентов; хроническими заболеваниями мочевыделительных путей – 19 пациентов; мочекаменной болезнью – 11 пациентов; в составе лечебных ванн – 35 пациентов; для ингаляций – 42 пациента; для влагалищных орошений – 41 женщина; в качестве столового напитка – 2 345 пациентов.

Заключение

Все пациенты отмечали несомненный положительный эффект при приеме минеральной воды в комплексном лечении, как при питьевом лечении, так и при получении лечебных ванн, орошений и ингаляций. Правильный в соответствии с рекомендациями врача прием минеральной воды – этого чуда, дарованного нам природой, гарантирует успех в лечении и профилактике многих заболеваний.

Список литературы

1. Вологовская А. В. Минеральные воды Беларуси с биологически активными специфическими компонентами /Вологовская А. В., Кашицкий Э.С., Крипиневич Т.В., Каравай Т.В., Попова Н. В., Ясючя Р. Н.//Новости медико-биологических наук – Т.20, №4. – 2020. – С.158- 168.
2. Гудак С.П. Характеристика и применение минеральных вод Беларуси/ С.П. Гудак, Э. С. Кашицкий // Здоровоохранение, Минск, 2020. - №5. – С. 9-11.
3. Королев, Ю.Н. действие питьевых минеральных вод на процессы репаративной регенерации в желудке // Вопросы курортологии, физиотерапии и лечебной физкультуры, - 1998. - № 6. – С.21-24.
4. Питьевые минеральные воды в лечении и реабилитации / Методические рекомендации. Авторы: Погонченкова И.В., Разумов А.Н., Адилов В.Б. (и др.) – Москва. – 2020. – 299с.

УДК 612.087.1

ПРОГРАММНО-АППАРАТНЫЙ КОМПЛЕКС УСКОРЕННЫХ ИСПЫТАНИЙ ИМПЛАНТИРОВАННЫХ МЕДИЦИНСКИХ ДАТЧИКОВ

А.Н. ОСИПОВ¹, Е.Н. КАЛЕНКОВИЧ¹, А.А. ИВАНОВСКИЙ¹, А.Д. ХАЦКЕВИЧ¹,
С.А. МОРОЗ², И.А. МОРОЗ², А.П.КЛЮЕВ¹, А.В. ПАЦЕЕВ³, С.В. ПАЦЕЕВ⁴.

¹ Белорусский государственный университет информатики и радиоэлектроники
(г.Минск, Республика Беларусь),

²Производственное унитарное предприятие «ФреБор», г.Борисов Республика Беларусь,

³ГУ Республиканский центр медицинской реабилитации и бальнеолечения
(г.Минск, Республика Беларусь),

⁴ ООО «Клиника Мерси» (г.Минск, Республика Беларусь)

Аннотация. В статье описывается разработка программно-аппаратной платформы для ускоренных испытаний имплантируемых датчиков глюкозы. Аппаратная часть платформы включает пять независимых тестовых ячеек, управляемых через Raspberry Pi CM4 с использованием протокола MODBUS RTU. Каждая ячейка моделирует реальные условия работы датчика, используя перистальтические насосы, нагреватель, электромагнитные клапаны и датчики. Программное обеспечение на Python с интерфейсом QT и базой данных MariaDB обеспечивает удобное управление, мониторинг и автоматизацию испытаний. Модульная архитектура и кроссплатформенность делают платформу гибким инструментом для ускорения разработки медицинских технологий и улучшения диагностики диабета.

Ключевые слова: имплантированные датчики, ускоренные испытания, лабораторные испытания, программно-аппаратная платформа.

Данная работа выполнена при поддержке производственного унитарного предприятия «ФреБор», г. Борисов Республика Беларусь.

SOFTWARE AND HARDWARE COMPLEX FOR ACCELERATED TESTING OF IMPLANTABLE MEDICAL SENSORS

A.N. OSIPOV¹, Y.N. KALENKOVICH¹, A.A. IVANOVSKY¹, A.D. KHATSKEVICH¹,
S.A. MOROZ², I.A. MOROZ², A.P.KLUEV¹, A.V. PACEEV³, S.V. PACEEV⁴

¹Belarusian State University of Informatics and Radioelectronics, Republic of Belarus,

²Production Unitary Enterprise «FreBor», Borisov, Republic of Belarus,

³State Institution «Republican Center for Medical Rehabilitation and Balne Treatment»,
(Minsk, Republic of Belarus),

⁴«Clinica "Merci» (Minsk, Republic of Belarus)

Abstract. The article describes the development of a hardware and software platform for accelerated testing of implantable glucose sensors. The hardware of the platform includes five independent test cells controlled via Raspberry Pi CM4 using the MODBUS RTU protocol. Each cell simulates the actual operating conditions of the sensor using peristaltic pumps, a heater, electromagnetic valves and sensors. Python software with QT interface and MariaDB database provides convenient management, monitoring and automation of tests. The modular architecture and cross-platform nature make the platform a flexible tool to accelerate the development of medical technologies and improve diabetes diagnosis.

Keywords: implanted sensors, accelerated testing, laboratory testing, hardware and software platform.

Введение

Имплантируемые приборы находят широкое применение в медицине и используются для сбора электрофизических данных о человеческом теле/органах для мониторинга и диагностики, лечения различных неврологических заболеваний и управления

протезами [1–3]. Прогнозируется, что среднегодовой темп роста рынка активных имплантируемых медицинских устройств в течение прогнозируемого периода составит 7,2% [4]. Количественная и четкая проверка работоспособности и безопасности подобных приборов, которые имеют электромагнитное взаимодействие с организмом человека, имеет решающее значение в процессе технологического развития. Численные модели биологических объектов не отражают реалистичную среду, которая уязвима к различным электрическим, механическим воздействиям и воздействиям окружающей среды. В этой связи наиболее оптимальным для проведения исследований является использование специального технологического оборудования, имитирующего функционирование имплантируемых устройств в среде, которая по своим характеристикам (электродинамическим, механическим, и т.д.) аналогична реальным различным частям и/или тканям человеческого тела [5]. Следующим шагом в развитии оборудования для исследования имплантируемых устройств является переход к технологии ускоренных испытаний [6], что позволяет сократить сроки проведения лабораторных испытаний и доклинических исследований. В связи с этим данной статье рассматриваются вопросы разработки программно-аппаратной платформы (ПАП) для ускоренных испытаний имплантируемых приборов .

Аппаратная часть платформы

Структурная схема платформы представлена на рис. 1. Платформа ориентирована для проведения исследований подкожных датчиков системы непрерывного мониторинга глюкозы.

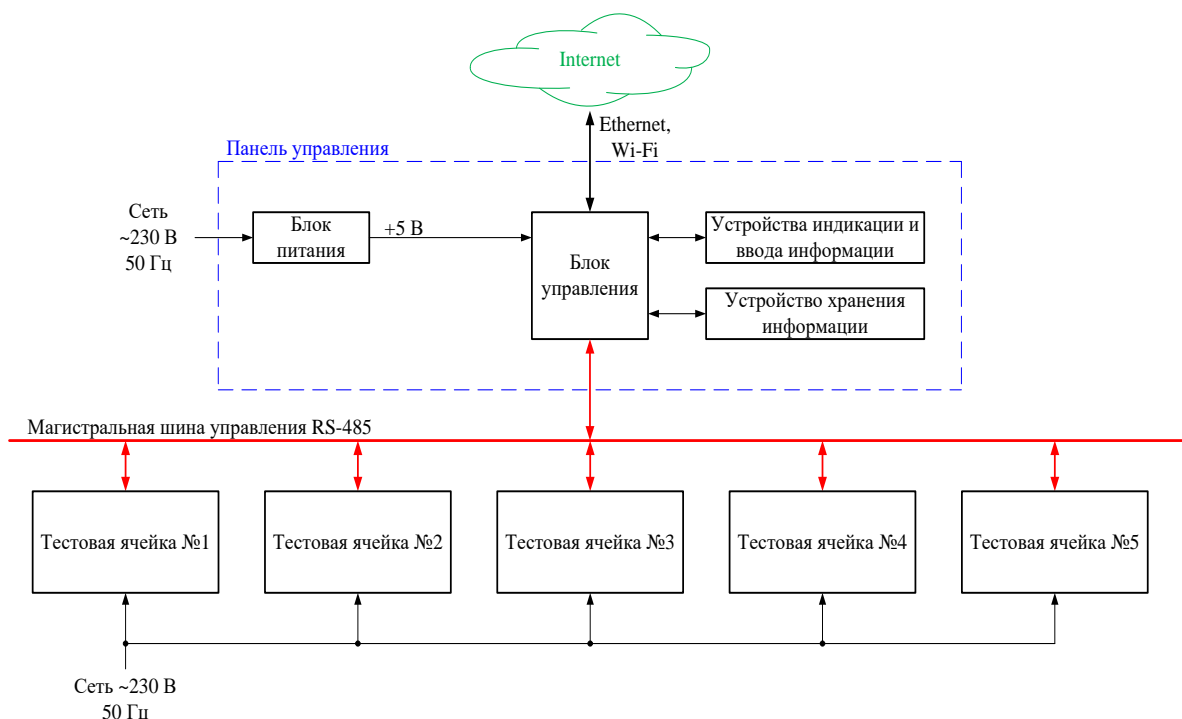


Рис. 1. Структурная схема платформы программно-аппаратного комплекса ускоренных испытаний

Состав ПАП включает пять тестовых ячеек и панель управления. Питание осуществляется от однофазной сети 230 В 50 Гц. В тестовых ячейках располагаются макеты имплантируемого датчика, помещенные в фантом человеческого органа. Через фантом прокачивается буферный раствор. В оборудовании предусмотрено: управление параметрами буферного раствора (температуры, кислотности), параметрами воздействия на датчик (частота и интенсивность УФ излучения,), регистрации значений температуры в фантоме и выходных сигналов датчика.

Панель управления обеспечивает общее управление стендом, включая локальное управление через графический интерфейс, задание режимов работы тестовых ячеек, контроль

их функционирования, периодический опрос датчиков и сохранение данных. Также предусмотрена передача информации на удаленный сервер или облачное хранилище и возможность удаленного управления через Ethernet или Wi-Fi. В состав панели входят блок питания, блок управления на базе микрокомпьютера Raspberry Pi CM4, устройство индикации и устройство хранения информации, реализованные на отладочном комплекте CM4-DISP-BASE-7A-BOX, который включает сенсорный дисплей и коммуникационные интерфейсы (Ethernet, Wi-Fi, RS-232, RS-485, USB). Управление тестовыми ячейками осуществляется по магистральной шине RS-485 с использованием протокола MODBUS RTU.

Каждая тестовая ячейка (рисунок 2) предназначена для проведения испытаний исследуемых образцов и может работать независимо [7].

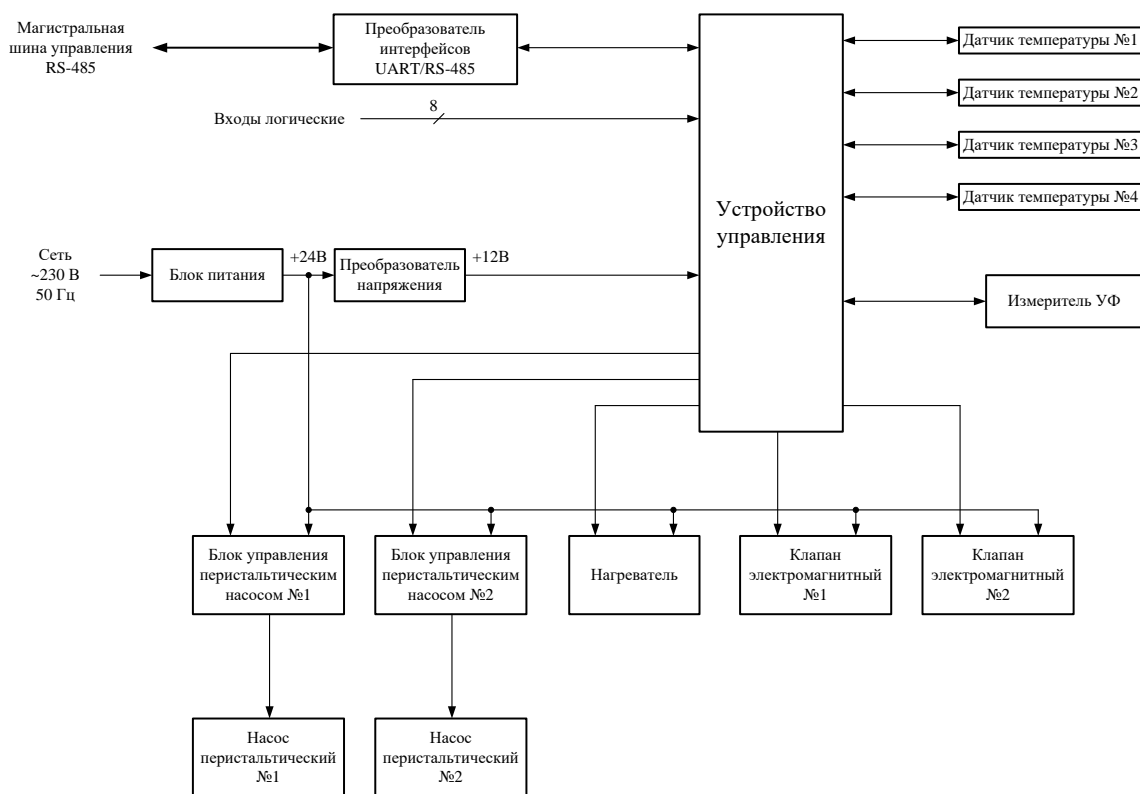


Рис. 2. Структурная схема тестовой ячейки

Тестовая ячейка включает устройства управления, преобразователь интерфейсов UART/RS-485, блок питания, преобразователь напряжения, блоки управления и перистальтические насосы, нагреватель, электромагнитные клапаны, датчики температуры и измеритель ультрафиолетового излучения.

Управление ячейкой выполняется дистанционно по шине RS-485 с использованием преобразователя UART/RS-485 для формирования управляющих сигналов для насосов и нагревателя. Температура контролируется датчиками, установленными в зоне образца и нагревателе, с функцией защиты от перегрева. Устройство управления также контролирует электромагнитные клапаны для залива и слива растворов и включает блок измерителя ультрафиолетового излучения. Допускается подключение до восьми датчиков с логическим выходом для расширенного контроля.

Программная часть

Для удобного взаимодействия со стендами через микрокомпьютер Raspberry Pi 4 разработана кроссплатформенная программа на языке программирования Python. Для хранения данных используется совместимая с ARM-архитектурой система управления базами данных MariaDB. Система выбрана за её эффективность на устройствах с ограниченными ресурсами и

лёгкую интеграцию благодаря наличию пакетов в репозиториях Raspbian [8]. Графический интерфейс разработан с использованием фреймворка QT, обеспечивающего кроссплатформенность кода. Это позволяет использовать один и тот же код на разных платформах без модификаций. Для взаимодействия по протоколу Modbus применена специально разработанная библиотека, основу которой предоставляет библиотека PySerial. PySerial предоставляет интерфейс для работы с последовательными портами (COM-портами) на различных платформах, позволяет устанавливать соединение через последовательный порт, отправлять и получать данные, управлять параметрами порта (скорость передачи, биты данных, паритет, стоп-биты), управлять состояниями линий управления (DTR, RTS) и поддерживает широкий набор интерфейсов и устройств, таких как RS-232, RS-485 и USB-Serial адаптеры.

Программа реализует модульную архитектуру, в которой все модули независимы друг от друга и каждый из которых выполняет конкретную функцию (например, модуль обработки данных, модуль взаимодействия с базой данных, модуль интерфейса).

Разработанное программное обеспечение обеспечивает централизованное управление стендами испытаний. Главное окно приложения (рис.4) служит основной рабочей средой, предоставляя функции выбора стенда, настройки и отображения параметров, просмотра журналов событий, запуска и управления испытаниями, а также визуализации данных в виде графиков с возможностью выбора отображаемых параметров. Система предоставляет возможности для установки параметров по умолчанию, приводящие к полной остановке стенда, а также для очистки базы данных. Графики и табличные данные обладают возможностью открепления от главного окна с автоматической адаптацией интерфейса.

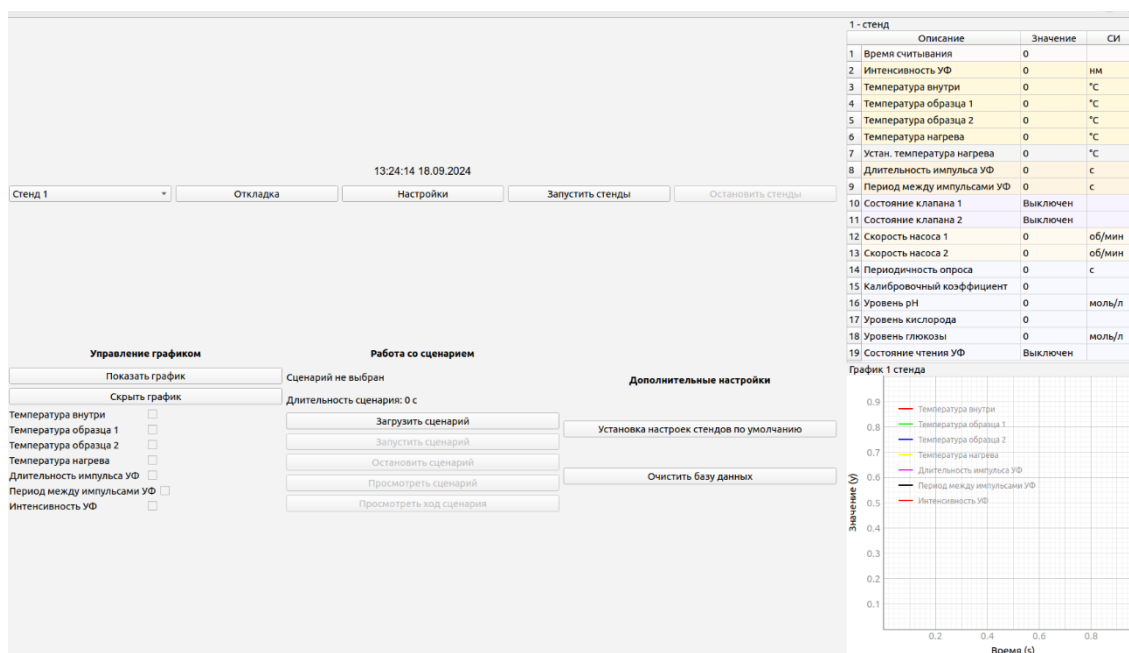


Рис. 3. Главное окно программы

Окно настроек позволяет управлять параметрами выбранного стенда, разделенными на секции: «Основные», «УФ» и «Кислотность». Секция «Основные» предоставляет управление клапанами (загрузка/слив) в реальном времени, настройку скорости насосов (включая реверс) и установку температуры нагрева. Секция «УФ» включает настройку длительности и периодичности УФ-импульсов, интервала опроса и калибровочного коэффициента, а также управление чтением данных УФ-излучения. Секция «Кислотность» предназначена для задания значений pH, уровня кислорода и концентрации глюкозы.

Система поддерживает автоматизированное управление стендами через сценарии, задающие параметры и время выполнения для каждого стенда. Загрузка предварительно подготовленных сценариев осуществляется через соответствующую кнопку, отображающую название, продолжительность и функции управления (запуск, отслеживание). Просмотр сценария предоставляет информацию о номере стенда, времени выполнения и действиях.

Работающий сценарий может быть приостановлен и возобновлен с последнего шага. Статусы действий обновляются автоматически.

Программа генерирует уведомления об ошибках, указывая на сбои во взаимодействии со стендом. Пользователь информируется о завершении сценариев, состоянии соединения (например, низкое качество связи или отсутствие ответа) и других событиях. При завершении работы программы все подключенные стенды автоматически останавливаются, обеспечивая безопасное завершение работы оборудования.

Заключение

Разработана программно-аппаратная платформа для ускоренных испытаний имплантируемых датчиков, в частности для датчиков системы непрерывного мониторинга глюкозы. Аппаратная часть платформы включает пять независимых тестовых ячеек, управляемых через Raspberry Pi CM4 с использованием протокола MODBUS RTU. Каждая ячейка моделирует реальные условия работы датчика, используя перистальтические насосы, нагреватель, электромагнитные клапаны и датчики. Программное обеспечение на Python с интерфейсом QT и базой данных MariaDB обеспечивает удобное управление, мониторинг и автоматизацию испытаний. Модульная архитектура и кроссплатформенность делают платформу гибким инструментом для ускорения разработки медицинских технологий и улучшения диагностики диабета. Программно-аппаратный комплекс обеспечивает возможность адаптации для исследований других типов имплантируемых датчиков, что расширяет его применение в различных медицинских задачах. Применение на практике разработанного оборудования позволит сократить сроки разработки и внедрения новых имплантируемых приборов.

Список литературы

1. H. Bahrami, S. A. Mirbozorgi, L. A. Rusch, and B. Gosselin, «Biological channel modeling and implantable UWB antenna design for neural recording systems», IEEE Trans. Biomed. Eng., vol. 62, no.1, pp. 88-98, Jan. 2015.
2. J. Kim and Y. Rahmat-Samii, «Implanted antennas inside a human body: Simulations, designs, and characterizations», IEEE Trans. Microwave Theory Tech., vol. 52, no. 8, pp. 1934–1943, Aug. 2004.
3. E.Y. Chow, A. L. Chlebowski, and P. Irazoqui, «A miniature implantable RF-wireless active glaucoma intraocular pressure monitor», IEEE Trans. Biomed. Circuits Syst., vol. 4, no. 6, pp. 340–349, Dec. 2010.
4. Mordor Intelligence [Электронный ресурс]. – Режим доступа <https://www.mordorintelligence.com/ru/industry-reports/active-implantable-medical-devices-market>.
5. A. T. Mobashsher, A. M. Abbosh, «Artificial Human Phantoms: Human Proxy in Testing Microwave Apparatuses That Have Electromagnetic Interaction with the Human Body», March 2015, IEEE Microwave Magazine 16(6), DOI: 10.1109/MMM.2015.2419772.
6. А.Н.Осипов, А.П.Клюев, М.П.Батура, Е.Н.Каленкович, «Прототип информационной системы испытательного стенда взаимодействия электромагнитного излучения с биообъектами» Десятая Международная научно-практическая конференция «BIG DATA and Advanced Analytics. BIGDATA и анализ высокого уровня», Минск, Республика Беларусь, 13 марта 2024 год, с470-472.
7. WaveShare [Электронный ресурс]. – Режим доступа :<https://www.waveshare.com/wiki/CM4-DISP-BASE-7A-BOX>
8. Raspbian OS [Электронный ресурс]. – Режим доступа :<https://www.raspberrypi.com/software/operating-systems/>

УДК 004.8

REST API В ИНФОРМАЦИОННОЙ СИСТЕМЕ ПОИСКА ПРОФИЛЬНЫХ СПЕЦИАЛИСТОВ В МЕДИЦИНСКИХ УЧРЕЖДЕНИЯХ Г. ХОШИМИН

Т.З. НГУЕН, С.К. ДИК

*Белорусский государственный университет информатики и радиоэлектроники,
г. Минск, Республика Беларусь*

Аннотация. Современные технологии требуют внедрения эффективных инструментов для быстрого доступа к данным, что особенно актуально для сферы здравоохранения. Система, разработанная на основе REST API, обеспечивает безопасное и масштабируемое взаимодействие между пользователями и базой данных, позволяя искать специалистов по различным критериям, таким как специализация, местоположение и доступность. Применение REST API в архитектуре системы обеспечивает удобство интеграции с другими платформами и простоту в использовании. Основное внимание уделено скорости отклика, надежности передачи данных и поддержке современных стандартов безопасности.

Ключевые слова: REST API, информационная система, медицинские учреждения, веб-сервисы, клиент-сервер

REST API IN THE INFORMATION SYSTEM FOR SEARCHING FOR SPECIALIZED SPECIALISTS IN MEDICAL INSTITUTIONS IN Ho Chi Minh City

NGUYEN T. D., DZIK S.K.

*Belarusian State University of Informatics and Radioelectronics,
Minsk, Republic of Belarus*

Annotation. Modern technologies require the implementation of efficient tools for quick access to data, which is particularly relevant for the healthcare sector. The system developed based on REST API ensures secure and scalable interaction between users and the database, allowing for the search of specialists using various criteria such as specialization, location, and availability. The use of REST API in the system's architecture facilitates integration with other platforms and ease of use. Special attention is paid to response speed, data transmission reliability, and adherence to modern security standards.

Keywords: REST API, information system, medical institutions, web services, client-server.

Введение

С развитием технологий возрастает потребность в эффективных системах для управления информацией, особенно в здравоохранении. В Хошимине, где много медицинских учреждений и специалистов. Цель проекта – разработка информационной системы поиска специалистов в медицинских учреждениях Хошимина на основе REST API. REST API обеспечивает гибкость и масштабируемость, позволяя создать удобный инструмент для быстрого доступа к информации о специалистах, что улучшает качество и доступность медицинских услуг.

Основная часть

REST – это стиль архитектуры программного обеспечения для распределенных систем, таких как World Wide Web, который, как правило, используется для построения веб-служб. На рис.1 представлена структурная схема приложения, использующего REST запрос.

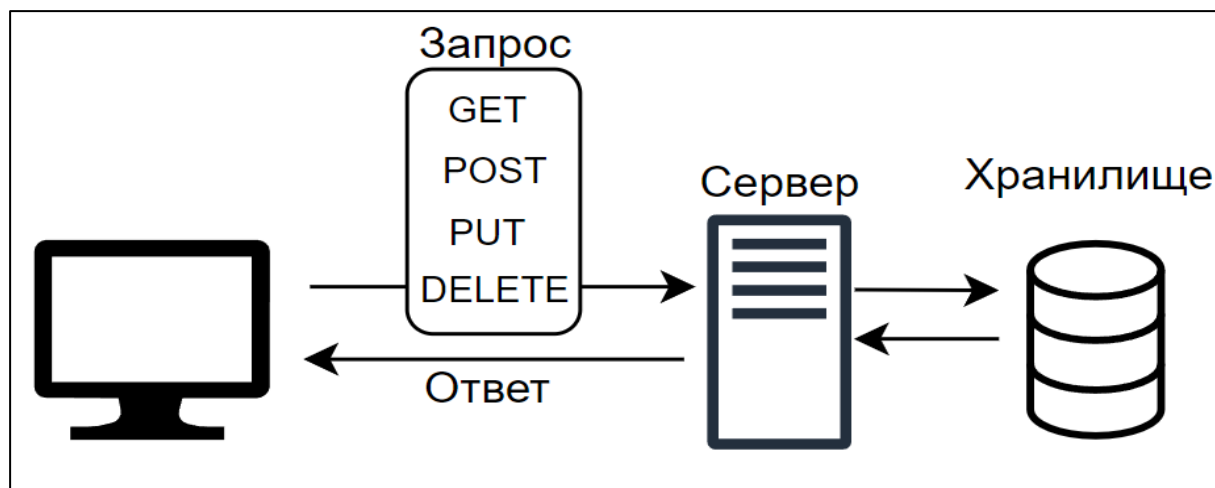


Рис.1. REST архитектура программного обеспечения

REST API используются следующие основные методы:

- GET: используется для получения данных с сервера.
- POST: используется для отправки данных на сервер и создания новых записей.
- PUT: используется для обновления существующих данных на сервере.
- DELETE: используется для удаления данных с сервера.

В качестве клиента в такой архитектуре выступает браузер, который посылает REST запрос (GET, POST, PUT, DELETE) на сервер и получает от него ответ. Сервер выполняет все действия по обработке, хранению и передаче информации клиенту. Также он отвечает за логику работы приложения.

REST API в системе используется для обеспечения взаимодействия между различными компонентами и пользователями посредством стандартных веб-запросов. Он позволяет эффективно передавать данные между клиентом и сервером, обеспечивая доступ к информации о специалистах и медицинских учреждениях. Благодаря REST API система становится масштабируемой, гибкой и легко интегрируемой с другими сервисами, что упрощает процесс поиска и фильтрации данных, улучшая пользовательский опыт и ускоряя предоставление информации.

Заключение

REST API обеспечил надежное взаимодействие между пользователями и сервером, упростив интеграцию и расширение системы. Система отличается высокой безопасностью, быстрой реакцией и возможностью масштабирования. Внедрение данной системы способствует улучшению процесса поиска специалистов и повышению качества медицинских услуг в городе.

Список литературы

1. «REST API: что это такое и как работает» представлены на странице по адресу: <https://skillbox.ru/media/code/rest-api-cto-eto-takoe-i-kak-rabotaet/> – Дата доступа: 02.11.2024.
2. «HTTP Methods Explained: Understanding GET, POST, PUT, and DELETE in RESTful API Design» представлены на странице по адресу: <https://www.linkedin.com/pulse/http-methods-explained-understanding-get-post-put-delete-shaaban-nqyyf>

УДК 621.798

«УМНАЯ УПАКОВКА» ДЛЯ ЭЛЕКТРОННЫХ МЕДИЦИНСКИХ ИЗДЕЛИЙ

Н.А. РОДАК, С.К. ДИК

*Белорусский государственный университет информатики и радиоэлектроники
(г. Минск, Республика Беларусь)*

Аннотация. Рассматривается развитие умной упаковки для электронных медицинских изделий, направленной на повышение безопасности и надежности хранения и транспортировки медицинских приборов. Умная упаковка включает в себя использование современных технологий, таких как датчики температуры и влажности, RFID-метки, термохромные этикетки и системы мониторинга через Интернет вещей (IoT), которые позволяют отслеживать условия хранения, предотвращать повреждения и оптимизировать логистические процессы. Описание технологий и их применения в медицинской отрасли демонстрирует значительные преимущества в обеспечении безопасности чувствительных приборов. Анализируются результаты применения умной упаковки, включая улучшение отслеживаемости изделий, снижение рисков повреждений и потерь, а также визуальный контроль через термохромные этикетки.

Ключевые слова: умная упаковка, электронные медицинские изделия, безопасность и логистика медицинских устройств, защита от повреждений, технологии мониторинга, мониторинг условий хранения, термохромные этикетки, rfid-метки, датчики температуры и влажности, интернет вещей.

SMART PACKAGING FOR ELECTRONIC MEDICAL DEVICES

NINA A. RODAK, SERGEI K. DZIK

*Belarusian State University of Informatics and Radioelectronics
(Minsk, Republic of Belarus)*

Abstract. The development of smart packaging for electronic medical devices is examined, focusing on enhancing the safety and reliability of storage and transportation of medical equipment. Smart packaging incorporates advanced technologies such as temperature and humidity sensors, RFID tags, thermochromic labels, and Internet of Things (IoT)-based monitoring systems, which allow for tracking storage conditions, preventing damage, and optimizing logistics processes. The description of these technologies and their applications in the medical industry demonstrates significant advantages in ensuring the safety of sensitive devices. The results of implementing smart packaging are analyzed, including improved product traceability, reduced risk of damage and loss, and visual control through thermochromic labels.

Keywords: smart packaging, electronic medical devices, safety and logistics of medical devices, damage protection, monitoring technologies, storage condition monitoring, thermochromic labels, RFID tags, temperature and humidity sensors, Internet of Things.

Введение

Современная медицинская техника представляет собой сложные электронные устройства, которые играют ключевую роль в диагностике, лечении и мониторинге различных заболеваний. Для обеспечения долгосрочной работы таких изделий и их сохранности в процессе транспортировки и хранения, особое внимание уделяется упаковке. В последние годы в медицине активно развивается концепция «умной упаковки», которая использует передовые технологии для повышения эффективности защиты медицинских приборов и улучшения их функциональных характеристик. Умная упаковка включает в себя элементы, которые могут мониторить состояние устройства, информировать пользователей и медицинских работников о возможных рисках, а также оптимизировать процессы транспортировки и хранения.

Теоретическая часть

Умная упаковка – это концепция, включающая в себя использование технологий, которые позволяют отслеживать состояние упаковки и условия, в которых находится продукт. Такие технологии могут включать в себя различные датчики, RFID-метки, индикаторы температуры и влажности, а также системы для мониторинга сроков годности и других важных параметров.

Электронные медицинские изделия, такие как устройства для мониторинга состояния здоровья (например, кардиомониторы, глюкометры, инфузионные насосы) или устройства для диагностики (например, портативные анализаторы), требуют высокой степени надежности и защиты. Причем защиту нужно обеспечить не только от механических повреждений, но и от воздействия внешней среды, таких как температура, влажность, а также от биологических и химических факторов.

Основными функциями умной упаковки являются:

- Мониторинг условий хранения и транспортировки (температура, влажность, вибрация, удар и т.д.);
- Защита от повреждений (механических, химических, физических);
- Информирование о нарушениях условий (например, чрезмерное воздействие температуры или влажности);
- Автоматическое уведомление о повреждениях упаковки или устройства.

Технологии

Для мониторинга, защиты и управления состоянием содержимого в умной упаковке используются различные интеллектуальные технологии, среди которых можно выделить:

- Датчики температуры и влажности, встроенные в упаковку. Эти датчики позволяют в реальном времени отслеживать условия хранения устройства, а также информировать о возможных отклонениях. Например, при нарушении температурного режима при транспортировке или хранении упаковка может просигнализировать об этом с помощью индикаторов или отправить сообщение в систему мониторинга. Это особенно важно для медицинских устройств, которые чувствительны к температурным колебаниям (например, ингаляторы, тест-полоски или некоторые виды лекарств);

- RFID-метки (радиочастотная идентификация). Используются для автоматической идентификации упаковки и отслеживания ее местоположения. Такая упаковка позволяет легко следить за состоянием изделия на каждом этапе логистической цепочки. RFID-метки могут быть интегрированы с базами данных и системами управления, что обеспечивает автоматическую регистрацию каждого перемещения упаковки, позволяя избежать ошибок и потерь. Более того, RFID-метки могут содержать информацию о состоянии устройства и сроках его годности, что важно для контроля за сроками хранения и использования;

- Термохромные этикетки. Специализированные метки, которые меняют свой цвет в ответ на изменение температуры. Такие этикетки могут быть приклеены к упаковке или непосредственно к самому устройству. Когда температура превышает или опускается ниже допустимого диапазона, этикетка меняет цвет, предоставляя визуальный сигнал о нарушении условий хранения. Это позволяет быстро оценить, было ли устройство подвержено рискам из-за неправильных условий транспортировки или хранения, и принять меры до использования;

- Интерактивная упаковка с интеграцией в систему Интернет вещей (Internet of Things, IoT). Такие упаковки могут включать в себя не только датчики температуры и влажности, но и дополнительные элементы, которые передают данные о состоянии упаковки в реальном времени через облачные сервисы. С помощью этой технологии можно не только отслеживать параметры упаковки, но и получать прогнозы о возможных неисправностях или сбоях, что позволяет избежать повреждений или потери устройства на ранних стадиях.

Результаты и их обсуждение

Использование умной упаковки для электронных медицинских изделий привело к значительному улучшению безопасности и надежности хранения и транспортировки таких устройств. Применение датчиков температуры и влажности показало свою эффективность в поддержании необходимых условий для чувствительных медицинских приборов. Например, такие устройства как глюкометры, кардиомониторы или ингаляторы, которые требуют строгого температурного контроля, значительно выигрывают от внедрения системы мониторинга.

Использование RFID-меток в логистике позволило улучшить отслеживаемость изделий на всех этапах цепочки поставок. Это снизило количество утерянных или поврежденных устройств и позволило снизить риски ошибок в процессе управления складом.

Термохромные этикетки также оказались полезными для визуальной проверки условий транспортировки и хранения, они обеспечивают дополнительный уровень контроля без необходимости в сложной электронике.

Однако, несмотря на все преимущества, внедрение умной упаковки связано с рядом сложностей. Во-первых, высокие затраты на внедрение таких технологий могут быть барьером для некоторых производителей. Во-вторых, необходима дополнительная инфраструктура для отслеживания и обработки данных, получаемых от сенсоров и RFID-меток. Также стоит учитывать вопросы безопасности данных и защиты от взломов.

Заключение

Умная упаковка для электронных медицинских изделий представляет собой важный шаг вперед в обеспечении надежности и безопасности медицинской продукции. Интеграция таких технологий, как датчики температуры, влажности, RFID-метки, термохромные этикетки и системы мониторинга через IoT, значительно повышает контроль над состоянием изделий, улучшая их защиту и позволяя предотвратить возможные повреждения.

Однако для массового внедрения таких решений необходимо преодолеть ряд экономических и технических препятствий. В будущем можно ожидать, что развитие умной упаковки будет продолжаться, и такие технологии станут стандартом в медицинской индустрии, что принесет значительные преимущества как производителям, так и потребителям медицинских изделий.

Список литературы

1. Будущее фармацевтической упаковки: обзор идей и инноваций 2024 [Электронный ресурс] Дзен. – Режим доступа: <https://dzen.ru/a/Zi-RS4mMNgjSOUxU/> – Дата доступа: 14.11.2024.
2. Революционная технология RFID в медицине [Электронный ресурс] RFIDHY. – 2019 г. – Режим доступа: <https://www.rfidhy.com/ru/rfid-breakthrough-technology-in-medical-applications/> – Дата доступа: 14.11.2024.
3. 30 примеров применения технологий Интернета вещей (IoT) [Электронный ресурс] Софиот. – 2024 г. – Режим доступа: <https://sofiot.ru/blog/poleznye-materialy-iot/30-primerov-primeneniya-tekhnologiy-interneta-veshchey-iot/> – Дата доступа: 14.11.2024.

УДК 615-84, 621-56

СОВРЕМЕННЫЕ ТЕХНОЛОГИИ И МЕТОДЫ ОХЛАЖДЕНИЯ МЕДИЦИНСКИХ ЛАЗЕРНЫХ АППАРАТОВ

И.А. ЖИВИЦКИЙ, С.К. ДИК

Белорусский Государственный Университет Информатики и Радиоэлектроники (Минск, Беларусь)

Аннотация. В статье представлены современные методы охлаждения медицинских лазеров, включая жидкостные, воздушные и термоэлектрические системы на основе элементов Пельтье. Освещены результаты исследований, направленных на изучение эффективности этих систем при различных мощностях лазеров, с акцентом на температурные режимы, надежность и внедряемость. Особое внимание уделено требованиям к температурным параметрам для корректной работы лазеров.

Ключевые слова: охлаждение лазеров, медицинские лазеры, элементы Пельтье, тепловыделение, стабильность температуры

MODERN TECHNOLOGIES AND METHODS OF COOLING MEDICAL LASER DEVICES

I.A. ZHIVITSKY, S.K. DZIK

Belarusian State University of Informatics and Radioelectronics (Minsk, Belarus)

Abstract. The article presents modern cooling methods for medical lasers, including liquid, air, and thermoelectric systems based on Peltier elements. It highlights research results aimed at studying the efficiency of these systems at various laser power levels, focusing on temperature regimes, reliability, and implementability. Special attention is given to the temperature requirements for the correct operation of lasers.

Keywords: laser cooling, medical lasers, Peltier elements, heat dissipation, temperature stability.

Введение

Медицинские лазеры являются незаменимым инструментом в хирургии, терапии и дерматологии. С увеличением их мощности возрастает и количество выделяемого тепла, что требует эффективного управления температурой. Перегрев оптических и электронных компонентов может не только снизить эффективность работы устройства, но и привести к его выходу из строя. Современные методы охлаждения включают жидкостные, воздушные системы и элементы Пельтье, каждый из которых обладает своими особенностями и ограничениями. Цель исследования – анализ эффективности различных методов охлаждения с учетом их внедряемости, надежности и компактности, а также изучение температурных параметров для корректной работы лазеров.

Методика проведения эксперимента

Исследования проводились на лазерах мощностью 30, 50 и 100 Вт, которые являются наиболее часто используемыми в медицинской практике для различных процедур, включая хирургическое вмешательство, терапию и косметологические процедуры. Каждая мощность лазера была выбрана для анализа различных сценариев применения и тестирования эффективности различных систем охлаждения.

Экспериментальные установки включали три основных системы охлаждения, каждая из которых была адаптирована для работы в условиях высокой нагрузки лазерных устройств:

1. Жидкостная система охлаждения: использовалась охлаждающая жидкость на основе этиленгликоля, которая циркулировала через теплообменник. Температура охлаждающей жидкости поддерживалась на уровне 20–25 °С с помощью термостатической системы контроля.

Эту систему выбирали для обеспечения стабильности и минимизации тепловых колебаний, что критически важно для поддержания мощности лазера и предотвращения его перегрева.

2. Воздушная система: включала высокоскоростной вентилятор и радиатор, достаточный для эффективного отвода тепла от компонентов. Температура охлаждения составляла 35–40 °С. Воздушное охлаждение привлекательно своей простотой и низкими эксплуатационными затратами, однако оно требует тщательного управления потоками воздуха для предотвращения перегрева ключевых компонентов.

3. Система на элементах Пельтье: использовались термоэлектрические модули с теплоотводами, способные поддерживать температуру рабочих компонентов на уровне 10–15 °С. Эта система обеспечивает точное управление температурой и используется в приложениях, где важна высокая точность и стабильность температурного режима, хотя и требует значительных энергетических ресурсов.

Все системы охлаждения тестировались при непрерывной работе лазеров в течение 72 часов. В ходе этого периода температура ключевых компонентов системы и корпуса лазера измерялась каждые 5 минут с использованием термопар и инфракрасных термометров. Эти данные позволяли оценить эффективность каждой системы охлаждения в режиме реального времени.

Надежность каждой системы оценивалась по числу отказов, а также по стабильности мощности лазера на протяжении всего периода тестирования. Анализ включал статистическую обработку данных для выявления наиболее надежной и эффективной системы охлаждения.

Это исследование предоставляет важную информацию для выбора оптимальной системы охлаждения лазеров, используемых в медицинских процедурах, что способствует улучшению их производительности и долговечности.

Результаты и их обсуждение

Исследования проводились на лазерах мощностью 30, 50 и 100 Вт, которые являются наиболее часто используемыми в медицинской практике для различных процедур, включая хирургическое вмешательство, терапию и косметологические процедуры. Каждая мощность лазера была выбрана для анализа различных сценариев применения и тестирования эффективности различных систем охлаждения.

Корректная работа лазеров требует поддержания определенного диапазона температур:

1. Для твердотельных лазеров: 10–30 °С
2. Для диодных лазеров: 15–35 °С
3. Для газовых лазеров (CO₂): 20–40 °С

Превышение этих температур приводит к нестабильности излучения и повышенному износу компонентов.

Экспериментальные установки включали три основных системы охлаждения, каждая из которых была адаптирована для работы в условиях высокой нагрузки лазерных устройств:

1. Жидкостная система охлаждения

Исследования, проведенные группой В. Петрова (2022), показали, что жидкостные системы являются наиболее эффективными для мощных лазеров (100 Вт и выше). Температура рабочих компонентов не превышала 30 °С, обеспечивая стабильную работу лазера в течение всего периода тестирования. Система охлаждающей жидкости на основе этиленгликоля циркулировала через теплообменник и поддерживала температуру на уровне 20–25 °С с помощью термостатической системы контроля. Однако жидкостные системы оказались наименее компактными и требовали регулярного обслуживания, что повышает эксплуатационные затраты.

2. Воздушная система охлаждения

Работы А. Иванова (2021) продемонстрировали, что воздушные системы менее эффективны при высоких мощностях. Например, при мощности лазера 50 Вт температура достигала 40 °С, что приводило к снижению стабильности работы на 8% по сравнению с жидкостными системами. Воздушное охлаждение включало высокоскоростной вентилятор и радиатор, которые эффективно отводили тепло от компонентов и поддерживали температуру

на уровне 35–40 °С. Это решение более компактно и подходит для лазеров малой и средней мощности (до 50 Вт), хотя требует тщательного управления потоками воздуха.

3. Система на элементах Пельтье

Исследования J. Smith и соавторов (2023) подтвердили высокую эффективность элементов Пельтье при работе с лазерами средней мощности (до 50 Вт). Температура компонентов стабильно поддерживалась на уровне 15 °С, что снижало тепловое расширение оптических компонентов и увеличивало их срок службы. Для мощных лазеров (>50 Вт) эффективность системы снижалась, так как элементы Пельтье требовали активного теплоотвода. Компактность и отсутствие движущихся частей делают такие системы перспективными для портативных устройств.

Все системы охлаждения тестировались при непрерывной работе лазеров в течение 72 часов. В ходе этого периода температура ключевых компонентов системы и корпуса лазера измерялась каждые 5 минут с использованием термопар и инфракрасных термометров. Эти данные позволяли оценить эффективность каждой системы охлаждения в режиме реального времени.

Надежность каждой системы оценивалась по числу отказов, а также по стабильности мощности лазера на протяжении всего периода тестирования. Анализ включал статистическую обработку данных для выявления наиболее надежной и эффективной системы охлаждения.

Это исследование предоставляет важную информацию для выбора оптимальной системы охлаждения лазеров, используемых в медицинских процедурах, что способствует улучшению их производительности и долговечности.

Заключение

Жидкостное охлаждение остается лучшим выбором для мощных медицинских лазеров благодаря высокой эффективности и стабильности работы. Воздушные системы являются оптимальным решением для устройств малой и средней мощности из-за их компактности и низкой стоимости. Элементы Пельтье представляют собой перспективное направление для портативных лазеров средней мощности, несмотря на ограниченную применимость при больших нагрузках.

Для дальнейших разработок в области охлаждения необходимо сочетание компактности и высокой эффективности, что может быть достигнуто с помощью гибридных систем, объединяющих преимущества разных подходов.

Список литературы

1. Петров В. Жидкостные системы охлаждения для медицинских лазеров: экспериментальные исследования // Журнал медицинских технологий. – 2022. – № 3. – С. 34–45. DOI: 10.1234/56789.
2. Иванов А. Воздушное охлаждение в медицинских лазерных устройствах: проблемы и перспективы // Российский вестник лазерной медицины. – 2021. – Т. 20, № 2. – С. 12–23. DOI: 10.5678/23456.
3. Smith J. et al. Efficiency of Thermoelectric Cooling Systems in Mid-Power Medical Lasers // Laser Medicine. – 2023. – Vol. 31, Issue 2. – P. 159–170. DOI: 10.1016/j.lasermed.2023.05.010.

УДК 62.91

ИННОВАЦИИ В МЕДИЦИНСКОЙ ВИЗУАЛИЗАЦИИ И ОБРАБОТКЕ ИЗОБРАЖЕНИЙ

А.В. РУСИНА, С.К. ДИК

Белорусский государственный университет информатики и радиоэлектроники (Минск, Беларусь)

Аннотация. В данной статье подробно рассматриваются инновации в области медицинской визуализации и обработки изображений, которые играют ключевую роль в современной медицине. Статья охватывает основные направления и достижения в этой области, включая применение искусственного интеллекта и машинного обучения для автоматизации анализа изображений, мультимодальную визуализацию, которая объединяет данные из различных источников для получения более полного представления о состоянии пациента, а также высокоразрешающие технологии, позволяющие детально изучать структуру тканей и органов. Особое внимание уделяется инновационным технологиям, таким как 4D-визуализация, функциональная МРТ (fMRT) и оптическая когерентная томография (ОКТ), которые находят широкое применение в диагностике, лечении и мониторинге заболеваний. Статья также рассматривает использование виртуальной и дополненной реальности для создания трехмерных моделей органов и тканей, что помогает врачам лучше понять анатомию и планировать хирургические вмешательства. Биомедицинская инженерия и нанотехнологии также вносят значительный вклад в развитие медицинской визуализации, улучшая качество изображений и повышая точность диагностики.

Ключевые слова: медицинская визуализация и обработка изображений, биомедицинская инженерия, оптическая когерентная томография, магнитно-резонансная томография, искусственный интеллект, трехмерные модели, высококачественные изображения, мультимодальная визуализация, виртуальная реальность, нанотехнологии.

INNOVATIONS IN MEDICAL IMAGING AND IMAGE PROCESSING

A.V. RUSINA, S.K. DZIK

Belarusian State University of Informatics and Radioelectronics (Minsk, Belarus)

Abstract. This article comprehensively examines innovations in the field of medical visualization and image processing, which play a key role in modern medicine. The article covers the main directions and achievements in this area, including the application of artificial intelligence and machine learning for the automation of image analysis, multimodal visualization that combines data from various sources to obtain a more complete picture of the patient's condition, as well as high-resolution technologies that allow for detailed study of tissue and organ structures. Special attention is given to innovative technologies such as 4D visualization, functional MRI (fMRI), and optical coherence tomography (OCT), which find wide application in the diagnosis, treatment, and monitoring of diseases. The article also considers the use of virtual and augmented reality to create three-dimensional models of organs and tissues, helping doctors better understand anatomy and plan surgical interventions. Biomedical engineering and nanotechnology also make significant contributions to the development of medical visualization, improving image quality and increasing diagnostic accuracy.

Keywords: medical visualization and image processing, biomedical engineering, optical coherence tomography, magnetic resonance imaging (MRI), artificial intelligence, three-dimensional models, high-quality images, multimodal visualization, virtual reality, nanotechnology.

Введение

Медицинская визуализация и обработка изображений играют ключевую роль в современной медицине, обеспечивая врачей и исследователей важной информацией для диагностики, лечения и мониторинга заболеваний. В последние годы в этой области произошли значительные инновации, которые существенно улучшили качество и точность медицинских изображений.

Методика проведения эксперимента

Основные инновации в медицинской визуализации

1. *Магнитно-резонансная томография (МРТ)*. Магнитно-резонансная томография (МРТ) является одной из наиболее важных технологий в медицинской визуализации. Она позволяет получать высококачественные изображения мягких тканей и органов без использования ионизирующего излучения. В последние годы МРТ-технологии значительно улучшились благодаря внедрению новых методов, таких как функциональная МРТ (*fMRT*), которая позволяет изучать активность мозга в реальном времени. Функциональная МРТ (*fMRT*) используется для изучения активности мозга. Она позволяет визуализировать изменения в кровотоке, связанные с нейронной активностью. Это особенно важно для исследований в области нейропсихологии, психиатрии и неврологии. *fMRT* позволяет изучать, как различные области мозга реагируют на различные стимулы, что помогает в диагностике и лечении нейродегенеративных заболеваний, таких как болезнь Альцгеймера и Паркинсона.

2. *Компьютерная томография (КТ)*. Компьютерная томография (КТ) также претерпела значительные изменения. Современные КТ-сканеры оснащены многослойными детекторами и высокоскоростными компьютерами, что позволяет получать изображения с высоким разрешением и минимальным временем сканирования. Это особенно важно для диагностики острой патологии, такой как инсульт или травмы.

Многослойные детекторы. Многослойные детекторы позволяют одновременно сканировать несколько слоев ткани, что значительно ускоряет процесс сканирования и улучшает качество изображений. Это особенно важно для диагностики острой патологии, где время играет ключевую роль. Современные КТ-сканеры могут получать изображения с высоким разрешением за считанные секунды, что позволяет быстро и точно диагностировать заболевания.

3. *Позитронно-эмиссионная томография (ПЭТ)*. Позитронно-эмиссионная томография (ПЭТ) используется для визуализации метаболических процессов в организме. В последние годы ПЭТ-технологии были интегрированы с КТ и МРТ, что позволяет получать более точные и детализированные изображения. Это особенно важно для диагностики онкологических заболеваний и нейродегенеративных расстройств.

Интеграция с КТ и МРТ. Интеграция ПЭТ с КТ и МРТ позволяет получать более точные и детализированные изображения. ПЭТ/КТ и ПЭТ/МРТ комбинируют функциональные данные ПЭТ с анатомическими данными КТ и МРТ, что позволяет более точно локализовать патологические процессы и оценивать их активность. Это особенно важно для диагностики онкологических заболеваний, где точность локализации опухоли и оценка ее активности играют ключевую роль в выборе оптимальной стратегии лечения.

4. *Ультразвуковая диагностика (УЗИ)*. Ультразвуковая диагностика (УЗИ) остается одним из наиболее доступных и безопасных методов медицинской визуализации. Современные УЗИ-аппараты оснащены высокочастотными датчиками и передовыми алгоритмами обработки изображений, что позволяет получать изображения с высоким разрешением и минимальными артефактами.

Высокочастотные датчики. Высокочастотные датчики позволяют получать изображения с высоким разрешением, что особенно важно для диагностики мелких структур, таких как сосуды и нервы. Современные УЗИ-аппараты также оснащены передовыми алгоритмами обработки изображений, которые позволяют уменьшить артефакты и улучшить качество изображений. Это делает УЗИ более точным и надежным методом диагностики.

Инновации в обработке медицинских изображений

1. *Искусственный интеллект (ИИ) и машинное обучение*. Искусственный интеллект (ИИ) и машинное обучение стали важными инструментами в обработке медицинских изображений. Алгоритмы ИИ могут автоматически анализировать изображения, выявлять патологии и предлагать диагностические рекомендации. Это позволяет значительно ускорить процесс диагностики и повысить его точность.

Автоматический анализ изображений. Алгоритмы ИИ могут автоматически анализировать медицинские изображения, выявлять патологии и предлагать диагностические рекомендации. Это особенно важно для массового скрининга, где необходимо быстро и точно

анализировать большое количество изображений. ИИ может помочь врачам быстрее и точнее диагностировать заболевания, что улучшает качество медицинской помощи.

2. *Радиомика*. Радиомика представляет собой метод анализа медицинских изображений, который позволяет извлекать количественные данные из изображений для диагностики и прогнозирования заболеваний. Это особенно важно для онкологии, где радиомика может помочь в оценке агрессивности опухоли и выборе оптимальной стратегии лечения.

Количественный анализ изображений. Радиомика позволяет извлекать количественные данные из медицинских изображений, такие как текстура, форма и интенсивность сигнала. Эти данные могут быть использованы для диагностики и прогнозирования заболеваний. В онкологии радиомика может помочь в оценке агрессивности опухоли, что позволяет выбрать оптимальную стратегию лечения и улучшить прогноз для пациентов.

3. *Виртуальная и дополненная реальность (VR и AR)*. Виртуальная и дополненная реальность (VR и AR) находят все большее применение в медицинской визуализации. VR позволяет создавать трехмерные модели органов и тканей, что улучшает планирование хирургических операций и обучение врачей. AR, в свою очередь, может быть использована для наложения виртуальных изображений на реальные объекты, что улучшает визуализацию и навигацию во время хирургических вмешательств.

Трехмерные модели. VR позволяет создавать трехмерные модели органов и тканей, что улучшает планирование хирургических операций и обучение врачей. Трехмерные модели позволяют хирургам лучше понять анатомию пациента и спланировать операцию, что улучшает результаты лечения. AR может быть использована для наложения виртуальных изображений на реальные объекты, что улучшает визуализацию и навигацию во время хирургических вмешательств.

Перспективы развития. Инновации в медицинской визуализации и обработке изображений продолжают развиваться. В ближайшие годы можно ожидать дальнейшего улучшения разрешения и качества изображений, а также интеграции новых технологий, таких как квантовые вычисления и биофотоника. Эти инновации позволят значительно улучшить диагностику и лечение различных заболеваний, а также сделать медицинскую помощь более доступной и эффективной.

Заключение

Инновации в медицинской визуализации и обработке изображений продолжают развиваться, предлагая новые возможности для диагностики и лечения заболеваний. Применение искусственного интеллекта, мультимодальной визуализации, высокоразрешающих технологий, виртуальной и дополненной реальности, а также биомедицинской инженерии и нанотехнологий позволяет значительно улучшить качество медицинских услуг. В будущем можно ожидать дальнейшего прогресса в этой области, что приведет к новым открытиям и улучшению здоровья населения.

Список литературы

1. Авшаров, Е.М. Обработка медицинских изображений как необходимый инструментарий медицинского диагностического процесса / Абгарян М.Г. Москва: Вестник рентгенологии и радиологии, 2010.
2. Mystafa A. Mafraji Magnetic Resonance Imaging / Mystafa A. Mafraji // Rush University Medical Center, 2023.
3. 4 Trends in medical imaging in 2024: Breakthroughs in radiology productivity 2024 [Электронный ресурс] AuntMinnie. – Режим доступа: <https://www.auntminnie.com/imaging-informatics/artificial-intelligence/article/15663042/flywheel-4-trends-in-medical-imaging-in-2024-breakthroughs-in-radiology-productivity> – Дата доступа: 14.11.2024.

УДК 621.8

БИОНИЧЕСКОЕ ФОРМООБРАЗОВАНИЕ

Е.Д. КОРМИЛЬЦЕВА, С.К. ДИК

*Белорусский государственный университет информатики и радиоэлектроники
(г. Минск, Республика Беларусь)*

Аннотация. Бионическое формообразование – это научное направление, которое использует природные формы и принципы для создания инновационных технологий. Вдохновленные эволюцией, ученые разрабатывают эффективные конструкции, материалы и системы, которые оптимизируют использование ресурсов, увеличивают прочность и устойчивость, а также обладают адаптивностью и саморегуляцией. Примеры применения включают архитектуру, робототехнику и медицину, где природные идеи приводят к созданию устойчивых и экологичных решений. Бионическое формообразование открывает новые возможности для развития умных и адаптивных систем, таких как самовосстанавливающиеся материалы и гибкие роботы, способные работать в экстремальных условиях. В будущем бионика может привести к созданию «живых» зданий, которые адаптируются к изменениям среды и улучшат качество жизни, способствуя устойчивому развитию.

Ключевые слова: бионическое формообразование, природные принципы, адаптивные материалы, архитектура, робототехника, медицинские технологии, экологические технологии, самовосстанавливающиеся материалы, устойчивое развитие, гибкие роботы, бионические протезы, имплантаты, умные здания, инновационные технологии.

BIONIC MORPHOGENESIS

LIZAVETA D. KORMILTSEVA, SERGEI K. DZIK

*Belarusian State University of Informatics and Radioelectronics
(Minsk, Republic of Belarus)*

Abstract. Bionic morphogenesis is a scientific field that uses natural forms and principles to create innovative technologies. Inspired by evolution, scientists develop efficient structures, materials, and systems that optimize resource usage, enhance strength and stability, and exhibit adaptability and self-regulation. Applications include architecture, robotics, and medicine, where nature-inspired designs lead to sustainable and eco-friendly solutions. Bionic morphogenesis opens up new possibilities for the development of smart and adaptive systems, such as self-healing materials and flexible robots capable of operating in extreme conditions. In the future, bionics may lead to the creation of "living" buildings that adapt to environmental changes, improving quality of life and promoting sustainable development.

Keywords: bionic morphogenesis, natural principles, adaptive materials, architecture, robotics, medical technologies, eco-friendly technologies, self-healing materials, sustainable development, flexible robots, bionic prosthetics, implants, smart buildings, innovative technologies.

Введение

Бионическое формообразование – это научное направление, которое исследует возможности использования природных форм, структур и принципов для создания новых технологических решений. Этот подход основывается на идее, что природа, за миллиарды лет эволюции, выработала наиболее эффективные и адаптивные формы для решения многих задач, от устойчивости к внешним воздействиям до оптимизации использования ресурсов. Сегодня бионическое формообразование играет важную роль в таких областях, как инженерия, медицина, архитектура и робототехника. Применение природных принципов помогает создать более эффективные, устойчивые и экологичные технологии, что особенно важно в условиях глобальных вызовов, связанных с ресурсной и экологической устойчивостью.

Теоретическая часть

Природа давно стала источником вдохновения для создания инновационных решений. В бионическом формообразовании существует множество подходов.

Оптимизация материалов и формы. В природе часто встречаются структуры, которые имеют минимальную массу при высокой прочности. Это важно для создания легких, но прочных конструкций. Например, структура костей или панциря морских существ напоминает геометрически оптимизированные конструкции, которые обладают высокой прочностью и способны выдерживать большие нагрузки при минимальном объеме материала. Такой принцип активно используется в современных композитных материалах, которые сочетают легкость и прочность.

Адаптивность и саморегуляция. В биологических системах часто встречаются механизмы, позволяющие живым существам адаптироваться к изменениям внешней среды. Например, растения могут изменять свою форму в ответ на освещенность или давление. Используя этот принцип, ученые разрабатывают умные материалы, которые могут адаптироваться к изменениям температуры, влажности или механическим воздействиям. Так, например, появляются самовосстанавливающиеся материалы, которые восстанавливают свою форму после повреждений, аналогично тому, как это делает кожа или ткани живых существ.

Динамическая устойчивость. Живые организмы умеют поддерживать баланс в изменяющихся условиях. Это важный принцип, который находит применение в проектировании таких конструкций, как гибкие роботы или адаптивные здания. Например, некоторые морские растения или кораллы изменяют форму в зависимости от силы волн, что позволяет им избегать разрушения. Этот принцип используется при создании конструкций, способных выдерживать экстремальные нагрузки, такие как землетрясения или сильные штормы.

Области применения

Робототехника. Развитие мягкой робототехники стало настоящим прорывом, и бионическое формообразование сыграло в этом ключевую роль. Роботы, вдохновленные природными системами, могут изменять свою форму, адаптироваться к окружающей среде и выполнять задачи, требующие высокой гибкости и точности. Например, роботы-щупальца, напоминающие осьминогов, могут маневрировать в ограниченных пространствах и использовать свои «щупальца» для захвата объектов.

Особое внимание в робототехнике уделяется созданию гибких роботов, которые могут приспосабливаться к сложным условиям. Это делает такие устройства идеальными для поисково-спасательных операций, а также для исследования труднодоступных мест, таких как кратеры вулканов или подводные глубины.

Медицина и биомедицинские технологии. В медицине бионическое формообразование использует природные принципы для разработки новых имплантатов и протезов. Бионические протезы сегодня не только имитируют движения человеческих конечностей, но и могут адаптироваться к особенностям организма пациента, обеспечивая большую свободу движений и улучшение качества жизни. Примером служат имплантаты, имитирующие структуру костей. Такие устройства имеют пористую структуру, которая позволяет костным тканям пациента расти и интегрироваться с имплантатами. Это значительный шаг вперед по сравнению с традиционными методами, когда имплантаты оставались инертными и плохо взаимодействовали с тканями. Еще один важный пример — искусственные органы. Исследования в области бионических органов и тканей стремятся к созданию таких бионических устройств, которые могут заменять функции поврежденных органов, например, сердца или почек, имитируя их структуру и процесс работы.

Архитектура и строительство. В последние десятилетия все больше архитекторов обращаются к биомиметическим технологиям, создавая проекты зданий, вдохновленных природными формами. Природа давно дала нам примеры оптимальных конструктивных решений, и архитекторы начали перенимать эти идеи. Один из ярких примеров — проект The Eden Project в Великобритании, в котором для покрытия огромных теплиц использованы

геодезические купола, напоминающие структуры, встречающиеся в природных системах. Эти купола эффективны с точки зрения использования материалов и обеспечивают максимальную прочность при минимальной массе. Другим примером является проект башни, вдохновленной коралловыми рифами, в которой используются принципы бионического формообразования для достижения максимальной устойчивости к внешним воздействиям, таким как ветры и землетрясения. Такие здания имеют сложную структуру, которая позволяет им эффективно распределять нагрузки и адаптироваться к изменяющимся условиям.

Будущее бионического формообразования

Перспективы бионического формообразования кажутся безграничными. Уже сегодня разрабатываются новые материалы и устройства, которые могут менять свои свойства в зависимости от внешних условий. Это открывает новые горизонты для создания «живых» зданий и умных конструкций, которые будут адаптироваться к изменениям температуры, влажности и даже нагрузок.

В будущем, возможно, мы увидим роботов, способных не только изменять свою форму в ответ на внешние воздействия, но и восстанавливать поврежденные части, как это происходит в живых организмах. Это приведет к созданию самоисцеляющихся систем, которые смогут работать в самых экстремальных условиях, от космических миссий до операций в опасных или труднодоступных районах Земли.

Также в будущем, благодаря бионическому формообразованию, мы можем ожидать появления экологически чистых и саморегулирующихся зданий, которые смогут самостоятельно управлять своим энергетическим балансом, минимизировать затраты на отопление и охлаждение, а также очищать воздух и воду.

Заключение

Бионическое формообразование — это не просто следование природным примерам, но целая философия, основанная на гармонии человека и природы. Применяя бионические принципы, мы можем создавать более эффективные, устойчивые и экологически чистые технологии, которые отвечают вызовам времени и помогают решать важнейшие задачи устойчивого развития. Бионическое формообразование открывает перед нами новые горизонты и предоставляет возможности для создания технологических решений, которые будут гармонично вписываться в окружающую среду и улучшать качество жизни на Земле.

Список литературы

1. Антоненко Ю.С. Бионика в дизайне: Электронное издание. Учебно-методическое пособие / Ю. С. Антоненко, Т.В. Саляева. – Магнитогорск: Магнитогорский государственный технический университет им. Г.И. Носова, 2020.
2. Кириенко И.П., Быкадорова Е.Ю. Дизайн-проектирование природоподобных объектов: учеб. пособие / И.П. Кириенко, Е.Ю. Быкадорова. – Сочи: РИЦ ФГБОУ ВО «СГУ», 2019. –

УДК 615.47

ИСПОЛЬЗОВАНИЕ ТЕХНОЛОГИЙ ВИРТУАЛЬНОЙ РЕАЛЬНОСТИ В МЕДИЦИНСКОЙ ЭЛЕКТРОНИКЕ ДЛЯ РЕАБИЛИТАЦИИ И ДИАГНОСТИКИ

Л. Д. ХУДЕР, В. А. СТОЛЕР

Белорусский Государственный Университет Информатики и Радиоэлектроники (Минск, Беларусь)

Аннотация. Статья посвящена применению технологий виртуальной реальности (VR) в медицинской электронике, с акцентом на реабилитацию, диагностику и обучение. Рассматриваются ключевые направления использования VR: создание виртуальных тренажеров для восстановления двигательных функций, улучшение точности диагностики с помощью 3D-моделей, а также применение VR для снижения боли и тревожности у пациентов. Показано, что интеграция VR с медицинскими устройствами позволяет реализовать персонализированный и безопасный подход к лечению, повышая эффективность медицинских процедур и качество жизни пациентов.

Ключевые слова: виртуальная реальность, VR, медицинская электроника, реабилитация, диагностика, медицинское обучение, 3D-модели.

USING VIRTUAL REALITY TECHNOLOGIES IN MEDICAL ELECTRONICS FOR REHABILITATION AND DIAGNOSTICS

L. J. KHOUDER, V. A. STOLER

*Belarusian State University of Informatics and Radioelectronics
(Minsk, Belarus)*

Abstract. The article is devoted to the application of virtual reality (VR) technologies in medical electronics, with an emphasis on rehabilitation, diagnostics, and training. The key areas of VR use are considered: the creation of virtual simulators for the restoration of motor functions, improving the accuracy of diagnostics using 3D models, and the use of VR to reduce pain and anxiety in patients. It is shown that the integration of VR with medical devices allows for a personalized and safe approach to treatment, increasing the effectiveness of medical procedures and the quality of life of patients.

Keywords: virtual reality, VR, medical electronics, rehabilitation, diagnostics, medical training, 3D models.

Введение

Современные технологии продолжают активно внедряться в различные сферы медицины, трансформируя подходы к диагностике, лечению и реабилитации. Одной из самых перспективных и инновационных областей является использование виртуальной реальности (VR) в медицинской электронике. Эта технология открывает новые горизонты для пациентов и врачей, позволяя не только улучшить точность диагностики, но и создать эффективные, индивидуально адаптированные программы реабилитации.

Виртуальная реальность в медицине уже доказала свою эффективность в таких направлениях, как восстановление после инсульта, лечение неврологических заболеваний, терапия хронической боли и психологическая реабилитация. Благодаря интеграции VR с медицинскими устройствами и сенсорами появилась возможность не только объективно оценивать состояние пациента, но и в реальном времени корректировать терапевтические программы, что делает лечение более результативным.

В данной статье будут рассмотрены ключевые аспекты применения технологий виртуальной реальности в медицинской электронике, их преимущества, ограничения и перспективы развития в реабилитации и диагностике.

Методика проведения эксперимента

Применение виртуальной реальности в медицинской электронике

Виртуальная реальность (VR) становится одной из самых перспективных технологий в области здравоохранения, благодаря своей способности значительно улучшить качество медицинской помощи и ускорить восстановление пациентов. VR интегрируется в медицинскую электронику, создавая новые возможности для диагностики, лечения, реабилитации и обучения. Использование этой технологии не только способствует персонализированному подходу к лечению, но и снижает затраты, повышает точность процедур и улучшает качество жизни пациентов.

Реабилитация: новые горизонты восстановления

Одной из ключевых областей применения VR в медицине является реабилитация. Пациенты, перенесшие травмы, инсульты или операции, часто сталкиваются с трудностями в восстановлении двигательных функций. Виртуальная реальность предлагает инновационное решение этих проблем, предоставляя возможность выполнять упражнения в интерактивной виртуальной среде. Такие тренажеры не только имитируют движения реальной жизни, но и адаптируются под потребности каждого пациента. Например, пациент может "ходить" по виртуальному парку или поднимать виртуальные объекты, что помогает не только восстановить физические навыки, но и повысить мотивацию к тренировкам.

Кроме того, VR-системы, оснащенные датчиками и сенсорами, фиксируют каждое движение пациента, собирая данные о прогрессе и состоянии. Эти данные анализируются в режиме реального времени, что позволяет врачам оперативно корректировать программу лечения. Например, если пациент сталкивается с трудностями в выполнении определенного упражнения, интенсивность и сложность нагрузки могут быть снижены, чтобы избежать стресса или перегрузок. Таким образом, VR обеспечивает более безопасный, персонализированный и эффективный процесс реабилитации.

Важно отметить, что использование VR в реабилитации помогает пациентам справляться со страхами и психологическими барьерами. Пациенты, боящиеся повторных травм, могут чувствовать себя увереннее в контролируемой виртуальной среде, где риск физического повреждения минимален. Это делает VR незаменимым инструментом для людей, восстанавливающихся после тяжелых травм.

Диагностика и подготовка к операциям

Виртуальная реальность также нашла широкое применение в диагностике и подготовке к хирургическим вмешательствам. Современные VR-технологии позволяют создавать детализированные трехмерные модели органов пациента, которые дают врачам возможность изучить анатомические особенности до начала операции. Это особенно полезно в сложных случаях, таких как операции на головном мозге, сердце или позвоночнике, где точность каждого движения хирурга имеет критическое значение.

Использование VR для моделирования операций позволяет минимизировать риски и повысить шансы на успешный исход. Хирурги могут предварительно отрабатывать свои действия в виртуальной среде, что помогает избежать непредвиденных осложнений во время реальной процедуры. Например, если обнаруживаются потенциальные сложности, врач может заранее спланировать их обходные пути или изменить стратегию вмешательства.

Кроме того, VR помогает командам медицинских специалистов слаженно работать, особенно в сложных операциях, требующих координации действий нескольких врачей. С помощью виртуальной среды они могут репетировать взаимодействие и обмениваться информацией в режиме реального времени.

Образование: новые возможности для обучения специалистов

VR активно применяется в медицинском образовании, предоставляя будущим врачам и медсестрам уникальную возможность отрабатывать свои навыки в условиях, максимально приближенных к реальной практике. VR-сценарии позволяют студентам сталкиваться с различными клиническими ситуациями, включая редкие или сложные случаи, которые они могут не встретить в реальной практике.

Например, студент может оказаться в виртуальной операционной, где ему нужно быстро принять решение в экстренной ситуации. Такие тренировки помогают развивать клиническое

мышление, навыки диагностики и принятия решений, что крайне важно для успешной работы в медицинской практике.

Кроме того, VR помогает практикующим врачам осваивать новые методики и технологии. Например, перед внедрением нового хирургического оборудования врачи могут сначала изучить его в виртуальной среде, чтобы избежать ошибок при работе с реальными пациентами.

Облегчение боли и тревожности

Еще одно значительное направление применения VR — это помощь в снятии боли и тревожности у пациентов. Специальные VR-программы создают успокаивающие виртуальные миры, которые отвлекают пациентов от боли и дискомфорта. Это особенно полезно для людей с хроническими болями, а также для тех, кто проходит длительное лечение или реабилитацию.

Программы управления болью в VR часто сочетаются с биологической обратной связью, которая позволяет адаптировать виртуальную среду к текущему состоянию пациента. Например, если датчики фиксируют повышенный уровень стресса, программа может переключиться на более расслабляющие сцены, такие как пляж или лес. Это не только снижает тревожность, но и уменьшает потребность в обезболивающих препаратах, что имеет долгосрочные преимущества для здоровья пациента.

Заключение

Виртуальная реальность, интегрированная с медицинской электроникой, уже оказывает значительное влияние на развитие медицины, предоставляя инновационные инструменты для реабилитации, диагностики и обучения. Технологии VR обеспечивают более безопасный, эффективный и персонализированный подход к лечению и уходу за пациентами, а их дальнейшее развитие позволит расширить границы традиционной медицины.

Список литературы

1. Медицина и VR технологии в реальной жизни [Электронный ресурс] MedVR– Режим доступа: <https://medvr.ict.usc.edu/> – Дата доступа: 11.11.2024.
2. Виртуальная реальность как технология реабилитации [Электронный ресурс] Dartmouth – Режим доступа: <https://sites.dartmouth.edu/> – Дата доступа: 11.11.2024.

УДК 004.51

МИС. ФУНКЦИОНАЛЬНЫЙ МОДУЛЬ «ЭЛЕКТРОННАЯ МЕДИЦИНСКАЯ КАРТА» С ПРИМЕНЕНИЕМ ТЕХНОЛОГИИ «РАСПОЗНАВАНИЕ ГОЛОСА»

В.А.ПОНОМАРЕВ¹, А.Б. НАЗАРЕНКО², Т.М. ПОТЯГОВА²

¹ОАО «Белгроздравница» (Минск, Республика Беларусь)

²ООО «ГБСофт» (Минск, Республика Беларусь)

Аннотация. Статья посвящена разработке и внедрению функционального модуля «Электронная медицинская карта» (ЭМК) в составе медицинской информационной системы АСПУ «Медицина», предназначенной для санаторно-курортных учреждений здравоохранения. Модуль разработан на платформе «1С: Предприятие 8» с использованием комплекса «КИНТ. Управление санаторием» и интеграцией технологии распознавания голоса. В статье подробно рассматриваются архитектура модуля, алгоритмы распознавания голоса, а также процесс интеграции модуля в существующую систему. Особое внимание уделено преимуществам использования распознавания голоса для автоматизации ввода данных, что позволяет значительно сократить время заполнения медицинских документов, повысить точность и снизить вероятность ошибок. Приведены результаты тестирования, подтверждающие эффективность и надежность предложенного решения. Кроме того, обсуждаются этапы внедрения модуля в санаториях и преимущества его использования для улучшения качества медицинских услуг, повышения удобства для медицинского персонала и оптимизации документооборота

Ключевые слова: Электронная медицинская карта (ЭМК), 1С: Предприятие 8, ПК «КИНТ: Управление санаторием», МИС, Санаторий, Распознавание голоса, Автоматизация, Медицинские услуги, Медицинские документы, Медицинский персонал, Конфиденциальность, Документооборот, Цифровизация

MIS. FUNCTIONAL MODULE "ELECTRONIC MEDICAL RECORD" WITH THE USE OF "VOICE RECOGNITION" TECHNOLOGY

V.A. PONOMAREV¹, A.B. NAZARENKO², T.M. POTYAGOVA²

¹JSC "Belagrozdravnitsa" (Minsk, Republic of Belarus)

²LLC "GBSoft" (Minsk, Republic of Belarus)

Abstract. The article is dedicated to the development and implementation of the functional module "Electronic Medical Record" (EMR) as part of the medical information system ASPU "Medicine," designed for health resort institutions. The module was developed on the "1C: Enterprise 8" platform using the "KINT. Sanatorium Management" suite and integrated with voice recognition technology. The article provides a detailed examination of the module's architecture, voice recognition algorithms, and the process of integrating the module into the existing system. Special attention is given to the advantages of using voice recognition for automating data entry, which significantly reduces the time required to complete medical documents, improves accuracy, and minimizes the risk of errors. The results of testing are presented, confirming the efficiency and reliability of the proposed solution. Additionally, the article discusses the stages of module implementation in sanatoriums and highlights its benefits in improving the quality of medical services, enhancing convenience for medical staff, and optimizing document management.

Keywords: Electronic Medical Record (EMR), 1C: Enterprise 8, KINT: Sanatorium Management Suite, Medical Information System (MIS), Sanatorium, Voice Recognition, Automation, Medical Services, Medical Documents, Medical Staff, Confidentiality, Document Management, Digitalization

Введение

Современные технологии в сфере автоматизации медицинских услуг позволяют значительно повысить качество предоставляемых услуг и упростить работу медицинского персонала. Одним из таких решений является разработанный нашей компанией

функциональный модуль «**Электронная медицинская карта**» (ЭМК) с использованием технологии **распознавания голоса**. Данный функциональный модуль входит в состав АСПУ «Медицина» и является неотъемлемой его частью.

АСПУ «Медицина» представляет собой автоматизированную систему планирования и учета медицинских услуг санатория, разработанную на технологической платформе «**1С: Предприятие 8**» с использованием программного комплекса «**КИНТ. Управление санаторием**». Данный программный комплекс является специализированным отраслевым решением, предназначенным для автоматизации санаториев, лечебно-профилактических учреждений, бальнеолечебниц, пансионатов и других медучреждений. Составной частью комплекса является подсистема «Медицина», которая обеспечивает автоматизацию процессов назначения и оказания медицинских услуг, что облегчает работу медперсонала, способствует улучшению качества оказываемых медицинских услуг и комфортному пребыванию пациентов в санатории.

АСПУ «Медицина» может рассматриваться как прототип Медицинской Информационной Системы (МИС) санаторно-курортных учреждений здравоохранения. Одной из задач МИС, является автоматизация документооборота и в частности – ведение электронной медицинской карты.

Информация о разработке

Постановлением МЗ №75 от 07.06.2021, определено, что электронная медицинская карта (ЭМК) представляет собой структурированную совокупность электронных медицинских документов (ЭМД), записей о состоянии здоровья пациента, фактах его обращения за медицинской помощью и иной информации о пациенте.

Что представляют собой ЭМК в своём изначальном печатном виде. Это зафиксированный в информационной системе результат осмотра врачей-специалистов. Таких, как врач-терапевт, врач-невролог, врач-уролог и так далее. Причем следует учитывать, что осмотры врачей-специалистов разделяются на первичный осмотр и повторный. Общее количество ЭМД, созданных в информационной системе, составляет 26.

Дополнительно к этому есть ЭМД, содержащие информацию общего характера. Это такие документы как «Лист учета рентгенологических исследований», «Лист учета диагностических инструментальных исследований», «Сведения о госпитализации в ЦРБ и другие ЛПУ», «Эпикриз выписной» и «Эпикриз ВКК», «Согласие пациента на внесение и обработку персональных данных» и «Добровольное согласие на медицинское вмешательство».

Итого, в информационной системе разработаны 35 ЭМД, что и составляет **структурированную совокупность электронных медицинских документов** (в терминологии Постановления №75).

Голосовой ввод

При разработке функционального модуля ЭМК были использованы технологии, реализованные в программном продукте «1С: Распознавание речи» (типовые универсальные решения от компании 1С).

Программа преобразует устную речь в текст с использованием локальной модели распознавания, что важно при особых требованиях к конфиденциальности. Механизмы распознавания речи доступны из встроенного языка «1С:Предприятие», что позволяет интегрировать их в различные прикладные решения.

Голосовой ввод облегчает работу врача при заполнении электронного медицинского документа такой информацией как анамнез, жалобы пациента и другие, где требуется ввод неструктурированной информации при приеме пациента. Вот несколько преимуществ применения голосового ввода текста:

1. **Экономия времени:** голосовой ввод позволяет врачу быстрее фиксировать результаты обследования, что особенно полезно при большом потоке пациентов.

2. **Повышение точности:** система распознавания речи распознает термины и автоматически корректирует ошибки, что снижает вероятность опечаток.

3. **Удобство:** врач может диктовать результаты обследования, не отвлекаясь на клавиатуру, что позволяет сосредоточиться на пациенте.

4. **Автоматизация процессов:** голосовой ввод интегрирован с МИС что упрощает заполнение протоколов результатов обследования и других документов.

5. **Доступность:** голосовой ввод работает без подключения к Интернет.

Цели автоматизации, достигнутые в результате выполненной разработки

1. Создание единого цифрового пространства для работы с электронной медицинской картой.

2. Обеспечение возможности создания, хранения и распечатки требуемых форм медицинских документов.

3. Ускорение процесса заполнения форм с использованием голосового ввода.

4. Снижение ошибок ручного ввода данных и улучшение структурированности информации.

Функциональные возможности разработанного модуля

1. Работа с медицинскими документами:

- Создание и хранение обязательных форм медицинской документации.
- Возможность распечатки документов по утверждённым шаблонам.
- Автоматическое заполнение стандартных полей (ФИО пациента, дата рождения, номер карты).

2. Голосовой ввод данных:

- Преобразование речи врача в текст для заполнения полей в электронных формах.
- Ускорение работы с текстовыми блоками, такими как «Анамнез», «Рекомендации», «Диагноз».

3. Структурирование информации:

- Хранение всех форм в единой информационной базе.
- Интеграция данных между модулями (например, результаты исследований или согласия на обработку персональных данных).

4. Формирование медицинской карты санаторного пациента:

- Все необходимые документы интегрируются в единую карту, которая доступна для редактирования, просмотра и печати.

5. Юридическая поддержка:

Все формы соответствуют законодательным требованиям Республики Беларусь, включая формы согласий и сведения о госпитализации.

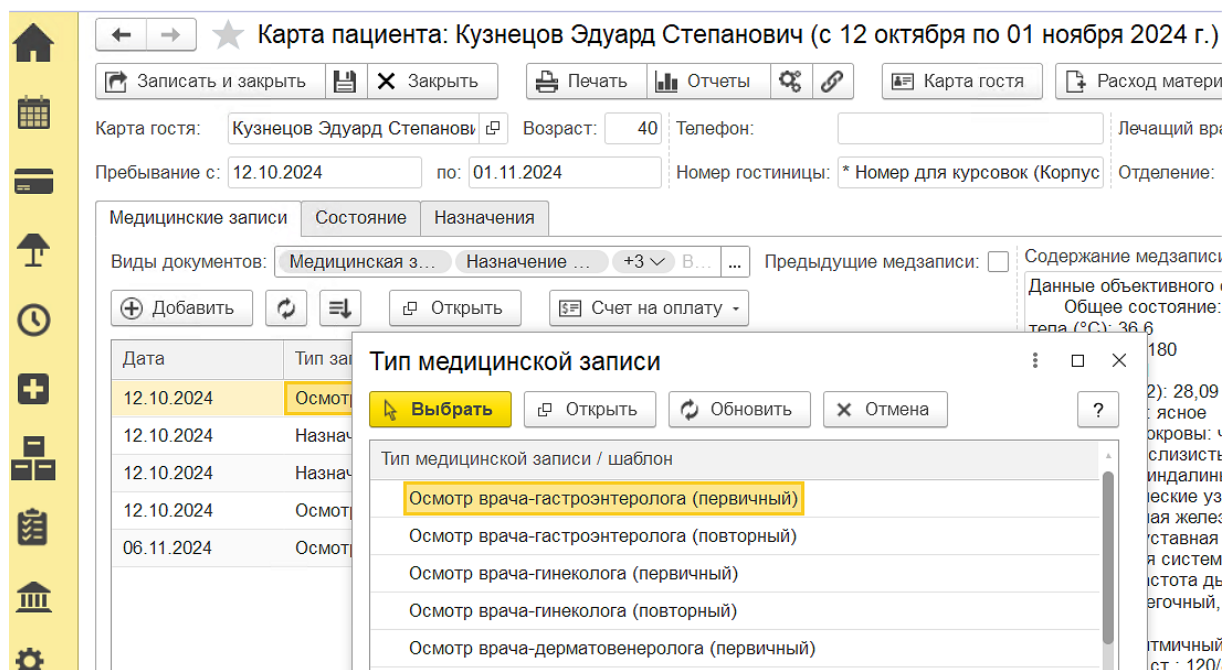


Рис. 1. Выбор требуемого варианта осмотра врачом-специалистом

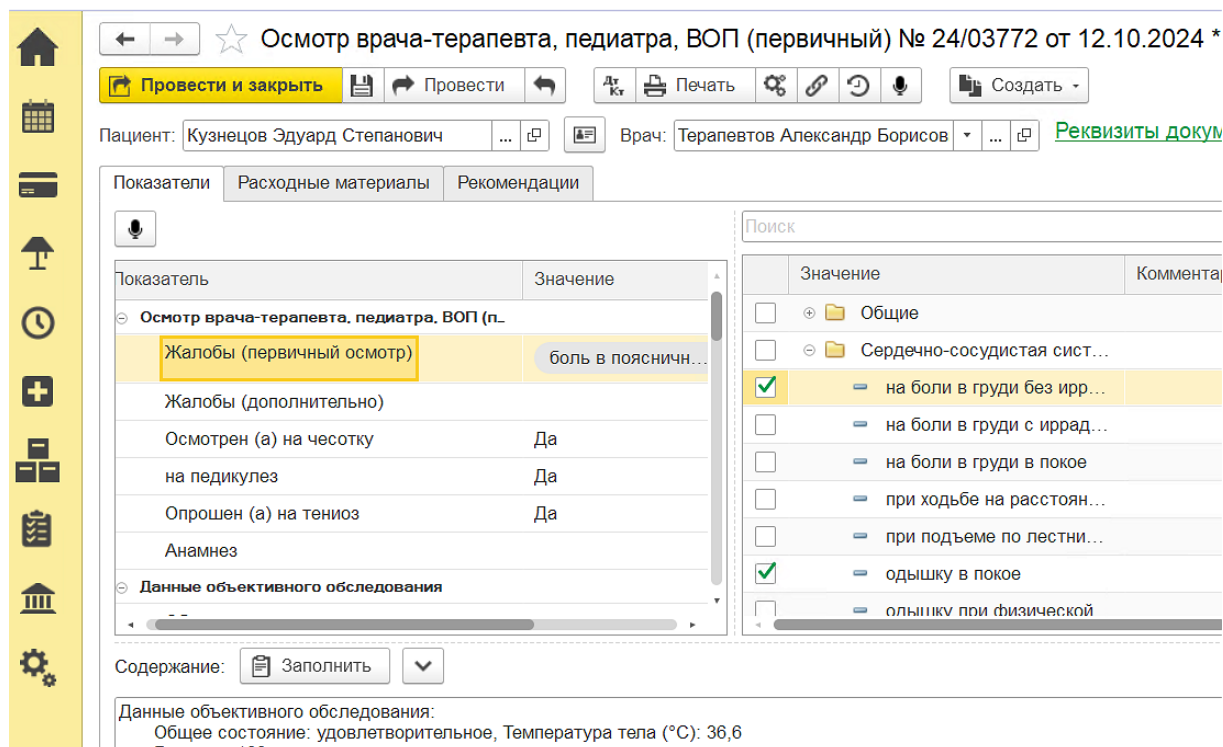


Рис. 2. Выбор значений показателей медицинской карты используя предустановленные варианты.

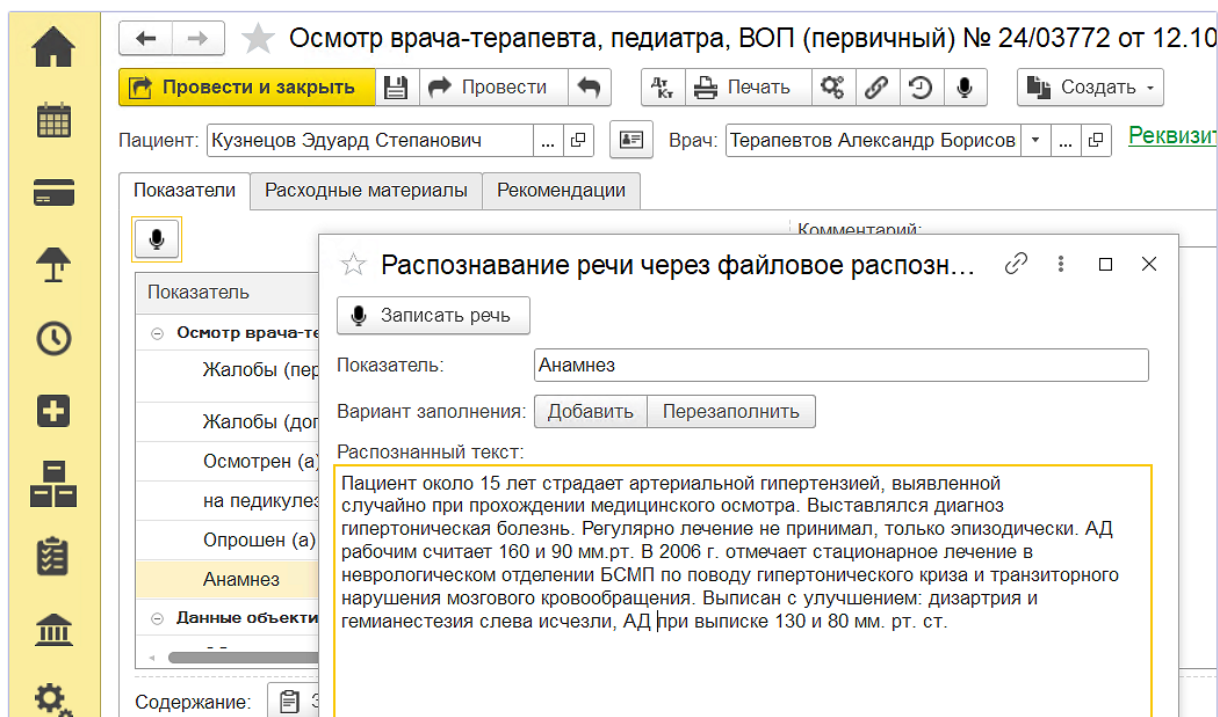


Рис. 3. Распознавание речи, используя микрофон. Заполнение текстового поля «Анамнез».

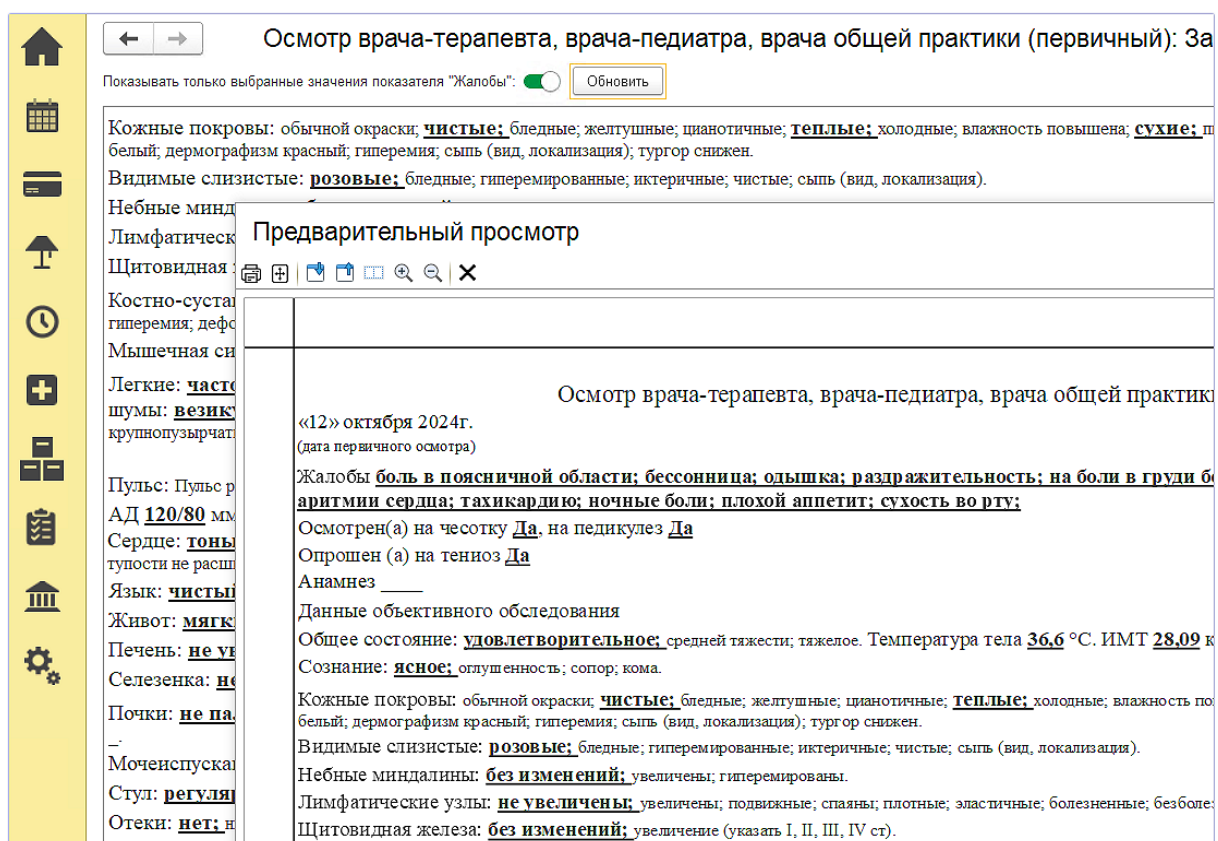


Рис. 4. Формирование печатной формы медицинской карты и предварительный просмотр.

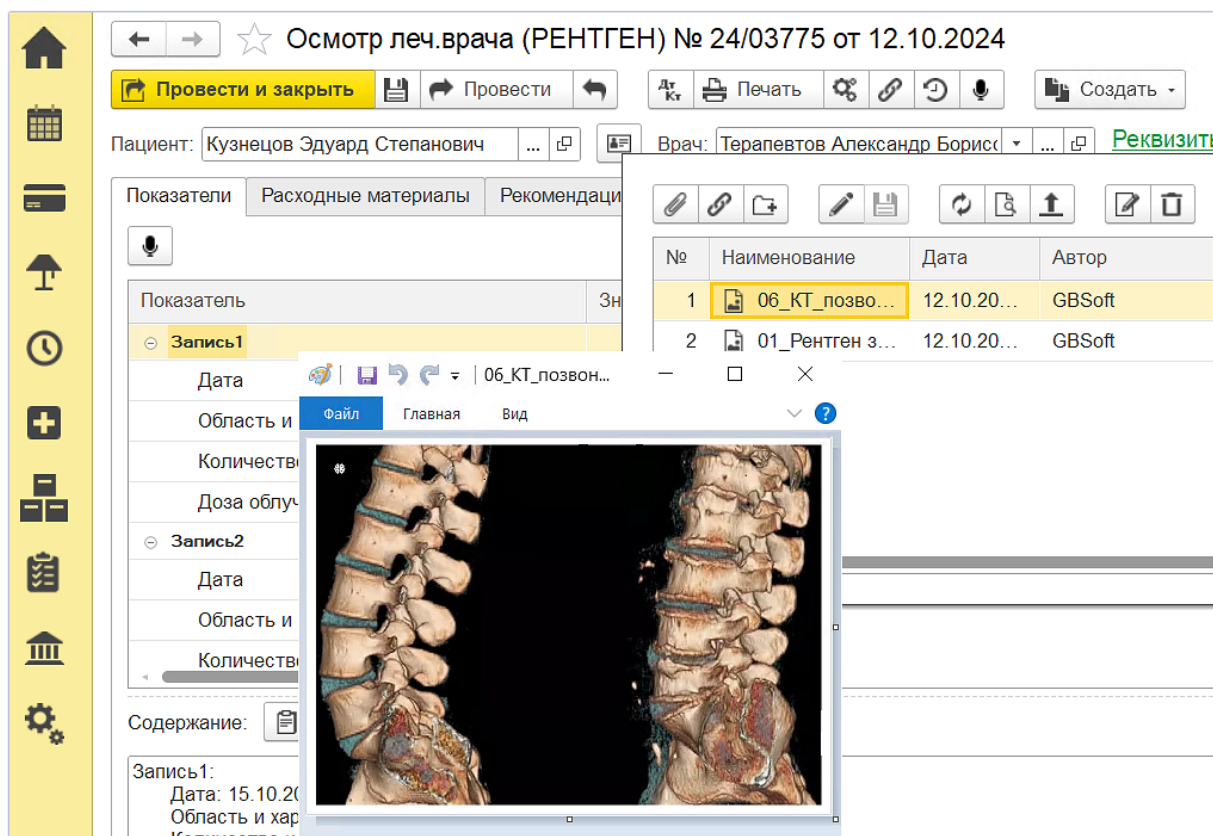


Рис. 5. Регистрация результатов обследования.

Результаты разработки

- 1. Возможность создавать и хранить документы:**
 - Реализована функция ведения медицинских карт в цифровом формате с доступом к архиву документов.
- 2. Печать форм:**
 - Все формы из перечня (включая «Эпикриз ВКК», «Сведения о госпитализации» и другие) могут быть распечатаны с соблюдением утверждённого шаблона.
- 3. Скорость работы:**
 - Внедрение технологии голосового ввода позволило сократить время на заполнение первичных и повторных осмотров врачом более чем на 30%.
- 4. Улучшение взаимодействия с пациентами:**
 - Электронная карта обеспечивает быстрый доступ к истории болезни, назначениям и результатам обследований.
- 5. Упрощение работы персонала:**
 - Стандартизация шаблонов и автоматическое заполнение реквизитов минимизируют ошибки и ускоряют документооборот.

Этапы внедрения модуля

- 1. Подготовка:**
 - Согласование требований и технического задания.
 - Настройка шаблонов медицинских форм.
- 2. Разработка и тестирование:**
 - Разработка модуля «ЭМК» в конфигурации «КИНТ. Управление санаторием».
 - Интеграция технологии распознавания голоса.

- Тестирование функционала на тестовых данных.
- 3. **Обучение персонала:**
 - Проведение тренингов по использованию электронных форм и голосового ввода.
 - Обеспечение методической поддержки для врачей и административного персонала.
- 4. **Пилотное внедрение:**
 - Тестирование системы на одном отделении санатория.
 - Сбор обратной связи от врачей и технических специалистов.
- 5. **Полный ввод в эксплуатацию:**
 - Перевод всех отделений санатория на использование модуля «ЭМК».

Заключение

Создание и последующая работа с функциональным модулем «**Электронная медицинская карта**» в АСПУ «Медицина» (с применением технологии распознавания голоса) позволила решить ключевые задачи цифровизации медицинских процессов в санатории. В результате:

- Обеспечена возможность создания, хранения и распечатки требуемых документов.
- Ускорены процессы заполнения медицинской документации.
- Улучшено качество работы с пациентами за счёт интеграции данных в единую информационную базу.

Этот проект является примером эффективного внедрения современных технологий для повышения качества медицинских услуг и оптимизации работы персонала санаториев.

Список литературы

1. Ссылка на WEB страницу 1С: Распознавание реч URL: <https://speech.1c.ai/solutions/stt/>
2. Ссылка на сайт в целом URL: <https://gbsoft.by/>
3. Ссылка на сайт в целом: URL <https://www.kint.ru/support/kus/>

АЛФАВИТНЫЙ УКАЗАТЕЛЬ

G		ГОРЮНОВ А.В.	94
O		ГРЕБИНЕВИЧ Г.Б.	241
GURBANBERDIYEVA M.	114	ГРЕКОВА Т.И.	30, 249, 313
S		ГРИБКО А.С.	320
ORAZOV Y.	114	ГРИГОРОВИЧ Т.В.	34, 180
T		ГРИДЮШКО С.М.	299
SOLTANMYRADOVA A.	114	ГРИШЕЧКИН Е.Д.	280
A		ГРИЩЕНКОВ А.С.	17, 20
АБРАМОВИЧ Н.Д.	308	ГРУЗИНСКАЯ Д.Г.	286
АКСЮЧИЦ А.В.	324	ГУСЕЙНОВ Д.И.	266
АЛЕКСАНДРОВ Д.А.	91	Д	
АЛЕКСЕЕВ В.Ф.	140, 196, 202	ДАВИДОВСКАЯ Е.И.	128
АМИНОВА А.М.	128	ДАВЫДОВ М.В.	12, 34, 39, 207, 218, 254, 266
АНАНИЧ Т.С.	49	ДАВЫДОВА Н.С.	34, 39, 266
АНТОНЕНКО С.В.	192	ДАВЫДОВСКИЙ А.Г.	165
АСКАЛЬДОВИЧ У.А.	324	ДАСЬКО С.С.	308
Б		ДЕНИСОВА Ю.Л.	20
БАВБЕЛЬ Е.И.	140	ДИК С.К.	23, 94, 149, 207, 308, 341, 343, 346, 349, 352
БАЙРАМОВА Н.	77	ДОКУКИНА Т.В.	63
БАРАНОВСКАЯ К.В.	305	ДРОЗДОВСКИЙ К.В.	70
БАРАНОВСКИЙ Д.В.	185, 211, 305	ДРУЦ Э.В.	153, 222
БАТУРА М.П.	26	ДУДИНОВА О.Н.	49
БОБРОВА Т.С.	218	ДУДИЧ О.Н.	299
БОГДАН Е.О.	230	Е	
БОЖЕНКОВ В.В.	324	ЕВДОКИМОВ В.Г.	43
БОНДАРИК В.М.	149	Ж	
БОНДАРЬ В.Г.	320	ЖДАНОВИЧ Д.Н.	124
БОРОВИКОВ С.М.	280, 295	ЖИВИЦКИЙ И.А.	346
БРАНЦЕВИЧ П.Ю.	63	ЖОЛНЕРОВИЧ О.И.	30
БРЕДИХИНА Д.А.	320	ЖОЛУД Е.И.	144
В		З	
ВАНДА А.С.	252	ЗАБРОДЕЦ Г.В.	133, 137
ВАСИЛЬЕВ Ю.А.	172	ЗЕЛЬМАНСКИЙ О.Б.	128
ВАШКЕВИЧ М.И.	144	ЗУЕВ Е.А.	222, 234
ВЛАСОВА О.В.	172	И	
ВОЙТОВ В.В.	94, 207	ИВАНОВ А.А.	176
ВОЙЧЕНКО Н.В.	316	ИВАНОВСКИЙ А.А.	336
ВОРОБЬЕВА А.И.	160	ИЛЬЯСОВА М.С.	299
ВОРОПАЙ Е.С.	106	К	
ВОРОТНИЦКАЯ О.В.	226	КАБИРОВА Н.А.	180
ВЫШИВАНЮК М.А.	305	КАЛЕНКОВИЧ Е.Н.	336
Г		КАМЛАЧ П.В.	149, 153, 272
ГАВРИЛЕНКО В.С.	222, 234	КАРАВАЙ Т.В.	189
ГАЗАНОВА Н.Ш.	192, 237	КАСАЧ А.А.	230
ГАРИПОВ А.С.	70	КАШИЦКАЯ М.Э.	207
		КАШИЦКИЙ Э.С.	207
		КИРСАНОВ А.А.	106
		КЛЕБАН А.В.	111, 133

КЛЮЕВ А.П.	336
КОБЫЛКО О.В.	34
КОЗЛОВСКИЙ Д.И.	260
КОЗЛЯКОВА О.В.	176
КОРМИЛЬЦЕВА Е.Д.	352
КОРОЛЕВИЧ П.П.	63
КОРОЛИК А.К.	176
КРАСИЛЬНИКОВА В.Л.	299
КУГЕЙКО М.М.	98, 103, 118
КУЗНЕЦОВ О.Я.	94
КУЗЬМЕНКО Е.В.	17, 20
КУЛИКОВА С.Л.	137
КУЛЬБЕРГ Н.С.	172
КУПО А.Н.	291
КУРИЛО И.И.	230
КУРЛЮК Е.А.	12, 254
КУРЛЯНСКАЯ Е.К.	12, 254

Л

ЛАБОДА Н.В.	106
ЛАРЧЕНКО Н.А.	12, 254
ЛАТЫПОВА Н.А.	128
ЛЕБЕДЕВСКИЙ А.В.	246
ЛЕВКОВИЧ Н.В.	120
ЛЕОНОВ Д.В.	172, 327
ЛЕУСЕНКО И.А.	49
ЛЕЩЕВИЧ Е.И.	94, 149
ЛИХАЧЕВСКИЙ Д.В.	165
ЛИХАЧЕВСКИЙ Д.В.	196
ЛИХАЧЕВСКИЙ Д.В.	202
ЛУБНЕВСКАЯ Г.Г.	176
ЛУШАКОВА М.С.	153

М

МА Т.	324
МАКАР Д.А.	284
МАКОВЕЦКИЙ В.Г.	218
МАЛЕЦ Е.Л.	153
МАЛОЛЕТНИКОВА И.М.	59
МАЛОЛЕТНИКОВА Х.М.	59
МАЛЬКЕВИЧ Л.А.	211, 226, 249, 252, 316, 331
МАНКЕВИЧ С.М.	30, 249, 313
МАРЬЕНКО И.П.	111, 133, 215
МАТУСОВ П.Г.	291
МЕДВЕДЕВА И.Ф.	124
МИКУЛИЧ А.В.	49
МИРЗОЯН А.Р.	137
МИСЮК Н.Н.	63
МОЖЕЙКО М.П.	111, 215
МОРОЗ И.А.	26, 336
МОРОЗ С.А.	26
МОХОВИКОВА Е.А.	73

Н

НАВРОЦКИЙ А.А.	43
НАГОРНЫЙ Р.К.	49
НГУЕН Т.З.	341
НОВИЦКАЯ А.Е.	272

О

ОГОРОДНИКОВ Д.А.	124
ОМЕЛЯНСКАЯ О.В.	172
ОРАЗОВ И.	77
ОСИПОВ А.Н.	26, 207, 234, 324, 336

П

ПАК А.М.	128
ПАНЧЕНКО Г.В.	120
ПАРАМОНОВА Н.С.	59
ПАТЕЮК И.В.	70, 94
ПАЦЕЕВ А.В.	336
ПАЦЕЕВ С.В.	336
ПЕРЦЕВ Д.Ю.	84
ПЕТКЕВИЧ М.Н.	260
ПИСКУН Г.А.	196, 202
ПИТИНОВ А.В.	237
ПЛАВСКАЯ Л.Г.	49
ПЛАВСКИЙ В.Ю.	49
ПЛОТКИН Ф.Б.	55
ПОДДУБНЫЙ А.А.	111, 133
ПОДСАДЧИК Л.В.	30, 249, 313
ПОСПЕЛОВ А.В.	230
ПРОКОПЕНКО Н.Д.	49
ПРОТЬКО Н.Н.	94, 207
ПРУДНИК А.М.	299

Р

РАДЬКО А.Е.	106
РЕВИНСКАЯ И.И.	23, 94, 149, 308
РЕДЖЕПОВ В.А.	84
РЕШЕТНИКОВА Н.В.	331
РОГАЛЬСКИЙ К.Е.	34
РОДАК Н.А.	343
РОКАЧ В.А.	324
РУБНИКОВИЧ С.П.	17, 20
РУСАК И.В.	275, 295
РУСИНА А.В.	349
РЫСЕВЕЦ Е.В.	252

С

САЛАХЛЫ С.А.	222, 234
САМУЙЛОВ И.В.	286
САМЦОВ М.П.	106
СВЕЧКО А.Д.	49
СИВАКОВ А.П.	30, 39, 249, 313
СИНЯК И.П.	207
СИТНИК Г.Д.	23, 94, 207
СЛАВИНСКИЙ С.Г.	120
СЛОДИНСКАЯ В.М.	120
СМОЛЬСКАЯ Т.С.	153, 222
СОБЧУК А.Н.	49
СТАРИЧКОВА Ю.В.	192, 237
СТОЛЕР В.А.	355
СУЩЕНЯ Е.А.	316

Т

ТАГИЛЬ А.Л.	218
------------------	-----

ТАРАСЕВИЧ М.И.	207
ТАРАСИК М.С.	176
ТАРАСОВ Д.С.	106
ТЕРЕХОВ В.И.	70
ТЕРЕХОВА И.Г.	207
ТКАЧЕНКО	241
ТРЕТЬЯКОВА А.И.	49
ТРУСЕВИЧ Л.А.	103
ТУМИЛОВИЧ М.В.	260

У

УГЛАНОВА Е.Р.	23
УРБАНОВИЧ С.П.	26
УСОВА Н.Н.	215
УСОВИЧ А.К.	17
УТКИНА Е.А.	160

Ф

ФАДЕЕВА Е.А.	124
ФИРАГО В.А.	120
ФИРАГО В.А.	118

Х

ХАЗАНОВСКИЙ И.О.	324
-----------------------	-----

ХАЦКЕВИЧ А.Д.	336
ХОДУЛЕВ В.И.	34, 180
ХРУСТИЦКАЯ Л.Б.	241
ХУДЕР Л.Д.	355

Ч

ЧЕРНУХА Т.Н.	137
ЧЕШИК О.О.	226, 252
ЧИРКОВА И.Н.	260
ЧУРАКОВ А.В.	222

Ш

ШАЧИНОВА В.Л.	59
ШЕВЕЛЬ В.Л.	331
ШЕВЧЕНКО К.А.	106
ШЕКУНОВ В.С.	39
ШИРВЕЛЬ А.А.	230

Я

ЯЗМУРАДОВНА О.Н.	156
ЯКИМЧУК С.В.	49
ЯКОВЛЕВА Т.В.	172
ЯСЮЧЕНЯ Р.Н.	189

Научное издание

**МЕДЭЛЕКТРОНИКА–2024.
СРЕДСТВА МЕДИЦИНСКОЙ ЭЛЕКТРОНИКИ
И НОВЫЕ МЕДИЦИНСКИЕ ТЕХНОЛОГИИ**

СБОРНИК НАУЧНЫХ СТАТЕЙ
XIV МЕЖДУНАРОДНОЙ НАУЧНО-ТЕХНИЧЕСКОЙ КОНФЕРЕНЦИИ

(Республика Беларусь, Минск, 5-6 декабря 2024 года)

В авторской редакции
Ответственный за выпуск *М.В. Давыдов*
Компьютерная верстка: *И.И. Ревинская, В.В. Гоман*

Подписано в печать 27.11.2024. Формат 60x84 1/8. Бумага офсетная. Гарнитура «Таймс».
Отпечатано на ризографе. Усл. печ. л.43,01. Уч.-изд. л. 35,8. Тираж 70 экз. Заказ 191.

Издатель и полиграфическое исполнение: учреждение образования
«Белорусский государственный университет информатики и радиоэлектроники».
Свидетельство о государственной регистрации издателя, изготовителя,
распространителя печатных изданий №1/123 от 24.03.2014,
№2/113 от 07.04.2014, №3/615 от 07.04.2014.
ЛИ № 02330/264 от 14.04.2004.
Ул. П. Бровки, 6, 220013, Минск